

PROGRAMA MONITORA 2020

RELATÓRIO ANUAL DO MONITORAMENTO DA QUALIDADE DA ÁGUA DO ESTADO DA BAHIA

inema
INSTITUTO DO MEIO AMBIENTE E RECURSOS HÍDRICOS

ESTADO DA BAHIA
BRASIL

GOVERNO DO ESTADO DA BAHIA

Governador *Rui Costa*

SECRETARIA DE MEIO AMBIENTE – SEMA

Secretário *João Carlos Oliveira da Silva*

INSTITUTO DO MEIO AMBIENTE E RECURSOS HÍDRICOS

Diretora Geral *Márcia Cristina Telles de Araújo Lima*

DIRETORIA DE RECURSOS HÍDRICOS E MONITORAMENTO AMBIENTAL

Diretor DIRAM *Eduardo de Farias Topázio*

COORDENAÇÃO DE MONITORAMENTO DE RECURSOS AMBIENTAIS E HIDRÍCOS

Coordenador Geral COMON *Ailton dos Santos Júnior*

EQUIPE TÉCNICA

COORDENAÇÃO DE MONITORAMENTO DE RECURSOS AMBIENTAIS E HIDRÍCOS

Ailton dos Santos Júnior
Coordenador Geral

Adriana Veiga Barbosa dos Santos *Técnica em Meio Ambiente e Recursos Hídricos*
Aiane Catarina Fernandes Faria *Eng. Ambiental / Coordenador II*
André Luiz Silva Pereira *Especialista em Meio Ambiente e Recursos Hídricos*
Cláudio Cesar Cardoso Cruz *Técnico em Meio Ambiente e Recursos Hídricos*
Greice Ximena Santos Oliveira *Especialista em Meio Ambiente e Recursos Hídricos*
Hérica D'Assunção Coelho *Especialista em Meio Ambiente e Recursos Hídricos*
Jéssica da Cunha Santos *Estagiária de de Oceanografia*
Joelson Nunes dos Santos Junior *Biólogo/Coraborador*
Júlia Cardoso Sant'Anna *Técnica em Meio Ambiente e Recursos Hídricos*
Luciana Santiago Rocha *Especialista em Meio Ambiente e Recursos Hídricos*
Márcio Augusto Silva Gonçalves *Especialista em Meio Ambiente e Recursos Hídricos*
Mariana Humia Fontoura *Oceanógrafa/Colaboradora*
Mariane de Souza da Silva *Estagiária de Engenharia Ambiental*
Maurício dos Santos da Silva *Técnico em Meio Ambiente e Recursos Hídricos*
Carlos Miguel de Almeida Netto *Técnico em Meio Ambiente e Recursos Hídricos*
Rosane Ferreira de Aquino *Especialista em Meio Ambiente e Recursos Hídricos*
Isabela Gomes dos Santos *Colaboradora do Programa 1° Emprego*
Natália Dantas *Colaboradora do Programa 1° Emprego*
Tiana da Silva de Jesus *Estagiária de Biologia*
Thais Maria de Freitas Barros *Estagiário de Oceanografia*
Ana Júlia Oliveira da Silva Santos *Estagiária de Biologia*

Distribuição:

Inema – INSTITUTO DO MEIO AMBIENTE E RECURSOS HÍDRICOS
Av. Luiz Viana Filho, 6ª avenida, CAB, CEP: 41.746-900 - Salvador/BA.
Tel.: (71) 3118-4267 / Disponível em: inema.ba.gov.br

APRESENTAÇÃO

Este relatório organiza e analisa os dados qualitativos físicos, químicos e biológicos provenientes dos levantamentos de campo e análises laboratoriais, resultantes do Programa Monitora do ano de 2020, de responsabilidade da Diretoria de Recursos Hídricos e Monitoramento Ambiental do Instituto de Meio Ambiente e Recursos Hídricos do Estado da Bahia. O Programa Monitora, em execução desde 2008, possui uma rede básica composta por 504 pontos de monitoramento convencional, os quais cobrem as 25 Regiões de Planejamento de Gestão da Água (RPGAs) do estado baiano.

Este trabalho é um importante instrumento para a gestão ambiental do estado, pois fornece subsídios para ações como fiscalização, licenciamento, outorga, projetos de recuperação de áreas degradadas nas bacias hidrográficas, entre outras. Além disso, as informações do Programa Monitora estão disponíveis para a sociedade, para que, conjuntamente com os órgãos públicos, atuem na importante missão de defesa do meio ambiente.

SUMÁRIO

1 INTRODUÇÃO 15

2 PROCEDIMENTOS METODOLÓGICOS 17

2.1 DEFINIÇÃO DOS PONTOS DE AMOSTRAGEM E MÉTODOS DE COLETAS 17
2.2 PARÂMETROS FÍSICOS, QUÍMICOS E BIOLÓGICOS 19
2.3 ANÁLISE DOS RESULTADOS 21
2.4 INDICADORES DE QUALIDADE AMBIENTAL (IQA E IET) 22

3 REGIÃO HIDROGRÁFICA DO ATLÂNTICO LESTE 27

3.1 RPGA DO RIACHO DOCE 27
3.1.1 CARACTERÍSTICAS DA RPGA 27
3.1.2 RESULTADOS E DISCUSSÃO 29
3.2 RPGA DO RIO MUCURI 31
3.2.1 CARACTERÍSTICAS DA RPGA 31
3.2.2 RESULTADOS E DISCUSSÃO 34
3.3 RPGA DOS RIOS PERUÍPE, INTANHÉM E JUCURUÇU 37
3.3.1 CARACTERÍSTICAS DA RPGA 37
3.3.2 RESULTADOS E DISCUSSÃO 43
3.4 RPGA DOS RIOS DOS FRADES, BURANHÉM E SANTO ANTÔNIO 48
3.4.1. CARACTERÍSTICAS DA RPGA 48
4.1.2 RESULTADOS E DISCUSSÃO 54
3.5 RPGA DO RIO JEQUITINHONHA 58
3.5.1 CARACTERÍSTICAS DA RPGA 58
3.5.2 RESULTADOS E DISCUSSÃO 62
3.6 RPGA DO RIO PARDO 66
3.6.1 CARACTERÍSTICAS DA RPGA 66
3.6.2 RESULTADOS E DISCUSSÃO 76
3.7 RPGA DO LESTE 82
3.7.1 CARACTERÍSTICAS DA RPGA 82
3.7.2 RESULTADOS E DISCUSSÃO 92
3.8 RPGA DO RIO DE CONTAS 98
3.8.1 CARACTERÍSTICAS DA RPGA 98
3.8.2 RESULTADOS E DISCUSSÃO 114
3.9.1 CARACTERÍSTICAS DA RPGA 121
3.9.2 RESULTADOS E DISCUSSÃO 131
3.10 RPGA DO RIO PARAGUAÇU 136
3.10.1 CARACTERÍSTICAS DA RPGA 136
3.10.2 RESULTADOS E DISCUSSÃO 157
3.11.1 CARACTERÍSTICAS DA RPGA 166
3.11.2 RESULTADOS E DISCUSSÃO 199
3.11.2.1 Resultados das campanhas de monitoramento de 2020 199

3.11.2.1.1 Volume I - Bacias do rio Subaé; dos rios vertentes para Baía de Todos os Santos e dos rios urbanos de Salvador. *200*
3.11.2.1.2 Volume II - Bacias dos rios Joanes e Jacuípe *205*
3.11.2.1.3 Volume III - Bacias dos rios Pojuca, Imbassaí, Sauípe, Subaúma e Inhambupe *210*
3.12 RPGA DO RIO ITAPICURU 214
3.12.1 CARACTERÍSTICAS DA RPGA *214*
3.12.2 RESULTADOS E DISCUSSÃO *233*
3.13 RPGA DO RIO REAL 241
3.13.1 CARACTERÍSTICAS DA RPGA *241*
3.13.2 RESULTADOS E DISCUSSÃO *244*
3.14 RPGA DO RIO VAZA-BARRIS 248
3.14.1 CARACTERÍSTICAS DA RPGA *248*
3.14.2 RESULTADOS E DISCUSSÃO *254*

4 REGIÃO HIDROGRÁFICA DO RIO SÃO FRANCISCO 258

4.1 RPGA DO RIACHO DO TARÁ 258
4.1.1 CARACTERÍSTICAS DA RPGA *258*
4.1.2 RESULTADOS E DISCUSSÃO *260*
4.2 RPGA DOS RIOS MACURURÉ E CURAÇÁ 263
4.2.1 CARACTERÍSTICAS DA RPGA *263*
4.2.2 RESULTADOS E DISCUSSÃO *269*
4.3 RPGA DO RIO SALITRE 273
4.3.1 CARACTERÍSTICAS DA RPGA *273*
4.3.2 RESULTADOS E DISCUSSÃO *276*
4.4 RPGA DOS RIOS VERDE E JACARÉ 279
4.4.1 CARACTERÍSTICAS DA RPGA *279*
4.4.2 RESULTADOS E DISCUSSÃO *285*
4.5 RPGA DO LAGO SOBRADINHO 289
4.5.1 CARACTERÍSTICAS DA RPGA *289*
4.5.2 RESULTADOS E DISCUSSÃO *294*
4.6 RPGA DOS RIOS PARAMIRIM E SANTO ONOFRE 298
4.6.1 CARACTERÍSTICAS DA RPGA *298*
4.6.2 RESULTADOS E DISCUSSÃO *303*
4.7 RPGA DO RIO GRANDE 307
4.7.1 CARACTERÍSTICAS DA RPGA *307*
4.21.2 RESULTADOS E DISCUSSÃO *323*
4.8 RPGA DO RIO CARNAÍBA DE DENTRO 329
4.8.1 CARACTERÍSTICAS DA RPGA *329*
4.8.2 RESULTADOS E DISCUSSÃO *332*
4.9 RPGA DO RIO CORRENTE, RIACHOS DO RAMALHO, SERRA DOURADA E BREJO VELHO 335
4.9.1 CARACTERÍSTICAS DA RPGA *335*
4.9.2 RESULTADOS E DISCUSSÃO *344*

4.10 RPGA DO RIO CARINHANHA 349
4.10.1 CARACTERÍSTICAS DA RPGA *349*
4.10.2 RESULTADOS E DISCUSSÃO *354*
4.11 RPGA DO RIO VERDE GRANDE 357
4.11.1 CARACTERÍSTICAS DA RPGA *357*
4.11.2 RESULTADOS E DISCUSSÃO *359*
5 PANORAMA GERAL **362**
6 CONSIDERAÇÕES FINAIS **369**
REFERÊNCIAS BIBLIOGRÁFICAS **371**
APÊNDICES **373**

ÍNDICES

Índice de Figuras

Figura 1. Evolução da rede amostral do Programa Monitora de 2008 a 2020. 16
Figura 2. Malha amostral do Programa Monitora em 2020. 18
Figura 3. Mapa da distribuição da rede amostral na RPGA do Riacho Doce, Bahia. 27
Figura 4. Classificações de IQA obtidas para a RPGA do Riacho Doce em 2020. 29
Figura 5. Classificações de IET obtidas para a RPGA do Riacho Doce em 2020. 30
Figura 6. Mapa da distribuição da rede amostral na RPGA do Rio Mucuri, Bahia. 31
Figura 7. Classificações de IQA obtidas para a RPGA do Rio Mucuri em 2020. 35
Figura 8. Classificações de IQA obtidas para a RPGA do Rio Mucuri em 2020. 35
Figura 9. Mapa da distribuição da rede amostral na RPGA dos Rios Peruípe, Itanhém e Jucuruçu, Bahia. 37
Figura 10. Frequência relativa (%) de violações para a RPGA do Rio Peruípe, Itanhém e Jucuruçu em 2020. 45
Figura 11. Classificações de IQA obtidas para a RPGA dos Rios Peruípe, Itanhém e Jucuruçu em 2020.(1) 45
Figura 12. Classificações de IQA obtidas para a RPGA dos Rios Peruípe, Itanhém e Jucuruçu em 2020.(2) 46
Figura 13. Classificações de IET obtidas para a RPGA dos Rios Peruípe, Itanhém e Jucuruçu em 2020.(1) 46
Figura 14. Classificações de IET obtidas para a RPGA dos Rios Peruípe, Itanhém e Jucuruçu em 2020.(2) 47
Figura 15. Mapa da distribuição da rede amostral na RPGA do Rio dos Frades, Buranhém e Santo Antônio, Bahia. 48
Figura 16. Frequência relativa (%) de violações para a RPGA do Rio dos Frades, Buranhém e Santo Antônio em 2020. 54
Figura 17. Classificações de IQA obtidas para a RPGA dos Rios Frades, Buranhém e Santo Antônio em 2020. 55
Figura 18. Classificações de IET obtidas para a RPGA dos Rios Frades, Buranhém e Santo Antônio em 2020. 56
Figura 19. Mapa da distribuição da rede amostral na RPGA do Rio Jequitinhonha, Bahia. 58
Figura 20. Frequência relativa (%) de violações para a RPGA do Rio Jequitinhonha em 2020. 62
Figura 21. Classificações de IQA obtidas para a RPGA do Rio Jequitinhonha em 2020. 63
Figura 22. Classificações de IET obtidas para a RPGA do Rio Jequitinhonha em 2020. 64
Figura 23. Mapa da distribuição da rede amostral na RPGA do Rio Pardo, Bahia. 66
Figura 24. Frequência relativa (%) de violações para a RPGA do Rio Pardo em 2020. 76
Figura 25. Classificações de IQA obtidas para a RPGA do Rio Pardo em 2020.(1) 78
Figura 26. Classificações de IQA obtidas para a RPGA do Rio Pardo em 2020.(2) 78
Figura 27. Classificações de IET obtidas para a RPGA do Rio Pardo em 2020.(1) 79
Figura 28. Classificações de IET obtidas para a RPGA do Rio Pardo em 2020.(2) 80
Figura 29. Mapa da distribuição da rede amostral na RPGA do Leste, Bahia. 82
Figura 30. Frequência relativa (%) de violações para a RPGA do Leste em 2020. 92
Figura 31. Classificações de IQA obtidas para a RPGA do Leste em 2020.(1) 95
Figura 32. Classificações de IQA obtidas para a RPGA do Leste em 2020.(2) 95

Figura 33. Classificações de IET obtidas para a RPGA do Leste em 2020.(1) 96
Figura 34. Classificações de IET obtidas para a RPGA do Leste em 2020.(2) 96
Figura 35. Mapa da distribuição da rede amostral na RPGA do Rio de Contas, Bahia. 98
Figura 36. Frequência relativa (%) de violações para a RPGA do Rio de Contas em 2020. ... 116
Figura 37. Classificações de IQA na RPGA do Rio de Contas.(1) 117
Figura 38. Classificações de IQA na RPGA do Rio de Contas.(2) 117
Figura 39. Classificações de IQA na RPGA do Rio de Contas.(3) 118
Figura 40. Classificações de IET na RPGA do Rio de Contas.(1) 119
Figura 41. Classificações de IET na RPGA do Rio de Contas.(2) 119
Figura 42. Classificações de IET na RPGA do Rio de Contas.(3) 120
Figura 43. Mapa da distribuição da rede amostral na RPGA do Recôncavo Sul, Bahia. 121
Figura 44. Frequência relativa (%) de violações para a RPGA do Recôncavo Sul em 2020. . 131
Figura 45. Classificações de IQA na RPGA do Recôncavo Sul.(1) 133
Figura 46. Classificações de IQA na RPGA do Recôncavo Sul.(2) 133
Figura 47. Classificações de IET na RPGA do Recôncavo Sul.(1) 134
Figura 48. Classificações de IET na RPGA do Recôncavo Sul.(2) 134
Figura 49. Mapa da distribuição da rede amostral na RPGA do Rio Paraguaçu, Bahia. 136
Figura 50. Frequência relativa (%) de violações para a RPGA do Rio Paraguaçu em 2020. . 157
Figura 51. Classificações de IQA na RPGA do Rio Paraguaçu em 2020.(1) 160
Figura 52. Classificações de IQA na RPGA do Rio Paraguaçu em 2020.(2) 160
Figura 53. Classificações de IQA na RPGA do Rio Paraguaçu em 2020.(3) 161
Figura 54. Classificações de IQA na RPGA do Rio Paraguaçu em 2020.(4) 161
Figura 55. Classificações de IQA na RPGA do Rio Paraguaçu em 2020.(5) 162
Figura 56. Classificações de IET na RPGA do Rio Paraguaçu em 2020.(1) 162
Figura 57. Classificações de IET na RPGA do Rio Paraguaçu em 2020.(2) 163
Figura 58. Classificações de IET na RPGA do Rio Paraguaçu em 2020.(3) 163
Figura 59. Classificações de IET na RPGA do Rio Paraguaçu em 2020.(4) 164
Figura 60. Classificações de IET na RPGA do Rio Paraguaçu em 2020.(5) 164
Figura 61. Mapa da distribuição da rede amostra na RPGA do Recôncavo Norte e Inhambupe. 167
Figura 62. Frequência relativa (%) de violações para a RPGA do Recôncavo Norte e Inhambupe em 2020. 199
Figura 63. Classificações de IQA para o Volume I da RPGA do Recôncavo Norte e Inhambupe em 2020.(1) 201
Figura 64. Classificações de IQA para o Volume I da RPGA do Recôncavo Norte e Inhambupe em 2020.(2) 202
Figura 65. Classificações de IQA para o Volume I da RPGA do Recôncavo Norte e Inhambupe em 2020.(3) 202
Figura 66. Classificações de IET para o Volume I da RPGA do Recôncavo Norte e Inhambupe em 2020.(1) 203
Figura 67. Classificações de IET para o Volume I da RPGA do Recôncavo Norte e Inhambupe em 2020.(2) 204
Figura 68. Classificações de IET para o Volume I da RPGA do Recôncavo Norte e Inhambupe em 2020.(3) 204
Figura 69. Classificações de IQA para o Volume II da RPGA do Recôncavo Norte e Inhambupe em 2020.(1) 206
Figura 70. Classificações de IQA para o Volume II da RPGA do Recôncavo Norte e Inhambupe em 2020.(2) 206

Figura 71. Classificações de IQA para o Volume II da RPGA do Recôncavo Norte e Inhambupe em 2020.(3) 207
Figura 72. Classificações de IET para o Volume II da RPGA do Recôncavo Norte e Inhambupe em 2020.(1) 208
Figura 73. Classificações de IET para o Volume II da RPGA do Recôncavo Norte e Inhambupe em 2020.(2) 208
Figura 74. Classificações de IET para o Volume II da RPGA do Recôncavo Norte e Inhambupe em 2020.(3) 209
Figura 75. Classificações de IQA para o Volume III da RPGA do Recôncavo Norte e Inhambupe em 2020.(1) 210
Figura 76. Classificações de IQA para o Volume III da RPGA do Recôncavo Norte e Inhambupe em 2020.(2) 211
Figura 77. Classificações de IET para o Volume III da RPGA do Recôncavo Norte e Inhambupe em 2020.(1) 212
Figura 78. Classificações de IET para o Volume III da RPGA do Recôncavo Norte e Inhambupe em 2020.(2) 212
Figura 79. Mapa da distribuição da rede amostral na RPGA do Rio Itapicuru, Bahia. 214
Figura 80. Frequência relativa (%) de violações para a RPGA do Rio Itapicuru em 2020. 233
Figura 81. Classificações de IQA na RPGA do Rio Itapicuru em 2020.(1) 235
Figura 82. Classificações de IQA na RPGA do Rio Itapicuru em 2020.(2) 236
Figura 83. Classificações de IQA na RPGA do Rio Itapicuru em 2020.(3) 236
Figura 84. Classificações de IQA na RPGA do Rio Itapicuru em 2020.(4) 237
Figura 85. Classificações de IET na RPGA do Rio Itapicuru em 2020.(1) 237
Figura 86. Classificações de IET na RPGA do Rio Itapicuru em 2020.(2) 238
Figura 87. Classificações de IET na RPGA do Rio Itapicuru em 2020.(3) 238
Figura 88. Classificações de IET na RPGA do Rio Itapicuru em 2020.(4) 239
Figura 89. Mapa da distribuição da rede amostral na RPGA do Rio Real, Bahia. 241
Figura 90. Frequência relativa (%) de violações para a RPGA do Rio Real em 2020. 244
Figura 91. Classificações de IQA na RPGA do Rio Real em 2020. 246
Figura 92. Classificações de IET na RPGA do Rio Real em 2020. 247
Figura 93. Mapa da distribuição da rede amostral na RPGA do Rio Vaza-Barris, Bahia. 248
Figura 94. Frequência relativa (%) de violações para a RPGA do Rio Vaza-Barris em 2020. 255
Figura 95. Classificações de IQA na RPGA do Rio Vaza-Barris em 2020. 255
Figura 96. Classificações de IET na RPGA do Rio Vaza-Barris em 2020. 256
Figura 97. Mapa da distribuição da rede amostral na RPGA do Riacho do Tará, Bahia. 258
Figura 98. Classificações de IQA na RPGA do Riacho do Tará em 2020. 261
Figura 99. Classificações de IET na RPGA do Riacho do Tará em 2020. 261
Figura 100. Mapa da distribuição da rede amostral na RPGA Rios Macururé e Curaçá, Bahia. 263
Figura 101. Frequência relativa (%) de violações para a RPGA dos Rios Macururé e Curaçá em 2020. 269
Figura 102. Classificações de IQA na RPGA dos Rios Macururé e Curaçá em 2020. 271
Figura 103. Classificações de IET na RPGA dos Rios Macururé e Curaçá em 2020. 271
Figura 104. Mapa da distribuição da rede amostral na RPGA Rio Salitre, Bahia. 273
Figura 105. Classificações de IQA na RPGA do Rio Salitre em 2020. 277
Figura 106. Classificações de IET na RPGA do Rio Salitre em 2020. 277
Figura 107. Mapa da distribuição da rede amostral na RPGA dos Rios Verde e Jacaré, Bahia. 279

Figura 108. Frequência relativa (%) de violações para a RPGA dos Rios Verde e Jacaré. 285
Figura 109. Classificações de IQA na RPGA dos Rios Verde e Jacaré em 2020. 286
Figura 110. Classificações de IET na RPGA dos Rios Verde e Jacaré em 2020. 287
Figura 111. Mapa da distribuição da rede amostral na RPGA Lago de Sobradinho, Bahia. . 289
Figura 112. Frequência relativa (%) de violações para a RPGA do Lago Sobradinho em 2020. 294
Figura 113. Classificações de IQA na RPGA do Lago Sobradinho em 2020. 296
Figura 114. Classificações de IET na RPGA do Lago Sobradinho em 2020. 296
Figura 115. Mapa da distribuição da rede amostral na RPGA Rios Paramirim e Santo Onofre, Bahia. 298
Figura 116. Frequência relativa (%) de violações para a RPGA dos Rios Paramirim e Santo Onofre em 2020. 303
Figura 117. Classificações de IQA na RPGA dos Rios Panamirim e Santo Onofre em 2020. ... 305
Figura 118. Classificações de IET na RPGA dos Rios Panamirim e Santo Onofre em 2020. 305
Figura 119. Mapa da distribuição da rede amostral da RPGA do Rio Grande, Bahia. 307
Figura 120. Frequência relativa (%) de violações para a RPGA do Rio Grande. 323
Figura 121. Classificações de IQA no RPGA do Rio Grande em 2020.(1) 325
Figura 122. Classificações de IQA no RPGA do Rio Grande em 2020.(2) 325
Figura 123. Classificações de IQA no RPGA do Rio Grande em 2020.(3) 326
Figura 124. Classificações de IET no RPGA do Rio Grande em 2020.(1) 326
Figura 125. Classificações de IET no RPGA do Rio Grande em 2020.(2) 327
Figura 126. Classificações de IET no RPGA do Rio Grande em 2020.(3) 327
Figura 127. Mapa da distribuição da rede amostral na RPGA Rio Carnaíba de Dentro, Bahia. 329
Figura 128. Variação de IQA para a RPGA do Rio de Carnaíba de Dentro em 2019. 332
Figura 129. Variação de IET para a RPGA do Rio de Carnaíba de Dentro em 2019. 333
Figura 130. Mapa da distribuição da rede amostral na RPGA do Rio Corrente e Riachos do Brejo Velho, Ramalho e Serra Dourada, Bahia. 335
Figura 131. Frequência relativa (%) de violações para a RPGA do Rio Corrente e Riachos do Brejo Velho, Ramalho e Serra Dourada. 344
Figura 132. Classificações de IQA na RPGA do Rio corrente, Riachos do ramalho, Serra dourada e Brejo velho em 2020.(1) 346
Figura 133. Classificações de IQA na RPGA do Rio corrente, Riachos do ramalho, Serra dourada e Brejo velho em 2020 (2). 346
Figura 134. Classificações de IET na RPGA do Rio corrente, Riachos do ramalho, Serra dourada e Brejo velho em 2020.(1) 347
Figura 135. Classificações de IET na RPGA do Rio corrente, Riachos do ramalho, Serra dourada e Brejo velho em 2020.(2) 347
Figura 136. Mapa da distribuição da rede amostral na RPGA Carinhanha, Bahia. 349
Figura 137. Classificações de IQA na RPGA do Rio Carinhanha em 2020. 354
Figura 138. Classificações de IET na RPGA do Rio Carinhanha em 2020. 355
Figura 139. Mapa da distribuição da rede amostral na RPGA Rio Verde Grande, Bahia. 357
Figura 140. Variação de IQA para a RPGA do Rio Verde Grande ao longo de 2020. 360
Figura 141. Variação de IET para a RPGA do Rio Verde Grande ao longo de 2020. 360
Figura 142. Frequência de violações identificadas por RPGA em 2020. 363
Figura 143. Frequência relativa de violações identificadas por parâmetro em 2020. 364
Figura 144. Frequência das classes de IQA para a rede do Programa Monitora em 2020. ... 365
Figura 145. Frequência das classes de IET para a rede do Programa Monitora em 2020. 365

Figura 146. Frequência (%) das classes de IQA para rede do Programa Monitora em 2020. 367
Figura 147. Frequência (%) das classes de IET para rede do Programa Monitora em 2020....368

Índice de Quadros

Quadro 1. Significado ambiental das variáveis de qualidade da água. 19
Quadro 2. Parâmetros e pesos finais para determinação de IQA. 23
Quadro 3. Classificação da qualidade da água em função do IQA. 23
Quadro 4. Características das classes de IET dos corpos hídricos. 25
Quadro 5. Caracterização geral dos pontos de amostragem da RPGA Riacho Doce, Bahia. 28
Quadro 6. Caracterização geral dos pontos de amostragem da RPGA do Rio Mucuri, Bahia. 32
Quadro 7. Caracterização geral dos pontos de amostragem da RPGA dos Rios Peruípe, Itanhém e Jucuruçu, Bahia. 38
Quadro 8. Caracterização geral dos pontos de amostragem da RPGA do Rio dos Frades, Buranhém e Santo Antônio, Bahia. 49
Quadro 9. Caracterização geral dos pontos de amostragem da RPGA do Rio Jequitinhonha, Bahia. 59
Quadro 10. Caracterização geral dos pontos de amostragem da RPGA do Rio Pardo, Bahia. 67
Quadro 11. Caracterização geral dos pontos de amostragem da RPGA do Rio Leste, Bahia. 83
Quadro 12. Caracterização geral dos pontos de amostragem da RPGA do Rio de Contas, Bahia. 99
Quadro 13. Caracterização geral dos pontos de amostragem da RPGA do Rio do Recôncavo Sul, Bahia. 122
Quadro 14. Caracterização geral dos pontos de amostragem da RPGA do Rio Paraguaçu, Bahia. 137
Quadro 15. Caracterização geral dos pontos de amostragem da RPGA do Recôncavo Norte e Inhambupe - volume I (Bacias do rio Subaé; dos rios vertentes para Baia de Todos os Santos; dos rios urbanos de Salvador). 168
Quadro 16. Caracterização geral dos pontos de amostragem da RPGA do Recôncavo Norte e Inhambupe - Volume II (Bacias dos rios Joanes e Jacuípe). 179
Quadro 17. Caracterização geral dos pontos de amostragem da RPGA do Recôncavo Norte e Inhambupe - Volume III (Bacias dos rios Pojuca, Imbassaí, Sauípe, Subaúma e Inhambupe). 190
Quadro 18. Caracterização geral dos pontos de amostragem da RPGA do Rio Itapicuru, Bahia. 215
Quadro 19. Caracterização geral dos pontos de amostragem da RPGA do Rio Real, Bahia. 242
Quadro 20. Caracterização geral dos pontos de amostragem da RPGA do Rio Vaza-Barris, Bahia. 249
Quadro 21. Caracterização geral dos pontos de amostragem da RPGA do Riacho do Tará, Bahia. 259
Quadro 22. Caracterização geral dos pontos de amostragem da RPGA dos Rios Macururé e Curaçá, Bahia 264
Quadro 23. Caracterização geral dos pontos de amostragem da RPGA do Rio Salitre, Bahia. 274
Quadro 24. Caracterização geral dos pontos de amostragem da RPGA dos Rios Verde e Jacaré, Bahia. 280

Quadro 25. Caracterização geral dos pontos de amostragem da RPGA do Lago Sobradinho, Bahia. 290
Quadro 26. Caracterização geral dos pontos de amostragem da RPGA dos Rios Paramirim e Santo Onofre, Bahia. 299
Quadro 27. Caracterização geral dos pontos de amostragem da RPGA do Rio Grande, Bahia. 308
Quadro 28. Caracterização geral dos pontos de amostragem da RPGA Carnaíba de Dentro, Bahia. 330
Quadro 29. Caracterização geral dos pontos de amostragem da RPGA do Rio Corrente, Riachos do Ramalho, Serra Dourada e Brejo Velho, Bahia. 336
Quadro 30. Caracterização geral dos pontos de amostragem da RPGA do Rio Carinhanha, Bahia. 350
Quadro 31. Caracterização geral dos pontos de amostragem da RPGA do Rio Verde Grande, Bahia. 358

1 INTRODUÇÃO

A Política Nacional de Recursos Hídricos, Lei 9.433, estabelece como um de seus objetivos "assegurar à atual e futuras gerações a necessária disponibilidade de água, em padrões de qualidade adequados aos respectivos usos". No estado da Bahia, a implementação de uma política de recursos hídricos foi regularizada em 1995 com a edição da Lei nº 6.855, que dispõe sobre a Política Estadual de Recursos Hídricos, seus objetivos, diretrizes e instrumentos. Dentre os instrumentos previstos nesta Lei, está o monitoramento de recursos hídricos.

Os objetivos do monitoramento da qualidade e da quantidade dos recursos hídricos são:

I - acompanhar as pressões antrópicas sobre os recursos hídricos de domínio estadual;

II - identificar a quantidade e a qualidade das águas e dos ambientes aquáticos;

III - avaliar a efetividade das medidas adotadas pelo sistema de gestão no controle e proteção dos recursos hídricos;

IV - gerar informações relativas às áreas prioritárias para a ação pública.

O monitoramento da qualidade das águas superficiais do Estado da Bahia é realizado pelo Instituto de Meio Ambiente e Recursos Hídricos - Inema, autarquia vinculada à Secretaria do Meio Ambiente – Sema, por meio do Programa Monitora, em andamento desde 2008. O Programa Monitora está sob a responsabilidade da Coordenação de Monitoramento do Meio Ambiente e Recursos Hídricos - Comon, pertencente à Diretoria de Recursos Hídricos e Monitoramento Ambiental - Diram. As atribuições da Comon estão fundamentadas no Artigo 58 do Decreto do Estado da Bahia nº 14.024 de 06 de Junho de 2012 que atribui ao órgão executor da Política Estadual de Meio Ambiente o monitoramento da qualidade do ar, do solo, da água e da biodiversidade para avaliar o atendimento aos padrões e metas estabelecidos e exigir a adoção das providências necessárias tendo como propósito o cumprimento de padrões estabelecidos. Assim como, no Artigo 27 da Lei Estadual nº 11.612 de 08 de Outubro de 2009 que confere ao órgão executor da Política

Estadual de Recursos Hídricos o monitoramento da qualidade e quantidade de recursos hídricos dentro de uma estratégia de gestão ambiental integrada.

A execução do Programa Monitora é realizada em parceria com o Centro de Desenvolvimento e Pesquisa (Ceped), que com corpo técnico especializado é o responsável pelas coletas e análises laboratoriais. A área de abrangência do Programa Monitora inclui locais estratégicos nos principais rios baianos. Desde sua criação, o programa vem buscando ampliar sua área de atuação, de modo a abranger a extensa malha hídrica do estado. De acordo com o Programa Nacional de Avaliação da Qualidade das Águas (PNQA) da Agência Nacional de Águas (ANA), a Bahia deveria monitorar uma densidade de 1 ponto/1000 Km^2, em função de sua extensão territorial. Assim sendo, desde sua implantação, o programa de monitoramento da qualidade da água da Bahia tem passado por ampliação de sua malha amostral para atingir sua meta de 566 pontos, segundo proposta do PNQA para sua rede no estado (Figura 1).

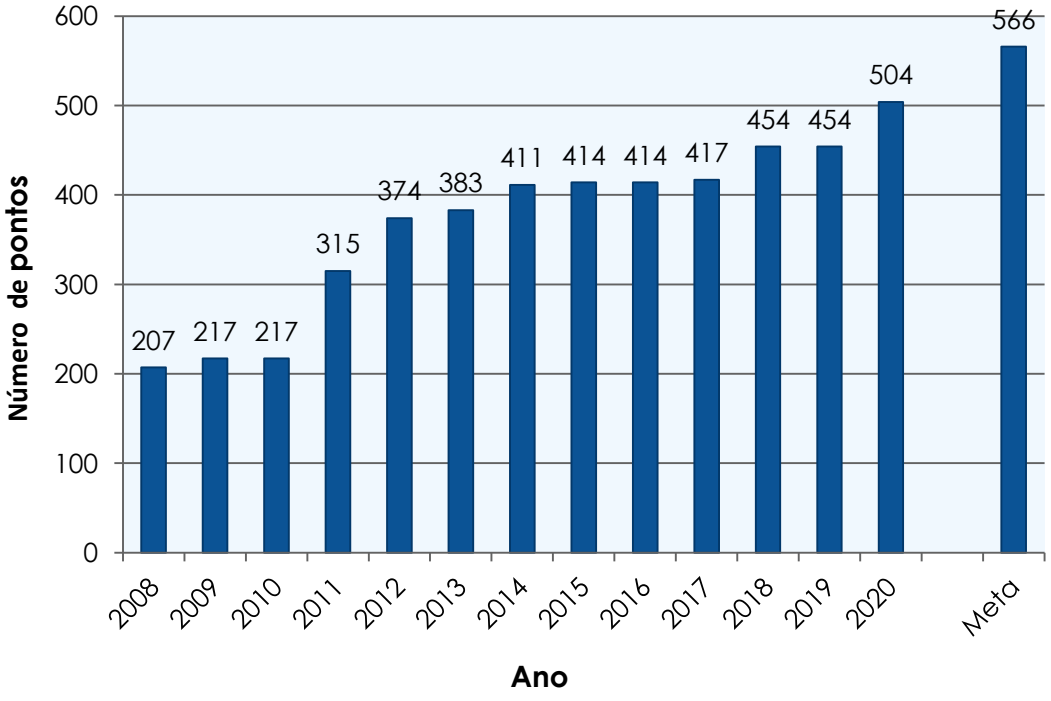


Figura 1. Evolução da rede amostral do Programa Monitora de 2008 a 2020.

2 PROCEDIMENTOS METODOLÓGICOS

2.1 DEFINIÇÃO DOS PONTOS DE AMOSTRAGEM E MÉTODOS DE COLETAS

Visando orientar o planejamento, a estruturação e implementação dos instrumentos da Política Estadual de Recursos Hídricos, o Conselho Estadual de Recursos Hídricos (CONERH) por meio da Resolução nº 88 de 2012 estabeleceu a divisão hidrográfica do Estado em 25 Regiões de Planejamento e Gestão das Águas (RPGAs).

As RPGAs são unidades físico-territoriais dentro das bacias hidrográficas do Estado e apresentam uma identidade regional, caracterizadas por aspectos físicos, sócio-culturais, econômicos e políticos. A Figura 2 apresenta a divisão territorial do Estado da Bahia em 25 RPGAs, que se apresentam agrupadas em dois grandes grupos, as RPGAs da Região Hidrográfica Nacional do Atlântico Leste, e as RPGAs da Região Hidrográfica Nacional do Rio São Francisco.

O Programa Monitora, no ano de 2020, contou com uma malha amostral de 504 pontos distribuídos nas 25 RPGAs no estado da Bahia. A definição da localização dos pontos de amostragem foi realizada considerando os usos múltiplos da água, os padrões de uso e ocupação do solo em cada RPGA (mineração, irrigação, obras, atividades industriais, abastecimento humano, densidade populacional) e as demandas da sociedade e da representação dos Comitês de Bacias.

Cada ponto é representado por um código, que contêm de maneira abreviada as seguintes informações na respectiva ordem: a RPGA na qual está inserido o ponto, o corpo de água em que está localizado, e sua posição ao longo do leito do corpo de água. Por exemplo, o ponto **PRG-JCP-100** está localizado na RPGA do Rio Paraguaçu **(PRG)**, no Rio Jacuípe **(JCP)**, próximo a sua cabeceira **(100)**. Por outro lado, o ponto **PRG-JCP-600**, também está localizado na RPGA do Rio Paraguaçu **(PRG)**, no Rio Jacuípe **(JCP)**, porém mais próximo à sua foz **(600)**.

A partir das informações dos códigos dos pontos de monitoramento, de suas coordenadas geográficas e da descrição de sua localização, as equipes da Comon e do Ceped, planejam a logística e o roteiro de campo para a realização das coletas.

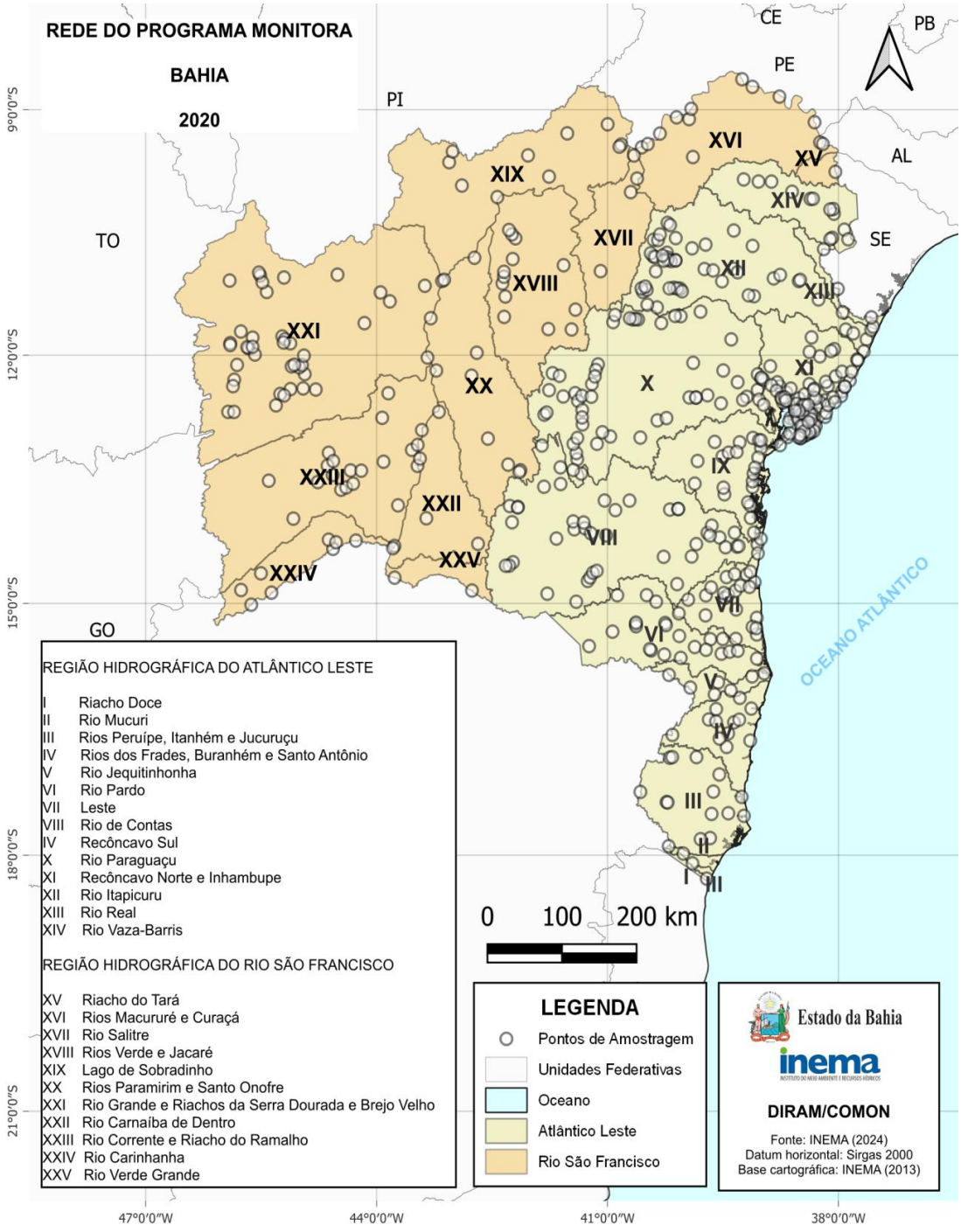


Figura 2. Malha amostral do Programa Monitora em 2020.

Todos os procedimentos de coleta, preservação, acondicionamento, transporte e análise das amostras seguem a metodologia preconizada no Standard Methods for the Examination of Water and Wastewater (2005) e pelo Guia Nacional de Coleta e Preservação de Amostras de Água da Cetesb (2011). As informações de campo dos

pontos de coleta são registradas em formulários por meio digital (código do ponto, data, hora, resultados medidos *in situ,* características do entorno e corpo d'água), sendo que três Fotos do local são registradas.

2.2 PARÂMETROS FÍSICOS, QUÍMICOS E BIOLÓGICOS

O Programa Monitora analisou 23 parâmetros de qualidade da água em 2020, distribuídos em três classes, físicos, químicos e biológicos:

- Físicos: série de sólidos (sólidos totais, sólidos dissolvidos e sólidos em suspensão), temperatura do ar, temperatura da água, transparência da água e turbidez.
- Químicos: alcalinidade total, cloreto, condutividade, demanda bioquímica de oxigênio (DBO), demanda química de oxigênio (DQO), fósforo total, nitrogênio nitrato, nitrogênio amoniacal, nitrogênio total, ortofosfato solúvel, oxigênio dissolvido (OD), percentual de saturação de oxigênio dissolvido, pH e salinidade.
- Biológicos: coliformes termotolerantes e clorofila *a*.

Estes parâmetros foram escolhidos com base na Resolução ANA 903/2013 que estabelece os parâmetros mínimos para o monitoramento da qualidade das águas na Rede Nacional de Monitoramento Qualidade das Águas (RNQA). Eles também foram selecionados para a realização do cálculo do Índice de Qualidade da Água (IQA) e do índice de Estado Trófico (IET). O significado ambiental de cada variável é apresentado no Quadro 1(CETESB, 2009).

Quadro 1. Significado ambiental das variáveis de qualidade da água.

Variáveis	Significado Ambiental
Físicas	
Série de Sólidos (totais, dissolvidos e em supensão)	Toda matéria que permanece como resíduo, após evaporação, secagem ou calcinação da amostra a uma temperatura pré-estabelecida durante um tempo fixado. Auxilia na detecção de poluição das águas naturais, principalmente por esgotos sanitários e por efluentes industriais.
Temperatura	Importante papel no controle do meio aquático, influenciando muitos parâmetros: viscosidade, tensão superficial, calor específico, calor latente de vaporização, condutividade térmica, pressão de vapor. Organismos aquáticos possuem limites de

	tolerância térmica superior e inferior, temperaturas ótimas para crescimento, temperatura preferida em gradientes térmicos e limitações de temperatura para migração, desova e incubação do ovo. A elevação da temperatura em um corpo d'água, geralmente, é provocada por despejos industriais e usinas termoelétricas.
Transparência da Água	Profundidade estimada da zona fótica, ou seja, a profundidade de penetração vertical da luz solar na coluna d'água, que indica o nível da atividade fotossintética de lagos ou reservatórios.
Turbidez	Grau de atenuação de intensidade que um feixe de luz sofre ao atravessar o ambiente aquático devido à presença de sólidos em suspensão, como partículas inorgânicas (areia, silte, argila) e de detritos orgânicos, como algas, bactérias e plâncton em geral.
Químicas	
Alcalinidade	Medida total de substâncias capazes de neutralizar ácidos presentes na água. Auxilia na determinação da dosagem das substâncias floculantes e fornece informações para o estudo de características corrosivas ou incrustantes da água.
Cloreto	Nas águas superficiais, são provenientes de descargas de esgotos sanitários e efluentes de indústrias do petróleo, indústrias farmacêuticas, curtumes, entre outros. Nas regiões costeiras, através da chamada intrusão da cunha salina, são encontradas águas com níveis altos de cloreto.
Condutividade	Capacidade da água em conduzir corrente elétrica. Indica a quantidade de sais existentes na coluna d'água, portanto, modificações na composição da água, especialmente na sua concentração mineral, podem ser detectadas. A medida que mais sólidos dissolvidos são adicionados, tendencialmente a condutividade da água aumenta.
Demanda Bioquímica de Oxigênio (DBO)	Quantidade de oxigênio necessária para oxidar a matéria orgânica por decomposição microbiana aeróbia para uma forma inorgânica estável. Aumento de DBO num corpo d'água é provocado por despejos de origem predominantemente orgânica. A presença de um alto teor de matéria orgânica pode induzir à completa ausência de oxigênio na água, provocando o desaparecimento de peixes e outras formas de vida aquática.
Demanda Química de Oxigênio (DQO)	Quantidade de oxigênio necessária para oxidação da matéria orgânica através de um agente químico. Parâmetro indispensável nos estudos de caracterização de esgotos sanitários e de efluentes industriais.
Fósforo Total	É considerado como o principal responsável pela limitação da produtividade primária, sendo adicionado via descargas sanitárias, industriais e/ou agrícolas ao meio ambiente. Quando em excesso, pode desencadear um alto desenvolvimento de algas, provocando o processo conhecido como eutrofização no meio aquático.
Nitrato	Principal fonte de nitrogênio para produtores primários. Indica condições sanitárias inadequadas, pois a principal fonte do

	nitrato são os dejetos humanos. O nitrato é o último estágio de decomposição das substâncias orgânicas nitrogenadas, por isso, sua presença indica uma poluição antiga.
Nitrogênio Amonical	Produto final da mineralização, aeróbica ou anaeróbica do nitrogênio orgânico, podendo ser gerado pela atividade de organismos heterotróficos por meio de diversas reações bioquímicas. Presente principalmente em zonas de decomposição ativa, onde há maior proximidade a esgotos sanitários.
Nitrogênio Total	Nitrogênio Total é a soma do nitrogênio presente na água em suas diferentes formas (orgânico, amonical, nitrito e nitrato). Os compostos de nitrogênio são nutrientes para processos biológicos. Quando em excesso nas águas naturais, junto com o fósforo e outros nutrientes, provocam o enriquecimento do meio, tornando-o eutrofizado.
Ortofosfato Solúvel	Representa uma fração do fosfato total, possuindo grande relevância, visto que é a forma de fósforo mais prontamente assimilável por algas e macrófitas aquáticas. Dessa forma, as concentrações de ortofosfato na água podem influenciar a composição das comunidades aquáticas.
Oxigênio Dissolvido (OD)	Oxigênio proveniente da atmosfera ou da fotossíntese de algas, dissolvido na água. É um dos parâmetros mais importantes para avaliação da qualidade da água em estudos ambientais, pois determina a capacidade dos corpos d'água em manter a vida aquática.
pH	Índice que indica a acidez, neutralidade ou alcalinidade de um meio aquoso. Determina a solubilidade (quantidade que pode ser dissolvida na água) e a disponibilidade biológica dos constituintes químicos, tais como os nutrientes (P, N e C) e metais pesados (Pb, Cu, Cd e outros).
Salinidade	É a soma dos sais dissolvidos na água.
Biológicas	
Coliformes Termotolerantes	Microrganismos associados com as fezes de animais de sangue quente. Considerado um bom parâmetro indicador da existência de microrganismos patogênicos, responsáveis pela transmissão de doenças de veiculação hídrica.
Clorofila *a*	Pigmento responsável pelo processo fotossintético, sendo indicador de biomasssa da flora aquática. Considerada a principal variável relacionada à resposta do corpo hídrico ao agente causador do estado trófico dos ambientes aquáticos.

2.3 ANÁLISE DOS RESULTADOS

Neste relatório é apresentada a compilação dos dados das três campanhas de amostragens executadas em 2020, com uma análise da qualidade dos recursos hídricos de cada RPGA feita separadamente. Vale destacar que neste ano, devido ao início e agravamento da pandemia do Coronavírus, foram realizadas apenas

três das quatro campanhas previstas, sendo que a segunda campanha foi feita parcialmente.

Para esta análise é realizada a avaliação da conformidade dos resultados encontrados em relação aos padrões de qualidade estabelecidos pela Resolução Conama nº 357 de 2005, que estabelece os limites mínimos e/ou máximos para os alguns parâmetros de qualidade. Para isso, os corpos de água avaliados são considerados, em razão do resultado de sua salinidade, em Água Doce - Classe 2 ou Água Salobra - Classe 1, classes definidas para os corpos d'água não enquadrados, como é o caso da maioria dos rios baianos. No caso de parâmetros que não constam na Resolução Conama 357/05 são feitas correlações específicas para discussão dos resultados.

Adicionalmente, são calculados dois índices, o Índice de Qualidade da Água (IQA) e o Índice de Estado Trófico (IET). Esses índices são usados para facilitar a interpretação dos dados, pois resumem, de maneira concisa e objetiva, o conjunto de informações obtidas. Além disso, na discussão dos resultados leva-se em consideração o registro dos relatórios de campo, tais como o tipo de ambiente, se lótico ou lêntico, e características do entorno dos corpos d'água.

2.4 INDICADORES DE QUALIDADE AMBIENTAL (IQA E IET)

O Índice de Qualidade da Água - IQA foi desenvolvido pela *National Sanitation Foundation* (NSF) dos Estados Unidos em 1970 e adaptado pela Companhia de Tecnologia de Saneamento Ambiental do Estado de São Paulo – Cetesb. Este índice incorpora 9 parâmetros mais relevantes para avaliação da qualidade das águas (CETESB, 2006): oxigênio dissolvido, coliforme termotolerantes, pH, DBO, nitrato, fósforo total, temperatura, turbidez e sólidos totais. A cada um desses parâmetros é atribuído um peso de acordo com sua importância (Quadro 2) e aplicado seguinte formulação:

$$IQA = \prod_{i=1}^{n} q_i^{w_i}$$

Onde:

IQA: Índice de Qualidade de Água – é um número variando de 0 a 100.

qi: qualidade do i-ésimo parâmetro, um número entre 0 a 100, obtido da "curva média de variação de qualidade", em função da sua concentração ou medida.

wi: peso correspondente ao i-ésimo parâmetro, um número entre 0 a 1, atribuído em função da sua importância para a conformação global de qualidade, portanto:

$$\sum_{i=1}^{n} w_i = 1$$

n: número de parâmetros que entram no cálculo do IQA.

Quadro 2. Parâmetros e pesos finais para determinação de IQA.

Parâmetros	Pesos
Oxigênio Dissolvido	0,17
Coliformes Termotolerantes	0,15
pH	0,12
DBO	0,10
Nitrogênio Total	0,10
Fósforo Total	0,10
Temperatura	0,10
Turbidez	0,08
Sólidos Totais	0,08

A partir dos valores de IQA obtidos, foram definidas classes de qualidade para intervalos de valores, conforme ilustra o Quadro 3.

Quadro 3. Classificação da qualidade da água em função do IQA.

Nível de Qualidade	Intervalo de IQA	Cor de referência
Ótima	79 < IQA < 100	Azul
Boa	51 < IQA < 79	Verde
Regular	36 < IQA < 51	Amarelo
Ruim	19 < IQA < 36	Vermelho
Péssima	0 < IQA < 19	Roxo

Considerando que o IQA é principalmente sensível a contaminação por esgotos associado à qualidade da água bruta captada para abastecimento público, pode-se sintetizar que as classes Ótima, Boa e Regular se referem às águas apropriadas para tratamento convencional visando o abastecimento público. Já as classes Ruim e Péssima se referem às águas impróprias para tratamento convencional visando o abastecimento público, sendo necessários tratamentos mais avançados (IGAM, 2012).

Outro índice utilizado é o Índice de Estado Trófico - IET que tem por finalidade classificar corpos de água em diferentes graus de trofia para avaliar a qualidade da água quanto ao enriquecimento por nutrientes, e o seu efeito relacionado ao crescimento excessivo das algas ou potencial para crescimento de macrófitas aquáticas.

Para o cálculo do Índice de Estado Trófico, são utilizadas duas variáveis: clorofila *a* e fósforo total. Nesse índice, o valor correspondente ao fósforo deve ser entendido como uma medida do potencial de eutrofização, já que este nutriente atua como o agente causador do processo. O valor correspondente à clorofila *a* por sua vez, deve ser considerado como uma medida da resposta do corpo hídrico ao agente causador, indicando de forma adequada o nível de crescimento de algas (CETESB, 2006).

O Índice do Estado Trófico é composto pelo Índice do Estado Trófico para o fósforo – IET(PT) e Índice do Estado Trófico para a clorofila *a* – IET(CL), sendo estabelecidos para ambientes lóticos e lênticos, segundo as equações (LAMPARELLI, 2004):

- **Rios (ambientes lóticos)**

$$IET(CL) = 10 \times (6 - ((-0{,}7 - 0{,}6 \times (\ln CL))/\ln 2)) - 20$$

$$IET(PT) = 10 \times (6 - ((0{,}42 - 0{,}36 \times (\ln PT))/\ln 2)) - 20$$

- **Reservatórios (ambientes lênticos)**

$$IET(CL) = 10 \times (6 - ((0{,}92 - 0{,}34 \times (\ln CL))/\ln 2))$$

$$IET(PT) = 10 \times (6 - (1{,}77 - 0{,}42 \times (\ln PT)/\ln 2))$$

onde:

PT: concentração de fósforo total medida à superfície da água, em $\mu g.L^{-1}$;

CL: concentração de clorofila *a* medida à superfície da água, em $\mu g.L^{-1}$;

ln: logaritmo natural.

O valor total do IET representa a média aritmética simples dos índices relativos ao fósforo total e a clorofila *a*, segundo a equação:

$$\mathbf{IET = [IET\ (PT) + IET\ (CL)] / 2}$$

Os intervalos de valores de IET estabelecidos para os níveis de trofia de rios e lagoas que definem as classes, bem como as características dos corpos de água enquadrados em tais classes são descritos no Quadro 4.

Quadro 4. Características das classes de IET dos corpos hídricos.

Classe de Estado Trófico	Intervalo de IET	Características do corpo hídrico
Ultraoligotrófico	IET < 47	Corpos de águas claras; valores muito baixo de nutrientes; baixa produtividade; nenhuma ou pouca planta aquática; areia ou rochas ao longo da maior parte da costa; elevado teor de oxigênio dissolvido e baixo prejuízo aos usos múltiplos da água.
Oligotrófico	47 < IET < 52	Corpos de águas claras; baixo enriquecimento com nutrientes; pouco desenvolvimento planctônico; baixa produtividade; poucas plantas aquáticas; areia ou rochas ao longo da maior parte da costa; peixes de água fria; elevado teor de oxigênio dissolvido e baixo prejuízo aos usos múltiplos da água.
Mesotrófico	52 < IET < 59	Corpos de águas com moderado enriquecimento com nutrientes; moderado crescimento planctônico; alguma acumulação de sedimentos na maior parte do fundo; e, em geral, suporta espécies de peixes de águas mais quentes, o prejuízo aos usos múltiplos da água é variável.
Eutrófico	59 < IET < 63	Corpos de água com elevado enriquecimento de nutrientes; redução da transparência; com crescimento planctônico (alta produtividade); extensa área coberta com plantas aquáticas; acumulação de sedimentos no fundo; baixos níveis de oxigênio dissolvido no fundo; contém apenas espécies de peixes de águas quentes e alto prejuízo aos usos múltiplos da água.

Supereutrófico	63 < IET < 67	Corpos de água com elevado enriquecimento de nutrientes; baixa transparência; elevado crescimento planctônico (alta produtividade); extensa área coberta com plantas aquáticas; muita acumulação de sedimentos no fundo; níveis de oxigênio dissolvido no fundo muito baixos; contém apenas espécies de peixes de águas quentes e alto prejuízo aos usos múltiplos da água.
Hipereutrófico	67 < IET	Corpos de água com enriquecimento máximo de nutrientes; número excessivo de algas e plantas aquáticas (ao ponto de impedir ou dificultar a navegação) e bastante prejuízo aos usos múltiplos da água. Exige intervenção do homem.

Fonte: http://portalpnqa.ana.gov.br/indicadores-estado-trofico.aspx

3 REGIÃO HIDROGRÁFICA DO ATLÂNTICO LESTE

3.1 RPGA DO RIACHO DOCE

3.1.1 CARACTERÍSTICAS DA RPGA

A RPGA do Riacho Doce é constituída pelas porções da bacia hidrográfica do Riacho Doce e sub-bacias dos afluentes da margem esquerda do Rio Itaúnas situadas no território do Estado da Bahia, desde os limites com Minas Gerais, desaguando no território do Estado do Espírito Santo.

Esta RPGA teve, ao longo de 2020, a qualidade de suas águas superficiais monitorada por meio de um ponto de amostragem, localizado conforme ilustra a Figura 3. A descrição da localização do ponto e as datas das coletas realizadas nas três campanhas são apresentados no Quadro 5.

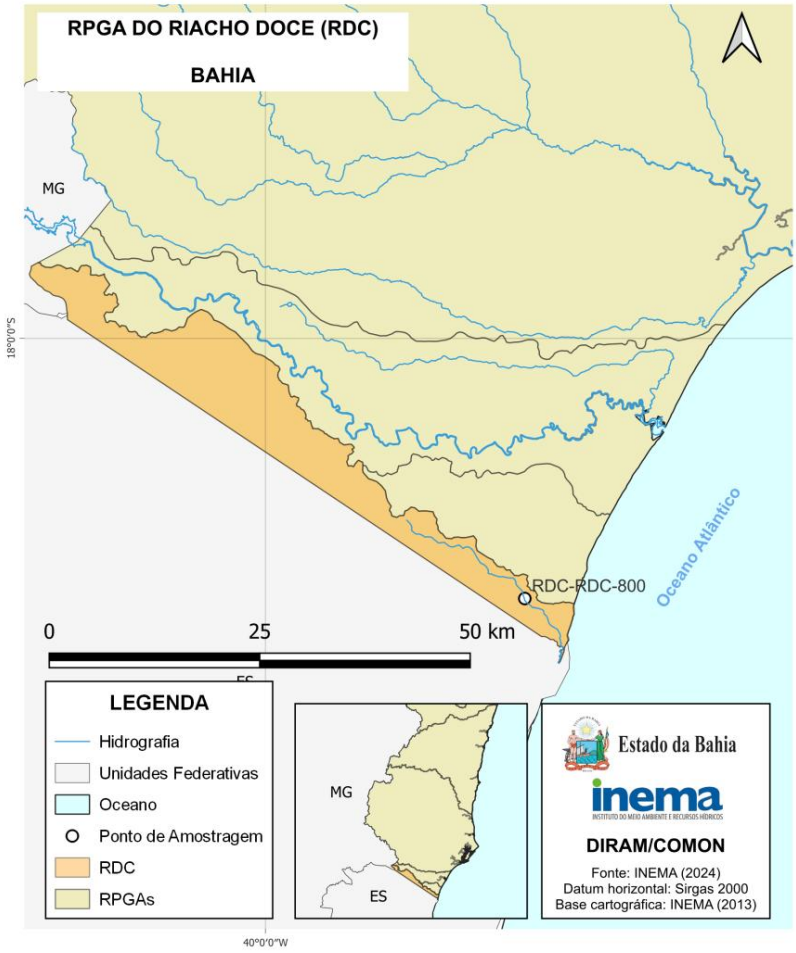
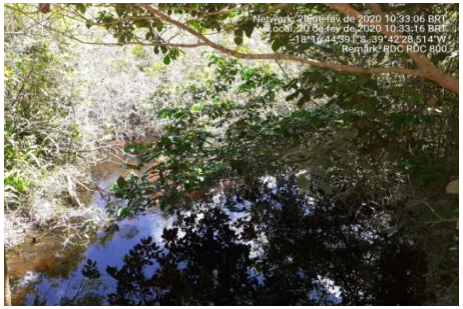


Figura 3. Mapa da distribuição da rede amostral na RPGA do Riacho Doce, Bahia.

Quadro 5. Caracterização geral dos pontos de amostragem da RPGA Riacho Doce, Bahia.

Código Coordenadas geográficas (SIRGAS 2000)	Corpo hídrico Município	Local de amostragem	Data da coleta	Registro Fotográfico
RDC-RDC-800 18°16'44,4" (S) 39°42'28,6" (W)	Riacho Doce Mucuri	Ponto localizado sob a ponte da estrada de acesso a praia Costa Dourada.	1ª campanha: 20/02/2020 2ª campanha: Não realizado 3ª campanha: 24/11/2020	

3.1.2 RESULTADOS E DISCUSSÃO

O único ponto de amostragem desta RPGA está situado no Riacho Doce, localizado no município de Mucuri. Este ponto apresentou nas duas campanhas realizadas ao longo do ano de 2020 concentrações de sais abaixo de 0,5 ‰, sendo classificado, conforme Resolução Conama 35705, como Água Doce - Classe 2.

O trecho monitorado neste corpo hídrico apresentou violações dos limites estabelecidos pela Resolução Conama 357/05 para os parâmetros oxigênio dissolvido, pH e DBO na primeira campanha, enquanto na terceira campanha não apresentou violações.

As Figuras 4 e 5 apresentam as classificações de IQA e IET obtidas para ponto RDC-RDC-800 ao longo das campanhas de 2020. Em relação ao IQA, as amostragens indicaram qualidade da água classificada como "Boa", indicando condições satisfatórias neste trecho. Para o IET, foi registrada a classificação "Mesotrófico" para ambas as campanhas realizadas, indicando nível de trofia moderado.

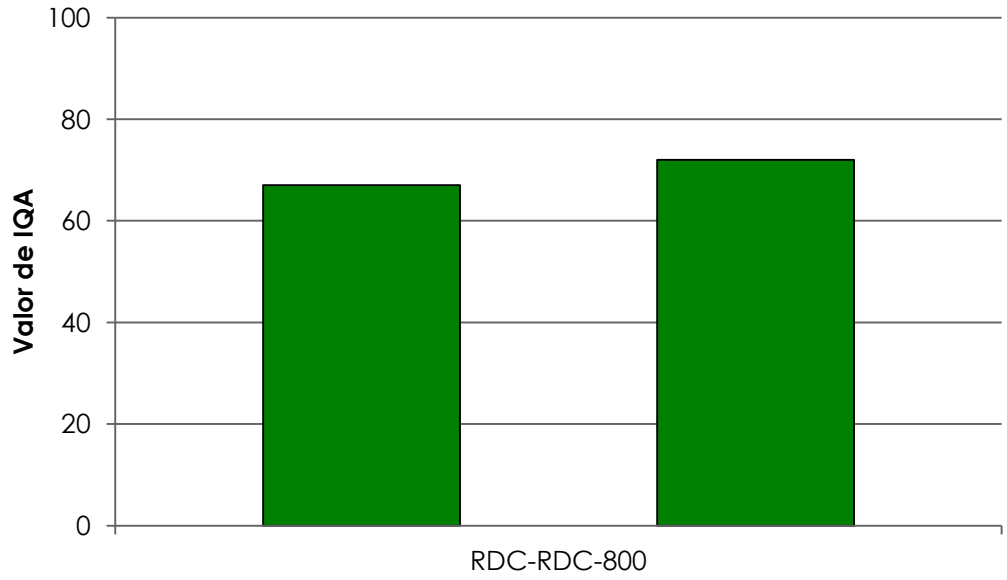


Figura 4. Classificações de IQA obtidas para a RPGA do Riacho Doce em 2020.

Quadro de referência para as classificações de IQA.

Ótimo	Bom	Regular	Ruim	Péssimo
79 < IQA ≤ 100	51 < IQA ≤ 79	36 < IQA ≤ 51	19 < IQA ≤ 36	IQA ≤ 19

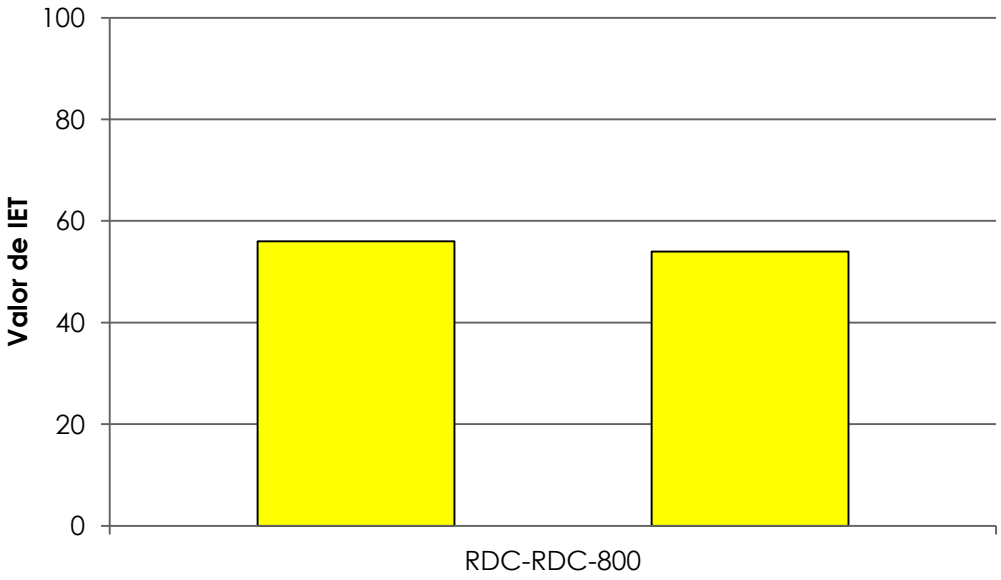


Figura 5. Classificações de IET obtidas para a RPGA do Riacho Doce em 2020.

Quadro de referência para as classificações de IET.

Ultraoligotrófico	Oligotrófico	Mesotrófico	Eutrófico	Supereutrófico	Hipereutrófico
IET≤47	47 <IET≤52	52<IET≤59	59<IET≤63	63<IET≤67	IET>67

As análises dos resultados obtidos nas duas campanhas de monitoramento realizadas em 2020 indicam que, as águas da RPGA do Riacho Doce apresentaram qualidade da água classificada como "Boa" com base no IQA, embora o trecho monitorado no Riacho Doce tenha apresentado violações aos limites de qualidade estabelecidos em legislação. Entretanto, vale destacar que este trecho apresentou para o IET a classificação "Mesotrófico" que indica a ocorrência de moderado enriquecimento de nutrientes.

3.2 RPGA DO RIO MUCURI

3.2.1 CARACTERÍSTICAS DA RPGA

A RPGA do Rio Mucuri é constituída pela porção da bacia hidrográfica do Rio Mucuri situada no território do Estado da Bahia, desde sua divisa com Minas Gerais até sua foz no Oceano Atlântico.

Esta RPGA teve, ao longo de 2020, a qualidade de suas águas superficiais monitorada por meio de três pontos de amostragens, distribuídos conforme ilustra a Figura 6. A descrição da localização dos pontos e as datas de coleta realizados nas três campanhas de 2020 são apresentados no Quadro 6.

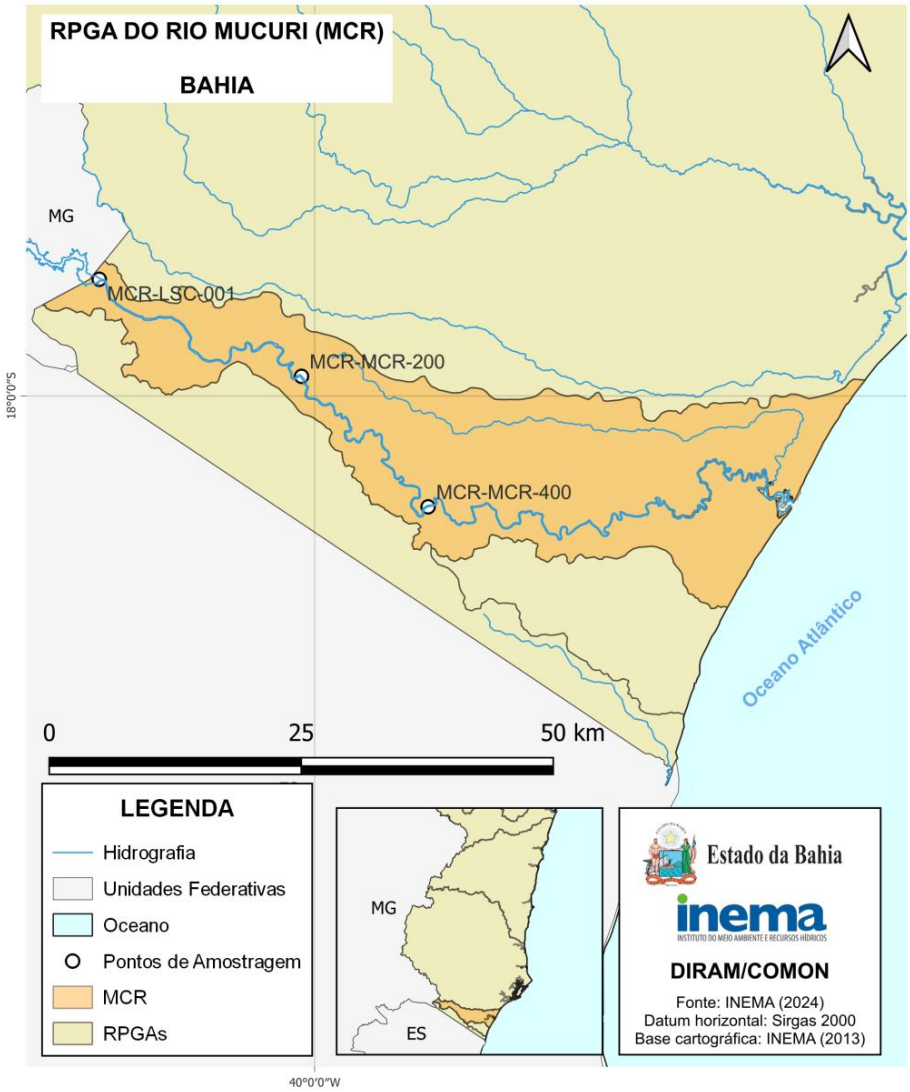


Figura 6. Mapa da distribuição da rede amostral na RPGA do Rio Mucuri, Bahia.

Quadro 6. Caracterização geral dos pontos de amostragem da RPGA do Rio Mucuri, Bahia.

Código Coordenadas geográficas (SIRGAS 2000)	Corpo hídrico Município	Local de amostragem	Data da coleta	Registro Fotográfico
MCR-LSC-001 17°53'44,0" (S) 40°12'9,0" (W)	Lago da Usina Santa Clara Mucuri	O acesso ao ponto se faz pela BR-418, próximo ao povoado de Amoresinho, divisa entre os estados da Bahia e Minas Gerais.	1ª campanha: 20/02/2020 2° campanha: Não realizado 3ª campanha: 24/11/2020	
MCR-MCR-200 17°58'56,7" (S) 40°0'44,2" (W)	Rio Mucuri Nova Viçosa	A jusante da empresa Suzano Papel e Celulose, situado na Fazenda do Cori, a aproximadamente 10 km da localidade de Argolo.	1ª campanha: 20/02/2020 2ª campanha: Não realizado 3° campanha: 24/11/2020	

MCR-MCR-400 18°5'56,80" (S) 39°53'35,60" (W)	Rio Mucuri Mucuri	Sob a ponte na BR-101, a jusante da entrada para o município de Mucuri.	1ª campanha: 20/02/2020 2ª campanha: Não realizado 3° campanha: 24/11/2020 (acesso interditado)	

3.2.2 RESULTADOS E DISCUSSÃO

Atualmente, a RPGA do Rio Mucuri contém três pontos de monitoramento, sendo dois no Rio Mucuri (MCR-MCR-200 e MCR-MCR-400) e um no Lago da Usina Santa Clara (MCR-LSC-001). O ponto MCR-LSC-001 não foi coletado na 3ª campanha de 2020 em razão de acesso interditado. Logo, não haverá dados de monitoramento para o mesmo nessa campanha. Todos os pontos apresentaram baixa concentração de sais nas três campanhas realizadas, sendo classificados, conforme Resolução Conama 357/05, como Água Doce - Classe 2.

Na primeira campanha realizada, os três pontos amostrais apresentaram concentrações elevadas para DBO, violando os padrões estabelecidos pela Resolução Conama n° 357/05. O trecho mais a jusante do Rio Mucuri, referente ao ponto MCR-MCR-400, apresentou concentração de oxigênio dissolvido abaixo do limite estabelecido (≥5,0 mg/L) na primeira campanha, além de concentrações acima do limite para fósforo total (≤ 0,1 mg/L) na primeira e terceira campanha.

A Resolução Conama 357/05 define que o limite da concentração de coliformes termotolerantes não exceda 1.000 coliformes termotolerantes por 100 mililitros em 80% ou mais de pelo menos seis amostras coletadas durante o período de um ano, com frequência bimestral tanto para águas doces, classe 2, quanto para salobras, classe 1. Utilizando esse valor como referência, observou-se que apenas o ponto MCR-MCR-400, situado em trecho médio do Rio Mucuri, apresentou elevada concentração para coliformes termotolerantes na terceira campanha de amostragem, com registro de 1700 NMP/100ml.

As Figuras 7 e 8 mostram a variação das classes de IQA e IET de cada ponto de amostragem da RPGA do Rio Mucuri, ao longo do ano de 2020. O número de campanhas em cada ponto varia devido a diferentes datas de início de coleta e disponibilidade hídrica.

Em relação ao IQA, todas as campanhas realizadas para todos os trechos monitorados na RPGA do Rio Mucuri indicaram qualidade da água classificada como "Boa", indicando resultados satisfatórios. Por outro lado, os resultados obtidos para o IET, indicam que os trechos monitorados no Rio Mucuri apresentam elevado nível de trofia decorrente do processo de enriquecimento de nutrientes. Já o trecho monitorado no Lago da Usina Santa Clara apresentou estado trófico classificado

como "Mesotrófico" na única campanha em que foi amostrado, indicando moderado enriquecimento de nutrientes.

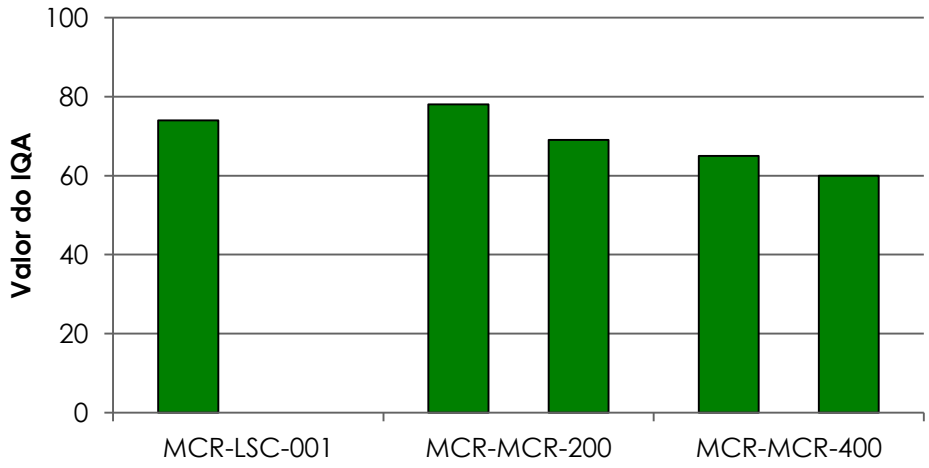


Figura 7. Classificações de IQA obtidas para a RPGA do Rio Mucuri em 2020.

Quadro de referência para as classificações de IQA.

Ótimo	Bom	Regular	Ruim	Péssimo
79 < IQA ≤ 100	51 < IQA ≤ 79	36 < IQA ≤ 51	19 < IQA ≤ 36	IQA ≤ 19

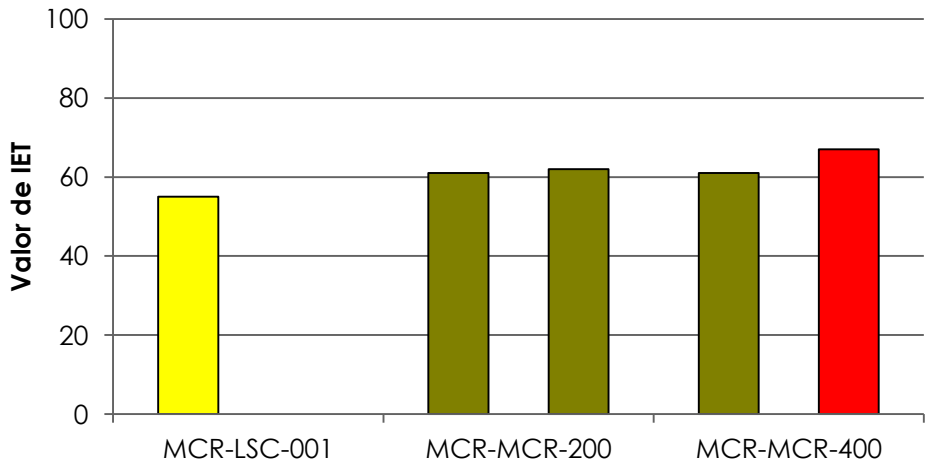


Figura 8. Classificações de IQA obtidas para a RPGA do Rio Mucuri em 2020.

Quadro de referência para as classificações de IET.

Ultraoligotrófico	Oligotrófico	Mesotrófico	Eutrófico	Supereutrófico	Hipereutrófico
IET≤47	47 <IET≤52	52<IET≤59	59<IET≤63	63<IET≤67	IET>67

Os dados obtidos através do monitoramento sistemático realizado em 2020 indicam que, embora a análise da qualidade das águas da RPGA do Rio Mucuri tenha apresentado resultados satisfatórios com base no IQA, esses corpos hídricos estão sob pressão das atividades antrópicas realizadas na região, evidenciado pelo elevado enriquecimento de nutrientes. Tal condição ambiental pode acarretar no comprometimento dos usos múltiplos da água e na manutenção da diversidade da biota aquática.

3.3 RPGA DOS RIOS PERUÍPE, INTANHÉM E JUCURUÇU

3.3.1 CARACTERÍSTICAS DA RPGA

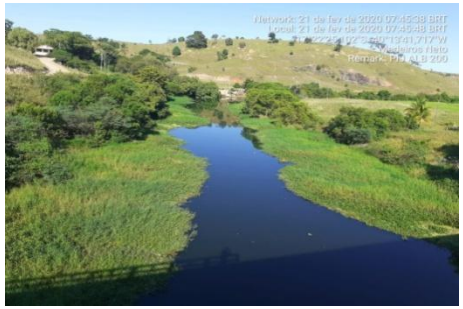
A RPGA dos Rios Peruípe, Intanhém e Jucuruçu é constituída pelas porções das bacias hidrográficas dos Rios Jucuruçu, Itanhém e Peruípe situadas no Estado da Bahia, desde sua divisa com Minas Gerais até sua foz no Oceano Atlântico, acrescida do Córrego do Meio.

Esta RPGA teve, ao longo de 2020, a qualidade de suas águas superficiais monitoradas por meio de 14 pontos de amostragens distribuídos conforme ilustra a Figura 9. A descrição da localização dos pontos, as datas de coleta e os registros fotográficos realizado nas quatro campanhas são apresentados no Quadro 7.



Figura 9. Mapa da distribuição da rede amostral na RPGA dos Rios Peruípe, Itanhém e Jucuruçu, Bahia.

Quadro 7. Caracterização geral dos pontos de amostragem da RPGA dos Rios Peruípe, Itanhém e Jucuruçu, Bahia.

Código Coordenadas geográficas (SIRGAS 2000)	Corpo hídrico Município	Local de amostragem	Data da coleta	Registro Fotográfico
PIJ-ALB-050 17°15'8,0" (S) 40°34'13,0" (W)	Rio Alcobaça Itanhém	Localizado no rio Alcobaça que neste trecho é também conhecido como Itanhém, no município de Itanhém, próximo do município de Umburatiba/MG.	1ª Campanha: 21/02/2020 2ª Campanha: Não realizado 3° Campanha: 25/11/2020	
PIJ-ALB-200 17°22'23,0" (S) 40°13'50,7" (W)	Rio Alcobaça Medeiros Neto	Ponto localizado imediatamente a montante da cidade de Medeiros Neto, sob a ponte da BA-290 (Teixeira de Freitas – Medeiros Neto).	1ª Campanha: 21/02/2020 2ª Campanha: Não realizado 3° Campanha: 25/11/2020	

PIJ-ALB-230 17°22'37,0" (S) 40°12'56,0" (W)	Rio Alcobaça Medeiros Neto	Ponto localizado a jusante da cidade de Medeiros Neto, na zona rural do município.	1ª Campanha: 21/02/2020 2ª Campanha: Não realizado 3° Campanha: 25/11/2020	
PIJ-ALB-500 17°30'46,96" (S) 39°38'42,54" (W)	Rio Alcobaça Teixeira de Freitas	Ponte na estrada entre Teixeira de Freitas e Alcobaça, a 48 km de Alcobaça e 2 km da BR-101.	1ª Campanha: 20/02/2020 2ª Campanha: Não realizado 3° Campanha: 25/11/2020	
PIJ-ALB-700 17°30'19,3" (S) 39°25'38,5" (W)	Rio Alcobaça Alcobaça	Na estrada BA-290 que liga Teixeira de Freitas a Alcobaça, no povoado de Vista Alegre.	1ª Campanha: 20/02/2020 2ª Campanha: Não realizado 3° Campanha: 25/11/2020	

PIJ-ALB-900 17°32'10,0" (S) 39°13'28,0" (W)	Rio Alcobaça Alcobaça	Localizado sob a ponte da BA-001 a 2,4 km, no sentido sul do entroncamento que dá acesso a cidade de Alcobaça.	1ª Campanha: 20/02/2020 2ª Campanha: Não realizado 3° Campanha: 25/11/2020	
PIJ-JUC-900 17°18'39,0" (S) 39°15'12,0" (W)	Rio Jucuruçu Prado	Ponto situado no rio Jucuruçu, na saída do município de Prado pela BR-489	1ª Campanha: 20/02/2020 2ª Campanha: Não realizado 3° Campanha: 25/11/2020	
PIJ-JUN-100	Rio Jucuruçu Jucuruçu	Localizado no rio Jucuruçu, a uma distância de aproximadamente 4km à montante da sede do município.	1ª Campanha: 21/02/2020 2ª Campanha: Não realizado 3ª Campanha: 26/11/2020	Sem foto.

PIJ-JUN-120	Rio Jucuruçu Jucuruçu	Localizado no rio Jucuruçu, na área urbana do municipio de Jucuruçu.	1ª Campanha: Não realizado 2ª Campanha: Não realizado 3ª Campanha: 26/11/2020	
PIJ-JUN-250 16°50'17,9" (S) 39°50'28,8" (W)	Rio Jucuruçu Braço Norte Itamaraju	Localizado na estrada de Itamaraju para Cajuíta/Guaratinga.	1ª Campanha: 21/02/2020 2ª Campanha: Não realizado 3° Campanha: 26/11/2020	
PIJ-JUN-400 17°2'42,4" (S) 39°32'40,2" (W)	Rio Jucuruçu Braço Norte Itamaraju	Acesso pela BR-101, entrada à esquerda após a ponte, bairro de Vargem Alegre.	1ª Campanha: 20/02/2020 2ª Campanha: Não realizado 3° Campanha: 25/11/2020	

PIJ-JUS-400	Rio Jucuruçu Braço Sul Vereda	Localizado no rio Jucuruçu Braço Sul, sob a ponte da BR 101, aproximadamente 29 km da cidade de Itamaraju, sentido Teixeira de Freitas.	1° Campanha: 21/02/2020 2° Campanha: Não realizado 3° Campanha: 26/11/2020	
PIJ-PRN-600	Rio Peruípe do Norte Nova Viçosa	Localizado a montante do Viveiro de mudas da empresa FIBRIA , no Distrito de Helvécia.	1ª Campanha: Não realizado 2ª Campanha: Não realizado 3ª Campanha: 24/11/2020	
PIJ-PRP-400	Rio Peruípe do Sul Ibirapoã	Sob ponte na BR-101, à 32 km no sentido Teixeira de Freitas / Itabatã, próximo a localidade de Bela Vista.	1° Campanha: 20/02/2020 2° Campanha: Não realizado 3° Campanha: 24/11/2020	

3.3.2 RESULTADOS E DISCUSSÃO

Devido à baixa concentração de sais, a maioria dos pontos da malha amostral desta RPGA foi classificada, conforme Resolução Conama nº 357 de 2005, como Água Doce - Classe 2, com exceção dos pontos PIJ-ALB-900 e PIJ-JUC-900 que foram classificados como Água Salobra - Classe 1.

O rio Alcobaça é monitorado por meio de seis pontos de monitoramento, sendo eles: PIJ-ALB-050, PIJ-ALB-200, PIJ-ALB-230, PIJ-ALB-500, PIJ-ALB-700 e PIJ-ALB-900. Ao longo do curso hídrico, foi observado que todos os pontos apresentaram parâmetros em desconformidade com os padrões de qualidade estabelecidos em legislação, em pelo menos uma das campanhas realizadas. Foram observadas violações dos limites para oxigênio dissolvido, DBO e fósforo total.

A Resolução do Conama 357/05 define que o limite da concentração de coliformes termotolerantes não exceda 1.000 coliformes termotolerantes por 100 mililitros em 80% ou mais de pelo menos 6 amostras coletadas durante o período de um ano, com frequência bimestral tanto para águas doces, classe 2, quanto para salobras, classe 1. Utilizando esse limite como referência, observou-se que apenas o ponto PIJ-ALB-700 não apresentou elevada concentração para este parâmetro em nenhuma das campanhas.

Com relação ao IQA, a maioria dos pontos apresentou qualidade da água classificada como "Boa", com exceção do ponto PIJ-ALB-230 que apresentou a classificação "Regular" nas duas campanhas realizadas e o ponto PIJ-ALB-900 que apresentou resultado semelhante na primeira campanha deste ano. De acordo com o IET, os pontos localizados no Rio Alcobaça apresentaram, em sua maioria, classificação "Mesotrófica", caracterizando águas com nível moderado de eutrofização. Entretanto, vale destacar que o ponto PIJ-ALB-700 apresentou a classificação "Eutrófico" para as duas campanhas realizadas, enquanto os pontos PIJ-ALB-500 e PIJ-ALB-900 apresentaram a mesma classificação na primeira campanha.

O rio Jucuruçu possui dois afluentes conhecidos como Jucuruçu Braço Norte e Jucuruçu Braço Sul. Nesta bacia estão situados três pontos de monitoramento no Rio Jucuruçu Braço Norte (PIJ-JUN-100, PIJ-JUN-120 e PIJ-JUN-250), um ponto no rio

Jucuruçu Braço Sul (PIJ-JUS-400) e um ponto situado no trecho final propriamente chamado de Rio Jucuruçu (PIJ-JUC-900).

Nesta bacia, foram observadas violações dos limites estabelecidos em legislação para os parâmetros DBO, OD, nitrogênio amoniacal e fósforo total, além de concentrações elevadas para coliformes termotolerantes para a maioria dos pontos. No rio Jucuruçu Braço Norte foram observadas violações para DBO para a primeira campanha de todos os pontos, além de baixa concentração de OD para o trecho mais a jusante (PIJ-JUN-400). Já no rio Jucuruçu Braço Sul foram observadas violações dos padrões para DBO, OD e fósforo total, enquanto no trecho final do rio Jucuruçu (PIJ-JUC-900) foram observadas violações para os parâmetros nitrogênio amoniacal e OD.

Os valores obtidos para o Índice de Qualidade das Águas (IQA) na bacia do Rio Jucuruçu indicam que todos os trechos monitorados nesse ano apresentaram qualidade da água classificada como "Boa". Sobre o Índice de Estado Trófico (IET), a maioria dos pontos obteve a classificação "Mesotrófico", indicando moderado enriquecimento de nutrientes nesses trechos, com exceção apenas dos trechos mais a montante no rio Jucuruçu Braço Norte (PIJ-JUN-100 e PIJ-JUN-120) que apresentaram a classificação "Oligotrófico".

A Bacia do Rio Peruípe é monitorada através de dois pontos situados nos rios Peruípe do Sul (PIJ-PRP-400) e Peruípe do Norte (PIJ-PRN-600). O trecho monitorado no rio Peruípe do Sul apresentou violações dos padrões para DBO, OD e fósforo total. Além disso, vale destacar que este trecho apresentou concentração bastante elevada para coliformes termotolerantes na terceira campanha de amostragem, com registro de 16000 NMP/100ml. Por outro lado, o trecho monitorado no rio Peruípe do Norte, amostrado apenas em uma campanha neste ano, não apresentou violações para nenhum dos parâmetros analisados.

Na Figura 10, observa-se a frequência de parâmetros em desconformidade com os limites de qualidade estabelecidos na Resolução Conama 357/05 considerando toda a RPGA dos Rios Peruípe, Itanhém e Jucuruçu. Das 26 amostragens realizadas, 43% apresentaram valores acima do limite para DBO e 42% para concentrações de oxigênio dissolvido abaixo do limite permitido pela legislação. Além desses, também

foram observadas violações para os parâmetros fósforo total (12%), nitrogênio amoniacal (8%) e pH (8%).

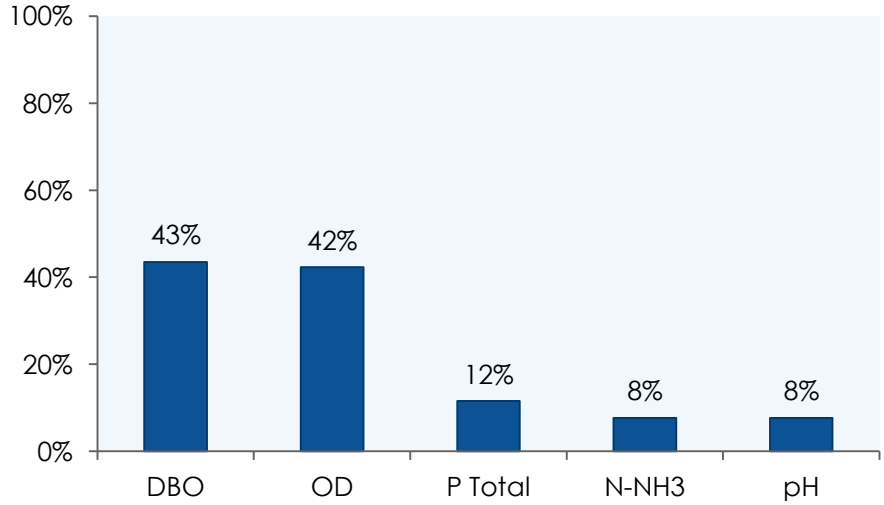


Figura 10. Frequência relativa (%) de violações para a RPGA do Rio Peruípe, Itanhém e Jucuruçu em 2020.

As Figuras 11 a 14 mostram a variação das classes de IQA e do IET de cada ponto de amostragem da RPGA dos Rios Peruípe, Itanhém e Jucurruçu ao longo do monitoramento realizado em 2020. O número de campanhas em cada ponto varia, devido às diferentes datas de início de monitoramento e possibilidade de amostragem.

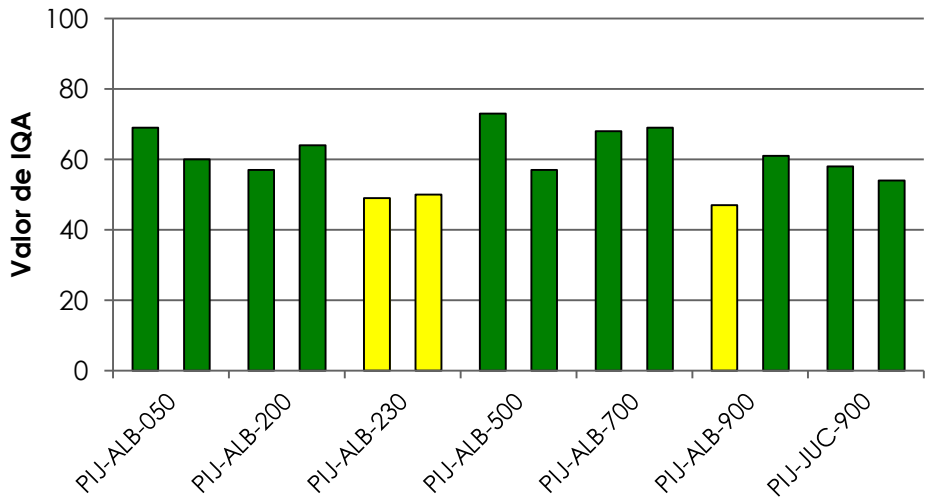


Figura 11. Classificações de IQA obtidas para a RPGA dos Rios Peruípe, Itanhém e Jucuruçu em 2020.(1)

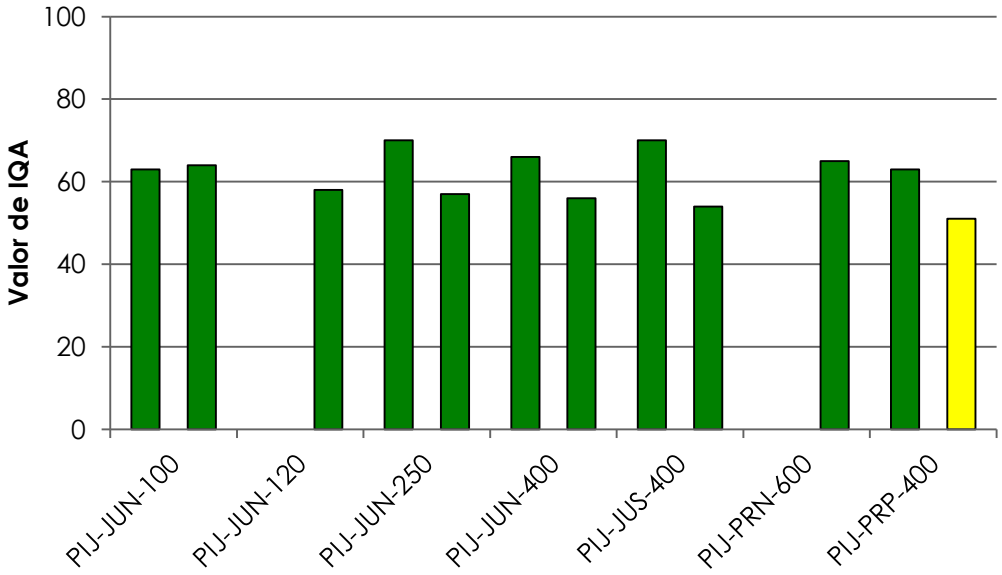


Figura 12. Classificações de IQA obtidas para a RPGA dos Rios Peruípe, Itanhém e Jucuruçu em 2020.(2)

Quadro de referência para as classificações de IQA.

Ótimo	Bom	Regular	Ruim	Péssimo
79 < IQA ≤ 100	51 < IQA ≤ 79	36 < IQA ≤ 51	19 < IQA ≤ 36	IQA ≤ 19

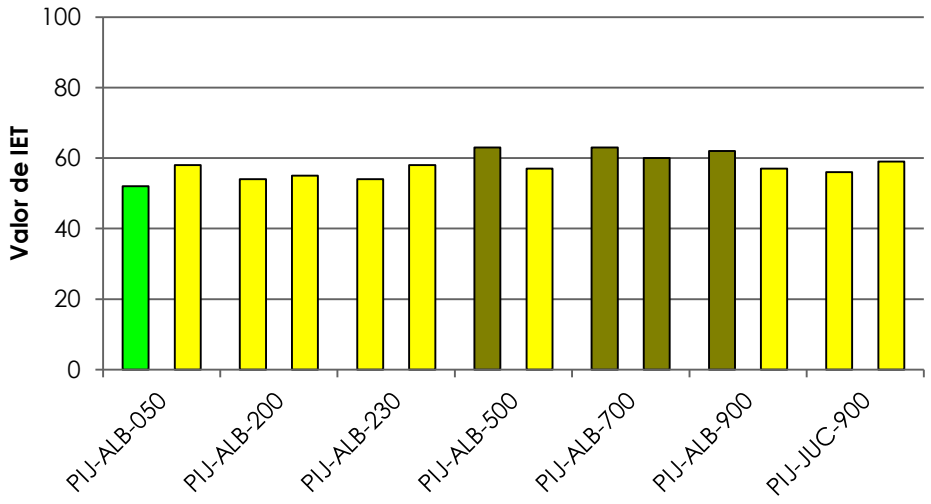


Figura 13. Classificações de IET obtidas para a RPGA dos Rios Peruípe, Itanhém e Jucuruçu em 2020.(1)

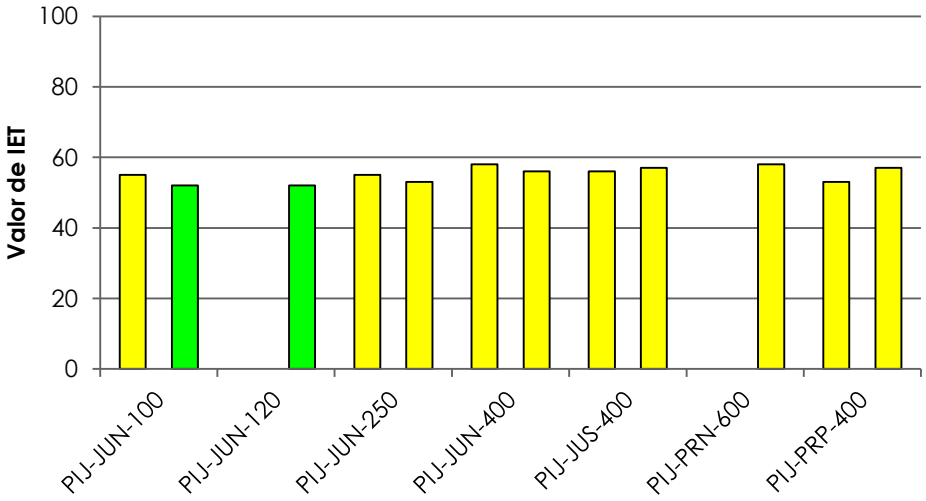


Figura 14. Classificações de IET obtidas para a RPGA dos Rios Peruípe, Itanhém e Jucuruçu em 2020.(2)

Quadro de referência para as classificações de IET.

Ultraoligotrófico	Oligotrófico	Mesotrófico	Eutrófico	Supereutrófico	Hipereutrófico
IET≤47	47 <IET≤52	52<IET≤59	59<IET≤63	63<IET≤67	IET>67

Todos os pontos da RPGA dos Rios Peruípe, Itanhém e Jucuruçu apresentaram qualidade da água classificada como "Boa" ou "Regular" segundo o IQA, em todas as amostragens. Os resultados obtidos para o IET indicam que a maioria dos pontos desta RPGA apresenta nível moderado de trofia, com exceção de parte dos trechos do rio Alcobaça que apresentou os maiores níveis de trofia.

Em síntese, os resultados obtidos neste ano de monitoramento indicam que as águas da RPGA dos Rios Peruípe, Itanhém e Jucuruçu apresentam condições satisfatórias, entretanto, nota-se o processo de enriquecimento de nutrientes moderado para a maioria dos trechos monitorados, como conseqüência das atividades antrópicas.

3.4 RPGA DOS RIOS DOS FRADES, BURANHÉM E SANTO ANTÔNIO

3.4.1. CARACTERÍSTICAS DA RPGA

A RPGA dos Rios dos Frades, Buranhém e Santo Antônio é constituída pelas bacias hidrográficas dos Rios Santo Antônio, João de Tiba, Frades, Caraíva, Queimado e pequenos rios próximos à linha de costa, além da porção estadual do Rio Buranhém, que deságuam no Oceano Atlântico.

Esta RPGA teve, ao longo de 2020, a qualidade de suas águas superficiais monitorada por meio de 12 pontos de amostragens, distribuídos conforme ilustra a Figura 15. A descrição da localização dos pontos, as datas de coleta e os registros fotográficos realizados nas quatro campanhas são apresentados no Quadro 8.

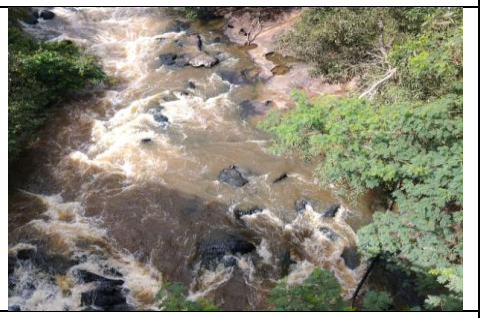


Figura 15. Mapa da distribuição da rede amostral na RPGA do Rio dos Frades, Buranhém e Santo Antônio, Bahia.

Quadro 8. Caracterização geral dos pontos de amostragem da RPGA do Rio dos Frades, Buranhém e Santo Antônio, Bahia.

Código Coordenadas geográficas (SIRGAS 2000)	Corpo hídrico Município	Local de amostragem	Data da coleta	Registro Fotográfico
FBS-BRA-900 16°33'21,9" (S) 39°25'47,5" (W)	Rio Braço Norte Itabela	Ponto situado a 14 km da cidade de Itabela no sentido leste até o município de Porto Seguro.	1ª campanha: 04/03/2020 2ª campanha: Não realizada 3ª campanha: 01/12/2020	
FBS-BRH-250 16° 23' 26" (S) 39° 40' 53" (W)	Rio Buranhém Eunápolis	Saindo de Eunápolis em direção ao povoado de colônia na BR367 (estrada de chão batido), passando este povoado percorre cerca de 3 km e vira esquerda até a ponte, vira novamente à esquerda até a porteira da fazenda.	1ª campanha: 03/03/2020 2ª campanha: Não realizada 3ª campanha: 01/12/2020	

FBS-BRH-300 16°24'48,2" (S) 39°35'14,3" (W)	Rio Buranhém Eunápolis	Ponte na BR-101, após acesso à cidade de Eunápolis, na direção sul.	1ª campanha: 04/03/2020 2ª campanha: Não realizada 3ª campanha: 01/12/2020	
FBS-BRH-450 16°25'27" (S) 39°21'13" (W)	Rio Buranhém Porto Seguro	Sob a ponte em uma estrada de terra (Rua Rodagem Vermelha), localidade de Batalha, após a Agrovila de Ibiruçu de Dentro.	1ª campanha: Não realizada 2ª campanha: Não realizada 3ª campanha: 02/12/2020	Sem foto.
FBS-BRH-500 16°23'34,1" (S) 39°17'9,6" (W)	Rio Buranhém Porto Seguro	Ponte sob a BA-001, no sentido de Arraial D'Ajuda, após entroncamento com a BA-367, que liga Eunápolis a Porto Seguro.	1ª campanha: 04/03/2020 2ª campanha : Não realizada 3ª campanha: 02/12/2020	Sem foto.

FBS-CIV-400 16°43'2,6" (S) 39°26'59,3" (W)	Rio Caraíva Itabela	Sob a ponte na BR-101, próximo ao povoado de Monte Pascoal, no município de Itabela.	1ª campanha: 03/03/2020 2ª campanha : Não realizada 3ª campanha: 01/12/2020	
FBS-FRD-300 16°37'03,55" (S) 39°32'30,19" (W)	Rio dos Frades Itabela	Trecho que liga Eunápolis a Itabela, na ponte sob a BR-101.	1ª campanha: 04/03/2020 2ª campanha : Não realizada 3ª campanha: 01/12/2020	
FBS-FRD-800 16°38'31,0" (S) 39°8'32,2" (W)	Rio dos Frades Porto Seguro	Ponto localizado sob a ponte da estrada que liga o povoado de Trancoso a Caraíva.	1ª campanha: 04/03/2020 2ª campanha : Não realizada 3ª campanha: 02/12/2020	

FBS-JTB-200 16°15'57,84" (S) 39°35'5,17" (W)	Rio João de Tiba Eunápolis	Sob a ponte na BR-101, a jusante do povoado de Mundo Novo, no km 701. Neste trecho, o rio João de Tiba é conhecido como Santa Cruz.	1ª campanha: 04/03/2020 2ª campanha : Não realizada 3ª campanha: 02/12/2020	Sem Foto.
FBS-JTB-400 16°15'35,80" (S) 39°7'43,50" (W)	Rio João de Tiba Santa Cruz Cabrália	Ponte sob a BA-683, trecho do povoado de Ponto Central, no sentido de Santa Cruz de Cabrália.	1ª campanha: 20/02/2020 2ª campanha : Não realizada 3ª campanha: 26/11/2020	
FBS-PEX-050 16°34'25,27" (S) 40°9'14,60" (W)	Rio do Peixe Guaratinga	Ponto localizado no rio também conhecido como Buranhém, a jusante do município de Santo Antônio do Jacinto/MG, na divisa BA/MG.	1ª campanha: 04/03/2020 2ª campanha : Não realizada 3ª campanha: Não realizada	

FBS-STA-100 16°7'56,0" (S) 39°16'43,8" (W)	Rio Santo Antônio Santa Cruz Cabrália	Sob a ponte da BA-683 sobre o rio Santo Antônio, aproximadamente 3,3 km do trecho que liga as comunidades de Barrolândia a Ponto Central.	1ª campanha: 20/02/2020 2ª campanha: Não realizada 3ª campanha: 26/11/2020	Sem foto.

4.1.2 RESULTADOS E DISCUSSÃO

Devido à baixa concentração de sais, os 12 pontos de monitoramento desta RPGA foram classificados, conforme Resolução Conama nº 357 de 2005, como Água Doce - Classe 2.

Neste ano de 2020, a RPGA dos Rios Frades, Buranhém e Santo Antônio apresentou violações dos limites de qualidade estabelecidos na Resolução Conama 357/05 para os parâmetros DBO (23%), oxigênio dissolvido (9%), turbidez (4,5%), clorofila *a* (4,5%), e pH (4,5%) (Figura 16). Apenas 7 das 22 amostragens realizadas nesta RPGA apresentaram violação para pelo menos um dos parâmetros de qualidade analisados.

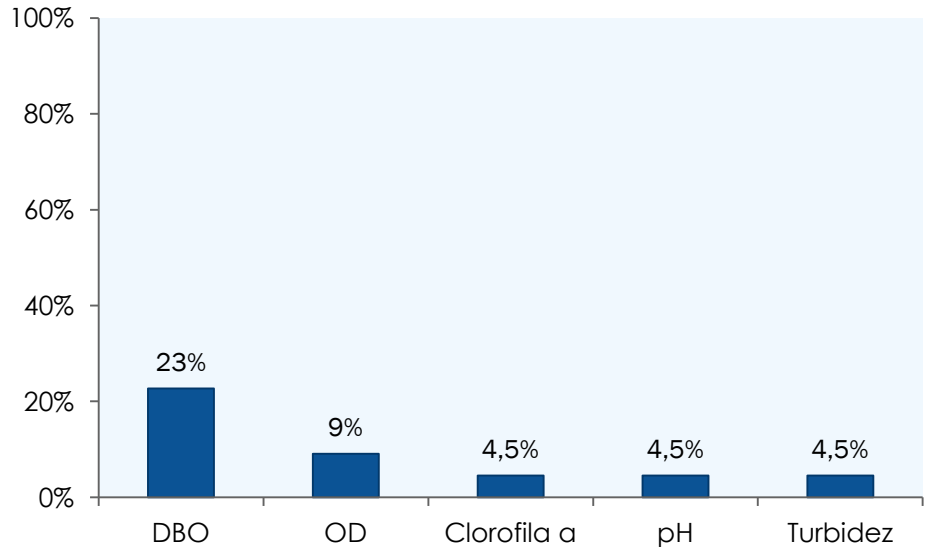


Figura 16. Frequência relativa (%) de violações para a RPGA do Rio dos Frades, Buranhém e Santo Antônio em 2020.

Violações dos limites estabelecidos para a concentração de DBO em águas superficiais foram observadas nos pontos situados nos rios Braço Norte (FBS-BRA-900), Buranhém (FBS-BRH-300 e FBS-BRH-450), João de Tiba (FBS-JTB-400) e Santo Antônio (FBS-STA-100). Concentrações abaixo do valor mínimo estabelecido para oxigênio dissolvido foram observadas nos trechos monitorados no rio dos Frades (FBS-FRD-800) e rio João de Tiba (FBS-JTB-200). Ademais, foram observadas violações dos limites

estabelecidos para clorofila a no trecho monitorado no rio Santo Antônio (FBS-STA-100), além de violação do limite para pH e turbidez no trecho monitorado no rio dos Frades (FBS-FRD-800).

O parâmetro coliformes termotolerantes, segundo a Resolução Conama 357/05, não pode exceder 1.000 coliformes termotolerantes por 100 mililitros em 80% ou mais de pelo menos 6 amostras coletadas durante o período de um ano, com frequência bimestral tanto para águas doces - classe 2, quanto para salobras - classe 1. Utilizando este valor como referência, observa-se que a maioria dos pontos apresentou elevadas concentrações para coliformes termotolerantes para pelo menos uma das campanhas realizadas, com exceção apenas dos pontos situados no rio Buranhém (FBS-BRH-300) e rio do Peixe (FBS-PEX-050).

As Figuras 17 e 18 apresentam as classificações de IQA e IET para cada ponto de amostragem da RPGA dos Rios dos Frades, Buranhém e Santo Antônio ao longo das campanhas realizadas em 2020. O número de campanhas em cada ponto varia devido às diferentes datas de início de monitoramento e disponibilidade hídrica.

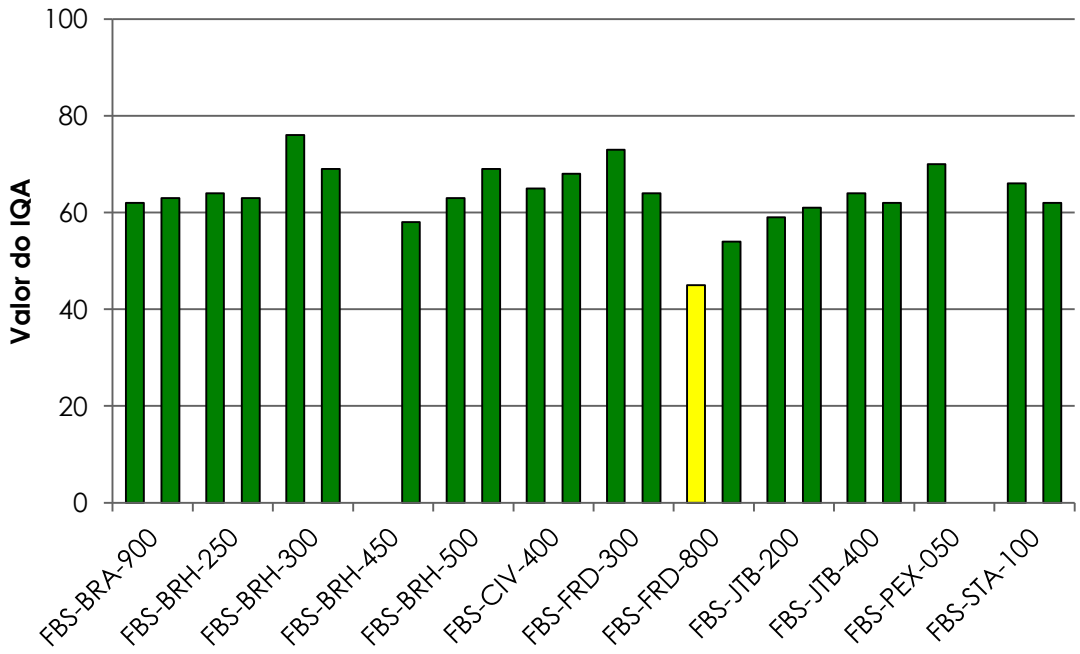


Figura 17. Classificações de IQA obtidas para a RPGA dos Rios Frades, Buranhém e Santo Antônio em 2020.

Quadro de referência para as classificações de IQA.

Ótimo	Bom	Regular	Ruim	Péssimo
79 < IQA ≤ 100	51 < IQA ≤ 79	36 < IQA ≤ 51	19 < IQA ≤ 36	IQA ≤ 19

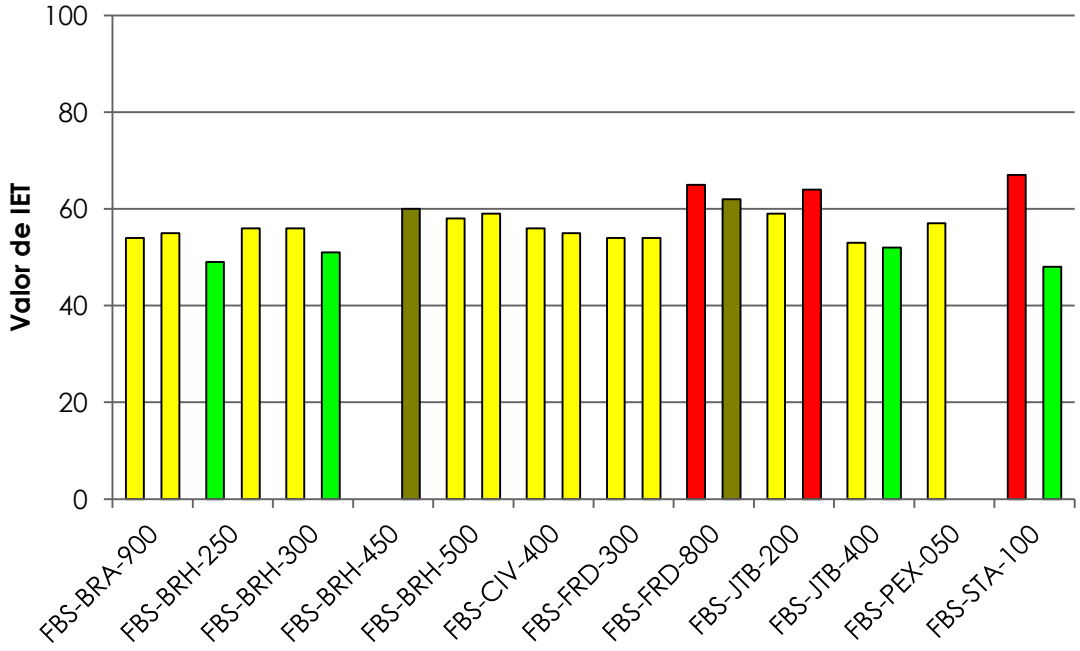


Figura 18. Classificações de IET obtidas para a RPGA dos Rios Frades, Buranhém e Santo Antônio em 2020.

Quadro de referência para as classificações de IET.

Ultraoligotrófico	Oligotrófico	Mesotrófico	Eutrófico	Supereutrófico	Hipereutrófico
IET≤47	47 <IET≤52	52<IET≤59	59<IET≤63	63<IET≤67	IET>67

Com relação aos indicadores de qualidade, pode-se observar certa homogeneidade entre pontos em relação às classes obtidas. Com base no IQA, a maioria dos trechos teve a qualidade de suas águas classificadas como "Bom" em todas as campanhas, com exceção do ponto FBS-FRD-800, que na primeira campanha de 2020, apresentou classificação "Regular". Já os resultados obtidos para o IET, apontam que a maioria das campanhas de amostragens foi classificada como "Mesotrófico", seguido das classes "Oligotrófico", "Supereutrófico" e

"Eutrófico". Os melhores índices foram observados para os trechos situados mais próximos a nascente do rio Buranhém referentes aos pontos de amostragem FBS-BRH-250 e FBS-BRH-300, além dos trechos monitorados no rio João de Tiba (FBS-JTB-400) e rio Santo Antônio (FBS-STA-100).

O resultado do monitoramento das águas da RPGA dos Rios dos Frades, Buranhém e Santo Antônio realizado em 2020, indica que a qualidade ambiental encontra-se satisfatória, indicando baixa freqüência de violações aos limites de qualidade estabelecidos pela Resolução Conama nº 357/05 para Água Doce. Entretanto, vale destacar que grande parte dos pontos de amostragem desta RPGA apresentou elevadas concentrações de coliformes termotolerantes. O IQA atribuído a cada ponto também evidencia a boa qualidade dos corpos hídricos desta RPGA, no entanto, as interferências humanas são observadas no grau de eutrofização dos corpos de água, que em sua maioria foram enquadradas na classe "Mesotrófica", indicando moderado enriquecimento de nutrientes nesses trechos.

3.5 RPGA DO RIO JEQUITINHONHA

3.5.1 CARACTERÍSTICAS DA RPGA

A RPGA do Rio Jequitinhonha é constituída pela porção da bacia hidrográfica do Rio Jequitinhonha, situada no território do Estado da Bahia, desde sua divisa com Minas Gerais até sua foz no Oceano Atlântico.

Esta RPGA teve, ao longo de 2020, a qualidade de suas águas superficiais monitorada por meio de sete pontos de amostragens, distribuídos conforme ilustra a Figura 19. A descrição da localização dos pontos, as datas de coleta e os registros fotográficos realizados nas quatro campanhas são apresentados no Quadro 9.

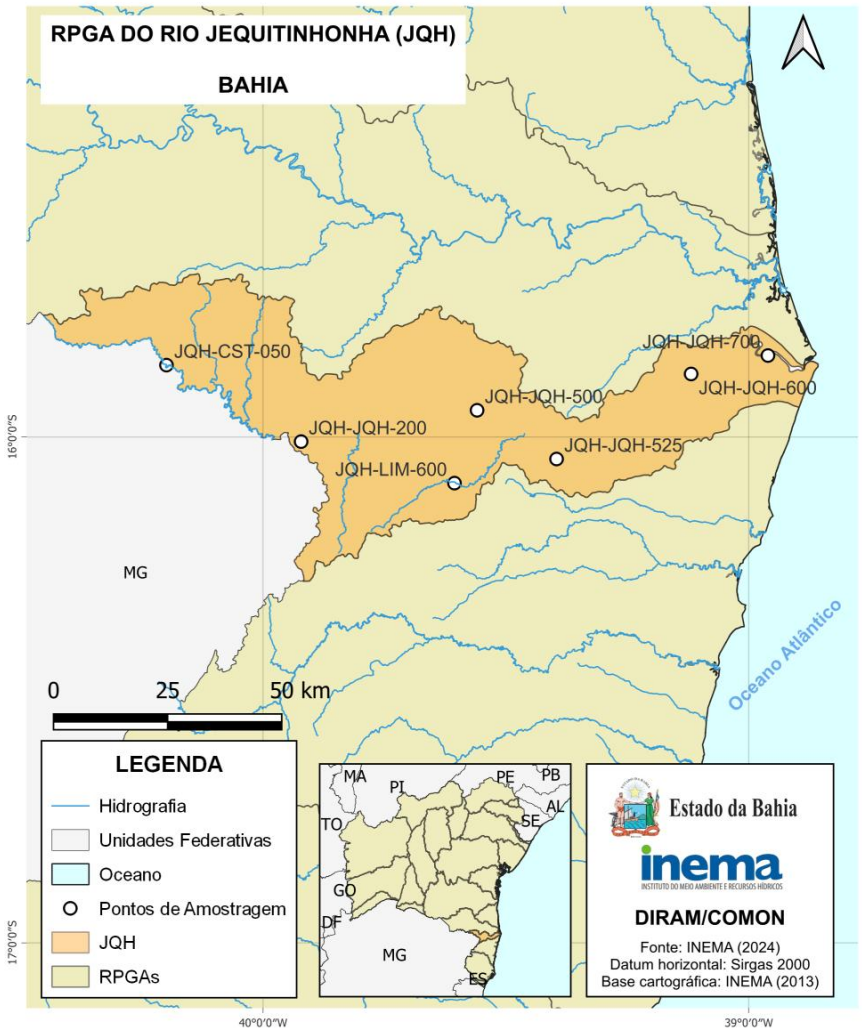


Figura 19. Mapa da distribuição da rede amostral na RPGA do Rio Jequitinhonha, Bahia.

Quadro 9. Caracterização geral dos pontos de amostragem da RPGA do Rio Jequitinhonha, Bahia.

Código Coordenadas geográficas (SIRGAS 2000)	Corpo hídrico Município	Local de amostragem	Data da coleta	Registro Fotográfico
JQH-CST-050 15°51'26,7" (S) 40°11'55,3" (W)	Ribeirão do Salto Itarantim	Após sair da cidade de Maiquinique, seguir uma distância de aproximadamente 700 metros no sentido a cidade de Itarantim, até um entroncamento. Deste, virar no sentido da direita e percorrer 30,2 km por uma estrada não pavimentada até o ponto.	1ª campanha: Não realizado 2ª campanha: Não realizada 3° campanha: Não realizada	Sem foto.
JQH-JQH-200 16°0'32,70" (S) 39°55'17,1" (W)	Rio Jequitinhonha Itagimirim	Ponto localizado sob a ponte da BA-275, no lago da barragem da Usina de Itapebi, a 40 km da cidade de Itagimirim/BA, sentido Salto da Divisa/MG.	1ª campanha: 19/02/2020 2ª campanha: Não realizada 3° campanha: 25/11/2020	
JQH-JQH-500 15°56'49,20" (S) 39°33' 32,4" (W)	Rio Jequitinhonha Itapebi	Ponto sob a ponte na BR-101, a montante do acesso à sede do município de Itapebi.	1ª campanha: 19/02/2020 2ª campanha: Não realizada 3° campanha: 25/11/2020	

JQH-JQH-525 16°02'36,9" (S) 39°23'43,1" (W)	Rio Jequitinhonha Itapebi	Ponto localizado no rio Jequitinhonha a jusante da cidade de Itapebi, próximo à captação de água da empresa Veracel.	1ª campanha: 20/02/2020 2ª campanha: Não realizada 3° campanha: 26/11/2020	
JQH-JQH-600 15°52'21,00" (S) 39°7'17,70" (W)	Rio Jequitinhonha Belmonte	Na BA-001, sentido Canavieiras, antes do posto rodoviário, entrar na vicinal à direita na BA-274, percorrer cerca de 50 km até Santa Maria Eterna. Seguir em direção ao povoado de Boca do Córrego pela BA-982 até o ponto de coleta.	1ª campanha: 20/02/2020 2ª campanha: Não realizada 3° campanha: Não realizada	
JQH-JQH-700 15°50'18,20" (S) 38°57'36,0" (W)	Rio Jequitinhonha Belmonte	Saindo da cidade de Belmonte, percorrer cerca de 4 km pela BR-367/BA-275 até encontrar um acesso à direita pela Estrada da Cetel. Nesta estrada, percorrer cerca de 6 km, virar à direita e caminhar aproximadamente mais 6 km até o ponto.	1ª campanha: 20/02/2020 2ª campanha: Não realizada 3° campanha: Não realizada	

JQH-LIM-600 16°05'29'' (S) 39°36'20'' (W)	Rio Limoeiro Itagimirim	Ponto localizado aproximadamente 1 km no sentido sul da cidade de Itagimirim.	1ª campanha: 19/02/2020 2ª campanha: Não realizada 3° campanha: 25/11/2020	Sem foto.

3.5.2 RESULTADOS E DISCUSSÃO

Devido à baixa concentração de sais, todos os pontos de monitoramento desta RPGA foram classificados conforme Resolução Conama nº 357 de 2005, como Água Doce – Classe 2. Neste ano de monitoramento, seis dos sete pontos que compõe esta RPGA foram amostrados, com exceção apenas do ponto JQH-CST-050 situado no ribeirão do Salto. No total, foram realizadas dez amostragens para a RPGA do Rio Jequitinhonha.

Neste ano de monitoramento, foram observadas violações dos padrões de qualidade estabelecidos pela Resolução Conama nº 357/05 na RPGA do rio Jequitinhonha para os parâmetros turbidez (40%), DBO (30%), fósforo total (30%), oxigênio dissolvido (20%) e nitrogênio amoniacal (10%) (Figura 20).

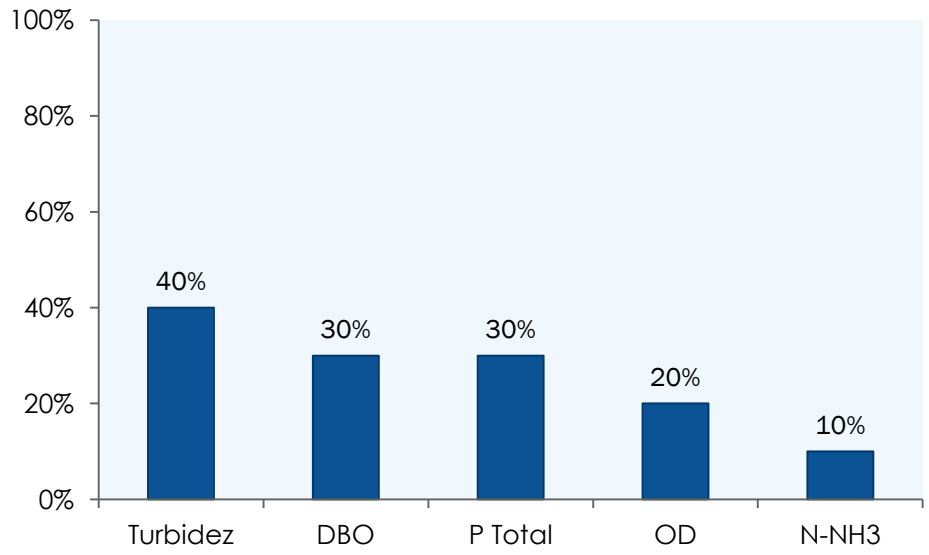


Figura 20. Frequência relativa (%) de violações para a RPGA do Rio Jequitinhonha em 2020.

O rio Jequitinhonha é monitorado através de cinco pontos de amostragens. Considerando as duas campanhas realizadas nessa RPGA, foram observadas para este corpo hídrico violações dos limites para DBO, oxigênio dissolvido, fósforo total, nitrogênio amoniacal e turbidez. Todos os trechos avaliados apresentaram violações de pelo menos um dos parâmetros monitorados em pelo menos uma das campanhas realizadas. Os valores elevados para turbidez neste corpo hídricos

foram todos registrados na primeira campanha deste ano. Esses valores podem ser decorrentes da ocorrência de chuvas no período da coleta.

A Resolução do Conama nº 357/05 define que o limite da concentração de coliformes termotolerantes não exceda 1.000 coliformes termotolerantes por 100 mililitros em 80% ou mais de pelo menos 6 amostras coletadas durante o período de um ano, com frequência bimestral tanto para águas doces, classe 2, quanto para salobras, classe 1. Utilizando esse limite como referência, observa-se que foram identificadas concentrações elevadas para coliformes termotolerantes nos pontos JQH-JQH-200, JQH-JQH-525 e JQH-JQH-700.

Resultado semelhante foi observado no ponto JQH-LIM-600, situado no rio Limoeiro no município de Itagimirim. O trecho monitorado apresentou elevadas concentrações para coliformes termotolerantes nas duas campanhas realizadas neste ano, além de violações dos limites estabelecidos para oxigênio dissolvido, DBO, nitrogênio amoniacal e fósforo total. A elevada concentração de fósforo total (0,58 mg/L), nitrogênio amoniacal (9,5 mg/L) e coliformes termotolerantes (>16000 NMP/100ml) indicam a ocorrência do processo de enriquecimento de nutrientes neste trecho ocasionada por esgoto doméstico.

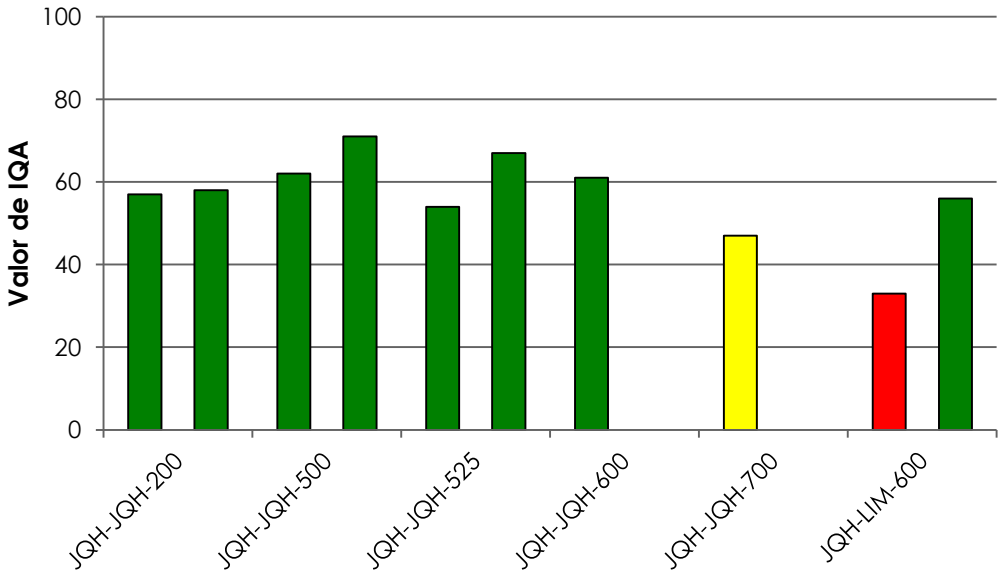


Figura 21. Classificações de IQA obtidas para a RPGA do Rio Jequitinhonha em 2020.

Quadro de referência para as classificações de IQA.

Ótimo	Bom	Regular	Ruim	Péssimo
79 < IQA ≤ 100	51 < IQA ≤ 79	36 < IQA ≤ 51	19 < IQA ≤ 36	IQA ≤ 19

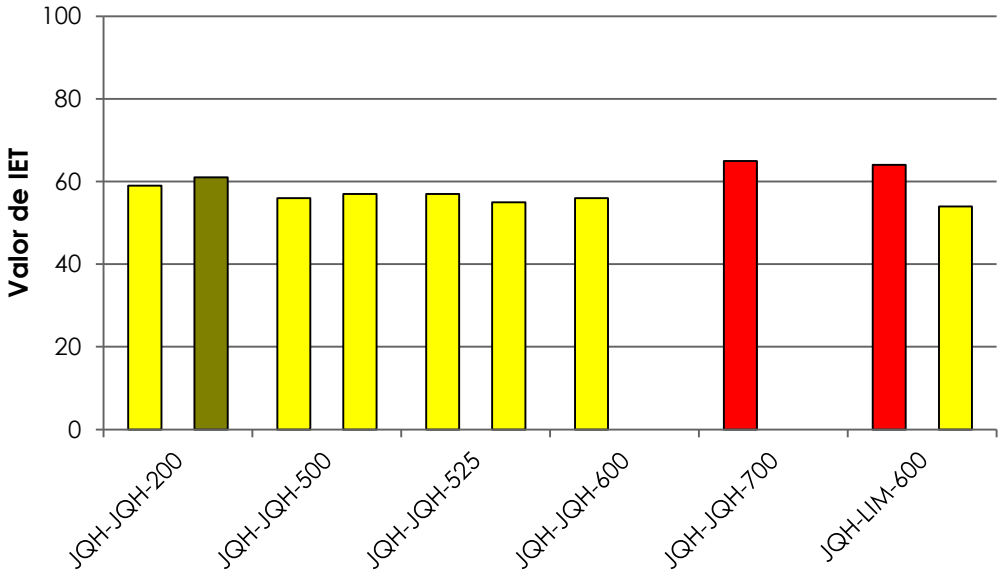


Figura 22. Classificações de IET obtidas para a RPGA do Rio Jequitinhonha em 2020.

Quadro de referência para as classificações de IET.

Ultraoligotrófico	Oligotrófico	Mesotrófico	Eutrófico	Supereutrófico	Hipereutrófico
IET≤47	47 <IET≤52	52<IET≤59	59<IET≤63	63<IET≤67	IET>67

As Figuras 21 e 22 apresentam as classificações de IQA e IET obtidas para cada ponto de amostragem da RPGA do Rio Jequitinhonha, ao longo do ano 2020. O número de campanhas em cada ponto pode variar devido às diferentes datas de início de monitoramento e disponibilidade hídrica.

Em 2020, a maioria das classificações para as campanhas de amostragens realizadas para a RPGA do Rio Jequitinhonha apresentou qualidade da água classificada como "Boa" com base no IQA, com exceção do trecho referente ao ponto JQH-JQH-700 que apresentou qualidade da água classificada como

"Regular". Alem deste, o trecho amostrado na primeira campanha do rio Limoeiro (JQH-LIM-600) apresentou qualidade da água classificada como "Ruim".

A maioria das campanhas de amostragem realizadas no rio Jequitinhonha indicou nível de trofia classificado como "Mesotrófico", com exceção das realizadas na segunda campanha no ponto JQH-JQH-200 e na primeira campanha no ponto JQH-JQH-700 que apresentaram as classes "Eutrófico" e "Supereutrófico", respectivamente. O trecho amostrado no rio Limoeiro (JQH-LIM-600) também apresentou elevado nível de trofia na primeira campanha de amostragem, sendo classificado como "Supereutrófico", indicando elevado enriquecimento de nutrientes neste trecho.

As análises dos dados das campanhas de monitoramento realizadas em 2020 indicam que a qualidade das águas da RPGA do Rio Jequitinhonha encontra-se satisfatória, conforme indicam os valores de IQA obtidos para a maioria das amostragens. Porém, as violações aos limites de qualidade estabelecidos na Resolução Conama nº 357/05 e os níveis de eutrofização apresentado pela maioria dos pontos evidenciam que as águas desta RPGA sofrem interferências humanas, o que pode eventualmente acarretar em danos ambientais e econômicos para seus usos múltiplos. Destaca-se o rio Limoeiro, que apresentou violações para os principais parâmetros relacionados com a contaminação por despejos domésticos.

3.6 RPGA DO RIO PARDO

3.6.1 CARACTERÍSTICAS DA RPGA

A RPGA do Rio Pardo é constituída pela porção da bacia hidrográfica do Rio Pardo, situada no território do Estado da Bahia, desde sua divisa com Minas Gerais até sua foz no Oceano Atlântico.

Esta RPGA teve, ao longo de 2020, a qualidade de suas águas superficiais monitorada por meio de 24 pontos de amostragens, distribuídos conforme ilustra a Figura 23. A descrição da localização dos pontos, as datas de coleta e os registros fotográficos realizados nas quatro campanhas são apresentados no Quadro 10.



Figura 23. Mapa da distribuição da rede amostral na RPGA do Rio Pardo, Bahia.

Quadro 10. Caracterização geral dos pontos de amostragem da RPGA do Rio Pardo, Bahia.

Código Coordenadas geográficas (SIRGAS 2000)	Corpo hídrico Município	Local de amostragem	Data da coleta	Registro Fotográfico
PRD-AGP-100 15°25'50,6" (S) 39°39'39,0" (W)	Rio Água Preta Pau Brasil	Ponto situado no rio Água Preta, afluente do rio Pardo, a montante do município de Pau Brasil.	1ª campanha: 04/03/2020 2ª campanha: Não realizada 3° campanha: 02/12/2020	
PRD-BCA-001 14° 54' 06,5" 40° 29' 17,8"	Rio Barra do Choça	Ponto situado a 10 km da sede de. Catolé Grande	1ª campanha: 04/03/2020 2ª campanha: Não realizada 3° campanha: Não realizada	

PRD-CGR-300 14°58'47,7" (S) 40°21'53,4" (W)	Rio Catolé Grande Caatiba	Após sair do município de Itapetinga pela BR-415, seguir em direção aos municípios de Itambé e Caatiba.	1ª campanha: 06/03/2020 2ª campanha: Não realizada 3° campanha: 03/12/2020	
PRD-CGR-400 15°14'9,5" (S) 40°14'54,8" (W)	Rio Catolé Grande Itapetinga	O ponto localiza-se a montante da cidade de Itapetinga, após a subestação da COELBA, com acesso pelo bairro Vila Riachão.	1ª campanha: 05/03/2020 2ª campanha: Não realizada 3° campanha: 03/12/2020	
PRD-CGR-470 15°14'29" (S) 40°13'59" (W)	Rio Catolé Grande Itapetinga	Localizado sob a ponte da Avenida Itabuna/Anápolis sobre o rio Catolé Grande, na área Central de Itapetinga.	1ª campanha: Não realizada 2ª campanha: Não realizada 3ª campanha: 03/12/2020	

PRD-CGR-600 15°15'41,2" (S) 40°14'16,2" (W)	Rio Catolé Grande Itapetinga	Partindo de Itororó sentido Itapetinga, sob a ponte na BR-415/BA-130.	1ª campanha: 05/03/2020 2ª campanha: Não realizada 3° campanha: 03/12/2020	
PRD-CLB-100 14°54'11,99" (S) 40°52'13,01" (W)	Córrego Lagoa de Baixo Vitória da Conquista	Sob a ponte da BR-116, localizado nas imediações do bairro Comveima, sentido Cândido Sales.	1ª campanha: 04/03/2020 2ª campanha: Não realizada 3° campanha: 03/12/2020	
PRD-JUN-500 15°39'16,0" (S) 40°2'45,0" (W)	Córrego Jundiá Itarantim	Ponto localizado aproximadamente a 1,6 km a jusante da cidade de Itarantim.	1ª campanha: 06/03/2020 2ª campanha: Não realizada 3° campanha: 04/12/2020	

PRD-MAC-900 15°33'52,0" (S) 40°25'51,0" (W)	Rio Macarani Macarani	Ponto situado a leste da sede do município, sob ponte em estrada não pavimentada sobre o rio Macarani, próximo à zona urbana do município de Macarani.	1ª campanha: 05/03/2020 2ª campanha: Não realizada 3° campanha: 03/12/2020	
PRD-MAJ-500 15°32'58,6" (S) 40°26'52,2" (W)	Rio Manjerona Macarani	Ponto situado a aproximadamente 3 km da área urbana do município de Macarani, após seguir pela BA-270 e na direção nordeste.	1ª campanha: 05/03/2020 2ª campanha: Não realizada 3° campanha: 03/12/2020	
PRD-PAL-700 15°36'52,0" (S) 40°15'33,0" (W)	Córrego Palmeira Maiquinique	Após sair do município de Itarantim pela BA-270 para Maiquinique, antes de chegar à zona urbana deste município.	1ª campanha: 06/03/2020 2ª campanha: Não realizada 3° campanha: 04/12/2020	

PRD-PAN-600 15°25'37,0" (S) 39°30'1,0" (W)	Rio Panelão Camacan	O ponto está localizado sob a ponte na BA-251 sentido Pau-Brasil, na zona urbana do município de Camacan.	1ª campanha: 04/03/2020 2ª campanha: Não realizada 3° campanha: 02/12/2020	
PRD-PRD-200 15°30'47,3" (S) 41°14'13,6" (W)	Rio Pardo Encruzilhada	Ponto situado a jusante da cidade de Candido Sales, sob a ponte da BR-116.	1ª campanha: 05/03/2020 2ª campanha: Não realizada 3° campanha: 03/12/2020	
PRD-PRD-250 15°20'22" (S) 40°55'58" (W)	Rio Pardo Vitória da Conquista	Ponto localizdo no rio Pardo, acesso pela BA-632 entre o municipio de Encrizilhada e o Distrito de Inhombim/Vitória da Conquista.	1ª campanha: Não realizada 2ª campanha: Não realizada 3ª campanha: Não realizada	Sem foto.

PRD-PRD-290 15°14'53" (S) 40°37'52" (W)	Rio Pardo Itambé	Ponto localizado no rio Pardo, junto a captação de água, na área urbana de Itambé.	1ª campanha: Não realizada 2ª campanha: Não realizada 3ª campanha: 03/12/2020	
PRD-PRD-300 15°16'31,5" (S) 40°37'35,0" (W)	Rio Pardo Ribeirão do Largo	Do município de Itapetinga na BA-263 sentido Itambé entrar à esquerda em direção a BA-634. O ponto de coleta localiza-se sob a ponte nesta rodovia.	1ª campanha: 06/03/2020 2ª campanha: Não realizada 3° campanha: 04/12/2020	
PRD-PRD-350 15°23'28,97" (S) 40°3'51,73" (W)	Rio Pardo Itapetinga	Saindo de Itororó pela BA-670 no sentido Itapebi, acessar estrada vicinal à direita e andar aproximadamente 10 km até chegar ao rio Pardo.	1ª campanha: 05/03/2020 2ª campanha: Não realizada 3° campanha: Não realizada	Sem foto.

PRD-PRD-400 15°31'26,13" (S) 39°51'51,09" (W)	Rio Pardo Itapetinga	Deslocamento de Itororó para Itapetinga, a montante do município de Potiraguá, sob a ponte da BA-670.	1ª campanha: 06/03/2020 2ª campanha: Não realizada 3° campanha: 04/12/2020	
PRD-PRD-430 15°33'24,50" (S) 39°43'4,30" (W)	Rio Pardo Pau-Brasil	Do município de Pau Brasil por acesso pela BA-670, sentido Potiraguá, entrada vicinal com destino à localidade de Serra da Vaca. Na propriedade particular (Fazenda Santo Antônio), em frente à fazenda Santa Rita. Local da estação fluviométrica nº RN1 3361 da ANA.	1ª campanha: 04/03/2020 2ª campanha: Não realizada 3° campanha: 02/12/2020	
PRD-PRD-480 15°36'14" (S) 39°31'0" (W)	Rio Pardo Mascote	Ponto situado no rio Pardo, próximo ao Assentamento Nancy.	1ª campanha: não realizada 2ª campanha: Não realizada 3ª campanha: 02/12/2020	

PRD-PRD-500 15°34'47,5" (S) 39°24'36,4" (W)	Rio Pardo Mascote	Acesso à localidade de São João do Paraíso, sob a ponte da BR-101.	1ª campanha: 03/03/2020 2ª campanha: Não realizada 3° campanha: 01/12/2020	
PRD-PRD-600 15°34'6,8" (S) 39°18'16,1" (W)	Rio Pardo Mascote	Deslocamento de Itabuna sentido Eunápolis na BR-101. Seguir aproximadamente 54 km até a entrada à esquerda da localidade de Pimenta, deslocar em direção a Mascote.	1ª campanha: 03/03/2020 2ª campanha: Não realizada 3° campanha: 01/12/2020	
PRD-PRD-800 15°39'45,90" (S) 39°3'21,40" (W)	Rio Pardo Canavieiras	No km 118, trecho sentido Ilhéus, estrada de terra à direita. Após a ponte, segunda entrada à esquerda. O ponto está localizado no povoado de Pedras, no sitio Ramal das Pedras.	1ª campanha: 11/02/2020 2ª campanha: Não realizada 3° campanha: 17/11/2020	

PRD-VRG-100 15°13'53,4" (S) 40°37'37,3" (W)	Rio Verruga Itambé	Ponto localizado a montante da cidade de Itambé, cerca de 300 metros após a Cerâmica Confiança.	1ª campanha: 06/03/2020 2ª campanha: Não realizada 3° campanha: 03/12/2020	

3.6.2 RESULTADOS E DISCUSSÃO

Devido à baixa concentração de sais, todos os pontos de monitoramento da RPGA do Rio Pardo foram classificados conforme legislação, como Água Doce - Classe 2. No total, foram realizadas 40 amostragens, considerando todas as campanhas.

A Figura 24 mostra a frequência relativa de violações dos parâmetros físicos, químicos e biológicos, em relação aos padrões de qualidade da água estabelecidos pelo Conama. Foram identificadas violações dos limites para os parâmetros oxigênio dissolvido (35%), fósforo total (35%), demanda bioquímica de oxigênio (15%), nitrogênio amoniacal (10%) e turbidez (5%).

A Resolução Conama nº 357/05 define que o limite da concentração de coliformes termotolerantes não deve exceder 1.000 coliformes termotolerantes por 100 mililitros em 80% ou mais de pelo menos 6 amostras coletadas durante o período de um ano, com frequência bimestral para águas doces classe 2. Utilizando este valor como referência, notou-se que, dos 23 pontos analisados, 17 apresentaram valores acima do limite em pelo menos uma das campanhas.

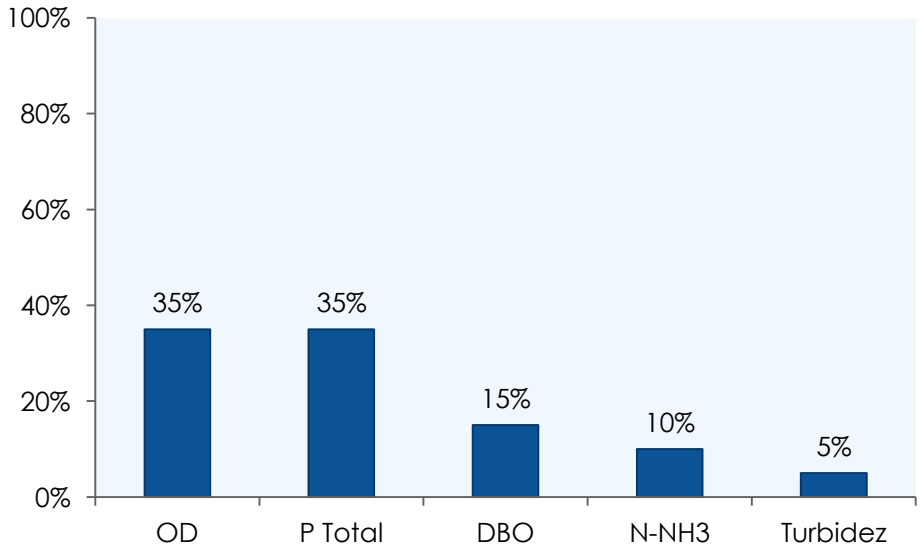


Figura 24. Frequência relativa (%) de violações para a RPGA do Rio Pardo em 2020.

O rio Pardo é monitorado por meio de 11 pontos de amostragem. Neste rio, apenas os pontos PRD-PRD-200, PRD-PRD-400 e PRD-PRD-800, apresentaram violações dos padrões de qualidade para os parâmetros analisados. Foram observadas violações

para oxigênio dissolvido no ponto PRD-PRD-200, fósforo total para o ponto PRD-PRD-400 e ambos os parâmetros para o ponto PRD-PRD-800, situado mais próximo a foz. Além disso, foram identificadas elevadas concentrações para coliformes termotolerantes em 8 das 17 amostragens realizadas ao longo do corpo hídrico.

O rio Catolé Grande é monitorado por meio de quatro pontos de amostragem. Neste rio, foi observada a violação do limite de qualidade estabelecido pela Resolução Conama nº 357/05 para oxigênio dissolvido, DBO, nitrogênio amoniacal e fósforo total. Dos quatro pontos de amostragem, apenas o ponto PRD-CGR-300, situado mais próximo da nascente, não apresentou nenhum parâmetro em desconformidade. Entretanto, vale destacar que todos os trechos monitorados no rio Catolé Grande apresentaram elevadas concentrações para coliformes termotolerantes, utilizando como referência o valor estabelecido pelo Conama.

Entre os demais corpos hídricos que compõem esta RPGA, apenas os rios Água Preta, Barra do Choça e Manjerona não apresentaram violações dos limites estabelecidos pela legislação para os parâmetros analisados. O córrego Lagoa de Baixo apresentou desconformidades para os parâmetros OD e fósforo total, enquanto o rio Macarani apresentou violações para DBO, OD e fósforo total. Os trechos monitorados nos córregos Jundiá (PRD-JUN-500) e Palmeira (PRD-PAL-700) apresentaram vários parâmetros em desconformidade, sendo eles: DBO, nitrogênio amoniacal, oxigênio dissolvido, fósforo total e turbidez. Vale destacar que o Córrego Jundiá apresentou concentrações muito elevadas para DBO (208 mg/L), nitrogênio amoniacal (18,2 mg/L) e fósforo total (0,98 mg/L). Esses resultados indicam intenso enriquecimento de nutrientes neste trecho monitorado.

O trecho monitorado no rio Panelão apresentou violação dos padrões estabelecidos para fósforo total, indicando concentração de 0,18 mg/L, além de elevadas concentrações para coliformes termotolerantes ($1{,}6x10^4$ NMP/100ml) em ambas campanhas realizadas. Já o trecho monitorado no rio Verruga apresentou violações para os parâmetros DBO e fósforo total, apresentando concentrações elevadas de coliformes termotolerantes apenas na primeira campanha de monitoramento.

As Figuras 25 a 28 apresentam os resultados obtidos para IQA e IET na RPGA do Rio Pardo para as campanhas realizadas em 2020.

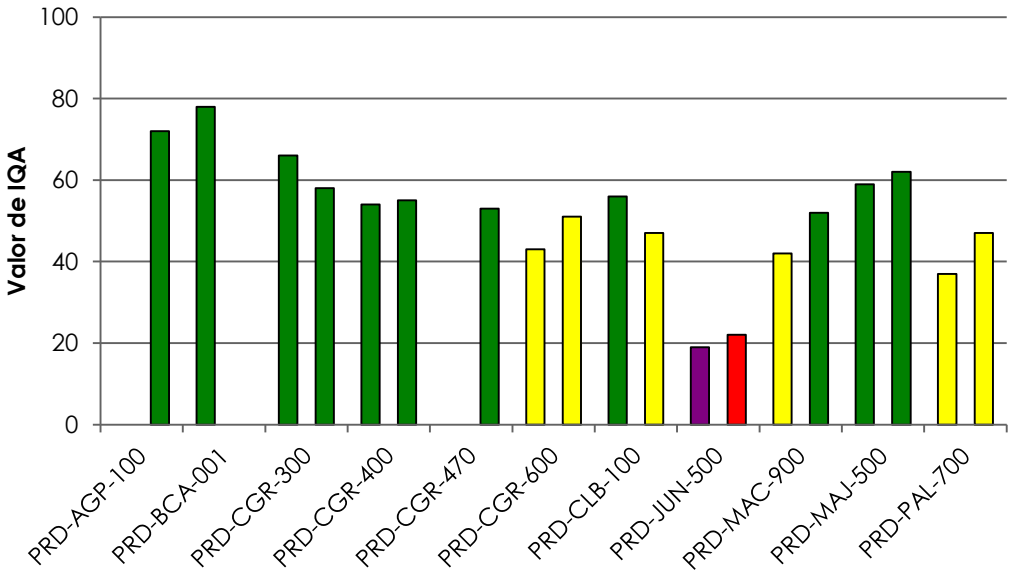


Figura 25. Classificações de IQA obtidas para a RPGA do Rio Pardo em 2020.(1)

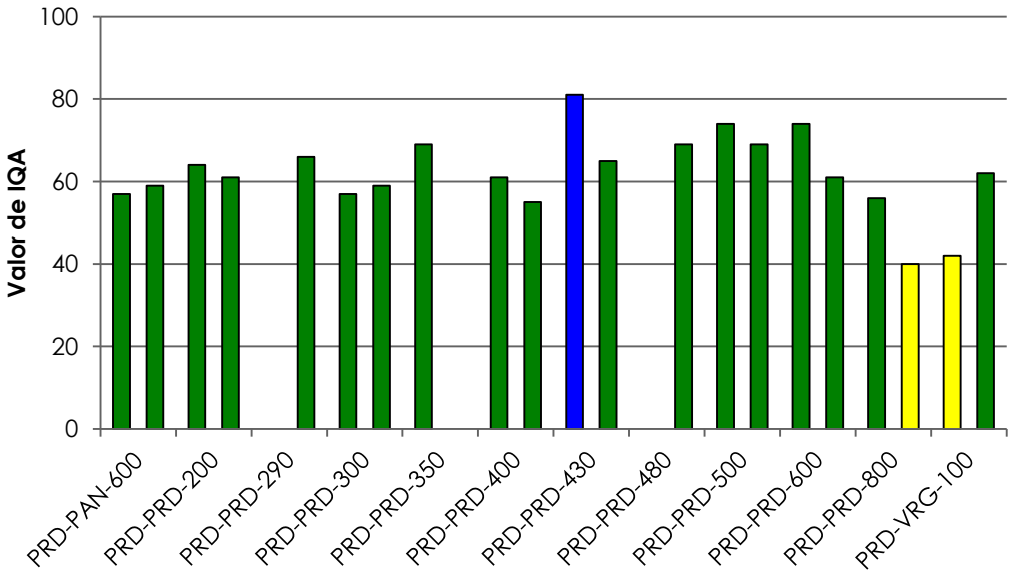


Figura 26. Classificações de IQA obtidas para a RPGA do Rio Pardo em 2020.(2)

Quadro de referência para as classificações de IQA.

Ótimo	Bom	Regular	Ruim	Péssimo
79 < IQA ≤ 100	51 < IQA ≤ 79	36 < IQA ≤ 51	19 < IQA ≤ 36	IQA ≤ 19

Em relação ao IQA, nota-se que a maioria dos corpos hídricos monitorados na RPGA do Rio Pardo apresentou qualidade da água classificada como "Boa", seguido da classe "Regular". O rio Catolé Grande apresentou qualidade da água classificada como "Boa" para os trechos mais próximos a nascente e "Regular" para o trecho situado mais próximo a foz (PRD-CGR-600). O rio Pardo apresentou resultado semelhante, apresentando a classe "Boa" para a maioria das campanhas, exceto a segunda amostragem realizada no ponto PRD-PRD-800. Tanto o rio Catolé Grande quanto o rio Pardo apresentaram condições satisfatórias de qualidade da água segundo o IQA.

Por outro lado, as classificações mais baixas para o IQA obtidos nesta RPGA foram observadas no córrego Jundiá (PRD-JUN-500). O trecho monitorado neste corpo hídrico apresentou qualidade da água classificada como "Péssima" e "Ruim" nas campanhas realizadas neste ano de 2020. Este resultado é decorrente das significativas violações observadas para os parâmetros utilizados para calcular este índice, como por exemplo, oxigênio dissolvido (OD), demanda bioquímica de oxigênio (DBO), fósforo total, nitrogênio total e nitrogênio amoniacal.

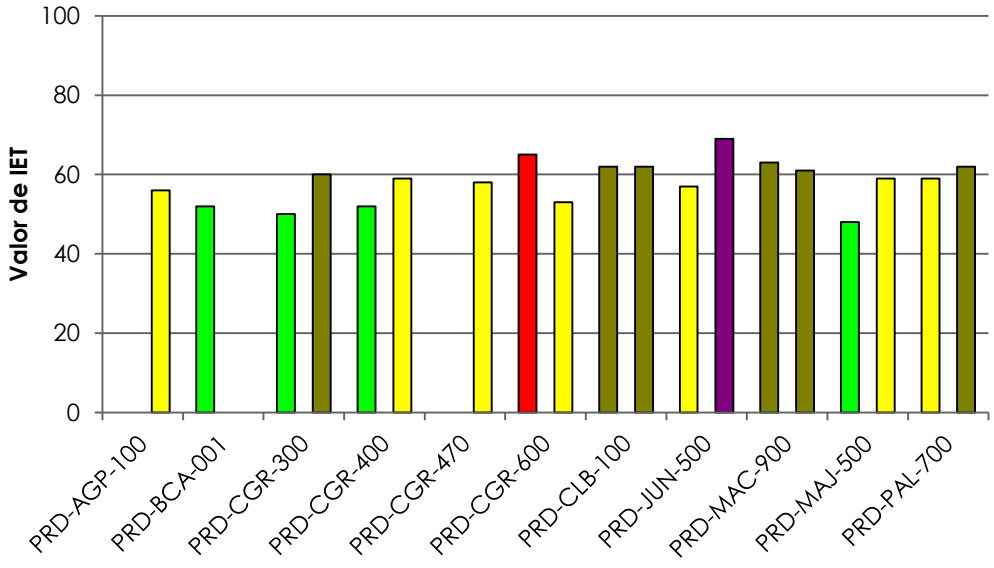


Figura 27. Classificações de IET obtidas para a RPGA do Rio Pardo em 2020.(1)

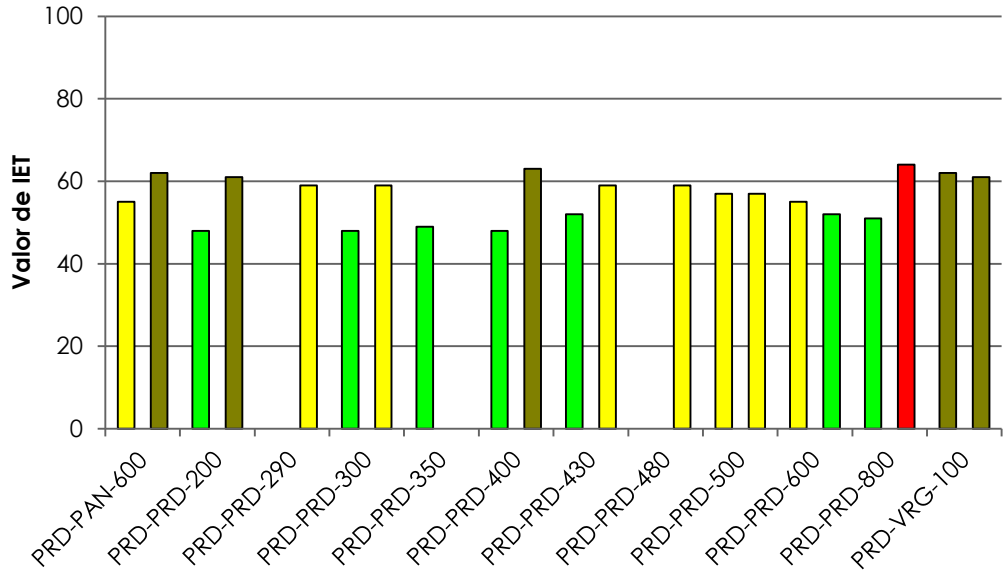


Figura 28. Classificações de IET obtidas para a RPGA do Rio Pardo em 2020.(2)

Quadro de referência para as classificações de IET.

Ultraoligotrófico	Oligotrófico	Mesotrófico	Eutrófico	Supereutrófico	Hipereutrófico
IET≤47	47 <IET≤52	52<IET≤59	59<IET≤63	63<IET≤67	IET>67

Em relação ao IET, é possível observar uma variação de condições nesta RPGA no que tange o estado de trofia de suas águas. Os menores níveis de trofia foram observados nos rios Catolé Grande, Manjerona, Barra do Choça e Pardo que apresentaram a classificação "Oligotrófico", indicando baixo enriquecimento de nutrientes. Por outro lado, os níveis de trofia mais elevados foram observados nos trechos finais dos rios Pardo (PRD-PRD-800) e Catolé Grande (PRD-CGR-600) que apresentaram a classe "Supereutrófico", além do trecho monitorado no córrego Jundiá (PRD-JUN-500) que apresentou a classe "Hipereutrófico". Ambas as classificações indicam elevado enriquecimento de nutrientes nestes trechos, comprometendo de forma grave os usos múltiplos dessas águas.

O monitoramento da RPGA do Rio Pardo realizado em 2020 indicou que a maioria dos trechos apresenta qualidade da água em condições satisfatórias com base no Índice de Qualidade das Águas – IQA. Entretanto, avaliando o Índice de Estado Trófico – IET e os parâmetros analisados individualmente pode-se notar que alguns

trechos monitorados nesta RPGA encontram-se severamente afetados pelas atividades humanas, principalmente pelo lançamento de efluentes sanitários sem o devido tratamento e o escoamento de fertilizantes de áreas agricultáveis para o leito de rios. Tais condições afetam negativamente nos usos múltiplos das águas e na manutenção das condições ecológicas do ambiente e da diversidade aquática.

3.7 RPGA DO LESTE

3.7.1 CARACTERÍSTICAS DA RPGA

A RPGA do Leste é constituída pelas bacias hidrográficas de rios estaduais que deságuam no Oceano Atlântico, limitadas ao norte e a noroeste pela RPGA do Rio de Contas e ao sul e a sudoeste pela RPGA do Rio Pardo.

Esta RPGA teve, ao longo de 2020, a qualidade de suas águas superficiais monitorada por meio de 24 pontos de amostragens, distribuídos conforme ilustra a Figura 29. A descrição da localização dos pontos, as datas de coleta e o registro fotográfico realizados nas campanhas são apresentados no Quadro 11.



Figura 29. Mapa da distribuição da rede amostral na RPGA do Leste, Bahia.

Quadro 11. Caracterização geral dos pontos de amostragem da RPGA do Rio Leste, Bahia.

Código Coordenadas geográficas (SIRGAS 2000)	Corpo hídrico Município	Local de amostragem	Data da coleta	Registro Fotográfico
LES-ALM-150 14° 41' 05,3" (S) 39° 27' 03,5" (W)	Almada Itajuípe	Ponto situado no rio Almada, sob ponte na BA-262, próximo a fazenda União Queimada	1ª campanha: 13/02/2020 2ª campanha: Não realizada 3° campanha: 19/11/2020	
LES-ALM-200 14°38'58,17" (S) 39°20'43,85" (W)	Rio Almada Ilhéus	Sob a ponte na BR-101, a aproximadamente 6 km a montante da cidade de Itajuípe.	1ª campanha: 13/02/2020 2ª campanha: Não realizada 3° campanha: 19/11/2020	

LES-ALM-300 14°39'18,5" (S) 39°11'23,1" (W)	Rio Almada Ilhéus	Na rodovia Ilhéus-Uruçuca, 5 km antes de Ilhéus, em estrada não pavimentada que dá acesso ao povoado de Vila do Castelo Novo, no ponto de captação de água para abastecimento de Ilhéus.	1ª campanha: 12/02/2020 2ª campanha: Não realizada 3° campanha: 18/11/2020	
LES-BCO-001 14° 55' 54.5" (S) 39° 29' 01.4" (W)	Colônia Itapé	Saindo da zona urbana de Itapé, seguir 8km pela BA-120 até a Barragem do Colônia.	1ª campanha: 12/02/2020 2ª campanha: Não realizada 3° campanha: 18/11/2020	
LES-COL-200 15°7'13,92" (S) 40°4'18,19" (W)	Rio Colônia Itororó	Sob a ponte que liga Itororó a vila de Bandeira da Colônia, que pertence ao município de Itapetinga.	1ª campanha: 11/02/2020 2ª campanha: Não realizada 3° campanha: 17/11/2020	

LES-COL-300 15°8'40,45" (S) 39°43'23,55" (W)	Rio Colônia Itaju do Colônia	Sob a ponte na BA-667, a jusante da área urbana de Itaju da Colônia.	1ª campanha: 11/02/2020 2ª campanha: Não realizada 3° campanha: 17/11/2020	
LES-COL-990 14°56'2" (S) 39°28'3" (W)	Rio Colônia Itaju do Colônia	Ponto situado sob a ponte de cimento sobre o rio Colônia/Cachoeira, a jusante da barragem do rio Colônia, Povoado de Estiva de Baixo.	1ª campanha: Não realizada 2ª campanha: Não realizada 3ª campanha: 18/11/2020	
LES-IGP-001 14°44'46,0" (S) 39°5'4,0" (W)	Barragem do Iguape Ilhéus	Localizado na Barragem Iguape, a 5 km da cidade de Ilhéus, sentido Uruçuca. Ponto situado em área de captação de água da EMBASA e ao lado direito da BA-262, tendo nas proximidades um centro industrial.	1ª campanha: 12/02/2020 2ª campanha: Não realizada 3° campanha: 17/12/2020	

LES-LEN-500 14°37'11,3" (S) 39°8'28,9" (W)	Lagoa Encantada Ilhéus	Lagoa Encantada, em frente ao restaurante do mesmo nome. Acesso pela rodovia Ilhéus/Itacaré, entrada a cerca de 10 km, localidade de Tulha, seguir 9 km estrada não pavimentada.	1ª campanha: 12/02/2020 2ª campanha: Não realizada 3° campanha: 18/11/2020	
LES-MRM-600 15°10'27,8" (S) 39°3'27,9" (W)	Rio Maruim Una	Trecho do rio Maruim na altura do Ecoparque de Una nas coordenadas, a seis quilômetros da rodovia asfaltada. A montante deste local o rio passa por terras da Rebio de Una e fazendas de culturas perenes como cacau e coco.	1ª campanha: 11/02/2020 2ª campanha: Não realizada 3° campanha: 17/12/2020	
LES-RCH-500 14°53'54,33" (S) 39°25'40,27" (W)	Rio Cachoeira Itapé	No pontilhão situado na área urbana do município de Itapé.	1ª campanha: 12/02/2020 2ª campanha: Não realizada 3° campanha: 18/11/2020	

LES-RCH-600 14°50'57" (S) 39°20'3" (W)	Rio Cachoeira Itabuna	Ponto situado na ponte da rua São Pedro sobre o rio Cachoeira no Distrito de Ferradas, município de Itabuna.	1ª campanha: Não realizada 2ª campanha: Não realizada 3ª campanha: 18/11/2020	
LES-RCH-700 14°47'16,71" (S) 39°16'12, 29" (W)	Rio Cachoeira Itabuna	Sob a 2ª ponte a montante do barramento, sentido Ilhéus / Itabuna, na zona urbana de Itabuna.	1ª campanha: 12/02/2020 2ª campanha: Não realizada 3° campanha: 18/11/2020	
LES-RCH-800 14°48'8,80" (S) 39°9'9,80" (W)	Rio Cachoeira Ilhéus	Ponto a jusante da localidade Salobrinho, acesso pela BR-415 rodovia Itabuna/Ilhéus, 8,4 km após a entrada da CEPLAC. Estrada que dá acesso ao Japú, na ponte sob o Rio Cachoeira, a cerca de 150 metros da BR-415.	1ª campanha: 11/02/2020 2ª campanha: Não realizada 3° campanha: 19/11/2020	

LES-RVE-200 15° 22' 24.9" (S) 39° 03' 30" (W)	Ribeirão Vermelho Santa Luzia	Saindo de Una/Canavieiras percorrer de 5 km entrar a portaria da fazenda Bolandeira, percorre mais 4km até a ponte. A estação esta a montante da ponte	1ª campanha: 05/03/2020 2ª campanha: Não realizada 3° campanha: 03/12/2020	
LES-SLD-100 14°57'19,70" (S) 39°56'56,70" (W)	Rio Salgado Firmino Alves	Sob a ponte, a jusante do distrito de Ipiranga. Acesso pela estrada que liga a localidade de Ponto do Astério/ Itaía/ Firmino Alves. No Distrito de Itaía, pegar vicinal à esquerda.	1ª campanha: 11/02/2020 2ª campanha: Não realizada 3° campanha: 17/11/2020	
LES-SLD-200 14°54'17,30" (S) 39°43'7,20" (W)	Rio Salgado Floresta Azul	Na vicinal da BA-263, entre Santa Cruz da Vitória e Floresta Azul, a montante de Floresta Azul.	1ª campanha: 11/02/2020 2ª campanha: Não realizada 3° campanha: 17/11/2020	

LES-SLD-400 14°52'34,75" (S) 39°29'10,74" (W)	Rio Salgado Ibicaraí	Ponte sobre o Rio Salgado, a jusante de Ibicaraí, na estrada que dá acesso ao povoado de Novo Cajueiro.	1ª campanha: 11/02/2020 2ª campanha: Não realizada 3° campanha: 17/11/2020	
LES-SLM-500 14°48'34,0" (S) 39°39'3,0" (W)	Ribeirão Salomé Floresta Azul	Ponto situado no Ribeirão Salomé as margens da BA-660 no município de Floresta Azul.	1ª campanha: 11/02/2020 2ª campanha: Não realizada 3° campanha: 17/11/2020	
LES-SPE-200 15°25'36,1" (S) 39°19'48,4" (W)	Rio São Pedro Santa Luzia	Localizado sob a ponte em estrada de terra na BA-672 sobre o rio São Pedro, nas proximidades da área urbana do município de Santa Luzia e próximo a uma estação da EMBASA.	1ª campanha: 03/03/2020 2ª campanha: Não realizada 3° campanha: 01/12/2020	

LES-TIJ-800 14°23'55,2" (S) 39°2'34,6" (W)	Rio Tijuípe Itacaré	Ponto localizado sob a ponte da BA-001 sobre o rio Tijuípe.	1ª campanha: 13/02/2020 2ª campanha: Não realizada 3° campanha: 19/11/2020	
LES-UNA-100 15°4'23,60" (S) 39°19'34,10" (W)	Rio Una São José da Vitória	Ponte sobre o rio Una, na primeira estrada de terra à jusante do município de São José da Vitória.	1ª campanha: 03/03/2020 2ª campanha: Não realizada 3° campanha: 01/12/2020	
LES-UNA-350 15° 16' 59" (S) 39° 06' 45" (W)	Una Una	Saindo de Una para Colônia, percorrer aproximadamente 3 km, virar para a esquerda na fazenda Valmonte.	1ª campanha: 05/03/2020 2ª campanha: Não realizada 3° campanha: 03/12/2020	

LES-UNA-400 15°17'52,66" (S) 39°3'50,52" (W)	Rio Una Una	Distrito de Pedras de Una, em frente à fazenda Cachoeirinha, cerca de 1,5 km a jusante da área urbana.	1ª campanha: 05/03/2020 2ª campanha: Não realizada 3° campanha: 03/12/2020	

3.7.2 RESULTADOS E DISCUSSÃO

Devido à baixa concentração de sais, a maioria dos pontos de monitoramento desta RPGA foi classificada, conforme Resolução Conama nº 357/05, como Água Doce – Classe 2, exceto o ponto LES-SLD-200, localizado no rio Salgado que apresentou salinidade de 0,6‰, sendo enquadrado na classe Água Salobra – Classe 1.

No ano de 2020, os pontos de monitoramento desta RPGA apresentaram várias desconformidades com os limites de qualidade estabelecidos na legislação para Água Doce - Classe 2 e Água Salobra – Classe 1 (Figura 30). Os parâmetros fósforo total e oxigênio dissolvido apresentaram as maiores freqüências de violações, sendo observadas em 47% e 28% das amostragens, respectivamente. Também foram registradas violações para os parâmetros DBO (9,5%), clorofila a (5%), pH (5%) e sólidos totais dissolvidos (2%).

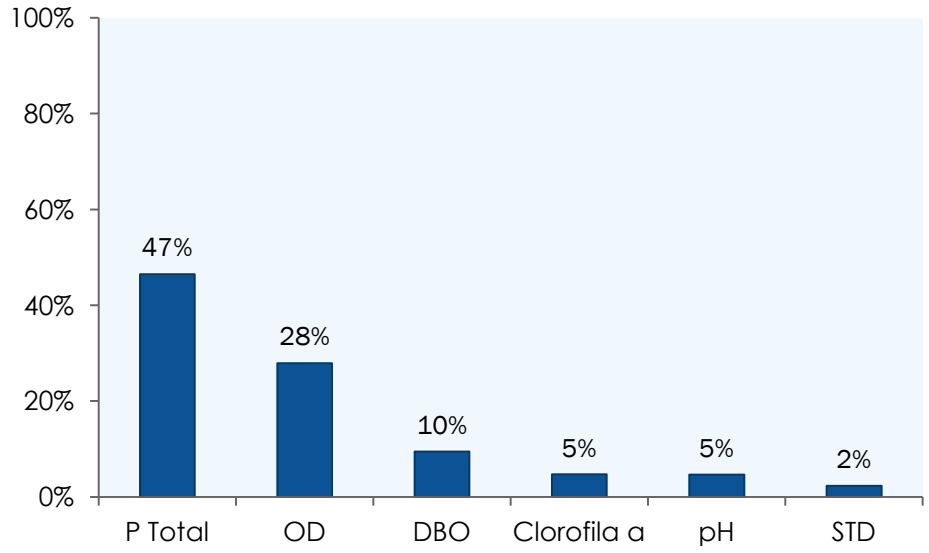


Figura 30. Frequência relativa (%) de violações para a RPGA do Leste em 2020.

A Resolução Conama nº 357/05 define que o limite da concentração de coliformes termotolerantes não deve exceder 1.000 coliformes termotolerantes por 100 mililitros em 80% ou mais de pelo menos 6 amostras coletadas durante o período de um ano, com frequência bimestral para águas doces classe 2. Utilizando este valor como referência, foi observado que aproximadamente 51% das amostragens realizadas

nesta RPGA apresentaram elevadas concentrações para coliformes termotolerantes.

O rio Almada é monitorado através de três pontos de amostragem, sendo eles, LES-ALM-150, LES-ALM-200 e LES-ALM-300. Todos os trechos apresentaram violações dos limites de qualidade estabelecidos em legislação para os parâmetros oxigênio dissolvido e fósforo total. Além disso, quase todas as amostragens ao longo deste rio apresentaram concentrações elevadas para coliformes termotolerantes, com exceção apenas da amostragem realizada na primeira campanha no trecho referente ao ponto LES-ALM-150.

O rio Colônia também é monitorado através de três pontos de amostragem, sendo eles, LES-COL-200, LES-COL-300 e LES-COL-990. Ao longo deste corpo hídrico, considerando todas as campanhas, foram observados valores em desconformidade para os parâmetros DBO, OD e fósforo total. Vale destacar que todas as amostragens sugerem elevadas concentrações de fósforo total, variando entre 0,34 e 1,52 mg/L, indicando elevado enriquecimento de nutrientes. Além dos trechos lóticos, também é realizado o monitoramento de corpos lênticos ao longo do rio Colônia, a exemplo da barragem do rio colônia (LES-BCO-001). As amostragens realizadas na barragem indicaram violações dos padrões para oxigênio dissolvido e fósforo total. Além disso, a maioria dos resultados das amostragens indicou elevada concentração de coliformes termotolerantes, inclusive no trecho monitorado na barragem.

O rio Cachoeira é monitorado através de quatro pontos de amostragem entre os municípios de Itapé e Ilhéus. Neste corpo hídrico foram observadas violações para fósforo total em todas as amostragens realizadas para os quatro pontos. A concentração de fósforo total ao logo dos trechos monitorados variou entre 0,20 e 0,56 mg/L. As maiores concentrações de fósforo total foram observadas nos dois trechos situados mais próximo a foz, que também apresentaram violações para oxigênio dissolvido. A maioria dos resultados das amostragens apresentou elevadas concentrações de coliformes tolerantes, utilizando como referência o valor estabelecido pela Resolução Conama nº 357/05.

O rio Salgado, situado entre os municípios de Firmino Alves e Ibicaraí, é monitorado através de três pontos de amostragem. Nesta campanha, apenas o ponto LES-SLD-

200, situado a meio curso, apresentou salinidade de 0,6 ‰, caracterizando água salobra. Considerando todas as amostragens realizadas ao longo do corpo hídrico, foram observadas violações dos limites estabelecidos para clorofila a, pH, oxigênio dissolvido, fósforo total e sólidos totais dissolvidos. Importante salientar que o trecho situado mais próximo a nascente referente ao ponto LES-SLD-100 não apresentou desconformidade para nenhum dos parâmetros analisados.

O rio Una possui três pontos de amostragem, sendo eles LES-UNA-100, LES-UNA-350 e LES-UNA-400. Considerando todos os trechos, as amostragens realizadas neste corpo hídrico apresentaram apenas um parâmetro em desconformidade com os padrões. Na primeira campanha de 2020, o ponto LES-UNA-100 situado no trecho mais próximo a nascente apresentou baixa concentração de oxigênio dissolvido, com registro de 2,71 mg/L. Por outro lado, os pontos LES-UNA-100 e LES-UNA-400 apresentaram elevadas concentrações de coliformes termotolerantes para ambas as campanhas realizadas.

Os pontos situados no rio Maruim (LES-MRM-600) e barragem do Iguape (LES-IGP-001) apresentaram violações apenas para o limite estabelecido para DBO, com resultados para o parâmetro de 6,0 e 9,0 mg/L, respectivamente. O ponto LES-RVE-200, situado no rio Vermelho, extrapolou resultado de pH na terceira campanha de 2020 e exibiu concentrações elevadas nas duas campanhas em que foi monitorado. Já os demais pontos de amostragem situados na Lagoa Encantada (LES-LEN-500), rio Salomé (LES-SLM-500), rio São Pedro (LES-SPE-200) e rio Tijuípe (LES-TIJ-800) não apresentaram desconformidades para nenhum dos parâmetros monitorados.

As Figuras 31 a 34 apresentam as classificações de IQA e IET obtidas para cada ponto de amostragem da RPGA do Leste, ao longo do ano de 2020. O número de campanhas em cada ponto varia devido às diferentes datas de início de monitoramento e disponibilidade hídrica.

Em relação ao IQA, a maioria dos resultados das amostragens realizadas nesta RPGA teve a qualidade da água classificada como "Boa" ou "Ótima", com exceções de trechos do rio Cachoeira e Colônia que apresentaram a classificação "Regular" ou "Ruim" (Figuras 31 e 32). Os melhores valores de índices foram

observados para a barragem do Iguape (LES-IGP-001), rio Maruim (LES-MRM-600), rio Tijuípe (LES-TIJ-800) e o trecho médio do rio Una (LES-UNA-350).

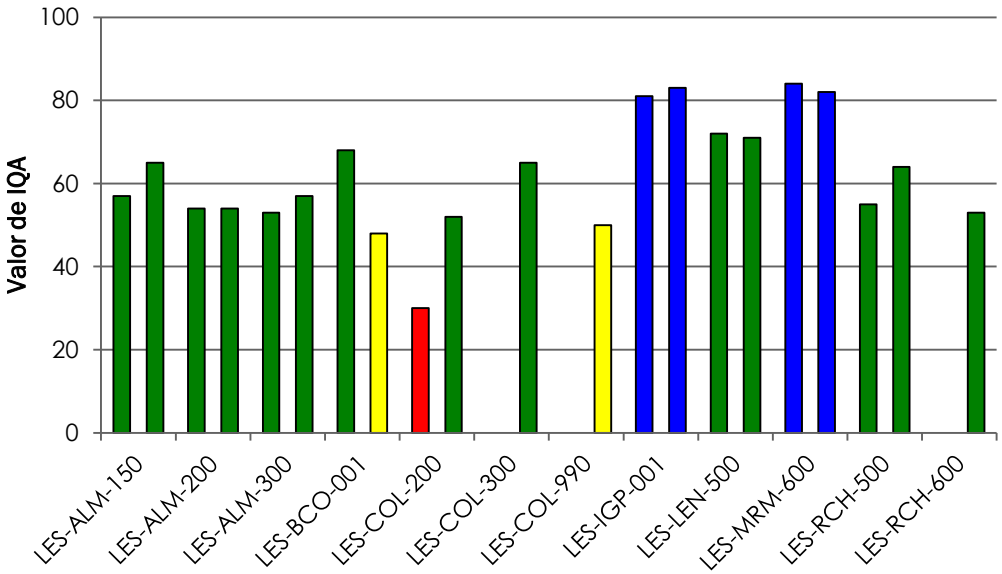


Figura 31. Classificações de IQA obtidas para a RPGA do Leste em 2020.(1)

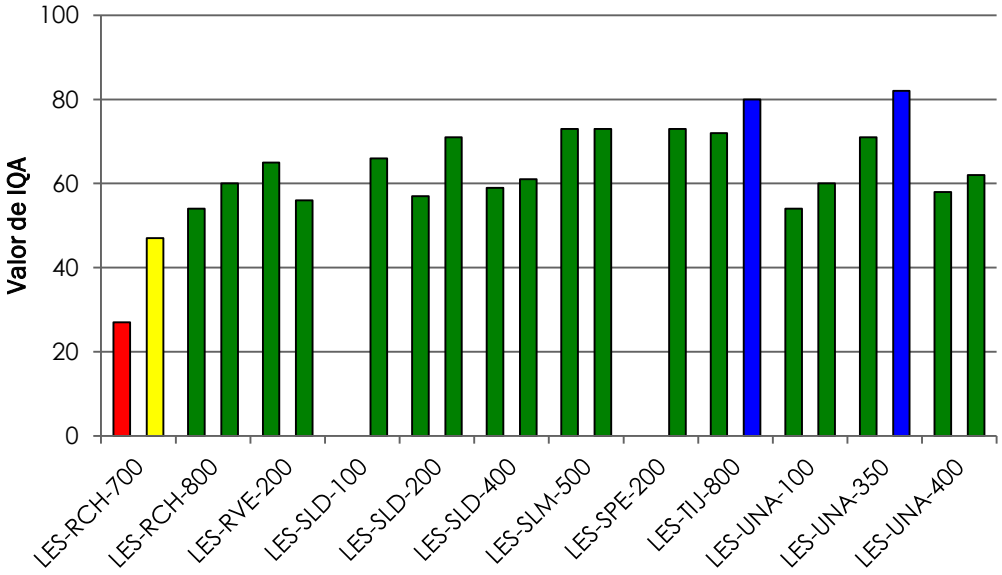


Figura 32. Classificações de IQA obtidas para a RPGA do Leste em 2020.(2)

Quadro de referência para as classificações de IQA.

Ótimo	Bom	Regular	Ruim	Péssimo
79 < IQA ≤ 100	51 < IQA ≤ 79	36 < IQA ≤ 51	19 < IQA ≤ 36	IQA ≤ 19

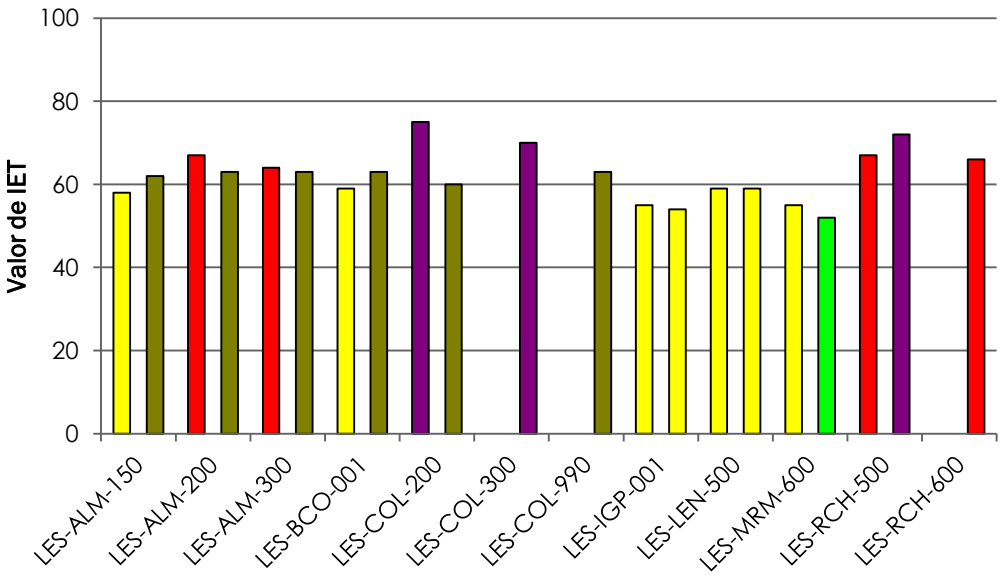


Figura 33. Classificações de IET obtidas para a RPGA do Leste em 2020.(1)

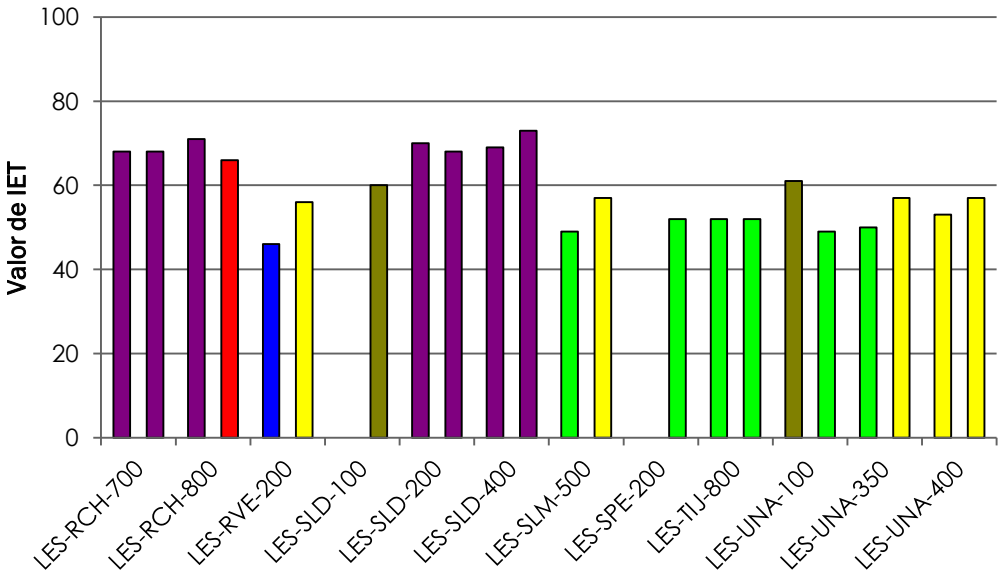


Figura 34. Classificações de IET obtidas para a RPGA do Leste em 2020.(2)

Quadro de referência para as classificações de IET.

Ultraoligotrófico	Oligotrófico	Mesotrófico	Eutrófico	Supereutrófico	Hipereutrófico
IET≤47	47 <IET≤52	52<IET≤59	59<IET≤63	63<IET≤67	IET>67

Já em relação ao IET, 23 dos 43 resultados revelaram elevado nível de trofia, classificando esses corpos hídricos entre "Eutrófico" e "Hipereutrófico" (Figuras 33 e 34). Os índices mais elevados foram observados nos rios Colônia (LES-COL-200 e LES-COL-300), rio Cachoeira (LES-RCH-500, LES-RCH-700 e LES-RCH-800) e rio Salgado (LES-SLD-200 e LES-SLD-400). Por outro lado, o menor nível de trofia foi observado na 1ª campanha de 2020 no Ribeirão Vermelho (LES-RVE-200). Além deste ponto, baixos níveis de trofia também foram observados nos rios Maruim (LES-MRM-600), Tijuípe (LES-TIJ-800), Salomé (LES-SLM-500), São Pedro (LES-SPE-200) e trechos do rio Una (LES-UNA-100 e LES-UNA-350), que apresentaram a classificação "Oligotrófico". Vale ressaltar que todos os trechos apresentaram variação de classificação, apresentando também classificações como "Mesotrófico" ou "Eutrófico" em uma das campanhas.

Embora no geral a RPGA do Leste tenha apresentado boas classificações para o Índice de Qualidade das Águas - IQA, o monitoramento desta RPGA em 2020 revela que a qualidade ambiental das águas desta RPGA encontra-se afetada pelas atividades humanas, principalmente o lançamento de efluentes sanitários sem o devido tratamento. Isto pode ser evidenciado pelo alto registro de pontos com elevada concentração de coliformes termotolerantes e fósforo total. Além disso, muitos corpos hídricos possuem trechos inseridos em zonas urbanas e, portanto, estão mais propensos a lançamentos de efluentes domésticos. As condições ambientais observadas no monitoramento de 2020 para a RPGA do Leste revelam danos severos aos usos múltiplos das águas pela sociedade e na manutenção das condições ecológicas do ambiente e da biota aquática.

3.8 RPGA DO RIO DE CONTAS

3.8.1 CARACTERÍSTICAS DA RPGA

A RPGA do Rio de Contas é constituída pela bacia hidrográfica do Rio de Contas. No ano de 2020, a qualidade das águas superficiais desta RPGA foi monitorada por meio de 44 pontos de amostragens, distribuídos conforme ilustra a Figura 35. A descrição da localização dos pontos, as datas de coleta e o registro fotográfico realizados nas campanhas são apresentados no Quadro 12.

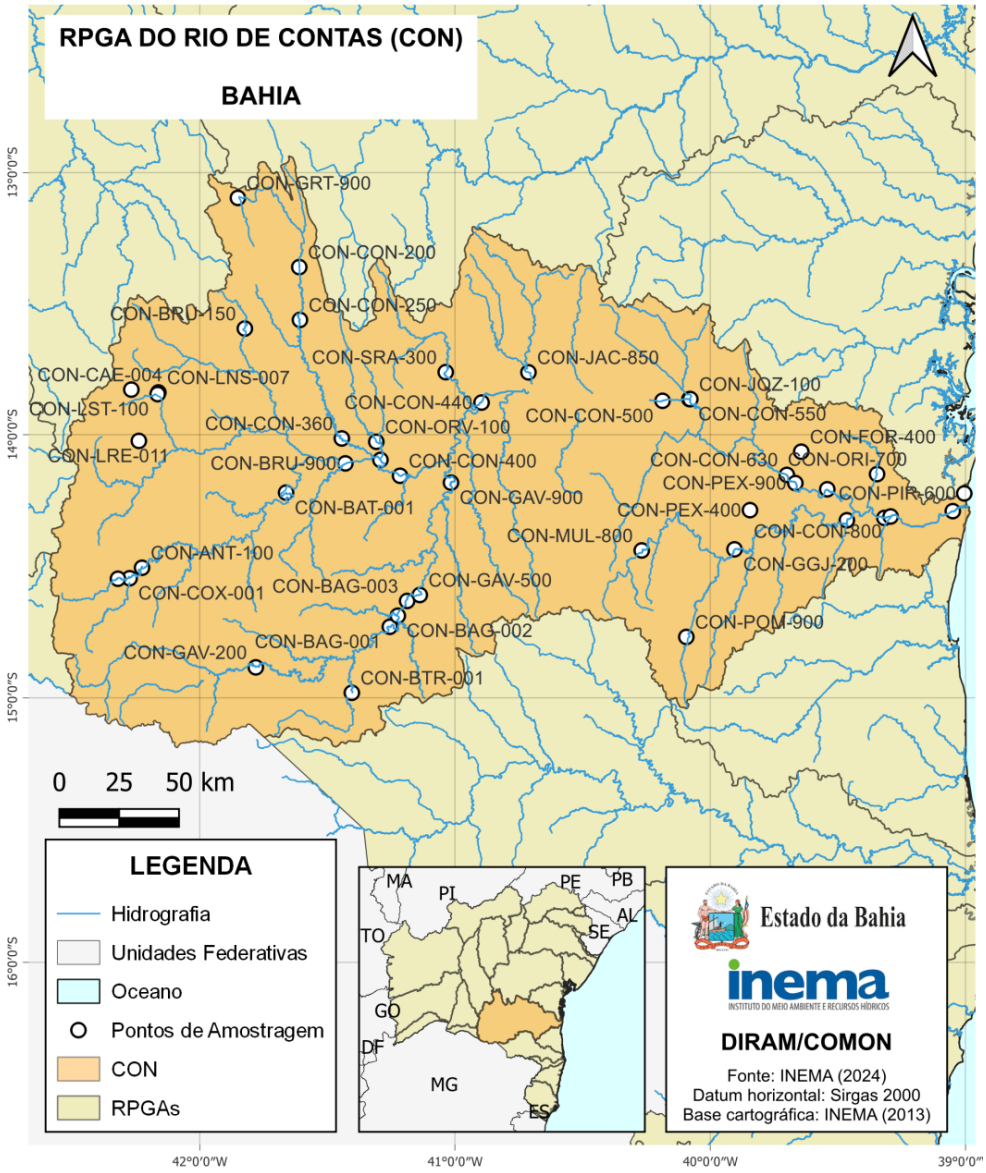


Figura 35. Mapa da distribuição da rede amostral na RPGA do Rio de Contas, Bahia.

Quadro 12. Caracterização geral dos pontos de amostragem da RPGA do Rio de Contas, Bahia.

Código Coordenadas geográficas (SIRGAS 2000)	Corpo hídrico Município	Local de amostragem	Data da coleta	Registro Fotográfico
CON-ANT-100 14°30'22,9" (S) 42°13'33,04" (W)	Rio do Antônio Caculé	Situado na zona urbana do município de Caculé, próximo à barragem do rio Antônio, também denominada de Lagoa Manuel Caculé.	1ª campanha: 03/03/2020 2ª campanha: Não realizada 3º campanha: Não realizada	
CON-ANT-500 **CON-BAT-001** 14°13'14,13" (S) 41°39'41,63" (W)	Rio do Antônio Brumado	Antiga captação de água da Embasa. Acesso pelo anel Rodoviário de Brumado, a cerca de 1,5 km do entroncamento para Sussuarana.	1ª campanha: 04/02/2020 2ª campanha: Não realizada 3º campanha: 11/11/2020	

CON-BAG-001 14°43'50,0" (S) 41°15'18,0" (W)	Barragem de Anagé Caraíbas	Barragem de Anagé no município de Caraíbas.	1ª campanha: 05/02/2020 2ª campanha: Não realizada 3º campanha: 11/11/2020	
CON-BAG-002 14°41'19,0" (S) 41°13'25,0" (W)	Barragem de Anagé Anagé	No meio da barragem de Anagé.	1ª campanha: 05/02/2020 2ª campanha: Não realizada 3º campanha: 11/11/2020	
CON-BAG-003 14°37'57,0" (S) 41°11'14,0" (W)	Barragem de Anagé Anagé	Ponto situado no vertedouro da barragem de Anagé.	1ª campanha: 05/02/2020 2ª campanha: Não realizada 3º campanha: 11/11/2020	

CON-BRU-150 13°35'44,1" (S) 41°49'22,8" (W)	Rio Brumado Rio de Contas	Ponto localizado a jusante da cidade de Rio de Contas, na localidade de Cachoeira do Frade.	1ª campanha: 04/02/2020 2ª campanha: Não realizada 3º campanha: 10/11/2020	
CON-BRU-900 -14,10944400 41°42,9'16,7"	Rio Brumado Aracatu	Ponto situado no rio Brumado, no Povoado de Roçados, municipio de Aracatu, acesso pela BA-026/BR-030.	1ª campanha: Não realizada 2ª campanha: Não realizada 3º campanha: 11/11/2020	Sem foto.
CON-BTR-001 14°58'51,3" (S) 41°24'13,5" (W)	Barragem Tremedal Tremedal	Ponto localizado na Barragem Tremendal, a cerca de 1,23 km da sede do município.	1ª campanha: 05/03/2020 2ª campanha: Não realizada 3º campanha: 02/12/2020	

CON-CAE-004 13°49'42,3" (S) 42°16'4,4" (W)	Barragem Wilson Gouvêa Caetité	Barragem Wilson Gouvêa ou Barragem de Águas Claras, formada pelo Riacho das Vacas e Córrego Cachoeira, localizado próximo à INB.	1ª campanha: 04/03/2020 2ª campanha: Não realizada 3º campanha: Não realizada	
CON-CON-200 13°21'39,60" (S) 41°36'35,20" (W)	Rio de Contas Abaíra	Na estrada que liga o povoado de João Correia à Jussiape, na fazenda Campinho em frente à escola Olavo Bilac.	1ª campanha: 04/02/2020 2ª campanha: Não realizada 3º campanha: 10/11/2020	
CON-CON-250 13° 33' 45,3" 41° 36' 35,20"	Rio de Contas Jussiape	Saindo de Jussiape sentido Vereda a 5 km, beirando o Rio, chega-se à estação.	1º campanha: 04/02/2020 2º campanha: Não realizada 3º campanha: 10/11/2020	

CON-CON-360 14°0'52,3" (S) 41°26'34,8" (W)	Rio de Contas Ituaçu	No distrito de Cristalândia, em acesso pela estrada de terra de Umburana, km 21. O ponto de monitoramento está localizado a jusante de um barramento.	1ª campanha: 04/02/2020 2ª campanha: Não realizada 3º campanha: 11/11/2020	
CON-CON-390 14°5'46" (S) 41°17'30,001" (W)	Rio de Contas Tanhaçu	Ponto localizado no Rio de Contas, no Povoado de Ourives, Município de Tanhaçu.	1ª campanha: Não realizada 2ª campanha: Não realizada 3ª campanha: 11/11/2020	
CON-CON-400 14°9'23,68" (S) 41°12'53,81" (W)	Rio de Contas Tanhaçu	No barramento de captação de água para o povoado de Sussuarana, na margem da BA-131.	1ª campanha: 05/02/2020 2ª campanha: Não realizada 3º campanha: 11/11/2020	

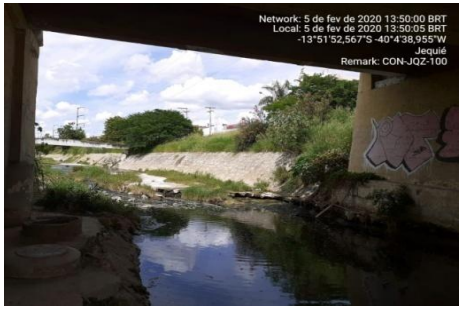
CON-CON-440 13°52'40,044" (S) 40°53'43,44" (W)	Rio de Contas Tanhaçu	Na barragem de captação de água para o povoado de Sussuarana, na margem da BA-131.	1ª campanha: Não realizada 2ª campanha: Não realizada 3ª campanha: Não realizada	Sem foto.
CON-CON-500 13°52'15,9" (S) 40°11'10,4" (W)	Rio de Contas Jequié	Na estação de piscicultura, a jusante da barragem de Pedras. Acesso pela BR-116, a cerca de 13 km da zona urbana de Jequié.	1ª campanha: 05/02/2020 2ª campanha: Não realizada 3º campanha: 12/11/2020	
CON-CON-550 13°51'52,04" (S) 40°4'51,05" (W)	Rio de Contas Jequié	Sob a ponte na rua Ministro Hélio de Almeida (BA-891) na zona urbana da cidade de Jequié.	1ª campanha: 05/02/2020 2ª campanha: Não realizada 3º campanha: 12/11/2020	

CON-CON-630 14°9'11,25" (S) 39°41'56,99" (W)	Rio de Contas Ipiaú	Ponto localizado a aproximadamente 3 km pela rodovia BR-330 a jusante da cidade de Ipiaú, sentido Barra do Rocha.	1ª campanha: 04/03/2020 2ª campanha: Não realizada 3º campanha: 02/12/2020	
CON-CON-700 14°12'28,70" (S) 39°32'26,70" (W)	Rio de Contas Ubatã	Aproximadamente a 2 km da cidade de Ubatã, na BR-330, acessar estrada de terra na altura do antigo terminal rodoviário até a margem do rio, próximo à Rua da Bica. Captação de água de Ubatã.	1ª campanha: 04/03/2020 2ª campanha: Não realizada 3º campanha: 02/12/2020	
CON-CON-790 14°19'0,998" (S) 39°19'0,998" (W)	Rio de Contas Ubaitaba	Situado sob a ponte da BR-101/BA-120 sobre o rio de Contas, na área central do município de Ubaitaba.	1ª campanha: Não realizada 2ª campanha: Não realizada 3ª campanha: 03/12/2020	

CON-CON-800 14°18'41,20" (S) 39°17'33,00" (W)	Rio de Contas Ubaitaba	Situado na ponte da BR-101, a jusante da ponte que liga os municípios de Aurelino Leal e Ubaitaba.	1ª campanha: 05/03/2020 2ª campanha: Não realizada 3º campanha: 03/12/2020	
CON-CON-900 14°17'28,0" (S) 39°2'56,0" (W)	Rio de Contas Itacaré	Ponto situado sob a nova ponte na BA-001 que liga Ilhéus a Itacaré.	1ª campanha: 13/02/2020 2ª campanha: Não realizada 3º campanha: 19/11/2020	
CON-COX-001 14°32'46,6" (S) 42°16'28,6" (W)	Açude do Comocoxico Caculé	Ponto situado a aproximadamente 10 km no sentido sudeste do município de Caculé.	1ª campanha: 04/03/2020 2ª campanha: Não realizada 3º campanha: Não realizada	

CON-FOR-400 14°3'53,6" (S) 39°38'33,8" (W)	Rio Formigas Ibirataia	Ponto localizado na zona urbana de Ibirataia, sob a ponte próxima ao cemitério e a fábrica Cores da Terra.	1ª campanha: 03/03/2020 2ª campanha: Não realizada 3º campanha: 01/12/2020	
CON-GAV-200 14°53'04,1" (S) 41°46'48,3" (W)	Rio Gavião Piripá	Sob uma ponte em estrada vicinal sobre o rio Gavião, após sair de Piripá pela BA-263 sentido Condeúba. Seguir aproximadamente 7 km.	1ª campanha: 05/03/2020 (Ponto seco) 2ª campanha: Não realizada 3º campanha: 02/12/2020	
CON-GAV-500 14°36'35,4" (S) 41°8'15,0" (W)	Rio Gavião Anagé	Acesso pela BA-262 ou pela BA-407, a jusante da Barragem de Anagé, sob a Ponte Vel, na régua fluviométrica.	1ª campanha: 05/02/2020 2ª campanha: Não realizada 3º campanha: 11/11/2020	

CON-GAV-900 14°10'58,001" (S) 41°0'55,001" (W)	Rio Gavião Enxu	Situado sob a ponte da estrada de terra sobre o rio Gavião, Povoado de Enxu, municipio de Tanhaçu.	1ª campanha: Não realizada 2ª campanha: Não realizada 3ª campanha: Não realizada	Sem foto.
CON-GGJ-200 14°26'10,8" (S) 39°54'15,1" (W)	Rio Gongoji Dário Meira	Ponto localizado sob ponte na BA-030, na entrada da cidade de Dário Meira.	1ª campanha: 03/03/2020 2ª campanha: Não realizada 3° campanha: 01/12/2020	
CON-GGJ-400 14°19'33,1" (S) 39°27'50,4" (W)	Rio Gongoji Gongogi	Sob a ponte, a jusante do centro de Gongogi, na régua fluviométrica do INEMA.	1ª campanha: 05/03/2020 2ª campanha: Não realizada 3° campanha: 02/12/2020	

CON-GRT-900 13°5'48,0" (S) 41°51'1,0" (W)	Rio Gritador Piatã	Ponto localizado na fazenda Dragão Verde. Acesso à propriedade é feito seguindo pela BA-148 para norte a partir da sede municipal de Piatã; após 9 km virar a esquerda no entroncamento que leva a localidade de Inúbia. Seguir mais 9 km em estrada não pavimentada e após passar a primeira ponte virar à esquerda, tomando o acesso local para a fazenda.	1ª campanha: 04/02/2020 2ª campanha: Não realizada 3° campanha: 10/11/2020	
CON-JAC-850 13°45'45" (S) 40°42'42" (W)	Rio Jacaré Maracás	Ponto situado no rio Jacaré em área rural do municipio de Maracás, próximo ao povoado de Três Barras.	1ª campanha: Não realizada 2ª campanha: Não realizada 3ª campanha: Não realizada	Sem foto.
CON-JQZ-100 13°51'52,3" (S) 40°4'38,6" (W)	Rio Jequiezinho Jequié	Situado na zona urbana de Jequié, no bairro Jequiezinho, a montante da confluência dos rios Jequiezinho e Contas.	1ª campanha: 05/02/2020 2ª campanha: Não realizada 3° campanha: 12/11/2020	

CON-LNS-007 13°50'21,2" (S) 42°9'43,0" (W)	Tanque do governo no povoado de São Timóteo Livramento de N. Senhora	Tanque do governo que abastece parte do povoado de São Timóteo.	1ª campanha: 04/03/2020 (Ponto seco) 2ª campanha: Não realizada 3º campanha: Não realizada	
CON-LRE-011 14°1'25,9" (S) 42°14'18,2" (W)	Barragem de São Pedro Lagoa Real	Barragem de São Pedro, próximo ao povoado de Salinas. Abastece o povoado de São Pedro e Lagoa Real, por gravidade.	1ª campanha: 03/03/2020 2ª campanha: Não realizada 3º campanha: Não realizada	
CON-LST-100 13°50'44,20" (S) 42°9'53,20" (W)	Lagoa do Timóteo Livramento de N. Senhora	Lagoa no centro do povoado de São Timóteo, logo após a Estação Dessanilizadora.	1ª campanha: 04/03/2020 2ª campanha: Não realizada 3º campanha: Não realizada	

CON-MUL-800 14°26'26,0" (S) 40°16'4,0" (W)	Rio das Mulheres Boa Nova	Ponto situado no rio das Mulheres no município de Boa Nova.	1ª campanha: 05/02/2020 (Ponto seco) 2ª campanha: Não realizada 3° campanha: 12/11/2020	
CON-ORI-700 14°9'1,0" (S) 39°20'44,3" (W)	Rio Oricó Grande Maraú	Ponto localizado sob a ponte na BR-101, entroncamento com a BA-650/BA-652 sobre o rio Oricó Grande.	1ª campanha: 02/03/2020 2ª campanha: Não realizada 3° campanha: 30/11/2020	
CON-ORV-100 14°1'37,6" (S) 41°18'28,6" (W)	Rio Ourives Ituaçu	Do distrito de Cristalândia, passando pelo povoado de Melancia, acesso pela Fazenda Paga Tempo, a 6 km de Tanhaçú. Estrada de acesso a EMBASA. O ponto de monitoramento situa-se a jusante da confluência com o rio do Laço.	1ª campanha: 05/02/2020 2ª campanha: Não realizada 3° campanha: 11/11/2020	

CON-PEX-400 14°17'14,40" (S) 39°50'36,90" (W)	Rio do Peixe Itagibá	Localizado sob a primeira ponte da BA-650/BA-130, na entrada da zona urbana de Itagibá.	1ª campanha: 03/03/2020 (Ponto seco) 2ª campanha: Não realizada 3ª campanha: 01/12/2020	
CON-PEX-900 14°11'4,10" (S) 39°39'57,0" (W)	Rio do Peixe Itagibá	Acesso pela rotatória da Mirabela, entrar a esquerda em estrada não asfaltada e seguir até o ponto sob a ponte do rio do Peixe.	1ª campanha: 04/03/2020 2ª campanha: Não realizada 3º campanha: 02/12/2020	
CON-PIR-600 14°13'25,1" (S) 39°0'13,9" (W)	Rio Piracanga Maraú	Ponto localizado sob ponte no rio Piracanga nas proximidades de uma estação da Coelba.	1ª campanha: 13/02/2020 2ª campanha: Não realizada 3º campanha: 19/11/2020	

CON-POM-900 14°46'8,9" (S) 40°5'35,0" (W)	Rio das Pombas Iguaí	Ponto localizado no rio das Pombas, a 1 km do Bar e Mercearia São Jorge, no município de Iguaí.	1ª campanha: 04/03/2020 2ª campanha: Não realizada 3º campanha: 02/12/2020	
CON-SRA-300 13°45'42,79" (S) 41°2'9,20" (W)	Rio Sincorá Barra da Estiva	Ponto situado sob a ponte da BR-407 / BA-026, na zona urbana do município Contendas do Sincorá.	1ª campanha: 03/03/2020 2ª campanha: Não realizada 3º campanha: Não realizada	
CON-TRU-001 14°32'53,3" (S) 42°19'13,4" (W)	Barragem do Truvisco Caculé	Localizado a 9 km do município de Caculé sentido Licínio de Almeida, na barragem do Truvisco.	1ª campanha: 03/03/2020 2ª campanha: Não realizada 3º campanha: Não realizada	

3.8.2 RESULTADOS E DISCUSSÃO

Dentre os 44 pontos da malha amostral desta RPGA, quatro pontos apresentaram alta concentração de sais, sendo classificados como Água Salobra - Classe 1, segundo a Resolução Conama nº 357/05. Trata-se do trecho do rio de Contas situado em Itacaré (CON-CON-900), rio Formigas (CON-FOR-400), rio Jequiezinho (CON-JQZ-100) e rio Peixe na cidade de Itagibá CON-PEX-900. Vale ressaltar que os pontos CON-CON-900, CON-FOR-400 e CON-PEX-900 apresentaram variações na classificação de salinidade durante o ano. Os demais pontos apresentaram baixa concentração de sais, sendo classificados como Água Doce - Classe 2 para todas as campanhas realizadas.

A rede amostral da RPGA do Rio de Contas possui 12 pontos de monitoramento em ambientes lênticos (barragens, açudes, tanques e lagoas), que são: Barragem do Rio do Antônio (CON-BAT-001), Barragem do Anagé (CON-BAG-001, CON-BAG-002, CON-BAG-003), Barragem Tremendal (CON-BTR-001), Barragem Wilson Gouvêa (CON-CAE-004), Açude Comocoxico (CON-COX-001), Tanque do Governo no Povoado de São Timóteo (CON-LNS-007), Barragem de São Pedro (CON-LRE-011), Lagoa de São Timóteo (CON-LST-001), Rio de Contas (CON-CON-400) e Barragem do Truvisco (CON-TRU-001). Os pontos CON-BAG-003, CON-LNS-007, CON-LRE-011 e CON-CON-400, não violaram nenhum limite dos padrões estabelecidos pela Resolução Conama 357/02. O restante dos pontos situados em barragens apresentou pelo menos um parâmetro em desconformidade para sua respectiva classificação de salinidade.

A Resolução Conama nº 357/05 define que o limite da concentração de coliformes termotolerantes não exceda 1.000 coliformes termotolerantes por 100 mililitros em 80% ou mais de pelo menos 6 amostras coletadas durante o período de um ano, com frequência bimestral tanto para águas doces, classe 2, quanto para salobras, classe 1. Utilizando este valor como referência observa-se que todos os pontos em ambientes lênticos apresentaram valores significativamente altos (>1.000 NMP/100mL) para todas as campanhas, com exceção da amostragem realizada na terceira campanha de 2020 para o ponto CON-CON-400. Também foram observadas violações frequentes dos limites estabelecidos pela resolução para os parâmetros fósforo total, OD, turbidez e clorofila a.

Em relação ao IQA, a maioria das amostras coletadas em ambientes lênticos indicou qualidade da água classificada como "Boa". Entretanto, as classificações dos índices mais baixos foram observadas nas barragens do Anagé (CON-BAG-001) e Wilson Gouvêa (CON-CAE-004), além da lagoa de São Timóteo (CON-LST-001) com classificação de "Regular". Para o IET, a classe de maior ocorrência de classificação foi "Mesotrófico", seguida pela classe "Oligotrófico". Dentre os pontos situados em ambientes lênticos, o ponto CON-LST-100 apresentou o maior nível de trofia sendo classificado como "Supereutrófico", indicando intenso enriquecimento de nutrientes neste corpo hídrico.

O Rio de Contas é monitorado através de 13 pontos classificados como ambientes lóticos, sendo eles CON-CON-200, CON-CON-250, CON-CON-360, CON-CON-390, CON-CON-440, CON-CON-500, CON-CON-550, CON-CON-630, CON-CON-700, CON-CON-790, CON-CON-800 e CON-CON-900. A maioria dos pontos apresentou todos os parâmetros em conformidade com a Resolução Conama 357/05 para todas as campanhas realizadas neste ano, com exceção dos pontos CON-CON-550, CON-CON-800 e CON-CON-900 que apresentaram violações dos limites estabelecidos para OD e fósforo total. Também foram observadas elevadas concentrações de coliformes termotolerantes (>1.000 NMP/100mL) para a maioria dos pontos situada neste corpo hídrico, com exceção do ponto CON-CON-200, CON-CON-250, e CON-CON-550 (1ª campanha).

No geral, o Rio de Contas apresentou valores de IQA classificados como "Bom" ou "Ótimo" para todos os pontos. Em relação ao IET, ao longo do corpo hídrico percebe-se uma ampla variação do nível de trofia, apresentando índices classificados entre "Ultraoligotrófico" e "Supereutrófico". Cabe resslatar que as classes "Mesotrófico" e "Eutrófico" foram as mais freqüentes considerando todas as campanhas de amostragens.

Considerando os demais pontos em ambientes lóticos desta RPGA, boa parte não apresentou violações dos limites da Resolução Conama 357/05, com exceção dos pontos CON-ANT-100, CON-BRU-150, CON-BRU-900, CON-FOR-400, CON-GAV-500, CON-GGJ-400, CON-JQZ-100, CON-MUL-800 e CON-PEX-900, que apresentaram violações para pelo menos um parâmetro em uma das campanhas realizadas.

No geral, neste ano de 2020, as violações aos padrões de qualidade estabelecidos na Resolução Conama 357/05 que ocorreram nesta RPGA foram para os parâmetros: fósforo total (25%), OD (19%), DBO (13%), clorofila a (6,5%), N-NH3 (6%), turbidez (4,9%), pH (3%) e nitrogênio nitrato (1,5%). Portanto, devido às frequentes violações observadas para Fósforo Total somadas as altas concentrações de coliformes termotolerantes, é possível inferir que, na RPGA do Rio de Contas, os principais fatores de impacto ambiental podem estar relacionados a lançamentos de esgotos domésticos ou resíduos industriais sem tratamento adequado, além da presença de animais próximos aos corpos hídricos.

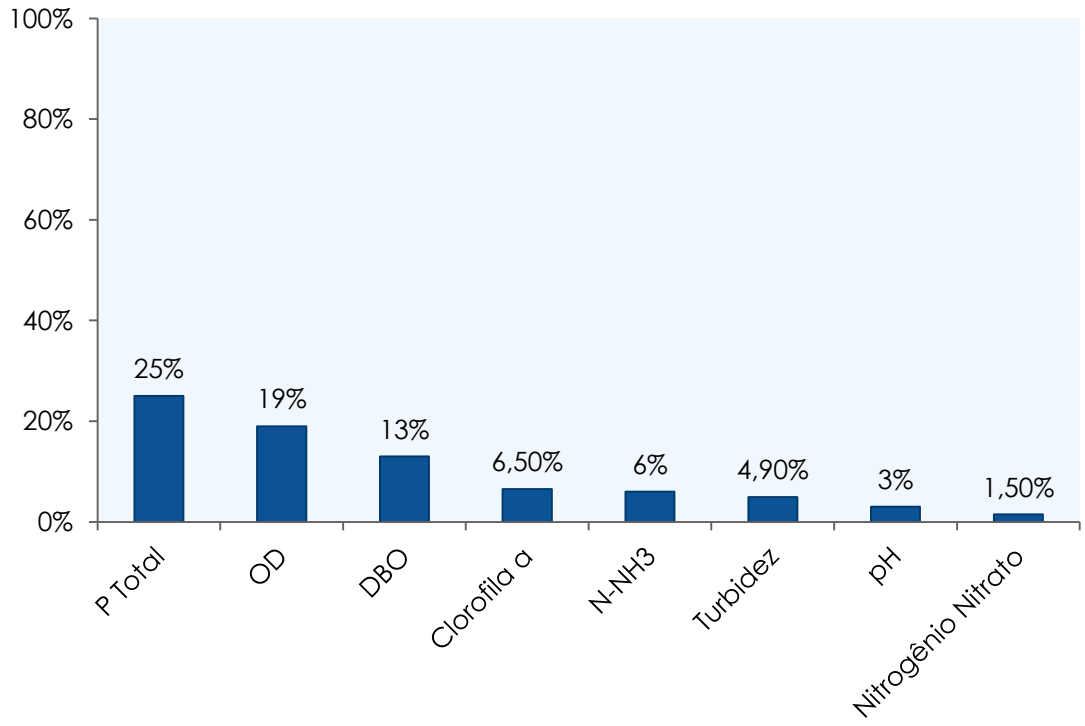


Figura 36. Frequência relativa (%) de violações para a RPGA do Rio de Contas em 2020.

As Figuras 37 a 42 mostram as frequências de ocorrências das classes de IQA e IET de cada ponto de amostragem da RPGA do Rio de Contas em 2020. O número de campanhas em cada ponto varia, devido à disponibilidade hídrica.

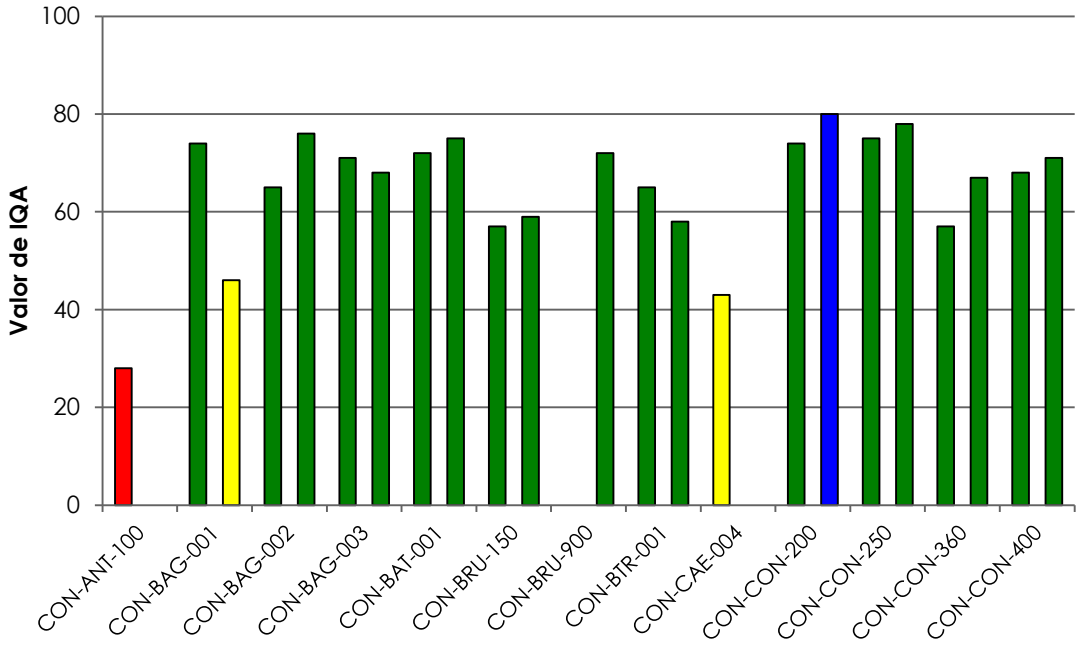


Figura 37. Classificações de IQA na RPGA do Rio de Contas.(1)

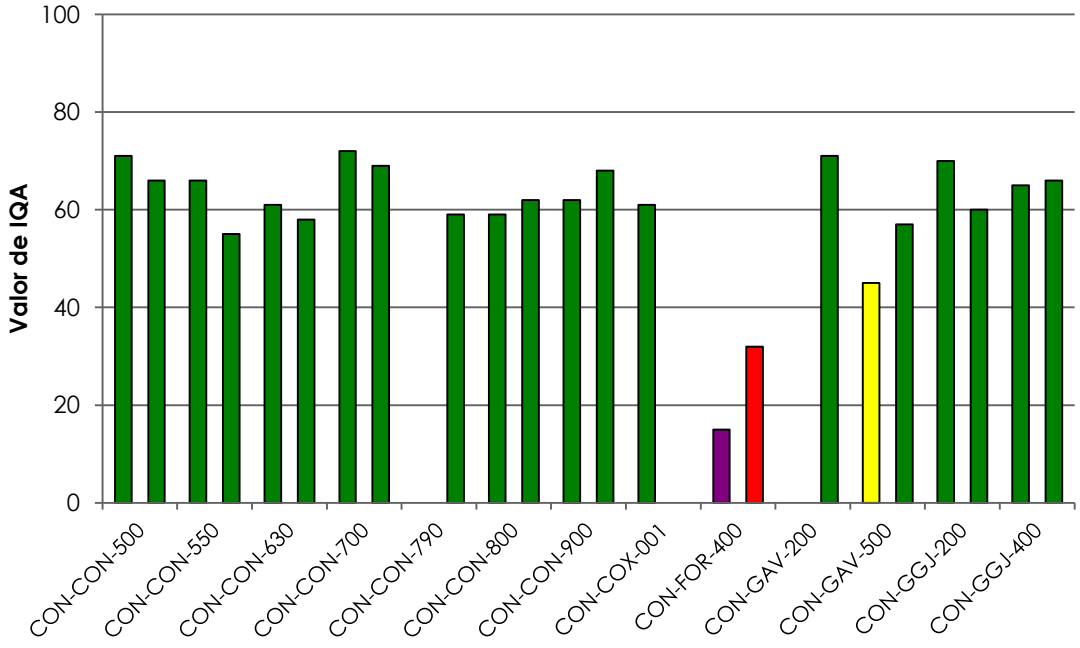


Figura 38. Classificações de IQA na RPGA do Rio de Contas.(2)

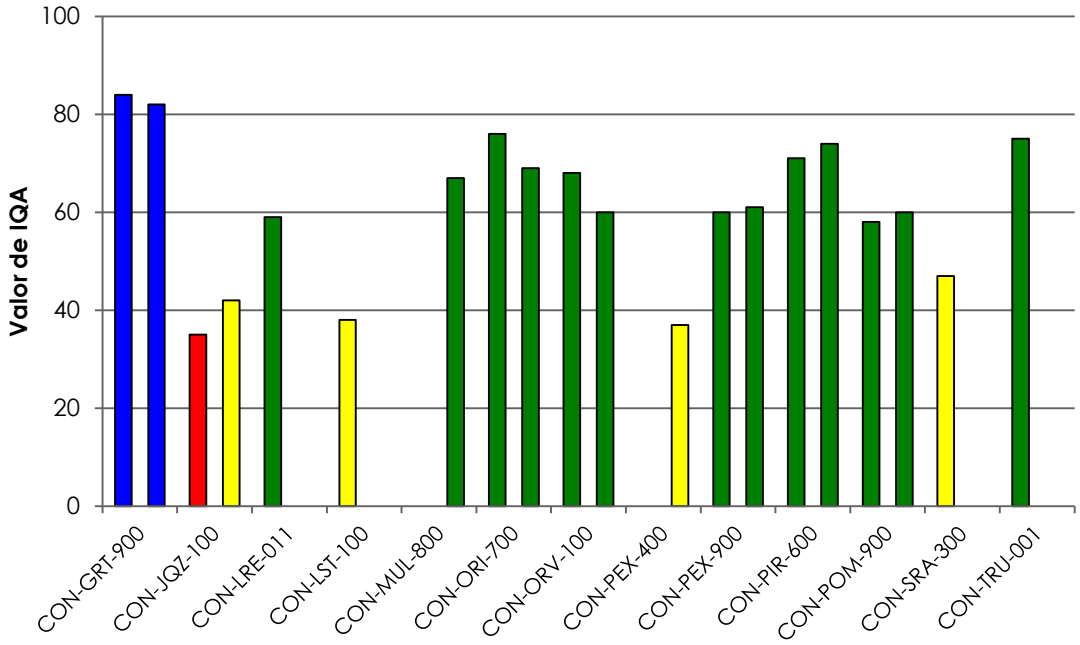


Figura 39. Classificações de IQA na RPGA do Rio de Contas.(3)

Quadro de referência para as classificações de IQA.

Ótimo	Bom	Regular	Ruim	Péssimo
79 < IQA ≤ 100	51 < IQA ≤ 79	36 < IQA ≤ 51	19 < IQA ≤ 36	IQA ≤ 19

No geral, com base no IQA, a maioria das campanhas de amostragens realizadas na RPGA do Rio de Contas indicou qualidade da água em condições satisfatórias. A maioria dos pontos apresentou qualidade da água classificada como "Boa", seguida das classes "Regular" e "Ótimo". O melhor valor de índice foi obtido para o rio Gritador (CON-GRT-900) no município de Piatã que apresentou a classe "Ótima" para as duas campanhas de amostragens realizadas. Os piores índices foram observados para os pontos CON-ANT-100, CON-FOR-400 e CON-JQZ-100 que apresentaram classificações entre "Ruim' e "Péssima".

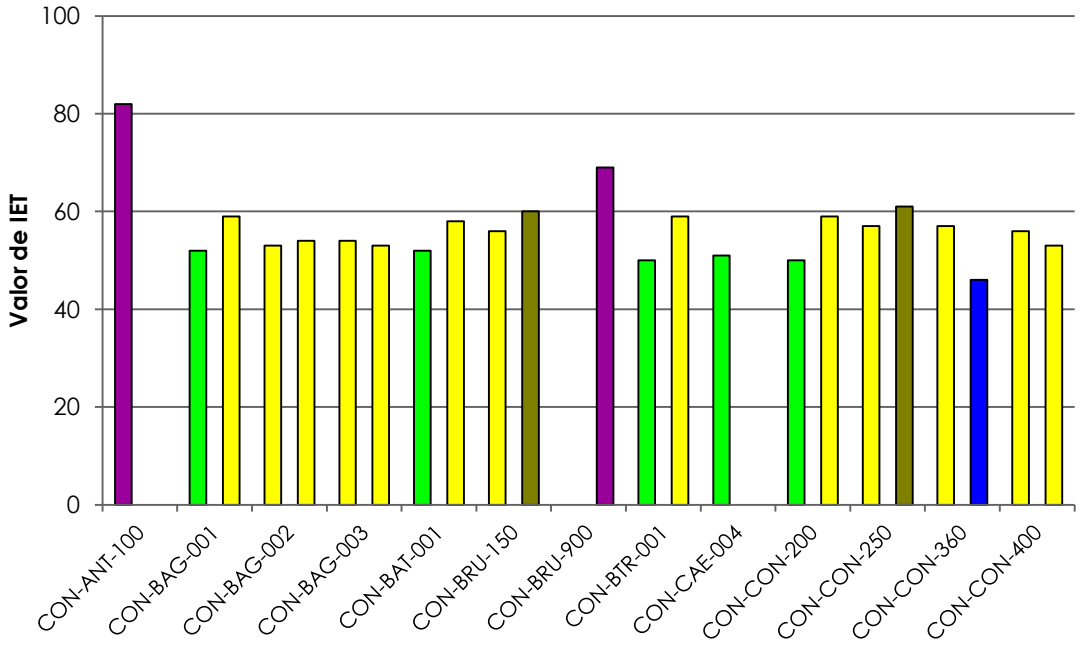


Figura 40. Classificações de IET na RPGA do Rio de Contas.(1)

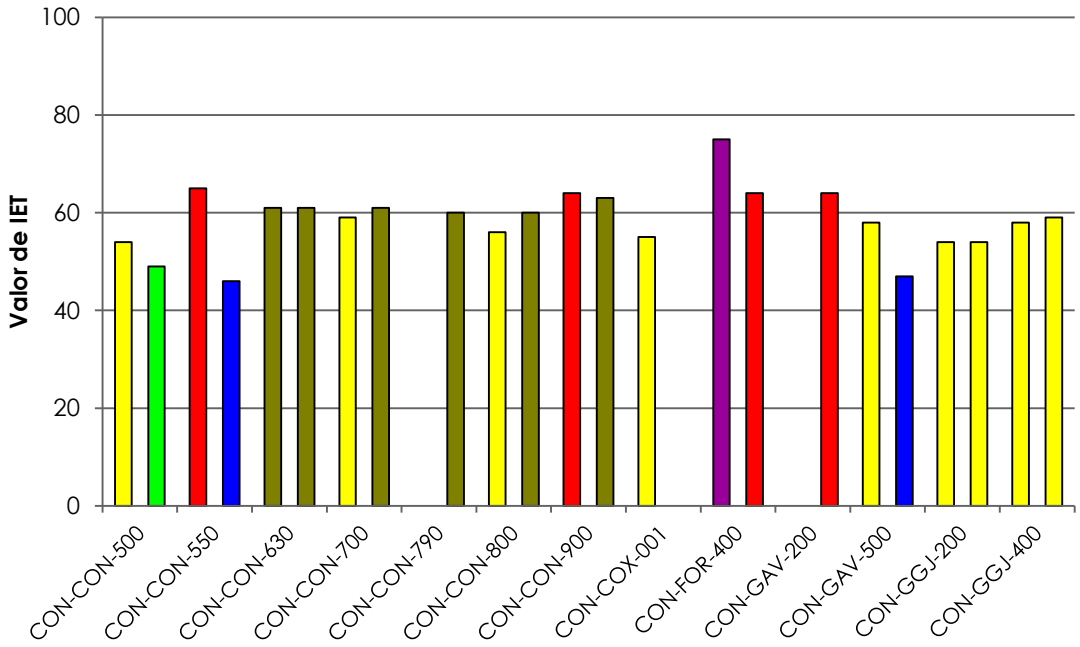


Figura 41. Classificações de IET na RPGA do Rio de Contas.(2)

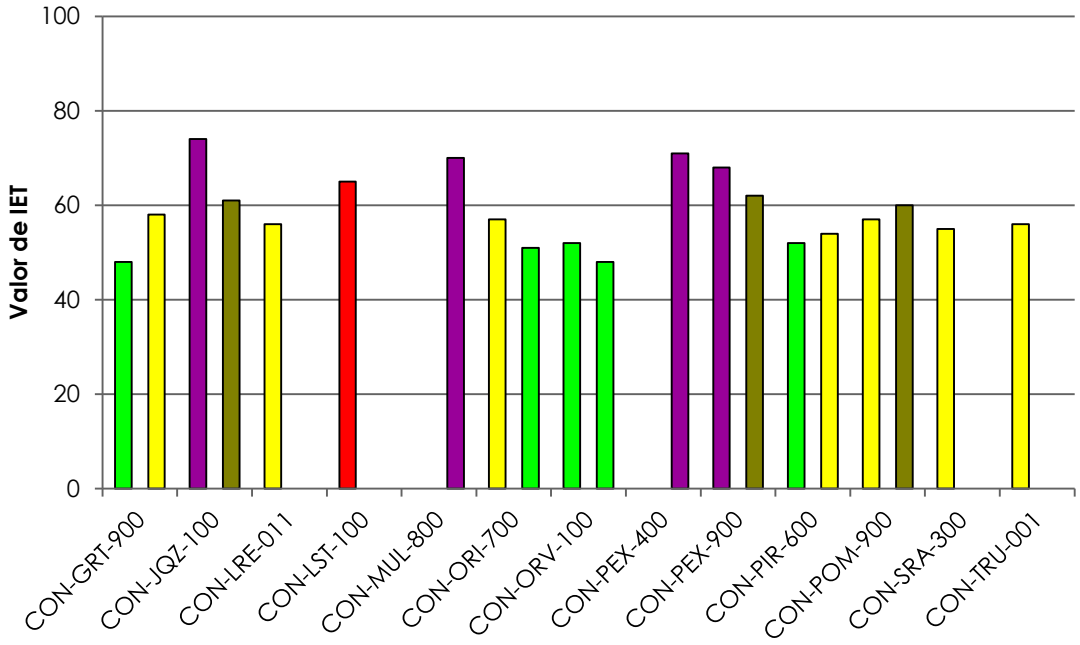


Figura 42. Classificações de IET na RPGA do Rio de Contas.(3)

Quadro de referência para as classificações de IET.

Ultraoligotrófico	Oligotrófico	Mesotrófico	Eutrófico	Supereutrófico	Hipereutrófico
IET≤47	47 <IET≤52	52<IET≤59	59<IET≤63	63<IET≤67	IET>67

Com relação ao IET, os corpos hídricos desta RPGA apresentaram uma ampla variação na classificação dos níveis de eutrofização, com índices classificados de "Hipereutrófico" a "Ultraoligotrófico" (Figura 34). Os maiores níveis de trofia foram observados nos pontos CON-ANT-100, CON-BRU-900, CON-FOR-400, CON-JQZ-100, CON-MUL-800, CON-PEX-400 e CON-PEX-900, sendo classificados como "Hipereutróficos", indicando elevado enriquecimento de nutrientes.

Os dados obtidos pelo monitoramento da RPGA do Rio de Contas em 2020 indicam que, embora seja evidenciada a influência das atividades antrópicas em alguns pontos através dos valores de IET, no geral, a maioria das águas desta RPGA encontra-se com qualidade satisfatória. Entretanto, alguns pontos requerem atenção, pois apresentam condições que podem comprometer o uso destas águas, além de indicar a possibilidade de impactos sobre aspectos ecológicos.

3.9 RPGA DO RECÔNCAVO SUL

3.9.1 CARACTERÍSTICAS DA RPGA

A RPGA do Recôncavo Sul é constituída pelas bacias hidrográficas de rios estaduais, que deságuam no Oceano Atlântico, na contra-costa da Ilha de Itaparica, na contra-costa do Arquipélago de Tinharé-Boipeba e na Baía de Camamu, limitada ao norte e a oeste pela RPGA do Rio Paraguaçu e ao sul e a sudoeste pela RPGA do Rio de Contas.

No ano de 2020, a qualidade das águas superficiais desta RPGA foi monitorada por meio de 25 pontos de amostragens, distribuídos conforme ilustra a Figura 43. A descrição da localização dos pontos, a data de coleta e os registros fotográficos realizados nas campanhas são apresentados no Quadro 13.

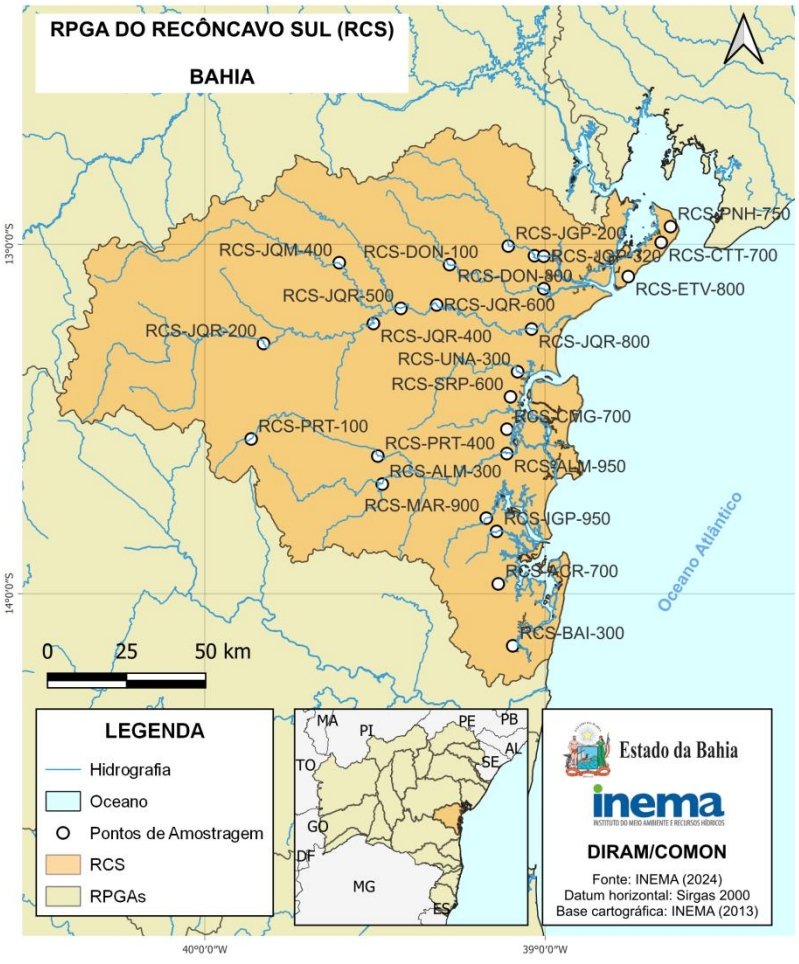


Figura 43. Mapa da distribuição da rede amostral na RPGA do Recôncavo Sul, Bahia.

Quadro 13. Caracterização geral dos pontos de amostragem da RPGA do Rio do Recôncavo Sul, Bahia.

Código Coordenadas geográficas (SIRGAS 2000)	Corpo hídrico Município	Local de amostragem	Data da coleta	Registro Fotográfico
RCS-ACR-700 13°58'19,2" (S) 39°8'13,7" (W)	Rio Acaraí Camamu	Ponto situado na barragem de captação da Embasa no povoado de Acaraí.	1ª campanha: 27/02/2020 2ª campanha: 22/09/2020 3° campanha: 26/11/2020	
RCS-ALM-300 13°41'12,2" (S) 39°28'41,5" (W)	Rio das Almas Wenceslau Guimarães	Acesso pela BR-101, sob ponte, na sede do município no sentido Praça Simões Filho. Coincide com a estação fluviométrica.	1ª campanha: 02/03/2020 2ª campanha: 01/10/2020 3° campanha: 30/11/2020	

RCS-ALM-950 13°35'58,0" (S) 39°6'43,0" (W)	Rio das Almas Nilo Peçanha	Acesso pela BA-650 (BA-001), na zona urbana do município de Nilo Peçanha.	1ª campanha: 27/02/2020 2ª campanha: 22/09/2020 3° campanha: 26/11/2020	
RCS-BAI-300 14°8'55,7" (S) 39°5'40,5" (W)	Rio Baiano Maraú	Manancial usado pela comunidade de Tremembé, seguindo a rodovia que liga Camamu a Itacaré.	1ª campanha: 27/02/2020 2ª campanha: 22/09/2020 3° campanha: 26/11/2020	
RCS-CMG-700 13°31'47,11" (S) 39°6'41,85" (W)	Rio Camurugi Taperoá	Localizado na zona rural de Taperoá, com acesso pela BA-001 e BA-544 seguindo até o rio Camurugi.	1ª campanha: 27/02/2020 2ª campanha: 22/09/2020 3° campanha: 26/11/2020	

RCS-CTT-700 12°59'49,0" (S) 38°39'28,0" (W)	Fonte Catita Vera Cruz	Localizado no povoado da Coroa, água represada pelos moradores da região e entorno, para lavagem de roupas, utensílios domésticos, consumo humano e dessedentação animal.	1ª campanha: 27/02/2020 2ª campanha: 01/10/2020 3° campanha: 01/12/2020	Sem foto.
RCS-DON-100 13°3'30,0" (S) 39°16'49,0" (W)	Rio da Dona São Miguel das Matas	Sob a ponte na BR-101, entre São Miguel das Matas e Santo Antônio de Jesus, a jusante da barragem do rio da Dona.	1ª campanha: 19/02/2020 2ª campanha: 28/09/2020 3° campanha: 24/11/2020	
RCS-DON-800 13°7'37,79" (S) 39°0'12,11" (W)	Rio da Dona Jaguaripe	Sob ponte do rio na BA-001, pelo acesso Nazaré/ Valença.	1ª campanha: 27/02/2020 2ª campanha: 28/09/2020 3° campanha: 01/12/2020	Sem foto.

RCS-ETV-800 13°5'32,6" (S) 38°45'18,2" (W)	Rio da Estiva Vera Cruz	Localizado no povoado de Tairu/Aratuba, sob a ponte no rio da Estiva, estrada para Nazaré das Farinhas, 4 km do acesso a Tairu.	1ª campanha: 27/02/2020 2ª campanha: 01/10/2020 3° campanha: 02/12/2020	
RCS-IGP-950 13°49'19,0" (S) 39°8'31,7" (W)	Rio Igrapiúna Igrapiúna	Sob a ponte na BA-001, no rio Igrapiúna, dentro do município de Igrapiúna.	1ª campanha: 27/02/2020 2ª campanha: 22/09/2020 3° campanha: 26/11/2020	
RCS-JGP-200 13°0'18,1" (S) 39°6'27,7" (W)	Rio Jaguaripe Muniz Ferreira	Zona urbana do município de Muniz Ferreira, a jusante do mirante da praça.	1ª campanha: 28/02/2020 2ª campanha: 28/09/2020 3° campanha: 01/12/2020	Sem foto.

RCS-JGP-300 13°1'59,2" (S) 39°1'3,0" (W)	Rio Jaguaripe Nazaré das Farinhas	A montante da ponte sob o rio na BR-001, acesso que liga Nazaré das Farinhas a Santo Antônio de Jesus. O ponto de coleta coincide com a estação hidrometereológica.	1ª campanha: 28/02/2020 2ª campanha: 28/09/2020 3° campanha: 01/12/2020	Sem foto.
RCS-JGP-320 -13,033644 (S) -39,00285 (W)	Rio Jaguaripe Nazaré das Farinhas	Ponto em frente a empresa OLDESA S/A, na Avenida Manoel Castro, na rampa que dá acesso aos barcos, ao lado de um campo de futebol	1° campanha: 27/02/2020 2° campanha: 28/09/2020 3° campanha: 01/12/2020	Sem foto.
RCS-JQM-400 13°3'9,90" (S) 39°36'16,50" (W)	Rio Jequiriçá Mirim Amargosa	Acesso pela vicinal que liga o município à Barragem do Timbó, sob a ponte no rio Jequiriçá Mirim que dá acesso ao povoado de Ribeirão.	1ª campanha: 18/02/2020 2ª campanha: 29/09/2020 3° campanha: 23/11/2020	

RCS-JQR-200 13°17'3,3" (S) 39°49'37,6" (W)	Rio Jequiriçá Santa Inês	Ponto no rio Jequiriçá, a montante da cidade de Santa Inês, sob a ponte da BR-420.	1ª campanha: 18/02/2020 (Ponto seco) 2ª campanha: 29/09/2020 (Ponto seco) 3ª campanha: 23/11/2020	
RCS-JQR-400 13°13'38,4" (S) 39°30'8,7" (W)	Rio Jequiriçá Mutuípe	A jusante do município de Mutuípe, primeira estrada de terra saindo da BR-420.	1ª campanha: 18/02/2020 2ª campanha: 30/09/2020 3° campanha: 24/11/2020	
RCS-JQR-500 13°11'3,3" (S) 39°25'25,1" (W)	Rio Jequiriçá Laje	Sob a ponte na BA-420, a jusante do município de Laje.	1ª campanha: 19/02/2020 2ª campanha: 30/09/2020 3° campanha: 24/11/2020	

RCS-JQR-600 13°10'25,7" (S) 39°19'6,0" (W)	Rio Jequiriçá Laje	Sob a ponte na BR-101, no entroncamento que segue para Laje. O ponto coincide com a estação fluviométrica da ANA.	1ª campanha: 19/02/2020 2ª campanha: 30/09/2020 3° campanha: 24/11/2020	
RCS-JQR-800 13°14'34,30" (S) 39°2'21,39" (W)	Rio Jequiriçá Valença	Na divisa entre Jaguaripe e Valença, sob a ponte na BA-001.	1ª campanha: 27/02/2020 2ª campanha: 28/09/2020 3° campanha: 01/12/2020	Sem foto.
RCS-MAR-900 13°47'3,06" (S) 39°10'20,31" (W)	Rio da Mariana Igrapiúna	Ponto no pier de madeira da Cachoeira Pancada Grande. Acesso pela BA-001, 3 km da cidade de Ituberá sentido Igrapiúna.	1ª campanha: 27/02/2020 2ª campanha: 22/09/2020 3° campanha: 26/11/2020	

RCS-PNH-750 12°56'57,2" (S) 38°37'50,8" (W)	Córrego da Penha Vera Cruz	Sob a ponte que dá acesso a praia de Mar Grande. Este ponto está inserido em um trecho intermediário do Riacho da Penha.	1ª campanha: 27/02/2020 (Ponto seco) 2ª campanha: 01/10/2020 (Ponto seco) 3ª campanha: 01/12/2020 (Ponto seco)	Sem foto.
RCS-PRT-100 13°33'27,6" (S) 39°51'48,7" (W)	Rio Preto Jaguaquara	O ponto localiza-se sob a ponte de concreto da fazenda Malhada, acessado por estrada de terra após sair da BA-545.	1ª campanha: 18/02/2020 2ª campanha: 29/09/2020 3° campanha: 23/11/2020	
RCS-PRT-400 13°36'23,7" (S) 39°29'28,4" (W)	Rio Preto Wenceslau Guimarães	Acesso pela BR-101, na sede do município, sob a ponte que faz divisa entre os municípios entre os municípios de Teolândia e Wenceslau Guimarães (zona rural). O ponto coincide com a estação fluviométrica.	1ª campanha: 02/03/2020 2ª campanha: 01/10/2020 3° campanha: 30/11/2020	

RCS-SRP-600 13°26'13,4" (S) 39°06'4,1" (W)	Rio Sarapuí Valença	Ponto localizado sob a ponte na estrada para Sarapuí. Próximo a captação do Serviço Autônomo de Água e Esgoto - SAAE. Saindo de Valença, segue 7 km pela BA-001, sentido Ituberá até ao acesso da estrada não pavimentada. Deste, virar no sentido da direita e seguir por mais 2 km até o ponto de destino.	1ª campanha: 27/02/2020 2ª campanha: 28/09/2020 3° campanha: 26/11/2020	Sem foto.
RCS-UNA-300 13°21'54,80" (S) 39°4'48,90" (W)	Rio Una Valença	Bairro de Pitanga, local conhecido como Cachoeira, na saída de Valença em direção ao entroncamento com a BR-101, ponto a montante da Companhia Valença Industrial.	1ª campanha: 27/02/2020 2ª campanha: 28/09/2020 3° campanha: 01/12/2020	Sem foto.

3.9.2 RESULTADOS E DISCUSSÃO

A maioria dos pontos de monitoramento desta RPGA foi classificada, conforme Resolução Conama Nº 357 de 2005, como Água doce - Classe 2, com exceção dos pontos RCS-JGP 320 (1° campanha) e RCS-JQR 200 (3° campanha), localizados no Rio Jaguaripe e Rio Jequiriçá, respectivamente, classificados como Água Salobra, classe 1, por apresentarem salinidade superior a 0,5% e inferior a 30%.

Na RPGA do Recôncavo Sul, 19 dos 25 pontos apresentaram parâmetros com valores em desconformidade com a resolução, para as suas respectivas classificações de salinidade, em pelo menos uma das campanhas realizadas neste ano. Os parâmetros que violaram os limites estabelecidos pela resolução foram: OD (15,71%), Fósforo Total (15,71%), DBO (14,70%), pH (12,85%), Turbidez (1,47%) e N-NH3(1,42%) (Figura 44). Os pontos que não violaram nenhum dos padrões de qualidade estabelecidos pela legislação estão situados no rio Acaraí (RCS-ACR-700); Rio das Almas (RCS-ALM-950); Camurugi (RCS-CMG-700); Jequiriçá (RCS-JQR-200 e RCS-JQR-600).

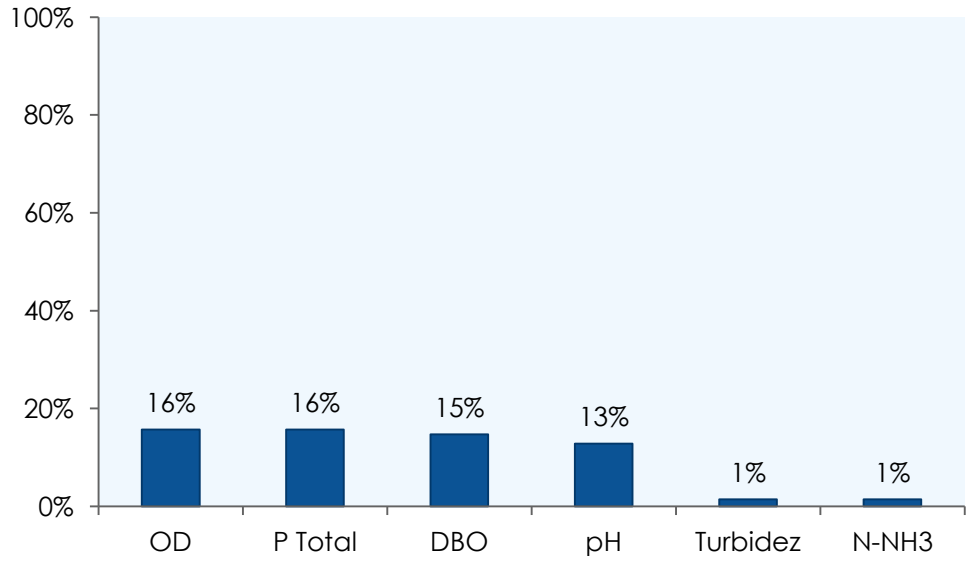


Figura 44. Frequência relativa (%) de violações para a RPGA do Recôncavo Sul em 2020.

A Resolução do Conama 357/05 define que o limite da concentração de coliformes termotolerantes não exceda 1.000 NMP por 100 mililitros em 80% ou mais de pelo

menos 6 amostras coletadas durante o período de um ano, com frequência bimestral tanto para águas doces, classe 2, quanto para salobras, classe 1.

Utilizando o valor de 1.000 NMP/100 ml como referência, constata-se que 55,7% dos resultados das amostragens realizadas nesta RPGA apresentaram elevadas concentrações de coliformes termotolerantes, o que afeta a qualidade das águas do trecho do corpo hídrico monitorado. Dentre os 25 pontos que constituem esta RPGA, apenas os pontos situados nos rios da Dona (RCS-DON-800), Jequiriçá-Mirim (RCS-JQM-400), Jequiriça (RCS-JQR-80), Mariana (RCS-MAR-900) e riacho Fonte Catita (RCS-CTT-700), não apresentaram elevadas concentrações de coliformes termotolerantes em nenhuma das campanhas realizadas neste ano.

O Rio Jequiriçá é monitorado através de cinco pontos de amostragem, sendo eles, RCS-JQR-200, RCS-JQR-400, RCS-JQR-500, RCS-JQR-600 e RCS-JQR-800. Os trechos monitorados ao longo do rio apresentaram violações dos limites para os parâmetros DBO, OD e pH. Apenas o trecho referente ao ponto RCS-JQR-600, situado no município de Laje, não apresentou parâmetros em desconformidade para nenhuma das campanhas realizadas.

O Rio Jaguaripe está situado entre os municípios de Muniz Ferreira e Nazaré das Farinhas, sendo monitorado por meio de três pontos de amostragem, sendo eles RCS-JGP-200, RCS-JGP-300 e RCS-JGP-320. Todos os trechos monitorados neste corpo hídrico apresentaram concentrações acima do limite estabelecido para fósforo total em todas as amostragens, além de concentrações elevadas para coliformes termotolerantes. Esses resultados indicam a ocorrência de poluição dessas águas através de despejos de esgoto doméstico.

As Figuras 45 a 48 mostram as frequências das ocorrências das classes de IQA e IET de cada ponto de amostragem da RPGA do Recôncavo Sul, ao longo de 2020.

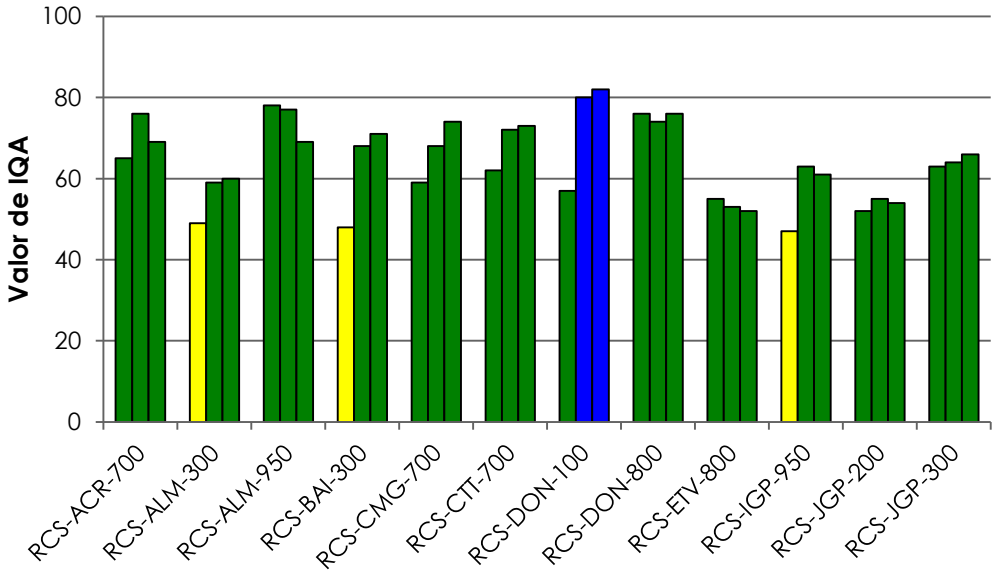


Figura 45. Classificações de IQA na RPGA do Recôncavo Sul.(1)

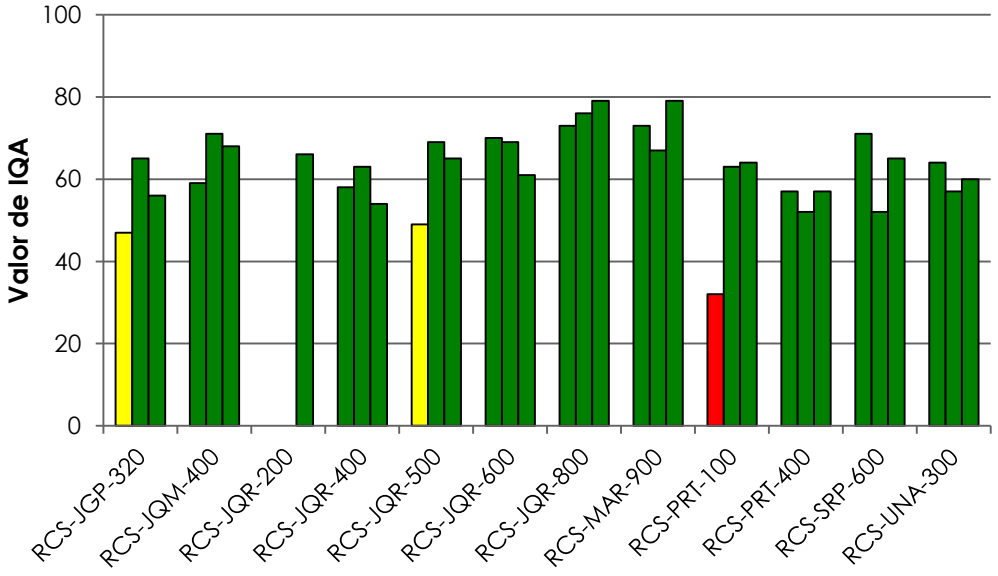


Figura 46. Classificações de IQA na RPGA do Recôncavo Sul.(2)

Quadro de referência para as classificações de IQA.

Ótimo	Bom	Regular	Ruim	Péssimo
79 < IQA ≤ 100	51 < IQA ≤ 79	36 < IQA ≤ 51	19 < IQA ≤ 36	IQA ≤ 19

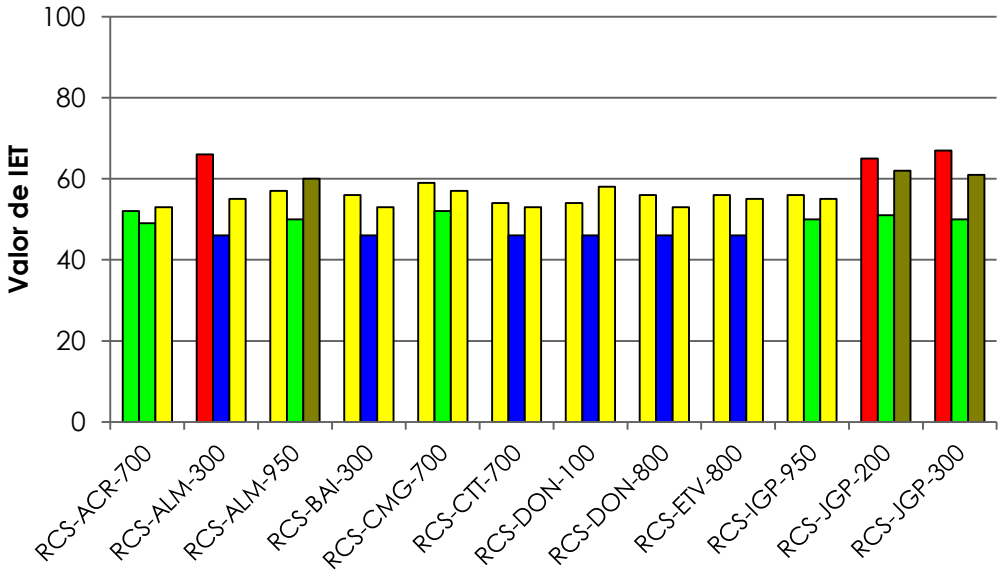


Figura 47. Classificações de IET na RPGA do Recôncavo Sul.(1)

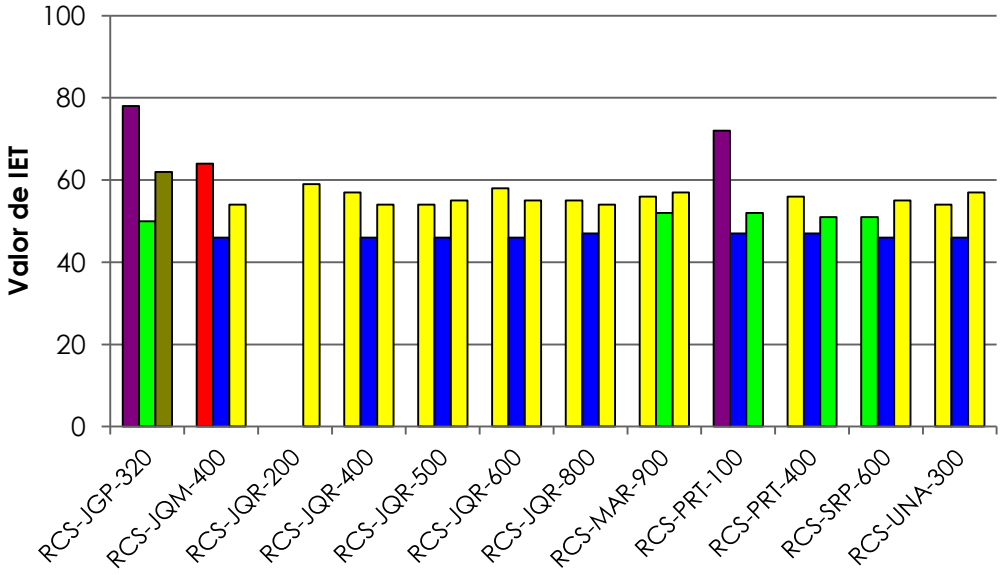


Figura 48. Classificações de IET na RPGA do Recôncavo Sul.(2)

Quadro de referência para as classificações de IET.

Ultraoligotrófico	Oligotrófico	Mesotrófico	Eutrófico	Supereutrófico	Hipereutrófico
IET≤47	47 <IET≤52	52<IET≤59	59<IET≤63	63<IET≤67	IET>67

Com relação ao Índice de Qualidade das Águas – IQA, a maioria dos pontos que pertencem à malha amostral desta RPGA apresentou qualidade da água classificada como "Boa". Alguns trechos apresentaram qualidade da água classificada como "Regular" em uma das campanhas realizadas, como por exemplo, os pontos RCS-ALM-300, RCS-BAI-300, RCS-IGP 950, RCS-JGP-320, RCS-JQR 500. O menor índice foi observado para a primeira campanha realizada no trecho do rio Preto (RCS-PRT-100) apresentando qualidade da água classificada como "Ruim". Por outro lado, o melhor índice foi observado para o trecho mais próximo a nascente do rio da Dona (RCS-DON-100), no município de São Miguel das Matas que apresentou qualidade da água classificada como "Ótima" para duas das três campanhas realizadas.

Em relação ao IET, as águas da RPGA do Recôncavo Sul apresentaram ampla gama de classificações do índice, indicando níveis de trofia classificados entre "Hipereutrófico" e "Ultraoligotrófico". Entretanto, a maioria dos pontos foi classificada como "Mesotrófico", indicando moderado enriquecimento de nutrientes, seguido das classes "Ultraoligotrófico" e "Oligotrófico". Vale destacar que a maioria dos trechos amostrados apresentou variação do nível de trofia entre as campanhas. Os maiores níveis de trofia foram observados na primeira campanha de amostragem dos pontos RCS-JGP-320 e RCS-PRT-100, sendo classificados como "Hipereutrófico", indicando elevado enriquecimento de nutrientes.

No geral, o monitoramento realizado em 2020 indica que a maioria dos pontos da RPGA do Recôncavo Sul encontra-se com qualidade satisfatória, conforme indicam os resultados para o IQA, embora tenham sido observadas concentrações elevadas de coliformes termotolerantes em alguns pontos. Importante salientar que os resultados obtidos para o IET indicaram variações no nível de trofia obtido entre as campanhas, sendo um indicativo das atividades antropogênicas realizadas próximas a estes corpos hídricos. Esta variação pode ocorrer devido a contribuições pontuais, além da interferência de aspectos naturais como, por exemplo, ocorrência de chuvas no período da amostragem.

3.10 RPGA DO RIO PARAGUAÇU

3.10.1 CARACTERÍSTICAS DA RPGA

A RPGA do Rio Paraguaçu é constituída pelas bacias hidrográficas do Rio Paraguaçu e de pequenos rios que deságuam na baía do Iguape até o Município de Salinas da Margarida.

Em 2020 esta RPGA, teve a qualidade de suas águas superficiais monitorada por meio de 57 pontos de amostragens, distribuídos conforme ilustra a Figura 49. A descrição da localização dos pontos, a data de coleta e o registro fotográfico realizado nas campanhas são apresentados no Quadro 14.



Figura 49. Mapa da distribuição da rede amostral na RPGA do Rio Paraguaçu, Bahia.

Quadro 14. Caracterização geral dos pontos de amostragem da RPGA do Rio Paraguaçu, Bahia.

Código Coordenadas geográficas (SIRGAS 2000)	Corpo hídrico Município	Local de amostragem	Data da coleta	Registro Fotográfico
PRG-APE-001 13°15'47,0" (S) 41°23'27,8" (W)	Barragem do Apertado Ibicoara	Ponto localizado no início da bacia hidráulica da Barragem do Apertado, na BR-133, rodovia que acompanha toda a extensão desta bacia, no distrito de Cascavel.	1ª campanha: 12/02/2020 2ª campanha: Não realizada 3ª campanha: Não realizada	
PRG-APE-002 13°11'18,1" (S) 41°24'11,1" (W)	Barragem do Apertado Mucugê	Ponto localizado no meio da bacia hidráulica da Barragem do Apertado, na entrada de seu braço a sudoeste, na BR-133, rodovia que acompanha toda a extensão desta bacia hidráulica, no povoado de Passagem Funda.	1ª campanha: 12/02/2020 2ª campanha: Não realizada 3ª campanha: Não realizada	

PRG-APE-003 13°4'36,8" (S) 41°26'27,2" (W)	Barragem do Apertado Mucugê	Ponto localizado próximo ao vertedouro, em frente à torre de medição da Barragem do Apertado.	1ª campanha: 12/02/2020 2ª campanha: Não realizada 3ª campanha: Não realizada	
PRG-ARG-505 12°13'10,9" (S) 41°42'41,8" (W)	Riacho Água de Rega Iraquara	Sob a ponte do rio localizado a jusante do povoado de Canabrava, no município de Iraquara, a aproximadamente 13 km da sede municipal pela BA-848. Riacho possui grande importância e uso da população local.	1ª campanha: 06/02/2020 2ª campanha: Não realizada 3ª campanha: 12/11/2020 Ponto seco	Sem foto.
PRG-ARG-700 12°15'4,0" (S) 41°37'14.0" (W)	Riacho Água de Rega Iraquara	Ponto localizado na área urbana de Iraquara, no bairro de Baixão. Parte do curso do rio é subterrâneo e neste ponto há um afloramento onde a água é utilizada para abastecimento humano e agricultura.	1ª campanha: 06/02/2020 2ª campanha: Não realizada 3ª campanha: 12/11/2020	

PRG-BCV-001 12°25'54,79" (S) 39°3'8,51" (W)	Barragem Pedra do Cavalo São Gonçalo dos Campos	No braço leste da barragem de Pedra do Cavalo, a jusante de Feira de Santana, próximo à foz do Riacho do Ingaí.	1ª campanha: Não realizada 2ª campanha: 23/09/2020 3ª campanha: 21/12/2020	
PRG-BCV-002 12°30'22,83" (S) 39°11'18,24" (W)	Barragem Pedra do Cavalo Santo Estevão	Na barragem de Pedra do Cavalo, na travessia de balsa de Cabaceiras do Paraguaçu para Santo Estevão; extensão da BA-491/BA-120.	1ª campanha: Não realizada 2ª campanha: 23/09/2020 3ª campanha: 21/12/2020	
PRG-BCV-003 12°32'35,78" (S) 39°16'2,16" (W)	Barragem Pedra do Cavalo Santo Estevão	Em um braço da barragem de Pedra do Cavalo que é abastecida pelo rio Paraguaçu, ao final da BA-862 em direção ao lago.	1ª campanha: Não realizada 2ª campanha: 23/09/2020 3ª campanha: 21/12/2020	

PRG-BCV-004 12°32'25,40" (S) 39°1'44,57" (W)	Barragem Pedra do Cavalo Conceição de Feira	Na barragem de Pedra do Cavalo, na zona rural de Conceição de Feira no local de captação de água feita pela EMBASA.	1ª campanha: Não realizada 2ª campanha: 23/09/2020 3ª campanha: 21/12/2020	
PRG-BFR-001 11°33'51,0" (S) 40°35'56,0" (W)	Barragem do França Piritiba	No vertedouro da barragem no distrito do França, nas proximidades da BA-131, distante 21 km da cidade de Piritiba no sentido Miguel Calmon.	1ª campanha: 13/02/2020 2ª campanha: Não realizada 3ª campanha: 05/11/2020	
PRG-BFR-002 11°33'57,0" (S) 40°40'1,0" (W)	Barragem do França Piritiba	No braço sudoeste da barragem do França pela BA-131 no sentido Miguel Calmon.	1ª campanha: 03/02/2020 2ª campanha: Não realizada 3ª campanha: 05/11/2020	

PRG-BFR-003 11°33'41,0" (S) 40°37'57,0" (W)	Barragem do França Piritiba	No meio da margem direita da barragem do França, saindo de Piritiba pela BA-131 no sentido Miguel Calmon.	1ª campanha: 13/02/2020 2ª campanha: Não realizada 3ª campanha: 05/11/2020	
PRG-BON-900 12°21'5,0" (S) 41°12'0,0" (W)	Rio Bonito Wagner	Localizado no rio Bonito, próximo de sua foz no rio de Utinga, cerca de 10 km da sede do município de Wagner. Nas proximidades há dois assentamentos populacionais.	1ª campanha: 07/02/2020 2ª campanha: Não realizada 3ª campanha: 13/11/2020	
PRG-BSJ-001 11°31'31,97" (S) 40°2'44,75" (W)	Barragem de São José Várzea da Roça	No vertedouro da barragem de São José, próximo ao monumento Estrela.	1ª campanha: 13/02/2020 2ª campanha: Não realizada 3ª campanha: 05/11/2020	

PRG-BSJ-003 11°31'20,0" (S) 40°7'12,0" (W)	Barragem de São José Várzea da Roça	Localizado na barragem de São José, 10 km ao norte da cidade de Várzea da Roça.	1ª campanha: 13/02/2020 2ª campanha: Não realizada 3ª campanha: 05/11/2020	
PRG-CAP-900 12º31'55,1" (S) 40º20'43,1" (W)	Rio Capivara Itaberaba	Saindo de Itaberaba sentido Cajueiro pela BR-242, seguir aproximadamente 5 km e entrar a esquerda na Av. Luis Viana Filho (Coordenadas da entrada: 12º 31' 46.24"S / 40º 20' 22"O)	1ª campanha: Não realizada 2ª campanha: 09/09/2020 (Ponto seco) 3ª campanha: 16/11/2020 (Ponto seco)	
PRG-CMT-400 12°19'41,5" (S) 39°18'23,8" (W)	Rio Curimataí Ipecaetá	Sob ponte da BA-120, aproximadamente 1 km entre Ipacaetá a Santo Estevão.	1ª campanha: 10/02/2020 2ª campanha: 02/09/2020 3ª campanha: 16/11/2020	

PRG-COC-180 -12,72278 (S) -41,81944 (W)	Rio Cochó Boninal	BR 242, BA 148 - Boninal a Piatã, entra a esquerda, 1km depois de Boninal na estrada de barro de Boninal a Mucugê.	1ª campanha: 05/02/2020 (Ponto seco) 2ª campanha: Não realizada 3ª campanha: 12/11/2020	
PRG-COC-200 12°41'48,2" (S) 41°47'17,99" (W)	Rio Cochó Boninal	Estrada vicinal na segunda entrada à esquerda após o posto Ipiranga na cidade de Seabra. Próximo ao distrito de Baraúnas.	1ª campanha: 07/02/2020 2ª campanha: Não realizada 3ª campanha: 12/11/2020	
PRG-COC-400 12°25'32,1" (S) 41°45'25,5" (W)	Rio Cochó Seabra	Ponto de monitoramento a jusante da cidade de Seabra, na BR-242 no sentido Seabra-Ibotirama, na entrada do Bairro Barreirinho.	1ª campanha: 06/02/2020 2ª campanha: Não realizada 3ª campanha: 12/11/2020	

PRG-CVI-500 12°30'50,18" (S) 39°56'2,11" (W)	Rio Capivari Ipirá	Ponte na BA-242, direção de Itaberaba, a montante do Posto São José e a jusante do ponto PRG-PEX-400.	1ª campanha: 10/02/2020 2ª campanha: 08/09/2020 (Ponto seco) 3ª campanha: 16/11/2020 (Ponto seco)	
PRG-FRD-700 11°35'50,3" (S) 40°55'28,0" (W)	Rio Ferro Doido Morro do Chapéu	Localizado sob a ponte da rodovia BA-422 sobre o rio Ferro Doido, em área rural e ambiente lótico.	1ª campanha: 13/02/2020 2ª campanha: Não realizada 3ª campanha: 05/11/2020	
PRG-JCP-100 11°30'37,7" (S) 40°54'1,2" (W)	Rio Jacuípe Morro do Chapéu	Sob a ponte da BA-422 para Fedegoso, próximo à localidade de Cercadinho.	1ª campanha: 13/02/2020 2ª campanha: Não realizada 3ª campanha: 05/11/2020	

PRG-JCP-150 -11,551390 (S) -40,70778 (W)	Rio Jacuípe Piritiba	Segue pela Ba 131, sentido Piritiba - Miguel Calmon. a 15 km, dobra à direita em uma cancela com mata-burro e segue direto pasando pelos povoados de Sumaré e Cantinho.	1ª campanha: 19/03/2020 2ª campanha: Não realizada 3ª campanha: 15/12/2020	
PRG-JCP-200 11°36'34,4" (S) 40°17'53,6" (W)	Rio Jacuípe Mairi	Estrada de terra que faz ligação entre as barragens do França e de São José do Jacuípe, depois do distrito de Angico, no povoado de Manguinho.	1ª campanha: 19/03/2020 (Ponto seco) 2ª campanha: Não realizada 3ª campanha: 17/12/2020 (Ponto seco)	
PRG-JCP-300 11°28'14,4" (S) 39°47'20,6" (W)	Rio Jacuípe São José do Jacuípe	Sob a ponte na BR-324, a jusante do município de Gavião.	1ª campanha: 05/02/2020 2ª campanha: 03/09/2020 3ª campanha: 11/11/2020	

PRG-JCP-400 11°48'30,35" (S) 39°23'21,89" (W)	Rio Jacuípe Riachão do Jacuípe	Ponte sob a BR-324, a jusante da zona urbana de Riachão do Jacuípe.	1ª campanha: 05/02/2020 2ª campanha: 03/09/2020 (Ponto seco) 3ª campanha: 11/11/2020	
PRG-JCP-580 -12,23333 (S) -39,04528 W)	Rio Jacuípe Feira de Santana	BR 324, sobe para o contorno de Feira de Santana, passa o acesso à Serrinha e entra antes do próximo acesso (pequeno), observando placa que indica a direção de Gabriela. Segue até o final do povoado e toma a estrada à esquerda do Campo de Gado/Matadouro.	1ª campanha: 11/02/2020 2ª campanha: 09/09/2020 3ª campanha: 17/11/2020	
PRG-JCP-600 12°17'8,3" (S) 39°0'3,9" (W)	Rio Jacuípe Feira de Santana	Sob a ponte da BR-116, antes do posto da Polícia Rodoviária Federal e aproximadamente 3 km da cidade de Feira de Santana, sentido Santo Estevão.	1ª campanha: 11/02/2020 (Sem acesso) 2ª campanha: 09/09/2020 3ª campanha: 17/11/2020	

PRG-MAI-200 12°17'54,9" (S) 38°58'22,8" (W)	Riacho do Maia Feira de Santana	Na zona industrial do município de Feira de Santana, após o almoxarifado da Coelba, virar à esquerda em estrada não pavimentada, seguir até encontrar uma cancela à esquerda. Cerca de 500 metros a jusante do lançamento de efluentes da Fábrica de Cerveja Kaiser.	1ª campanha: 11/02/2020 2ª campanha: 09/09/2020 3ª campanha: 17/11/2020	
PRG-MCZ-500 12°27'43,4" (S) 41°25'3,8" (W)	Riacho Mucugezinho Lençóis	Neste trecho o rio apresenta corredeira devido à inclinação do terreno, bem como formação rochosa. O ponto localiza-se próximo a BR-242.	1ª campanha: 06/02/2020 2ª campanha: Não realizada 3ª campanha: 13/11/2020	
PRG-PEX-300 12°5'35,9" (S) 39°53'2,7" (W)	Rio do Peixe Ipirá	Sob a ponte da BA-052, a montante de Ipirá e a jusante do povoado de Rio do Peixe.	1ª campanha: 05/02/2020 2ª campanha: 03/09/2020 (Ponto seco) 3ª campanha: 11/11/2020	

PRG-PEX-400 12°29'15,0" (S) 39°41'53,5" (W)	Rio do Peixe Rafael Jambeiro	Ponte na BA-242, no sentido Itaberaba, a jusante da cidade de Rafael Jambeiro.	1ª campanha: 05/02/2020 2ª campanha: 08/09/2020 (Ponto seco) 3ª campanha: 10/11/2020	
PRG-PRG-050 13°26'10,6" (S) 41°20'18,6" (W)	Rio Paraguaçu Ibicoara	Situado sob a ponte da BA-900 sobre o rio Paraguaçu na zona rural do municipio de Ibicoara, no povoado de Paraguaçu.	1ª campanha: Não realizada 2ª campanha: Não realizada 3ª campanha: Não realizada	Sem foto.
PRG-PRG-300 13°0'19,1" (S) 41°23'21,0" (W)	Rio Paraguaçu Mucugê	Sob a ponte na BA-142, na direção de Barra da Estiva, defronte à captação de água de Mucugê.	1ª campanha: 05/02/2020 2ª campanha: Não realizada 3ª campanha: 10/11/2020	

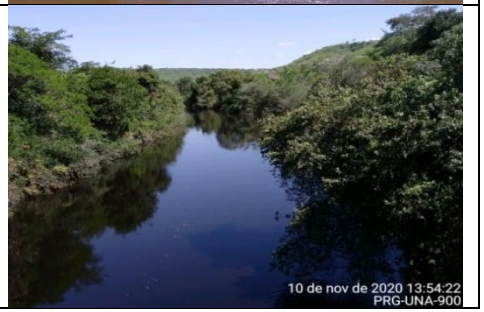
PRG-PRG-330 12°50'24,8" (S) 41°19'20,2" (W)	Rio Paraguaçu Andaraí	Sob a ponte da BA-142, junto à captação de água da cidade de Andaraí, próximo ao local denominado de Toca do Morcego (Loja de Artesanato de pedras e cristais).	1ª campanha: 05/02/2020 2ª campanha: Não realizada 3ª campanha: 10/11/2020	
PRG-PRG-360 12°59'14,5" (S) 40°57'40,3" (W)	Rio Paraguaçu Itaetê	Ponto situado no rio Paraguaçu, na zona urbana de Itaetê, a montante da Barragem Bandeira de Melo.	1ª campanha: 05/02/2020 2ª campanha: Não realizada 3ª campanha: 10/11/2020	
PRG-PRG-375 13°0'2,2" (S) 40°34'15,4" (W)	Rio Paraguaçu Marcionílio Souza	Ponto localizado no rio Paraguaçu em frente à balsa para o assentamento Beira Rio, na Fazenda Tamanco.	1ª campanha: 05/02/2020 2ª campanha: 08/09/2020 3ª campanha: 10/11/2020	

PRG-PRG-385 12°47'31,2" (S) 40°20'57,1" (W)	Rio Paraguaçu Iaçu	Na BA-245, sair de Iaçu sentindo Itaetê, ponto localizado a jusante do distrito de Santo Amaro.	1ª campanha: 05/02/2020 2ª campanha: 08/09/2020 3ª campanha: 10/11/2020	
PRG-PRG-400 12°45'51,02" (S) 40°13'52,8" (W)	Rio Paraguaçu Iaçu	Zona urbana da cidade de Iaçu, antigo ponto de captação de água da cidade, atrás da Estação de Tratamento de Água da Embasa.	1ª campanha: 10/02/2020 2ª campanha: 08/09/2020 3ª campanha: 17/11/2020	
PRG-PRG-520 12º30'54" (S) 39º50'54" (W)	Rio Paraguaçu Rafael Jambeiro	Na BR-242, seguir sentido Itaberaba e do lado esquerdo nas coordenadas 12º 29' 49.34" S ; 39º 50' 25.25" estará o acesso a fazenda Bom Jesus / Santa fé, onde localiza-se o ponto.	1ª campanha: Não realizada 2ª campanha: 08/09/2020 3ª campanha: 17/11/2020	

PRG-PRG-600 12°35'9,0" (S) 39°31'21,0" (W)	Rio Paraguaçu Rafael Jambeiro	Sob a rodovia BR-116, em frente ao entroncamento com a BR-242, após o posto Paraguaçu. Entre os municípios de Rafael Jambeiro e Itatim sentido Sul.	1ª campanha: 05/02/2020 2ª campanha: 08/09/2020 3ª campanha: 10/11/2020	
PRG-PRG-800 12°36'10,7" (S) 38°58'5,1" (W)	Rio Paraguaçu Cachoeira	A jusante da Barragem de Pedra do Cavalo, após a ponte D. Pedro II, em frente ao Tiro de Guerra de Cachoeira.	1ª campanha: Não realizada 2ª campanha: 23/09/2020 3ª campanha: 21/12/2020	
PRG-PRN-300 12°16'26,0" (S) 38°59'50,7" (W)	Riacho Principal Feira de Santana	Próximo à BR-116 cerca de 1 km da confluência com o rio Jacuípe, na via que dá acesso a Marina de Feira de Santana.	1ª campanha: 11/02/2020 2ª campanha: 09/09/2020 3ª campanha: 17/11/2020	

PRG-PRT-600 12°30'7,5" (S) 41°34'22,5" (W)	Rio Preto Palmeiras	Local onde o Rio Preto margeia o município de Palmeiras na Chapada da Diamantina, à aproximadamente 1 km da cidade de Palmeiras sentido BR-242.	1ª campanha: 06/02/2020 2ª campanha: Não realizada 3ª campanha: 12/11/2020	
PRG-PTG-400 12°11'11,6" (S) 39°29'36,1" (W)	Rio Paratigi Ipirá	Localizado sob a ponte na Estrada do Feijão (BA-052), a 15 km do cruzamento da BA-120 com a BA-052. Está a jusante do povoado de São Roque.	1ª campanha: 05/02/2020 2ª campanha: 02/09/2020 3ª campanha: 11/11/2020	
PRG-RCH-500 13°23'34,9" (S) 41°26'34,9" (W)	Rio Riachão Ibicoara	Ponto situado no Rio RIachão, em área da Lavoura Igarashi. Acesso pela BA-142.	1ª campanha: Não Realizada 2ª campanha: Não realizada 3ª campanha: Não realizada	Sem foto.

PRG-SJO-300 12°33'20,6" (S) 41°22'56,0" (W	Rio São José Lençóis	Este ponto está localizado na APA Marimbus/Iraquara, sob a ponte da BA-144, a jusante da cidade de Lençóis.	1ª campanha: 06/02/2020 2ª campanha: Não realizada 3ª campanha: 12/11/2020	
PRG-STA-100 12°29'39,0" (S) 41°19'41,3" (W)	Rio Santo Antônio Lençóis	Este ponto está localizado na APA Marimbus/Iraquara, sob a ponte da BR-242, a montante da cidade de Lençóis.	1ª campanha: 06/02/2020 2ª campanha: Não realizada 3ª campanha: 12/11/2020	
PRG-STA-300 12°39'58,4" (S) 41°19'32,3" (W)	Rio Santo Antônio Lençóis	Na BA-850, a aprox. 7 km de Lençóis, estrada de terra à esquerda, na direção do povoado de Remanso, no porto de travessia turística para o Roncador.	1ª campanha: 05/02/2020 2ª campanha: Não realizada 3ª campanha: 10/11/2020	

PRG-STA-340 12°45'21,8" (S) 41°19'43,0" (W)	Rio Santo Antonio Andaraí	Saindo de Andaraí pela BA-142 sentido BA-242, ponto sob a ponte de apenas uma via sobre o rio Santo Antônio.	1ª campanha: 05/02/2020 2ª campanha: Não realizada 3ª campanha: 10/11/2020	
PRG-UNA-350 13°3'25, 8" (S) 41°6'37,1" (W)	Rio de Una Itaetê	Ponto situado atrás do campo de futebol do povoado de Colônia, sendo o acesso feito pela BA-245, estrada de terra que liga o município de Itaeté ao povoado de Colônia.	1ª campanha: 05/02/2020 2ª campanha: Não realizada 3ª campanha: 10/11/2020	
PRG-UNA-900 12º56'10" (S) 41°3'51,9" (W)	Rio Una Itaeté	Localizado sob a Ponte Rio Una, na BA-245 sobre o rio Una, nas proximidades da Gruta Lapa do Bode.	1ª campanha: Não realizada 2ª campanha: Não realizada 3ª campanha: 10/11/2020	

PRG-UTG-200 12°6'47,3" (S) 41°7'15,1" (W)	Rio Utinga Utinga	Ponto está sob a ponte da BA-142, a jusante do afluente Rio Mucambo, na cidade de Utinga.	1ª campanha: 07/02/2020 2ª campanha: Não realizada 3ª campanha: 13/11/2020	
PRG-UTG-250 12º10'49,9" (S) 41º8'58,9" (W)	Rio Utinga Utinga	Localizado sob ponte de cimento em estrada de terra sobre o rio Utinga. Acesso pela BA-142.	1ª campanha: Não realizada 2ª campanha: Não realizada 3ª campanha: 13/11/2020	
PRG-UTG-300 12º15'32" (S) 41º9'42,9" (W)	Rio Utinga Wagner	Localizado sob a ponte de madeira na estrada de terra sobre o rio Utinga, próximo ao municipio de Wagner.	1ª campanha: Não realizada 2ª campanha: Não realizada 3ª campanha: 13/11/2020	

PRG-UTG-500 12°30'17,0" (S) 41°12'26,7" (W)	Rio Utinga Lençóis	Sob a ponte da rodovia BR-242, próximo ao povoado de São José, 15 km antes do acesso a Lençóis.	1ª campanha: 06/02/2020 2ª campanha: Não realizada 3ª campanha: 12/11/2020	

3.10.2 RESULTADOS E DISCUSSÃO

Dos 57 pontos que compõem a malha amostral da RPGA do Rio Paraguaçu, a maioria foi classificada conforme Resolução Conama nº 357 de 2005 como Água Doce - Classe 2, com exceção dos pontos situados na Barragem São José (PRG-BSJ-001 e PRG-BSJ-003), além de trechos nos rios Curimataí (PRG-CMT-400), Capivari (PRG-CVI-500), Jacuípe (PRG-JCP-300 e PRG-JCP-580), Peixe (PRG-PEX-300 e PRG-PEX-400) e Paratigi (PRG-PTG-400), classificados como Água Salobra - Classe 1.

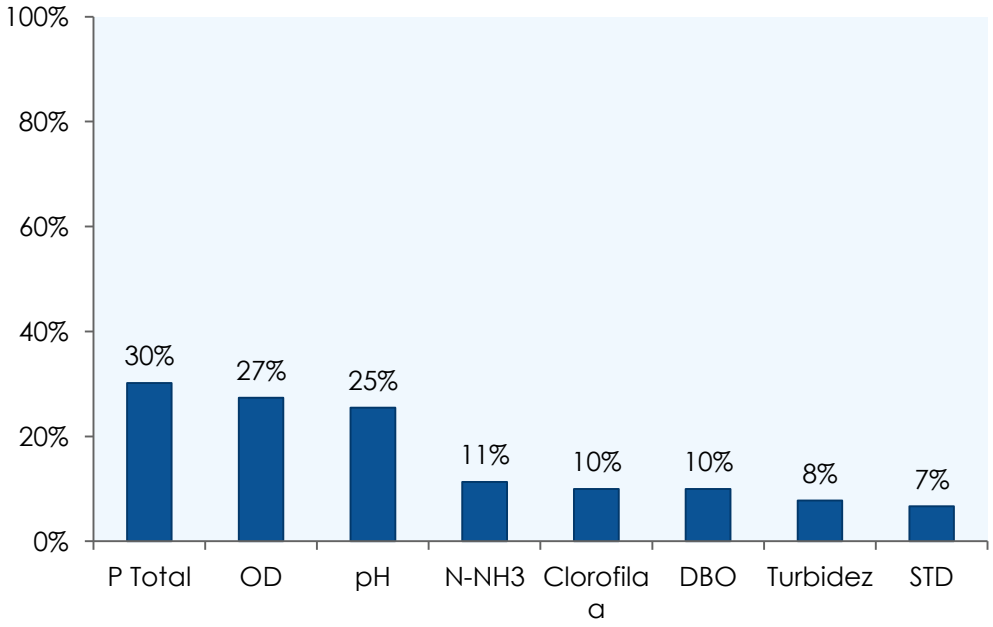


Figura 50. Frequência relativa (%) de violações para a RPGA do Rio Paraguaçu em 2020.

Nas amostragens realizadas em 2020, os parâmetros analisados apresentaram as seguintes frequências de violações aos padrões de qualidade estabelecidos na Resolução Conama 357/05: fósforo total (30%), OD (27%), pH (25%), nitrogênio amoniacal (11%), clorofila a (10%), DBO (10%), turbidez (8%) e STD (7%)(Figura 40).

A rede amostral da RPGA do Rio Paraguaçu possui 12 pontos de monitoramento em ambientes lênticos, a saber: Barragem do Apertado (PRG-APE-001, PRG-APE-002 e PRG-APE-003), Barragem Pedra do Cavalo (PRG-BCV-001, PRG-BCV-002, PRG-BCV-003 e PRG-BCV-004), Barragem do França (PRG-BFR-001, PRG-BFR-002 e PRG-BFR-003) e Barragem São José (PRG-BSJ-001, PRG-BSJ-003). Dentre esses corpos hídricos,

a Barragem Pedra do Cavalo é fundamental para o abastecimento público, pois é responsável por grande parte do abastecimento hídrico de Salvador e região metropolitana. Os pontos monitorados nessa barragem não apresentaram violações para os padrões legais estabelecidos para os parâmetros de qualidade, porém, o ponto PRG-BCV-003 apresentou valores elevados para coliformes termotolerantes em uma das campanhas realizadas.

Em relação ao IQA, a maioria dos pontos de monitoramento em ambientes lênticos apresentou qualidade da água classificada como "Boa" ou "Ótima", com exceção apenas do ponto PRG-BSJ-003, localizado na Barragem São José que apresentou qualidade da água classificada como "Regular" em uma das campanhas realizadas. Já em relação ao IET, a maioria dos pontos apresentou nível de trofia classificados como "Mesotrófico" ou "Eutrófico, indicando moderado a elevado enriquecimento de nutrientes. O maior nível de trofia foi observado para um dos pontos situados na Barragem São José (PRG-BSJ-003) que apresentou a classificação "Hipereutrófico" em uma das campanhas realizadas.

O Rio Paraguaçu é monitorado através de dez pontos de monitoramento, sendo eles, PRG-PRG-050, PRG-PRG-300, PRG-PRG-330, PRG-PRG-360, PRG-PRG-375, PRG-PRG-385, PRG-PRG-400, PRG-PRG-520, PRG-PRG-600 e PRG-PRG-800, entre os municípios de Ibicoara e Cachoeira. Neste rio ocorreram violações dos padrões estabelecidos pela legislação para os parâmetros de OD, fósforo total, DBO, pH, turbidez e clorofila *a*.

A Resolução do Conama nº 357/05 define que o limite da concentração de coliformes termotolerantes não exceda 1.000 NMP por 100 mililitros em 80% ou mais de pelo menos 6 amostras coletadas durante o período de um ano, com frequência bimestral tanto para águas doces, classe 2, quanto para salobras, classe 1. Utilizando este valor como referência, foi possível observar que dentre as 22 amostragens realizadas ao longo do rio Paraguaçu, 12 indicaram elevadas concentrações para coliformes termotolerantes.

Em relação ao IQA, o rio Paraguaçu apresentou principalmente qualidade da água classificada como "Boa", exceto nos pontos PRG-PRG-600 e PRG-PRG-800, situados no seu trecho final, que foram classificados como "Regular". Com relação ao IET, os

pontos foram classificados desde a classe "Ultraoligotrófico" à classe "Hipereutrófico", indicando uma grande variação deste índice ao longo dos trechos monitorados no rio Paraguaçu. A maioria das amostras indicou nível de trofia classificado como "Mesotrófico", seguido da classe "Oligotrófico", indicando baixo a moderado enriquecimento de nutrientes. Por outro lado, o ponto PRG-PRG-800, situado no trecho final do rio Paraguaçu, apresentou elevado enriquecimento de nutrientes, tendo o nível de trofia classificado como "Hipereutrófico".

O Rio Jacuípe possui sete pontos de monitoramento, PRG-JCP-100, PRG-JCP-150, PRG-JCP-200, PRG-JCP-300, PRG-JCP-400, PRG-JCP-580 e PRG-JCP-600, tendo apresentado violações aos limites de qualidade estabelecidos pela Resolução Conama nº 357/05 para Água Doce - Classe 2, e Água Salobra - Classe 1 para clorofila *a*, DBO, OD, fósforo total, pH, turbidez. Também foram detectadas elevadas concentrações de coliformes termotolerantes, ou seja, acima de 1.000 NMP/100 ml, para os pontos situados entre o trecho médio e final deste corpo hídrico.

Em relação ao IQA, os trechos monitorados no rio Jacuípe apresentaram em sua maioria qualidade da água classificada como "Regular", seguida da classe "Boa". Este resultado indica condições satisfatórias para essas águas de acordo com este índice. Apenas os trechos mais próximos a nascente (PRG-JCP-100 e PRG-JCP-150) apresentaram qualidade da água classificada como "Boa" para ambas as campanhas realizadas.

Em relação ao IET, o rio Jacuípe apresentou elevado nível de trofia para a maioria das amostras avaliadas, sendo classificados entre "Eutrófico" e "Hipereutrófico". Este resultado se deve às elevadas concentrações de fósforo total obtidas para a maioria dos pontos, indicando enriquecimento de nutrientes nesses trechos. Vale ressaltar que o processo de enriquecimento de nutrientes promove alterações ecológicas impactando na sobrevivência da biodiversidade, além de causar prejuízo aos usos múltiplos da água.

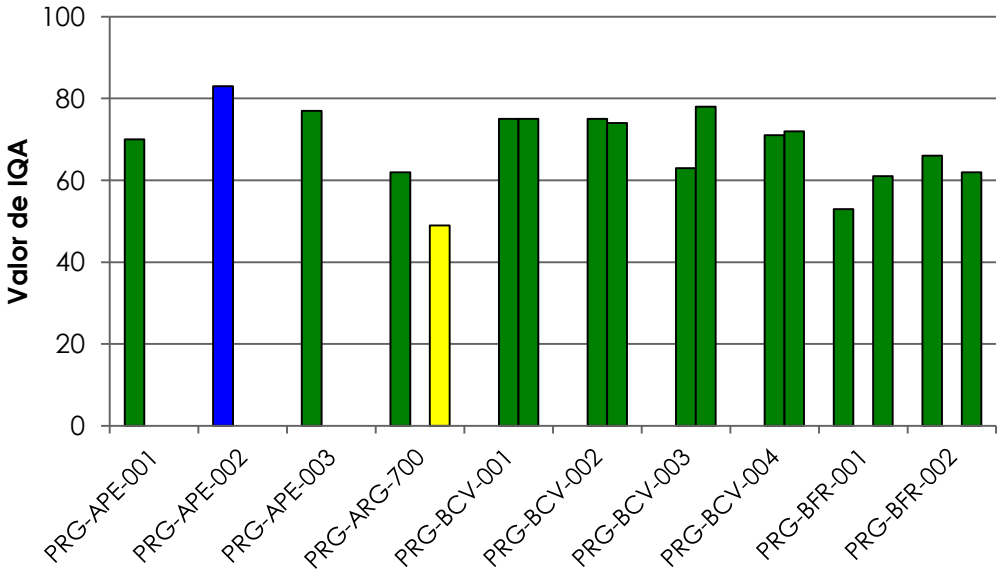


Figura 51. Classificações de IQA na RPGA do Rio Paraguaçu em 2020.(1)

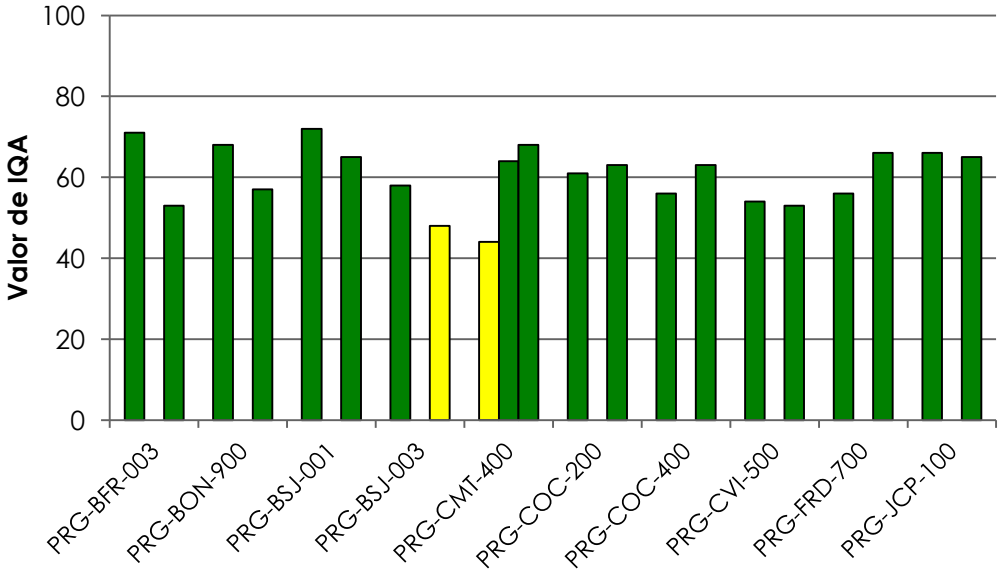


Figura 52. Classificações de IQA na RPGA do Rio Paraguaçu em 2020.(2)

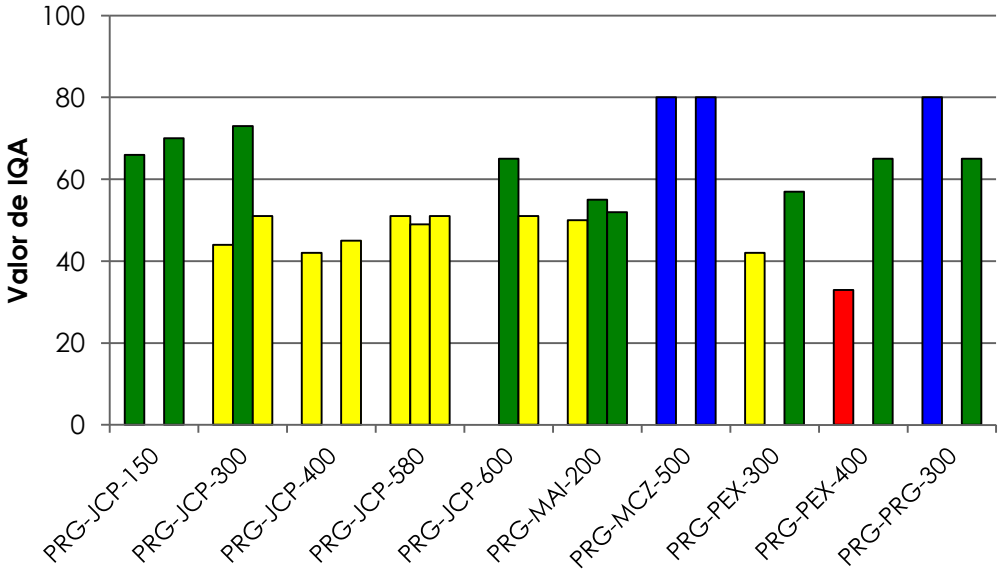


Figura 53. Classificações de IQA na RPGA do Rio Paraguaçu em 2020.(3)

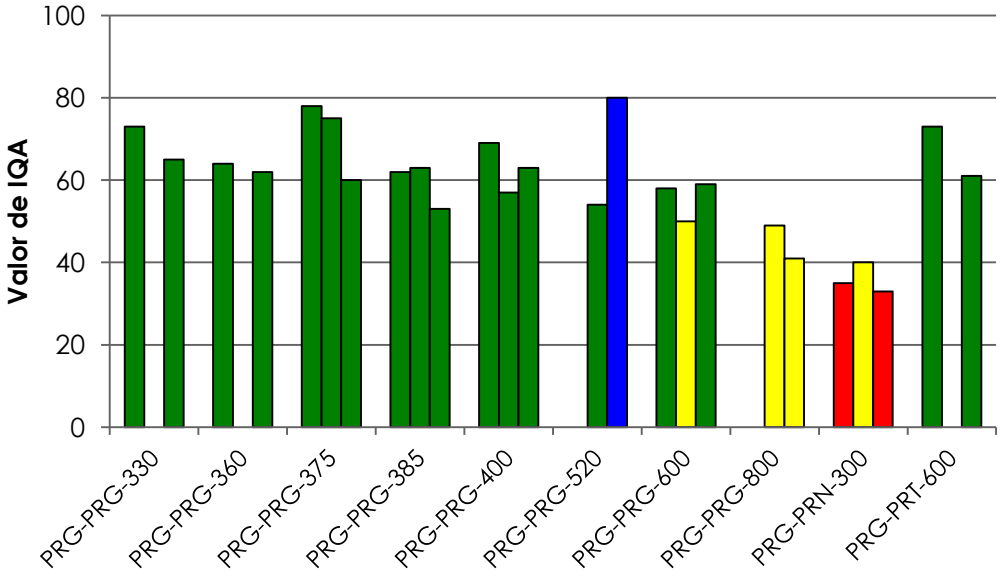


Figura 54. Classificações de IQA na RPGA do Rio Paraguaçu em 2020.(4)

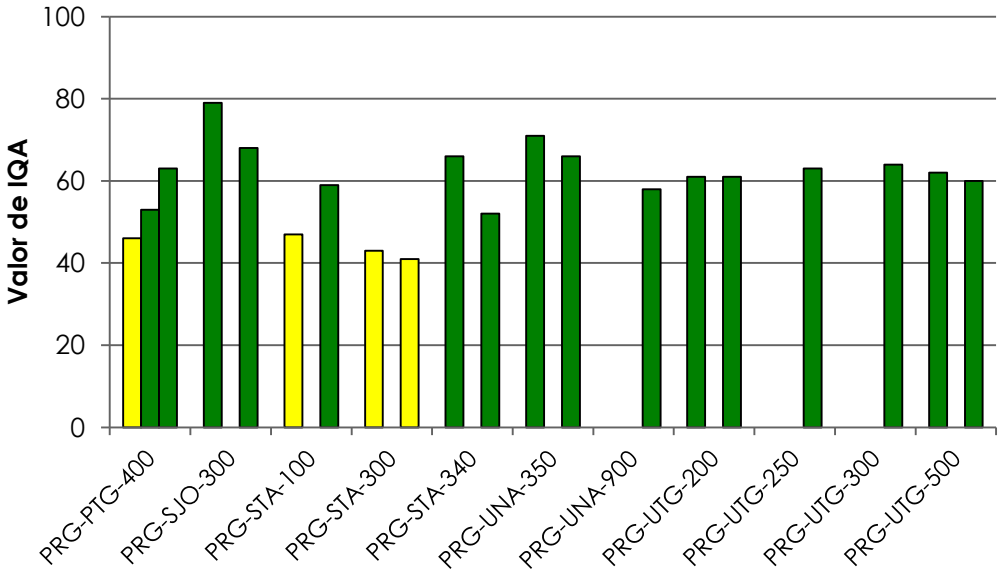


Figura 55. Classificações de IQA na RPGA do Rio Paraguaçu em 2020.(5)

Quadro de referência para as classificações de IQA.

Ótimo	Bom	Regular	Ruim	Péssimo
79 < IQA ≤ 100	51 < IQA ≤ 79	36 < IQA ≤ 51	19 < IQA ≤ 36	IQA ≤ 19

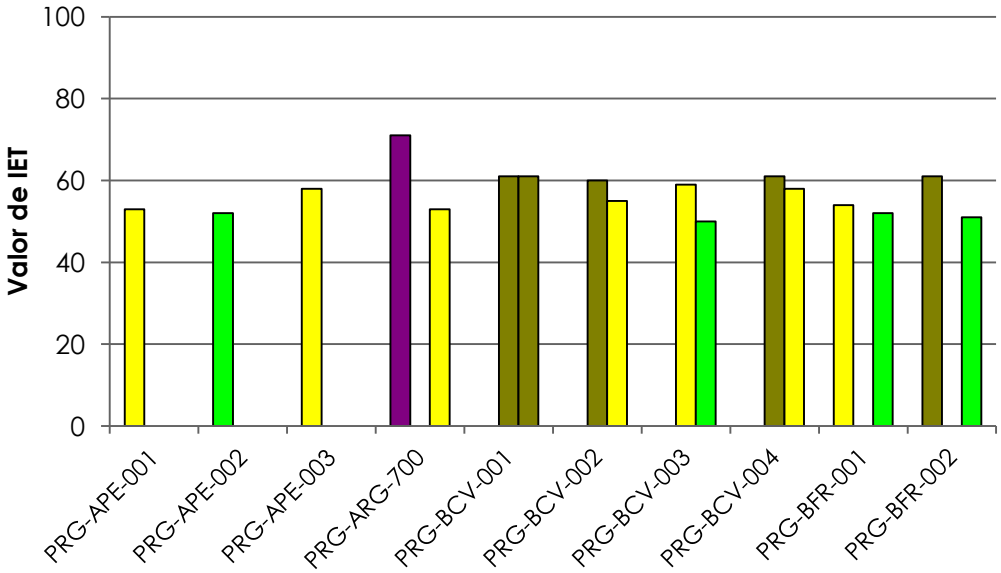


Figura 56. Classificações de IET na RPGA do Rio Paraguaçu em 2020.(1)

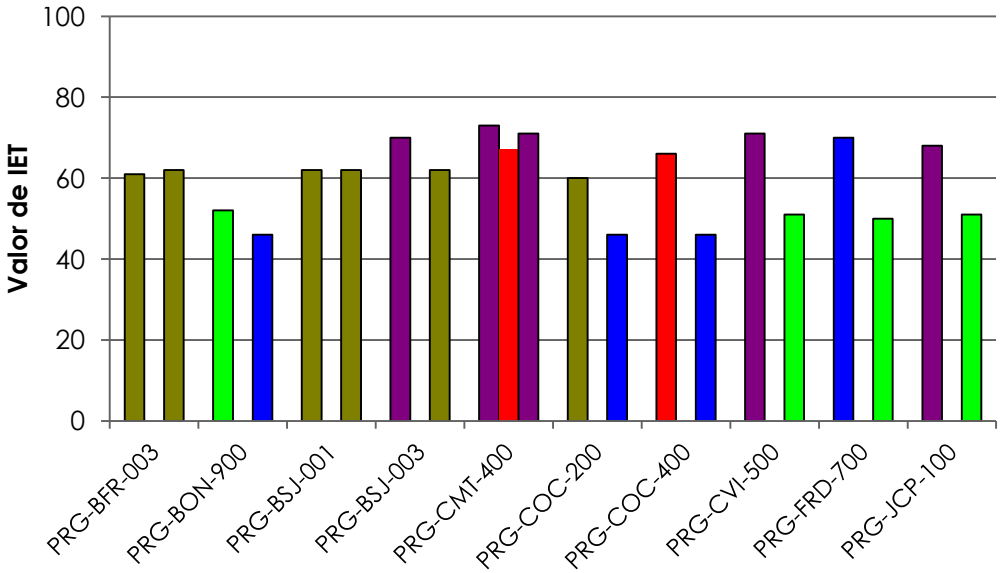


Figura 57. Classificações de IET na RPGA do Rio Paraguaçu em 2020.(2)

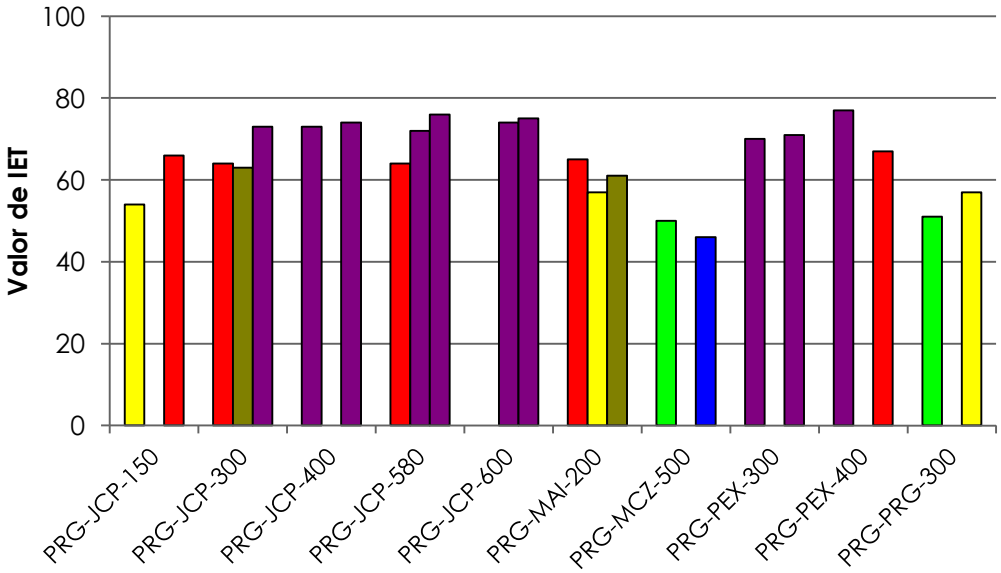


Figura 58. Classificações de IET na RPGA do Rio Paraguaçu em 2020.(3)

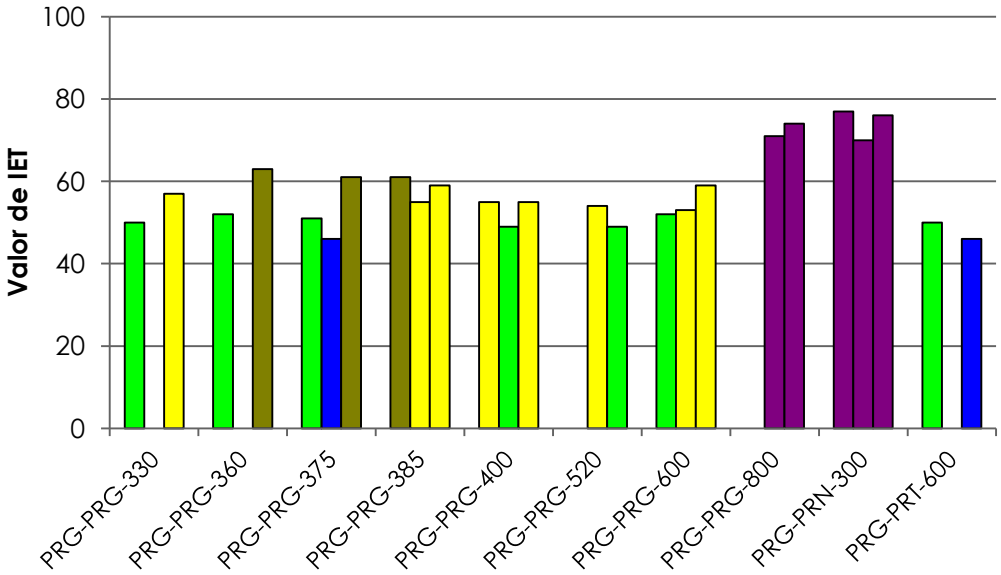


Figura 59. Classificações de IET na RPGA do Rio Paraguaçu em 2020.(4)

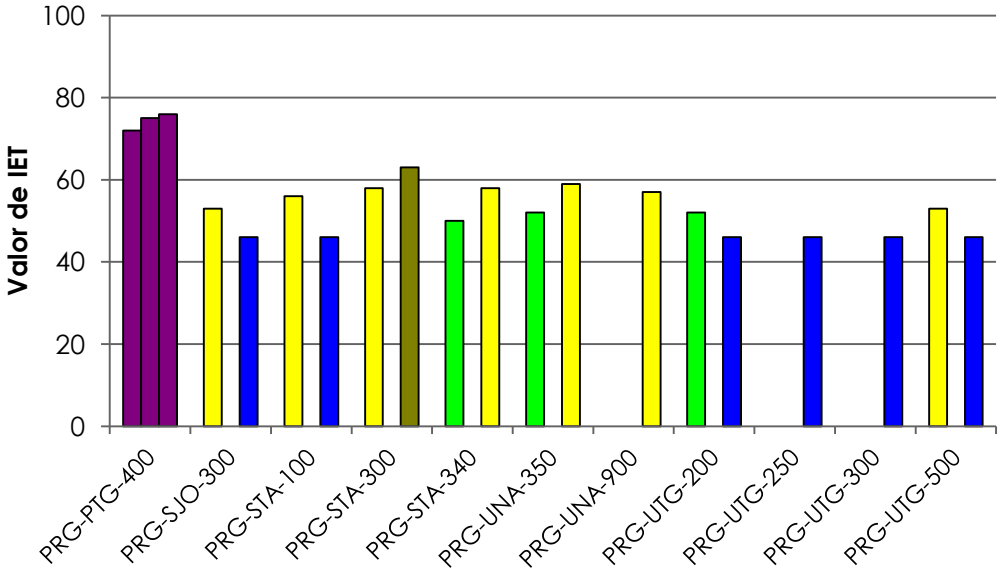


Figura 60. Classificações de IET na RPGA do Rio Paraguaçu em 2020.(5)

Quadro de referência para as classificações de IET.

Ultraoligotrófico	Oligotrófico	Mesotrófico	Eutrófico	Supereutrófico	Hipereutrófico
IET≤47	47 <IET≤52	52<IET≤59	59<IET≤63	63<IET≤67	IET>67

No geral, observa-se que na RPGA do Rio Paraguaçu a maioria dos pontos apresentou qualidade da água classificada como "Boa" ou "Regular. Os melhores índices foram observados no ponto PRG-MCZ-500, localizado no rio Mucugezinho, que apresentou qualidade da água classificada como "Ótima" em todas as campanhas realizadas. Já os pontos PRG-PRN-300 e PRG-PEX-400, localizados no riacho Principal e rio do Peixe, respectivamente, apresentaram índices classificados como "Ruim" em pelo menos uma das campanhas, indicando águas em condições insatisfatórias.

Com relação ao IET, as águas desta RPGA mostraram grande amplitude de níveis de eutrofização considerando todos os corpos hídricos monitorados, apresentando índices classificados entre "Ultraoligotrófico" e "Hipereutrófico". Ao analisar os gráficos apresentados é possível observar a ocorrência de variação entre os pontos, além do mesmo ponto apresentando várias classes ao longo das campanhas de 2020. Alguns trechos apresentaram o mais alto grau de trofia para todas as campanhas realizadas como, por exemplo, o rio Paratigi (PRG-PTG-400) e riacho Principal (PRG-PRN-300), bem como alguns trechos dos rios do Peixe (PRG-PEX-300), Jacuípe (PRG-JCP-400 e PRG-JCP-600) e Paraguaçu (PRG-PRG-800). Por outro lado, alguns trechos apresentaram baixo nível de trofia para todas as amostragens, com classificação "Oligotrófico" ou "Ultraoligotrófico" para todas as campanhas realizadas, sendo eles os rios Preto (PRG-PRT-400), Bonito (PRG-BON-900), Ferro Doido (PRG-FRD-700) e Utinga (PRG-UTG-200, PRG-UTG-250 e PRG-UTG-300).

Em síntese, o monitoramento da RPGA do Rio Paraguaçu em 2020 indica que a qualidade ambiental das águas encontra-se comprometida pelas atividades humanas, devido principalmente ao possível lançamento de esgoto sem o devido tratamento. A maioria dos pontos encontra-se com qualidade satisfatória com base nos resultados obtidos para o IQA, porém, as violações dos limites estabelecidos pela Resolução Conama nº 357/05 e os valores de IET registrados, indicam que muitos corpos hídricos que compõem esta RPGA, inclusive os pontos de amostragem localizados em barragens, podem estar sob interferência das atividades antropogênicas desenvolvidas na região.

3.11 RPGA DO RECÔNCAVO NORTE E INHAMBUPE

3.11.1 CARACTERÍSTICAS DA RPGA

A RPGA do Recôncavo Norte e Inhambupe é constituída pelas bacias hidrográficas dos rios que deságuam no Oceano Atlântico, em sua porção oriental, e na Baía de Todos os Santos, ao Sul, limitadas ao norte pela RPGA do Rio Itapicuru, e a oeste pela RPGA do Rio Paraguaçu.

A região do Recôncavo Norte e Inhambupe concentra a maior densidade demográfica do estado, visto que a capital baiana, Salvador, e toda sua região metropolitana estão situadas nela. Além disso, possui a maior concentração de polos industriais e de serviços, destacando-se o Polo Petroquímico de Camaçari, em Camaçari; Centro Industrial de Aratu - CIA, em Simões Filho; Polo Automotivo e Pneus, em Camaçari; Centro Industrial de Subaé - CIS, em Santo Amaro da Purificação; Extração e refino de petróleo.

Esta RPGA teve, durante o ano de 2020, a qualidade de suas águas superficiais monitoradas por meio de noventa e quatro pontos de amostragens, espalhados nos 41 municípios que fazem desta região, conforme a Figura 61. Em razão da alta densidade da rede de monitoramento, esta região é dividida em três volumes:

- Volume I: Bacia do rio Subaé; Bacia dos rios vertentes para Baia de Todos os Santos; Bacia dos rios urbanos de Salvador.
- Volume II: Bacia do rio Joanes; Bacia do rio Jacuípe;
- Volume III: Bacia do rio Pojuca; Bacia do rio Imbassaí; Bacia do rio Sauípe; Bacia do rio Subaúma; Bacia do rio Inhambupe.

A descrição da localização dos pontos, a data de coleta e o registro fotográfico realizado nas quatro campanhas do ano de 2020 são apresentados nos Quadros 15, 16 e 17.

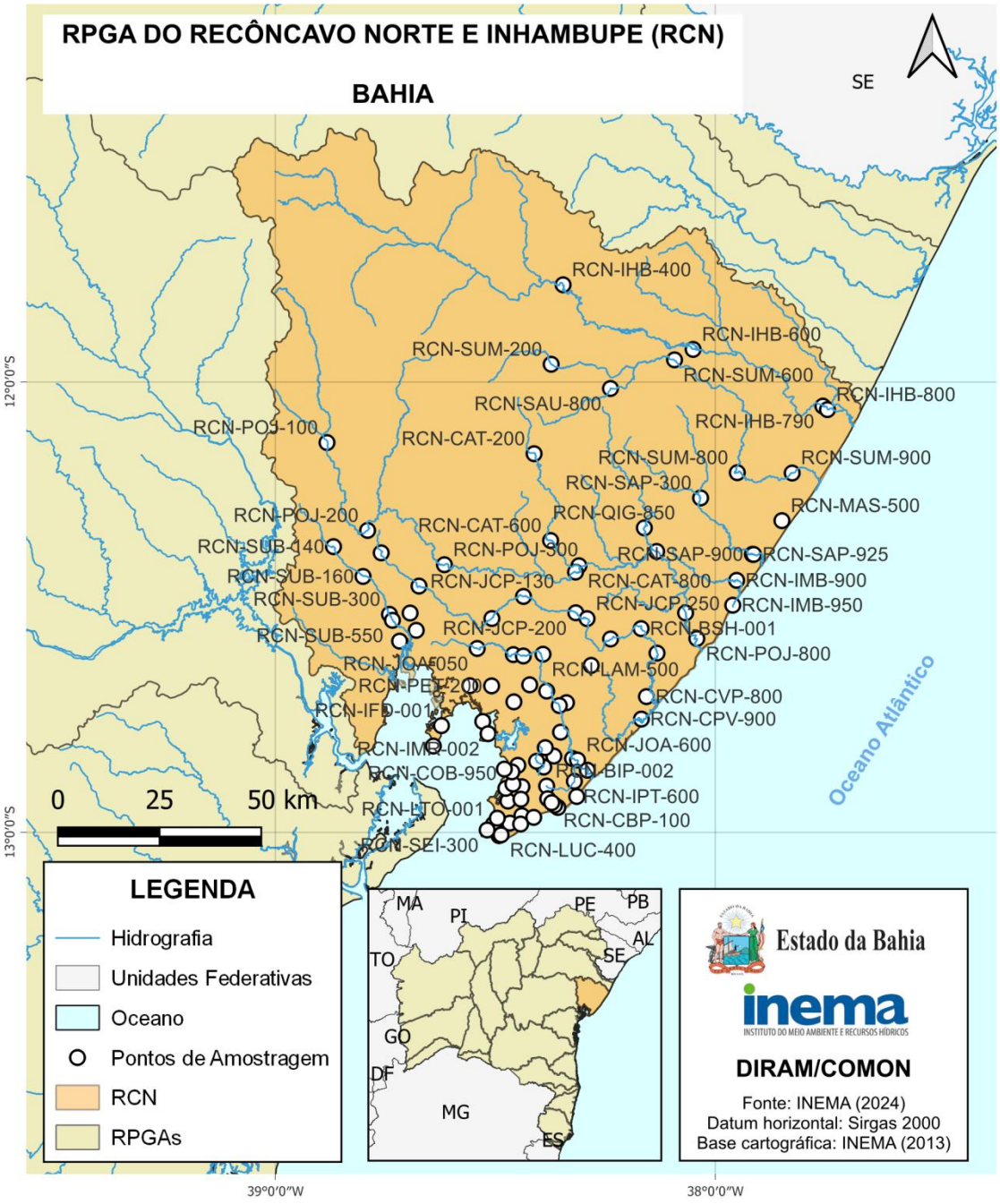


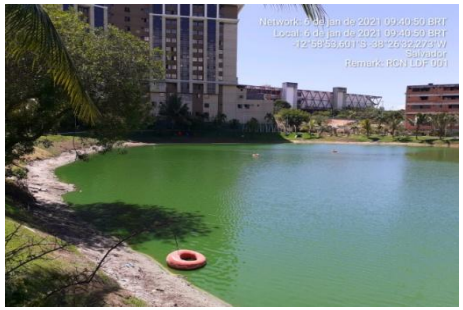
Figura 61. Mapa da distribuição da rede amostra na RPGA do Recôncavo Norte e Inhambupe.

Quadro 15. Caracterização geral dos pontos de amostragem da RPGA do Recôncavo Norte e Inhambupe - volume I (Bacias do rio Subaé; dos rios vertentes para Baia de Todos os Santos; dos rios urbanos de Salvador).

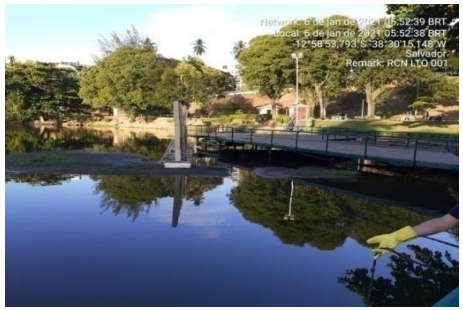
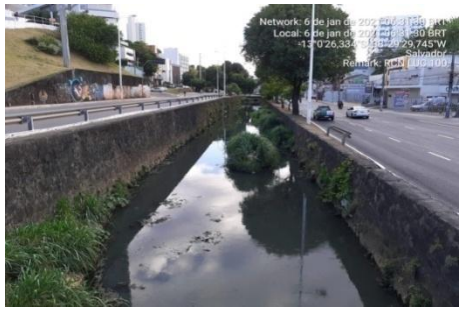
Código Coordenadas geográficas (SIRGAS 2000)	Corpo hídrico Município	Local de amostragem	Data da coleta	Registro Fotográfico
RCN-ABT-100 12°56'41,3" (S) 38°21'27,4" (W)	Lagoa do Abaeté Salvador	Na lagoa do Abaeté, um pouco distante da área de recreação, na ladeira do Mirante, Bairro Itapuã.	1ª campanha: Não realizada 2ª campanha: 26/10/2020 3ª campanha: 06/01/2021	
RCN-CBP-100 12°56'22,9" (S) 38°21'54,1" (W)	Córrego do Bispo Salvador	Ponto situado na Rua Beira Rio no bairro de Itapuã.	1ª campanha: Não realizada 2ª campanha: 21/10/2020 3ª campanha: 06/01/2021	

RCN-CMJ-500 12°55'51,6" (S) 38°28'15" (W)	Rio Camarajipe Salvador	Sob a ponte na Estrada de Campinas, após entroncamento com a Rua do Bambuí no bairro Baixa do Camarajipe. Próximo da entrada na BR-324 para o bairro Boa Vista de São Caetano.	1ª campanha: Não realizada 2ª campanha: 21/10/2020 3ª campanha: 05/01/2021	
RCN-CMJ-850 12°58'46,4" (S) 38°28'0,4" (W)	Rio Camarajipe Salvador	Ponto localizado próximo ao posto BR na av. ACM e a rodoviária municipal de Salvador.	1ª campanha: Não realizada 2ª campanha: 21/10/2020 3ª campanha: 05/01/2021	
RCN-COB-950 12°54'9,18" (S) 38°28'33,22" (W)	Rio Cobre Salvador	Sob a ponte da Avenida Suburbana, próxima à Rua 1° de Novembro no bairro de São João do Cabrito em Salvador.	1ª campanha: Não realizada 2ª campanha: 21/10/2020 3ª campanha: 22/12/2020	

RCN-JGB-100 12°53'55,7'' (S) 38°26'21,6'' (W)	Rio Jaguaribe Salvador	Sob a ponte da Rua General Figueiredo, esquina com rua 2ª Travessa, que é paralela a Via Regional, no bairro de Águas Claras.	1ª campanha: Não realizada 2ª campanha: 21/10/2020 3ª campanha: 05/01/2021	
RCN-JGB-600 12°55'31,44''(S) 38°22'50,45'' (W)	Rio Jaguaribe Salvador	Sob a ponte na Avenida Luiz Viana Filho (Av. Paralela) sobre o rio Jaguaribe, próximo a entrada do Condomínio AlphaVille 2, em frente ao canteiro central entre as duas rodovias.	1ª campanha: Não realizada 2ª campanha: 21/10/2020 3ª campanha: 06/01/2021	
RCN-LCO-001 12°53'34,6'' (S) 38°27'35,2'' (W)	Lagoa do Cobre Salvador	O ponto está situado no vertedouro da lagoa do Cobre de propriedade da EMBASA, na Estrada do Cobre, bairro de Pirajá.	1ª campanha: Não realizada 2ª campanha: 21/10/2020 3ª campanha: 05/01/2021	

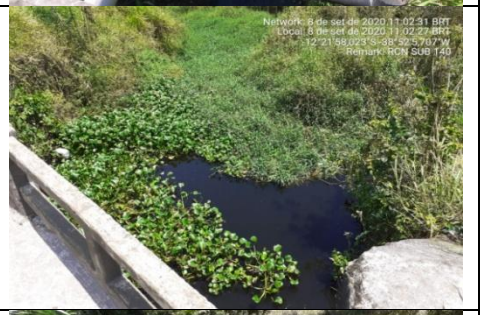
RCN-LDF-001 12°58'53,8" (S) 38°26'32,0" (W)	Lagoa dos Frades Salvador	Ponto situado na Avenida Professor Manoel Ribeiro, no bairro do Stiep.	1ª campanha: Não realizada 2ª campanha: 12/10/2020 3ª campanha: 06/01/2021	
RCN-LDR-001 12°57'46,6" (S) 38°26'22,1" (W)	Lagoa do Paraíso-Doron Salvador	Ponto localizado entre o Conjunto DORON, Avenida Paralela e Av. Edgard Santos, Salvador. Divisa dos bairros de Doron e Narandiba.	1ª campanha: Não realizada 2ª campanha: 12/10/2020 3ª campanha: 06/01/2021	
RCN-LFL-001 12°55'13,98" (S) 38°18'52,79"(W)	Lagoa Praia do Flamengo Salvador	Ponto localizado sob a ponte na Alameda Cabo Frio, na praia do Flamengo.	1ª campanha: Não realizada 2ª campanha: 26/10/2020 3ª campanha: 06/01/2021	

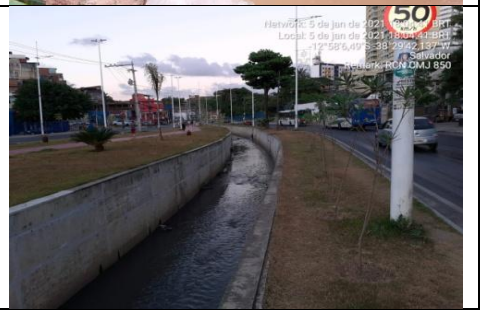
RCN-LPI-001 12°58'00,37'' (S) 38°24'44,98'' (W)	Lagoa de Pituaçu Salvador	Localizado no píer que dá acesso ao pedalinho da Lagoa, próximo a entrada principal.	1ª campanha: Não realizada 2ª campanha: 12/10/2020 3ª campanha: 06/01/2021	
RCN-LPX-001 12°51'0.19'' (S) 38°26'43,82'' (W)	Lagoa da Paixão Salvador	Situado próximo a USIBA e ao fundo do condomínio "Lagoa da Paixão", no bairro Nova Brasília de Valéria.	1ª campanha: Não realizada 2ª campanha: 21/10/2020 3ª campanha: 05/01/2021	
RCN-LPX-002 12°51'05,2''(S) 38°26'55,1''(W)	Lagoa da Paixão Salvador	Ponto situado no bairro de Nova Brasília de Valéria.	1ª campanha: Não realizada 2ª campanha: 21/10/2020 3ª campanha: 05/01/2021	

RCN-LTO-001 12°58'55,2" (S) 38°30'14,4" (W)	Dique do Tororó Salvador	Ponto situado na Avenida Vasco da Gama, próximo ao restaurante do Dique do Tororó.	1ª campanha: Não realizada 2ª campanha: 12/10/2020 3ª campanha: 06/01/2021	
RCN-LUC-100 13°00'26,2" (S) 38°29'29,3" (W)	Rio Lucaia Salvador	Ponto localizado no cruzamento entre as avenidas Vasco da Gama com a Av. Anita Garibaldi.	1ª campanha: Não realizada 2ª campanha: 21/10/2020 3ª campanha: 06/01/2021	
RCN-LUC-400 13°00'20,0" (S) 38°29'12,0" (W)	Rio Lucaia Salvador	Ponto localizado na Avenida Antônio Carlos Magalhães (Lucaia), em frente a EMBASA, no bairro Rio Vermelho.	1ª campanha: Não realizada 2ª campanha: 21/10/2020 3ª campanha: 06/01/2021	

RCN-MAN-100 (RCN-JGB-900) 12°56'2,83" (S) 38°22'17,9" (W)	Rio Mangabeira Salvador	Situado no bairro da Paz, sob ponte no rio Mangabeira (afluente do rio Jaguaribe) que liga a Rua Beira Mar com a Rua Raphael Pastore Neto, bairro de Itapuã.	1ª campanha: Não realizada 2ª campanha: 21/10/2020 3ª campanha: 05/01/2021	
RCN-PAR-700 12°51'57,6" (S) 38°27'43,8" (W)	Rio Paraguari Salvador	Em Periperi pegar a Rua das Pedrinhas (Estrada Velha de Periperi), virar na rua 3a Travessa da Rodagem.	1ª campanha: Não realizada 2ª campanha: 21/10/2020 3ª campanha: 05/01/2021	
RCN-PAR-950 12°51'35,09" (S) 38°28'45,32" (W)	Rio Paraguari Salvador	Situado sob uma ponte sobre o rio Paraguari em uma rua paralela à Avenida Afrânio Peixoto (Suburbana) no bairro de Periperi (influência marinha).	1ª campanha: Não realizada 2ª campanha: 21/10/2020 3ª campanha: 05/01/2021	

RCN-PIT-200 12°55'35,4" (S) 38°26'29,7" (W)	Rio Pituaçu Salvador	Ponte de ferro sob o rio de Pituaçu, na Avenida Gal Costa, esquina com Rua Getúlio Vargas. Divisa três bairros: São Marcos, Sussuarana e Pau da Lima.	1ª campanha: Não realizada 2ª campanha: 21/10/2020 3ª campanha: 05/01/2021	
RCN-PTN-100 12°34'33,1" (S) 38°43'2,9" (W)	Riacho da Pitanga Santo Amaro	Sob a ponte na estrada que liga Santo Amaro a Acupe, aproximadamente 3 km a montante da sede do município.	1ª campanha: 10/02/2020 2ª campanha: 08/09/2020 3ª campanha: 12/11/2020	
RCN-SEI-300 12°59'41,41" (S) 38°31'06,32" (W)	Rio dos Seixos Salvador	Ponto localizado no rio dos Seixos em frente ao Pavilhão de Aulas do Canela, da UFBA, no bairro Vale do Canela.	1ª campanha: Não realizada 2ª campanha: 21/10/2020 3ª campanha: 06/01/2021	

RCN-SPA-100 12°40'29,50" (S) 38°33'28,20" (W)	Rio São Paulo Candeias	Sob a ponte da BA 522 que faz a ligação entre Candeias e São Francisco do Conde, no ponto de captação de água de São Francisco do Conde.	1ª campanha: Não realizada 2ª campanha: 29/09/2020 3ª campanha: 05/01/2021	
RCN-SUB-140 12°21'57,8" (S) 38°52'03,9" (W)	Rio Subaé Feira de Santana	Sob a ponte na BR-101, na estrada de terra próxima a empresa Sapelba, paralela a cerca de uma fazenda.	1ª campanha: 10/02/2020 2ª campanha: 08/09/2020 3ª campanha: 12/11/2020	
RCN-SUB-160 12° 25'56,00" (S) 38°48'02,00" (W)	Rio Subaé Santo Amaro	Acesso pela BR-324, na entrada do Posto São Luiz, sob a ponte que cruza o rio, no trecho entre Oliveira dos Campinhos e Santo Amaro da Purificação, a jusante de Oliveira dos Campinhos.	1ª campanha: 10/02/2020 2ª campanha: 08/09/2020 3ª campanha: 12/11/2020	

RCN-SUB-300 12°30'59,00" (S) 38°44'25,80" (W)	Rio Subaé Santo Amaro da Purificação	Sob a ponte próxima à BA-084, 100 m a jusante de uma indústria de embalagens.	1ª campanha: 10/02/2020 2ª campanha: 08/09/2020 3ª campanha: 12/11/2020	
RCN-SUB-550 12°32'21,90" (S) 38°43'37,60" (W)	Rio Subaé Santo Amaro da Purificação	Após o posto 4 rodas sob a ponte na BA-084, de frente a COBRAC (antiga fábrica de chumbo), onde se encontra a estação fluviométrica da ANA, na margem direita do rio Subaé.	1ª campanha: 10/02/2020 2ª campanha: 08/09/2020 3ª campanha: 12/11/2020	
RCN-TRI-600 12°58'6,7" (S) 38°29'43,9" (W)	Rio das Tripas Salvador	Ponto localizado na Rua Cônego Pereira, próximo ao Comércio de Alimentos Saudáveis - Hort Fruit Feirão, Baixa de Quintas.	1ª campanha: Não realizada 2ª campanha: 21/10/2020 3ª campanha: 05/01/2021	

RCN-TRP-300 12°30'49" (S) 38°41'37" (W)	Rio Traripe Santo Amaro da Purificação	Situado sob uma ponte de cimento, nas proximidades de uma propriedade rural.	1ª campanha: Não realizada 2ª campanha: 22/09/2020 3ª campanha: Não realizada	
RCN-TRP-400 12°33'06,88" (S) 38°40'46,38" (W)	Rio Traripe Santo Amaro da Purificação	Sob a ponte na BA-001 que dá acesso à cidade de Santo Amaro da Purificação.	1ª campanha: 10/02/2020 2ª campanha: 08/09/2020 3ª campanha: 12/11/2020	

Quadro 16. Caracterização geral dos pontos de amostragem da RPGA do Recôncavo Norte e Inhambupe - Volume II (Bacias dos rios Joanes e Jacuípe).

Código Coordenadas geográficas (SIRGAS 2000)	Corpo hídrico Município	Local de amostragem	Data da coleta	Registro Fotográfico
RCN-BIP-001 12°51'24.26"S 38°23'29.91"W	Barragem Ipitanga II Salvador	Segue pela rodovia BA-526 (sentido Aeroporto) e antes do CEASA, vira a direita para pegar a Estrada das Pedreiras. Na rotatória, vira a direita e segue por mais 3km. Depois, vira a direita em estrada de terra até chegar a margem da barragem.	1ª campanha: 04/02/2020 2ª campanha: 26/08/2020 3ª campanha: 03/11/2020	
RCN-BIP-002 12°53'52"S 38°22"59.02"W	Barragem Ipitanga I Salvador	O ponto está localizado no vertedouro da barragem de Ipitanga I, no local de captação de água da EMBASA para ETA da Bolandeira, no bairro de Cassange, no município de Salvador	1ª campanha: 04/02/2020 2ª campanha: 26/08/2020 3ª campanha: 03/11/2020	

RNC-BJN-001 12°50'11.09"S 38°19'27.42"W	Barragem Joanes I Lauro de Freitas	Localiza-se sob o pontilhão sobre a barragem Joanes I, próximo ao povoado de Capelão no município de Lauro de Freitas	1ª campanha: 04/02/2020 2ª campanha: 26/08/2020 3ª campanha: 03/11/2020	
RCN-BJO-001 12°40'22"S 38°25'18,01"W	Barragem Joanes II Candeias	Na Barragem Joane II, próximo à estação de bombeamento da Embasa.	1ª campanha: 06/02/2020 2ª campanha: 31/08/2020 3ª campanha: 05/11/2020	
RCN-BJO-004 12°4026,18´'S 38°22'33"W	Barragem Joanes II Simões Filho	Situado no vertedouro da barragem de Joanes II, município de Simões Filho, próximo à rodovia BA-522.	1ª campanha: 06/02/2020 2ª campanha: 31/08/2020 3ª campanha: 05/11/2020	

RCN-BSH-001 12°33'44.00"S 38°9'35.00"W	Barragem Santa Helena Dias D'Ávila	Ponto localizado no vertedouro da barragem de Santa Helena, na zona rural de Dias D'Ávila, à montante do seu eixo, situada a 03 km, da área da fazenda Boa Vista, acesso pela estrada que liga Nova Dias D'Ávila a BA 099	1ª campanha: Não realizada 2ª campanha: 28/09/2020 3ª campanha: 05/01/2021	
RCN-BSH-003 12°36'27.49"S 38°15'43.06"W	Barragem Santa Helena Dias D'Ávila	No meio da barragem de Santa Helena, acesso por estrada de terra, seguindo aproximadamente 3,5 km da praça Raul Seixas até o restaurante Recanto do Bahiano.	1ª campanha: Não realizada 2ª campanha: 28/09/2020 3ª campanha: 05/01/2021	
RCN-BSH-050 12°37'47.00"S 38°16'54.60"W	Barragem Santa Helena Dias D'Ávila	Localizado sobre um braço da Barragem Santa Helena no Distrito de Nova Dias D'Ávila, a montante da área do Complexo Básico da COPEC, em área urbana. Próximo ao condomínio Minha Casa Minha Vida, às margens da barragem.	1ª campanha: Não realizada 2ª campanha: 28/09/2020 3ª campanha: 05/01/2021	

RCN-CAM-135 12°42'45,10" (S) 38°20'17,08" (W)	Rio Camaçari Camaçari	Sob a ponte de acesso ao bairro de Buri Satuba, próximo ao CAIC e da Cerâmica Santa Maria, na zona urbana de Camaçari.	1ª campanha: 06/02/2020 2ª campanha: 31/08/2020 3ª campanha: 05/11/2020	
RCN-CPV-900 12°44'55,80" (S) 38°10'03,8" (W)	Rio Capivara Camaçari	Sob a primeira ponte na BA-099, Estrada do Coco, após o acesso ao distrito de Arembepe, próximo a Aldeia Hippie.	1ª campanha: 20/02/2020 2ª campanha: 10/09/2020 3ª campanha: 10/11/2020	
RCN-CVP-800 12°41'56,5" (S) 38°09'22,20" (W)	Rio Capivara Pequeno Camaçari	Situa-se sob a ponte na BA-530 sobre o rio Capivara Pequeno, no município de Camaçari, em ambiente lótico e área rural. Após sair da BA-099, pegar estrada que dá acesso a CETREL, passar pelo CIMATEC, pegar estrada de terra, logo após o Residencial Caminho do Mar I - Programa Minha Casa Minha Vida e seguir até o rio.	1ª campanha: 20/02/2020 2ª campanha: 10/09/2020 3ª campanha: 10/11/2020	

RCN-IBT-500 12°41'12,17" (S) 38°22'58,67" (W)	Rio Itaboatã Simões Filho	Compreende trecho do rio Itaboatã, localizado sob a ponte na BA-093 no município de Simões Filho, em área urbana.	1ª campanha: não realizado 2ª campanha: 31/08/2020 3ª campanha: 05/11/2020	
RCN-IPT-150 12°50'30,9" (S) 38°24'22" (W)	Rio Ipitanga Simões Filho	Ponto sob ponte, próximo a fábrica da Coca Cola. Seguir pela BA-526 (estrada CIA-Aeroporto) sentido BR-324 e virar à direita na Av. Eng. Elmo Serejo de Farias em direção ao centro de Simões Filho.	1ª campanha: Não realizada 2ª campanha: 24/09/2020 3ª campanha: Não realizada	
RCN-IPT-500 12°49'51,10" (S) 38°22'59,90" (W)	Rio das Pedras (afluente do rio Ipitanga) Simões Filho	Ponto de coleta na margem direita do barramento do Complexo de Represas Ipitanga II e III, sob a BA-526 (CIA Aeroporto).	1ª campanha: 04/02/2020 2ª campanha: 26/08/2020 3ª campanha: 03/11/2020	

RCN-IPT-600 12°53'12,4" (S) 38°19'12,3" (W)	Rio Ipitanga Lauro de Freitas	Ponto situado sob a ponte na BA-099 (Estrada do Coco), em frente ao Parque Shopping Bahia.	1ª campanha: 04/02/2020 2ª campanha: 26/08/2020 3ª campanha: 03/11/2020	
RCN-JCP-025 12°22'46,28" (S) 38°45'30,23" (W)	Rio Jacuípe Amélia Rodrigues	Saindo de Amélia Rodrigues pela BR-324 sentido Feira de Santana, acesso em frente ao Horto Periquito. Próximo a antiga captação de água da sede municipal de Amélia Rodrigues, no antigo alambique de Mario Souza, próximo ao prédio da escola rural Francisca Fonseca.	1ª campanha: Não realizada 2ª campanha: 22/09/2020 3ª campanha: 17/11/2020 (Ponto seco)	
RCN-JCP-060 12°27'13,0" (S) 38°40'24,0" (W)	Rio Jacuípe Amélia Rodrigues	Nos limites do município Terra Nova e Amélia Rodrigues, a jusante das instalações da Usina de Açúcar UNIAL (Aliança).	1ª campanha: 10/02/2020 2ª campanha: 08/09/2020 3ª campanha: 12/11/2020	

RCN-JCP-090 12°31'32,50" (S) 38°30'27,30" (W)	Rio Jacuípe São Sebastião do Passe	Ponto localizado no bairro de Aracatiba, a cerca de 1 km da sede municipal de São Sebastião do Passé, a montante da zona urbana, em frente aos dutos da Petrobrás.	1ª campanha: Não realizada 2ª campanha: 29/09/2020 3ª campanha: 22/12/2020	
RCN-JCP-130 12°28'35,80" (S) 38°26'08,60" (W)	Rio Jacuípe São Sebastião do Passé	Passagem da fazenda Lourival, na estrada entre São Sebastião do Passé e Mata de São João.	1ª campanha: Não realizada 2ª campanha: 29/09/2020 3ª campanha: 05/01/2021	
RCN-JCP-200 12°30'46,3" (S) 38°19'00,4"(W)	Rio Jacuípe Mata de São João	Sob ponte na BA-093, a jusante das instalações da Cerâmica Esmeralda.	1ª campanha: 06/02/2020 2ª campanha: 31/08/2020 3ª campanha: 05/11/2020	

RCN-JCP-250 12°31'33.2" (S) 38°17'28.4" (W)	Rio Jacuípe Mata de São João	Sob a ponte na BA-505, sentido de Mata de São João a Itanagra, próximo à estação ferroviária de Mata de São João.	1ª campanha: 06/02/2020 2ª campanha: 31/08/2020 3ª campanha: 05/11/2020	
RCN-JCP-500 12°36'09.00" (S) 38°07'55,09" (W)	Rio Jacuípe Camaçari	Sob ponte na BA-512, próximo a Monte Gordo, no Povoado de Jordão.	1ª campanha: 20/02/2020 2ª campanha: 10/09/2020 3ª campanha: 10/11/2020	
RCN-JOA-050 12°35'31,80" (S) 38°32'27,40" (W)	Rio Joanes São Sebastião do Passé	Sob a ponte na BA-512 (523) em trecho entre Candeias e São Sebastião do Passé, próximo ao cruzamento da adutora de água da EMBASA e dutos da Petrobrás.	1ª campanha: Não realizada 2ª campanha: 29/09/2020 3ª campanha: 05/01/2021	

RCN-JOA-200 12°36'20,81" (S) 38°27'31,79" (W)	Rio Joanes Candeias	Ponto situado no rio Joanes, trecho que passa dentro da Fazenda Coração de Jesus. O acesso é feito pela BA 612 (BA 512) que liga São Sebastião do Passe a BA-093. Primeira entrada a esquerda após a Unidade Massapê da Petrobrás - sentido São Sebastião.	1ª campanha: 19/02/2020 2ª campanha: 22/09/2020 3ª campanha: 27/11/2020	
RCN-JOA-220 12º 36' 31.80'' (S) 38º 26' 10.10'' (W)	Rio Joanes São Sebastião do Passé	Na estrada de ligação da BR 324 a BA 512, sentido Lamarão do Passé. Ponto coincide com a estação fluviométrica RN-FR-06.	1ª campanha: 19/02/2020 2ª campanha: 22/09/2020 3ª campanha: 27/11/2020	
RCN-JOA-400 12°43'07,80" (S) 38°21'15,50" (W)	Rio Joanes Camaçari	Estrada de terra que liga Simões Filho a Camaçari a partir da BA-093 e que serve de acesso a Cerâmica Poty. Está entre os afluentes dos rios Itaboatã e Bandeira, a jusante da barragem de Joanes II e a montante da fábrica de Molas Fabrini.	1ª campanha: 06/02/2020 2ª campanha: 31/08/2020 3ª campanha: 05/11/2020	

RCN-JOA-600 12°50'22,86" (S) 38°18'46,39" (W)	Rio Joanes Camaçari	Ponto situado a jusante da Barragem Joanes I, dentro do Condomínio Águas do Joanes.	1ª campanha: 04/02/2020 2ª campanha: 26/08/2020 3ª campanha: 03/11/2020	
RCN-JOA-900 12°51'44,20" (S) 38°17'26,00" (W)	Rio Joanes Lauro de Freitas	No estuário do rio Joanes, sob a ponte na BA-099 (Estrada do Coco), próximo ao Centro de Convenção Marina Riverside e junto ao Terminal Mãe Mirinha de Portão.	1ª campanha: 04/02/2020 2ª campanha: 26/08/2020 3ª campanha: 03/11/2020	
RCN-JRG-800 12°42'38,09" (S) 38°27'27,29" (W)	Rio Jacarecanga Candeias	Sob a primeira ponte, em direção ao bairro Menino Jesus, no cruzamento com a BR-324, a jusante da fábrica da FICAP (antiga ALCAN II).	1ª campanha: Não realizada 2ª campanha: 29/09/2020 3ª campanha: 05/01/2021	

RCN-LAM-500 12°36'17,71" (S) 38°23'29,26" (W)	Rio Lamarão São Sebastião do Passe	Sob a ponte na BA-512, entre São Sebastião do Passé e Lamarão do Passé, a jusante metalúrgica Paranapanema (antiga Caraíba Metais), localizada na área oeste do Complexo Industrial de Camaçari (região norte da Barragem Joanes II, em Dias D'Ávila).	1ª campanha: 19/02/2020 2ª campanha: 22/09/2020 3ª campanha: 27/11/2020	
RCN-MRQ-100 12°46'40,17" (S) 38°21'05,28" (W)	Rio Muriqueira Simões Filho	Compreende trecho do rio Muriqueira, situado sob a ponte de concreto, situada na periferia de Simões Filho, após cruzamento com via férrea - trecho entre o Distrito de Góes Calmon e o Povoado de Guerreiro, próximo Lagoa da ETE do Bahia Azul (leste de Simões Filho, oeste de B. Joanes I).	1ª campanha: 06/02/2020 2ª campanha: 26/08/2020 3ª campanha: 05/11/2020	
RCN-RPD-150 12°48'44" (S) 38°23'10" (W)	Rio Simões Filho Simões Filho	Seguir pela BA-526 (estrada CIA-Aeroporto) sentido BR-324 e virar à direita na Av. Eng. Elmo Serejo de Farias em direção ao centro de Simões Filho.	1ª campanha: Não realizada 2ª campanha: Não realizada 3ª campanha: 03/11/2020	

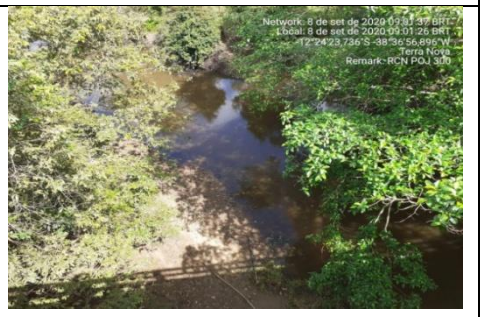
Quadro 17. Caracterização geral dos pontos de amostragem da RPGA do Recôncavo Norte e Inhambupe - Volume III (Bacias dos rios Pojuca, Imbassaí, Sauípe, Subaúma e Inhambupe).

Código Coordenadas geográficas (SIRGAS 2000)	Corpo hídrico Município	Local de amostragem	Data da coleta	Registro Fotográfico
RCN-CAT-200 12°09'34,09" (S) 38°24'41,86" (W)	Rio Catu Alagoinhas	Ponto localizado a jusante da cidade de Alagoinhas entre a ponte da BR-101, na altura do km 110 e do ponto de lançamento de efluentes da Fábrica da Schincariol.	1ª campanha: 03/02/2020 2ª campanha: 10/09/2020 3ª campanha: 04/11/2020	
RCN-CAT-600 -12,35222 (S) -38,37416 (W)	Rio Catu Catu	Localizado sob a ponte na rua Elias Medeiros, no centro urbano de Catu, próximo a linha ferréa. O ponto coincide com a estação fluviométrica.	1ª campanha: 03/02/2020 2ª campanha: 10/09/2020 3ª campanha: 04/11/2020	

RCN-CAT-800 12°24'30,6" (S) 38°18'34,7" (W)	Rio Catu Pojuca	Localizado sob a ponte na BA-093 sobre o rio Catu no município de Pojuca à jusante da empresa FERBASA. Este ponto encontra-se em área de intensa influência do transporte rodoviário.	1ª campanha: 03/02/2020 2ª campanha: 10/09/2020 3ª campanha: 04/11/2020	
RCN-IHB-400 11°47'01" (S) 38°20'44,6"(W)	Rio Inhambupe Inhambupe	A jusante da zona urbana da cidade de Inhambupe, sob a ponte na BR-110 em área próxima a residências.	1ª campanha: 03/02/2020 2ª campanha: 10/09/2020 3ª campanha: 04/11/2020	
RCN-IHB-600 11°55'38,80" (S) 38°03'0,30" (W)	Rio Inhambupe Entre Rios	Sob a ponte na BR-101 sobre o rio Inhambupe, após a zona urbana de Entre Rios.	1ª campanha: 18/02/2020 2ª campanha: 18/09/2020 3ª campanha: 17/11/2020	

RCN-IHB-790 12°3'15,9" (S) 37°45'15,9" (W)	Rio Inhambupe Esplanada	Da BA-099, acessar a BA-400 sentido para o povoado de Corte Grande, seguir à direita, depois do Bar do Beca, seguir a esquerda. Ponto coincide com estação hidrometeorológica da ANA.	1ª campanha: Não realizada 2ª campanha: 16/09/2020 3ª campanha: 23/11/2020	
RCN-IHB-800 12°03'41,00" (S) 37°44'40,60" (W)	Rio Inhambupe Esplanada	Sob a ponte na BA-099 (Linha Verde), no acesso às localidades de Palame e Baixio.	1ª campanha: 14/02/2020 2ª campanha: 16/09/2020 3ª campanha: 23/11/2020	
RCN-IMB-900 12°26'27,28" (S) 37°57'04,14" (W)	Rio Imbassaí Mata de São João	Sob a ponte na BA-099 sobre o rio Imbassaí, sentido Salvador/BA – Aracaju/SE, a 16 km após o acesso a Praia do Forte.	1ª campanha: 17/02/2020 2ª campanha: 15/09/2020 3ª campanha: 24/11/2020	

RCN-IMB-950 12°29'45,89"(S) 37°57'35,89"(W)	Rio Imbassaí Mata de São João	Sob a ponte de madeira que dá acesso à praia de Imbassaí, a partir da praça principal, próximo a Pousada Villa Imbassaí e ao Bar Beira Rio.	1ª campanha: 17/02/2020 2ª campanha: 15/09/2020 3ª campanha: 24/11/2020	
RCN-MAS-500 12°18'29,99" (S) 37°50'52,99" (W)	Rio Massarandupió Entre Rios	Seguir pela BA-099, após o posto de gasolina Linha Verde e a rotatória, acessar a direita e continuar aproximadamente 6 km por estrada de terra. Ponto localizado em frente a Associação das Artesãs de Massarandupió.	1ª campanha: 17/02/2020 2ª campanha: 15/09/2020 3ª campanha: 24/11/2020	
RCN-POJ-100 -12,134720 (S) -38,882500 (W)	Rio Pojuca Feira de Santana	Saindo de Feira De Santana pela BA-503 entrar 1° a esquerda depois do acesso ao aeroporto, andar 10KM até a coordenada 12°08'30" 38° 50'48" vire a esquerda, depois andar mais 4,6Km até a estação.	1ª campanha: 11/02/2020 2ª campanha: 09/09/2020 (Ponto seco) 3ª campanha: 17/11/2020 (Ponto seco)	

RCN-POJ-200 12°19'47,96" (S) 38°47'24,65" (W)	Rio Pojuca Conceição do Jacuípe	Sob a ponte que liga Conceição do Jacuípe a Coração de Maria, aproximadamente 2 km da sede municipal. O ponto fica 200 metros a jusante de uma régua fluviométrica.	1ª campanha: 10/02/2020 2ª campanha: 08/09/2020 3ª campanha: 12/11/2020	
RCN-POJ-300 12°24'22,10" (S) 38°36'56,10" (W)	Rio Pojuca Terra Nova	Sob a ponte na BA-515, a jusante da zona urbana da cidade de Terra Nova.	1ª campanha: 10/02/2020 2ª campanha: 08/09/2020 3ª campanha: 12/11/2020	
RCN-POJ-400 12°25'21,00" (S) 38°19'02,80" (W)	Rio Pojuca Pojuca	Sob a ponte na BA-093, a jusante da zona urbana de Catu e de Mata de São João, próximo à sede de Pojuca, onde há um totem de Mata de São João.	1ª campanha: 03/02/2020 2ª campanha: 10/09/2020 3ª campanha: 04/11/2020	

RCN-POJ-600 12°22'36,00" (S) 38°07'59,00" (W)	Rio Pojuca Mata de São João	Sob a ponte na BA-505, sentido Mata de São João, após o povoado São José Dauvenda. O ponto coincide com a estação da ANA, próximo ao totem de Mata de São João.	1ª campanha: 18/02/2020 2ª campanha: 21/09/2020 3ª campanha: 25/11/2020	
RCN-POJ-750 -12,513333 (S) -38,067222 (W)	Rio Pojuca Barra do Pojuca	Saindo do centro de Barra do Pojuca, segue no sentido norte 9,7km em estrada vicinal até o rio Pojuca.	1ª campanha: 20/02/2020 2ª campanha: 10/09/2020 3ª campanha: 10/11/2020	
RCN-POJ-800 12°34'12,60" (S) 38°02'29,80" (W)	Rio Pojuca Mata de São João	Ponto situado nas proximidades da Tirolesa da Reserva Sapiranga (estrutura de recreação). O acesso é feito por Barra do Pojuca, a montante da cachoeira da reserva.	1ª campanha: 20/02/2020 2ª campanha: 10/09/2020 3ª campanha: 10/11/2020	

RCN-QIG-850 -12,324330 (S) -38,16101 (W)	Quiricó Grande Mata de São João	Saindo de Itangra em direções a Mata De São João pela BA 505, ande 14Km até a comunidade no entroncamento com a BA 512 vire a direita ande cerca de 8Km até a estação.	1ª campanha: 18/02/2020 2ª campanha: 21/09/2020 3ª campanha: 25/11/2020	
RCN-SAP-300 12°15'34,4" (S) 38°02'12,9" (W)	Rio Sauípe Itanagra	Na zona rural de Itanagra, sob a ponte na BA-505 que está próxima à cidade de Itanagra.	1ª campanha: 18/02/2020 2ª campanha: 21/09/2020 3ª campanha: 10/12/2020	
RCN-SAP-900 12°23'00" (S) 37°54'54,1" (W)	Rio Sauípe Itanagra	Sob a ponte de cimento, na zona rural de Itanagra, a jusante da ETE do complexo de Sauípe.	1ª campanha: 17/02/2020 2ª campanha: 15/09/2020 3ª campanha: 24/11/2020	

RCN-SAP-925 12°22'59,4" (S) 37°54'45,4" (W)	Rio Sauípe Itanagra	Sob a ponte na BA-099 sobre o rio Sauípe, próximo ao acesso a comunidade de Sauípe, a jusante da ETE do complexo de Sauípe.	1ª campanha: 17/02/2020 2ª campanha: 15/09/2020 3ª campanha: 24/11/2020	
RCN-SAU-800 12º0'51,99" (S) 38º14'16,99" (W)	Rio Sauípe Entre Rios	Sob ponte de madeira sobre o rio Sauípe, próximo à entrada de uma fazenda.	1ª campanha: Não realizada 2ª campanha: 10/09/2020 3ª campanha: 04/11/2020	
RCN-SUM-200 11°57'37,8" (S) 38°22'22,0" (W)	Rio Subaúma Alagoinhas	Situado em área rural sob a ponte da rodovia BA-110. O ponto situa-se em área de intenso movimento de transporte rodoviário.	1ª campanha: Não realizada 2ª campanha: 10/09/2020 3ª campanha: 04/11/2020	

RCN-SUM-600 11°56'56,8" (S) 38°05'31,6" (W)	Rio Subaúma Entre Rios	No ponto de captação de água para abastecimento do município de Entre Rios, próximo à zona urbana.	1ª campanha: 18/02/2020 2ª campanha: 18/09/2020 3ª campanha: 17/11/2020	
RCN-SUM-800 12°12'06,2" (S) 37°56'58,4" (W)	Rio Subaúma Entre Rios	No distrito de Jangada, próximo à régua fluviométrica da ANA, na BA-099 (Linha Verde), entroncamento sentido Entre Rios, sendo o acesso feito pela BA-505.	1ª campanha: 14/02/2020 2ª campanha: 16/09/2020 3ª campanha: 23/11/2020	
RCN-SUM-900 12°12'10,4" (S) 37°49'29,6" (W)	Rio Subaúma Entre Rios	Sob a ponte na BA-099 (Linha Verde), próximo ao acesso ao distrito de Subaúma e à localidade de Ponto Novo.	1ª campanha: 14/02/2020 2ª campanha: 16/09/2020 3ª campanha: 23/11/2020	

3.11.2 RESULTADOS E DISCUSSÃO

3.11.2.1 Resultados das campanhas de monitoramento de 2020

A RPGA do Recôncavo Norte e Inhambupe, na campanha de 2020, foi avaliada através 94 pontos de amostragem. Durante as campanhas de 2020, alguns pontos não foram coletados por estarem secos, empoçados ou sem acesso aos locais de coleta, além de contratempos devido à pandemia do COVID-19.

Dentre os pontos realizados, apenas seis foram classificados como Água Salobra - Classe 1, sendo eles: RCN-JOA-900 (1° e 3° campanha), RCN-LUC-400 (2° e 3° campanha), RCN-POJ-200 (2° e 3° campanha), RCN-POJ-300 (3° campanha), RCN-POJ-800 (1° campanha) e RCN-TRP-400 (1° e 3° campanha). Vale ressaltar que alguns desses pontos apresentaram esta classificação de salinidade apenas para algumas campanhas durante o ano de monitoramento. Também vale destacar que alguns pontos, a exemplo, RCN-LUC-400, apresentaram valores muito elevados para salinidade para algumas campanhas devido à proximidade da foz sob influência das marés.

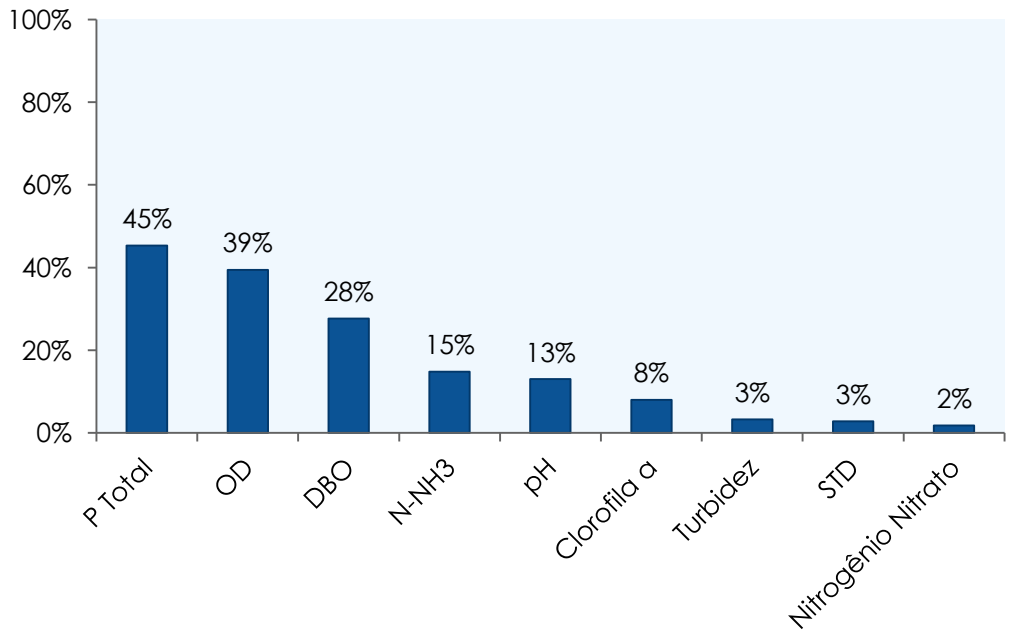


Figura 62. Frequência relativa (%) de violações para a RPGA do Recôncavo Norte e Inhambupe em 2020.

No geral, os trechos amostrados nos corpos hídricos que compõem a RPGA do Recôncavo Norte e Inhambupe, apresentaram violações dos limites estabelecidos pela Resolução Conama 357/05 para os parâmetros fósforo total (45%), oxigênio dissolvido (39%), DBO (28%), nitrogênio amoniacal (15%), pH (13%), clorofila a (8%), turbidez (3%), STD (3%) e nitrato (2%) (Figura 62).

A mesma legislação estabelece como referencia que o limite da concentração de coliformes termotolerantes não exceda 1.000 coliformes termotolerantes por 100 mililitros em 80% ou mais de pelo menos 6 (seis) amostras coletadas durante o período de um ano, com frequência bimestral tanto para águas doces quanto para salobras. Embora esta avaliação adote metodologia distinta, utilizando como base o valor referenciado, foi observado que 57,3% das amostras analisadas nesta RPGA apresentaram concentrações elevadas para coliformes termotolerantes.

3.11.2.1.1 Volume I - Bacias do rio Subaé; dos rios vertentes para Baía de Todos os Santos e dos rios urbanos de Salvador.

A RPGA do Recôncavo Norte e Inhambupe - Volume I é constituído por rios urbanos de Salvador e vertentes para a Baía de Todos os Santos, bem como pela bacia do rio Subaé. Estas áreas são marcadas pelo alto nível de ocupação antrópica; pelo lançamento de esgotos *in natura* nos corpos d'águas; pela falta de mata ciliar e áreas de recarga e pela precariedade da rede de saneamento público. Neste volume estão os corpos hídricos tipicamente urbanos como as lagoas do Abaeté, dos Frades, do Paraíso, da Praia do Flamengo, de Pituaçu, da Paixão e Dique do Tororó, além dos rios Traripe, das Tripas, Subaé, São Paulo, dos Seixos, Pituaçu, Paraguari, Mangabeira, Lucaia, Camarajipe, Jaguaribe, Cobre, rio da Ilha dos Frades, rio da Ilha de Maré, Riacho da Pitanga e Córrego do Bispo que possuem suas nascentes e foz dentro de municípios de médio e grande porte.

Os rios, córregos ou lagoas desta RPGA no Volume I e que se encontram na sua totalidade em áreas urbanas (rio Camarajipe, córrego do Bispo, rio do Cobre, rio Jaguaribe, lagoa do Paraiso/Doron, rio Lucaia, rio Mangabeira, rio Paraguari, rio Pituaçu, riacho da Pitanga, rio dos Seixos, rio as Tripas), em relação ao IQA, apresentaram qualidade da água classificada entre "Péssima" e "Ótima" (Figura 63). Os piores índices de qualidade da água, segundo o IQA, foram obtidos para os

pontos RCN-ACL-300, RCN-CBP-100, RCN-CMJ-500, RCN-CMJ-850, RCN-LDR-001, RCN-LUC-400, RCN-MAN-100, RCN-PAR-950, RCN-PIT-200, RCN-PTN-100 e RCN-TRI-600, com classificação "Ruim" ou Péssima" em pelo menos uma das campanhas no ano de 2020.

Por outro lado, as melhores classificações segundo o IQA foram observadas para a maioria dos ambientes lênticos, a saber, as lagoas do Abaeté (RCN-ABT-100), da Praia do Flamengo (RCN-LFL-001), do Parque de Pituaçu (RCN-LPI-001), da Paixão (RCN-LPX-001 e RCN-LPX-002), além do Dique do Tororó (RCN-LTO-001) e Represa do Cobre (RCN-LCO-001). Todos esses trechos apresentaram qualidade da água classificada como "Boa" ou "Ótima" em todas as campanhas. Além desses corpos hídricos classificados como ambientes lênticos, resultados semelhantes foram observados para os trechos monitorados em ambientes lóticos no rio dos Seixos (RCN-SEI-300) e rio Subaé (RCN-SUB-300) indicando condições ambientais satisfatórias. Os demais trechos apresentaram oscilação significativa entre as classificações obtidas entre as campanhas ou foram classificados como "Regular" em ambas as campanhas realizadas.

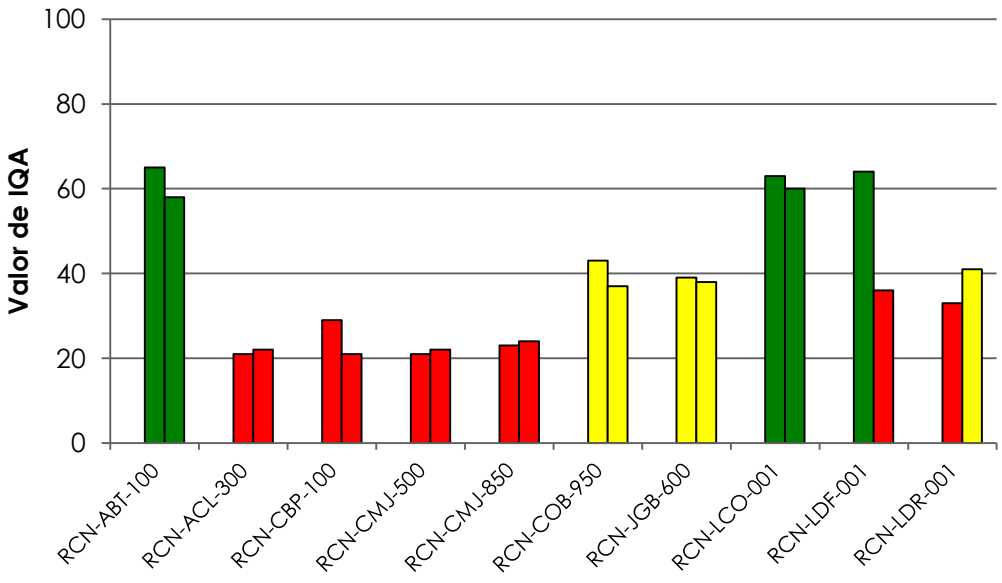


Figura 63. Classificações de IQA para o Volume I da RPGA do Recôncavo Norte e Inhambupe em 2020.(1)

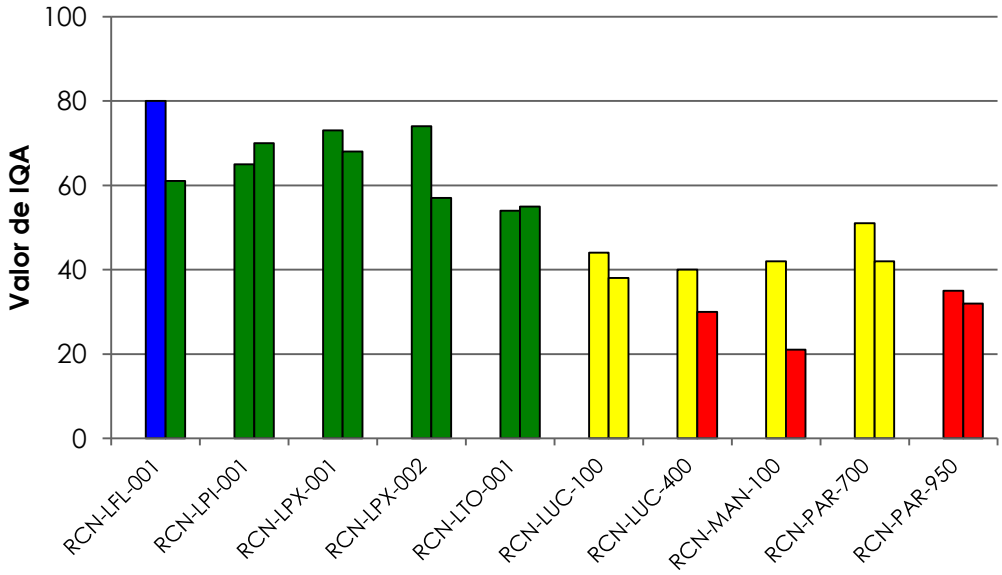


Figura 64. Classificações de IQA para o Volume I da RPGA do Recôncavo Norte e Inhambupe em 2020.(2)

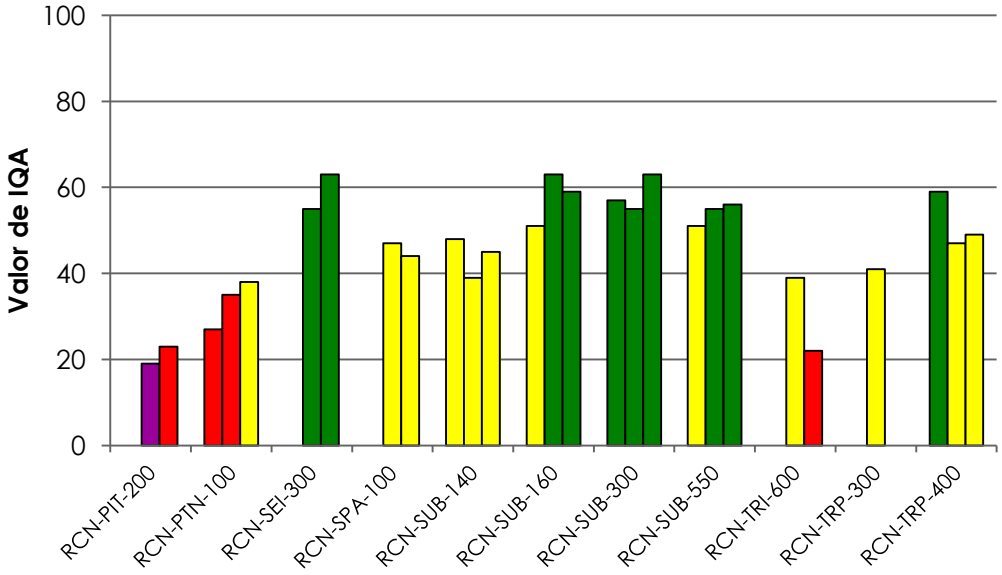


Figura 65. Classificações de IQA para o Volume I da RPGA do Recôncavo Norte e Inhambupe em 2020.(3)

Quadro de referência para as classificações de IQA.

Ótimo	Bom	Regular	Ruim	Péssimo
79 < IQA ≤ 100	51 < IQA ≤ 79	36 < IQA ≤ 51	19 < IQA ≤ 36	IQA ≤ 19

Os resultados para o IET indicam que os níveis de trofia nos pontos monitorados neste volume variaram entre "Hipereutrófico" e "Ultraoligotrófico", demonstrando que alguns corpos d'água estão recebendo elevada concentração de nutrientes, o que pode ocasionar em alto prejuízo aos usos múltiplos da água. Vale ressaltar que, a maioria dos pontos estão classificados entre "Mesotrófico" e "Supereutrófico", indicando que boa parte dos pontos de monitoramento neste volume podem estar sob influência de atividades antropogênicas. Também é importante destacar que a maioria dos pontos não apresentou grandes alterações nos níveis de trofia entre as campanhas, sendo possível identificar padrões nos graus de eutrofização em alguns dos pontos de monitoramento.

Os estados tróficos mais elevados foram observados para os pontos situados nos rios do Cobre (RCN-COB-950), Jaguaribe (RCN-JGB-600), Mangabeira (RCN-MAN-100), Paraguari (RCN-PAR-950) e Subaé (RCN-SUB-140), além dos trechos monitorados nas lagoas dos Frades (RCN-LDF-001) e Paraíso (RCN-LDR-001), sendo classificados como "Hipereutrófico" em uma ou ambas as campanhas. Por outro lado, os mais baixos níveis de trofia foram observados apenas para o ponto monitorado no Riacho da Pitanga (RCN-PTN-100), que apresentou as classificações "Oligotrófico" e "Ultraoligotrófico", indicando baixo a moderado enriquecimento de nutrientes em parte das campanhas.

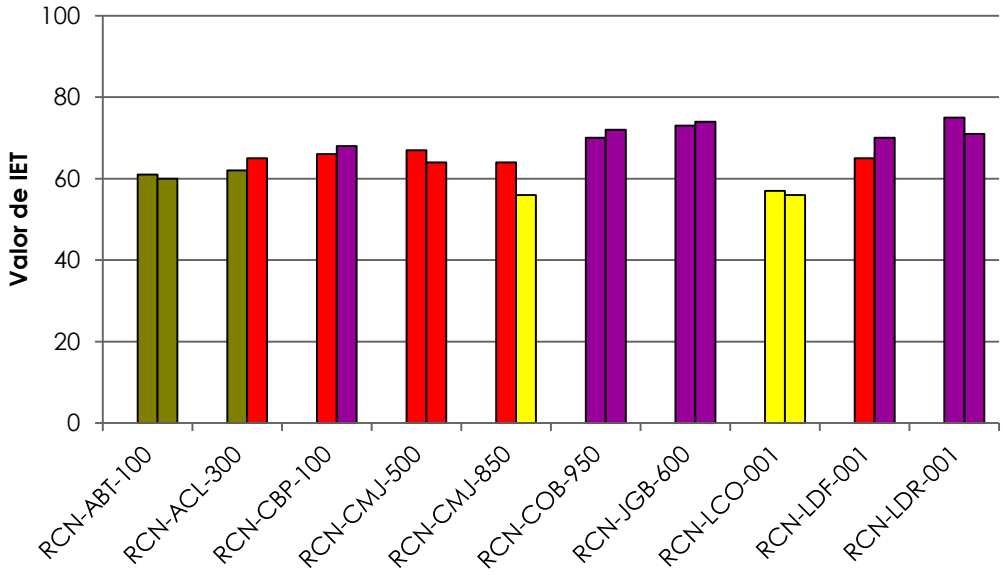


Figura 66. Classificações de IET para o Volume I da RPGA do Recôncavo Norte e Inhambupe em 2020.(1)

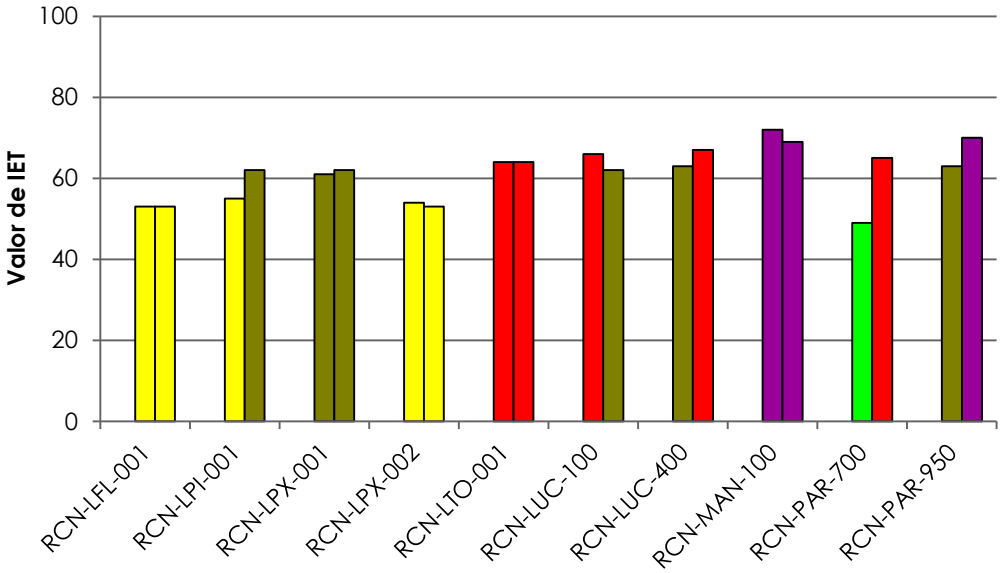


Figura 67. Classificações de IET para o Volume I da RPGA do Recôncavo Norte e Inhambupe em 2020.(2)

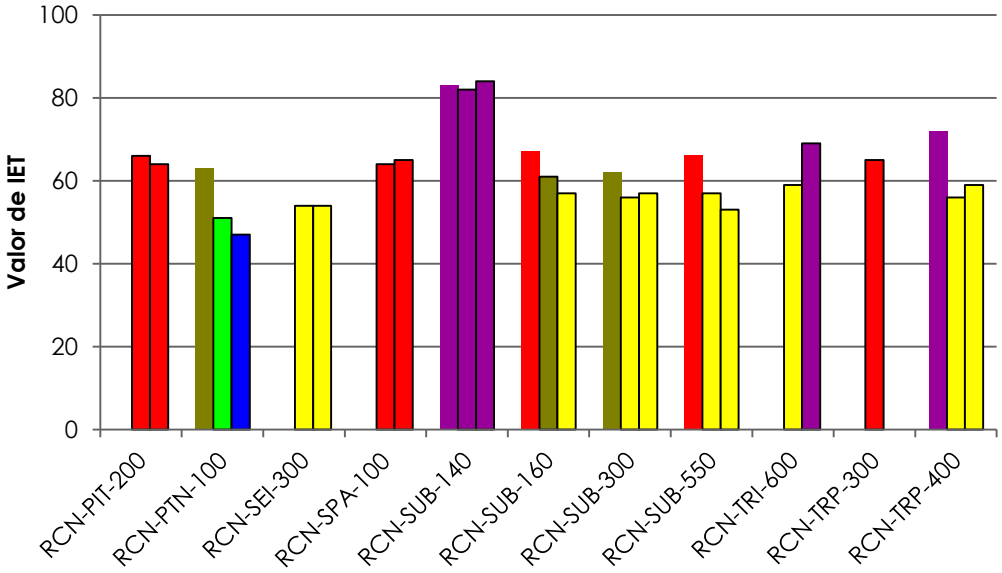


Figura 68. Classificações de IET para o Volume I da RPGA do Recôncavo Norte e Inhambupe em 2020.(3)

Quadro de referência para as classificações de IET.

Ultraoligotrófico	Oligotrófico	Mesotrófico	Eutrófico	Supereutrófico	Hipereutrófico
IET≤47	47 <IET≤52	52<IET≤59	59<IET≤63	63<IET≤67	IET>67

Portanto, o volume 1 da RPGA do Recôncavo Norte e Inhambupe que abrange os rios de Salvador, os rios vertentes para a Baía de Todos os Santos e a bacia do rio Subaé, apresentaram qualidade da água comprometida para os rios urbanos. Em relação ao nível de trofia observado para os corpos hídricos, a maioria dos pontos apresentou condições que indicam influência de atividades antropogênicas, demonstrando moderado a elevado enriquecimento de nutrientes para a maioria dos pontos de monitoramento.

3.11.2.1.2 Volume II - Bacias dos rios Joanes e Jacuípe

O volume II é caracterizado pelas barragens de uso para abastecimento público e por rios do entorno de Salvador e região Metropolitana de Salvador (RMS). Esses barramentos são provenientes do represamento de rios como Jacuípe, Joanes, Ipitanga e fornecem 40% da água captada para tratamento pela concessionária de abastecimento de Salvador e RMS, a Empresa Baiana de Águas e Saneamento S. A. (Embasa).

Em 2020, a maioria das classes para os pontos de amostragens neste volume da RPGA do Recôncavo Norte indicou qualidade da água como "Boa" com base no IQA. Entretanto, o melhor índice foi observado para o trecho monitorado na Barragem Santa Helena, que apresentou a classificação "Ótimo" em ambas as campanhas. Vale ressaltar que os outros pontos situados em barragens também apresentaram qualidade da água em condições satisfatórias, sendo classificada como "Boa" em todas as amostragens, a saber: Barragem Ipitanga II (RCN-BIP-001), Barragem do Ipitanga I (RCN-BIP-002), Barragem do Joanes I (RCN-BJN-001), Barragem do Joanes II (RCN-BJO-001 e RCN-BJO-004), Barragem Santa Helena (RCN-BSH-050 e RCN-BSH-003) e Barragem do Ipitanga (RCN-IPT-500).

Parte dos trechos monitorados em ambientes lóticos também apresentou qualidade da água classificada como "Boa", indicando condições satisfatórias. Todas as amostragens realizadas nos trechos monitorados nos rios Capivara Grande (RCN-CPV-900), Capivara Pequeno (RCN-CVP-800), Itaboatã (RCN-IBT-500), além de trechos dos rio Joanes (RCN-JOA-050, RCN-JOA-220, RCN-JOA-400, RCN-JOA-600) e Jacuípe (RCNJCP-025, RCN-JCP-130, RCN-JCP-200, RCN-JCP-500) apresentaram qualidade da água classificada como "Boa". Por outro lado, alguns trechos

apresentaram qualidade da água comprometida em todas ou parte das amostragens, apresentando as classificações "Ruim" ou "Péssimo", a saber trechos monitorados nos rios Camaçari (RCN-CAM-135), Ipitanga (RCN-IPT-600), Jacuípe (RCN-JCP-060), Joanes (RCN-JOA-900), Muriqueira (RCN-MRQ-100) e Ipitanga (RCN-RPD-150).

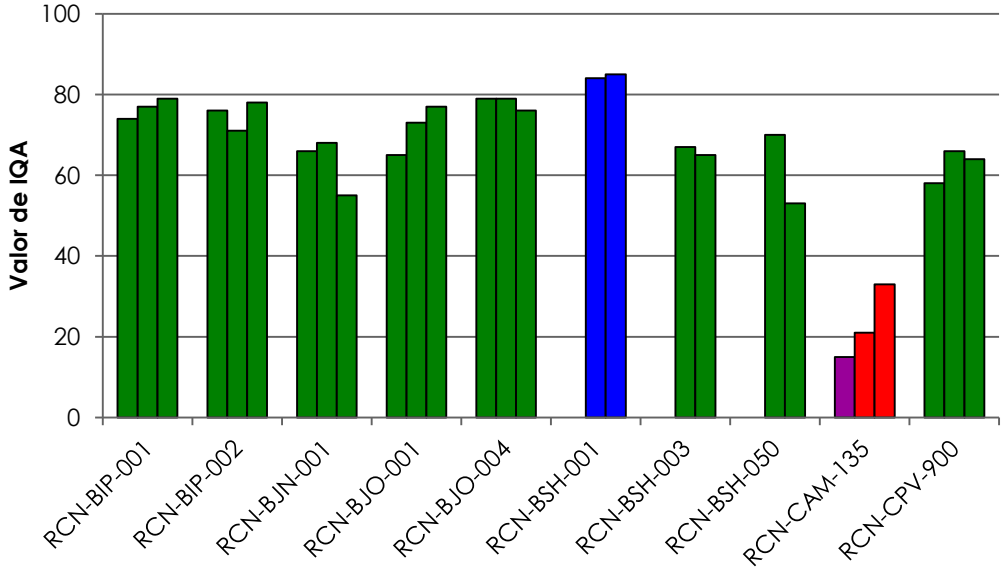


Figura 69. Classificações de IQA para o Volume II da RPGA do Recôncavo Norte e Inhambupe em 2020.(1)

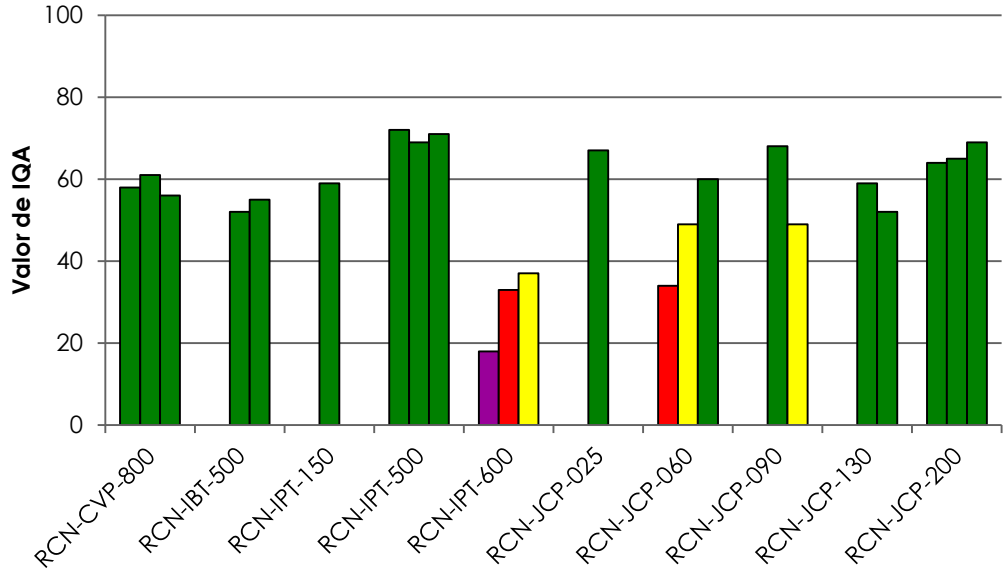


Figura 70. Classificações de IQA para o Volume II da RPGA do Recôncavo Norte e Inhambupe em 2020.(2)

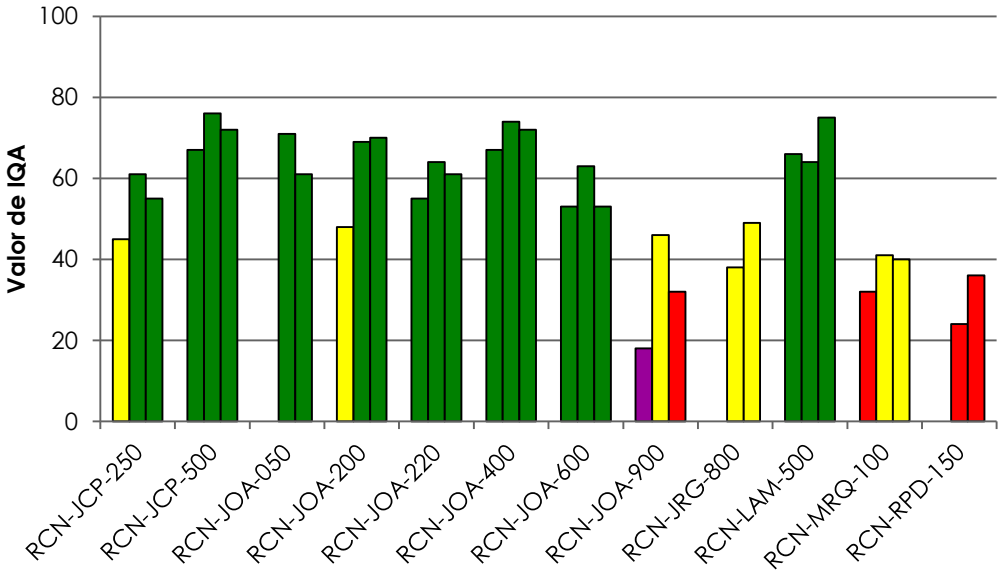


Figura 71. Classificações de IQA para o Volume II da RPGA do Recôncavo Norte e Inhambupe em 2020.(3)

Quadro de referência para as classificações de IQA.

Ótimo	Bom	Regular	Ruim	Péssimo
79 < IQA ≤ 100	51 < IQA ≤ 79	36 < IQA ≤ 51	19 < IQA ≤ 36	IQA ≤ 19

Em relação ao IET, as águas dos barramentos que compõem esse volume apresentaram níveis de trofia classificados entre "Ultraoligotrófico" e "Eutrófico", sendo a maioria dos pontos classificados como "Mesotrófico". Dentre os ambientes lênticos, os maiores níveis de trofia foram identificados para a barragem Joanes I (RCN-BJN-001), barragem Santa Helena (RCN-BSH-050) e barragem Ipitanga (RCN-IPT- 500) que apresentaram a classe "Eutrófico" para pelo menos uma das campanhas realizadas. Vale salientar que parte desses trechos apresentaram variação quanto à qualidade das águas entre as campanhas, a exemplo da barragem Santa Helena que apresentou mudança entre as classes "Ultraoligotrófico" e "Eutrófico" entre as campanhas, causado pelo aumento da concentração de clorofila *a* neste corpo hídrico.

Considerando os pontos situados em ambientes lóticos, grande parte apresentou elevado enriquecimento de nutrientes para a maioria das campanhas realizadas.

Os pontos situados nos rios Camaçari (RCN-CAM-135), Capivara Pequeno (RCN-CVP-800), Ipitanga (RCN-IPT-600), Jacuípe (RCJ-JCP-060 e RCN-JCP-090), Joanes (RCN-JOA-600 e RCN-JOA-900), Jacarecanga (RCN-JRG-800), Muriqueira (RCN-MRQ-100) e Ipitanga (RCN-RPD-150) indicaram o mais elevado grau de trofia, apresentando a classificação "Hipereutrófico" para pelo menos uma das campanhas realizadas neste ano de 2020.

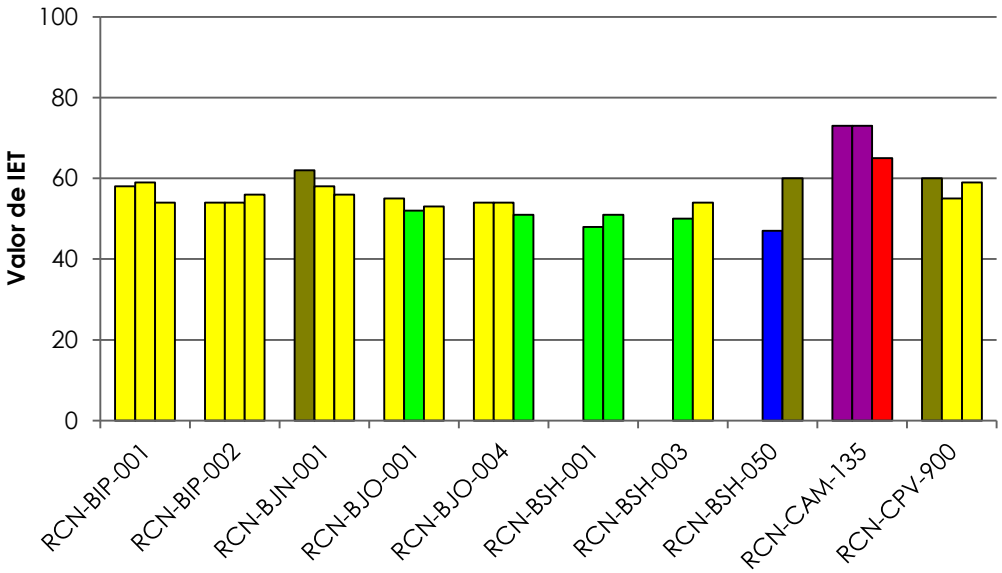


Figura 72. Classificações de IET para o Volume II da RPGA do Recôncavo Norte e Inhambupe em 2020.(1)

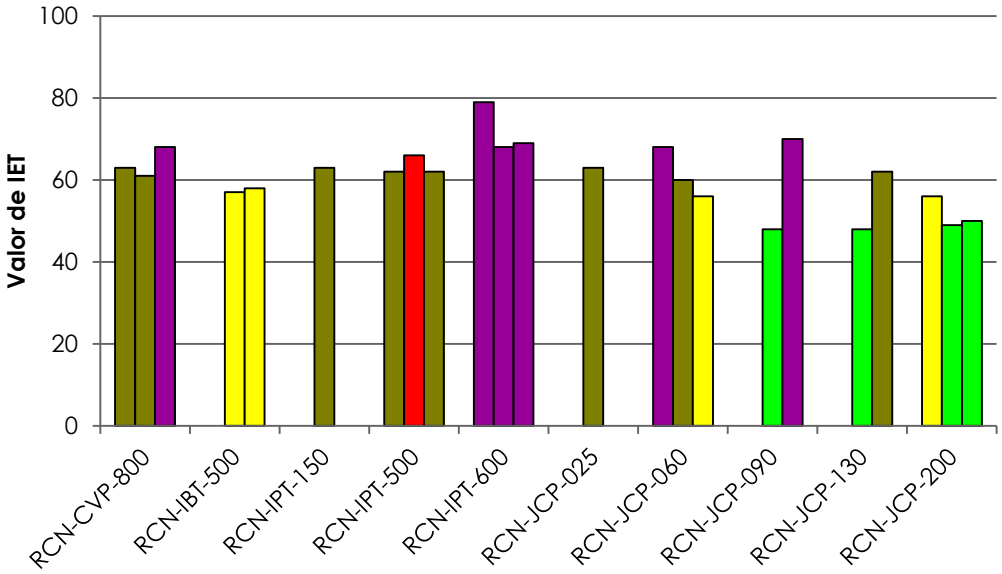


Figura 73. Classificações de IET para o Volume II da RPGA do Recôncavo Norte e Inhambupe em 2020.(2)

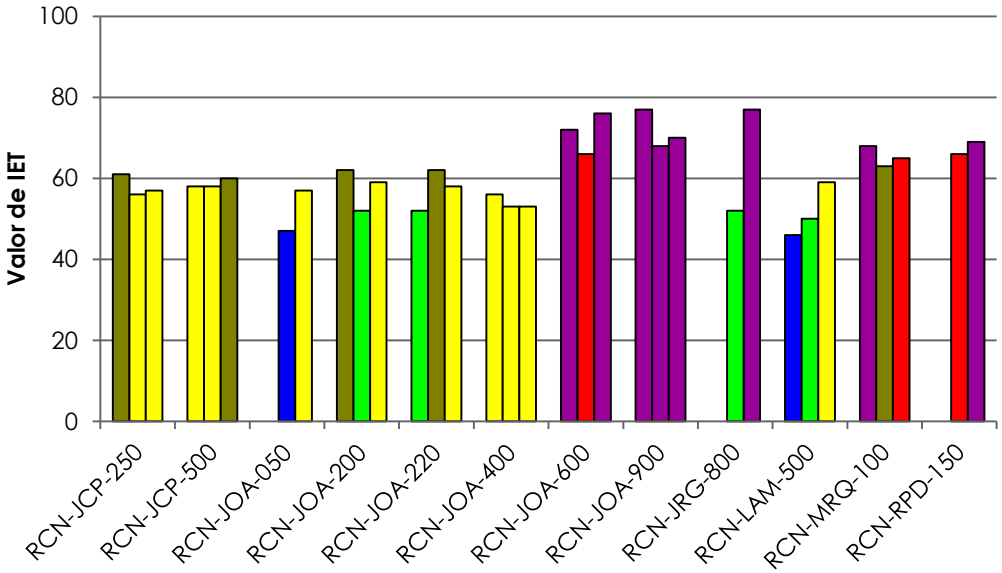


Figura 74. Classificações de IET para o Volume II da RPGA do Recôncavo Norte e Inhambupe em 2020.(3)

Quadro de referência para as classificações de IET.

Ultraoligotrófico	Oligotrófico	Mesotrófico	Eutrófico	Supereutrófico	Hipereutrófico
IET≤47	47 <IET≤52	52<IET≤59	59<IET≤63	63<IET≤67	IET>67

Por outro lado, os menores níveis de trofia neste ano foram observados para os trechos monitorados nos rios Joanes (RCN-JOA-050) e Lamarão (RCN-LAM-500) que apresentou a classe "Ultraoligotrófico" em uma das campanhas realizadas. Porém, vale destacar que ambos os trechos apresentaram aumento do nível de trofia nas campanhas seguintes.

Em síntese, os pontos que pertencem ao volume II da RPGA do Recôncavo Norte e Inhambupe apresentaram qualidade da água satisfatória para a maioria dos pontos em relação ao IQA, indicando estar em condições ideais para a utilização para abastecimento público. Por outro lado, o Índice de Estado Trófico (IET) indicou que a maioria dos pontos pode estar sob influência de atividades antropogênicas, pois, grande parte apresentou nível de trofia classificado entre "Mesotrófico" e "Hipereutrófico", indicando moderado a elevado enriquecimento de nutrientes nestes corpos hídricos.

3.11.2.1.3 Volume III - Bacias dos rios Pojuca, Imbassaí, Sauípe, Subaúma e Inhambupe

Neste volume se agrupam 26 pontos de monitoramento situados em áreas com maior grau de preservação, portanto, em corpos hídricos que recebem pouca influencia humana. Neste ano de monitoramento, a maioria dos pontos monitorados nas bacias dos rios Pojuca, Imbassaí, Sauípe, Subaúma, Quiricó Grande e Inhambupe apresentaram valores de IQA classificados como "Boa". A exceção tem-se para o rio Catu, apresentando a classe "Regular" ou "Ruim" para todas as campanhas realizadas em 2020.

O trecho monitorado no rio Inhambupe, apresentou qualidade da água classificada com "Boa" para a maioria das campanhas realizadas em 2020, com exceção do ponto RCN-IHB-400. O rio Imbassaí, nos trechos referente aos pontos RCN-IMB-900 e RCN-IMB-950, foi classificados pelo IQA como "Bom" em todas as campanhas, indicando águas em boas condições ambientais. Resultados semelhantes podem ser observados nos rios Sauípe e Subaúma que apresentaram qualidade da água classificada entre "Regular" e "Ótima" para todos os pontos, demonstrando condições satisfatórias para os usos múltiplos deste recurso hídrico.

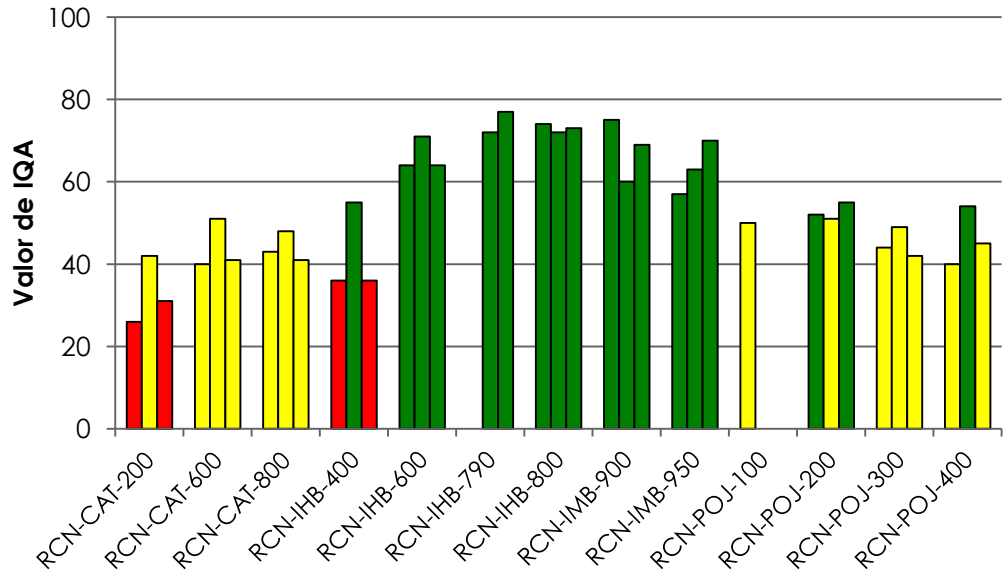


Figura 75. Classificações de IQA para o Volume III da RPGA do Recôncavo Norte e Inhambupe em 2020.(1)

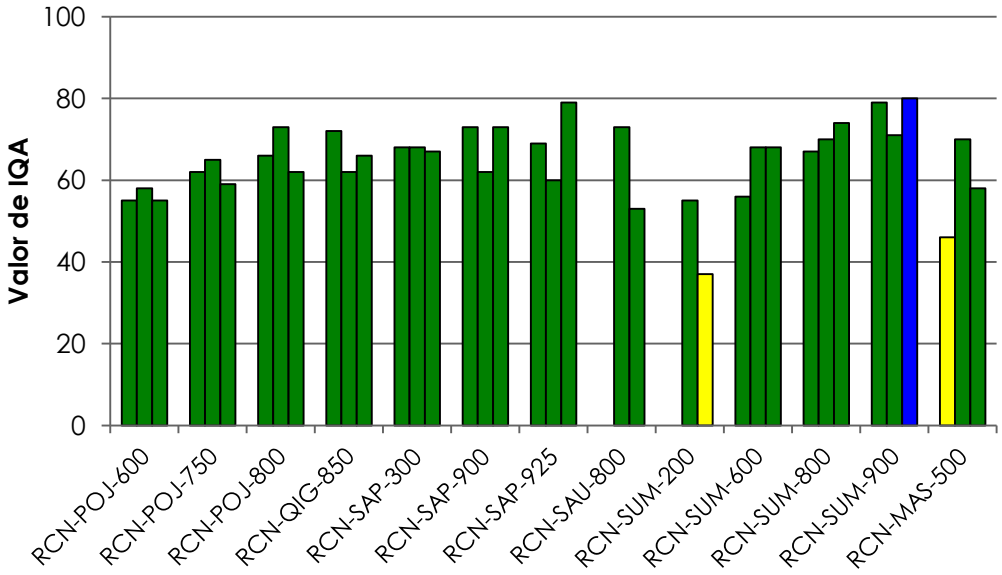


Figura 76. Classificações de IQA para o Volume III da RPGA do Recôncavo Norte e Inhambupe em 2020.(2)

Quadro de referência para as classificações de IQA.

Ótimo	Bom	Regular	Ruim	Péssimo
79 < IQA ≤ 100	51 < IQA ≤ 79	36 < IQA ≤ 51	19 < IQA ≤ 36	IQA ≤ 19

Os resultados para o índice de estrado trófico para os pontos integrantes do volume III da RPGA Reconcavo Norte e Inhambupe, abrangendo as bacias dos rios Pojuca, Imbassaí, Sauípe, Subaúma e Inhambupe, apresentaram uma ampla classificação, desde "Hipereutrófico" a "Ultraoligotrófico". O rio Catu apresentou IET classificado entre "Mesotrófico" e "Supereutrófico" indicando águas sob influência de atividades antropogênicas, sobretudo o trecho próximo a sua nascente (RCN-CAT-200) que apresentou a pior classificação para esse corpo hídrico. No rio Pojuca, a maioria dos resultados das amostragens indicou elevado grau de trofia, sendo os pontos classificados entre "Eutrófico" e "Hipereutrófico". Por outro lado, os pontos de monitoramento situados nos rios Subaúma (RCN-SUM-200, RCN-SUM-600, RCN-SUM-800, RCN-SUM-900), Massarandupió (RCN-MAS-500), Imbassaí (RCN-IMB-900 e RCN-IMB-950) e Quiricó Grande (RCN-QIG-850) apresentaram níveis de trofia classificados entre "Mesotrófico" e "Ultraoligotrófico" indicando assim baixo a moderado enriquecimento de nutrientes nestes trechos.

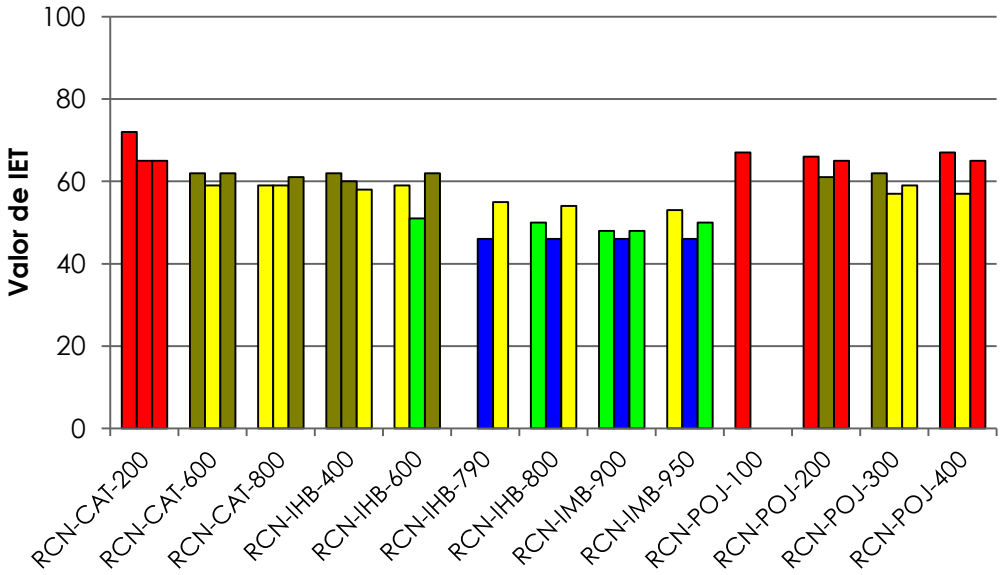


Figura 77. Classificações de IET para o Volume III da RPGA do Recôncavo Norte e Inhambupe em 2020.(1)

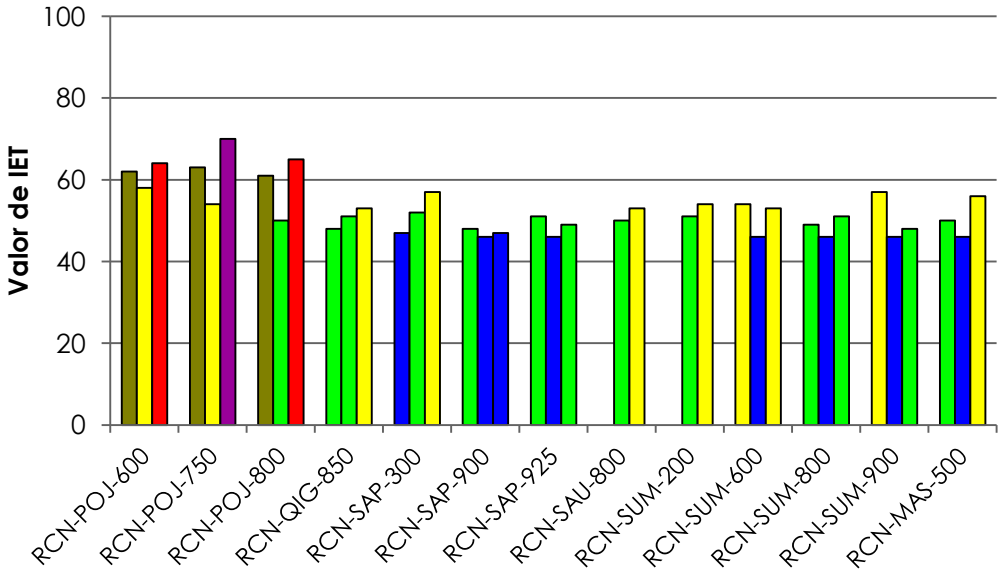


Figura 78. Classificações de IET para o Volume III da RPGA do Recôncavo Norte e Inhambupe em 2020.(2)

Quadro de referência para as classificações de IET.

Ultraoligotrófico	Oligotrófico	Mesotrófico	Eutrófico	Supereutrófico	Hipereutrófico
IET≤47	47 <IET≤52	52<IET≤59	59<IET≤63	63<IET≤67	IET>67

O volume III da RPGA do Recôncavo Norte e Inhambupe, que contempla as bacias dos rios Pojuca, Imbassaí, Sauípe, Subaúma e Inhambupe, apresenta qualidade da água satisfatória para a maioria dos pontos monitorados segundo o IQA, sendo classificados entre "Regular" e "Boa" para a maioria das campanhas, exceto para os rios Catu e Inhambupe. Tais classificações para o IQA indicam águas com condições ideais para o abastecimento público a partir de tratamentos convencionais. Por outro lado, assim como nos demais volumes, os trechos de rios do volume III apresentaram valores elevados para os Índices de Estado Trófico (IET) em grande parte das campanhas realizadas nos pontos, indicando a influência das atividades antropogênicas realizadas na região.

No geral, a RPGA do Recôncavo Norte e Inhambupe apresentou condições satisfatórias para a maioria dos pontos em relação ao Índice de Qualidade das Águas (IQA), com exceção de alguns rios urbanos localizados no município de Salvador e região metropolitana de Salvador. Este resultado é esperado devido à intensa atividade humana na região, podendo propiciar a contaminação dos recursos hídricos através do despejo de efluentes domésticos não tratados, além de efluentes e/ou resíduos industriais. Este resultado é coerente com o observado para o Índice de Estado Trófico (IET) que foram ainda mais comprometedores para os pontos em que o IQA qualificou a qualidade da água como comprometida.

3.12 RPGA DO RIO ITAPICURU

3.12.1 CARACTERÍSTICAS DA RPGA

A RPGA do Rio Itapicuru é constituída pelas bacias hidrográficas dos rios Itapicuru e Itariri. Esta RPGA teve, ao longo de 2020, a qualidade de suas águas superficiais monitorada por meio de 51 pontos de amostragens, distribuídos conforme ilustra a Figura 79. A descrição da localização dos pontos, a data de coleta e o registro fotográfico realizados nas campanhas são apresentados no Quadro 18.

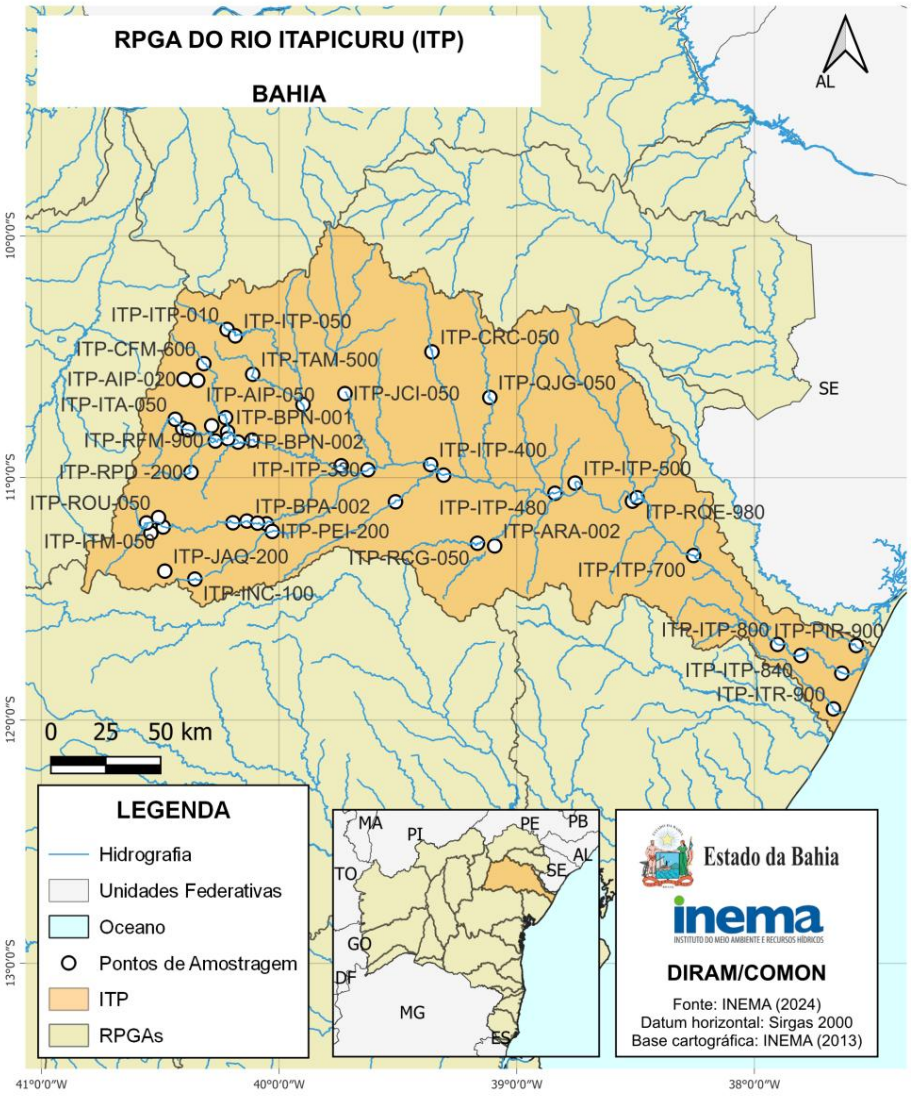


Figura 79. Mapa da distribuição da rede amostral na RPGA do Rio Itapicuru, Bahia.

Quadro 18. Caracterização geral dos pontos de amostragem da RPGA do Rio Itapicuru, Bahia.

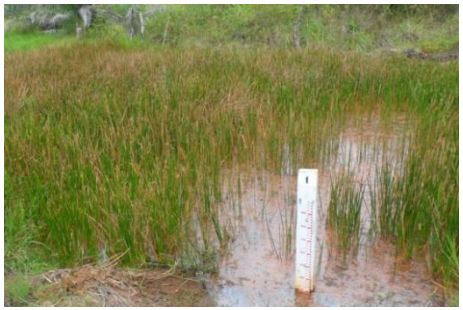
Código Coordenadas geográficas (SIRGAS 2000)	Corpo hídrico Município	Local de amostragem	Data da coleta	Registro Fotográfico
ITP-AIP-020 10°35'38" (S) 40°23'58" (W)	Rio Aipim Pindobaçu	Situado no rio Aipim, a jusante da FERBASA-pedrinhas.	1ª campanha: Não realizada 2ª campanha: Não realizada 3ª campanha: 16/12/2020	
ITP-AIP-050 10°35'53,1" (S) 40°20'30,8" (W)	Rio Aipim Antônio Gonçalves	Ponto situado no povoado de Bananeiras a jusante da barragem do Aipim..	1ª campanha: 04/02/2020 2ª campanha: Não realizada 3ª campanha: 16/12/2020	

ITP-AIP-300	Rio Aipim Filadélfia	Sob a ponte sobre o rio Aipim, na estrada de terra de Pindobaçu a Filadélfia, em área da fazenda Alecrim. Ponto coincidente com a estação fluviométrica IT-FR-21.	1ª campanha: 17/03/2020 2ª campanha: Não realizada 3ª campanha: 17/12/2020	
ITP-ARA-002 11°16'38,0" (S) 39°5'43,0" (W)	Açude de Araci Araci	Ponto situado no açude de Araci, também conhecido como Poço Grande.	1ª campanha: 04/02/2020 2ª campanha: 02/09/2020 3ª campanha: 10/11/2020	
ITP-BCA-001 11°13'46,0" (S) 40°32'21,0" (W)	Barragem de Canavieiras (Rio Itapicuru Mirim) Jacobina	Ponto localizado próximo ao Povoado de Canavieiras, com acesso pela estrada pavimentada que liga Jacobina a mineradora Yamana Gold. Abastece a cidade de Jacobina e fica a jusante da barragem de rejeitos da Yamana.	1ª campanha: 05/02/2020 2ª campanha: Não realizada 3ª campanha: 03/11/2020	

ITP-BPA-001 11°11'27,4" (S) 40°3'7,4" (W)	Barragem de Pedras Altas Jacobina	Ponto localizado no vertedouro da margem esquerda da barragem de Pedras Altas , no município de Capim Grosso . Esse trecho está a jusante da região de garimpo de ouro da Serra da Jacobina e da sede municipal, já foi monitorado pelo INGÁ no programa de monitoramento das barragens.	1ª campanha: 04/02/2020 2ª campanha: Não realizada 3ª campanha: 10/11/2020	Sem foto.
ITP-BPA-002 11°10'46, 51" (S) 40°8'5,80" (W)	Barragem de Pedras Altas Jacobina	Saindo da localidade de Pedras Altas, após a ponte da BR 407, sentido Senhor do Bomfim, vira a esquerda e segue 11 km por uma estrada não pavimentada até o ponto de destino.	1ª campanha: 04/02/2020 2ª campanha: Não realizada 3ª campanha: 10/11/2020 (Ponto seco)	Sem foto.
ITP-BPA-003 11°11'18,0" (S) 40°5'24,0" (W)	Barragem de Pedras Altas Caém	Saindo da localidade de Pedras Altas segue no sentido a Senhor do Bomfim, após a ponte da BR 407, vira a esquerda e segue 7 km por uma estrada não pavimentada até o local da coleta.	1ª campanha: 04/02/2020 2ª campanha: Não realizada 3ª campanha: 10/11/2020 (Sem acesso)	Sem foto.

ITP-BPI-001 10°47'46,17" (S) 40°24'26,65" (W)	Barragem de Pindobaçu Pindobaçu	Ponto localizado na margem esquerda da barragem de Pindobaçu. A montante existem garimpos de esmeralda, além dos povoados de Carnaíba de Cima, Carnaíba de Baixo e Marota. Já foi monitorado pelo INGÁ no programa de monitoramento das barragens.	1ª campanha: 04/02/2020 2ª campanha: Não realizada 3ª campanha: 05/11/2020	
ITP-BPN-001 10°48'5,0" (S) 40°12'44,0" (W)	Barragem de Ponto Novo Pindobaçu	Braço da barragem de Ponto Novo que recebe água do rio Aipim.	1ª campanha: 06/02/2020 2ª campanha: Não realizada 3ª campanha: 04/11/2020	
ITP-BPN-002 10°51'12,07" (S) 40°10'20,15" (W)	Barragem de Ponto Novo Ponto Novo	Vertedouro da barragem de Ponto Novo (antigo ponto ITP-PTN-050).	1ª campanha: 06/02/2020 2ª campanha: Não realizada 3ª campanha: 04/11/2020	

ITP-BPN-003 10°50'21,0" (S) 40°12'55,0" (W)	Barragem de Ponto Novo Ponto Novo	Acesso por estrada sem pavimentação, 5 km após a barragem de Ponto Novo, próximo a entrada da Fazenda Agrestina e antes do povoado de Limeira.	1ª campanha: 06/02/2020 2ª campanha: Não realizada 3ª campanha: 04/11/2020	
ITP-CFM-600 10°31'43,7" (S) 40°18'58,3" (W)	Rio Campo Formoso Campo Formoso	Paralelo a BA-220, a jusante da cidade de Campo Formoso e da Escola Rural, sob uma ponte, próxima ao poço de captação de água da CIMPOR (antiga CISAFRA).	1ª campanha: 04/02/2020 2ª campanha: Não realizada 3ª campanha: 15/12/2020	
ITP-CRC-050 10°28'48,0" (S) 39°21'21,9" (W)	Açude Cariacá Monte Santo	Açude Cariaçá, junto às instalações do Balneário da Prainha localizado na estrada de acesso ao Povoado de Curral Velho à cerca de 1,7 km da BA 120, entre os municípios de Cansanção e Monte Santo.	1ª campanha: 06/02/2020 2ª campanha: Não realizada 3ª campanha: 12/11/2020	Sem foto.

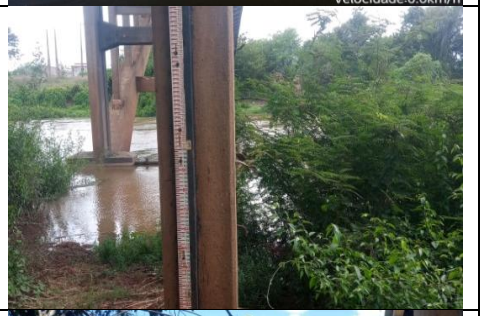
ITP-INC-100 10°28'48" (S) 39°21'21.9" (W)	Inchu Miguel Calmon	Saindo de Serrolândia em direção a Fazenda Inchu, entra em uma cancela a direita próxima a uma igreja em construção.	1ª campanha: 18/03/2020 Ponto seco 2ª campanha: Não realizada 3ª campanha: 15/12/2020 Ponto seco	
ITP-ITA-050 10°45'42.56" (S) 40°26'13.34" (W)	Itapicuru-Açu Pindobaçu	Entra no povoado de Itapicuru, segue o rio anda a 9Km até a Faz. Grutinha (João do Cedro)	1ª campanha: 16/03/2020 2ª campanha: Não realizada 3ª campanha: 16/12/2020	
ITP-ITA-100 10°48'11,2" (S) 40°22'49,9" (W)	Rio Itapicuru-açu Saúde	Sob ponte na BA-131, a 300 metros do entroncamento que dá acesso a barragem de Pindobaçu. Ponto coincidente com estação fluviométrica da ANA.	1ª campanha: 04/02/2020 2ª campanha: Não realizada 3ª campanha: 05/11/2020	

ITP-ITA-200 10°50'56" (S) 40°16'05" (W)	Itapicuru-Açu Saúde	Seguir de Ponto Novo em direção a barragem, daí segue em estrada não pavimentada para Saúde, passando pelos povoados de Limeira, Lajeadinho e Fazenda Porteira.	1ª campanha: 18/03/2020 2ª campanha: Não realizada 3ª campanha: 16/12/2020	
ITP-ITA-400 10°50'42" (S) 40°6'46" (W)	Rio Itapicuru-Açu Caldeirão Novo	Ponto situado sob ponte na BR-407, após 2km da entrada da área urbana de Ponto Novo, próximo a um balneário com pesque-pague. Ponto coincidente com estação fluviométrica da ANA.	1ª campanha: Não realizada 2ª campanha: Não realizada 3ª campanha: 04/11/2020	
ITP-ITM-050 11°12'15,4" (S) 40°29'13,7" (W)	Rio Itapicuru-mirim Jacobina	Situado à cerca de 3 km à jusante da zona urbana de Jacobina, sob ponte localizada junto às instalações físicas do balneário Sombra e Água Fresca.	1ª campanha: 05/02/2020 2ª campanha: Não realizada 3ª campanha: 03/11/2020	

ITP-ITM-450 11°11'12" (S) 40°11'37" (W)	Itapicuru-Mirim Jacobina	Na estrada que une Capim Grosso a Pedras Altas, daí entra a esquerda no KM 30, em direção a Piabas, passa sobre o barramento do rio Itapicuru-Mirim indo em direção a Fazenda Pintadas.	1ª campanha: 18/03/2020 (Ponto seco) 2ª campanha: Não realizada 3ª campanha: 16/12/2020	Sem foto.
ITP-ITP-010 10°23'13.00"S 40°13'6.00"W	Rio Itapicuru Senhor do Bonfim	Ponto situado na zona rural de Senhor do Bonfim. Acesso pelo Povoado de Carrapichel na BR-407.	1ª campanha: Não realizada 2ª campanha: Não realizada 3ª campanha: 15/12/2020	
ITP-ITP-050 10°24'49,7" (S) 40°11'1,2" (W)	Rio Itapicuru Senhor do Bonfim	Sob ponte da BR-407, no trecho compreendido entre Senhor do Bonfim e Jaguarari, cerca de 3,5 Km de Senhor do Bonfim.	1ª campanha: 03/02/2020 (Ponto seco) 2ª campanha: Não realizada 3ª campanha: 15/12/2020 (Ponto seco)	

ITP-ITP-200 10°41'52,48" (S) 39°53'55,28" (W)	Rio Itapicuru Itiúba	Saindo de Itiúba, sentido Filadélfia, segue 5 km pela rodovia BA 381 até o entroncamento de acesso. Deste, vira à direita e segue por mais 1km em estrada vicinal até o ponto de destino.	1ª campanha: 05/02/2020 (Ponto seco) 2ª campanha: Não realizada 3ª campanha: 11/11/2020 (Ponto seco)	
ITP-ITP-300 10°57'4,50" (S) 39°44'17,80" (W)	Rio Itapicuru Queimadas	Saindo de Queimadas pela BA 120, sentido Cansanção, logo após a ponte vira no sentido da esquerda e segue 14,5 km paralelo ao rio Itapicuru.	1ª campanha: 06/02/2020 2ª campanha: Não realizada 3ª campanha: 12/11/2020	
ITP-ITP-330 10°58'4,40" (S) 39°37'33,10" (W)	Rio Itapicuru Queimadas	Ponto localizado sob a ponte da BA-120, na saída da cidade de Queimadas, sentido Cansanção.	1ª campanha: 06/02/2020 2ª campanha: Não realizada 3ª campanha: 12/11/2020	

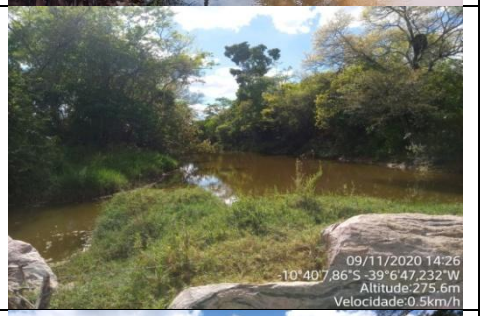
ITP-ITP-400 10°56'47,70" (S) 39°21'41,90" (W)	Rio Itapicuru Cansanção	Ponto situado à jusante da cidade de Queimadas. O acesso ao local se faz por uma estrada vicinal, percorrendo uma distância de 16,4 km da cidade de Nordestina, sentido sudeste até chegar no rio Itapicuru	1ª campanha: 05/02/2020 2ª campanha: Não realizada 3ª campanha: 11/11/2020	
ITP-ITP-430 10°59'23,11" (S) 39°18'24,70" (W)	Rio Itapicuru Santaluz	Ponto situado no rio Itapicuru entre a COSIPRA/município de Santaluz e o povoado de Nova Esperança/município de Cansação, a jusante da região de garimpo de ouro.Localizado aproximadamente 10 km à jusante do ponto ITP-ITP-400	1ª campanha: 05/02/2020 2ª campanha: Não realizada 3ª campanha: 11/11/2020	
ITP-ITP-480 11°3'52,99" (S) 38°50'17,99" (W)	Rio Itapicuru Tucano	Ponto situado sob ponte na BR 116, sobre o rio Itapicuru no Povoado Jorrinho, município de Tucano. Ponto coincidente com estação fluviométrica da ANA.	1ª campanha: Não realizada 2ª campanha: 02/09/2020 3ª campanha: 09/11/2020	

ITP-ITP-500 11°01'22" (S) 38°45'13,20" (W)	Rio Itapicuru Tucano	Saindo da BR 116 pela direita e no entroncamento de acesso ao distrito de Calda do Jorro, segue aproximadamente 10 km até o ponto de destino, sentido ao povoado de Tririca.	1ª campanha: 04/02/2020 2ª campanha: 02/09/2020 3ª campanha: 09/11/2020	
ITP-ITP-600 11°5'50,70" (S) 38°30'44,60" (W)	Rio Itapicuru Cipó	Ponto localizado sob a ponte da BR 110, na cidade de Cipó , próximo ao posto fluviométrico IT-FR-12.	1ª campanha: 04/02/2020 2ª campanha: 02/09/2020 3ª campanha: 11/11/2020	
ITP-ITP-700 11°19'18,80" (S) 38°15'18,0" (W)	Rio Itapicuru Olindina	Sob a ponte na BR-349, sentido Itapicuru – Olindina, distante 5 Km de Itapicuru.	1ª campanha: 05/02/2020 2ª campanha: 02/09/2020 3ª campanha: 11/11/2020	

ITP-ITP-800 11°41'19,60" (S) 37°54'6,40" (W)	Rio Itapicuru Esplanada	Sob a ponte na BR-101, aproximadamente 13 km da cidade de Esplanada, sentido Rio Real.	1ª campanha: 18/02/2020 2ª campanha: 18/09/2020 3ª campanha: 16/11/2020	
ITP-ITP-840 11°44'4,99" (S) 37°48'11,99" (W)	Rio Itapicuru Conde	Saindo da área urbana de Esplanada, seguir pela BA 233 sentido distrito de Altamira (na entrada da estrada localiza-se atualmente uma placa escrita MULTIFERRO). Da praça do distrito de Altamira, segue a esquerda até o ponto de coleta.	1ª campanha: Não realizada 2ª campanha: 18/09/2020 3ª campanha: 16/11/2020	
ITP-ITP-900 11°48'27,50" (S) 37°37'52,60" (W)	Rio Itapicuru Conde	Sob ponte na BA-099 (Linha Verde), 2km após o entroncamento de acesso a cidade de Conde	1ª campanha: 13/02/2020 2ª campanha: 14/09/2020 3ª campanha: 19/11/2020	

ITP-ITR-900 11°56'44,3" (S) 37°40'23,5" (W)	Rio Itariri Conde	Localizado no rio Itariri, em área rural na localidade de Coqueiros pertencente ao município de Conde. Ponto coincidente com estação fluviométrica IT-FR-22.	1ª campanha: 13/02/2020 2ª campanha: 14/09/2020 3ª campanha: 19/11/2020	
ITP-JAQ-200 11°23'11" (S) 40°28'49" (W)	Rio Cova da Jaqueira Miguel Calmon	Situado na zona rural de Miguel Calmon e a montante da barragem/açude de Cachoeira Grande, próximo à Fazenda Boa Vista. Ponto coincidente com estação fluviométrica 50418400.	1ª campanha: Não realizada 2ª campanha: Não realizada 3ª campanha: 15/12/2020	
ITP-JCI-050 10°39'08,0" (S) 39°43'21,8" (W)	Rio Jacurici Cansanção	Açude Jacurici, formado a partir do represamento das águas do Rio Jacurici, localizado na BA 081, entre o município de Cansanção e Itiúba.	1ª campanha: 05/02/2020 2ª campanha: Não realizada 3ª campanha: 11/11/2020	Sem foto.

ITP-LAS-001 11°11'14,2" (S) 40°33'27,0" W)	Lagoa de Antônio Sobrinho Jacobina	Ponto situado na Lagoa de Antonio Sobrinho, próximo ao bar "Rio do Ramo do Sossego". Área rural de Jacobina.	1ª campanha: 05/02/2020 (Sem acesso) 2ª campanha: Não realizada 3ª campanha: 03/11/2020	
ITP-PEI-200 11°13'21" (S) 40°1'41,8" (W)	Rio do Peixe Capim Grosso	Situado sob a ponte da BR-407 sobre o rio do peixe, no trecho entre os municípios de Pedras Altas e Capim Grosso.	1ª campanha: Não realizada 2ª campanha: Não realizada 3ª campanha: 14/12/2020 (Ponto seco)	
ITP-PEX-500 11°13'41,5" (S) 39°56'38,4" (W)	Rio do Peixe Queimadas	Em estrada de terra, sob ponte no rio do Peixe no sentido Queimadas/ Santa Luz, a aproximadamente 19 Km de Queimadas.	1ª campanha: 06/02/2020 2ª campanha: Não realizada 3ª campanha: 12/11/2020 (Ponto seco)	Sem foto.

ITP-PIR-900 11°41'36,6" (S) 37°34'14,9" (W)	Rio Piranji Jandaíra	Localizado sob a ponte da rodovia BA-099 sobre o rio Pirangi no município de Jandaíra.	1ª campanha: 13/02/2020 2ª campanha: 14/09/2020 3ª campanha: 19/11/2020	
ITP-QJG-050 10°40'6.9" (S) 39°06'45" (W)	Quijingue Quijingue	BR 116, entra no acesso para Quinjingue, percorrendo 20 km até a ponte	1ª campanha: 03/02/2020 (Ponto seco) 2ª campanha: Não realizada 3ª campanha: 09/11/2020	
ITP-RCG-050 11°16'17" (S) 39°09'52.9" (W)	Riacho do Cágado Araci	BR 116 - Araci. Vai até o Açude de Araci do DNOCS. Segue 10 km até o povoado de Tapui(o), entrando na segunda rua a esquerda. Percorre 5,5 km, entra a direita 700 m até Olaria.	1ª campanha: 03/02/2020 (Sem acesso) 2ª campanha: 02/09/2020 (Ponto seco) 3ª campanha: 10/11/2020 (Ponto seco)	

ITP-RFM-900 10°47'09'' (S) 40°16'59'' (W)	da Fumaça Pindobaçu	Situado no rio da Fumaça sob a ponte sobre a Estrada da Malhadinha (chão batido) que liga Pindobaçu a barragem de Ponto Novo. Ponto coincidente com estação fluviométrica IT-FR-03/Brejo dos Paulos.	1ª campanha: 17/03/2020 2ª campanha: Não realizada 3ª campanha: 17/12/2020 (Ponto seco)	
ITP-ROU-050 11°9'54,35'' (S) 40°30'24,82'' (W)	Rio do Ouro Jacobina	Local denominado Serra Macaqueira, cerca de 2 km da garagem da prefeitura de Jacobina. Local da antiga captação de água para Jacobina, na construção da antiga usina de Força de Jacobina.	1ª campanha: 05/02/2020 2ª campanha: Não realizada 3ª campanha: 03/11/2020	
ITP-RPD-200 10°58'42'' (S) 40°22'13'' (W)	das Pedras Saúde	BA 375, a 5 km do entroncamento com a BA 131, próximo de Saúde	1ª campanha: 17/03/2020 2ª campanha: Não realizada 3ª campanha: 16/12/2020	

ITP-RQE-980 11°04'59" (S) 38°29'35" (W)	Rio Quente ou Ribeira do Pombal Ribeira do Amparo	A partir de Cipó segue em direção à Ribeira do Amparo, na primeira ponte (+/- 2Km)	1ª campanha: 04/02/2020 2ª campanha: 02/09/2020 3ª campanha: 10/11/2020	
ITP-SMB-300 10°49'29.81" (S) 40°29'52.76" (W)	Rio Sambaíba Mirangaba	Ponto localizado no rio Sambaíba, no povoado de Nuguaçu, próximo a BA-144.	1ª campanha: 04/02/2020 2ª campanha: Não realizada 3ª campanha: 05/11/2020	
ITP-TAM-200 10°29'60.00" (S) 40°9'60.00" (W)	Rio Tamanduá Senhor do Bonfim	Situado na localidade Fazenda Limões, município de Senhor do Bonfim. Acesso pela BR-407. Ponto coincidente com a estação fluviométrica IT-FR-20.	1ª campanha: Não realizada 2ª campanha: Não realizada 3ª campanha: 15/12/2020 (Ponto seco)	

ITP-TAM-500 10°34'22"S 40°6'38"W	Rio Tamanduá Senhor do Bonfim	Situado na localidade Fazenda Limões, município de Senhor do Bonfim. Acesso pela BR-407. Ponto coincidente com a estação fluviométrica IT-FR-20.	1ª campanha: Não realizada 2ª campanha: Não realizada 3ª campanha: 15/12/2020	

3.12.2 RESULTADOS E DISCUSSÃO

Dos 51 pontos visitados durante o ano de 2020 na RPGA do Rio Itapicuru, apenas seis não foram amostrados em nenhuma das quatro campanhas, pois se encontravam seco ou sem possibilidade de acesso, sendo eles ITP-INC-100 (Rio Inchu), ITP-ITP-050 e ITP-ITP-200 (Rio Itapicuru), ITP-RCG-050 (Riacho do Cágado), ITP-TAM-500 (Rio Tamanduá) e ITP-PEI-200 (Rio do Peixe).

A Figura 80 apresenta as freqüências de violações observadas para os parâmetros monitorados considerando toda a RPGA. O maior número de violações para a RPGA do Rio Itapicuru foram identificadas para o parâmetro fósforo total (14%), seguido dos parâmetros turbidez (12%), STD (10%), OD (10%), DBO (9%), nitrogênio amoniacal (5%), pH (3%), Cloreto (1%) e nitrogênio nitrato (1%). Dos 45 pontos amostrados neste ano, 26 não apresentaram desconformidade para nenhum dos parâmetros monitorados em nenhuma das amostragens realizadas, sendo equivalente a 57,7% dos pontos. Entretanto, destaca-se que em alguns pontos foram realizadas apenas uma única coleta.

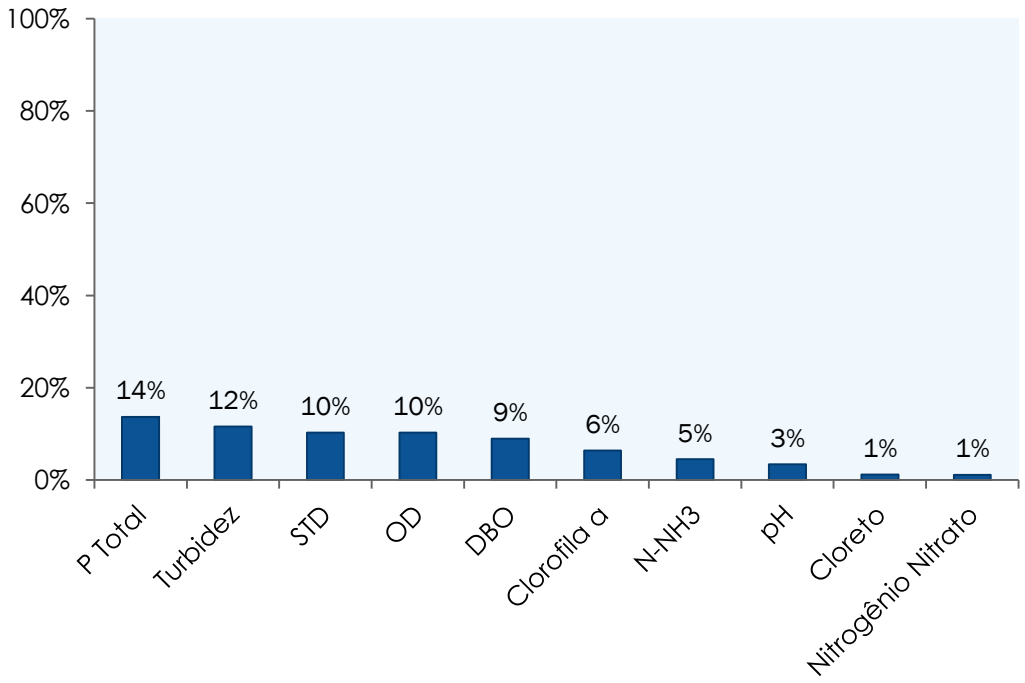


Figura 80. Frequência relativa (%) de violações para a RPGA do Rio Itapicuru em 2020.

Dentre os pontos amostrados neste ano de monitoramento, os pontos ITP-ARA-002 (Açude de Araci), ITP-CFM-600 (Rio Campo Formoso), ITP-ITP-600 (Rio Itapicuru), ITP-ITP-700 (Rio Itapicuru), ITP-PEX-500 (Rio Peixe de Baixo), ITP-CRC-050 (Açude Cariacá), ITP-QJG-050 (Rio Quijingue) e ITP-TAM-500 (Rio Tamanduá) apresentaram concentração de sais igual ou superior a 0,5‰, sendo classificados como Água Salobra – Classe 1, segundo a Resolução Conama nº 357/05.

A rede amostral da RPGA do Rio Itapicuru possui dez pontos de monitoramento em ambientes lênticos (barragens, açudes, e lagoas), a saber: Açude Araci (ITP-ARA-002), Barragem Canavieiras (ITP-BCA-001), Barragem Pedras Altas (ITP-BPA-001 e ITP-BPA-003), Barragem Pindobaçu (ITP-BPI-001), Barragem Ponto Novo (ITP-BPN-001, ITP-BPN-002, ITP-BPN-003), Açude Cariaçá (ITP-CRC-050) e Lagoa Antônio Teixeira Sobrinho (ITP-LAS-001).

Considerando apenas os pontos situados em ambientes lênticos, foi observado que parte apresentou parâmetros em desconformidade com os padrões estabelecidos na Resolução Conama 357/05 para uma ou mais campanhas realizadas neste ano. Foram observadas violações dos limites estabelecidos para clorofila *a,* DBO, turbidez e OD. Entretanto, a maioria das amostragens não apresentou violações para nenhum dos parâmetros analisados, indicando boas condições das barragens situadas na RPGA do Rio Itapicuru.

A Resolução Conama nº 357/05 define que o limite da concentração de coliformes termotolerantes não exceda 1.000 NMP por 100 mililitros em 80% ou mais de pelo menos 6 amostras coletadas durante o período de um ano, com frequência bimestral tanto para águas doces, classe 2, quanto para salobras, classe 1. Utilizando o valor de 1.000 NMP/100 ml como referência, constata-se que 7 das 17 amostragens situadas em barragens nesta RPGA, apresentaram elevadas concentrações de coliformes termotolerantes em pelo menos uma das campanhas realizadas. A maior concentração foi observada na Barragem de Araci (ITP-BPA-002) na primeira campanha de amostragem, que apresentou concentração de 16000 NMP/100ml.

O Rio Itapicuru é monitorado através de 14 pontos de amostragens situados entre os municípios de Senhor do Bonfim e Conde. Considerando todas as campanhas realizadas, é possível observar que ao longo de seu curso, este rio apresentou

violações para os parâmetros DBO, fósforo total, clorofila *a,* nitrogênio nitrato, OD, STD, turbidez e cloreto, de acordo com os limites estabelecidos pela legislação em questão. Apenas o trecho situado mais próximo a nascente do rio Itapicuru, referente ao ponto ITP-ITP-010, não apresentou violação para nenhum dos parâmetros analisados.

Avaliando os demais pontos situados em ambientes lóticos, nota-se que a maioria não apresentou violações dos limites estabelecidos pela Resolução Conama nº 357/05. Contudo, ocasionalmente foram observadas parâmetros com valores em desconformidade para os seguintes pontos: ITP-AIP-300 (Rio Aipim), ITP-ITM-050 e ITP-ITM-450 (Rio Itapicuru-Mirim), ITP-PEX-500 (Rio Peixe de Baixo), ITP-RPD-200 (Rio das Pedras) e ITP-TAM-500 (Rio Tamanduá).

As Figuras 81 a 88 apresentam as classificações de IQA e IET de cada ponto de amostragem da RPGA do Rio Itapicuru ao longo de 2020.

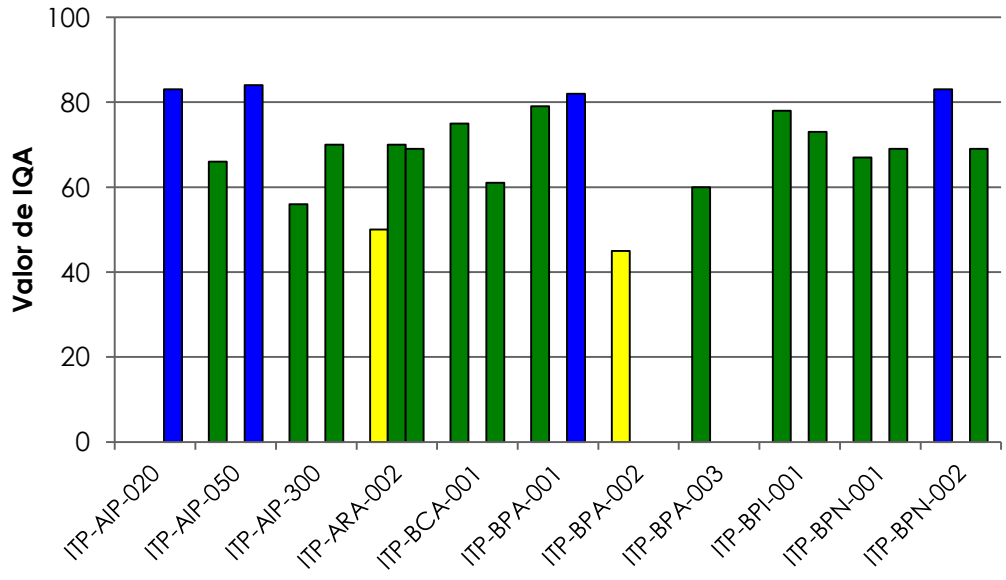


Figura 81. Classificações de IQA na RPGA do Rio Itapicuru em 2020.(1)

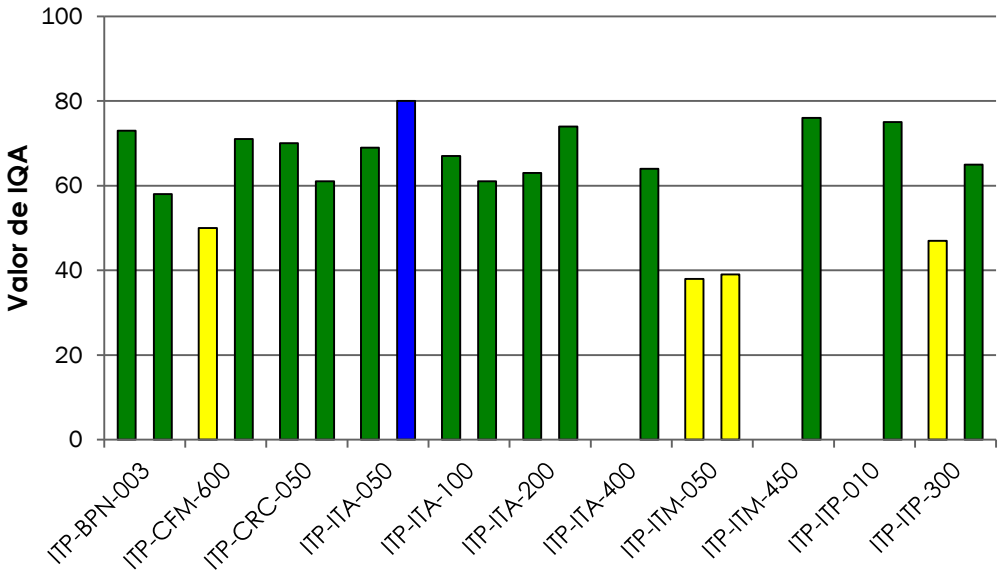


Figura 82. Classificações de IQA na RPGA do Rio Itapicuru em 2020.(2)

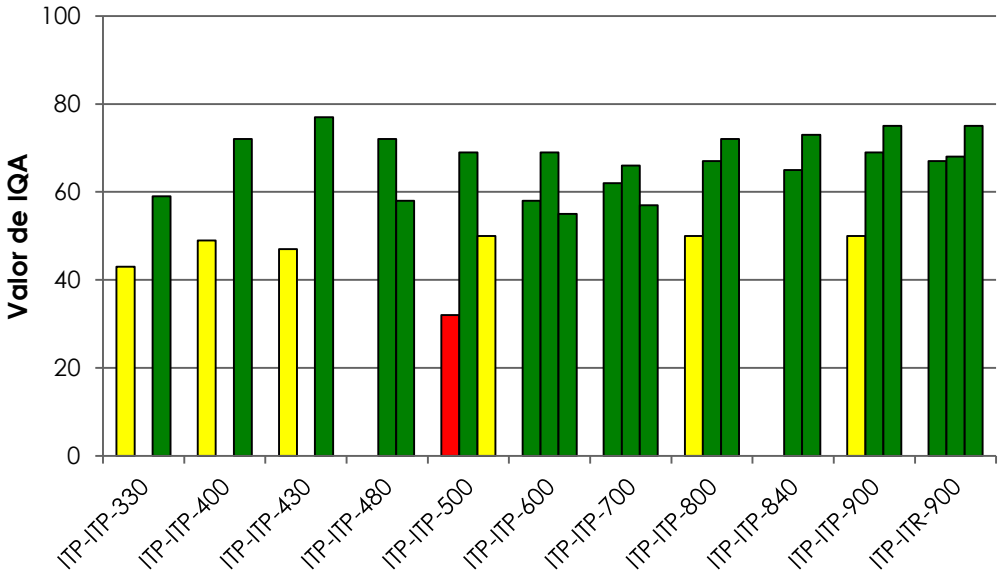


Figura 83. Classificações de IQA na RPGA do Rio Itapicuru em 2020.(3)

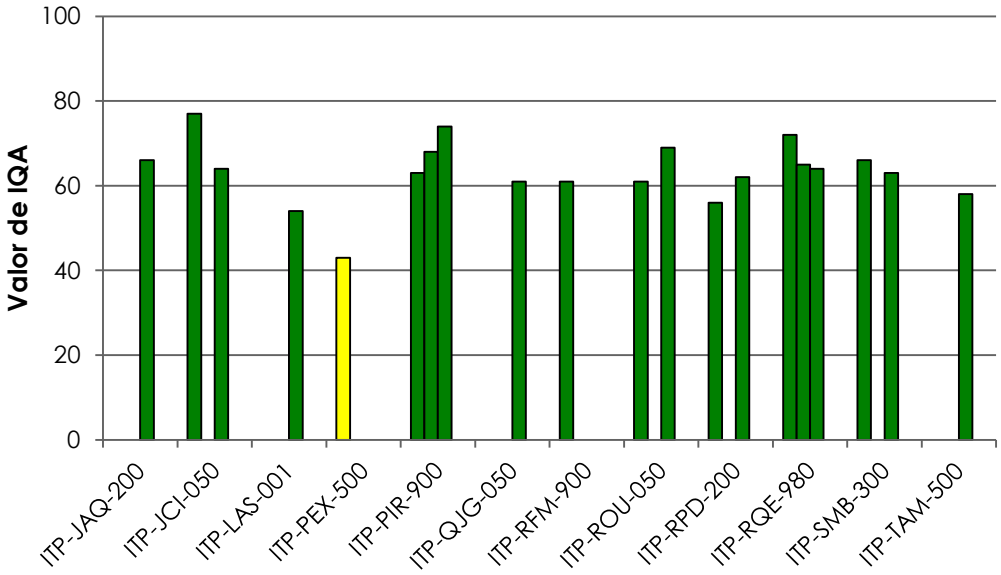


Figura 84. Classificações de IQA na RPGA do Rio Itapicuru em 2020.(4)

Quadro de referência para as classificações de IQA.

Ótimo	Bom	Regular	Ruim	Péssimo
79 < IQA ≤ 100	51 < IQA ≤ 79	36 < IQA ≤ 51	19 < IQA ≤ 36	IQA ≤ 19

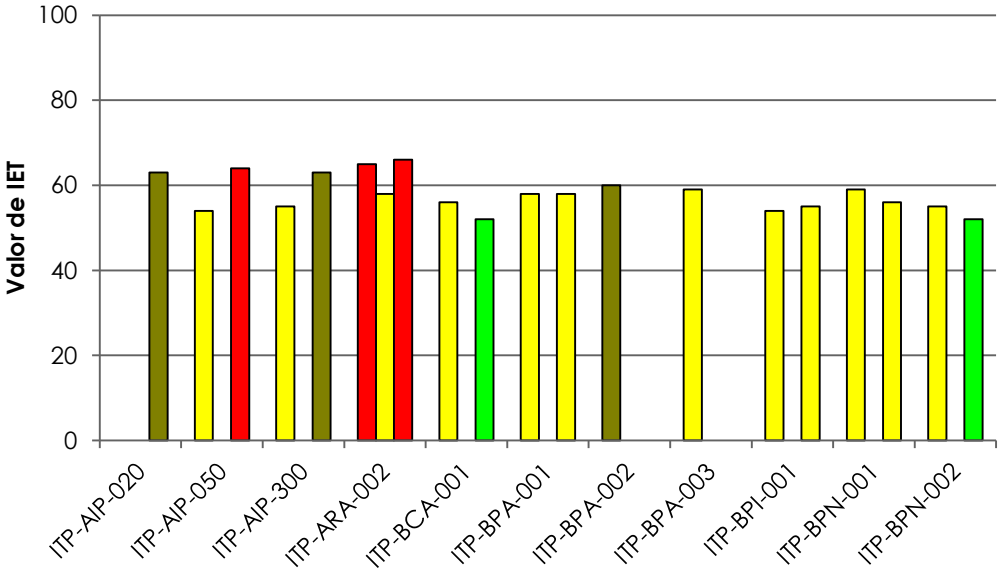


Figura 85. Classificações de IET na RPGA do Rio Itapicuru em 2020.(1)

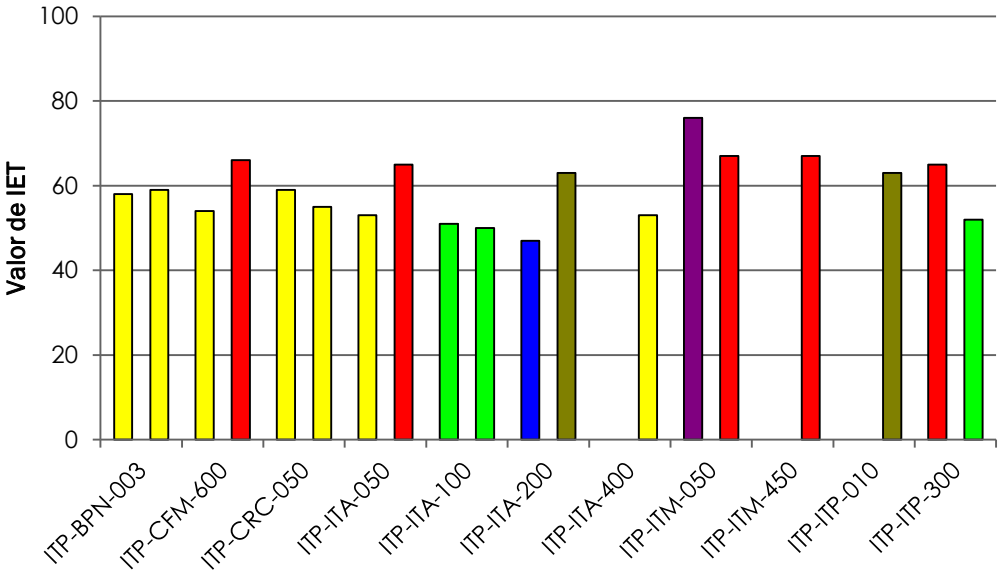


Figura 86. Classificações de IET na RPGA do Rio Itapicuru em 2020.(2)

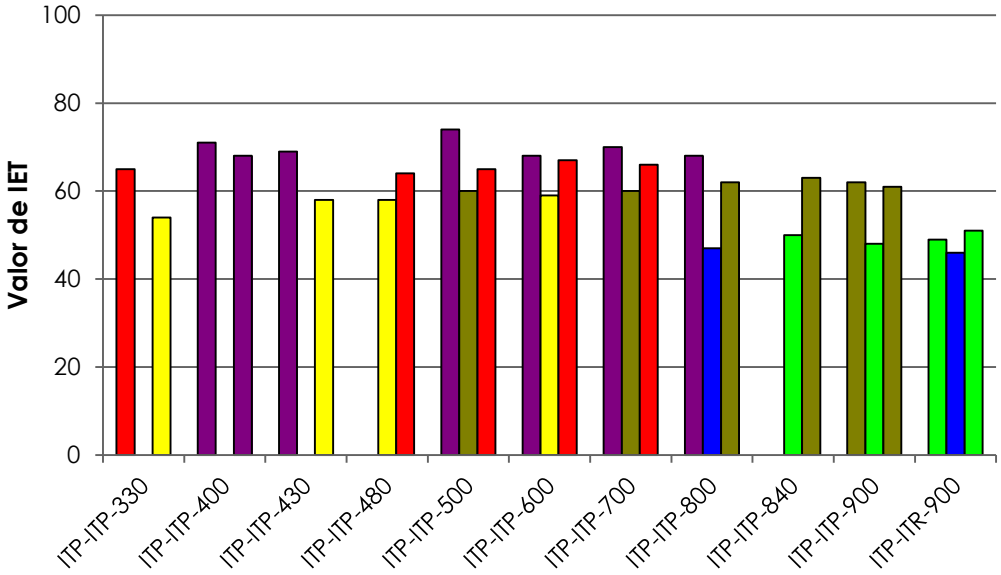


Figura 87. Classificações de IET na RPGA do Rio Itapicuru em 2020.(3)

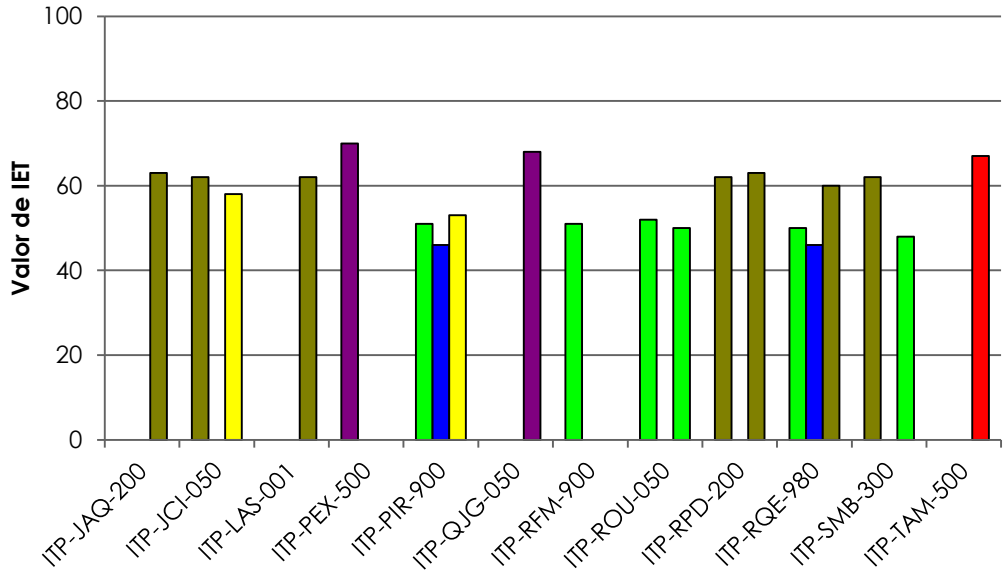


Figura 88. Classificações de IET na RPGA do Rio Itapicuru em 2020.(4)

Quadro de referência para as classificações de IET.

Ultraoligotrófico	Oligotrófico	Mesotrófico	Eutrófico	Supereutrófico	Hipereutrófico
IET≤47	47 <IET≤52	52<IET≤59	59<IET≤63	63<IET≤67	IET>67

Em relação ao IQA, a maioria dos pontos monitorados apresentou qualidade da água classificada como "Boa", seguido das classes "Regular" e "Ótimo". Apenas um ponto, situado a meio curso do rio Itapicuru (ITP-ITP-500) apresentou qualidade da água classificada como "Ruim" em uma das campanhas realizadas em 2020. Esse cenário indica que as águas da RPGA do Rio Itapicuru apresentam condições satisfatórias de qualidade, corroborado pela baixa frequência relativa de violações identificadas ao longo do monitoramento realizado neste ano.

Com base nos valores obtidos para o IET, os pontos foram classificados desde a classe "Ultraoligotrófico" até a classe "Hipereutrófico", apresentando significativa variação de grau de trofia entre os corpos hídricos que compõem esta RPGA. Salienta-se que a classe "Mesotrófico" foi mais frequente, indicando estado de trofia moderado para a maioria das amostragens realizadas, seguida das classes "Eutrófico" e "Supereutrófico". Vale destacar que o rio Itapicuru apresentou grau de trofia máximo para boa parte das amostragens ao longo de seu curso, sendo

classificados como "Hipereutrófico". Resultados semelhantes foram observados para amostragens realizadas nos rios Peixe de Baixo (ITP-PEX-500), Itapicuru-Mirim (ITP-ITM-050) e Quijingue (ITP-QJG-050), que também apresentaram nível de trofia classificado como "Hipereutrófico" para uma das amostragens realizadas ao longo de 2020. Por outro lado, os trechos monitorados nos rios Itariri (ITP-ITR-900) e do Ouro (ITP-ROU-050) apresentaram baixo nível de trofia para todas as amostragens realizadas, sendo classificados como "Ultraoligotrófico" ou "Oligotrófico".

Portanto, o monitoramento da RPGA do Rio Itapicuru em 2020 revela que a qualidade ambiental das águas desta RPGA encontra-se afetada pelas atividades antrópicas, como por exemplo, o lançamento de efluentes gerados sem o devido tratamento. Embora os IQAs obtidos pelos pontos apontem para águas com "Boa" qualidade, as violações aos limites de qualidade estabelecidos pela Resolução Conama nº 357/05 em alguns pontos evidenciam as interferências negativas das atividades humanas nas águas de alguns corpos hídricos desta RPGA. Tal fato pode acarretar em danos aos usos múltiplos e manutenção da biota aquática.

3.13 RPGA DO RIO REAL

3.13.1 CARACTERÍSTICAS DA RPGA

A RPGA do Rio Real é constituída pela porção da bacia hidrográfica do Rio Real no território do Estado da Bahia, desde suas nascentes até seus limites na divisa com o Estado do Sergipe.

Esta RPGA teve, ao longo de 2020, a qualidade de suas águas superficiais monitorada por meio de cinco pontos de amostragens, distribuídos conforme ilustra a Figura 89. A descrição da localização dos pontos, a data de coleta e o registro fotográfico realizados nas campanhas são apresentados no Quadro 19.

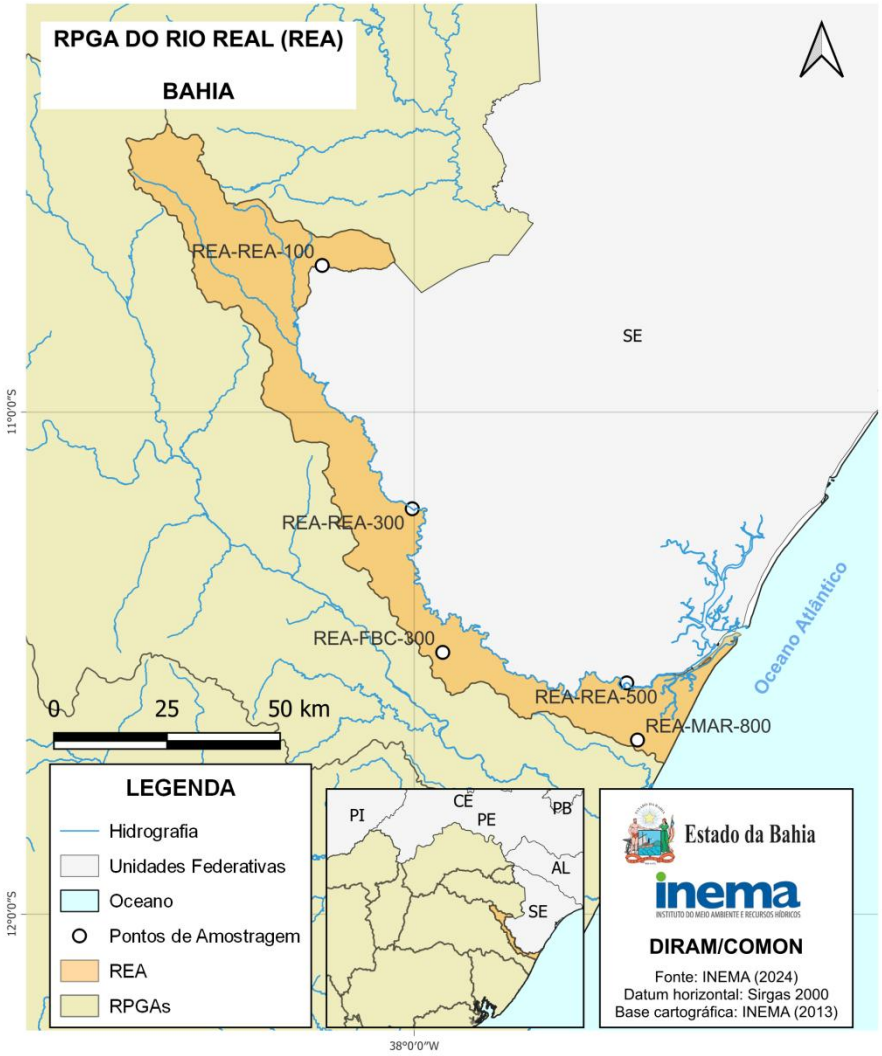


Figura 89. Mapa da distribuição da rede amostral na RPGA do Rio Real, Bahia.

Quadro 19. Caracterização geral dos pontos de amostragem da RPGA do Rio Real, Bahia.

Código Coordenadas geográficas (SIRGAS 2000)	Corpo hídrico Município	Local de amostragem	Data da coleta	Registro Fotográfico
REA-FBC-300 11°28'44,4" (S) 37°56'30,5" (W)	Riacho Fonte Branca Rio Real	Ponto localizado no riacho Fonte Branca que é afluente do rio Real, próximo à captação de água da cidade de Rio Real.	1ª campanha: 17/02/2020 2ª campanha: 17//09/2020 3ª campanha: 16/11/2020	
REA-MAR-800 11°39'13" (S) 37°32'46,3" (W)	Rio Marcanaí Jandaíra	Localizado sob a ponte da rodovia BA-099 sobre o rio Marcanaí, em área rural e ambiente lótico. O ponto vistoriado está situado em área com presença de transporte rodoviário intenso.	1ª campanha: 13/02/2020 2ª campanha: 14/09/2020 3ª campanha: 19/11/2020	

REA-REA-100 10°42'25,2" (S) 38°11'12,12" (W)	Rio Real Fátima	Ponto na BA-393, a jusante da cidade de Heliópolis e a montante da cidade de Poço Verde (Sergipe).	1ª campanha: 17/02/2020 (Ponto seco) 2ª campanha: Não realizada 3ª campanha: 09/12/2020 (Ponto seco)	
REA-REA-300 11°11'33,7" (S) 38°0'13,4" (W)	Rio Real Itapicuru	Ponto localizado sob a ponte da divisa entre Bahia e Sergipe, nos municípios de Itapicuru e Tobias Barreto (Sergipe)	1ª campanha: 17/02/2020 (Ponto seco) 2ª campanha: 17/09/2020 3ª campanha: 16/11/2020	
REA-REA-500 11°32'23,4" (S) 37°34'5,0" (W)	Rio Real Jandaíra	Sob a ponte na BA-099 (Linha Verde), cerca de 38 km do acesso principal a cidade de Conde, no sentido Bahia-Sergipe.	1ª campanha: 13/02/2020 2ª campanha: 14/09/2020 3ª campanha: 19/11/2020	

3.13.2 RESULTADOS E DISCUSSÃO

A malha amostral da RPGA do Rio Real conta com cinco pontos de monitoramento, sendo um ponto situado no riacho da Fonte Branca (REA-FBC-300); um ponto situado no rio Marcanaí (REA-MAR-800); e três pontos no rio Real (REA-REA-100, REA-REA-300 e REA-REA-500). Dentre os cinco pontos, apenas o ponto REA-REA-300, situado no rio Real, foi classificado como Água Salobra - Classe 1, enquanto os demais foram classificados como Água Doce - Classe 2 em todas as campanhas, com base na Resolução Conama nº 357/05.

Em 2020, na RPGA do Rio Real, foram observadas violações para os limites estabelecidos para os parâmetros OD (27%), nitrogênio amoniacal (18%), fósforo total (18%), pH (18%) e clorofila *a* (11%). Foram realizadas no total 11 amostragens considerando quatro pontos de amostragem. Neste ano, apenas o trecho mais a montante do rio Real (REA-REA-100) não foi amostrado em nenhuma das campanhas, pois se encontrava seco.

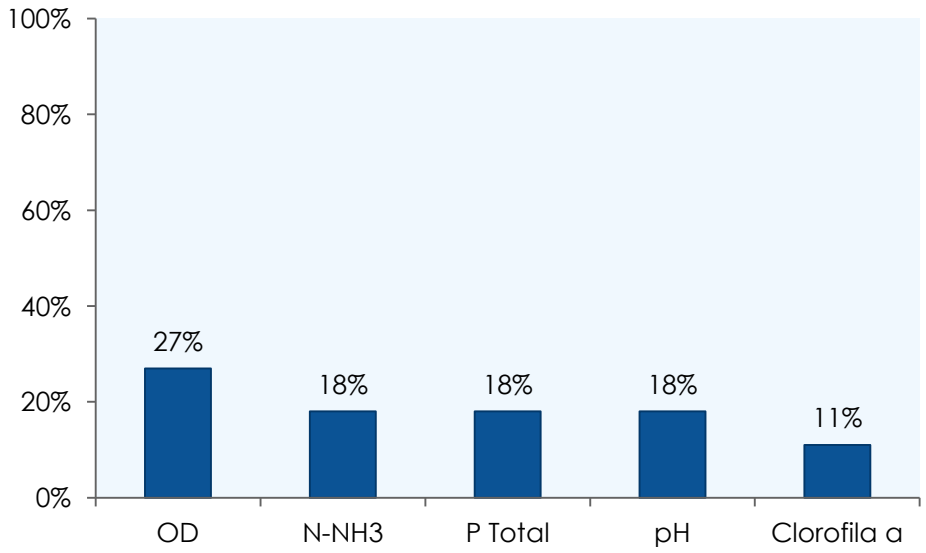


Figura 90. Frequência relativa (%) de violações para a RPGA do Rio Real em 2020.

O ponto amostral situado no riacho da Fonte Branca (REA-FBC-300) é o único corpo hídrico desta RPGA caracterizado como ambiente lêntico. Este ponto apresentou violações dos limites estabelecidos pela Resolução Conama nº 357/05 para os

parâmetros de OD e pH. Vale ressaltar que as violações dos limites para OD foram observadas em duas das três campanhas, apresentando valores inferiores ao padrão estabelecido pela legislação que é de 5,0 mg/L.

O trecho monitorado no rio Marcanaí apresentou valor em desconformidade apenas para o pH na amostragem realizada na segunda campanha, indicando bons resultados para os parâmetros analisados tendo como referência a resolução em questão. Já os trechos amostrados no rio Real apresentaram valores em desconformidade para os parâmetros nitrogênio amoniacal, fósforo e OD para o ponto REA-REA-300, além de elevada concentração de clorofila *a* apenas na amostragem realizada na primeira campanha para o ponto REA-REA-500.

A Resolução do Conama nº 357/05 define que o limite da concentração de coliformes termotolerantes não exceda 1.000 NMP por 100 mililitros em 80% ou mais de pelo menos 6 amostras coletadas durante o período de um ano, com frequência bimestral tanto para águas doces, classe 2, quanto para salobras, classe 1.

Neste ano, 7 das 11 amostragens realizadas apresentaram elevadas concentrações de coliformes termotolerantes, utilizando como referência o valor estabelecido pela legislação citada. As maiores concentrações foram identificadas no trecho médio do rio Real referente ao ponto REA-REA-300, que apresentou concentração de 16000 NMP/100ml em ambas as amostragens realizadas. Já o trecho REA-REA-500 apresentou elevada concentração para coliformes termotolerantes apenas na primeira das três campanhas realizadas neste ano, com registro de 1700 NMP/100ml. Importante ressaltar que tal concentração de coliformes termotolerantes associada às elevadas concentrações superiores aos padrões legais observados para nitrogênio amoniacal e fósforo total, apontam a ocorrência de enriquecimento de nutrientes neste trecho ocasionado provavelmente pelo despejo de esgoto doméstico.

As Figuras 91 e 92 apresentam as classificações de IQA e IET obtidas para a RPGA do Rio Real no monitoramento realizado em 2020.

No geral, a maioria das amostragens realizadas na RPGA do Rio Real indicou qualidade da água classificada como "Boa" com base no IQA, com exceção de uma das amostragens realizadas no riacho Fonte Branca (REA-FBC-300) que foi

classificada como "Regular", além das duas amostragens realizadas no trecho do rio Real referente ao ponto REA-REA-300 que apresentou as classificações "Regular" e "Ruim" (Figura 76).

Já em relação ao IET, a maioria dos trechos monitorados nesta RPGA apresentou variação do nível de trofia entre as campanhas, com exceção do ponto situado no rio Marcanaí (REA-MAR-800) que apresentou nível de trofia classificado como "Oligotrófico" ou "Ultraoligotrófico" em todas as amostragens realizadas, indicando baixo enriquecimento de nutrientes no trecho monitorado neste corpo hídrico. Os maiores níveis de trofia foram observados nos trechos monitorados no rio Real (REA-REA-300 e REA-REA-500) que apresentou a classificação "Hipereutrófico" em uma das campanhas, indicando elevado enriquecimento de nutrientes. Vale destacar que o trecho referente ao ponto REA-REA-300 apresentou elevado estado de trofia para ambas as campanhas de amostragem.

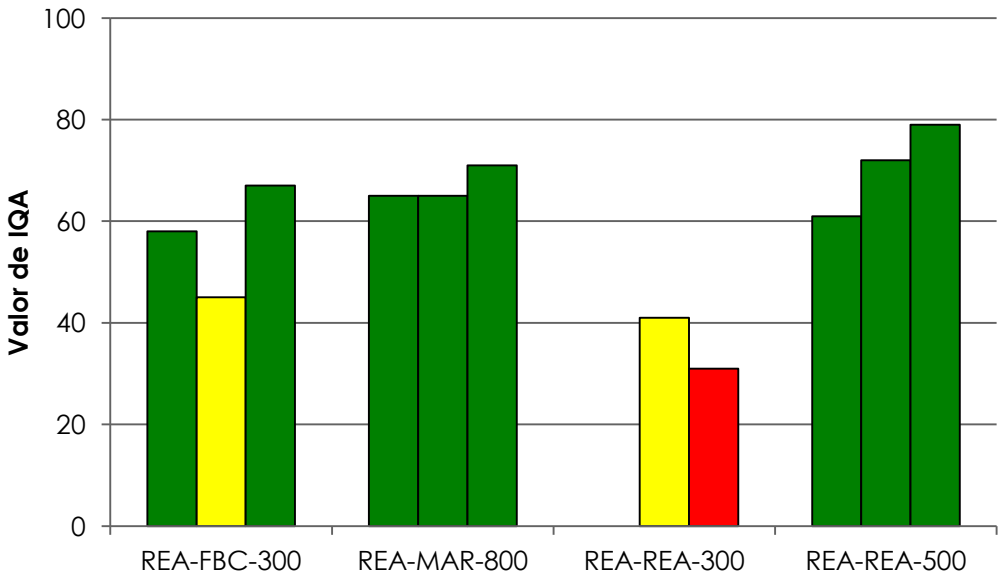


Figura 91. Classificações de IQA na RPGA do Rio Real em 2020.

Quadro de referência para as classificações de IQA.

Ótimo	Bom	Regular	Ruim	Péssimo
79 < IQA ≤ 100	51 < IQA ≤ 79	36 < IQA ≤ 51	19 < IQA ≤ 36	IQA ≤ 19

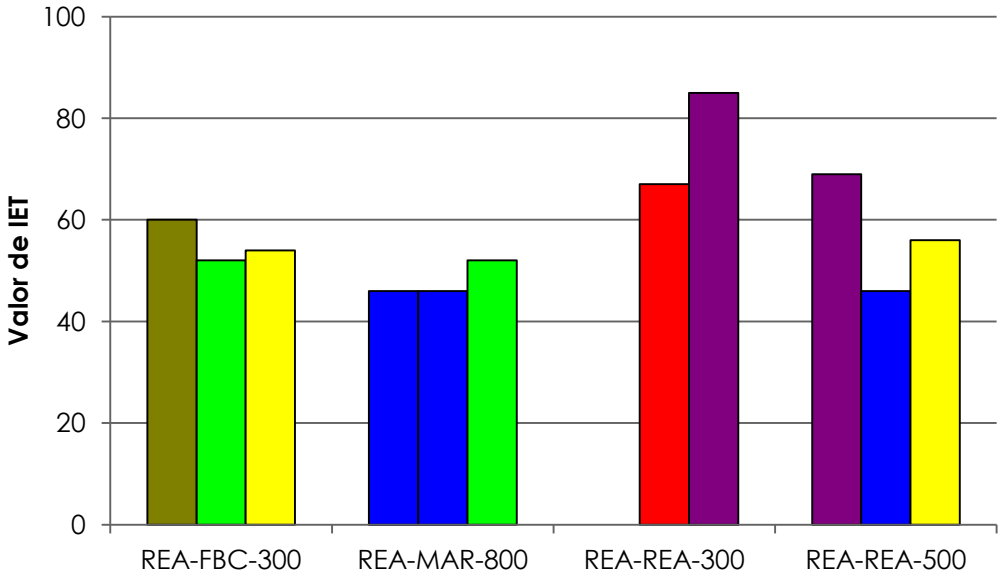


Figura 92. Classificações de IET na RPGA do Rio Real em 2020.

Quadro de referência para as classificações de IET.

Ultraoligotrófico	Oligotrófico	Mesotrófico	Eutrófico	Supereutrófico	Hipereutrófico
IET≤47	47 <IET≤52	52<IET≤59	59<IET≤63	63<IET≤67	IET>67

Embora os pontos que compõem a RPGA do Rio Real tenham apresentado qualidade da água em condições satisfatórias para a maioria dos pontos segundo classificação do IQA, nota-se a ocorrência do processo de eutrofização desses corpos hídricos segundo o IET, com exceção do trecho monitorado no rio Marcanaí (REA-MAR-800). Parte dos pontos apresentou variação na qualidade e estado trófico entre as campanhas, indicando a possibilidade de contribuições negativas e pontuais nesses corpos hídricos. Vale ressaltar que as condições de intempéries do tempo no momento da coleta podem influenciar nas amostragens, como por exemplo, a ocorrência de chuvas.

3.14 RPGA DO RIO VAZA-BARRIS

3.14.1 CARACTERÍSTICAS DA RPGA

A RPGA do Rio Vaza-Barris é constituída pela porção da bacia hidrográfica do Rio Vaza-Barris no território do Estado da Bahia, desde suas nascentes no Estado da Bahia até seus limites na divisa com o Estado de Sergipe.

Esta RPGA teve, ao longo de 2020, a qualidade de suas águas superficiais monitorada por meio dos treze pontos de amostragens, distribuídos conforme ilustra a Figura 93. A descrição da localização dos pontos, a data de coleta e o registro fotográfico realizados nas quatro campanhas são apresentados no Quadro 20.

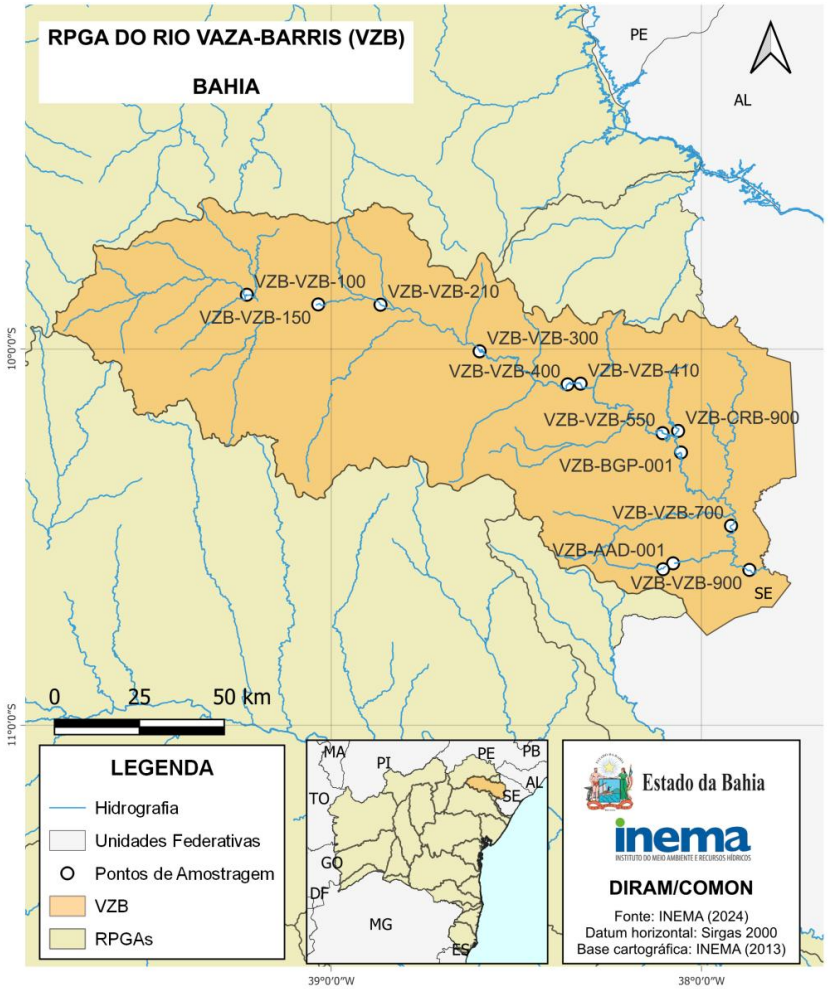


Figura 93. Mapa da distribuição da rede amostral na RPGA do Rio Vaza-Barris, Bahia.

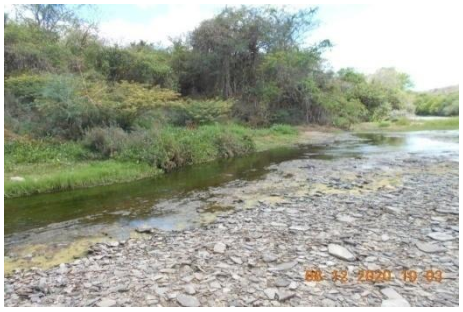
Quadro 20. Caracterização geral dos pontos de amostragem da RPGA do Rio Vaza-Barris, Bahia.

Código Coordenadas geográficas (SIRGAS 2000)	Corpo hídrico Município	Local de amostragem	Data da coleta	Registro Fotográfico
VZB-AAD-001 10°34'12,1" (S) 38°04'34,01" (W)	Açude de Adustina Adustina	Acesso ao pelo povoado de Baixa Vermelha, próximo a BA 392 à 6 km da sede do município. Ponto localizado dentro do Açude	1ª campanha: Não realizada 2ª campanha: Não realizada 3ª campanha: 09/12/2020	
VZB-ADS-500 10°35'8,88" (S) 38°6'11,88" (W)	Afluente de Adustina Adustina	Situado no rio Passagem, a montante do açude de Adustina. Acesso pela BA-084	1ª campanha: Não realizada 2ª campanha: Não realizada 3ª campanha: 09/12/2020	

VZB-BGP-001 10°16'32" (S) 38°03'45,54" (W)	Barragem de Gasparino Coronel João Sá	Ponto localizado na zona rural do município de Coronel João Sá.	1ª campanha: Não realizada 2ª campanha: Não realizada 3ª campanha: 10/12/2020	
VZB-CRB-900 10°13'4,15" (S) 38°4'50" (W)	Riacho das Caraíbas Coronel João Sá	Situado em um riacho , a montante da barragem de Gasparino, na zona rural de Coronel João Sá.	1ª campanha: Não realizada 2ª campanha: Não realizada 3ª campanha: 10/12/2020	Sem foto.
VZB-VZB-100 9°51'18,40" (S) 39°13'39,86" (W)	Rio Vaza-Barris Uauá	Situado a montante do Açude de Cocorobó, a 6 km do povoado de Bodengó, via BR 116, na Velha Canudos.	1ª campanha: Não realizada 2ª campanha: Não realizada 3ª campanha: 08/12/2020 (Ponto seco)	

VZB-VZB-150 9°52'51,3" (S) 39°2'05,7" (W)	Rio Vaza-Barris Canudos	Após o Açude de Cocorobó, sob a ponte na Rua Belo Monte sobre o rio Vaza Barris em área rural do município de Canudos.	1ª campanha: Não realizada 2ª campanha: Não realizada 3ª campanha: 08/12/2020	Sem foto.
VZB-VZB-210 9°52'54" (S) 38°52'0" (W)	Rio Vaza-Barris Jeremoabo	Ponto localizado próximo ao povoado de Canchê (entre Jeremoabo e Canudos). Para acessá-lo deve entrar à direita antes do povoado e percorrer cerca de 2km até o local da coleta.	1ª campanha: Não realizada 2ª campanha: Não realizada 3ª campanha: 08/12/2020	Sem foto.
VZB-VZB-300 10°0'21" (S) 38°35'56" (W)	Rio Vaza-Barris Jeremoabo	Ponto situado no rio Vaza Barris, no povoado de Brejinho. Acesso pela BR-235.	1ª campanha: Não realizada 2ª campanha: Não realizada 3ª campanha: 08/12/2020 (Ponto seco)	

VZB-VZB-400 10°5'37,9" (S) 38°21'39,6" (W)	Rio Vaza-Barris Jeremoabo	Localizado na BR-235, primeira entrada a direita após a saída da cidade de Jeremoabo (sentido Canudos).	1ª campanha: Não realizada 2ª campanha: Não realizada 3ª campanha: 09/12/2020	Sem foto.
VZB-VZB-410 10°5'34" (S) 38°19'33" (W)	Rio Vaza-Barris Jeremoabo	Ponto situado próximo a saída da área urbana de Jeremoabo. Em frente a Sertaneja Laticínios, virar à direita e seguir 1 km por estrada de terra. Ponto localizado numa ponte.	1ª campanha: Não realizada 2ª campanha: Não realizada 3ª campanha: 09/12/2020	Sem foto.
VZB-VZB-550 10°13'25,50" (S) 38°6'16,67" (W)	Rio Vaza-Barris Coronel João Sá	Sob a ponte de uma estrada de terra sobre o rio Vaza Barris, na divisa dos municípios de Coronel João Sá e Sítio do Quinto.	1ª campanha: Não realizada 2ª campanha: Não realizada 3ª campanha: 10/12/2020 (Ponto seco)	

VZB-VZB-700 10°28'12,4" (S) 37°55'10,45" (W)	Rio Vaza-Barris Parapiranga	Ponto a jusante da confluência entre o rio Vaza-Barris e o rio do Peixe na comunidade denominada Malhada Grande. Ponto de difícil acesso deslocamento em trilha 1 km a pé em vegetação fechada.	1ª campanha: Não realizada 2ª campanha: Não realizada 3ª campanha: 08/12/2020	
VZB-VZB-900 10°35'15,0" (S) 37°52'12,0" (W)	Rio Vaza Barris Paripiranga	Sob a ponte na BA-220, estrada de Paripiranga, em direção à localidade de Maritá.	1ª campanha: Não realizada 2ª campanha: Não realizada 3ª campanha: 08/12/2020	

3.14.2 RESULTADOS E DISCUSSÃO

A RPGA do Rio Vaza-Barris foi monitorada por meio de 13 pontos de amostragem no ano de 2020. Esta RPGA conta com dois pontos em ambientes lênticos situados no Açude de Adustina e na Barragem de Gasparino, enquanto os demais pontos em ambientes lóticos estão situados no afluente do Adustina, no riacho das Caraíbas e no rio Vaza-Barris.

Neste ano de monitoramento, esta RPGA teve coleta apenas na terceira campanha. Nesta campanha de amostragem, parte dos pontos apresentou água com salinidade classificada como Água Salobra – Classe 1, sendo eles: VZB-AAD-001, VZB-ADS-500, VZB-BGP-001, VZB-CRB-900, VZB-VZB-410, VZB-VZB-700 e VZB-VZB-900.

Considerando as 10 amostragens realizadas para esta RPGA, foram observadas violações dos padrões estabelecidos pela Resolução Conama nº 357/05 para os seguintes parâmetros: oxigênio dissolvido (40%), STD (33%), fósforo total (20%), nitrogênio amoniacal (10%), e pH (10%) (Figura 79). Tais violações foram identificadas apenas para alguns trechos ao logo do rio Vaza-Barris (VZB-VZB-150, VZB-VZB-210, VZB-VZB-400 e VZB-VZB-410), além do trecho monitorado na barragem de Gasparino (VZB-BGP-001). Vale destacar que o trecho da barragem apresentou apenas pH superior ao limite estabelecido para águas salobras, apresentando os demais parâmetros monitorados em conformidade com a legislação em questão. Também é importante salientar que todos os trechos do rio Vaza-Barris citados apresentaram concentração de OD abaixo do padrão de qualidade.

De acordo com a Resolução Conama nº 357/05, o limite de concentração de coliformes termotolerantes não deve exceder 1.000 coliformes termotolerantes por 100 mililitros em 80% ou mais de pelo menos 6 amostras coletadas durante o período de um ano. Utilizando este valor como referência, notou-se que em 2020, apenas as amostragens realizadas para o Açude de Adustina (VZB-AAD-001) e dois trechos do rio Vaza-Barris (VZB-VZB-400 e VZB-VZB-410) apresentaram concentrações elevadas para coliformes termotolerantes.

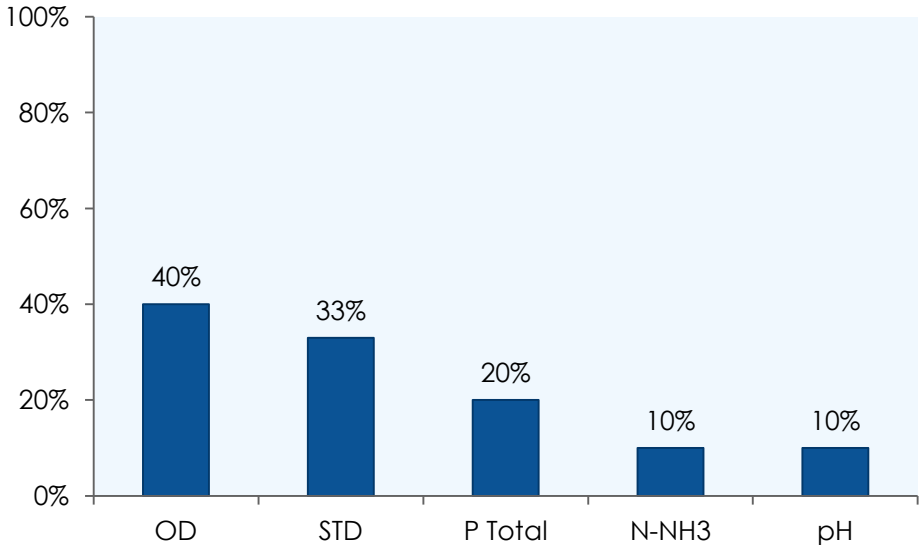


Figura 94. Frequência relativa (%) de violações para a RPGA do Rio Vaza-Barris em 2020.

As Figuras 95 e 96 apresentam as classificações de IQA e IET para cada ponto de amostragem da RPGA do Rio Vaza-Barris, ao longo do ano de 2020.

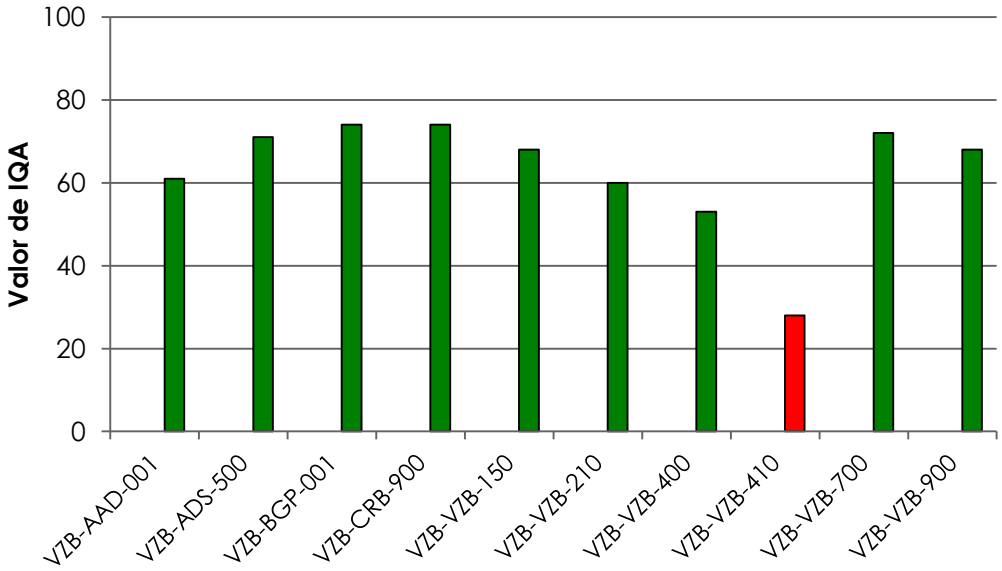


Figura 95. Classificações de IQA na RPGA do Rio Vaza-Barris em 2020.

Quadro de referência para as classificações de IQA.

Ótimo	Bom	Regular	Ruim	Péssimo
79 < IQA ≤ 100	51 < IQA ≤ 79	36 < IQA ≤ 51	19 < IQA ≤ 36	IQA ≤ 19

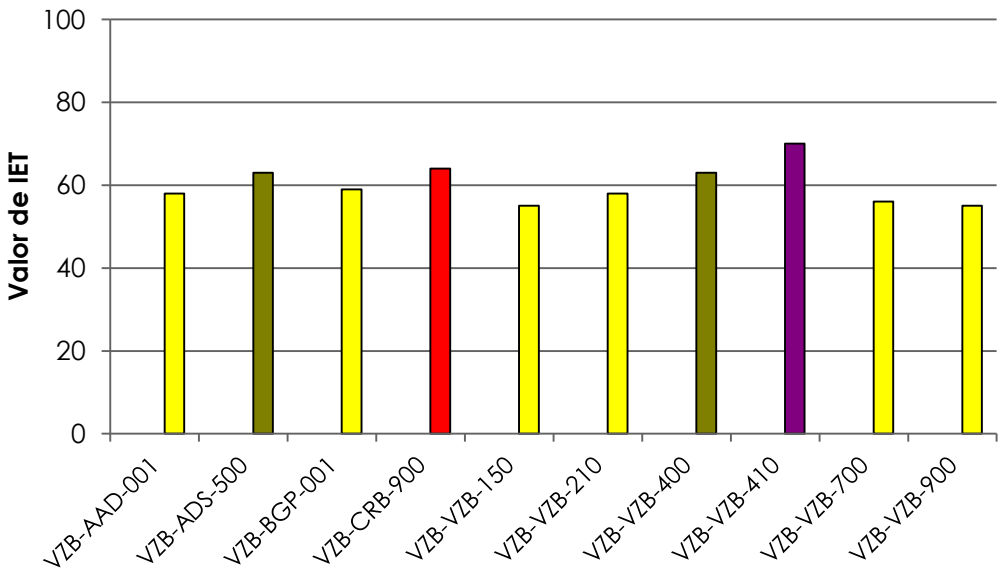


Figura 96. Classificações de IET na RPGA do Rio Vaza-Barris em 2020.

Quadro de referência para as classificações de IET.

Ultraoligotrófico	Oligotrófico	Mesotrófico	Eutrófico	Supereutrófico	Hipereutrófico
IET≤47	47 <IET≤52	52<IET≤59	59<IET≤63	63<IET≤67	IET>67

Em relação ao IQA, a maioria dos pontos apresentou qualidade da água classificada como "Boa", com exceção do ponto VZB-VZB-410, referente ao trecho do rio Vaza-Barris situado no município de Jeremoabo, que apresentou a classe "Ruim" para a campanha realizada. Portanto, com base neste índice, observa-se que as águas da RPGA do Rio Vaza-Barris apresentaram qualidade da água satisfatória em quase todos os corpos hídricos monitorados.

Em relação ao nível de eutrofização, a maioria dos pontos apresentou nível de trofia classificado como "Mesotrófico", indicando moderado enriquecimento de nutrientes, sendo eles: o açude de Adustina (VZB-AAD-001), a barragem de Gasparino (VZB-BGP-001) e parte dos trechos monitorados no rio Vaza-Barris (VZB-VZB-150, VZB-VZB-210, VZB-VZB-700 e VZB-VZB-900). Os demais pontos apresentaram elevado enriquecimento de nutrientes, apresentando níveis de trofia classificados entre "Eutrófico" e "Hipereutrófico". Vale destacar que o maior grau de trofia foi

observado para o trecho médio do rio Vaza-Barris referente ao ponto VZB-VZB-410 situado no município de Jeremoabo.

Em síntese, os corpos d'água que compõem a RPGA do Rio Vaza-Barris apresentaram qualidade da água satisfatória, com base no IQA, apresentando índice classificado como "Bom" na maioria das campanhas realizadas neste ano de 2020 para toda a RPGA. Este resultado se deve a baixa frequência de violações dos limites estabelecidos pela legislação para os parâmetros de qualidade da água analisados. Por outro lado, os valores obtidos para o IET indicam níveis moderados a elevados de eutrofização como resultado da influência das atividades humanas realizadas no entorno desses corpos hídricos, podendo comprometer os usos múltiplos dessas águas.

4 REGIÃO HIDROGRÁFICA DO RIO SÃO FRANCISCO

4.1 RPGA DO RIACHO DO TARÁ

4.1.1 CARACTERÍSTICAS DA RPGA

Constituída pelas porções das sub-bacias hidrográficas de afluentes da margem direita do Rio São Francisco no território do estado da Bahia, desde suas nascentes até a divisa com o Estado de Sergipe, estando limitada ao sul pela RPGA do Rio Vaza-Barris, e a norte pela RPGA dos Rios Macururé e Curaçá.

Esta RPGA teve, ao longo de 2020, a qualidade de suas águas superficiais monitorada por meio de um ponto de amostragem (TAR-BMI-001), localizado conforme ilustra a Figura 97. A descrição da localização do ponto, a data de coleta e o registro fotográfico realizados nas campanhas são apresentados no Quadro 21.

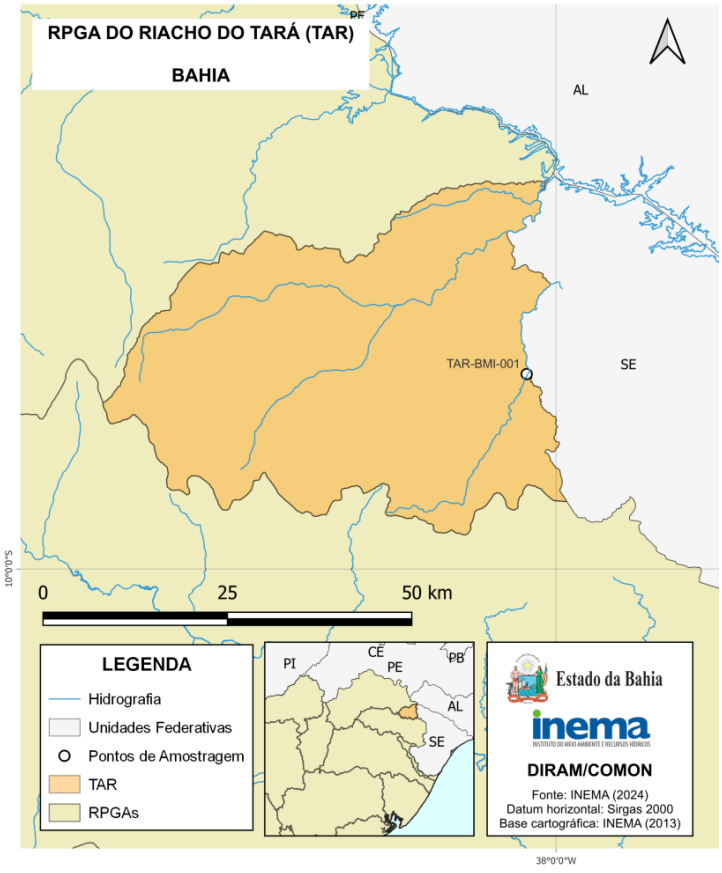


Figura 97. Mapa da distribuição da rede amostral na RPGA do Riacho do Tará, Bahia.

Quadro 21. Caracterização geral dos pontos de amostragem da RPGA do Riacho do Tará, Bahia.

Código Coordenadas geográficas (SIRGAS 2000)	Corpo hídrico Município	Local de amostragem	Data da coleta	Registro de Fotográfico
TAR-BMI-001 9°45'42" (S) 38°02'11" (W)	Barragem no Rio Minuim (Batoque) Santa Brígida	Barragem do rio Minuim no município de Santa Brígida.	1ª campanha: Não realizada 2ª campanha: Não realizada 3ª campanha: 26/11/2020	Sem foto.

4.1.2 RESULTADOS E DISCUSSÃO

O único ponto amostral desta RPGA está inserido na barragem do Rio Minuim e apresentou alta concentração de sais, sendo considerado de acordo com a Resolução Conama nº 357/05 como Água Salobra - Classe 1. Neste ano de monitoramento apenas a amostragem da terceira campanha foi realizada.

Na amostragem realizada para este ponto no ano de 2020, foram observadas violações para os parâmetros nitrogênio amoniacal (0,8 mg/L) e fósforo total (0,14 mg/L). Este ponto não está situado próximo a zonas urbanas, de modo que a presença destes nutrientes em elevadas concentrações estão associados ao enriquecimento provenientes de contribuições de origem animal, em razão de presença de urina e fezes de animais que ficam soltos no entorno do ponto e vão até a barragem para a dessedentação.

A Resolução Conama 357/05 estabelece que o limite da concentração de coliformes termotolerantes não exceda 1.000 coliformes termotolerantes por 100 mililitros em 80% ou mais de pelo menos 6 (seis) amostras coletadas durante o período de um ano, com frequência bimestral tanto para águas doces quanto para salobras. Apesar de ter apresentado elevada concentração de nutrientes de origem animal, não foram observadas concentrações significativamente elevadas para coliformes termotolerantes, utilizando como referência a legislação em questão. Este ponto de amostragem na barragem do rio Minuim apresentou a concentração de 110 NMP/100ml.

Em relação ao IQA, apesar das violações dos parâmetros apresentadas, este ponto de monitoramento teve a qualidade da água classificada como "Boa" (Figura 98). Já em relação ao IET, foi obtido elevado nível de trofia, sendo classificado como "Supereutrófico" na campanha realizada. Este resultado indica que o corpo d'água está apresentando elevado enriquecimento de nutrientes, podendo causar prejuízos aos usos múltiplos da água (Figura 99). Vale destacar que o resultado obtido para o IET é decorrente da elevada concentração de fósforo total citada anteriormente, além da também elevada concentração de clorofila *a* identificada (104 µg/L), pois ambas as variáveis são utilizadas para o cálculo deste índice. Vale salientar que embora a concentração de clorofila *a* seja significativamente

elevada, a Resolução Conama nº 357/05 não estabelece padrão de referência para este parâmetro em águas salobras.

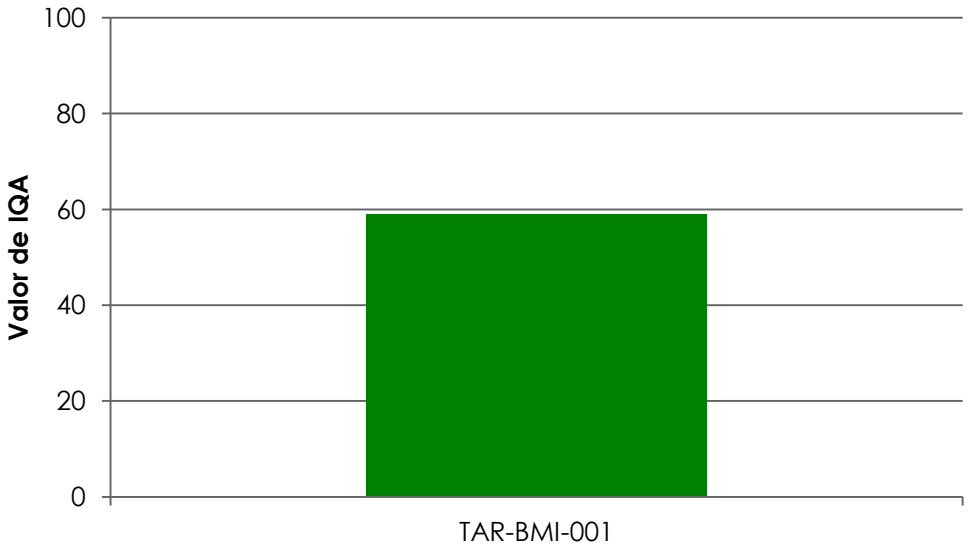


Figura 98. Classificações de IQA na RPGA do Riacho do Tará em 2020.
Quadro de referência para as classificações de IQA.

Ótimo	Bom	Regular	Ruim	Péssimo
79 < IQA ≤ 100	51 < IQA ≤ 79	36 < IQA ≤ 51	19 < IQA ≤ 36	IQA ≤ 19



Figura 99. Classificações de IET na RPGA do Riacho do Tará em 2020.

Quadro de referência para as classificações de IET.

Ultraoligotrófico	Oligotrófico	Mesotrófico	Eutrófico	Supereutrófico	Hipereutrófico
IET≤47	47 <IET≤52	52<IET≤59	59<IET≤63	63<IET≤67	IET>67

Em resumo, o ponto de monitoramento situado na Barragem do Rio Minuim apresentou qualidade da água em condições satisfatórias com base no IQA. Por outro lado, em relação ao estado trófico, este ponto de amostragem apresentou elevado nível de trofia, indicando a ocorrência de enriquecimento de nutrientes neste trecho. Este resultado pode ser consequência do ciclo hidrológico e da severidade climática da região, além da possível influência de atividades de pecuária evidenciadas pelas violações dos limites estabelecidos observadas para os parâmetros de qualidade da água.

4.2 RPGA DOS RIOS MACURURÉ E CURAÇÁ

4.2.1 CARACTERÍSTICAS DA RPGA

Constituída pelas sub-bacias hidrográficas de afluentes estaduais da margem direita do Rio São Francisco, limitadas ao sul pelas RPGA do Rio Vaza-Barris e pela RPGA do Rio Itapicuru, a oeste pela RPGA do Rio Salitre, a leste pela sub-bacia do Riacho do Tará e a norte pela calha do Rio São Francisco.

Esta RPGA teve, ao longo de 2020, a qualidade de suas águas superficiais monitorada por meio de 13 pontos de amostragens, distribuídos conforme ilustra a Figura 100. A descrição da localização dos pontos, a data de coleta e o registro fotográfico realizado nas duas campanhas são apresentados no Quadro 22.

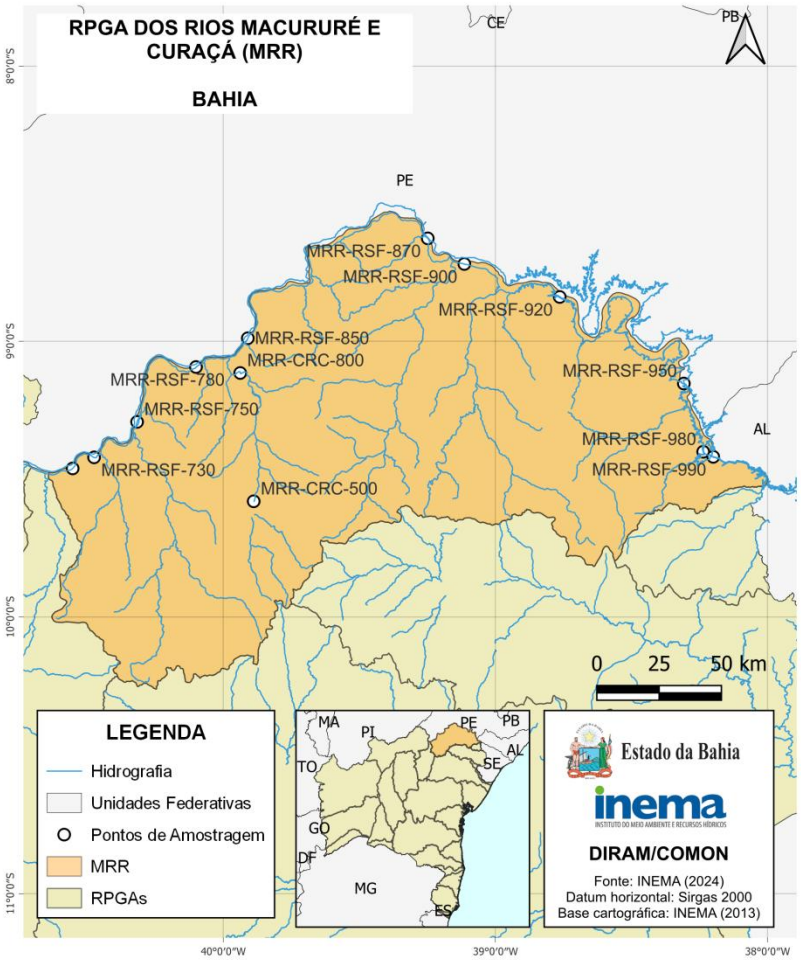


Figura 100. Mapa da distribuição da rede amostral na RPGA Rios Macururé e Curaçá, Bahia.

Quadro 22. Caracterização geral dos pontos de amostragem da RPGA dos Rios Macururé e Curaçá, Bahia.

Código Coordenadas geográficas (SIRGAS 2000)	Corpo hídrico Município	Local de amostragem	Data da coleta	Registro Fotográfico
MRR-CRC-500 9°34'51" (S) 39°53'16" (W)	Rio Curaçá Juazeiro	Ponto localizado a jusante da barragem de Pinhões e a montante do encontro do rio Curaçá com o riacho da Caiçara.	1ª campanha: 14/02/2020 2ª campanha: Não realizada 3ª campanha: 18/11/2020	Sem foto.
MRR-CRC-800 9°6'55,00" (S) 39°56'14,20" (W)	Rio Curaçá Juazeiro	Na divisa entre Curaçá e Juazeiro, ponte que também é ponto de marcação hidrometeorológica.	1ª campanha: 14/02/2020 2ª campanha: Não realizada 3ª campanha: 18/11/2020	

MRR-RSF-700 9°27'41,70" (S) 40°33'11,30" (W)	Rio São Francisco Juazeiro	Localizado em povoado tradicional (comunidade Quilombola), na estrada que liga Juazeiro a Sobradinho.	1ª campanha: 14/02/2020 2ª campanha: Não realizada 3ª campanha: 18/11/2020	
MRR-RSF-730 9°25'17,10" (S) 40°28'27,80" (W)	Rio São Francisco Juazeiro	Zona urbana de Juazeiro, bairro de São Geraldo, a jusante do lançamento de efluentes do curtume.	1ª campanha: 14/02/2020 2ª campanha: Não realizada 3ª campanha: 18/11/2020	
MRR-RSF-750 9°17'34,30" (S) 40°18'58,80" (W)	Rio São Francisco Juazeiro	Na estação de bombeamento da Codevasf - EB 01 - Projeto Maniçoba (na localidade de Maniçoba).	1ª campanha: 14/02/2020 2ª campanha: Não realizada 3ª campanha: 18/11/2020	

MRR-RSF-780 9°5'36,70" (S) 40°5'59,20" (W)	Rio São Francisco Juazeiro	Sob a ponte na BA-220, estrada de Paripiranga, em direção à localidade de Maritá.	1ª campanha: 14/02/2020 2ª campanha: Não realizada 3ª campanha: 18/11/2020	
MRR-RSF-850 8°59'20,90" (S) 39°54'34,20" (W)	Rio São Francisco Curaçá	Zona urbana de Curaçá. Localizado na enseada que serve de porto para os barcos. Está à margem da cidade.	1ª campanha: 14/02/2020 2ª campanha: Não realizada 3ª campanha: 18/11/2020	
MRR-RSF-870 8°37'34,00" (S) 39°14'53,00" (W)	Rio São Francisco Abaré	Ponto a montante da nova ponte de acesso ao distrito de Ibó, divisa entre Abaré (BA) e Belém do São Francisco (PE).	1ª campanha: 11/03/2020 2ª campanha: Não realizada 3ª campanha: 25/11/2020	Sem foto.

MRR-RSF-900 8°43'9,20" (S) 39°6'48,80" (W)	Rio São Francisco Abaré	Zona urbana de Abaré, localizado no porto. Área de conserto e atracação de pequenas embarcações.	1ª campanha: 11/03/2020 2ª campanha: Não realizada 3ª campanha: 25/11/2020	Sem foto.
MRR-RSF-920 8°50'20.9" (S) 38°45'46.8" (W)	Rio São Francisco Rodelas	Ponto localizado na zona urbana do município de Rodelas.	1ª campanha: 11/03/2020 2ª campanha: Não realizada 3ª campanha: 25/11/2020	Sem foto.
MRR-RSF-950 9°9'12,60" (S) 38°18'24,80" (W)	Rio São Francisco Glória	A jusante da barragem de Itaparica, sob a ponte na BR-110. No local existe um posto de fiscalização na entrada da barragem.	1ª campanha: 11/03/2020 2ª campanha: Não realizada 3ª campanha: 25/11/2020	Sem foto.

MRR-RSF-980 9°24'4,00" (S) 38°14'8,50" (W)	Rio São Francisco Paulo Afonso	Sob a ponte que liga o município de Paulo Afonso à ilha de Paulo Afonso, em direção ao centro da cidade.	1ª campanha: 12/03/2020 2ª campanha: Não realizada 3ª campanha: 26/11/2020	Sem foto.
MRR-RSF-990 9°25'10,03" (S) 38°11'55,80" (W)	Rio São Francisco Paulo Afonso	Sob a ponte Dom Pedro II. Acesso por escada na lateral da ponte. Divisa entre Bahia e Alagoas. A jusante da barragem Paulo Afonso IV.	1ª campanha: 12/03/2020 2ª campanha: Não realizada 3ª campanha: 26/11/2020	Sem foto.

4.2.2 RESULTADOS E DISCUSSÃO

A malha amostral desta RPGA possui dois corpos d'água, o rio Curaçá e o rio São Francisco. Atualmente esta RPGA conta com 13 pontos de amostragem, sendo dois no rio Curaçá e 11 no rio São Francisco. Devido à baixa concentração de sais, todos os pontos foram classificados conforme Resolução Conama nº 357/05 como Água Doce - Classe 2.

Considerando todas as campanhas, foram realizadas 26 amostragens no monitoramento para os corpos hídricos desta RPGA. Neste ano de 2020, as violações aos padrões de qualidade estabelecidos na Resolução Conama nº 357/05 para Água Doce - Classe 2, que ocorreram na RPGA dos Rios Macururé e Curaçá foram observadas para os parâmetros: OD (7%), turbidez (7%), clorofila a (4%), fósforo total (4%) e pH (4%)(Figura 68).

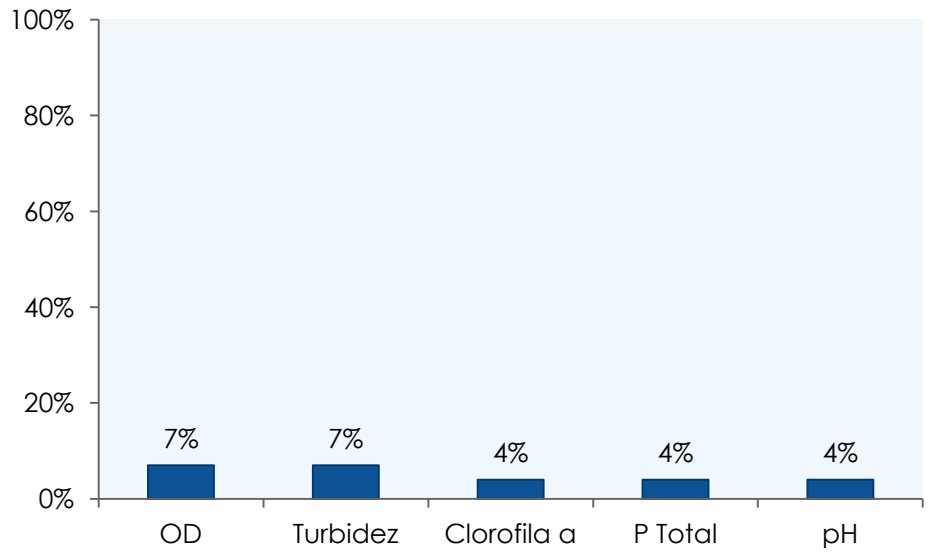


Figura 101. Frequência relativa (%) de violações para a RPGA dos Rios Macururé e Curaçá em 2020.

O Rio Curaçá conta com dois pontos de monitoramento, MRR-CRC-500 e MRR-CRC-800. Os dois pontos apresentaram violações dos limites de qualidade estabelecidos pela Resolução Conama 357/05 para a qualidade de Água Doce - Classe 2. O ponto MRR-CRC-500 apresentou violação do limite estabelecido para turbidez na

primeira campanha, enquanto o ponto MRR-CRC-800 apresentou violações para oxigênio dissolvido, fósforo total e turbidez na primeira campanha.

O trecho do rio São Francisco inserido dentro desta RPGA é monitorado por 11 pontos de amostragem, situados entre os municípios de Juazeiro e Paulo Afonso. Ao longo deste trecho do rio São Francisco foram realizadas 22 coletas considerando as duas campanhas de amostragem. Apenas uma desconformidade foi observada ao longo do trecho monitorado no rio São Francisco, indicando concentração de oxigênio dissolvido abaixo do padrão estabelecido em legislação para o ponto MRR-RSF-850. Portanto, o trecho do rio São Francisco monitorado nesta RPGA apresentou baixa frequência de violações, indicando boas condições ambientais de suas águas.

A Resolução Conama nº 357/05 estabelece que o limite da concentração de coliformes termotolerantes não exceda 1.000 coliformes termotolerantes por 100 mililitros em 80% ou mais de pelo menos 6 (seis) amostras coletadas durante o período de um ano, com frequência bimestral tanto para águas doces quanto para salobras. Utilizando o valor estabelecido pela resolução como referência, notou-se que 57% dos resultados das amostragens realizadas nesta RPGA apresentaram concentrações em desconformidade. Os pontos MRR-CRC-800, MRR-RSF-750, MRR-RSF-850 e MRR-RSF-980 apresentaram concentrações acima do limite considerado como referência, sendo superiores a 16000 NMP/100ml.

Em relação ao IQA, na maioria das campanhas, os pontos situados no rio Curaçá apresentaram qualidade da água classificada como "Boa", com exceção da primeira campanha para o ponto MRR-MCR-800 que apresentou a classificação "Regular" (Figura 102). Já no rio São Francisco, todos os pontos apresentaram qualidade da água classificada como "Boa" ou "Ótima" para todas as amostragens realizadas neste ano de 2020, indicando condições ambientais satisfatórias.

Os resultados obtidos para o IET demonstram que os trechos monitorados no rio Curaçá apresentaram elevado nível de trofia, sendo classificados como "Eutrófico" ou "Hipereutrófico". Este resultado indica elevado enriquecimento de nutrientes nesses trechos que podem comprometer significativamente os usos múltiplos dessas águas. Já os trechos monitorados no rio São Francisco apresentaram baixo a

moderado nível de trofia, sendo classificados entre "Ultraoligotrófico" e "Mesotrófico" em todas as campanhas (Figura 103).

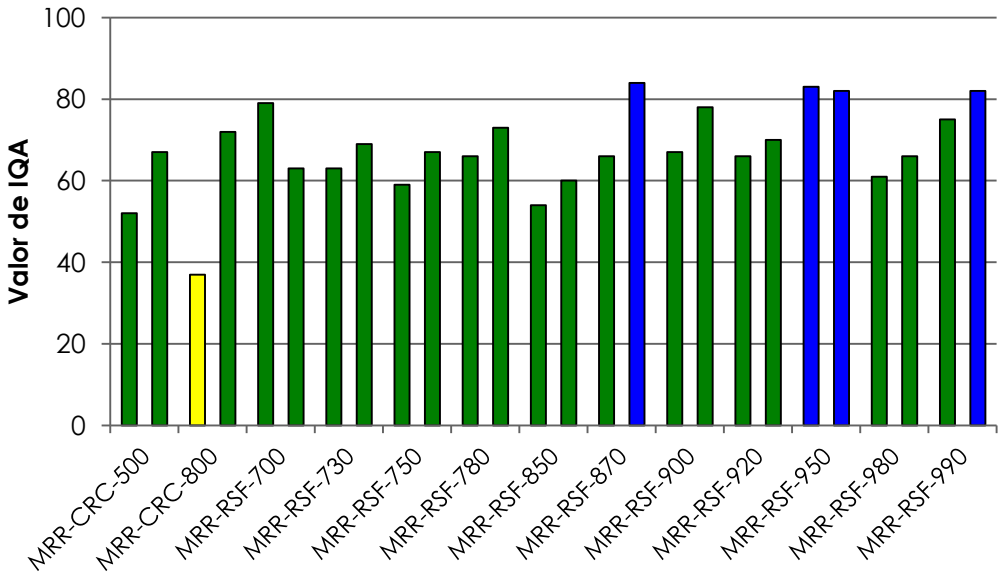


Figura 102. Classificações de IQA na RPGA dos Rios Macururé e Curaçá em 2020.

Quadro de referência para as classificações de IQA.

Ótimo	Bom	Regular	Ruim	Péssimo
79 < IQA ≤ 100	51 < IQA ≤ 79	36 < IQA ≤ 51	19 < IQA ≤ 36	IQA ≤ 19

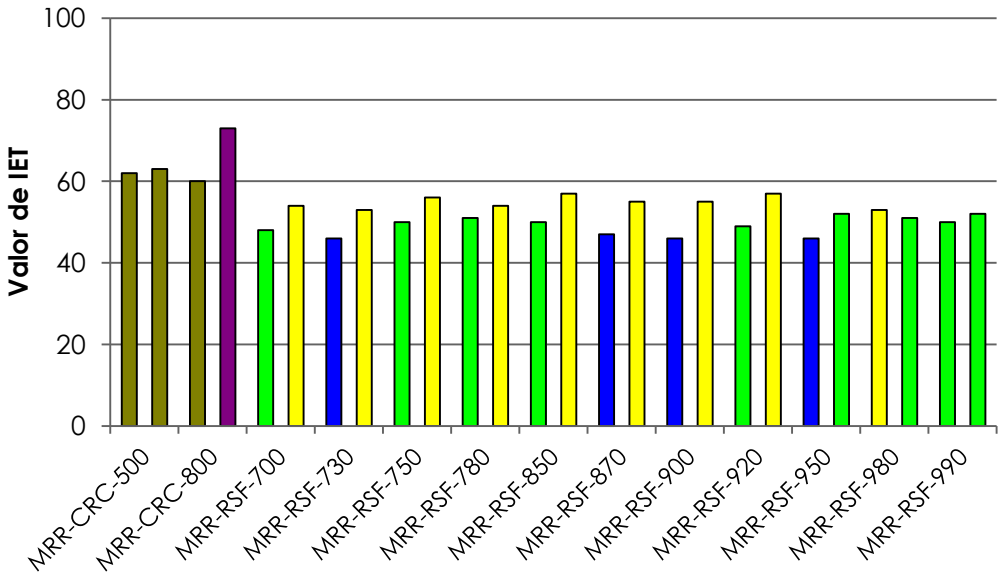


Figura 103. Classificações de IET na RPGA dos Rios Macururé e Curaçá em 2020.

Quadro de referência para as classificações de IET.

Ultraoligotrófico	Oligotrófico	Mesotrófico	Eutrófico	Supereutrófico	Hipereutrófico
IET≤47	47 <IET≤52	52<IET≤59	59<IET≤63	63<IET≤67	IET>67

Em síntese, com base no Índice de Qualidade das Águas, todos os trechos monitorados na RPGA dos Rios Macururé e Curaçá apresentaram condições ambientais satisfatórias. Isto se deve à quase ausência de desconformidades dos parâmetros analisados em relação ao padrão estabelecido pela Resolução Conama 357/05. Entretanto, vale destacar que os resultados obtidos para o IET demonstram que as águas do rio Curaçá apresentam elevado nível de trofia, indicando a ocorrência do processo de eutrofização.

4.3 RPGA DO RIO SALITRE

4.3.1 CARACTERÍSTICAS DA RPGA

Constituída pela sub-bacia do Rio Salitre, esta RPGA teve, ao longo de 2020, a qualidade de suas águas superficiais monitorada por meio de quatro pontos de amostragens, distribuídos conforme ilustra a Figura 104. A descrição da localização dos pontos, a data de coleta e o registro fotográfico realizado nas duas campanhas são apresentados no Quadro 23.

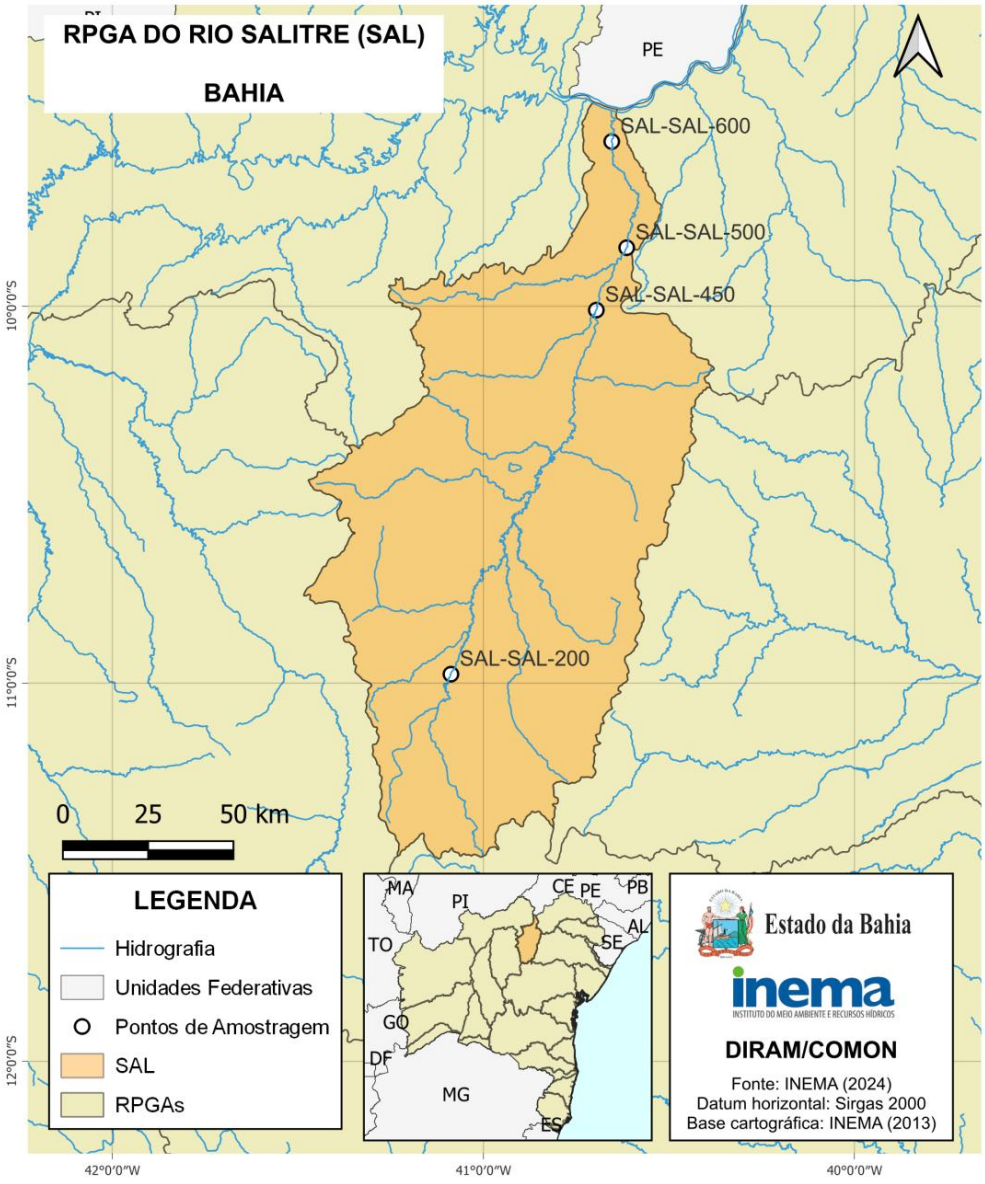


Figura 104. Mapa da distribuição da rede amostral na RPGA Rio Salitre, Bahia.

Quadro 23. Caracterização geral dos pontos de amostragem da RPGA do Rio Salitre, Bahia.

Código Coordenadas geográficas (SIRGAS 2000)	Corpo hídrico Município	Local de amostragem	Data da coleta	Registro Fotográfico
SAL-SAL-200 10°58'35,10" (S) 41°5'13,70" (W)	Rio Salitre Ourolândia	Ponto localizado a montante do distrito de Alazão, no município de Ourolândia e da barragem do rio Salitre.	1ª campanha: 19/02/2020 2ª campanha: Não realizada 3ª campanha: 16/12/2020	
SAL-SAL-450 10°00'37,0" (S) 40°41'43,0" (W)	Rio Salitre Campo Formoso	Ponto sob a ponte BA-368 sobre o rio Salitre, na estrada entre Juazeiro - Umburanas.	1ª campanha: 12/03/2020 2ª campanha: Não realizada 3ª campanha: Não realizada	

SAL-SAL-500 9°50'40,00" (S) 40°36'47,90" (W)	Rio Salitre Juazeiro	No povoado de Sobradinho do Salitre, após o distrito de Junco, acesso na primeira estrada de terra à esquerda, após a Fazenda Monte Alto. Atravessar duas porteiras e caminhar cerca de 50 metros até o rio.	1ª campanha: 12/03/2020 (Sem acesso) 2ª campanha: Não realizada 3ª campanha: Não realizada	Sem foto.
SAL-SAL-600 9°33'43,13" (S) 40°39'13,25" (W)	Rio Salitre Juazeiro	Saindo de Juazeiro em direção a Sobradinho, ponto sob ponte sobre o rio Salitre.	1ª campanha: 14/02/2020 2ª campanha: Não realizada 3ª campanha: 18/11/2020	

4.3.2 RESULTADOS E DISCUSSÃO

A RPGA do Rio Salitre conta com quatro pontos de amostragem situados entre os municípios de Ourolândia e Juazeiro. Nesta campanha, apenas o ponto SAL-SAL-500 não foi amostrado devido à impossibilidade de acesso. Todos os pontos amostrados apresentaram elevada concentração de sais, sendo classificados como Água Salobra - Classe 1, com base na Resolução Conama nº 357/05.

Ao longo de sua extensão, o rio Salitre apresentou violações dos padrões de qualidade estabelecidos na Resolução Conama nº 357/05 para Água Salobra – Classe 1, para os parâmetros oxigênio dissolvido, pH, nitrogênio amoniacal, nitrogênio nitrato e fósforo total, considerando todas as campanhas realizadas em 2020. Vale ressaltar que a forma de nitrogênio encontrada pode indicar a etapa de degradação da poluição orgânica. O nitrogênio amoniacal é encontrado na zona de decomposição ativa, ou seja, próximas a fonte de poluição, enquanto o nitrogênio nitrato é encontrado na zona de água limpa situado mais distante da fonte de poluição.

A Resolução Conama nº 357/05 referencia que o limite da concentração de coliformes termotolerantes não exceda 1.000 coliformes por 100 mililitros em 80% ou mais de pelo menos seis amostras coletadas durante o período de um ano, com frequência bimestral tanto para águas doces quanto para salobras. Utilizando este valor como referência, observa-se que todos os pontos analisados apresentaram concentrações elevadas de coliformes termotolerantes, chegando a concentração de 9200 NMP/100ml.

É importante salientar que altas concentrações de fósforo total juntamente com concentrações elevadas das diferentes formas de nitrogênio, principalmente o nitrogênio amoniacal, podem indicar o despejo de efluentes domésticos neste trecho do rio Salitre. A elevada concentração de coliformes termotolerantes citada anteriormente reforça a possibilidade de despejo desses efluentes.

As Figuras 105 e 106 apresentam as classificações de IQA e IET obtidas para a RPGA do Rio Salitre em 2020.

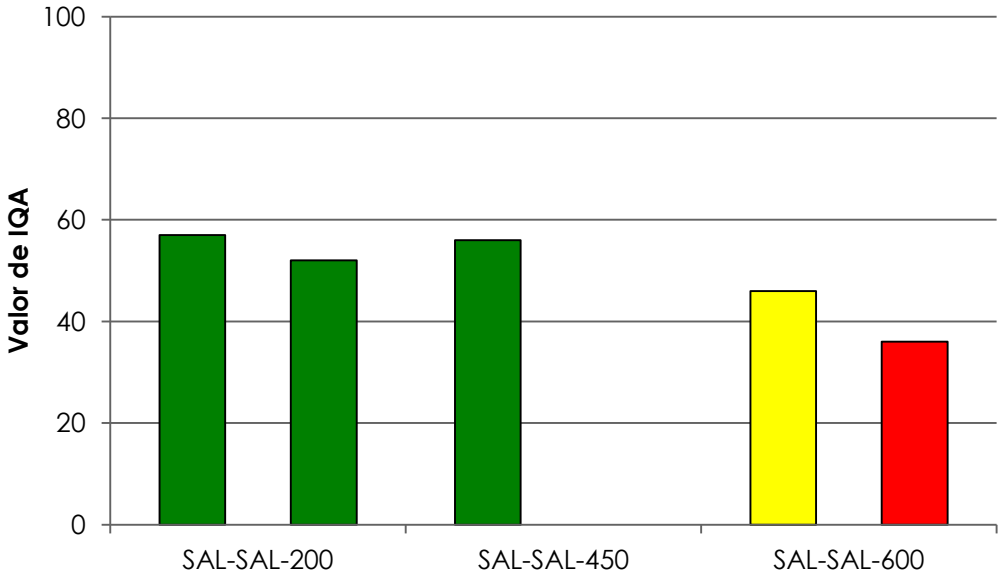


Figura 105. Classificações de IQA na RPGA do Rio Salitre em 2020.

Quadro de referência para as classificações de IQA.

Ótimo	Bom	Regular	Ruim	Péssimo
79 < IQA ≤ 100	51 < IQA ≤ 79	36 < IQA ≤ 51	19 < IQA ≤ 36	IQA ≤ 19

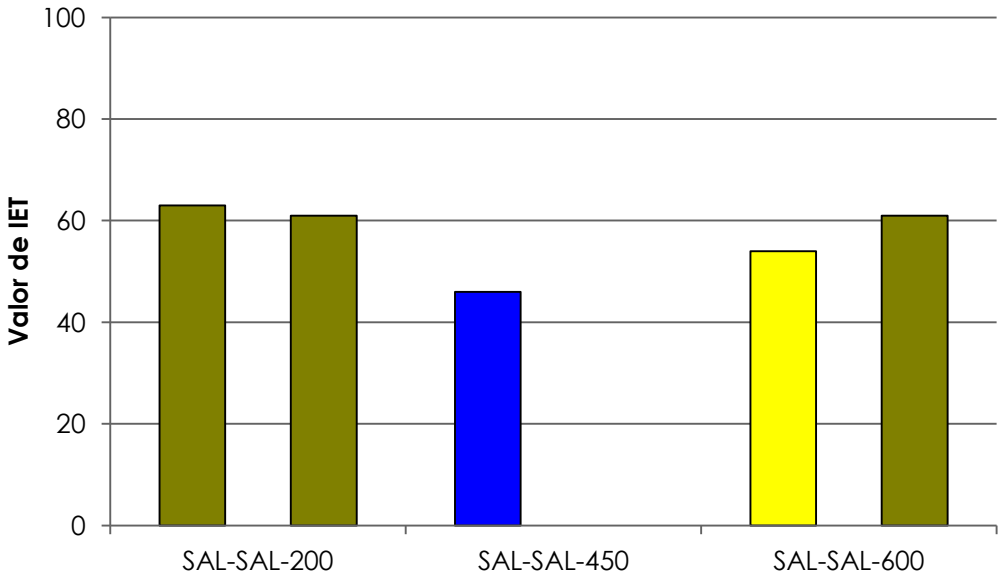


Figura 106. Classificações de IET na RPGA do Rio Salitre em 2020.

Quadro de referência para as classificações de IET.

Ultraoligotrófico	Oligotrófico	Mesotrófico	Eutrófico	Supereutrófico	Hipereutrófico
IET≤47	47 <IET≤52	52<IET≤59	59<IET≤63	63<IET≤67	IET>67

Em 2020, os resultados das amostragens realizadas no rio Salitre indicaram qualidade da água classificada como "Boa" para os trechos SAL-SAL-200 e SAL-SAL-450, enquanto que o trecho situado mais próximo a foz (SAL-SAL-600) apresentou as classes "Regular" e "Ruim" na primeira e terceira campanha, respectivamente. Em relação ao IET, parte dos resultados das amostragens apresentou elevado nível de trofia. O ponto SAL-SAL-200 apresentou ambas as campanhas com estado trófico classificado com "Eutrófico", enquanto o ponto SAL-SAL-600 apresentou a mesma classificação para a terceira campanha, indicando o processo de enriquecimento de nutrientes nesses trechos. Por outro lado, o trecho referente ao ponto SAL-SAL-450 apresentou nível de trofia classificado como "Ultraoligotrófico", indicando baixo enriquecimento de nutrientes.

Embora os pontos tenham em sua maioria apresentado qualidade satisfatória segundo IQA, os resultados do monitoramento dos parâmetros de qualidade indicam que as águas da RPGA do Rio Salitre estão sob pressão antropogênica. Os valores obtidos para o IET e as violações dos limites de qualidade dos parâmetros avaliados com padrões estabelecidos em legislação, indicam o enriquecimento de nitrogênio, baixa disponibilidade de oxigênio e alta concentração de coliformes termotolerantes, decorrentes de possível despejo de efluentes domésticos como resultado da falta de saneamento básico adequado.

4.4 RPGA DOS RIOS VERDE E JACARÉ

4.4.1 CARACTERÍSTICAS DA RPGA

A RPGA dos Rios Verde e Jacaré é constituída pelas sub-bacias dos Rios Verde e Jacaré e de pequenos rios que deságuam no Lago Sobradinho, limitadas a leste com a RPGA do Lago Sobradinho e pela RPGA do Rio Salitre, ao sul pela RPGA do Rio Paraguaçu, a Oeste pela RPGA do Rio Paramirim e Santo Onofre.

Esta RPGA teve, ao longo de 2020, a qualidade de suas águas superficiais monitorada por meio de 13 (treze) pontos de amostragens, distribuídos conforme ilustra a Figura 107. A descrição da localização dos pontos, a data de coleta e o registro fotográfico realizado nas campanhas são apresentados no Quadro 24.

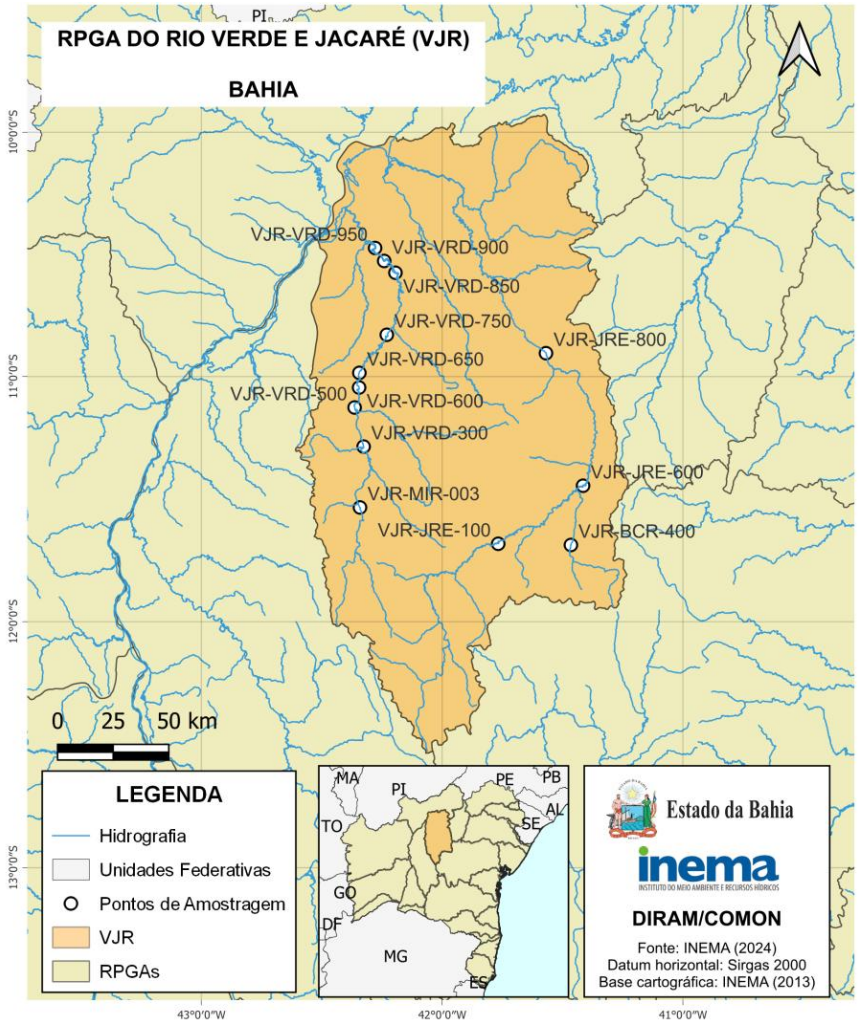


Figura 107. Mapa da distribuição da rede amostral na RPGA dos Rios Verde e Jacaré, Bahia.

Quadro 24. Caracterização geral dos pontos de amostragem da RPGA dos Rios Verde e Jacaré, Bahia.

Código Coordenadas geográficas (SIRGAS 2000)	Corpo hídrico Município	Local de amostragem	Data da coleta	Registro Fotográfico
VJR-BCR-400 11°41'15" (S) 41°27'52,98" (W)	Córrego Baixa do Carfanaum Carfanaum	Ponto localizado a jusante da cidade Carfanaum.	1ª campanha: 19/02/2020 2ª campanha: Não realizada 3ª campanha: 15/12/2020	
VJR-JRE-100 11°40'57,20" (S) 41°45'59,90" (W)	Rio Jacaré Canarana	Ponto localizado sob a ponte na BA-432, na zona urbana do município de Canarana.	1ª campanha: 20/02/2020 (Ponto seco) 2ª campanha: Não realizada 3ª campanha: 16/12/2020 (Ponto seco)	

VJR-JRE-600 11°26'44,60" (S) 41°24'50,90" (W)	Rio Jacaré América Dourada	Ponto sob a ponte da rodovia BA 052, aproximadamente 2 km do entroncamento de acesso da cidade de América Dourada, sentido Morro do Chapéu.	1ª campanha: 19/02/2020 (Ponto seco) 2ª campanha: Não realizada 3ª campanha: 15/12/2020 (Ponto seco)	
VJR-JRE-800 10°54'15,50" (S) 41°34'5,60" (W)	Rio Jacaré São Gabriel	Ponto localizado na divisa de Morro do Chapéu com São Gabriel no distrito de Jaguarací, povoado de Monte Alto.	1ª campanha: 19/02/2020 2ª campanha: Não realizada 3ª campanha: Não realizada	
VJR-MIR-003 11°32'04" (S) 42°20'27" (W)	Barragem de Mirorós Gentio do Ouro	Ponto localizado a uma distância de 24 km na estrada da barragem de Mirorós, após sair da BA-225 no sentido de Ibipeba.	1ª campanha: 20/02/2020 2ª campanha: Não realizada 3ª campanha: Não realizada	

VJR-VRD-300 11°17'9,70" (S) 42°19'32,70" (W)	Rio Verde Itaguaçu da Bahia	Ponto situado sob a ponte da BA-438, 20 km a jusante barragem de Mirorós.	1ª campanha: 20/02/2020 (Ponto seco) 2ª campanha: Não realizada 3ª campanha: Não realizada	
VJR-VRD-500 11°7'34,70" (S) 42°21'47,30" (W)	Rio Verde Itaguaçu da Bahia	Baixada que liga o povoado de Barreiros de Itaguaçu da Bahia ao povoado de Alegre, a jusante da barragem do Amor.	1ª campanha: 20/02/2020 2ª campanha: Não realizada 3ª campanha: 16/12/2020	
VJR-VRD-600 11°2'41,00"(S) 42°20'40,40" (W)	Rio Verde Itaguaçu da Bahia	O ponto encontra-se em baixada, sob pequena ponte no bairro do Bebedouro A13, a 7 km ao sul do município de Itaguaçu da Bahia.	1ª campanha: 20/02/2020 2ª campanha: Não realizada 3ª campanha: 16/12/2020	

VJR-VRD-650 10°59'5,20" (S) 42°20'36,40" (W)	Rio Verde Itaguaçu da Bahia	Na entrada do município de Itaguaçu, sob a ponte da BA-052.	1ª campanha: 20/02/2020 2ª campanha: Não realizada 3ª campanha: 16/12/2020	
VJR-VRD-750 10°49'45" (S) 42°13'46" (W)	Rio Verde Itaguaçu da Bahia	Ponto localizado a jusante do povoado de Almas e a montante do povoado Riacho Verde, município de Itaguaçu da Bahia, a montante do Riacho de Suçuarana.	1ª campanha: 20/02/2020 (Ponto seco) 2ª campanha: Não realizada 3ª campanha: 16/12/2020	
VJR-VRD-850 10°34'31" (S) 42°11'37" (W)	Rio Verde Itaguaçu da Bahia	Ponto situado a montante da barragem de Irá/Muquém.	1ª campanha: 20/02/2020 (Ponto seco) 2ª campanha: Não realizada 3ª campanha: 16/12/2020 (Ponto seco)	

VJR-VRD-900 10°31'37,51" (S) 42°14'25,04" (W)	Rio Verde Itaguaçu da Bahia	Ponto situado na zona rural do município de Itaguaçu da Bahia. Região do Projeto Baixo do Irecê. Há uma estação fluviométrica da ANA.	1ª campanha: 20/02/2020 (Ponto seco) 2ª campanha: Não realizada 3ª campanha: 16/12/2020	
VJR-VRD-950 10°28'26,5" (S) 42°16'41,3" (W)	Rio Verde Itaguaçu da Bahia	Ponto situado na foz do rio Verde, a montante do Lago de Sobradinho.	1ª campanha: 20/02/2020 (Ponto seco) 2ª campanha: Não realizada 3ª campanha: 16/12/2020	

4.4.2 RESULTADOS E DISCUSSÃO

No ano de 2020, grande parte dos pontos de monitoramento da RPGA dos Rios Verde e Jacaré apresentaram leito seco no momento da coleta. Dos nove pontos amostrados nessa campanha, três apresentaram uma ou mais campanhas classificadas como Água Salobra – Classe 1, sendo eles: VJR-BCR-400 (3º campanha), VJR-VRD-600 (3º campanha) e VJR-VRD-650 (1º e 3º campanha).

Considerando todas as amostragens realizadas nesta RPGA, foram notadas as seguintes frequências de parâmetros apresentando violações dos limites estabelecidos pela Resolução Conama nº 357/05, considerando as respectivas classificações de salinidade: oxigênio dissolvido (46%), DBO (44%), STD (22%), nitrogênio amoniacal (15%), fósforo total (15%) e clorofila *a* (11%).

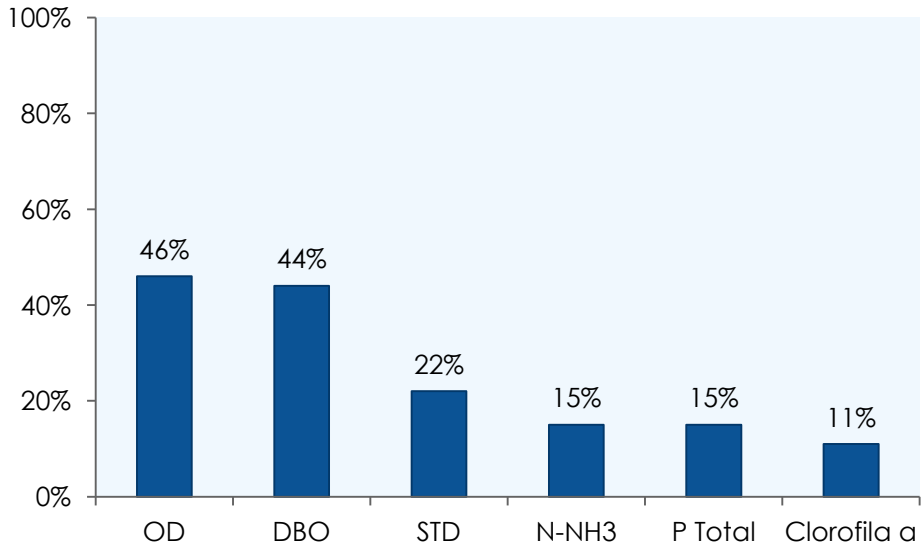


Figura 108. Frequência relativa (%) de violações para a RPGA dos Rios Verde e Jacaré.

As águas do córrego Baixa do Carfanaum foram classificadas como Água Doce – Classe 2 na primeira campanha e Água Salobra – Classe 1 na terceira campanha. Na primeira campanha, este trecho monitorado apresentou violações dos limites para clorofila a, DBO, fósforo total e turbidez, enquanto na terceira campanha, não apresentou nenhuma desconformidade.

Em 2020 foi realizada apenas uma amostragem na barragem de Mirorós situada no município de Gentio do Ouro. O trecho monitorado na barragem apresentou desconformidade apenas para DBO, indicando 15 mg/L. Entretanto, apesar da DBO elevada em relação ao padrão estabelecido em legislação, este trecho apresentou elevada concentração de oxigênio dissolvido, atendendo os padrões estabelecidos pela mesma legislação para este parâmetro.

Dos três pontos distribuídos ao longo do rio Jacaré, neste ano de 2020, apenas o ponto VJR-JRE-800 situado mais próximo a foz foi amostrado, pois os demais se encontravam secos no momento da coleta. A amostragem realizada neste trecho apresentou desconformidade apenas para o parâmetro STD, sendo superior a concentração de 500 mg/L estabelecida como limite pela Resolução Conama nº 357/05.

O rio Verde é monitorado através de oito pontos de amostragem distribuídos entre os municípios de Ibipeba e Itaguaçu da Bahia. Ao longo de seu curso foram observas violações dos padrões para DBO, OD, fósforo total e STD. Apenas o trecho referente ao ponto VJR-VRD-500 não apresentou nenhuma desconformidade para os parâmetros monitorados. Vale destacar que a maioria dos trechos apresentou concentrações de oxigênio dissolvido abaixo do valor estabelecido pela legislação.

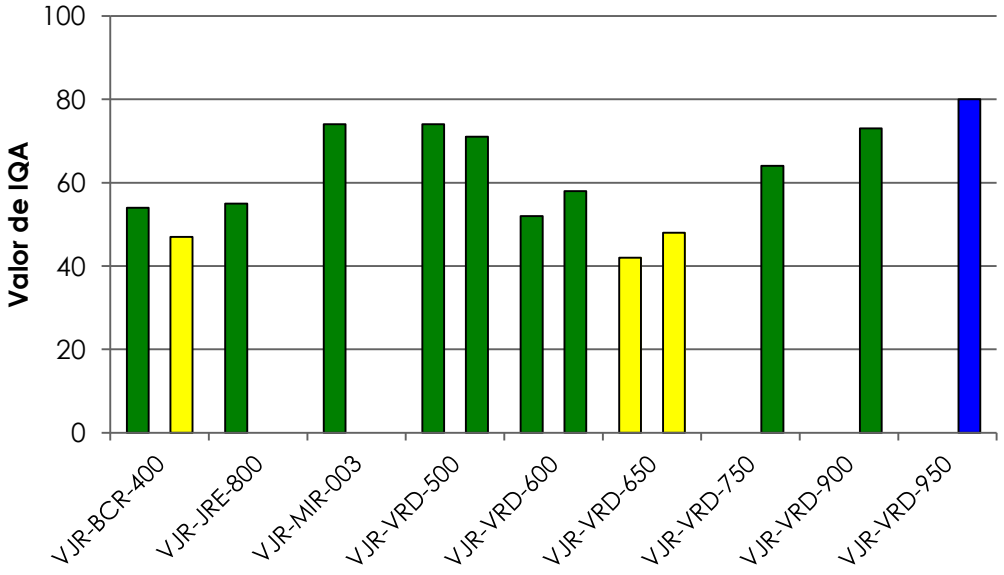


Figura 109. Classificações de IQA na RPGA dos Rios Verde e Jacaré em 2020.

Quadro de referência para as classificações de IQA.

Ótimo	Bom	Regular	Ruim	Péssimo
79 < IQA ≤ 100	51 < IQA ≤ 79	36 < IQA ≤ 51	19 < IQA ≤ 36	IQA ≤ 19

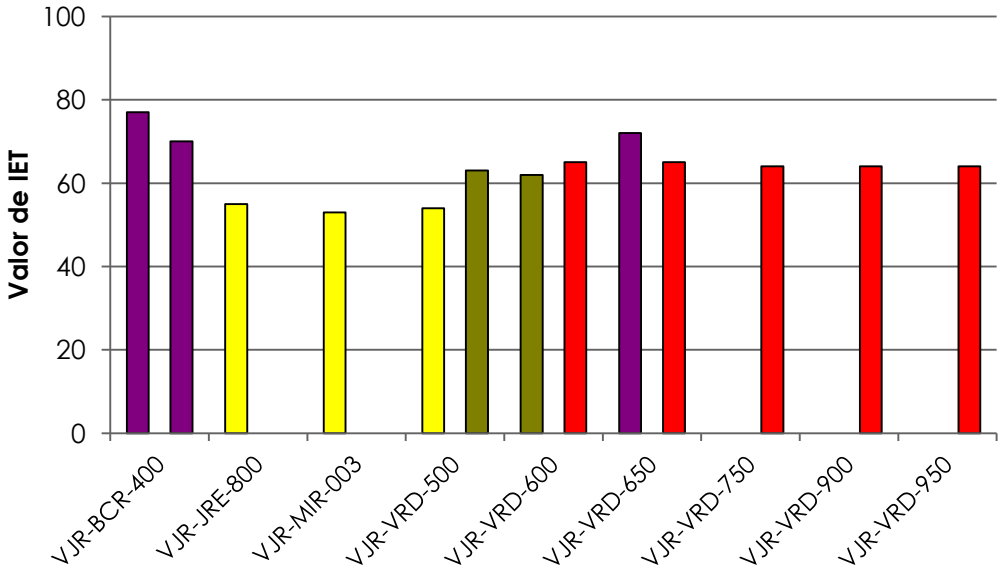


Figura 110. Classificações de IET na RPGA dos Rios Verde e Jacaré em 2020.

Quadro de referência para as classificações de IET.

Ultraoligotrófico	Oligotrófico	Mesotrófico	Eutrófico	Supereutrófico	Hipereutrófico
IET≤47	47 <IET≤52	52<IET≤59	59<IET≤63	63<IET≤67	IET>67

A Resolução Conama nº 357/05 estabelece que o limite da concentração de coliformes termotolerantes não exceda 1.000 coliformes por 100 mililitros em 80% ou mais de pelo menos seis amostras coletadas durante o período de um ano, com frequência bimestral tanto para águas doces quanto para salobras. Apenas o trecho monitorado no córrego Baixa do Carfanaum (VJR-BCR-400) e no rio Jacaré (VJR-JRE-800) apresentaram elevadas concentrações para coliformes termotolerantes entre 2400 e 16000 NMP/100ml.

No geral, as águas da RPGA dos Rios Verde e Jacaré apresentaram qualidade da água classificada entre "Regular" e "Ótima" segundo o IQA, entretanto, a maioria dos pontos apresentou a classificação "Bom" (Figura 109). A melhor classificação

para o índice foi observada para o trecho final do rio Verde referente ao ponto VJR-VRD-950, sendo classificado como "Ótimo" na única amostragem realizada.

Em relação ao IET, a maioria dos resultados das amostragens realizadas nesta RPGA indicou elevado nível de trofia, sendo os pontos classificados entre "Eutrófico" e "Hipereutrófico" (Figura 110). Os maiores graus de trofia foram observados no trecho do córrego Baixa do Carfanaum (VJR-BCR-400) e no trecho do rio Verde (VJR-VRD-650). Esses resultados são decorrentes das elevadas concentrações obtidas para clorofila *a,* que representa uma das variáveis utilizadas para o cálculo deste índice. Embora não tenham violado o padrão estabelecido pela legislação para o parâmetro clorofila a, foram observadas concentrações próximas ao limite (30 µg/L) para boa parte dos pontos classificados como água doce. Os pontos VJR-BCR-400 e VJR-VRD-650 apresentaram as concentrações para clorofila a de 50,6 e 49,0 µg/L, respectivamente, porém foram classificados como Água Salobra – Classe 1, não possuindo valor de referência para este parâmetro segunda a Resolução Conama nº 357/05.

Embora as águas da RPGA dos Rios Verde e Jacaré apresentem qualidade da água em condições satisfatórias com base no IQA, os elevados níveis de trofia observados indicam que estes trechos podem estar sob influência das atividades humanas. As concentrações de clorofila a observadas, embora estejam dentro do limite estabelecido pela legislação, podem indicar o efeito do enriquecimento de nutrientes nestes corpos hídricos, favorecendo o crescimento da comunidade fitoplanctônica.

4.5 RPGA DO LAGO SOBRADINHO

4.5.1 CARACTERÍSTICAS DA RPGA

A RPGA do Lago de Sobradinho é constituída pelas sub-bacias de rios estaduais que deságuam na Barragem de Sobradinho, limitadas a leste com a RPGA do Rio Salitre e o Estado de Pernambuco, ao sul com as RPGA dos Rio Verde e Jacaré, do Salitre e dos Rios Paramirim e Santo Onofre, a Oeste com a RPGA do Rio Grande e a noroeste e norte com o estado do Piauí.

Esta RPGA teve, ao longo de 2020, a qualidade de suas águas superficiais monitorada por meio de 10 (dez) pontos de amostragens, distribuídos conforme ilustra a Figura 111. A descrição da localização dos pontos, a data de coleta e o registro fotográfico realizado nas campanhas são apresentados no Quadro 25.

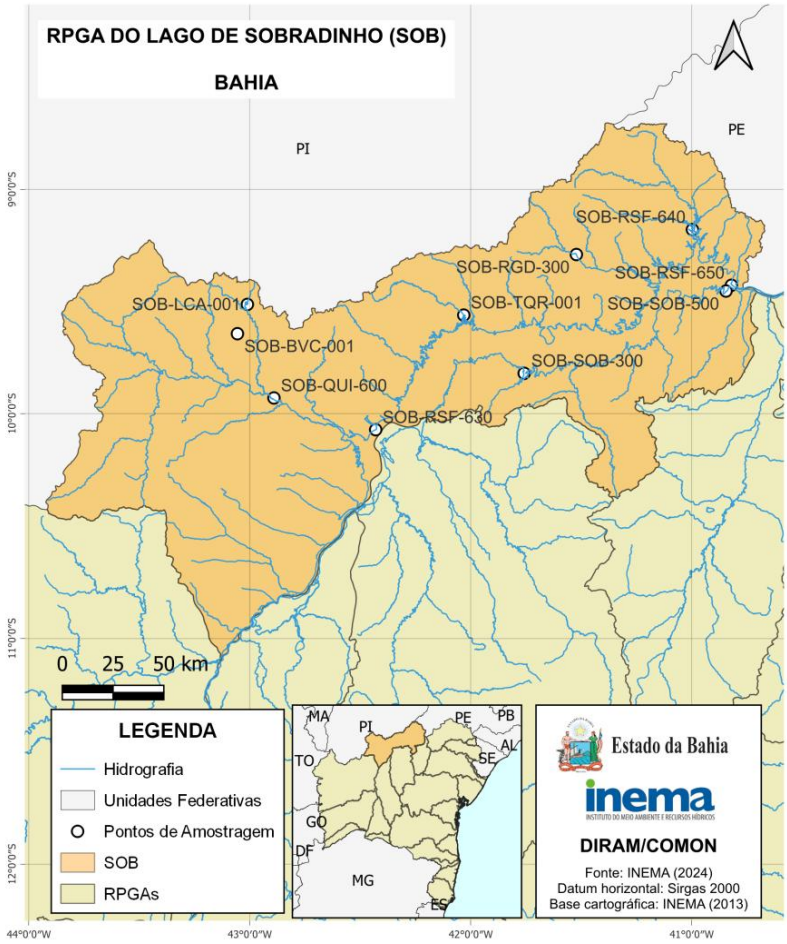
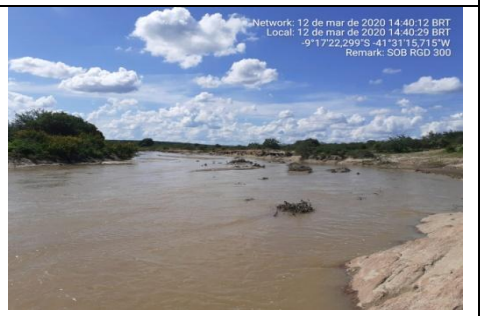


Figura 111. Mapa da distribuição da rede amostral na RPGA Lago de Sobradinho, Bahia.

Quadro 25. Caracterização geral dos pontos de amostragem da RPGA do Lago Sobradinho, Bahia.

Código Coordenadas geográficas (SIRGAS 2000)	Corpo hídrico Município	Local de amostragem	Data da coleta	Registro Fotográfico
SOB-BVC-001 9°38'37" (S) 43°03'19" (W)	Barragem Volta de Cima Campo Alegre de Lourdes	Ponto localizado no Povoado de Cacimba Nova, as margens da BR-020 sentido Campo Alegre/Butirama (Lago Mineração).	1ª campanha: 12/03/2020 2ª campanha: Não realizada 3ª campanha: 16/12/2020	
SOB-LCA-001 9°30'46,3" (S) 43°00'36,8" (W)	Lagoa do Campo Alegre de Lourdes Campo Alegre de Lourdes	Ponto situado no Lago de Campo Alegre de Lourdes, no entroncamento da BR-020 com a BR-235, em frente à Casa de Show Macedão Hall.	1ª campanha: 12/03/2020 2ª campanha: Não realizada 3ª campanha: 16/12/2020 (Ponto seco)	

SOB-QUI-600 9°55'48" (S) 42°53'24" (W)	Rio Vereda de Quixabá Pilão Arcado	Ponto situado a montante do encontro do rio Vereda da Quixabá com o riacho Vereda da Pimenteira.	1ª campanha: 12/03/2020 (Ponto seco) 2ª campanha: Não realizada 3ª campanha: 16/12/2020 (Ponto seco)	Sem foto.
SOB-RGD-300 9°17'25,01" (S) 41°31'15,7" (W)	Riacho Grande Casa Nova	Ponto localizado em estrada de terra, na margem esquerda do Riacho Grande, após sair da BR-235 entre Casa Nova e Remanso (APA Lago do Sobradinho).	1ª campanha: 12/03/2020 2ª campanha: Não realizada 3ª campanha: 16/12/2020 (Ponto seco)	
SOB-RSF-630 10°04'17" (S) 42°25'46" (W)	Rio São Francisco Pilão Arcado	Localizado no término da BA-752, em um braço do rio São Francisco/Lago de Sobradinho, em um Povoado do município de Pilão Arcado.	1ª campanha: 12/03/2020 2ª campanha: Não realizada 3ª campanha: 16/12/2020	

SOB-RSF-640 9°10'45" (S) 40°59'45" (W)	Rio São Francisco Casa Nova	Sob a ponte da BR-235 sobre o rio São Francisco/Lago do Sobradinho.	1ª campanha: 12/03/2020 2ª campanha: Não realizada 3ª campanha: 16/12/2020	
SOB-RSF-650 9°25'38,90" (S) 40°49'9,20" (W)	Rio São Francisco Casa Nova	Ponto a jusante da barragem de Sobradinho. Acesso por estrada de terra à direita, após a Usina da CHESF. O ponto de coleta fica próximo da torre de distribuição de energia de cor laranja e branco.	1ª campanha: 14/02/2020 2ª campanha: Não realizada 3ª campanha: 18/11/2020	
SOB-SOB-300 9°49'13" (S) 41°45'26,2" (W)	Lago Sobradinho Sento Sé	Ponto localizado próximo ao povoado de Riacho dos Paes. O acesso até o povoado é feito pela rodovia Sobradinho - Sento Sé, entrada a direita no vilarejo do Capeado. O povoado de Riacho dos Paes está a uma distância de 7 km do vilarejo de Capeado e a 18 km da cidade de Sento Sé.	1ª campanha: 11/03/2020 (Sem acesso) 2ª campanha: Não realizada 3ª campanha: Não realizada	

SOB-SOB-500 9°27'11,9" (S) 40°50'37,7" (W)	Lago Sobradinho Sobradinho	Ponto localizado na entrada do canal de captação de água do SAAE de Sobradinho. Acesso no início da ombreira direita da barragem de Sobradinho.	1ª campanha: 14/02/2020 2ª campanha: Não realizada 3ª campanha: 18/11/2020	
SOB-TQR-001 9°33'38" (S) 42°01'51" (W)	Lago do Sobradinho (Riacho Tanque Real/Zabelê) Remanso	Ponto localizado sob a ponte da BR-235 sobre um braço do Lago do Sobradinho formado pelo Riacho do Zabelê/Riacho Tanque Real, a 9 km da cidade de Remanso, sentido Casa Nova.	1ª campanha: 12/03/2020 2ª campanha: Não realizada 3ª campanha: 16/12/2020	

4.5.2 RESULTADOS E DISCUSSÃO

Em 2020, foram realizadas amostragens em oito dos dez pontos de amostragem na RPGA do Lago Sobradinho. Apenas os trechos monitorados no rio Vereda da Quixabá (SOB-QUI-600) e Lago Sobradinho (SOB-SOB-300) não foram amostrados neste ano, pois se encontravam secos ou com impossibilidade de acesso. Durante as campanhas os oito pontos coletados na RPGA do Lago Sobradinho apresentaram baixas concentrações de sais, sendo todos classificados, de acordo com a Resolução Conama nº 357/05, como Água Doce – classe 2.

No total, foram realizadas 14 amostragens considerando todos os corpos hídricos. Para esta RPGA foram observadas violações para os seguintes parâmetros: OD (50%), clorofila a (21%) e turbidez (14%) (Figura 112). A maioria dos trechos apresentou desconformidade para pelo menos um dos três parâmetros citados em pelo menos uma das campanhas realizadas, com exceção do ponto SOB-SOB-500, situado no lago Sobradinho.

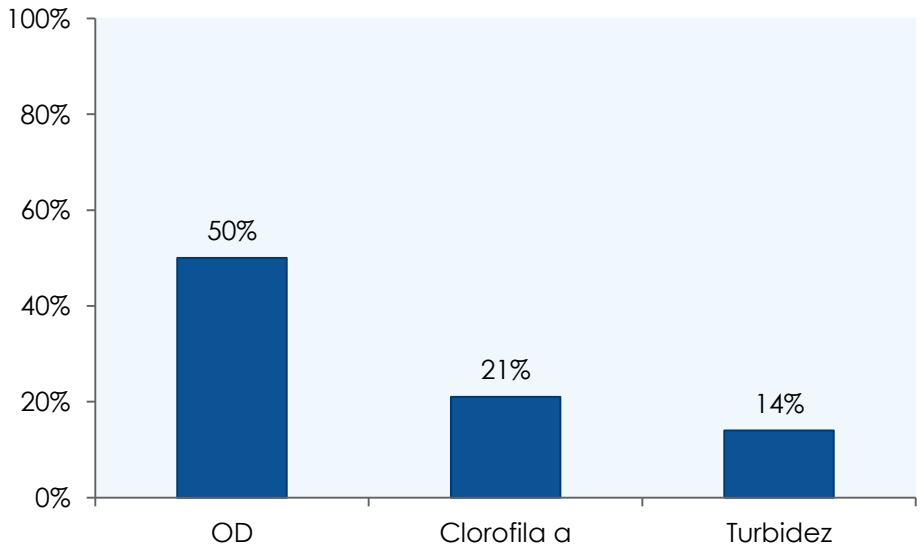


Figura 112. Frequência relativa (%) de violações para a RPGA do Lago Sobradinho em 2020.

A Resolução Conama nº 357/05 referencia que o limite da concentração de coliformes termotolerantes não exceda 1.000 coliformes por 100 mililitros em 80% ou mais de pelo menos seis amostras coletadas durante o período de um ano, com

frequência bimestral tanto para águas doces quanto para salobras. Todos os pontos apresentaram concentrações elevadas para coliformes termotolerantes, em pelo menos uma das campanhas realizadas. As maiores concentrações foram observadas para os trechos do rio São Francisco (SOB-RSF-630 e SOB-RSF-640) e o trecho monitorado no riacho Grande (SOB-RGD-300) que apresentaram concentração de 16000 NMP/100ml.

O ponto SOB-BVC-001, localizado na barragem Volta de Cima, apresentou violações dos limites estabelecidos para oxigênio dissolvido e clorofila *a* ao longo das campanhas, enquanto a lagoa do Campo Alegre de Lourdes, monitorada através do ponto SOB-LCA-001, apresentou violações apenas para oxigênio dissolvido na única amostragem realizada. O trecho monitorado no riacho Grande (SOB-RGD-300) apresentou elevada turbidez na única amostragem realizada. No ponto do Lago de Sobradinho, formado pelo Riacho do Zabelê/Riacho Tanque Real (SOB-TQR-001), situado no município de Remanso, foram observadas desconformidades para os parâmetros clorofila *a*, oxigênio dissolvido e turbidez ao longo das campanhas realizadas.

Nesta RPGA, o rio São Francisco é monitorado por meio de três pontos, SOB-RSF-630, SOB-RSF-640 e SOB-RSF-650. As amostragens realizadas indicaram concentrações de oxigênio dissolvido abaixo do padrão estabelecido pela legislação do Conama nº 357/05 (≥ 5,0 mg/L) para os pontos SOB-RSF-630 e SOB-RSF-650, além de concentrações acima do limite estabelecido para clorofila a (≤ 30 µg/L) para o ponto SOB-RSF-640.

As Figuras 113 a 114 apresentam as classificações de IQA e IET obtidas para a RPGA do Lago Sobradinho em 2020.

Em relação ao IQA, os trechos monitorados na RPGA do Lago Sobradinho apresentaram qualidade da água classificada entre "Regular" e "Ótima" em todas as amostragens dos pontos monitorados (Figura 113). O melhor índice foi observado para o trecho médio do rio São Francisco referente ao ponto SOB-RSF-650 situado no município de Casa Nova que apresentou a classificação "Ótimo" na primeira campanha de monitoramento deste ano.

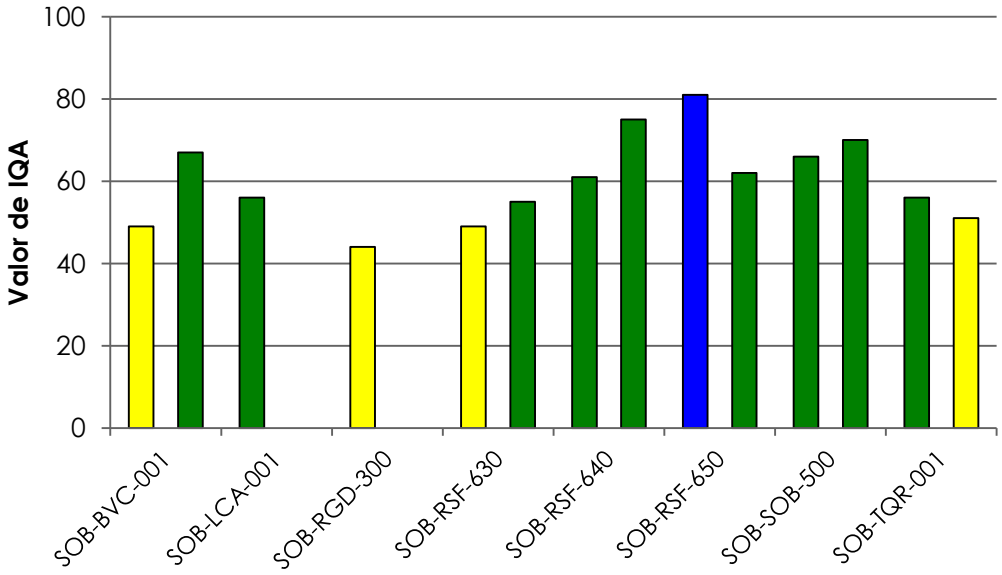


Figura 113. Classificações de IQA na RPGA do Lago Sobradinho em 2020.

Quadro de referência para as classificações de IQA.

Ótimo	Bom	Regular	Ruim	Péssimo
79 < IQA ≤ 100	51 < IQA ≤ 79	36 < IQA ≤ 51	19 < IQA ≤ 36	IQA ≤ 19

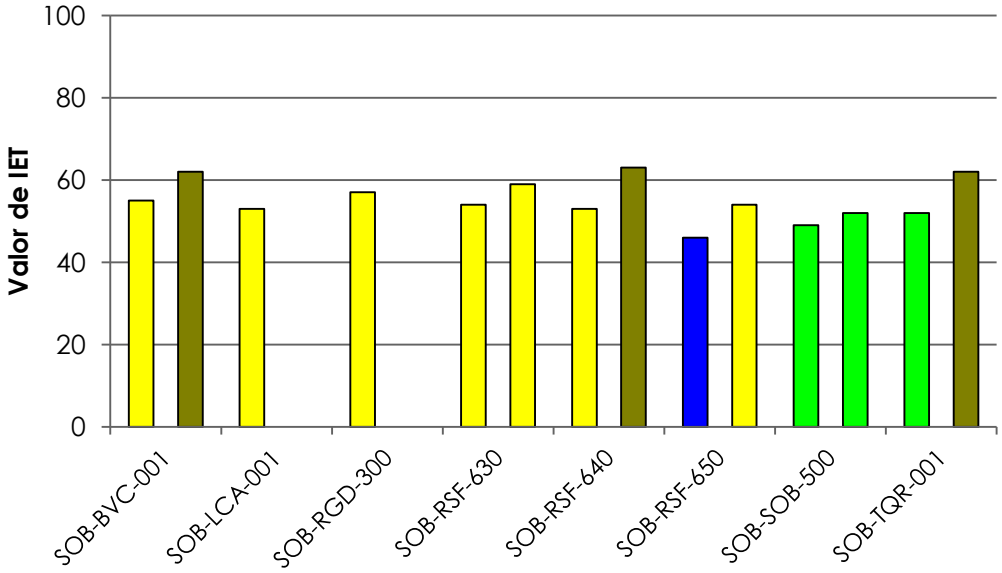


Figura 114. Classificações de IET na RPGA do Lago Sobradinho em 2020.

Quadro de referência para as classificações de IET.

Ultraoligotrófico	Oligotrófico	Mesotrófico	Eutrófico	Supereutrófico	Hipereutrófico
IET≤47	47 <IET≤52	52<IET≤59	59<IET≤63	63<IET≤67	IET>67

Já os resultados para o IET, indicam que a maioria dos corpos hídricos monitorados nesta RPGA apresenta nível de trofia classificado entre "Ultraoligotrófico" e "Mesotrófico", indicando baixo a moderado enriquecimento de nutrientes (Figura 114). Apenas os pontos SOB-BVC-001, SOB-RSF-640 e SOB-TQR-001 apresentaram elevado nível de trofia, sendo classificados como "Eutrófico" em pelo menos uma das campanhas de amostragem.

Em síntese, a RPGA do Lago Sobradinho apresentou qualidade da água satisfatória para a maioria dos pontos. Com base no IQA, todos os pontos apresentaram qualidade da água classificada entre "Regular" e "Ótima". Em relação ao IET, a maioria dos trechos monitorados nos corpos hídricos desta RPGA apresentou níveis de trofia classificados como "Mesotrófico" em quase todas as campanhas realizadas. Embora esta RPGA tenha apresentado poucas violações dos padrões estabelecidos pela Resolução Conama nº 357/05, foram identificadas elevadas concentrações de coliformes termotolerantes para a maioria dos pontos, o que pode indicar a influência antrópica na qualidade ambiental sobre esses recursos hídricos.

4.6 RPGA DOS RIOS PARAMIRIM E SANTO ONOFRE

4.6.1 CARACTERÍSTICAS DA RPGA

A RPGA dos Rios Paramirim e Santo Onofre é composta pelas sub-bacias dos Rios Paramirim e Santo Onofre e de pequenos afluentes estaduais da margem direita do Rio São Francisco, limitadas a leste com as RPGA dos Rios Verde e Jacaré, RPGA do Rio Paraguaçu e RPGA do Rio de Contas, a sudoeste com a RPGA do Rio Carnaíba de Dentro, a oeste com a RPGA do Rio Grande, e ao norte com a RPGA do Lago Sobradinho.

Esta RPGA, ao longo de 2020, teve a qualidade de suas águas superficiais monitorada por meio de nove pontos de amostragens, distribuídos conforme ilustra a Figura 115. A descrição da localização dos pontos, a data de coleta e o registro fotográfico realizado nas duas campanhas são apresentados no Quadro 26.

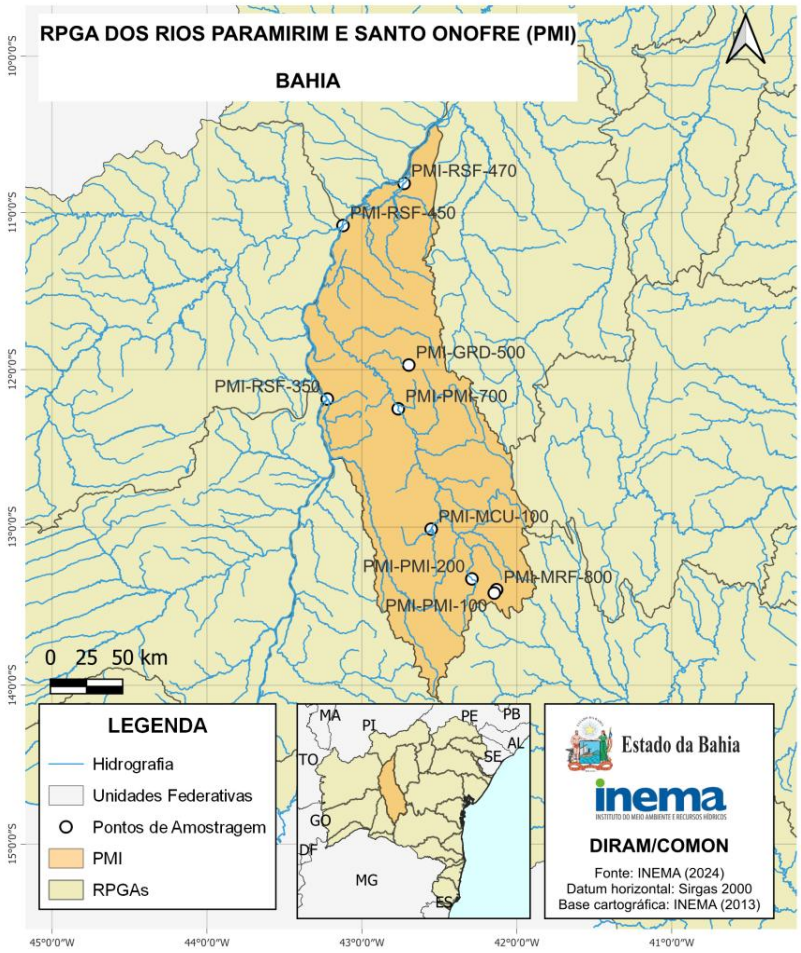


Figura 115. Mapa da distribuição da rede amostral na RPGA Rios Paramirim e Santo Onofre, Bahia.

Quadro 26. Caracterização geral dos pontos de amostragem da RPGA dos Rios Paramirim e Santo Onofre, Bahia.

Código Coordenadas geográficas (SIRGAS 2000)	Corpo hídrico Município	Local de amostragem	Data da coleta	Registro fotográfico
PMI-GRD-500 11°58'15,7" (S) 42°41'47,3" (W)	Riacho Grande Brotas de Macaúbas	Trecho intermediário da nascente do Riacho Grande, no município de Brotas de Macaúbas. O local de acesso até a nascente se dá somente por propriedade particular onde funciona um alambique caseiro.	1ª campanha: Não realizada 2ª campanha: Não realizada 3ª campanha: 07/12/2020 (Sem acesso)	Sem acesso.
PMI-MCU-100 13°0'46,30" (S) 42°33'6,20" (W)	Açude Macaúbas Macaúbas	Cerca de 15 km da sede de Macaúbas, na Rua Escritório, entrar na estrada com a identificação AÇUDE. Próximo a Barragem no Açude.	1ª campanha: 04/02/2020 (Ponto seco) 2ª campanha: Não realizada 3ª campanha: 10/11/2020	

PMI-MRF-800 13°23'47,14 (S) 42°7'46,65" (W)	Rio Morro do Fogo Érico Cardoso	Situado no rio Morro do Fogo, na localidade de mesmo nome, no município de Érico Cardoso.	1ª campanha: 04/02/2020 2ª campanha: Não realizada 3ª campanha: 10/11/2020	
PMI-PMI-100 13°25'4" (S) 42°8'40" (W)	Rio Paramirim Érico Cardoso	Partindo de Érico Cardoso, sentido a cidade de Paramirim, percorre uma distância de 412 metros pela BR-122, virando no sentido da direita e percorre por mais 182 metros até o ponto de coleta.	1ª campanha: 04/02/2020 2ª campanha: Não realizada 3ª campanha: 10/11/2020	
PMI-PMI-200 13°19'40,8" (S) 42°17'20,4" (W)	Rio Paramirim Caturama	No município de Caturama, próximo do trecho da BA-152, a montante do entroncamento com a com a BA-571 sentido Botuporã-Caturama.	1ª campanha: 04/02/2020 2ª campanha: Não realizada 3ª campanha: 10/11/2020	

PMI-PMI-700 12°14'57,73" (S) 42°45'51,55" (W)	Rio Paramirim Oliveira dos Brejinhos	Rio Paramirim, ponte na BR-242, no município de Oliveiras dos Brejinhos, coincidindo com a estação fluviométrica da ANA.	1ª campanha: Não realizada 2ª campanha: Não realizada 3ª campanha: 07/12/2020	
PMI-RSF-350 12°11'13,90" (S) 43°13'21,50" (W)	Rio São Francisco Ibotirama	Na nova captação de água para abastecimento público do município.	1ª campanha: Não realizada 2ª campanha: Não realizada 3ª campanha: 07/12/2020	
PMI-RSF-450 11°4'55,60" (S) 43°7'15,90" (W)	Rio São Francisco Xique-Xique	Na travessia da sob o rio São Francisco de Xique-Xique/ Barra, após término da BA-161.	1ª campanha: 21/02/2020 2ª campanha: Não realizada 3ª campanha: 17/12/2020	

PMI-RSF-470 10°48'48,00" (S) 42°43'36,20" (W)	Rio São Francisco Xique-Xique	Rio São Francisco, captação de água para o abastecimento público do município de Xique-Xique.	1ª campanha: 20/02/2020 2ª campanha: Não realizada 3ª campanha: 16/12/2020	

4.6.2 RESULTADOS E DISCUSSÃO

Devido à baixa concentração de sais, todos os pontos da RPGA dos Rios Paramirim e Santo Onofre amostrados em 2020 foram classificados conforme Resolução Conama nº 357 de 2005, como Água Doce - Classe 2. Neste ano, apenas o ponto PMI-GRD-500, localizado no Riacho Grande não foi amostrado, devido à impossibilidade de acesso ao ponto de amostragem.

Em 2020, foram realizadas 13 amostragens nos corpos hídricos situados na RPGA dos Rios Paramirim e Santo Onofre. Os resultados das análises indicaram violações dos limites estabelecidos pela Resolução Conama nº 357 de 2005 para os parâmetros oxigênio dissolvido (23%), clorofila a (15%), fósforo total (15%), turbidez (15%), DBO (8%) e nitrogênio amoniacal (8%).

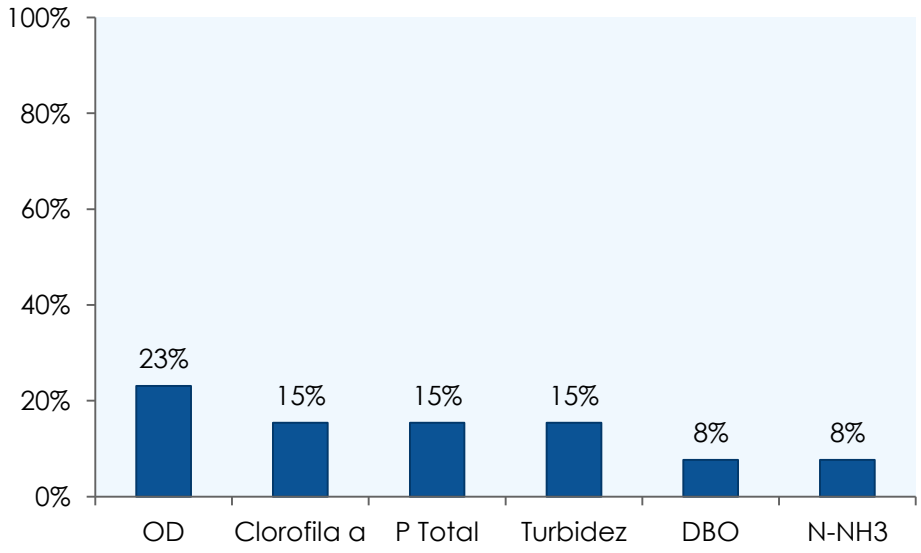


Figura 116. Frequência relativa (%) de violações para a RPGA dos Rios Paramirim e Santo Onofre em 2020.

Dentre os pontos amostrados, apenas os pontos PMI-MRF-800 (Rio Morro do Fogo), PMI-PMI-700 (Rio Paramirim) e PMI-RSF-350 (Rio São Francisco) não apresentaram desconformidade para nenhum dos parâmetros analisados. A única amostragem realizada no açude Macaúbas (PMI-MCU-100) apresentou concentração de 38,7 µg/L para clorofila a, estando acima do limite estabelecido pela legislação (≤ 30

µg/L). No rio Paramirim, o trecho situado mais próximo a foz (PMI-PMI-100) apresentou desconformidade para o parâmetro turbidez, enquanto o trecho referente ao ponto PMI-PMI-200 apresentou desconformidades para os parâmetros clorofila a, oxigênio dissolvido e fósforo total. Vale destacar que este trecho apresentou violação para oxigênio dissolvido e fósforo total para ambas as amostragens realizadas, indicando o processo de enriquecimento de nutrientes. Os pontos situados ao longo no rio São Francisco (PMI-RSF-450 e PMI-RSF-470) apresentaram violações para os parâmetros oxigênio dissolvido, DBO e turbidez ao longo das campanhas de 2020.

A Resolução Conama 357/05 referencia que o limite da concentração de coliformes termotolerantes não exceda 1.000 coliformes por 100 mililitros em 80% ou mais de pelo menos seis amostras coletadas durante o período de um ano, com frequência bimestral tanto para águas doces quanto para salobras. Utilizando este valor como referência, nota-se que mais da metade das amostras dos pontos realizadas neste ano para esta RPGA apresentaram concentrações de coliformes acima de 1000 NMP/100ml. As maiores concentrações foram identificadas no açude Macaúbas (PMI-MCU-100) e no trecho do rio São Francisco (PMI-RSF-350), apresentando concentração igual ou superior a 16000 NMP/100ml.

As Figuras 117 e 118 apresentam as classificações de IQA e IET obtidas para a RPGA dos Rios Paramirim e Santo Onofre em 2020.

Os resultados obtidos para o IQA para a RPGA dos Rios Paramirim e Santo Onofre indicam que todos os corpos hídricos demonstram qualidade ambiental satisfatória, apresentando índices classificados entre "Regular" e "Bom". Vale destacar que apenas a amostragem realizada no rio Paramirim no ponto PMI-PMI-200 situado no município de Caturama foi classificada como "Regular" na primeira campanha de 2020.

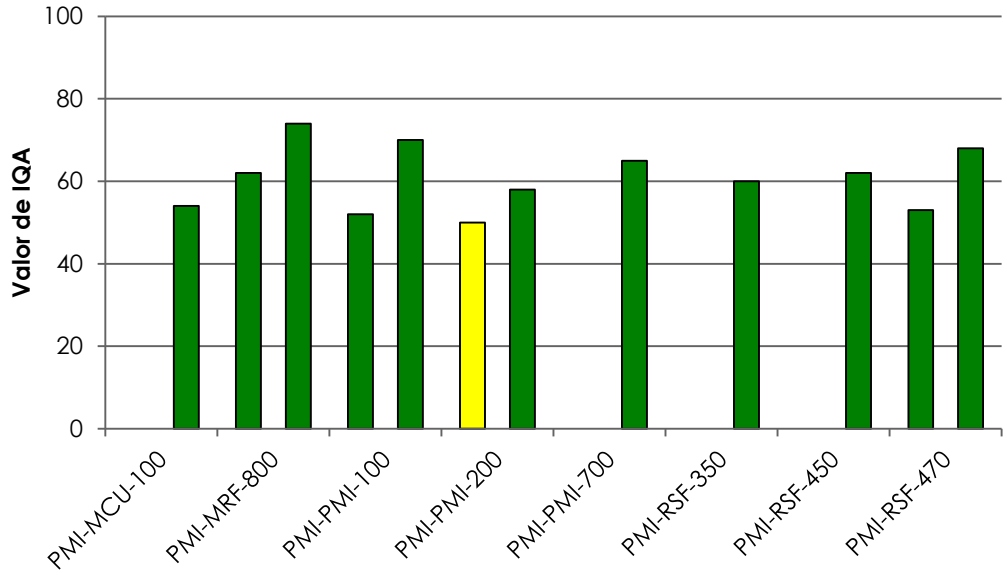


Figura 117. Classificações de IQA na RPGA dos Rios Panamirim e Santo Onofre em 2020.

Quadro de referência para as classificações de IQA.

Ótimo	Bom	Regular	Ruim	Péssimo
79 < IQA ≤ 100	51 < IQA ≤ 79	36 < IQA ≤ 51	19 < IQA ≤ 36	IQA ≤ 19

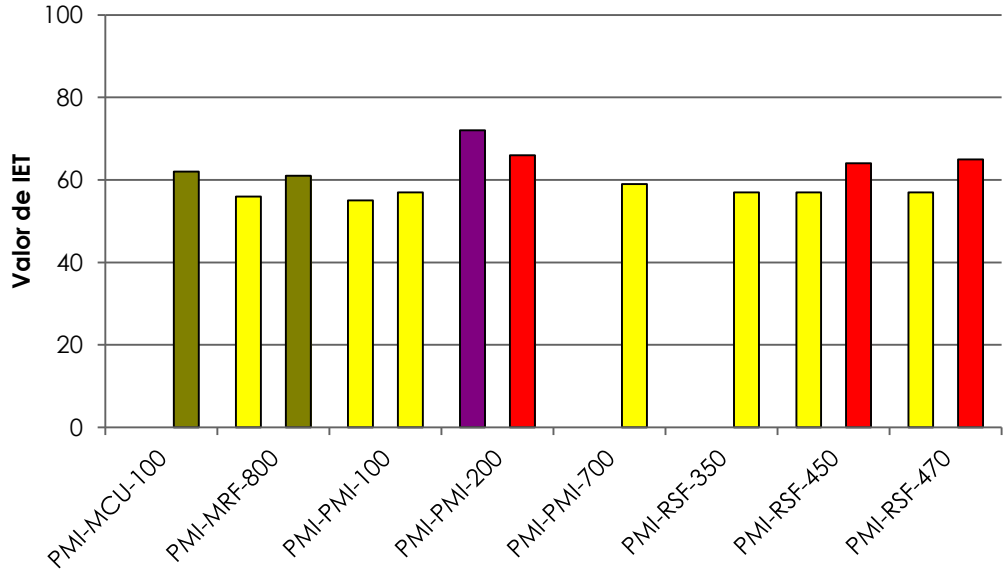


Figura 118. Classificações de IET na RPGA dos Rios Panamirim e Santo Onofre em 2020.

Quadro de referência para as classificações de IET.

Ultraoligotrófico	Oligotrófico	Mesotrófico	Eutrófico	Supereutrófico	Hipereutrófico
IET≤47	47 <IET≤52	52<IET≤59	59<IET≤63	63<IET≤67	IET>67

Em relação ao IET, os trechos dos corpos hídricos monitorados nesta RPGA apresentaram moderado a elevado nível de trofia, com classificações entre "Mesotrófico" e "Hipereutrófico". O maior grau de trofia foi observado em uma das amostragens realizadas no trecho do rio Paramirim referente ao ponto PMI-PMI-200, sendo classificado como "Hipereutrófico". Os pontos no açude Macaúbas, rio Morro do Fogo e trechos do rio São Francisco também apresentaram elevados níveis de trofia, sendo classificados como "Eutrófico" ou "Supereutrófico".

Em síntese, a RPGA dos Rios Paramirim e Santo Onofre apresentou águas com boas condições ambientais para todos os pontos monitorados, com base no IQA, embora tenha apresentado violações dos limites estabelecidos pela legislação para OD, clorofila a, DBO, fósforo total e turbidez. Por outro lado, parte dos pontos indicou estado trófico mais elevado mostrando a possível interferência de ações antropogênicas nestes corpos hídricos. Tais interferências podem ser evidenciadas pelo número de amostragens com elevadas concentrações de coliformes termotolerantes.

4.7 RPGA DO RIO GRANDE

4.7.1 CARACTERÍSTICAS DA RPGA

A RPGA do Rio Grande é Constituída pela sub-bacia do Rio Grande, limitada a leste com as RPGA dos Rios Paramirim e Santo Onofre e ao sul com a RPGA do Rio Corrente e Riachos do Ramalho, Serra Dourada e Brejo Velho.

Esta RPGA teve, ao longo de 2020, a qualidade de suas águas superficiais monitorada por meio de 44 pontos de amostragens, distribuídos conforme ilustra a Figura 119. A descrição da localização dos pontos, a data de coleta e o registro fotográfico realizado nas campanhas são apresentados no Quadro 27.

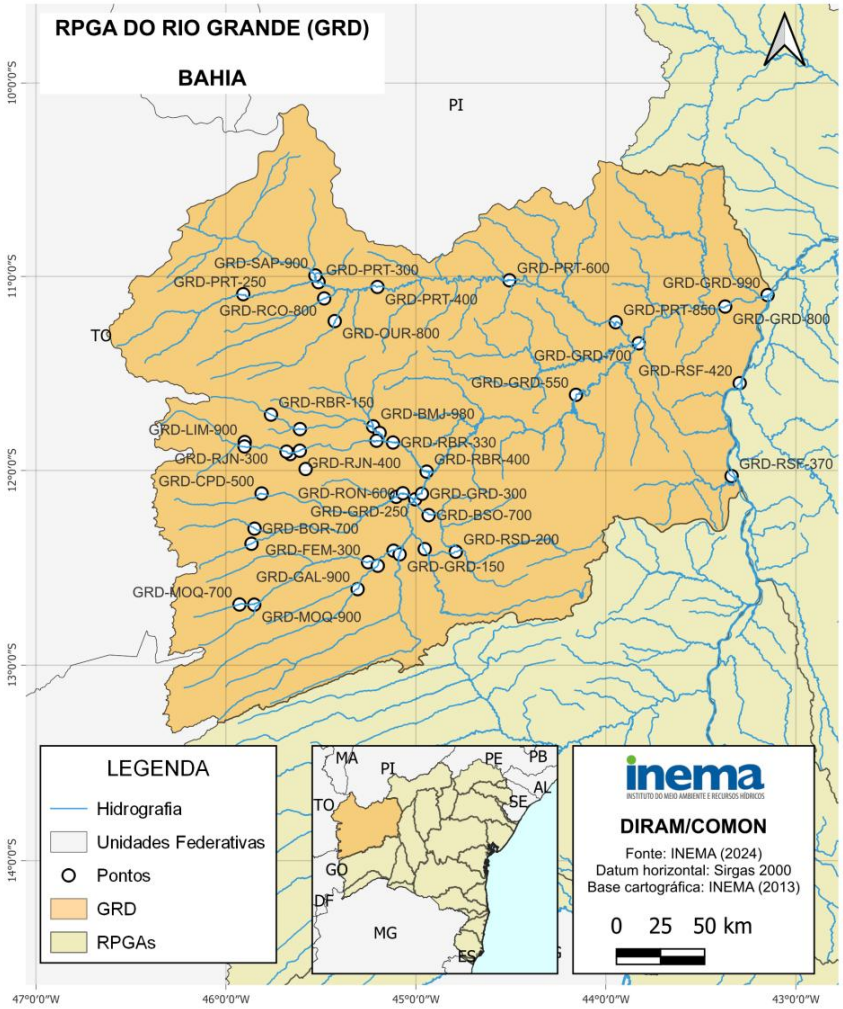
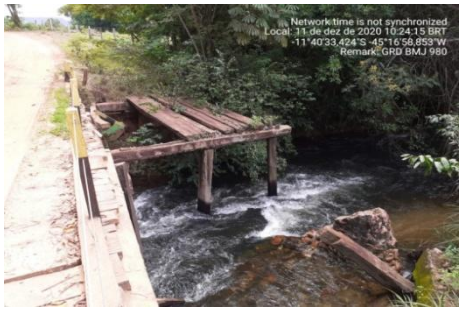


Figura 119. Mapa da distribuição da rede amostral da RPGA do Rio Grande, Bahia.

Quadro 27. Caracterização geral dos pontos de amostragem da RPGA do Rio Grande, Bahia.

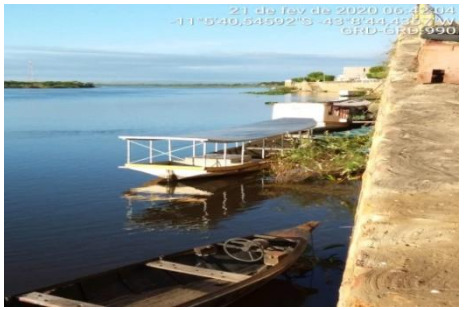
Código Coordenadas geográficas (SIRGAS 2000)	Corpo hídrico Município	Local de amostragem	Data da coleta	Registro fotográfico
GRD-BAL-990 11° 54' 56.9" 45° 39' 41"	Rio das Balsas Luís Eduardo Magalhães	Ponto localizado dentro da fazenda AGRONOL, acesso quase em frente a Bahia Farm Show, próximo a cidade de Luís Eduardo Magalhães.	1ª campanha: 18/03/2020 2ª campanha: Não realizada 3ª campanha: 10/12/2020	
GRD-BMJ-980 11° 46' 22" 45° 13' 29"	Rio Bom Jesus Riachão das Neves	Sob a ponte em estrada de terra sobre o rio Bom Jesus, próximo a Fazenda Lagoa Vermelha.	1ª campanha: Não realizada 2ª campanha: Não realizada 3ª campanha: 11/12/2020	

GRD-BOR-700 12°17'57,6" (S) 45°50'56,7" (W)	Rio Borá Luís Eduardo Magalhães	Sobre uma passagem manilhada no rio Borá na BR-020, próximo a estação de monitoramento fluviométrico do INEMA.	1ª campanha: 18/03/2020 2ª campanha: Não realizada 3ª campanha: 08/12/2020	
GRD-BSO-700 12°13'39" (S) 44°55'44" (W)	Rio da Boa Sorte Barreiras	Situado sob a ponte da BR-135/BA-455 sobre o rio da Boa Sorte, nas proximidades do Arraial da Penha no municipio de Barreiras.	1ª campanha: Não realizada 2ª campanha: Não realizada 3ª campanha: 09/12/2020	
GRD-CPD-500 12°07'06,4" (S) 45°48'42,7" (W)	Rio Cabeceira das Pedras Luís Eduardo Magalhães	Sob uma ponte na BR-020, sobre o Rio Cabeceira de Pedras. Ponto coincidente com estação fluviométrica GR-FR-12.	1ª campanha: 18/03/2020 2ª campanha: Não realizada 3ª campanha: 08/12/2020	

GRD-FEM-300 12° 28' 19" 45° 15' 05"	Rio das Fêmeas São Desidério	Situado no rio das Fêmeas, acesso pela BA-463 e depois estrada de terra até o ponto.	1ª campanha: Não realizada 2ª campanha: Não realizada 3ª campanha: 10/12/2020	
GRD-FEM-400 12°24'45,70" (S) 45°7'1,90" (W)	Rio das Fêmeas São Desidério	Localizado no povoado de Sítio do Rio Grande, 1ª estrada à direita da ponte sobre o Rio Grande, no restaurante Vale Verde. Ponto a montante da confluência do Rio das Fêmeas com o Rio Grande.	1ª campanha: Não realizada 2ª campanha: Não realizada 3ª campanha: 09/12/2020	
GRD-GAL-900 12°36'36" (S) 45°18'23" (W)	Rio Galheirão São Desidério	Ponto situado a montante da foz do rio da Pratinha no rio Galheirão ou Rio da Estiva. Proximidade com a BA-463.	1ª campanha: Não realizada 2ª campanha: Não realizada 3ª campanha: 10/12/2020	

GRD-GAL-980 12° 29' 24" 45° 12' 01"	Galheirão ou da Estiva São Desidério	Sob a ponte da BA-463 sobre o rio Galheirão no Povoado da Estiva, próximo a entrada para a PCH da Rieger Agro Pecuária Ltda.	1ª campanha: Não realizada 2ª campanha: Não realizada 3ª campanha: 10/12/2020	
GRD-GRD-150 12º25'52,99" (S) 45º5'6,99" (W)	Rio Grande São Desidério	Situado sob a ponte da Rua Duque de Caxias (estrada que dá acesso a BA-463) sobre o rio Grande no Povoado de Sítio Grande.	1ª campanha: Não realizada 2ª campanha: Não realizada 3ª campanha: 09/12/2020	
GRD-GRD-250 12º8'54,50" (S) 45º0'12,00" (W)	Rio Grande Barreiras	Sob a ponte no centro da cidade de Barreiras.	1ª campanha: Não realizada 2ª campanha: Não realizada 3ª campanha: 08/12/2020	

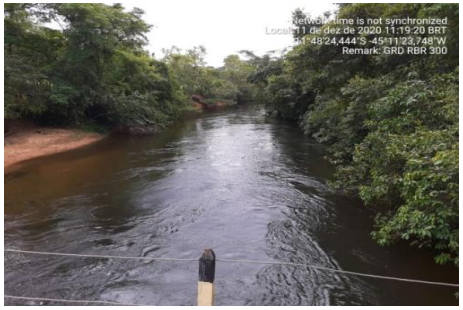
GRD-GRD-300 12°7'11,60" (S) 44°58'4,70" (W)	Rio Grande Barreiras	Ponto a jusante do município de Barreiras, local conhecido como porto de lavagem de brita.	1ª campanha: Não realizada 2ª campanha: Não realizada 3ª campanha: 08/12/2020	
GRD-GRD-550 11°36'38" (S) 44°9'24" (W)	Rio Grande Cotegipe	Situado no rio Grande, no Povoado da Macambira no municipio de Cotegipe. Acesso pela BA-449.	1ª campanha: Não realizada 2ª campanha: Não realizada 3ª campanha: 08/12/2020	
GRD-GRD-700 11°20'42,50" (S) 43°49'34,60" (W)	Rio Grande Barra	Ponto localizado na BA-225. Coincide com a estação da ANA nº 46902000.	1ª campanha: 21/02/2020 2ª campanha: Não realizada 3ª campanha: Não realizada	

GRD-GRD-800 11°9'19,10" (S) 43°22'16,80" (W)	Rio Grande Barra	Município de Barra no povoado de Estreito, sob a ponte na BA-443.	1ª campanha: 21/02/2020 2ª campanha: Não realizada 3ª campanha: 17/12/2020	
GRD-GRD-990 11°05'46,3" (S) 43°08'52,8" (W)	Rio Grande Barra	Na foz do Rio Grande antes do encontro com o Rio São Francisco.	1ª campanha: 21/02/2020 2ª campanha: Não realizada 3ª campanha: 17/12/2020	
GRD-LIM-900 11° 51' 13" (S) 45° 54' 03" (W)	Rio Limpo Barreiras	Entrar na estrada do Café e percorrer 28km, virar a esquerda até a sede da Fazenda Bela Vista.	1ª campanha: 19/03/2020 2ª campanha: Não realizada 3ª campanha: 10/12/2020	

GRD-MOQ-700 12° 41' 20" (S) 45° 55' 42" (W)	Rio do Mosquito São Desidério	Sob ponte da BR-020 sobre o rio do Mosquito ou Pau d'óleo, próximo ao povoado de Roda Velha.	1ª campanha: Não realizada 2ª campanha: Não realizada 3ª campanha: 09/12/2020	
GRD-MOQ-900 12° 41' 22.9" (S) 45° 51' 2.9" (W)	Rio do Mosquito São Desidério	Sob ponte de uma estrada de terra sobre o rio do Mosquito ou Pau d'óleo, próximo ao povoado de Roda Velha.	1ª campanha: Não realizada 2ª campanha: Não realizada 3ª campanha: 09/12/2020	
GRD-OUR-800 11°13'49,24" (S) 45°25'37,06" (W)	Rio do Ouro Formosa do Rio Preto	Ponto situado no rio do Ouro, um afluente do rio Preto.	1ª campanha: Não realizada 2ª campanha: Não realizada 3ª campanha: Não realizada	Sem foto.

GRD-PAG-600 11°59'33" (S) 45°34'48" (W)	Rio Ponta D'Água Barreiras	A partir da cidade de Barreiras, seguir na BR 242, sentido Luis Eduardo Magalhães. Antes do Posto Cerradão, entrar à direita na estrada para a cachoeira do Acaba Vida, conhecida com Anel da Soja, seguir até a ponte sob o rio Ponta D´água.	1ª campanha: 18/03/2020 2ª campanha: Não realizada 3ª campanha: 09/12/2020	
GRD-PRT-250 11°05'29,04" (S) 45°54'30,96" (W)	Rio Preto Formosa do Rio Preto	Sob a ponte localizada em estrada de terra, a cerca de 50 km depois do povoado de São Marcelo. Há régua da ANA neste ponto de coleta.	1ª campanha: Não realizada 2ª campanha: Não realizada 3ª campanha: Não realizada	Sem foto.
GRD-PRT-300 11°01'46,04" (S) 45°30'43,09" (W)	Rio Preto Formosa do Rio Preto	O ponto localiza-se no povoado de São Marcelo, que está inserido na APA Rio Preto, a 40 km do entroncamento com a BR-135. Este ponto está locado a jusante da ponte da estrada vicinal e reflete a contribuição das águas do Rio Sapão e do próprio Rio Preto.	1ª campanha: Não realizada 2ª campanha: Não realizada 3ª campanha: Não realizada	Sem foto.

GRD-PRT-400 11°03'15,0" (S) 45°12'07,1" (W)	Rio Preto Formosa do Rio Preto	Ponto inserido na APA Rio Preto, sob a ponte da BR-135. Em sua margem direita, há a presença de um balneário, onde pessoas utilizam o rio para lazer, bem como para lavagem de automóveis.	1ª campanha: Não realizada 2ª campanha: Não realizada 3ª campanha: Não realizada	Sem foto.
GRD-PRT-600 11°01'10,8" (S) 44°30'25,3" (W)	Rio Preto Santa Rita de Cássia	Localizado no Rio Preto, sob a ponte da rodovia BA-225, a 1 km da cidade de Santa Rita de Cássia, sentido o entroncamento da BR-135.	1ª campanha: Não realizada 2ª campanha: Não realizada 3ª campanha: Não realizada	Sem foto.
GRD-PRT-850 11°14'11,10" (S) 43°56'50,90" (W)	Rio Preto Mansidão	No Rio Preto, na BA-225. Coincide com a estação da ANA nº 46870000.	1ª campanha: 21/02/2020 2ª campanha: Não realizada 3ª campanha: Não realizada	

GRD-RBR-150 11° 42' 45" (S) 45° 45' 45" (W)	Rio Branco Barreiras	Localizado no Rio Branco, em área da fazenda Cassol, com acesso pela BA-459 (Anel da Soja).	1ª campanha: 19/03/2020 2ª campanha: Não realizada 3ª campanha: 09/12/2020	
GRD-RBR-200 11°47'13,5" (S) 45°36'35,7" (W)	Rio Branco Barreiras	Ponto localizado sob uma ponte na BA-458, região de Luís Eduardo Magalhães.	1ª campanha: 18/03/2020 2ª campanha: Não realizada 3ª campanha: 09/12/2020	
GRD-RBR-300 11° 48' 24.9" 45° 11' 26"	Rio Branco Barreiras	Situado no Rio Branco, próximo ao Povoado de Vau Novo, município de Riachão das Neves.	1ª campanha: Não realizada 2ª campanha: Não realizada 3ª campanha: 11/12/2020	

GRD-RBR-330 11°51'16,99" (S) 45°7'17,99" (W)	Rio Branco Riachão das Neves	Situado no rio Branco, próximo ao Povoado de Vau Novo, municipio de Riachão das Neves. Acesso pela BA-827	1ª campanha: Não realizada 2ª campanha: Não realizada 3ª campanha: 11/12/2020	
GRD-RBR-400 12°0'22,30 (S) 44°56'34,40" (W)	Rio Branco Riachão das Neves	Na ponte da BR-135, no trecho entre Barreiras e Riachão das Neves, a jusante da confluência com o Rio de Janeiro.	1ª campanha: Não realizada 2ª campanha: Não realizada 3ª campanha: 10/12/2020	
GRD-RCO-800 11°06'47,3" (S) 45°28'56,7" (W)	Rio Riachão Formosa do Rio Preto	Na Fazenda Cachoeira do Estrondo.	1ª campanha: Não realizada 2ª campanha: Não realizada 3ª campanha: Não realizada	Sem foto.

GRD-RJN-300 11° 52' 23" (S) 45° 54' 07" (W)	Rio de Janeiro Luís Eduardo Magalhães	Entrar na Estrada do Café e percorrer 28km, virar a esquerda até a sede da Fazenda Bela Vista.	1ª campanha: 19/03/2020 2ª campanha: Não realizada 3ª campanha: 10/12/2020	
GRD-RJN-380 11° 54' 12" (S) 45° 40' 50" (W)	Rio de Janeiro Luís Eduardo Magalhães	Entrar na Estrada do Café e percorrer 4km. Entrar na primeira esquerda após a entrada da Fazenda Palmares SLC Agrícola.	1ª campanha: 18/03/2020 2ª campanha: Não realizada 3ª campanha: 10/12/2020	
GRD-RJN-400 11°53'54,20" (S) 45°36'38,10" (W)	Rio de Janeiro Barreiras	Trecho entre Barreiras e Luís Eduardo Magalhães, 25 km antes da cidade de Luís Eduardo Magalhães, na 2ª ponte da estrada BA-458 (conhecida como anel da soja).	1ª campanha: 18/03/2020 2ª campanha: Não realizada 3ª campanha: 09/12/2020	

GRD-RJN-900 11° 50' 48.9" 45° 12' 24.9"	Rio de Janeiro Barreiras	Situado sob ponte em estrada de terra (BA-827) sobre o rio de Janeiro no povoado de Val de Teiú, próximo a Escola Municipal Antônio Machado, município de Barreiras.	1ª campanha: Não realizada 2ª campanha: Não realizada 3ª campanha: 11/12/2020	
GRD-RON-100 12°22'36,8" (S) 45°51'54,1" (W)	Rio das Ondas Luís Eduardo Magalhães	Nas proximidades de um balneário. No local o INEMA possui uma estação de monitoramento fluviométrico.	1ª campanha: 18/03/2020 2ª campanha: Não realizada 3ª campanha: 08/12/2020	
GRD-RON-550 12°8'10,99" (S) 45°6'23" (W)	Rio das Ondas Barreiras	Sob ponte de madeira em estrada de terra sobre o rio das Ondas, a jusante do Refrigel Clube. Acesso pela BR-020/Rodovia Brasília-Fortaleza.	1ª campanha: Não realizada 2ª campanha: Não realizada 3ª campanha: 09/12/2020	

GRD-RON-600 12°7'02,00" (S) 45°4'5,20" (W)	Rio das Ondas Barreiras	Na captação de água para o abastecimento urbano do município de Barreiras.	1ª campanha: Não realizada 2ª campanha: Não realizada 3ª campanha: 09/12/2020	
GRD-RSD-200 12°25'3,92" (S) 44°47'21,46" (W)	Rio São Desidério São Desidério	Ponto localizado sob a ponte da BR-135. Sair da cidade de São Desidério e seguir 23 km pela BR-135 (trecho da rodovia não pavimentado) no sentido a cidade de Correntina.	1ª campanha: Não realizada 2ª campanha: Não realizada 3ª campanha: 09/12/2020	
GRD-RSD-650 12°24'16,99" (S) 44°57'16,99" (W)	Rio São Desidério São Desidério	Localizado sob ponte de madeira sobre o rio São Desidério, na proximidade da Fazenda Coqueiro.	1ª campanha: Não realizada 2ª campanha: Não realizada 3ª campanha: 09/12/2020	

GRD-RSF-370 12°01'44,5" (S) 43°20'14,2" (W)	Rio São Francisco Muquém do São Francisco	Ponto situado no rio São Francisco com acesso pela BA-161 e depois estrada de terra.	1ª campanha: 21/02/2020 2ª campanha: Não realizada 3ª campanha: 17/12/2020	
GRD-RSF-420 11°33'02" (S) 43°17'41" (W)	Rio São Francisco Barra	Ponto situado no rio São Francisco em frente à Ilha Grande, defronte o município de Morpará.	1ª campanha: 21/02/2020 2ª campanha: Não realizada 3ª campanha: 17/12/2020	
GRD-SAP-900 10°59'40,4" (S) 45°31'42,6" (W)	Rio Sapão Formosa do Rio Preto	Na estação da ANA, acesso pela Fazenda Bonjaí.	1ª campanha: Não realizada 2ª campanha: Não realizada 3ª campanha: Não realizada	Sem foto.

4.21.2 RESULTADOS E DISCUSSÃO

Neste ano de monitoramento, devido à baixa concentração de sais, todos os pontos da malha amostral da RPGA do Rio Grande foram classificados, conforme Resolução Conama nº 357 de 2005, como Água Doce – Classe 2. Dos 44 pontos que compõem esta RPGA, 37 foram coletados em pelo menos uma das campanhas, resultando no total de 52 amostragens.

As amostragens realizadas em 2020, indicaram violações dos limites estabelecidos pela legislação em questão para os parâmetros pH (34%), oxigênio dissolvido (21%), fósforo total (4%), turbidez (4%) e clorofila (2%). Dos 37 pontos coletados, 19 não apresentaram desconformidades em nenhuma das campanhas realizadas. Os valores de pH obtidos que apresentaram desconformidades variaram entre 4,8 e 5,95, estando abaixo do limite estabelecido que determina valor entre 6 a 9 para águas doces.

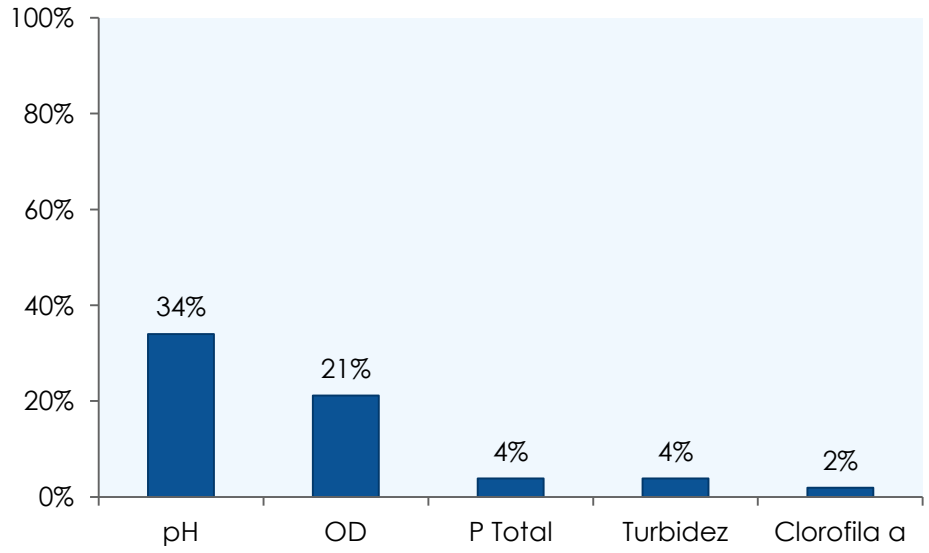


Figura 120. Frequência relativa (%) de violações para a RPGA do Rio Grande.

A Resolução Conama 357/05 estabelece que o limite da concentração de coliformes termotolerantes não exceda 1.000 coliformes termotolerantes por 100 mililitros em 80% ou mais de pelo menos seis amostras coletadas durante o período de um ano, com frequência bimestral tanto para águas doces quanto para salobras. Utilizando este valor como referência, observa-se que 15 das 52

amostragens realizadas em toda a RPGA apresentaram concentrações de coliformes termotolerantes acima de 1000 NMP/100ml. A maior concentração observada foi no trecho do rio São Francisco (GRD-RSF-370) situado no município de Muquém do São Francisco, que apresentou concentração superior ao limite de quantificação adotado pelo laboratório (>16000 NMP/100ml).

O rio Grande é monitorado por sete pontos de amostragem. Neste corpo hídrico foram registradas violações apenas para o parâmetro oxigênio dissolvido nos pontos GRD-GRD-800 e GRD-GRD-900 situados em seu trecho final. Além disso, foram observadas concentrações elevadas para coliformes termotolerantes nos pontos GRD-GRD-150, GRD-GRD-250 e GRD-GRD-300, localizados nas proximidades da área urbana do povoado de Sítio Grande em São Desidério e do município de Barreiras.

Dos cinco pontos de amostragem distribuídos ao longo do rio Preto no ano de 2020, foi realizada a amostragem apenas de um dos pontos, situado em seu trecho final (GRD-PRT-850). Este trecho não apresentou desconformidade para nenhum dos parâmetros analisados.

Atualmente o rio Branco é monitorado por meio de cinco pontos de amostragem entre os municípios de Barreiras e Riachão das Neves. Ao longo deste corpo hídrico foram observadas violações dos padrões para os parâmetros oxigênio dissolvido, pH, e clorofila *a*. As violações para pH ocorreram para os pontos mais próximo a nascente do Rio branco (GRD-RBR-150 e GRD-RBR-200), indicando que esse trecho possui água com característica mais ácida. Vale destacar que o trecho referente ao ponto GRD-RBR-400 não apresentou violação para nenhum dos parâmetros analisados.

O rio de Janeiro possui quatro pontos de amostragem situados entre os municípios de Luís Eduardo Magalhães e Barreiras. Ao longo deste rio, foram observadas desconformidades para os parâmetros oxigênio dissolvido e pH. Vale destacar que cinco das sete amostragens realizadas neste corpo hídrico apontam desconformidade para pH, indicando característica levemente ácida dessas águas, com valores de pH entre 4,93 e 5,74.

O rio das Ondas é monitorado através de três pontos de amostragem. Durante este ano de monitoramento foram observadas violações para os parâmetros oxigênio dissolvido e pH para o trecho situado mais próximo a foz referente ao ponto GRD-

RON-100. Na RPGA do Rio Grande, são monitorados dois trechos do rio São Francisco entre os municípios de Muquém de São Francisco e Barra. Esses trechos apresentaram violações para turbidez e oxigênio dissolvido.

As Figuras 121 a 126 apresentam as classificações de IQA e IET obtidas para a RPGA do Rio Grande em 2020.

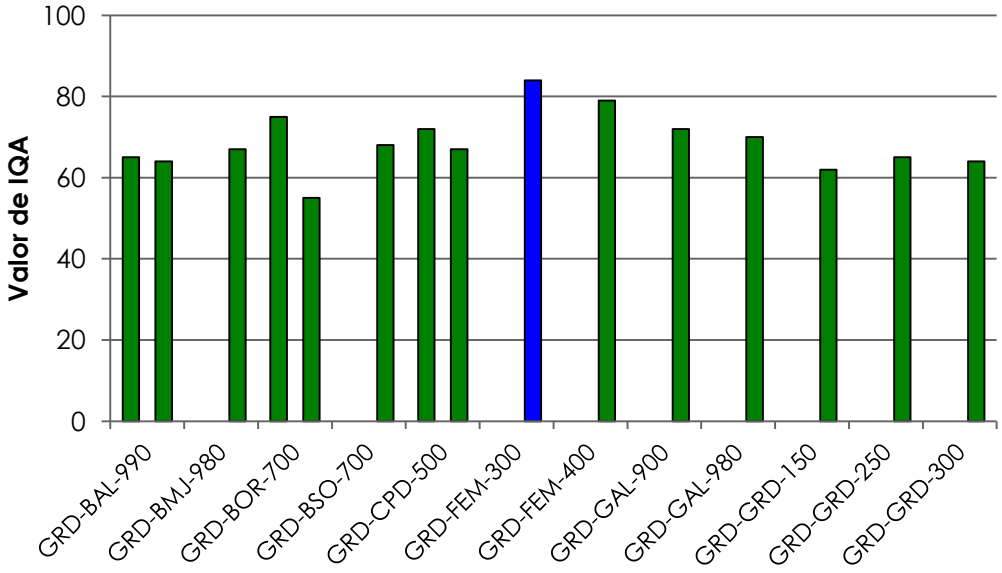


Figura 121. Classificações de IQA no RPGA do Rio Grande em 2020.(1)

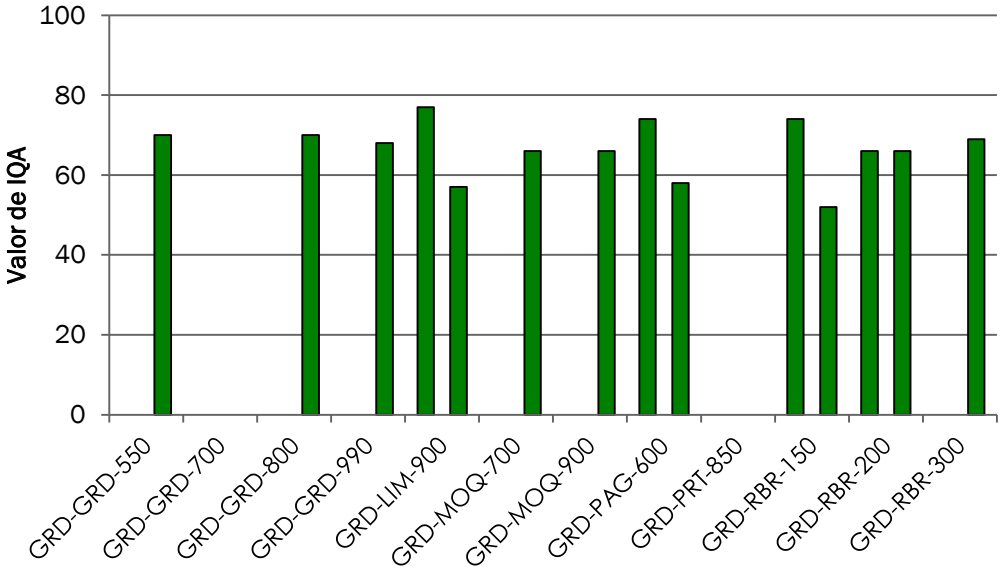


Figura 122. Classificações de IQA no RPGA do Rio Grande em 2020.(2)

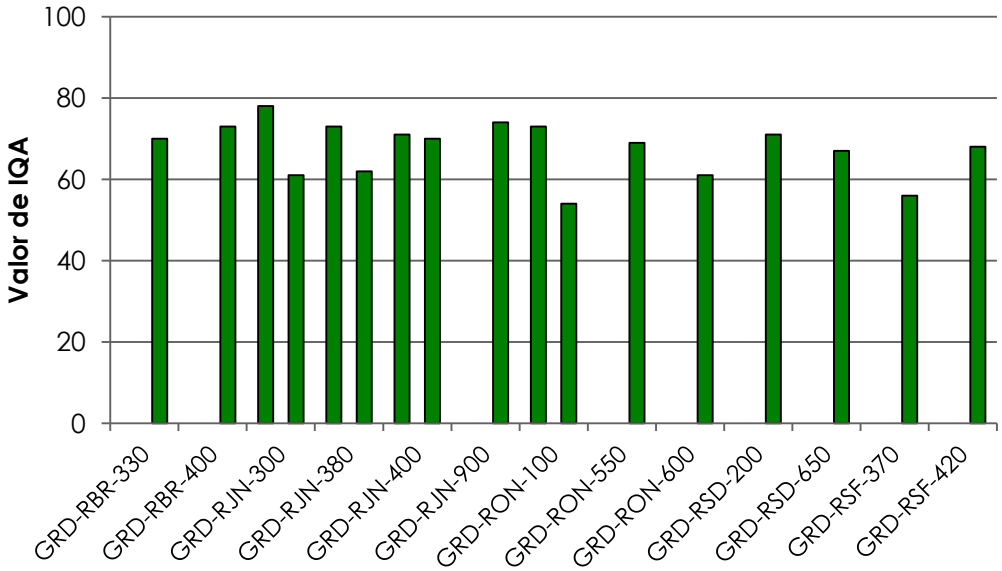


Figura 123. Classificações de IQA no RPGA do Rio Grande em 2020.(3)

Quadro de referência para as classificações de IQA.

Ótimo	Bom	Regular	Ruim	Péssimo
79 < IQA ≤ 100	51 < IQA ≤ 79	36 < IQA ≤ 51	19 < IQA ≤ 36	IQA ≤ 19

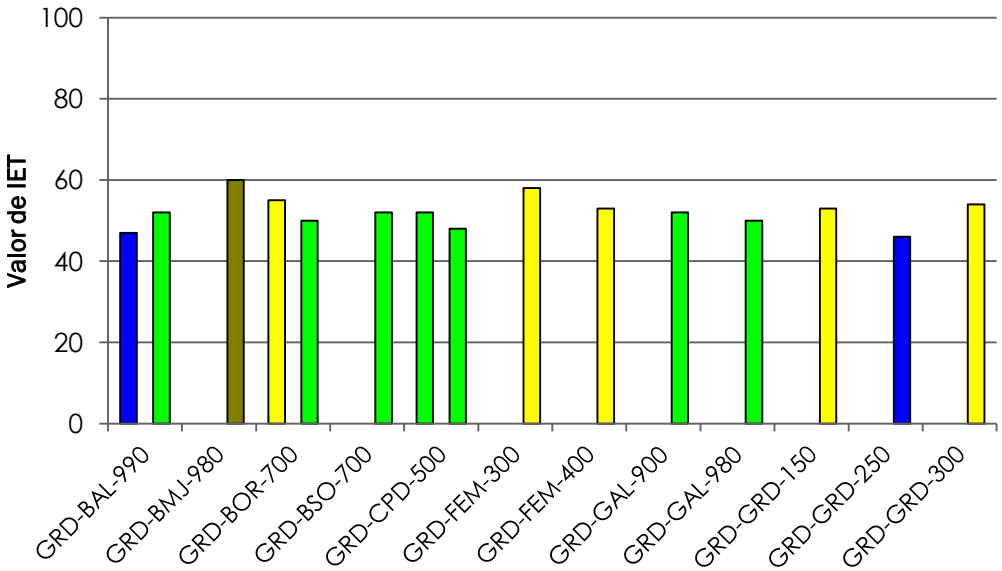


Figura 124. Classificações de IET no RPGA do Rio Grande em 2020.(1)

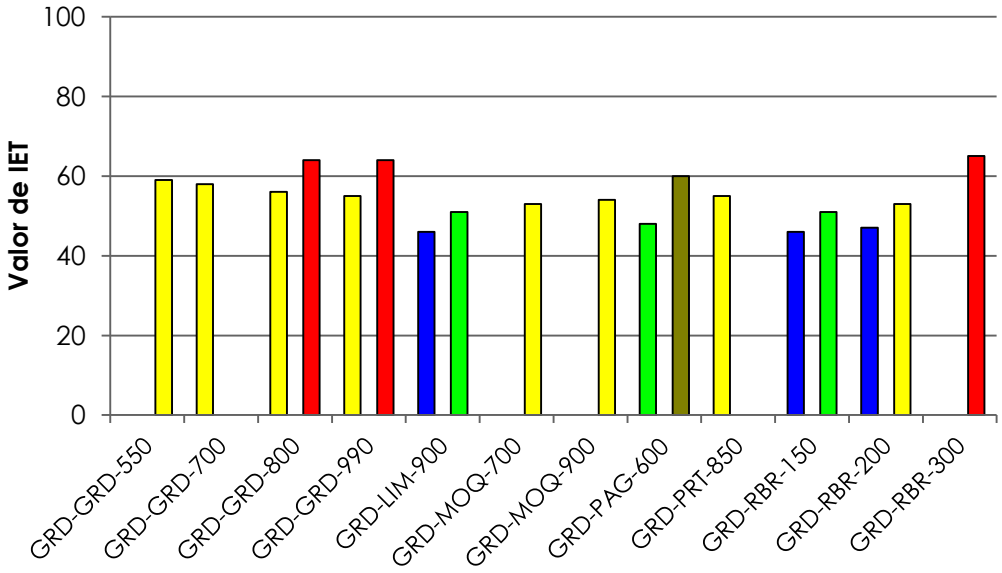


Figura 125. Classificações de IET no RPGA do Rio Grande em 2020.(2)

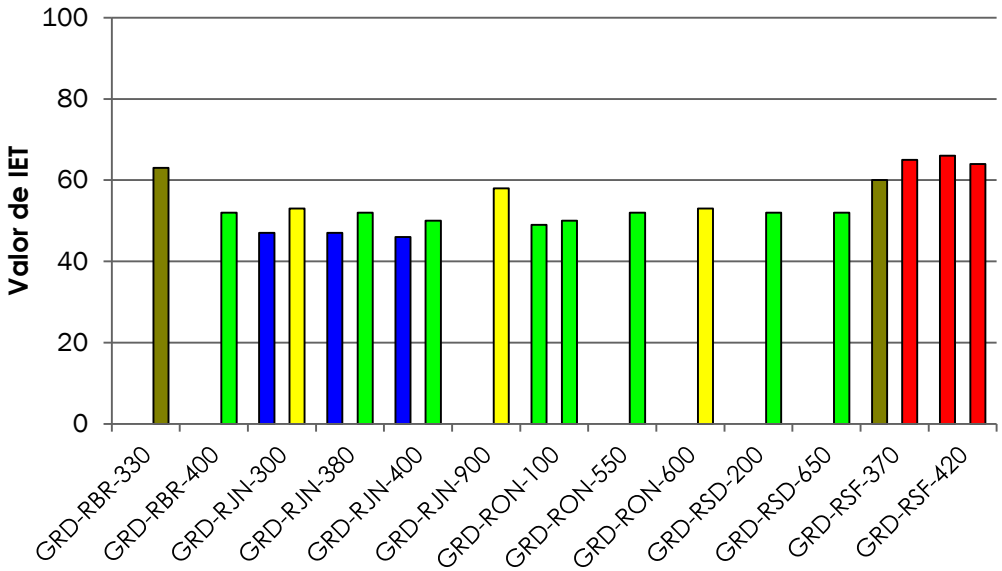


Figura 126. Classificações de IET no RPGA do Rio Grande em 2020.(3)

Quadro de referência para as classificações de IET.

Ultraoligotrófico	Oligotrófico	Mesotrófico	Eutrófico	Supereutrófico	Hipereutrófico
IET≤47	47 <IET≤52	52<IET≤59	59<IET≤63	63<IET≤67	IET>67

Com relação ao IQA, a maioria das amostragens nos pontos da RPGA do Rio Grande indicou qualidade da água classificada como "Boa", com exceção

apenas da amostragem realizada no ponto GRD-FEM-300 nos rio das Fêmeas que apresentou a classificação "Ótimo". Portanto, com base neste índice, observa-se que as águas da RPGA do Rio Grande apresentam condições ambientais satisfatórias para uso no abastecimento, por exemplo.

Em relação ao IET, a maioria dos pontos indicou nível de trofia classificado entre "Ultraoligotrófico" e "Mesotrófico", indicando baixo a moderado enriquecimento de nutrientes. Os demais trechos apresentaram elevado nível de trofia, sendo classificados entre "Eutrófico" e "Supereutrófico", sendo que os maiores níveis de trofia foram observados para os rios São Francisco (GRD-RSF-370, GRD-RSF-420), Branco (GRD-RBR-300) e Grande (GRD-GRD-800, GRD-GRD-900).

Em síntese, o resultado do monitoramento da RPGA do Rio Grande realizado neste ano de 2020, demonstrou que ocorreram poucas violações dos limites estabelecidos na Resolução Conama nº 357/05, sendo mais frequente a violação para o parâmetro oxigênio dissolvido (OD) e pH. Também foram observadas elevadas concentrações de coliformes termotolerantes, sobretudo para aqueles pontos situados próximos as áreas urbanas. No geral, o índice de qualidade das águas e estado trófico indicaram que a maioria dos pontos desta RPGA encontra-se em condições satisfatórias para a manutenção de seus usos múltiplos e de seus processos ecológicos.

4.8 RPGA DO RIO CARNAÍBA DE DENTRO

4.8.1 CARACTERÍSTICAS DA RPGA

A RPGA do Rio Carnaíba de Dentro é constituída pela sub-bacia de afluentes estaduais da margem direita do Rio São Francisco, limitadas a leste com as RPGA dos Rios Paramirim e Santo Onofre e RPGA Rio de Contas, ao sul com a RPGA do Rio Verde Grande, a oeste com a RPGA do Rio Corrente e Riachos do Ramalho, Serra Dourada e Brejo Velho, e a noroeste com a RPGA do Rio Grande.

Esta RPGA teve, ao longo de 2020, a qualidade de suas águas superficiais monitorada por meio de três pontos de amostragens, distribuídos conforme ilustra a Figura 127. A descrição da localização dos pontos, a data de coleta e o registro fotográfico realizado nas campanhas são apresentados no Quadro 28.

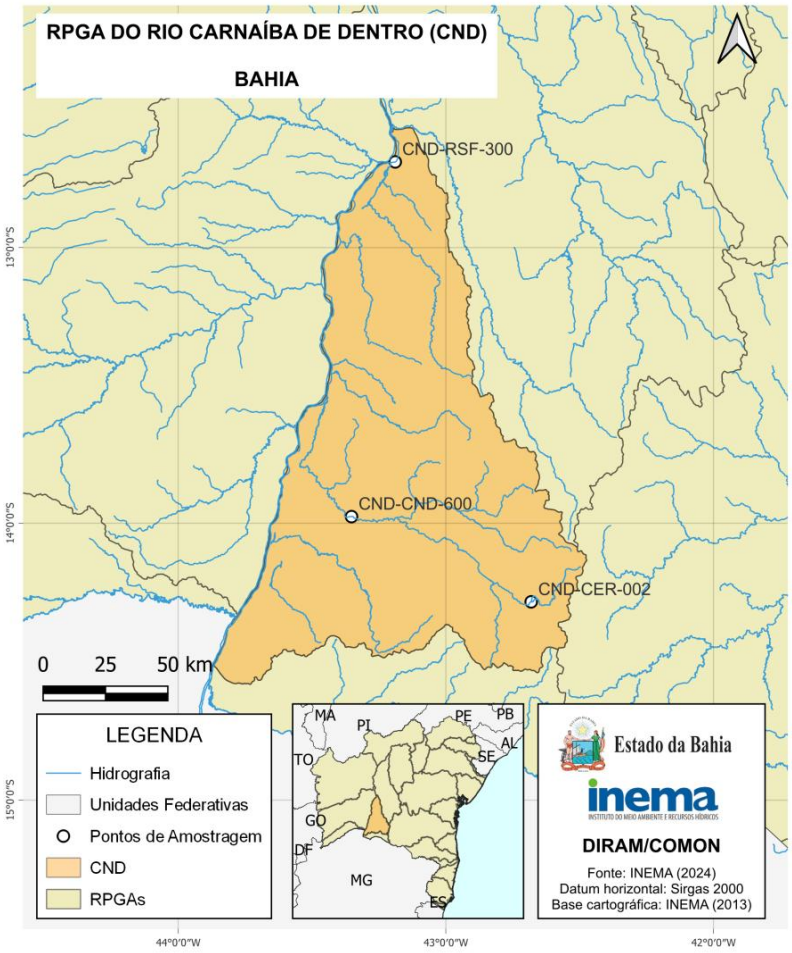


Figura 127. Mapa da distribuição da rede amostral na RPGA Rio Carnaíba de Dentro, Bahia.

Quadro 28. Caracterização geral dos pontos de amostragem da RPGA Carnaíba de Dentro, Bahia.

Código Coordenadas geográficas (SIRGAS 2000)	Corpo hídrico Município	Local de amostragem	Data da coleta	Registro fotográfico
CND-CER-002 14°17'40,00" (S) 42°40'50,00" (W)	Açude Ceraima Guanambi	Ponto localizado a 9,5 km da cidade de Guanambi e a jusante do distrito de Ceraima.	1ª campanha: 05/03/2020 2ª campanha: Não realizada 3ª campanha: Não realizada	
CND-CND-600 13°58'33,9" (S) 43°21'7,10" (W)	Rio Carnaíba de Dentro / Rio das Rãs Palmas de Monte Alto	No município de Palmas de Monte Alto, a aproximadamente 600 m do povoado de Passagem Funda.	1ª campanha: 05/03/2020 2ª campanha: Não realizada 3ª campanha: Não realizada	

CND-RSF-300 12°41'17,6" (S) 43°11'19,2" (W)	Rio São Francisco Paratinga	Ponto localizado na captação de água para abastecimento público – Serviço Autônomo de Água e Esgoto - SAAE de Paratinga.	1ª campanha: 12/02/2020 2ª campanha: Não realizada 3ª campanha: 19/11/2020	

4.8.2 RESULTADOS E DISCUSSÃO

Devido à baixa concentração de sais, todos os pontos de monitoramento desta RPGA foram classificados como Água Doce - Classe 2, conforme Resolução Conama nº 357/05.

Dos três pontos monitorados nesta RPGA, apenas o ponto CND-CER-002 situado no Açúde Ceraima no município de Guanambi, apresentou valores fora dos limites estabelecidos na Resolução Conama nº 357/07 em águas doces para o parâmetro oxigênio dissolvido, tendo resultado inferior a 5,0 mg/L. Os demais pontos, nas campanhas em que foram coletados, apresentaram resultados dentro do limite estabelecido para todos os parâmetros analisados.

As Figuras 128 e 129 mostram as freqüências das classes de IQA e IET de cada ponto de amostragem da RPGA do Rio Carnaíba de Dentro no ano de 2020. O número de campanhas em cada ponto varia, devido às diferentes datas de início de monitoramento e disponibilidade hídrica.

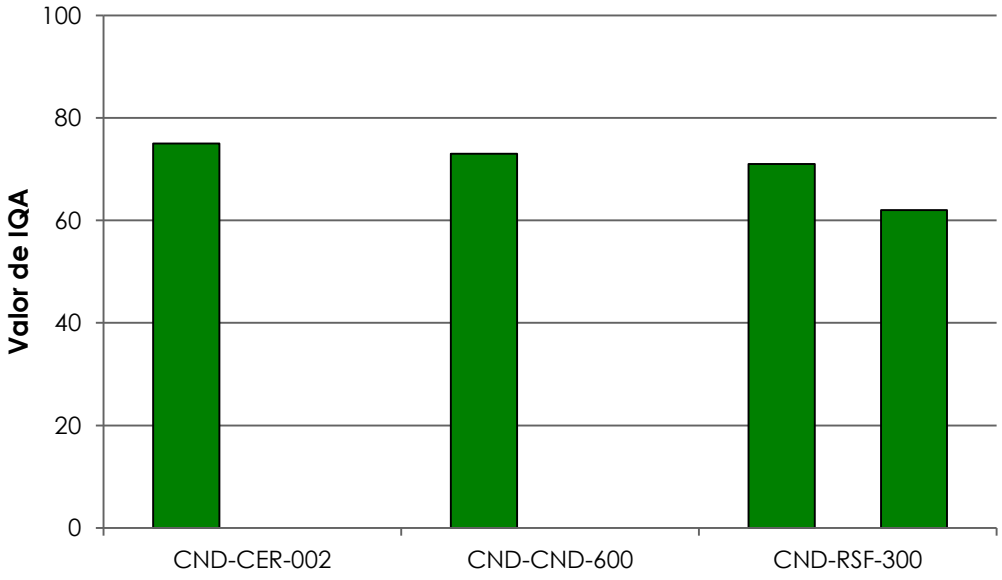


Figura 128. Variação de IQA para a RPGA do Rio de Carnaíba de Dentro em 2019.

Quadro de referência para as classificações de IQA.

Ótimo	Bom	Regular	Ruim	Péssimo
79 < IQA ≤ 100	51 < IQA ≤ 79	36 < IQA ≤ 51	19 < IQA ≤ 36	IQA ≤ 19

Em relação ao IQA, todos os pontos desta RPGA apresentaram qualidade da água classificada como "Boa". Já os valores obtidos para IET, indicaram classes entre "Oligotrófico" e "Supereutrófico" considerando todas as campanhas realizadas em todos os pontos de amostragem. O menor valor do índice IET foi observado para o ponto do Açude Ceraima (CND-CER-002), apontando nível de trofia classificado como "Oligotrófico", que significa baixo enriquecimento de nutrientes no trecho monitorado deste corpo hídrico. Por outro lado, o maior valor do índice IET foi obtido na primeira campanha de amostragem no trecho do Rio São Francisco (CND-RSF-300) que apresentou nível de trofia classificado como "Supereutrófico". Na campanha seguinte, este trecho apresentou redução do nível de trofia para "Mesotrófico", indicando redução do enriquecimento de nutrientes neste trecho.

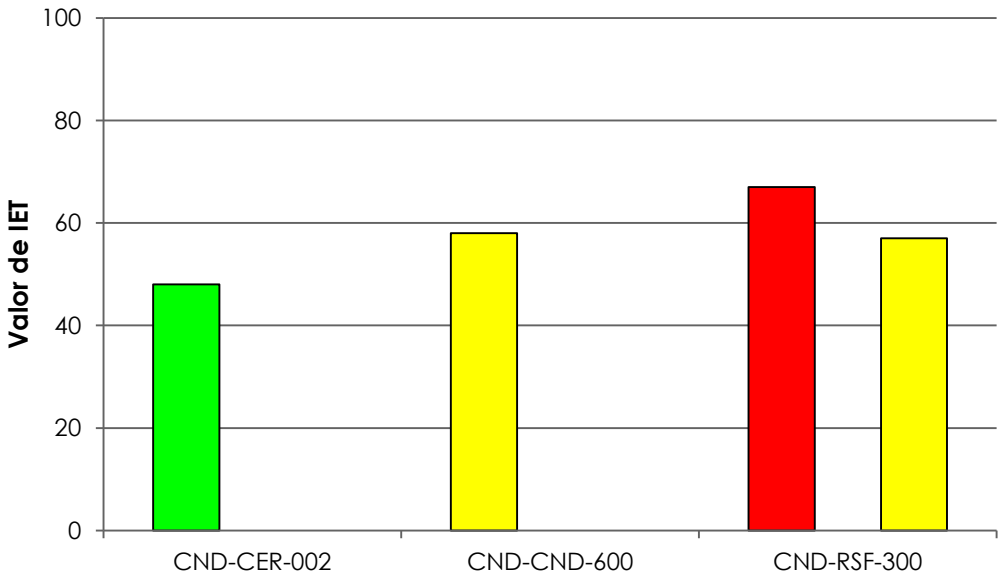


Figura 129. Variação de IET para a RPGA do Rio de Carnaíba de Dentro em 2019.

Quadro de referência para as classificações de IET.

Ultraoligotrófico	Oligotrófico	Mesotrófico	Eutrófico	Supereutrófico	Hipereutrófico
IET≤47	47 <IET≤52	52<IET≤59	59<IET≤63	63<IET≤67	IET>67

A análise dos dados obtidos nas campanhas de monitoramento realizadas em 2020 indica que, no geral, as águas da RPGA do Rio Carnaíba de Dentro apresentam

condições satisfatórias com base no IQA. Porém, os resultados para o IET indicam a ocorrência do processo de enriquecimento de nutrientes nos trechos monitorados no Rio Carnaíba de Dentro e Rio São Francisco.

4.9 RPGA DO RIO CORRENTE, RIACHOS DO RAMALHO, SERRA DOURADA E BREJO VELHO

4.9.1 CARACTERÍSTICAS DA RPGA

A RPGA do Rio Corrente e Riachos do Ramalho, Brejo Velho e Serra Dourada é constituída pela sub-bacia do Rio Corrente e afluentes da margem esquerda do São Francisco, Riacho do Ramalho, Serra Dourada e Brejo Velho, limitada a norte pela RPGA do Rio Grande, a sul pela RPGA do Rio Carinhanha e a leste pela RPGA do Rio Carnaíba de Dentro.

Esta RPGA teve, ao longo de 2020, a qualidade de suas águas superficiais monitorada por meio de 22 pontos de amostragens, distribuídos conforme ilustra a Figura 130. A descrição da localização dos pontos, a data de coleta e o registro fotográfico realizado nas campanhas são apresentados no Quadro 29.

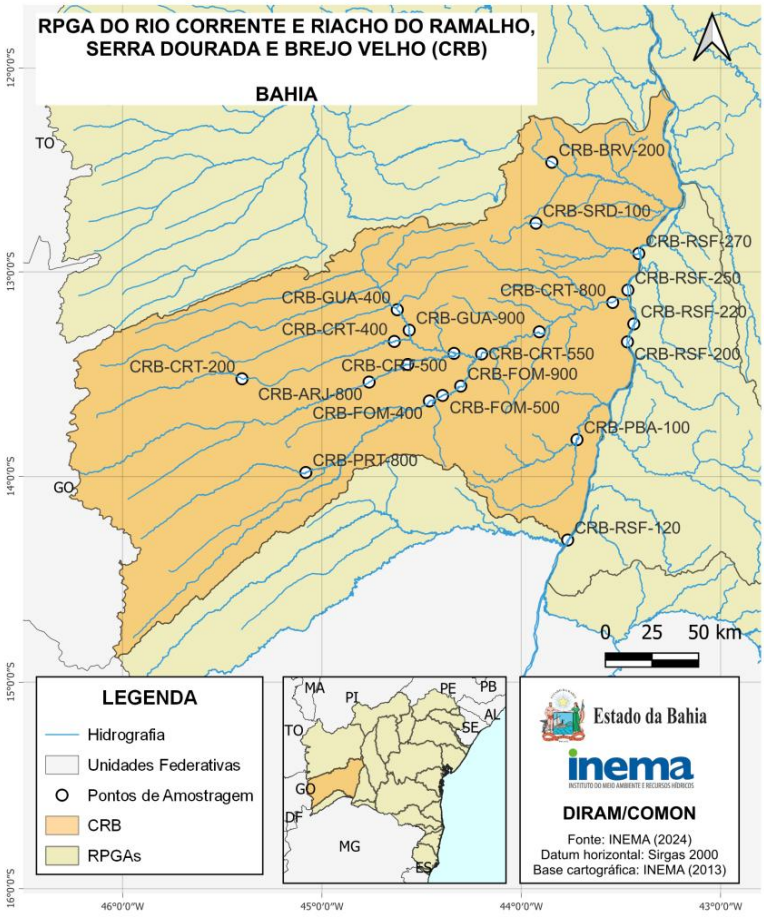


Figura 130. Mapa da distribuição da rede amostral na RPGA do Rio Corrente e Riachos do Brejo Velho, Ramalho e Serra Dourada, Bahia.

Quadro 29. Caracterização geral dos pontos de amostragem da RPGA do Rio Corrente, Riachos do Ramalho, Serra Dourada e Brejo Velho, Bahia.

Código Coordenadas geográficas (SIRGAS 2000)	Corpo hídrico Município	Local de amostragem	Data da coleta	Registro fotográfico
CRB-ARJ-800 13°32'20,00" (S) 44°45'45,09" (W)	Rio Arrojado Correntina	Ponto situado aproximadamente a 6 km a montante do povoado da Prainha.	1ª campanha: Não realizada 2ª campanha: Não realizada 3ª campanha: 11/12/2020	
CRB-ARJ-900 13°27'10" (S) 44°34'8" (W)	Rio Arrojado Correntina	Situado sob a ponte da estrada de terra sobre o rio Arrojado, na zona rural de Correntina. Acesso pela BR-349 no sentido leste.	1ª campanha: Não realizada 2ª campanha: Não realizada 3ª campanha: Não realizada	Sem foto.

CRB-BRV-200 12°27'45,4" (S) 43°50'45" (W)	Riacho Brejo Velho Brejolândia	Trecho do Riacho Brejo Velho sob a ponte da BA-172 no município de Brejolândia.	1ª campanha: Não realizada 2ª campanha: Não realizada 3ª campanha: 11/12/2020 (Ponto seco)	
CRB-CRT-200 13°31'22,21" (S) 45°24'01,50" (W)	Rio Corrente / Rio das Éguas Correntina	Sob ponte em estrada de terra após sair da BR-349 que liga o município de Correntina a BR-020.	1ª campanha: Não realizada 2ª campanha: Não realizada 3ª campanha: 11/12/2020	
CRB-CRT-400 13°20'24,40" (S) 44°38'10,90" (W)	Rio Corrente Correntina	Sob a ponte na sede do município de Correntina.	1ª campanha: Não realizada 2ª campanha: Não realizada 3ª campanha: 11/12/2020	

CRB-CRT-500 13°23'54,71" (S) 44°20'12,26" (W)	Rio Corrente Correntina	Sob a ponte da BR 349 na divisa com o município de Correntina.	1ª campanha: 12/02/2020 2ª campanha: Não realizada 3ª campanha: 19/11/2020	
CRB-CRT-550 13°24'4,61" (S) 44°11'53,45" (W)	Rio Corrente São Félix do Coribe	Sob a ponte próxima à churrascaria Boi na Brasa. Zona urbana de São Félix do Coribe, sob a ponte de ligação ao município de Santa Maria da Vitória.	1ª campanha: 12/02/2020 2ª campanha: Não realizada 3ª campanha: 19/11/2020	
CRB-CRT-700 13°17'35,30" (S) 43°54'30,90"(W)	Rio Corrente Santana	No distrito de Porto Novo, coincide com a estação da ANA 45960001.	1ª campanha: 12/02/2020 2ª campanha: Não realizada 3ª campanha: 19/11/2020	

CRB-CRT-800 13°8'58,20" (S) 43°32'26,90" (W)	Rio Corrente Bom Jesus da Lapa	Sob a ponte na captação de água do Hotel Fazenda, na divisa dos municípios de Bom Jesus da Lapa e Sítio do Mato.	1ª campanha: 12/02/2020 2ª campanha: Não realizada 3ª campanha: 19/11/2020	
CRB-FOM-400 13°37'52,46" (S) 44°27'37,08" (W)	Rio Formoso Jaborandi	Sob ponte na rodovia BR-135, a 1 km do município de Jaborandi.	1ª campanha: Não realizada 2ª campanha: Não realizada 3ª campanha: 10/12/2020	
CRB-FOM-500 13°36'15,10" (S) 44°23'38,90" (W)	Rio Formoso Jaborandi	A jusante de Jaborandi, na estrada que liga ao município de São Félix do Coribe, na captação de água da Codevasf.	1ª campanha: Não realizada 2ª campanha: Não realizada 3ª campanha: 10/12/2020	

CRB-FOM-900 13°33'31" (S) 44°18'11" (W)	Rio Formoso Coribe	Ponto situado sob a ponte de cimento na Colônia do Formoso, divisa dos municipios Coribe e Jaborandi. Acesso pode ser feito pela BA-172.	1ª campanha: Não realizada 2ª campanha: não realizada 3ª campanha: 10/12/2020	Sem foto.
CRB-GUA-400 13°11'6,30" (S) 44°37'17,70" (W)	Rio Guará Correntina	O local de coleta fica sob a ponte no povoado de Ponte Velha, a 37 km do município de Correntina.	1° campanha: Não realizada 2ª campanha: Não realizada 3ª campanha: 11/12/2020	
CRB-GUA-900 13°17'7" (S) 44°33'42" (W)	Rio Guará Correntina	Ponto situado no rio Guará, no Distrito de Mucambo.	1ª campanha: Não realizada 2ª campanha: Não realizada 3ª campanha: Não realizada	Sem foto.

CRB-PBA-100 13°49'12,63" (S) 43°43'11,87" (W)	Riacho das Pitubas Carinhanha	Ponto localizado sob a ponte da estrada municipal, a uma distância de aproximadamente 56 km da cidade de Carinhanha, no distrito conhecido como Marrequeiro.	1ª campanha: 05/03/2020 2ª campanha: Não realizada 3ª campanha: Não realizada	
CRB-PRT-800 13°58'49" (S) 45°4'49" (W)	Rio Pratudão Jaborandi	Ponto situado no rio Pratudão.	1ª campanha: Não realizada 2ª campanha: Não realizada 3ª campanha: 10/12/2020	
CRB-RSF-120 14°18'33,70" (S) 43°45'59,80" (W)	Rio São Francisco Carinhanha	Na captação de água para abastecimento público – Serviço Autônomo de Água e Esgoto - SAAE de Carinhanha.	1ª campanha: 05/03/2020 2ª campanha: Não realizada 3ª campanha: Não realizada	

CRB-RSF-200 13°20'33" (S) 43°28'00,3" (W)	Rio São Francisco Serra do Ramalho	Ponto localizado no rio São Francisco, próximo às margens da BA-161, entre os municípios de Serra do Ramalho e Bom Jesus da Lapa.	1ª campanha: 12/02/2020 (Sem acesso) 2ª campanha: Não realizada 3ª campanha: 19/11/2020 (Sem acesso)	Sem foto.
CRB-RSF-220 13°15'17,30" (S) 43°20'5,60" (W)	Rio São Francisco Bom Jesus da Lapa	Margem oposta ao centro urbano, em frente à gruta, na localidade de Barrinha.	1ª campanha: 12/02/2020 2ª campanha: Não realizada 3ª campanha: 19/11/2020	
CRB-RSF-250 13°5'20,80" (S) 43°27'52,60" (W)	Rio São Francisco Sítio do Mato	Prainha da cidade de Sítio do Mato.	1ª campanha: 12/02/2020 2ª campanha: Não realizada 3ª campanha: 19/11/2020	

CRB-RSF-270 12°54'36"(S) 46°24'36"(W)	Rio São Francisco Sítio do Mato	Ponto situado a montante da comunidade ribeirinha do distrito de Gameleira da Lapa.	1ª campanha: 12/02/2020 2ª campanha: Não realizada 3ª campanha: 19/11/2020	
CRB-SRD-100 12°45'40,5" (S) 43°55'32,4"(W)	Riacho Serra Dourada Serra Dourada	No município de Serra Dourada, sob a BA-172. Próximo ao ponto de monitoramento há presença de um abatedouro.	1ª campanha: Não realizada 2ª campanha: Não realizada 3ª campanha: 11/12/2020	

4.9.2 RESULTADOS E DISCUSSÃO

Devido à baixa concentração de sais todos os pontos de monitoramento situados na RPGA do Rio Corrente e Riachos do Brejo Velho, Ramalho e Serra Dourada foram classificados conforme Resolução Conama nº 357 de 2005, como Água Doce – Classe 2.

No ano de 2020, das 25 amostragens dos pontos realizadas na RPGA do Rio Corrente e Riachos do Ramalho, Serra Dourada e Brejo Velho, foram observadas violações aos padrões de qualidade estabelecidos na Resolução Conama nº 357/05 para os parâmetros: turbidez (24%), fósforo total (4%), pH (16%), N-NH3 (8%) e clorofila a (4%) (Figura 131).

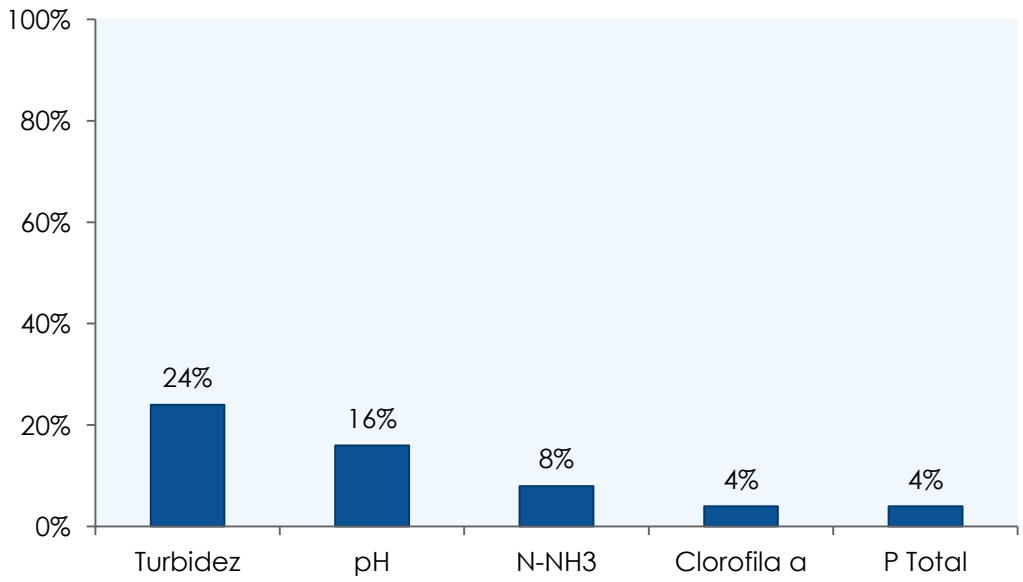


Figura 131. Frequência relativa (%) de violações para a RPGA do Rio Corrente e Riachos do Brejo Velho, Ramalho e Serra Dourada.

A Resolução Conama nº 357/05 define que o limite da concentração de coliformes termotolerantes não deve exceder 1.000 coliformes termotolerantes por 100 mililitros em 80% ou mais de pelo menos 6 amostras coletadas durante o período de um ano, com frequência bimestral para águas doces, classe 2. Apesar de esta avaliação adotar metodologia distinta, utilizando este valor como referência foi observado que 60% das amostragens dos pontos na RPGA do Rio Corrente e Riachos do

Ramalho, Serra Dourada e Brejo Velho indicaram elevadas concentrações de coliformes termotolerantes.

O rio Corrente é monitorado através de seis pontos de amostragem, sendo que ao longo do seu percurso foram identificadas violações dos limites estabelecidos pela Resolução Conama nº 357/05 para os parâmetros pH e turbidez. Apenas os trechos referentes aos pontos CRB-CRT-200 e CRB-CRT-400 não apresentaram desconformidades para nenhum dos parâmetros monitorados. Vale destacar que todos os trechos apresentaram elevadas concentrações para coliformes termotolerantes para pelo menos uma das campanhas realizadas.

O rio Formoso é monitorado por meio de três pontos de amostragem distribuídos entre os municípios de Jaborandi e Coribe. Nenhum dos pontos de coleta desse corpo hídrico apresentou valores em desconformidade para nenhuma das amostragens realizadas no ano de 2020. O mesmo resultado foi observado para os rios Guará (CRB-GUA-400) e Pratudão (CRB-PRT-800), além dos riachos das Pitubas (CRB-PBA-100) e Serra Dourada (CRB-SRD-100).

O trecho do rio São Francisco situado nesta RPGA, é monitorado através de seis pontos de amostragem distribuídos entre os municípios de Carinhanha e Sítio do Mato. Em 2020 foram realizadas amostragens em quatro dos seis pontos, sendo identificadas violações apenas para os parâmetros turbidez em todos os trechos amostrados. Parte dos trechos também apresentou elevada concentração de coliformes termotolerantes, variando entre 1300 a 16000 NMP/100ml.

O rio Arrojado é monitorado através de dois pontos de amostragem, entretanto, neste ano foi coletado apenas o ponto CRB-ARJ-800. Este trecho apresentou desconformidade apenas para o parâmetro clorofila *a*, com concentração de 47,4 µg/L, além de concentração de coliformes termotolerantes elevada, considerando o valor de referência.

As Figuras 132 a 135 apresentam as classificações de IQA e IET obtidas através do monitoramento da RPGA do Rio corrente, Riachos do ramalho, Serra dourada e Brejo velho em 2020.

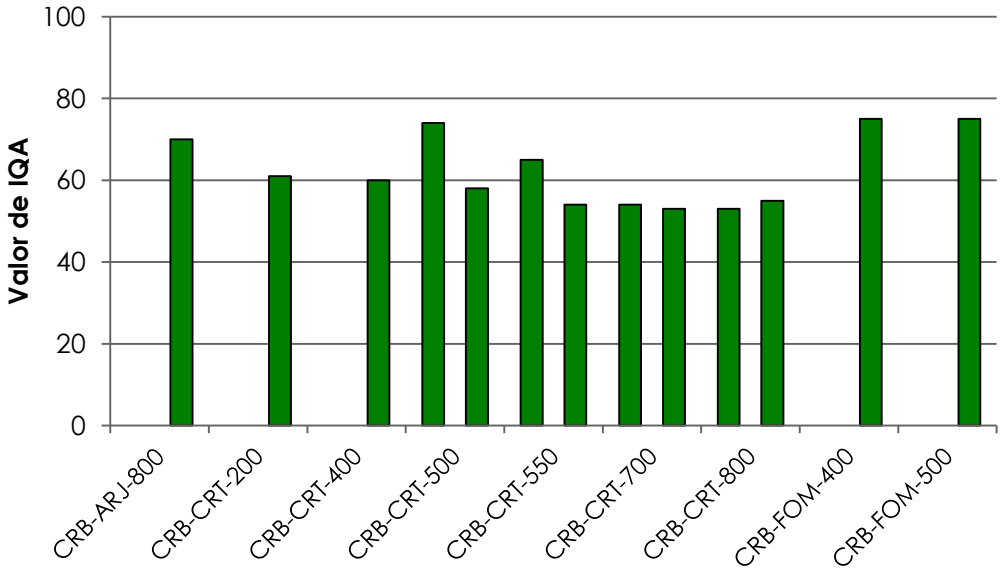


Figura 132. Classificações de IQA na RPGA do Rio corrente, Riachos do ramalho, Serra dourada e Brejo velho em 2020.(1)

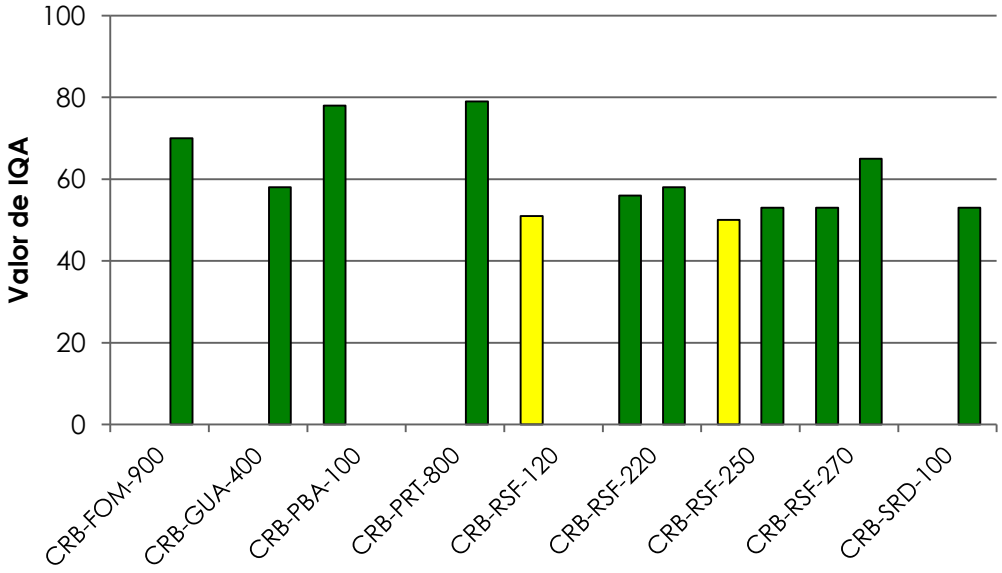


Figura 133. Classificações de IQA na RPGA do Rio corrente, Riachos do ramalho, Serra dourada e Brejo velho em 2020 (2).

Quadro de referência para as classificações de IQA.

Ótimo	Bom	Regular	Ruim	Péssimo
79 < IQA ≤ 100	51 < IQA ≤ 79	36 < IQA ≤ 51	19 < IQA ≤ 36	IQA ≤ 19

Os resultados obtidos para o IQA na RPGA do Rio Corrente e Riachos do Ramalho, Serra Dourada e Brejo Velho em 2020 indicam que as águas dos corpos hídricos nesta RPGA apresentam condições satisfatórias. A maioria dos trechos apresentou qualidade da água classificada como "Boa", com exceção apenas de dois trechos monitorados no rio São Francisco (CRB-RSF-120 e CRB-RSF-250) que apresentaram a classificação "Regular".

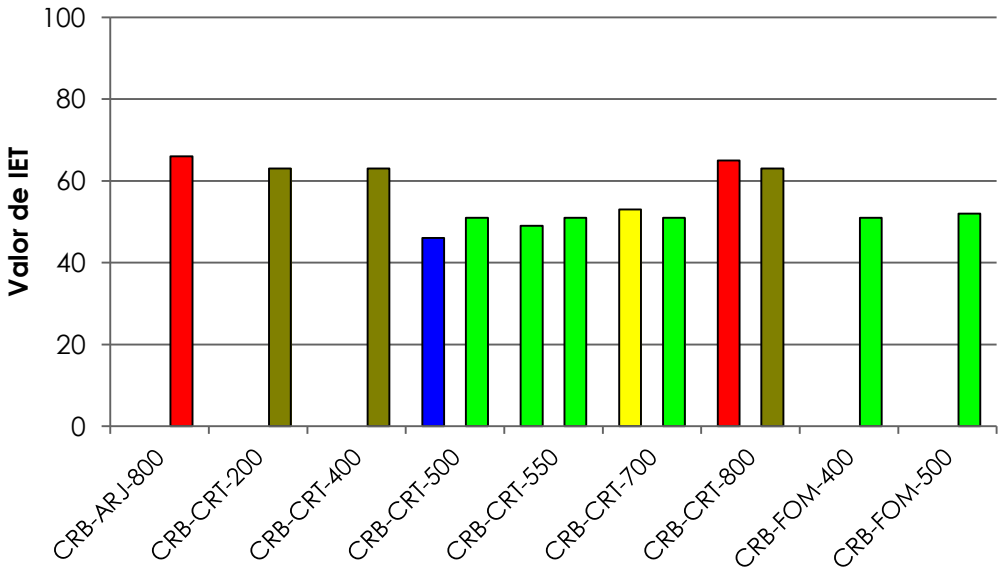


Figura 134. Classificações de IET na RPGA do Rio corrente, Riachos do ramalho, Serra dourada e Brejo velho em 2020.(1)

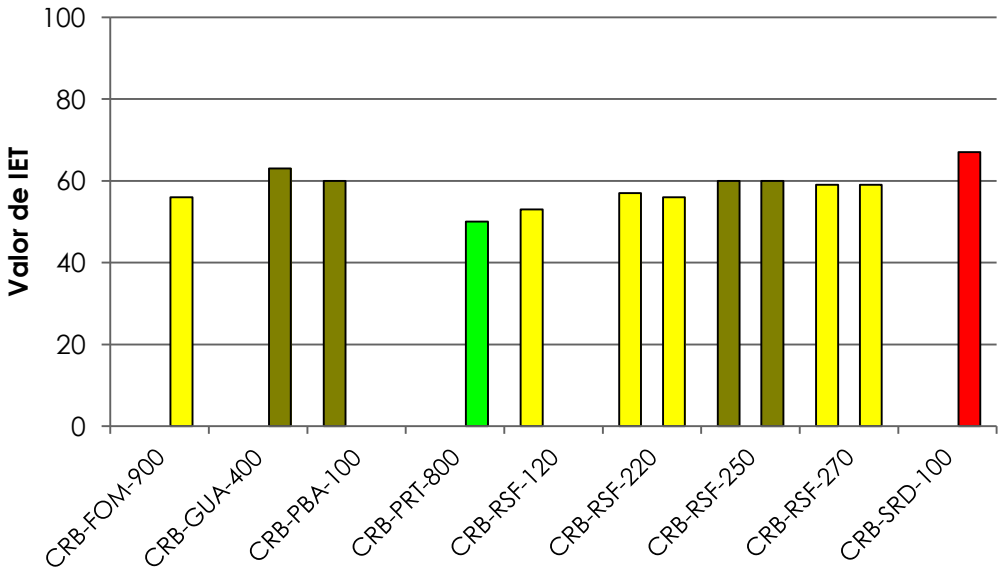


Figura 135. Classificações de IET na RPGA do Rio corrente, Riachos do ramalho, Serra dourada e Brejo velho em 2020.(2)

Quadro de referência para as classificações de IET.

Ultraoligotrófico	Oligotrófico	Mesotrófico	Eutrófico	Supereutrófico	Hipereutrófico
IET≤47	47 <IET≤52	52<IET≤59	59<IET≤63	63<IET≤67	IET>67

Em relação ao IET, os trechos dos corpos hídricos apresentaram estados tróficos bastante diversos e distintos. Os maiores níveis de trofia foram obtidos para os trechos monitorados no rio Arrojado (CRB-ARJ-800), no trecho final do rio Corrente (CRB-CRT-800) e riacho Serra Dourada (CRB-SRD-100), sendo classificados como "Supereutrófico", o que indica elevado enriquecimento de nutrientes. Por outro lado, os menores valores do índice IET foram obtidos para o trecho médio do rio Corrente (CRT-CRT-500 e CRT-CRT-550), além dos rios Formoso (CRB-FOM-400 e CRB-FOM-500) e Pratudão (CRB-PRT-800), indicando baixo enriquecimento de nutrientes.

É importante salientar que, os elevados níveis de trofia observados nos pontos monitorados nesta RPGA se devem à concentração significativa de clorofila *a*, visto ser um dos parâmetros utilizados para o cálculo do IET.

Em síntese, os resultados do monitoramento da RPGA do Rio Corrente e Riachos do Ramalho, Serra Dourada e Brejo Velho evidenciam que as águas desta RPGA encontram-se em condições satisfatórias para a manutenção de seus usos múltiplos. Entretanto, vale destacar que alguns trechos indicaram nível de trofia elevado em relação ao IET. No geral, foram observadas poucas violações dos limites para os parâmetros estabelecidos pela Resolução Conama nº 357/05, apesar de observadas elevadas concentrações de coliformes termotolerantes para grande parte dos pontos nas campanhas realizadas em 2020.

4.10 RPGA DO RIO CARINHANHA

4.10.1 CARACTERÍSTICAS DA RPGA

A RPGA do Rio Carinhanha é constituída pelas sub-bacias dos afluentes da margem esquerda do Rio Carinhanha, desde suas nascentes no Estado da Bahia até a divisa com Minas Gerais.

Esta RPGA teve, ao longo de 2020, a qualidade de suas águas superficiais monitorada por meio de nove pontos de amostragens, distribuídos conforme ilustra a Figura 136. A descrição da localização dos pontos, a data de coleta e o registro fotográfico realizado nas duas campanhas são apresentados no Quadro 30.

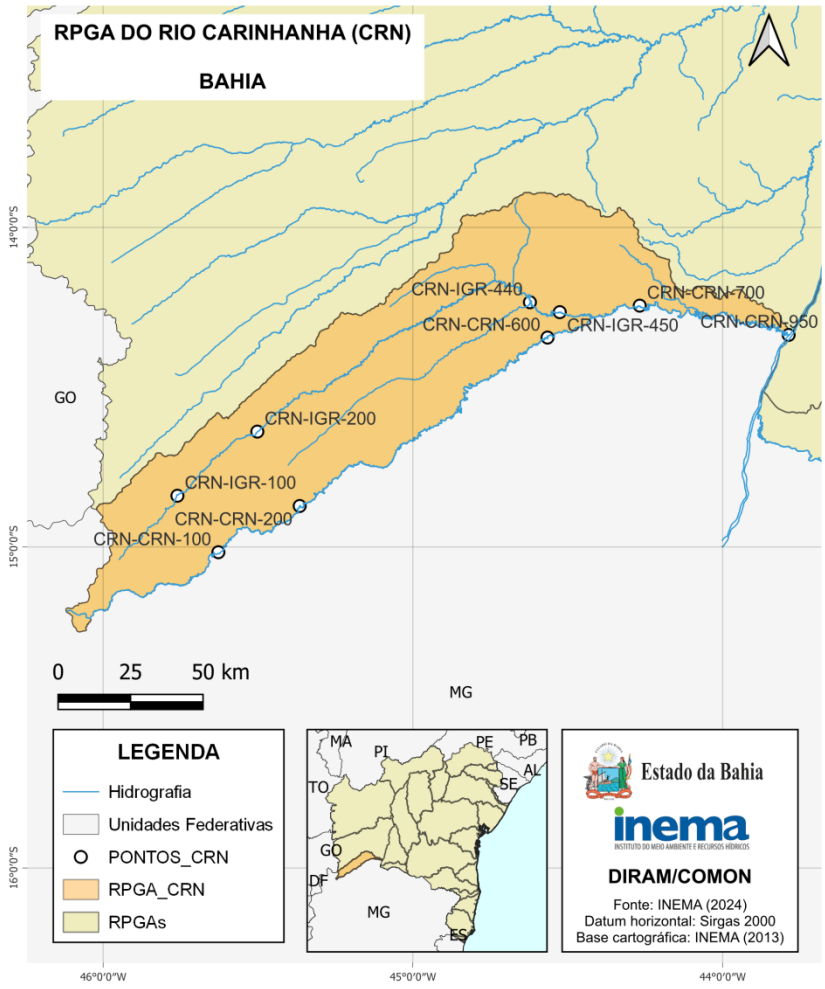


Figura 136. Mapa da distribuição da rede amostral na RPGA Carinhanha, Bahia.

Quadro 30. Caracterização geral dos pontos de amostragem da RPGA do Rio Carinhanha, Bahia.

Código Coordenadas geográficas (SIRGAS 2000)	Corpo hídrico Município	Local de amostragem	Data da coleta	Registro fotográfico
CRN-CRN-100 15°09'59" (S) 45°37'40" (W)	Rio Carinhanha Cocos	Ponto situado 20 km a jusante do Parque Nacional Grande Sertão Veredas.	1ª campanha: Não realizada 2ª campanha: Não realizada 3ª campanha: Não realizada	Sem foto.
CRN-CRN-200 14°52'19,19" (S) 45°21'54,43" (W)	Rio Carinhanha Cocos	Ponto localizado a montante do riacho Vereda Bonita.	1ª campanha: Não realizada 2ª campanha: Não realizada 3ª campanha: Não realizada	Sem foto.

CRN-CRN-600 14°20'42,20" (S) 44°33'53,10" (W)	Rio Carinhanha Cocos	Ponto localizado na zona rural do município de Cocos, divisa entre os Estados da Bahia com Minas Gerais.	1ª campanha: Não realizada 2ª campanha: Não realizada 3ª campanha: 10/12/2020	
CRN-CRN-700 14°14'42,20" (S) 44°16'1,60" (W)	Rio Carinhanha Feira da Mata	Ponto localizado na Fazenda Baixa Verde, na zona rural do município de Feira da Mata a aproximadamente 4 km da sede municipal.	1ª campanha: Não realizada 2ª campanha: Não realizada 3ª campanha: 10/12/2020	
CRN-CRN-950 14°20'12,54" (S) 43°47'10,46" (W)	Rio Carinhanha Carinhanha	Na foz do Rio Carinhanha. Partindo do porto de Malhada, subir o Rio Carinhanha até a primeira curva, onde o rio já não sofre influência das águas do Rio São Francisco, mesmo em período de cheia.	1ª campanha: 05/03/2020 (Sem acesso) 2ª campanha: Não realizada 3ª campanha: Não realizada	Sem foto.

CRN-IGR-100 14°50'24" (S) 45°45'36" (W)	Rio Itaguari Cocos	Ponto localizado no rio Itaguari, a jusante do córrego Vieira.	1ª campanha: Não realizada 2ª campanha: Não realizada 3ª campanha: Não realizada	Sem foto.
CRN-IGR-200 14° 38' 22" (S) 45° 30' 07" (W)	Rio Itaguari Cocos	Localizado no rio Itaguari, acesso via BA-594 pela estrada de terra que dá acesso à fazenda Rio do Meio / Santa Colombia.	1ª campanha: Não realizada 2ª campanha: Não realizada 3ª campanha: Não realizada	Sem foto.
CRN-IGR-440	Rio Itaguari Cocos	Situado sob a ponte da BA-594 sobre o rio Itaguari.	1ª campanha: Não realizada 2ª campanha: Não realizada 3ª campanha: 10/12/2020	

CRN-IGR-450 14°15'55,60" (S) 44°31'31,10" (W)	Rio Itaguari Cocos	Ponto localizado no Balneário do rio Itaguari, a 10,2 km da cidade de Cocos, sob a ponte da BR-135, próximo ao povoado de São João do Porto Alegre. Acesso que liga os municípios de Cocos – BA a Montalvânia – MG.	1ª campanha: Não realizada 2ª campanha: Não realizada 3ª campanha: 10/12/2020	

4.10.2 RESULTADOS E DISCUSSÃO

Devido à baixa concentração de sais, todos os pontos de monitoramento da RPGA do rio Carinhanha foram classificados conforme Resolução Conama nº 357 de 2005, como Água Doce - Classe 2.

Dos nove pontos de amostragem, neste ano de 2020, foram coletados apenas quatro, sendo eles CRN-CRN-600, CRN-CRN-700, CRN-IGR-440 e CRN-IGR-450. Esses trechos foram coletados apenas na terceira campanha de 2020. Os resultados indicaram que nenhum dos trechos monitorados nos rios Carinhanha e Itaguari apresentaram parâmetros em desconformidade com a Resolução Conama nº 357/05.

A Resolução Conama nº 357/05 define que o limite da concentração de coliformes termotolerantes não deve exceder 1.000 coliformes termotolerantes por 100 mililitros em 80% ou mais de pelo menos 6 amostras coletadas durante o período de um ano, com frequência bimestral para águas doces, classe 2. Utilizando este valor como referência, foi observado que apenas o resultado da amostra realizada no trecho do rio Carinhanha (CRN-CRN-700) apresentou concentração elevada com valor de 1300 NMP/100ml.

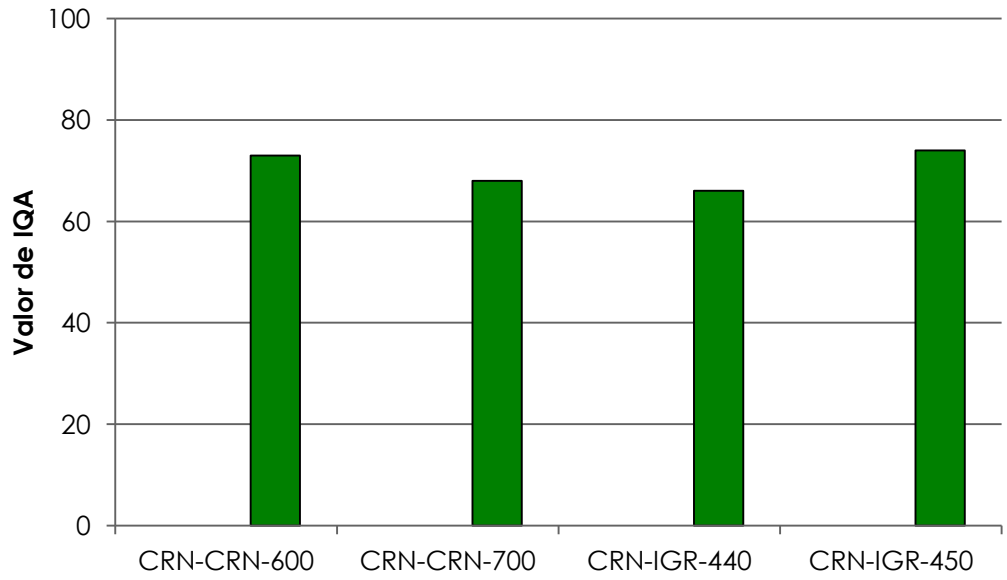


Figura 137. Classificações de IQA na RPGA do Rio Carinhanha em 2020.

Quadro de referência para as classificações de IQA.

Ótimo	Bom	Regular	Ruim	Péssimo
79 < IQA ≤ 100	51 < IQA ≤ 79	36 < IQA ≤ 51	19 < IQA ≤ 36	IQA ≤ 19

Em relação ao IQA, todos os pontos monitorados situados nos rios Carinhanha e Itaguari apresentaram qualidade da água classificada como "Boa", indicando águas superficiais em condições ambientais satisfatórias. Já em relação ao IET, todos os pontos situados no rio Carinhanha e rio Itaguari apresentaram níveis de trofia classificados como "Mesotrófico", apontando moderado enriquecimento de nutrientes nesses trechos monitorados nestes corpos hídricos.

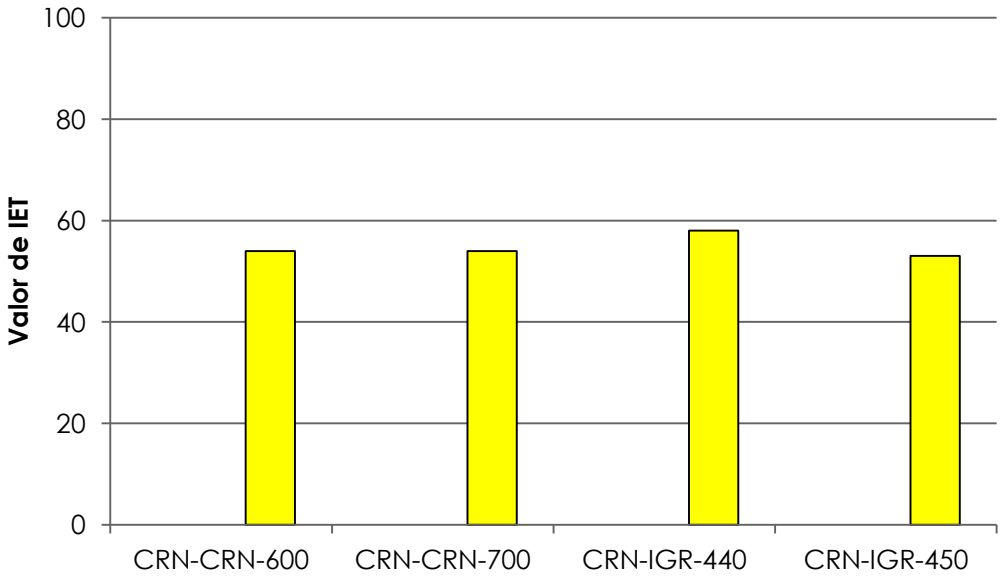


Figura 138. Classificações de IET na RPGA do Rio Carinhanha em 2020.

Quadro de referência para as classificações de IET.

Ultraoligotrófico	Oligotrófico	Mesotrófico	Eutrófico	Supereutrófico	Hipereutrófico
IET≤47	47 <IET≤52	52<IET≤59	59<IET≤63	63<IET≤67	IET>67

O monitoramento da qualidade das águas da RPGA do Rio Carinhanha neste ano de 2020 indica que todos os pontos de amostragem em ambos os rios que

compõem esta RPGA não apresentaram violações dos limites estabelecidos pela Resolução Conama 357/05 para Água Doce - Classe 2. Os resultados obtidos através dos índices ambientais, IQA e IET, apontam que as águas da RPGA do Rio Carinhanha apresentam condições ambientais satisfatórias, porém estado trófico moderado.

4.11 RPGA DO RIO VERDE GRANDE

4.11.1 CARACTERÍSTICAS DA RPGA

A RPGA do Rio Verde Grande é constituída pelas sub-bacias dos afluentes da margem direita do Rio Verde Grande, desde suas nascentes no Estado da Bahia até a divisa com Minas Gerais.

Esta RPGA teve, ao longo de 2020, a qualidade de suas águas superficiais monitorada por meio de dois pontos de amostragens, distribuídos conforme ilustra a Figura 139. A descrição da localização dos pontos, a data de coleta e o registro fotográfico realizado nas campanhas são apresentados no Quadro 31.

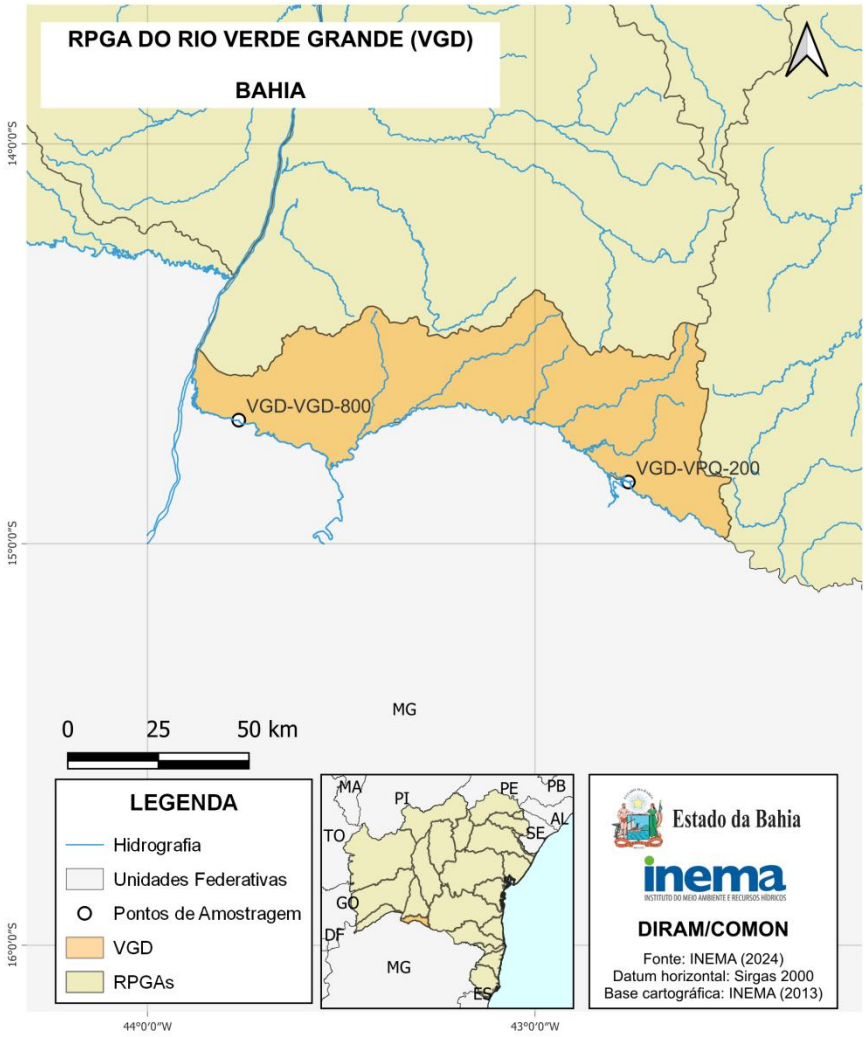


Figura 139. Mapa da distribuição da rede amostral na RPGA Rio Verde Grande, Bahia.

Quadro 31. Caracterização geral dos pontos de amostragem da RPGA do Rio Verde Grande, Bahia.

Código Coordenadas geográficas (SIRGAS 2000)	Corpo hídrico Município	Local de amostragem	Data da coleta	Registro fotográfico
VGD-VGD-800 14°41'29,83" (S) 43°45'52,02 (W)	Rio Verde Grande Malhada	Sob a ponte em estrada não asfaltada no Povoado Rio Verde, na divisa entre BA/MG.	1ª campanha: 05/03/2020 2ª campanha: Não realizada 3ª campanha: Não realizada	
VGD-VPQ-200 14°50'46,5" (S) 42°45'31,5" (W)	Rio Verde Pequeno Urandi	Ponto situado sob a ponte na BR-122, a jusante do encontro do rio Verde Pequeno com o rio da Barra. Divisa estadual BA/MG, próximo ao município de Espinosa/MG. Há no ponto uma estação fluviométrica da ANA.	1ª campanha: 05/03/2020 2ª campanha: Não realizada 3ª campanha: Não realizada	

4.11.2 RESULTADOS E DISCUSSÃO

Os pontos coletados na RPGA do Rio Verde Grande em 2020 apresentaram baixas concentrações de sais, sendo classificados de acordo com a Resolução Conama nº 357/05, como Água Doce – Classe 2. Os dois pontos de amostragem foram coletados apenas na primeira campanha de monitoramento deste ano.

O ponto VGD-VGD-800 localizado no Rio Verde Grande no município de Malhada apresentou baixas concentrações de oxigênio dissolvido, além de valores em desconformidade com o limite padrão da Resolução do Conama nº 357/05 para fósforo total (0,14 mg/L) e turbidez (116 NTU). O ponto VGD-VPQ-200 localizado no Rio Verde Pequeno no município de Urandi, também apresentou valores em desconformidade com o limite padrão da Resolução do Conama nº 357/05 para fósforo total (0,13 mg/L) e turbidez (1930 NTU). Vale salientar que este valor para turbidez geralmente está associado às chuvas no momento da coleta e consequentemente maiores concentrações de sólidos na água.

A Resolução Conama nº 357/05 define que o limite da concentração de coliformes termotolerantes não deve exceder 1.000 coliformes termotolerantes por 100 mililitros em 80% ou mais de pelo menos 6 amostras coletadas durante o período de um ano, com frequência bimestral para águas doces, classe 2. Utilizando este valor como referência, nota-se que ambos os trechos apresentaram concentrações elevadas de coliformes termotolerantes. O ponto VGD-VGD-800 apresentou concentração de 3500 NMP/100ml, enquanto o ponto VGD-VPQ-200 apresentou concentração superior a 16000 NMP/100ml.

Em relação ao IQA, ambos os trechos monitorados nesta RPGA apresentaram índices classificados como "Regular", indicando qualidade da água aceitável para os trechos monitorados. Entretanto, em relação ao estado trófico, o trecho monitorado do rio Verde Pequeno foi classificado como "Mesotrófico", enquanto o trecho monitorado no rio Verde Grande foi classificado como "Eutrófico", apontando moderado e elevado enriquecimento de nutrientes, respectivamente. Esses resultados somados às concentrações de coliformes termotolerantes, mostram uma possível influência antropogênica neste corpo hídrico.

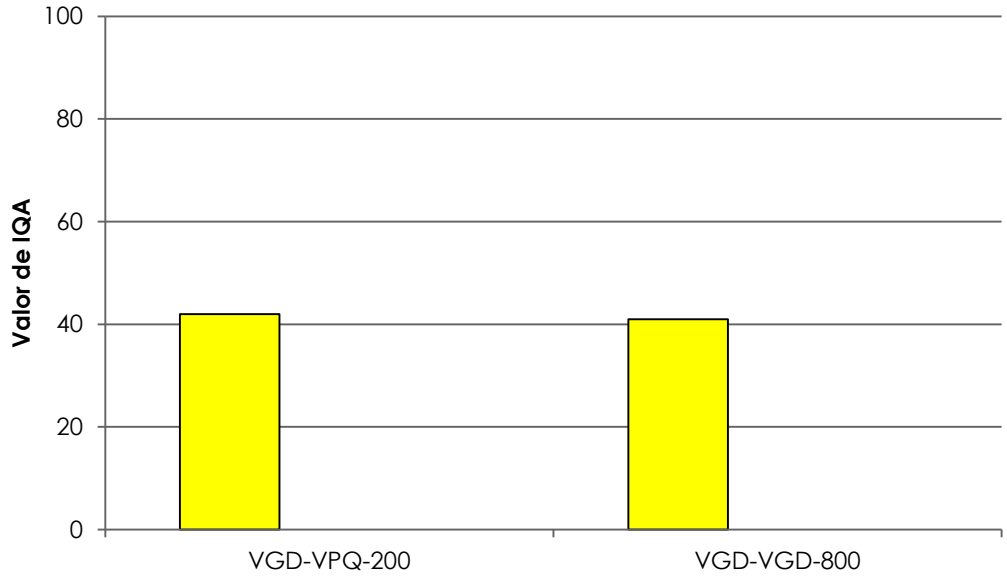


Figura 140. Variação de IQA para a RPGA do Rio Verde Grande ao longo de 2020.

Quadro de referência para as classificações de IQA.

Ótimo	Bom	Regular	Ruim	Péssimo
79 < IQA ≤ 100	51 < IQA ≤ 79	36 < IQA ≤ 51	19 < IQA ≤ 36	IQA ≤ 19

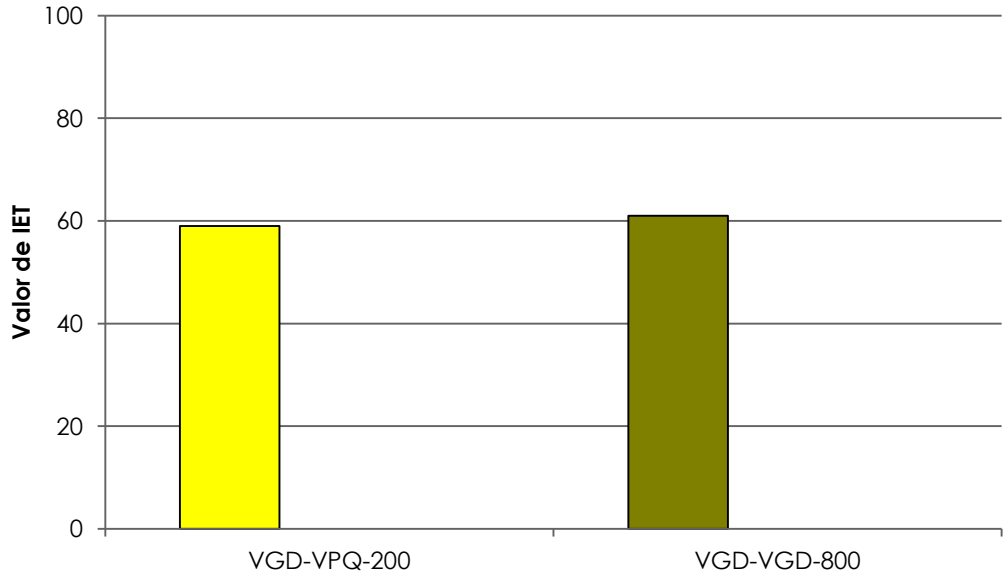


Figura 141. Variação de IET para a RPGA do Rio Verde Grande ao longo de 2020.

Quadro de referência para as classificações de IET.

Ultraoligotrófico	Oligotrófico	Mesotrófico	Eutrófico	Supereutrófico	Hipereutrófico
IET≤47	47 <IET≤52	52<IET≤59	59<IET≤63	63<IET≤67	IET>67

As campanhas realizadas na RPGA do Rio Verde Grande em 2020 indicam que esses corpos hídricos apresentam qualidade da água em condições satisfatórias, embora o índice de estado trófico aponte significativa interferência das atividades humanas nesses corpos hídricos. Tal premissa pode ser evidenciada pelas concentrações de fósforo total identificadas nos resultados obtidos para o parâmetro nas amostras dos pontos monitorados nessa RPGA, além das elevadas concentrações de coliformes termotolerantes.

5 PANORAMA GERAL

Durante as campanhas de monitoramento realizadas em 2020 do Programa Monitora, foi observado que a RPGA do Recôncavo Norte e Inhambupe (RCN) apresentou o maior número de violações dos parâmetros de qualidade da água estabelecidos pela Resolução Conama nº 357/05 em relação ao número de amostragens realizadas (Figura 142). Este resultado é esperado devido ao fato de grande parte destes corpos hídricos estarem situados em áreas urbanas, como por exemplo, o município de Salvador, sendo intensamente influenciados pelas atividades antropogênicas.

A RPGA do Recôncavo Norte e Inhambupe apresenta o maior número de pontos amostrais, sendo um total de 91 pontos distribuídos entre o município de Salvador e região metropolitana. Ao comparar esta RPGA com as RPGAs do Rio Paraguaçu (PRG) e do Rio Itapicuru (ITP) que apresentam 57 e 51 pontos, respectivamente, é possível notar uma diferença considerável na proporção entre o número de violações observadas em relação ao número de pontos de amostragem. Vale destacar que a RPGA do Rio Itapicuru apresentou um número de violações significativamente baixo ao considerar o tamanho da rede amostral.

Além da RPGA do Recôncavo Norte e Inhambupe, também foram identificadas violações frequentes para as RPGAs do Rio Paraguaçu (131), Rio de Contas (52), Recôncavo Sul (43), Leste (41), Rio Pardo (40), Rio Grande (38) e Peruípe, Itanhém e Jucuruçu (28). Nos estudos realizados nos anos anteriores é possível ver um panorama muito semelhante de violações para a maioria das RPGAs.

No geral, percebe-se que RPGAs situadas distante dos centros urbanos, permitem uma maior preservação destes corpos hídricos pela menor influência das atividades antrópicas. É importante salientar que devido às condições especiais deste ano de monitoramento em decorrência da pandemia de COVID-19, o número de amostragens por ponto de monitoramento foi significativamente reduzido, podendo comprometer à análise das condições reais de qualidade dessas águas.

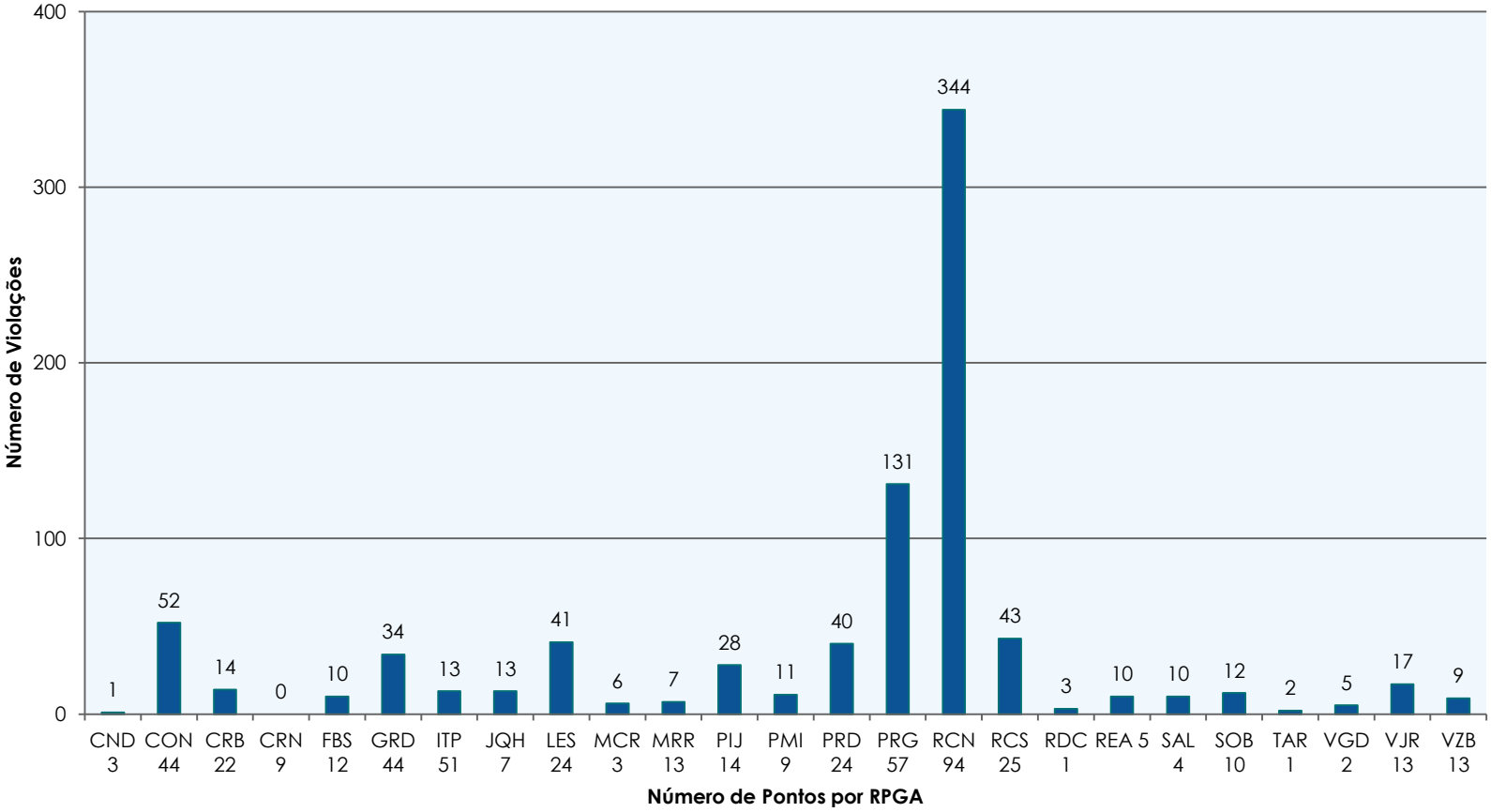


Figura 142. Frequência de violações identificadas por RPGA em 2020.

Ao analisar o número de violações obtidas para cada parâmetro de qualidade da água, foi observado que o parâmetro oxigênio dissolvido (OD) apresentou a maior frequência de violações considerando toda a rede amostral de monitoramento de 2020, seguido do parâmetro fósforo total (Figura 143). Essas elevadas frequências de valores acima do limite estabelecido pela legislação correspondem a 27% e 26%, respectivamente, no total de 880 amostragens realizadas. Os demais parâmetros apresentaram frequências de violações entre 1% e 15% das amostragens dos pontos de monitoramento realizadas, sendo o nitrato o parâmetro que apresentou o menor número de violações.

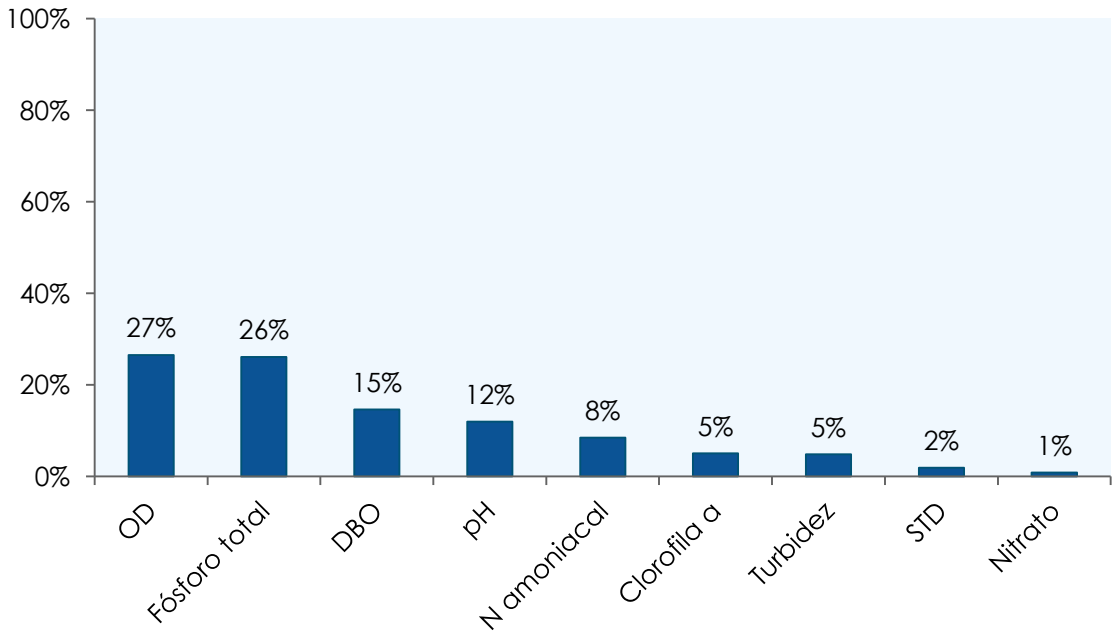


Figura 143. Frequência relativa de violações identificadas por parâmetro em 2020.

Em relação ao Índice de Qualidade das Águas (IQA), a maioria dos resultados do índice das amostragens realizadas em 2020 apresentou qualidade da água classificada como "Bom" em todas as campanhas (Figura 144). Os melhores índices observados neste ano foram na terceira campanha a qual obteve o maior número classificações como "Bom". Já em relação ao Índice de Estado Trófico (IET), a maioria dos pontos apresentou níveis de trofia classificados como "Mesotrófico" considerando as três campanhas, seguido da classe "Oligotrófico" (Figura 145). A

maioria das classificações se manteve semelhante entre a primeira e terceira campanha, com exceção da classe "Eutrófico" que apresentou um aumento da frequência para os pontos avaliados entre essas campanhas. Vale destacar que devido à pandemia do COVID-19 as amostragens da segunda campanha foram feitas parcialmente.

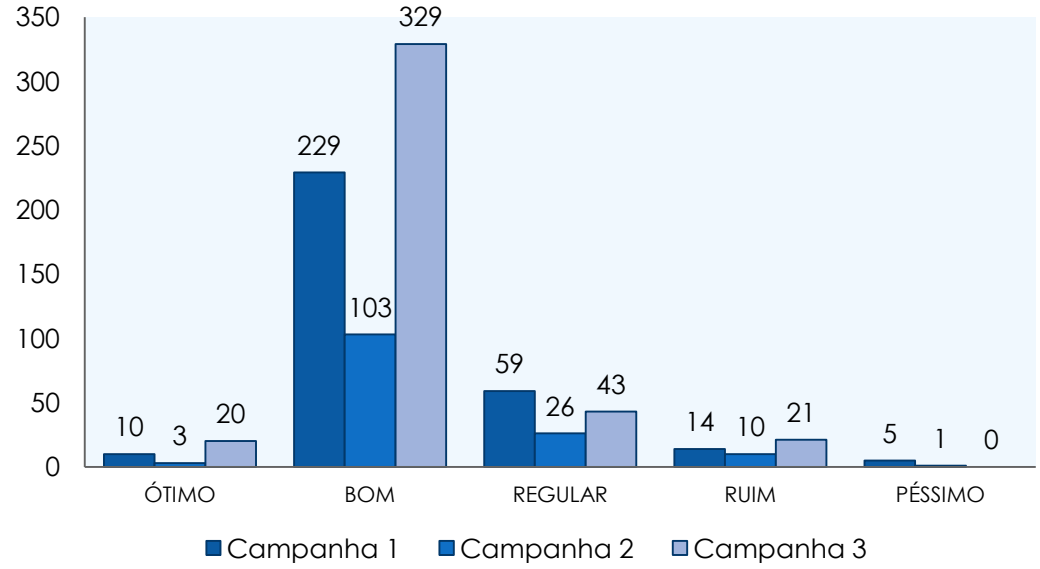


Figura 144. Frequência das classes de IQA para a rede do Programa Monitora em 2020.

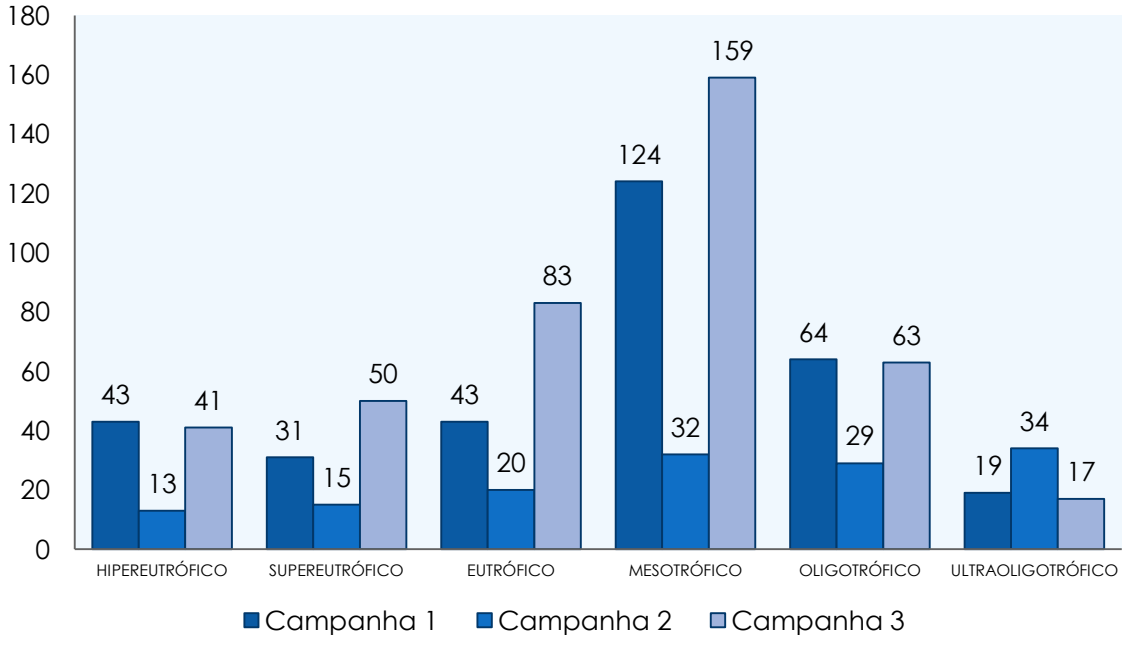


Figura 145. Frequência das classes de IET para a rede do Programa Monitora em 2020.

Nas figuras 146 e 147 é possível observar detalhadamente a frequência de cada classificação dos índices, IQA e IET, para o ano de 2020 para cada RPGA que compõe a rede de monitoramento.

Em relação ao IQA, como destacado anteriormente, a maioria dos trechos amostrados nos corpos hídricos do Estado da Bahia apresentou a classe "Bom", considerando todas as campanhas realizadas neste ano (Figura 146). Entretanto, boa parte das RPGAs também apresentou índices classificados como "Ruim" ou "Péssima", evidenciando qualidade da água em condições não satisfatórias para alguns trechos. Apenas as RPGAs do Carnaíba de Dentro (CND), do Carinhanha (CRN), do Riacho do Tará (TAR), do Riacho Doce (RDC), do Rio Mucuri (MCR) e do Rio Grande (GRD) apresentaram qualidade da água classificada como "Boa" para todos os pontos de todas as campanhas de amostragens.

Em relação ao IET, é possível observar ampla variação do índice na maioria das RPGAs, mostrando a constante influência das atividades antropogênicas realizadas sobre a qualidade das águas (Figura 147). Porém, a maioria das RPGAs apresentou o maior número de trecho classificados entre "Mesotrófico" e "Ultraoligotrófico", indicando em sua maioria corpos hídricos com baixo a moderado enriquecimento de nutrientes, com exceção apenas das RPGAs do Rio Mucuri (MCR), dos rios Verde e Jacaré (VJR), do Rio Salitre (SAL), do rio Verde Grande (VGD) e do Leste (LES).

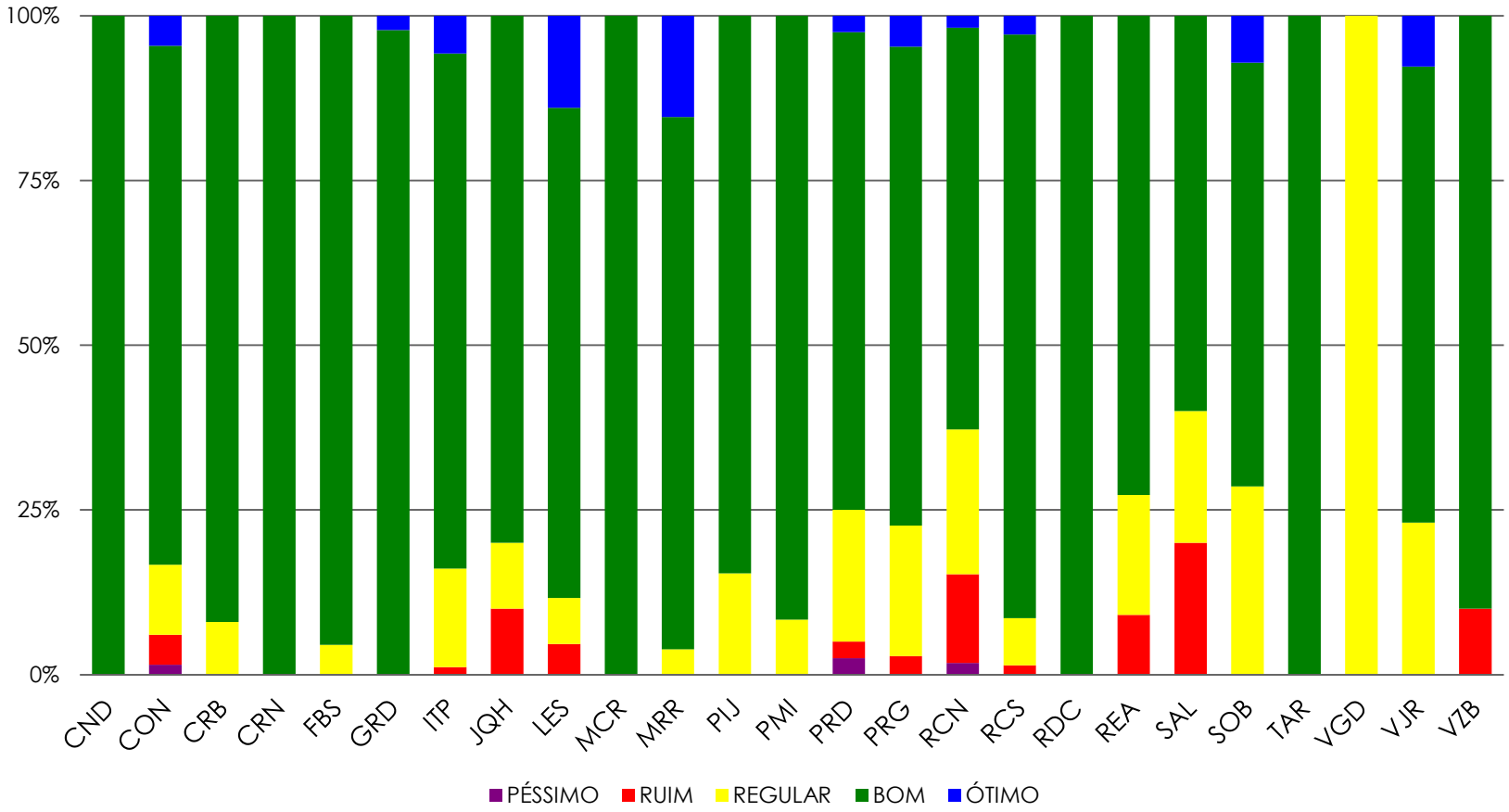


Figura 146. Frequência (%) das classes de IQA para rede do Programa Monitora em 2020.

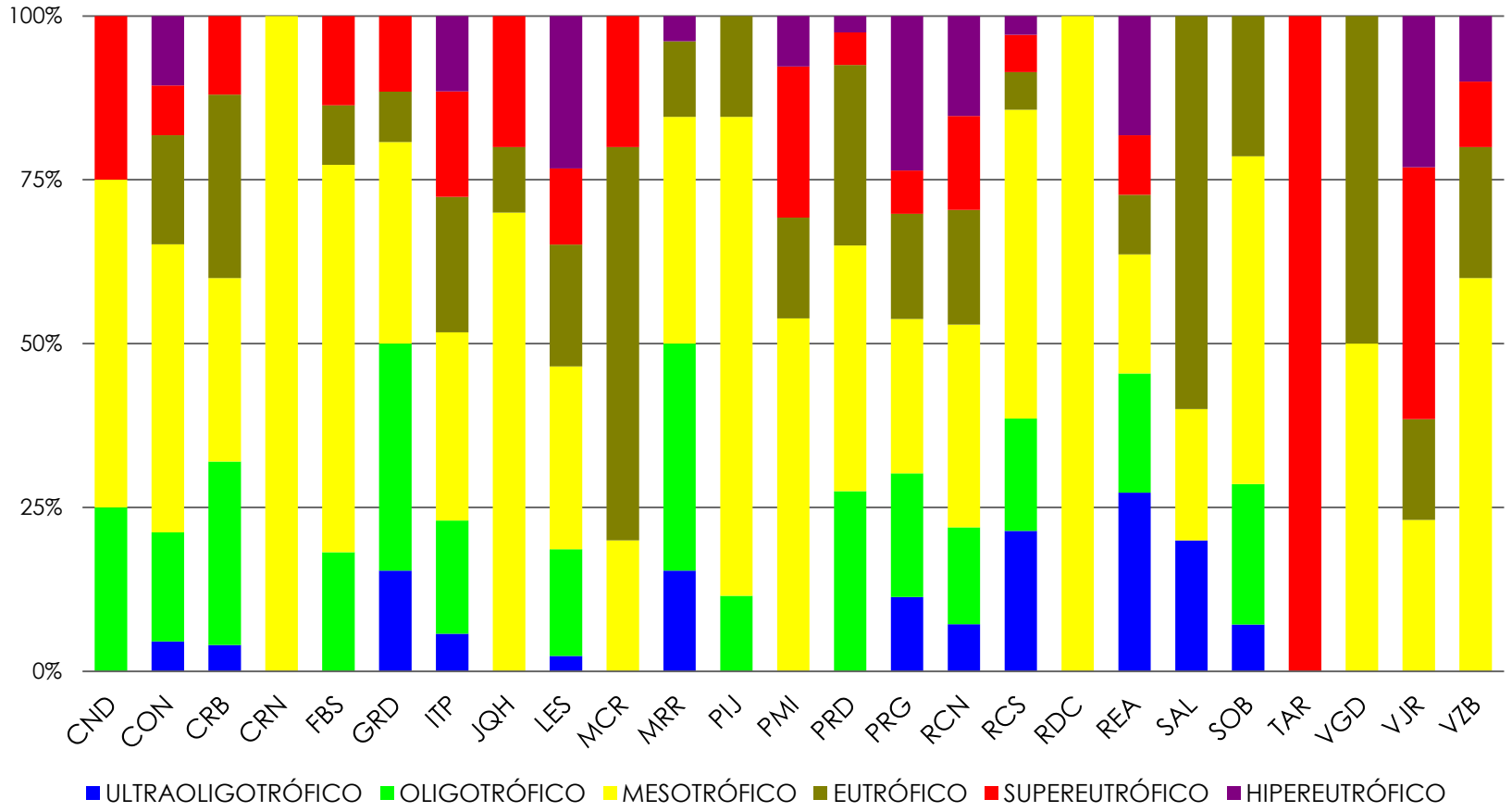


Figura 147. Frequência (%) das classes de IET para rede do Programa Monitora em 2020.

6 CONSIDERAÇÕES FINAIS

O monitoramento sistemático realizado pela Coordenação de Monitoramento de Recursos Ambientais e Hídricos (Comon) é fundamental para a manutenção da qualidade das águas do Estado da Bahia, visto que o conhecimento das condições ambientais dos corpos hídricos permite a elaboração de planejamentos e execução de estratégias para gestão das águas. Portanto, este trabalho permite identificar e avaliar os impactos provocados pelas diferentes fontes de poluição e contaminação, além de subsidiar a elaboração de propostas de enquadramentos através do fornecimento de informações para os sistemas nacionais de gestão dos recursos hídricos.

Em 2020, foi observado um elevado número de violações dos parâmetros de qualidade estabelecidos pela Resolução Conama nº 357, de 17 de março de 2005, para a maioria dos pontos, principalmente aqueles situados próximos ou dentro de regiões urbanas. Esses parâmetros em desconformidade com a legislação em questão são resultado da ocupação desordenada de áreas próximas aos corpos hídricos, além do lançamento indevido de efluentes domésticos decorrente da falta de saneamento básico, que acarreta no impacto negativo à qualidade das águas destes corpos hídricos.

Com relação aos indicadores de qualidade, a maioria dos pontos de monitoramento apresentou Índice de Qualidade das Águas (IQA) classificado entre "Regular" e "Ótimo", predominando os pontos classificados como "Bom". Portanto, os resultados para este indicador apontam que a maioria dos corpos hídricos situados no Estado da Bahia se encontra em condições ambientais satisfatórias para a manutenção do ecossistema aquático e de seus usos múltiplos.

Com base no Índice de Estado Trófico (IET), observa-se que a maioria dos pontos apresentou moderado ou baixo enriquecimento de nutrientes nos trechos monitorados. Entretanto, o grande número de pontos com nível de trofia classificado como "Mesotrófico" indica que estes corpos hídricos sofrem moderado enriquecimento de nutrientes, significando variável prejuízo aos usos múltiplos dessas águas. Vale ressaltar que, o número de campanhas que apresentaram nível de trofia elevado sendo classificado entre "Eutrófico" e "Hipereutrófico" é bastante significativo, evidenciando que alguns trechos monitorados estão sob intenso

processo de enriquecimento de nutrientes podendo acarretar em grandes prejuízos aos usos múltiplos dessas águas, além alterações drásticas no ecossistema.

No geral, o resultado do monitoramento dos corpos hídricos do Estado da Bahia realizado em 2020 indica que, embora a maioria dos corpos hídricos se encontre em condições aceitáveis para a sua utilização em diversas atividades essenciais com base nos índices de qualidade ambiental utilizados, boa parte deles, em especial aqueles situados próximos a áreas urbanas, está sob influência das ações humanas, podendo comprometer a manutenção desses ecossistemas e a sua utilização.

REFERÊNCIAS BIBLIOGRÁFICAS

APHA. American Public Health Association. **Standard methods for the examination of water and wasterwater**, 21st ed. Washington, 1.194 p, 2005.

BAHIA. Conselho Estadual de Recursos hídricos – CONERH. **Resolução CONERH n° 88, de 26 de novembro de 2012**. Salvador. Diário Oficial do Estado de 27 de novembro de 2012.

BAHIA. **Lei nº 6.855, de 12 de maio de 1995**. Salvador. Dispõe sobre a política, o gerenciamento e o plano estadual de recursos hídricos e dá outras providências. Diário Oficial do Estado de 13 de maio de 1995.

BRASIL. Bahia. **Decreto nº 14.024, de 6 de junho de 2012.** Regulamenta a Política Estadual de Recursos Hídricos e o Sistema Estadual de Gerenciamento de Recursos Hídricos, instituídos pela Lei nº 11.612, de 8 de outubro de 2009. *Diário Oficial do Estado da Bahia*, Salvador, BA, 7 jun. 2012.

BRASIL. Bahia. **Lei nº 11.612, de 8 de outubro de 2009.** Institui a Política Estadual de Recursos Hídricos e o Sistema Estadual de Gerenciamento de Recursos Hídricos, e dá outras providências. *Diário Oficial do Estado da Bahia*, Salvador, BA, 9 out. 2009.

BRASIL. AGÊNCIA NACIONAL DE ÁGUAS. **Índices de Qualidade da Água – Índice de Estado Trófico – IET.** Disponível em: <http://pnqa.ana.gov.br/IndicadoresQA/IndiceIQAR.aspx>. Acesso em janeiro de 2015.

BRASIL. AGÊNCIA NACIONAL DE ÁGUAS. **Resolução n° 903, de 22 de julho de 2013.** Diário Oficial da União de 06 de agosto de 2013.

BRASIL. Conselho Nacional do Meio Ambiente – CONAMA. **Resolução CONAMA n° 357, de 17 de março de 2005**. Brasília. Diário Oficial da União de 18 de março de 2005.

CETESB. 2011. **Guia nacional de coleta e preservação de amostras: água, sedimento, comunidades aquáticas e efluentes líquidos**.Companhia Ambiental do Estado de São Paulo; Organizadores: Carlos Jesus Brandão. [et al.]. -- São Paulo: CETESB; Brasília: ANA, 2011.

CETESB - Companhia de Tecnologia de Saneamento Ambiental. **Série Relatórios, Relatório de Qualidade das Águas Interiores no Estado de São Paulo: 2006. Anexo V - Índices de Qualidade das Águas.** Secretaria do Meio Ambiente, São Paulo, 2006.

CETESB - Companhia de Tecnologia de Saneamento Ambiental. **Série Relatórios, Apêndice A – Significado ambiental e sanitário das variáveis de qualidade das águas e dos sedimentos e metodologias analíticas de amostragem.** Secretaria do Meio Ambiente, São Paulo, 2009. Disponível em: http://www.cetesb.sp.gov.br/Agua/rios/variaveis.asp#serie. Acesso em janeiro de 2015.

IGAM - Instituto Mineiro de Gestão das Águas. **Monitoramento da qualidade das Águas Superficiais em 2012.** (Resumo executivo). Instituto Mineiro de Gestão das Águas, Belo Horizonte, 2013.

LAMPARELLI , M. C. **Grau de trofia em corpos d'água do estado de São Paulo: avaliação dos métodos de monitoramento**. São Paulo: USP/ Departamento de Ecologia., 2004. 235 f. Tese de doutorado, Universidade de São Paulo, 2004.

APÊNDICES

RPGA do Rio Carnaíba de Dentro (CND)

Parâmetro	Unidade	Padrão Legal Doce	Padrão Legal Salobra	1ª	2ª	3ª	1ª	2ª	3ª
				CND-CER-002	CND-CER-002	CND-CER-002	CND-CND-600	CND-CND-600	CND-CND-600
Alcalinidade total	mg CaCO3/L	NE	NE	26,4			67,8		
Cloreto	mg/L	≤ 250	NE	17,9			16,3		
Clorofila a	µg/L	≤ 30	NE	0,46			3,05		
Colif. termo	NMP/100mL	NE	NE	4,5X10			1,7X10^2		
Condutividade	µS/cm	NE	NE	235,5			178,5		
DBO	mg/L	≤ 5	NE	<3			<3		
DQO	mg O2/L	NE	NE	<30,0			<30,0		
N Total	mg/L	NE	NE	<1,0			<1,0		
Nitrogênio Nitrato	mg N-NO3/L	≤ 10	≤ 0,4	<0,02			<0,02		
N-NH3	mg N-NH3/L	*	≤ 0,4	<0,4			<0,4		
OD	mg/L	≥ 5,0	≥ 5,0	4,79			5,86		
Ortofosfato solúvel	mg/L	NE	NE	<0,02			<0,02		
P Total	mg/L	≤ 0,1	≤ 0,124	<0,02			0,07		
pH	s/ unid	6 a 9	6,5 a 8,5	7,18			7,49		
Salinidade	‰	NE	NE	0,1			<0,1		
Sólidos em suspensão	mg/L	NE	NE	<50			<50		
Sólidos totais	mg/L	NE	NE	140			162		
STD	mg/L	≤ 500	NE	120			142		
Temperatura	°C	NE	NE	25,9			27,6		
Temperatura do Ar	°C	NE	NE	24			27		
Turbidez	NTU	≤ 100	NE	11,4			16,1		
% Saturação de OD	%	NE	NE	0,71			73,6		

Parâmetro	Unidade	Padrão Legal Doce	Padrão Legal Salobra	1ª	2ª	3ª
				CND-RSF-300	CND-RSF-300	CND-RSF-300
Alcalinidade total	mg CaCO3/L	NE	NE	30,3		29,2
Cloreto	mg/L	≤ 250	NE	1,7		<0,5
Clorofila a	µg/L	≤ 30	NE	21		2,83
Colif. termo	NMP/100mL	NE	NE	1,4X10^2		9,5X10^2
Condutividade	µS/cm	NE	NE	78,1		76,3
DBO	mg/L	≤ 5	NE	3		<3
DQO	mg O2/L	NE	NE	<30,0		<30,0
N Total	mg/L	NE	NE	<1,0		<1,0
Nitrogênio Nitrato	mg N-NO3/L	≤ 10	≤ 0,4	0,04		<0,02
N-NH3	mg N-NH3/L	*	≤ 0,4	<0,4		<0,4
OD	mg/L	≥ 5,0	≥ 5,0	5,42		6,67
Ortofosfato solúvel	mg/L	NE	NE	<0,02		<0,02
P Total	mg/L	≤ 0,1	≤ 0,124	0,08		0,05
pH	s/ unid	6 a 9	6,5 a 8,5	6,77		8,55
Salinidade	‰	NE	NE	<0,1		<0,1
Sólidos em suspensão	mg/L	NE	NE	<50		92
Sólidos totais	mg/L	NE	NE	78		180
STD	mg/L	≤ 500	NE	76		94
Temperatura	°C	NE	NE	31,5		30,2
Temperatura do Ar	°C	NE	NE	30		29
Turbidez	NTU	≤ 100	NE	39,1		75,8
% Saturação de OD	%	NE	NE	67		82,8

RPGA do Rio de Contas (CON)

Parâmetro	Unidade	Padrão Legal Doce	Padrão Legal Salobra	1ª	2ª	3ª	1ª	2ª	3ª
				CON-ANT-100	CON-ANT-100	CON-ANT-100	CON-BAG-001	CON-BAG-001	CON-BAG-001
Alcalinidade total	mg CaCO3/L	NE	NE	177			84,6		78
Cloreto	mg/L	≤ 250	NE	109			79,7		39,9
Clorofila a	µg/L	≤ 30	NE	411			2,5		5,05
Colif. termo	NMP/100mL	NE	NE	>1,6X10^4			2,3X10^2		1,3X10^3
Condutividade	µS/cm	NE	NE	729			570		354
DBO	mg/L	≤ 5	NE	37			<3		<3
DQO	mg O2/L	NE	NE	90,8			<30		112
N Total	mg/L	NE	NE	5,7			<1		<1
Nitrogênio Nitrato	mg N-NO3/L	≤ 10	≤ 0,4	0,05			<0,02		<0,02
N-NH3	mg N-NH3/L	*	≤ 0,4	3,1			<0,4		0,7
OD	mg/L	≥ 5,0	≥ 5,0	15,3			7,37		1,48
Ortofosfato solúvel	mg/L	NE	NE	<0,02			<0,02		<0,02
P Total	mg/L	≤ 0,1	≤ 0,124	0,25			<0,02		0,1
pH	s/ unid	6 a 9	6,5 a 8,5	8,84			7,67		6,83
Salinidade	‰	NE	NE	0,4			0,3		0,2
Sólidos em suspensão	mg/L	NE	NE	74			<50		50
Sólidos totais	mg/L	NE	NE	531			286		262
STD	mg/L	≤ 500	NE	444			258		214
Temperatura	°C	NE	NE	31,2			29,9		27
Temperatura do Ar	°C	NE	NE	29			30		32
Turbidez	NTU	≤ 100	NE	67,2			13,6		38,1
% Saturação de OD	%	NE	NE	207			99,9		19,2

Parâmetro	Unidade	Padrão Legal Doce	Padrão Legal Salobra	1ª	2ª	3ª	1ª	2ª	3ª
				CON-BAG-002	CON-BAG-002	CON-BAG-002	CON-BAG-003	CON-BAG-003	CON-BAG-003
Alcalinidade total	mg CaCO3/L	NE	NE	88		93,9	87,2		93,2
Cloreto	mg/L	≤ 250	NE	72,8		52,1	70,7		51,5
Clorofila a	µg/L	≤ 30	NE	4,29		2,22	6,85		1,89
Colif. termo	NMP/100mL	NE	NE	1,7X10^3		1,1X10^2	3,3X10^2		1,3X10^3
Condutividade	µS/cm	NE	NE	538		456	528		435
DBO	mg/L	≤ 5	NE	3		<3	<3		4
DQO	mg O2/L	NE	NE	<30		112	<30		104
N Total	mg/L	NE	NE	<1		<1	<1		<1
Nitrogênio Nitrato	mg N-NO3/L	≤ 10	≤ 0,4	0,06		<0,02	0,02		<0,02
N-NH3	mg N-NH3/L	*	≤ 0,4	<0,4		<0,4	<0,4		0,4
OD	mg/L	≥ 5,0	≥ 5,0	7,36		6,01	5,49		6,22
Ortofosfato solúvel	mg/L	NE	NE	<0,02		<0,02	<0,02		<0,02
P Total	mg/L	≤ 0,1	≤ 0,124	<0,02		0,04	<0,02		0,04
pH	s/ unid	6 a 9	6,5 a 8,5	8,03		7,28	7,9		6,99
Salinidade	‰	NE	NE	0,3		0,2	0,3		0,2
Sólidos em suspensão	mg/L	NE	NE	<50		<50	<50		<50
Sólidos totais	mg/L	NE	NE	328		242	256		232
STD	mg/L	≤ 500	NE	280		224	234		204
Temperatura	°C	NE	NE	31,8		29,9	29,6		26,5
Temperatura do Ar	°C	NE	NE	30		31	30		32
Turbidez	NTU	≤ 100	NE	24,6		8,8	12,2		1,6
% Saturação de OD	%	NE	NE	101		77,2	72,3		79,6

Parâmetro	Unidade	Padrão Legal Doce	Padrão Legal Salobra	1ª	2ª	3ª	1ª	2ª	3ª
				CON-BAT-001	CON-BAT-001	CON-BAT-001	CON-BRU-150	CON-BRU-150	CON-BRU-150
Alcalinidade total	mg CaCO3/L	NE	NE	151		139	7		15,9
Cloreto	mg/L	≤ 250	NE	131		126	2,6		4,3
Clorofila a	µg/L	≤ 30	NE	2,5		2,22	2,07		6,73
Colif. termo	NMP/100mL	NE	NE	1,1X10^2		<1,8X10	2,2X10^3		9,2X10^3
Condutividade	µS/cm	NE	NE	929		892	37,2		46,8
DBO	mg/L	≤ 5	NE	8		<3	<3		<3
DQO	mg O2/L	NE	NE	<30		118	<30		<30
N Total	mg/L	NE	NE	<1		<1	<1		<1
Nitrogênio Nitrato	mg N-NO3/L	≤ 10	≤ 0,4	<0,02		<0,02	0,03		0,06
N-NH3	mg N-NH3/L	*	≤ 0,4	<0,4		<0,4	<0,4		<0,4
OD	mg/L	≥ 5,0	≥ 5,0	5,14		8,96	4,7		5,02
Ortofosfato solúvel	mg/L	NE	NE	<0,02		<0,02	0,02		<0,02
P Total	mg/L	≤ 0,1	≤ 0,124	<0,02		0,19	0,06		0,04
pH	s/ unid	6 a 9	6,5 a 8,5	7,72		7,16	6,31		7,77
Salinidade	‰	NE	NE	0,4		0,4	<0,1		<0,1
Sólidos em suspensão	mg/L	NE	NE	<50		<50	<50		<50
Sólidos totais	mg/L	NE	NE	436		450	62		70
STD	mg/L	≤ 500	NE	430		450	<50		62
Temperatura	°C	NE	NE	32		27,4	22,1		23,3
Temperatura do Ar	°C	NE	NE	35		26	21		26
Turbidez	NTU	≤ 100	NE	7,4		1,9	50,4		10
% Saturação de OD	%	NE	NE	72,8		114	54,1		60

Parâmetro	Unidade	Padrão Legal Doce	Padrão Legal Salobra	1ª	2ª	3ª	1ª	2ª	3ª
				CON-BRU-900	CON-BRU-900	CON-BRU-900	CON-BTR-001	CON-BTR-001	CON-BTR-001
Alcalinidade total	mg CaCO3/L	NE	NE			23,6	136		122
Cloreto	mg/L	≤ 250	NE			7,8	81,1		50,7
Clorofila a	µg/L	≤ 30	NE			50,8	1,19		8,01
Colif. termo	NMP/100mL	NE	NE			2,0X10	3,0X10^3		>1,6X10^4
Condutividade	µS/cm	NE	NE			106	583		553
DBO	mg/L	≤ 5	NE			5	<3		<3
DQO	mg O2/L	NE	NE			131	<30		<30
N Total	mg/L	NE	NE			2	<1		<1
Nitrogênio Nitrato	mg N-NO3/L	≤ 10	≤ 0,4			<0,02	<0,02		<0,02
N-NH3	mg N-NH3/L	*	≤ 0,4			0,9	<0,4		<0,4
OD	mg/L	≥ 5,0	≥ 5,0			5,53	7,69		6,22
Ortofosfato solúvel	mg/L	NE	NE			<0,02	<0,02		<0,02
P Total	mg/L	≤ 0,1	≤ 0,124			0,05	<0,02		0,08
pH	s/ unid	6 a 9	6,5 a 8,5			8,14	6,63		6,87
Salinidade	‰	NE	NE			<0,1	0,3		0,3
Sólidos em suspensão	mg/L	NE	NE			<50	<50		<50
Sólidos totais	mg/L	NE	NE			118	320		272
STD	mg/L	≤ 500	NE			94	302		276
Temperatura	°C	NE	NE			30,6	28,3		27,5
Temperatura do Ar	°C	NE	NE			33	24		27
Turbidez	NTU	≤ 100	NE			56,3	7,2		3,4
% Saturação de OD	%	NE	NE			71,5	88,6		73,6

Parâmetro	Unidade	Padrão Legal Doce	Padrão Legal Salobra	1ª	2ª	3ª	1ª	2ª	3ª
				CON-CAE-004	CON-CAE-004	CON-CAE-004	CON-CON-200	CON-CON-200	CON-CON-200
Alcalinidade total	mg CaCO3/L	NE	NE	29,4			9,6		9,7
Cloreto	mg/L	≤ 250	NE	6			4,8		5,4
Clorofila a	µg/L	≤ 30	NE	<0,4			0,71		7,1
Colif. termo	NMP/100mL	NE	NE	4,9X10^2			2,3X10^2		4,5X10
Condutividade	µS/cm	NE	NE	72,1			64,2		54,4
DBO	mg/L	≤ 5	NE	<3			<3		<3
DQO	mg O2/L	NE	NE	<30			<30		<30
N Total	mg/L	NE	NE	1,7			<1		<1
Nitrogênio Nitrato	mg N-NO3/L	≤ 10	≤ 0,4	<0,02			<0,02		<0,02
N-NH3	mg N-NH3/L	*	≤ 0,4	1,4			<0,4		0,5
OD	mg/L	≥ 5,0	≥ 5,0	3,02			6,93		7,97
Ortofosfato solúvel	mg/L	NE	NE	<0,02			<0,02		<0,02
P Total	mg/L	≤ 0,1	≤ 0,124	0,07			0,04		0,03
pH	s/ unid	6 a 9	6,5 a 8,5	7,86			7,3		8,05
Salinidade	‰	NE	NE	<0,1			<0,1		<0,1
Sólidos em suspensão	mg/L	NE	NE	600			<50		<50
Sólidos totais	mg/L	NE	NE	660			58		96
STD	mg/L	≤ 500	NE	60			<50		90
Temperatura	°C	NE	NE	22,6			24,6		24,2
Temperatura do Ar	°C	NE	NE	18			20		25
Turbidez	NTU	≤ 100	NE	447			20,3		15
% Saturação de OD	%	NE	NE	36,4			85		94,4

Parâmetro	Unidade	Padrão Legal Doce	Padrão Legal Salobra	1ª	2ª	3ª	1ª	2ª	3ª
				CON-CON-250	CON-CON-250	CON-CON-250	CON-CON-360	CON-CON-360	CON-CON-360
Alcalinidade total	mg CaCO3/L	NE	NE	8		12,5	24,5		12,7
Cloreto	mg/L	≤ 250	NE	4,2		6,8	9,5		6,6
Clorofila a	µg/L	≤ 30	NE	4,29		7,28	2,45		<0,4
Colif. termo	NMP/100mL	NE	NE	7,8X10		6,8X10	9,2X10^3		4,9X10^2
Condutividade	µS/cm	NE	NE	53,9		70,3	119,8		76,8
DBO	mg/L	≤ 5	NE	<3		<3	<3		3
DQO	mg O2/L	NE	NE	<30		<30	<30		134
N Total	mg/L	NE	NE	<1		<1	<1		<1
Nitrogênio Nitrato	mg N-NO3/L	≤ 10	≤ 0,4	<0,02		<0,02	0,08		<0,02
N-NH3	mg N-NH3/L	*	≤ 0,4	<0,4		0,4	<0,4		0,5
OD	mg/L	≥ 5,0	≥ 5,0	5,91		7,15	6,03		6,52
Ortofosfato solúvel	mg/L	NE	NE	<0,02		<0,02	<0,02		0,02
P Total	mg/L	≤ 0,1	≤ 0,124	0,03		0,05	0,07		<0,02
pH	s/ unid	6 a 9	6,5 a 8,5	6,42		7,77	7,3		8,14
Salinidade	‰	NE	NE	<0,1		<0,1	<0,1		<0,1
Sólidos em suspensão	mg/L	NE	NE	<50		<50	<50		<50
Sólidos totais	mg/L	NE	NE	<50		100	142		126
STD	mg/L	≤ 500	NE	<50		92	94		96
Temperatura	°C	NE	NE	27,2		26,3	30,7		24,6
Temperatura do Ar	°C	NE	NE	20		26	31		26
Turbidez	NTU	≤ 100	NE	15,5		16,3	66		63,7
% Saturação de OD	%	NE	NE	74,3		87,5	81,6		69,2

Parâmetro	Unidade	Padrão Legal Doce	Padrão Legal Salobra	1ª	2ª	3ª	1ª	2ª	3ª
				CON-CON-400	CON-CON-400	CON-CON-400	CON-CON-500	CON-CON-500	CON-CON-500
Alcalinidade total	mg CaCO3/L	NE	NE	33,6		24,9	55,7		48,6
Cloreto	mg/L	≤ 250	NE	11,3		9,4	39		27,4
Clorofila a	µg/L	≤ 30	NE	10,9		2,6	2,88		0,76
Colif. termo	NMP/100mL	NE	NE	3,3X10^2		6,8X10	3,3X10^2		2,4X10^3
Condutividade	µS/cm	NE	NE	150,9		119,5	338		254,4
DBO	mg/L	≤ 5	NE	<3		3	<3		<3
DQO	mg O2/L	NE	NE	<30		102	<30		102
N Total	mg/L	NE	NE	<1		2	<1		<1
Nitrogênio Nitrato	mg N-NO3/L	≤ 10	≤ 0,4	0,11		<0,02	0,02		<0,02
N-NH3	mg N-NH3/L	*	≤ 0,4	<0,4		1,2	<0,4		0,4
OD	mg/L	≥ 5,0	≥ 5,0	6,65		6,47	9,13		7,89
Ortofosfato solúvel	mg/L	NE	NE	<0,02		<0,02	<0,02		<0,02
P Total	mg/L	≤ 0,1	≤ 0,124	<0,02		0,03	<0,02		0,02
pH	s/ unid	6 a 9	6,5 a 8,5	7,29		7,93	8,1		7,17
Salinidade	‰	NE	NE	<0,1		<0,1	0,2		0,1
Sólidos em suspensão	mg/L	NE	NE	<50		<50	<50		<50
Sólidos totais	mg/L	NE	NE	148		156	158		164
STD	mg/L	≤ 500	NE	122		126	152		142
Temperatura	°C	NE	NE	23,9		27	29		26,6
Temperatura do Ar	°C	NE	NE	25		27	34		31
Turbidez	NTU	≤ 100	NE	66		68,5	21		30,5
% Saturação de OD	%	NE	NE	86,9		80,5	121		101

Parâmetro	Unidade	Padrão Legal Doce	Padrão Legal Salobra	1ª	2ª	3ª	1ª	2ª	3ª
				CON-CON-550	CON-CON-550	CON-CON-550	CON-CON-630	CON-CON-630	CON-CON-630
Alcalinidade total	mg CaCO3/L	NE	NE	73		51,2	48,2		52,1
Cloreto	mg/L	≤ 250	NE	51,9		33,3	38,5		20
Clorofila a	µg/L	≤ 30	NE	11		<0,4	6,89		5,61
Colif. termo	NMP/100mL	NE	NE	6,8X10		3,3X10^2	>1,6X10^4		9,2X10^3
Condutividade	µS/cm	NE	NE	436		276,4	244,2		215,6
DBO	mg/L	≤ 5	NE	<3		5	<3		4
DQO	mg O2/L	NE	NE	<30		74,6	<30		<30
N Total	mg/L	NE	NE	<1		2	<1		<1
Nitrogênio Nitrato	mg N-NO3/L	≤ 10	≤ 0,4	<0,02		<0,02	<0,02		<0,02
N-NH3	mg N-NH3/L	*	≤ 0,4	<0,4		1,3	<0,4		<0,4
OD	mg/L	≥ 5,0	≥ 5,0	3,84		2,18	7,84		5,94
Ortofosfato solúvel	mg/L	NE	NE	<0,02		<0,02	<0,02		<0,02
P Total	mg/L	≤ 0,1	≤ 0,124	0,12		0,02	0,07		0,09
pH	s/ unid	6 a 9	6,5 a 8,5	7,86		7,06	7,45		7,14
Salinidade	‰	NE	NE	0,2		0,1	0,1		<0,1
Sólidos em suspensão	mg/L	NE	NE	<50		<50	<50		<50
Sólidos totais	mg/L	NE	NE	239		150	122		178
STD	mg/L	≤ 500	NE	211		122	120		133
Temperatura	°C	NE	NE	28,6		28,3	30,1		28,4
Temperatura do Ar	°C	NE	NE	34		32	37		33
Turbidez	NTU	≤ 100	NE	8,6		11,7	2,2		19,9
% Saturação de OD	%	NE	NE	50,4		28,7	104		76,6

Parâmetro	Unidade	Padrão Legal Doce	Padrão Legal Salobra	1ª	2ª	3ª	1ª	2ª	3ª
				CON-CON-700	CON-CON-700	CON-CON-700	CON-CON-790	CON-CON-790	CON-CON-790
Alcalinidade total	mg CaCO3/L	NE	NE	51,6		44,9			38,7
Cloreto	mg/L	≤ 250	NE	38,6		19,5			19,3
Clorofila a	µg/L	≤ 30	NE	5,6		4,96			4,58
Colif. termo	NMP/100mL	NE	NE	7,9X10^2		4,6X10^2			1,6X10^4
Condutividade	µS/cm	NE	NE	258,9		225,9			219,4
DBO	mg/L	≤ 5	NE	<3		<3			<3
DQO	mg O2/L	NE	NE	<30		<30			<30
N Total	mg/L	NE	NE	<1		<1			<1
Nitrogênio Nitrato	mg N-NO3/L	≤ 10	≤ 0,4	<0,02		<0,02			<0,02
N-NH3	mg N-NH3/L	*	≤ 0,4	<0,4		<0,4			<0,4
OD	mg/L	≥ 5,0	≥ 5,0	7		6,02			7,1
Ortofosfato solúvel	mg/L	NE	NE	<0,02		<0,02			<0,02
P Total	mg/L	≤ 0,1	≤ 0,124	0,04		0,11			0,08
pH	s/ unid	6 a 9	6,5 a 8,5	7,29		7,4			7,49
Salinidade	‰	NE	NE	0,1		0,1			0,1
Sólidos em suspensão	mg/L	NE	NE	<50		<50			<50
Sólidos totais	mg/L	NE	NE	162		180			150
STD	mg/L	≤ 500	NE	150		138			135
Temperatura	°C	NE	NE	30,4		28,2			28,8
Temperatura do Ar	°C	NE	NE	38		33			33
Turbidez	NTU	≤ 100	NE	2		18,9			13,2
% Saturação de OD	%	NE	NE	93,4		77,3			92,1

Parâmetro	Unidade	Padrão Legal Doce	Padrão Legal Salobra	1ª	2ª	3ª	1ª	2ª	3ª
				CON-CON-800	CON-CON-800	CON-CON-800	CON-CON-900	CON-CON-900	CON-CON-900
Alcalinidade total	mg CaCO3/L	NE	NE	48		42,1	41,1		31,9
Cloreto	mg/L	≤ 250	NE	46		21,6	739		17,9
Clorofila a	µg/L	≤ 30	NE	1,29		4,36	11,7		6,84
Colif. termo	NMP/100mL	NE	NE	>1,6X10^4		5,4X10^3	1,3X10^2		2,2X10^2
Condutividade	µS/cm	NE	NE	295,3		225,2	3100		209,7
DBO	mg/L	≤ 5	NE	<3		<3	<3		<3
DQO	mg O2/L	NE	NE	<30		<30	61,2		<30
N Total	mg/L	NE	NE	<1		<1	<1		<1
Nitrogênio Nitrato	mg N-NO3/L	≤ 10	≤ 0,4	<0,02		<0,02	0,07		<0,02
N-NH3	mg N-NH3/L	*	≤ 0,4	<0,4		<0,4	<0,4		<0,4
OD	mg/L	≥ 5,0	≥ 5,0	6,87		6,12	5,84		6,68
Ortofosfato solúvel	mg/L	NE	NE	<0,02		<0,02	<0,02		<0,02
P Total	mg/L	≤ 0,1	≤ 0,124	0,13		0,1	0,08		0,13
pH	s/ unid	6 a 9	6,5 a 8,5	7,27		7,28	6,9		7,36
Salinidade	‰	NE	NE	0,1		0,1	1,6		<0,1
Sólidos em suspensão	mg/L	NE	NE	<50		<50	104		88
Sólidos totais	mg/L	NE	NE	204		160	1748		234
STD	mg/L	≤ 500	NE	148		138	1660		162
Temperatura	°C	NE	NE	31		29,9	31,3		28,9
Temperatura do Ar	°C	NE	NE	38,5		33	33		31
Turbidez	NTU	≤ 100	NE	3,4		14,9	84,8		51,4
% Saturação de OD	%	NE	NE	92,5		80,9	79,7		86,8

Parâmetro	Unidade	Padrão Legal Doce	Padrão Legal Salobra	1ª	2ª	3ª	1ª	2ª	3ª
				CON-COX-001	CON-COX-001	CON-COX-001	CON-FOR-400	CON-FOR-400	CON-FOR-400
Alcalinidade total	mg CaCO3/L	NE	NE	38,3			352		50,1
Cloreto	mg/L	≤ 250	NE	18,3			129		18,8
Clorofila a	µg/L	≤ 30	NE	6,2			12,7		2,11
Colif. termo	NMP/100mL	NE	NE	7,9X10^2			>1,6X10^4		>1,6X10^4
Condutividade	µS/cm	NE	NE	166,6			1253		282,1
DBO	mg/L	≤ 5	NE	<3			28		15
DQO	mg O2/L	NE	NE	<30			188		63,9
N Total	mg/L	NE	NE	<1			64		1,2
Nitrogênio Nitrato	mg N-NO3/L	≤ 10	≤ 0,4	<0,02			<0,02		<0,02
N-NH3	mg N-NH3/L	*	≤ 0,4	0,7			63,1		0,6
OD	mg/L	≥ 5,0	≥ 5,0	4,49			1,93		0,97
Ortofosfato solúvel	mg/L	NE	NE	<0,02			2,52		<0,02
P Total	mg/L	≤ 0,1	≤ 0,124	0,03			5,23		1,38
pH	s/ unid	6 a 9	6,5 a 8,5	7,69			7,54		6,8
Salinidade	‰	NE	NE	<0,1			0,6		0,1
Sólidos em suspensão	mg/L	NE	NE	<50			138		<50
Sólidos totais	mg/L	NE	NE	132			724		194
STD	mg/L	≤ 500	NE	118			578		168
Temperatura	°C	NE	NE	28			30,3		27,5
Temperatura do Ar	°C	NE	NE	27			34		33
Turbidez	NTU	≤ 100	NE	72,8			156		14,4
% Saturação de OD	%	NE	NE	52			25,8		12,4

Parâmetro	Unidade	Padrão Legal Doce	Padrão Legal Salobra	1ª	2ª	3ª	1ª	2ª	3ª
				CON-GAV-200	CON-GAV-200	CON-GAV-200	CON-GAV-500	CON-GAV-500	CON-GAV-500
Alcalinidade total	mg CaCO3/L	NE	NE			45,1	100		138
Cloreto	mg/L	≤ 250	NE			4,8	75,4		94,3
Clorofila a	µg/L	≤ 30	NE			13,1	1,74		<0,4
Colif. termo	NMP/100mL	NE	NE			1,1X10^2	>1,6X10^4		3,5X10^3
Condutividade	µS/cm	NE	NE			141,1	543		758
DBO	mg/L	≤ 5	NE			<3	<3		4
DQO	mg O2/L	NE	NE			<30	<30		129
N Total	mg/L	NE	NE			1	2,1		<1
Nitrogênio Nitrato	mg N-NO3/L	≤ 10	≤ 0,4			<0,02	<0,02		<0,02
N-NH3	mg N-NH3/L	*	≤ 0,4			<0,4	1,6		0,5
OD	mg/L	≥ 5,0	≥ 5,0			5,8	2,72		4,62
Ortofosfato solúvel	mg/L	NE	NE			<0,02	<0,02		<0,02
P Total	mg/L	≤ 0,1	≤ 0,124			0,06	0,18		0,03
pH	s/ unid	6 a 9	6,5 a 8,5			7,4	7,64		6,89
Salinidade	‰	NE	NE			<0,1	0,3		0,3
Sólidos em suspensão	mg/L	NE	NE			53	<50		<50
Sólidos totais	mg/L	NE	NE			144	320		424
STD	mg/L	≤ 500	NE			93	318		418
Temperatura	°C	NE	NE			29	28,3		27,3
Temperatura do Ar	°C	NE	NE			28	31		30
Turbidez	NTU	≤ 100	NE			51	9,2		9,3
% Saturação de OD	%	NE	NE			66,9	34,2		59,5

Parâmetro	Unidade	Padrão Legal Doce	Padrão Legal Salobra	1ª	2ª	3ª	1ª	2ª	3ª
				CON-GGJ-200	CON-GGJ-200	CON-GGJ-200	CON-GGJ-400	CON-GGJ-400	CON-GGJ-400
Alcalinidade total	mg CaCO3/L	NE	NE	11,9		19,6	15,3		33,8
Cloreto	mg/L	≤ 250	NE	15,2		17,9	20		21,5
Clorofila a	µg/L	≤ 30	NE	2,44		2,67	2,04		3,05
Colif. termo	NMP/100mL	NE	NE	1,3X10^3		1,6X10^4	3,5X10^3		1,7X10^3
Condutividade	µS/cm	NE	NE	79,5		155	131,2		217,2
DBO	mg/L	≤ 5	NE	<3		5	<3		<3
DQO	mg O2/L	NE	NE	<30		<30	<30		<30
N Total	mg/L	NE	NE	<1		<1	<1		<1
Nitrogênio Nitrato	mg N-NO3/L	≤ 10	≤ 0,4	<0,02		<0,02	<0,02		<0,02
N-NH3	mg N-NH3/L	*	≤ 0,4	<0,4		<0,4	<0,4		<0,4
OD	mg/L	≥ 5,0	≥ 5,0	6,2		7,87	7,07		7,81
Ortofosfato solúvel	mg/L	NE	NE	<0,02		<0,02	<0,02		<0,02
P Total	mg/L	≤ 0,1	≤ 0,124	<0,02		0,02	0,15		0,09
pH	s/ unid	6 a 9	6,5 a 8,5	7,01		7,26	6,92		7,93
Salinidade	‰	NE	NE	<0,1		<0,1	<0,1		0,1
Sólidos em suspensão	mg/L	NE	NE	<50		<50	<50		<50
Sólidos totais	mg/L	NE	NE	70		110	90		192
STD	mg/L	≤ 500	NE	66		101	86		134
Temperatura	°C	NE	NE	29,7		25,6	30,3		28,7
Temperatura do Ar	°C	NE	NE	39		32	37		34
Turbidez	NTU	≤ 100	NE	2,8		7,6	4,2		17,3
% Saturação de OD	%	NE	NE	81,6		96,7	93,9		101

Parâmetro	Unidade	Padrão Legal Doce	Padrão Legal Salobra	1ª	2ª	3ª	1ª	2ª	3ª
				CON-GRT-900	CON-GRT-900	CON-GRT-900	CON-JQZ-100	CON-JQZ-100	CON-JQZ-100
Alcalinidade total	mg CaCO3/L	NE	NE	<2		2	401		430
Cloreto	mg/L	≤ 250	NE	1,8		0,7	799		559
Clorofila a	µg/L	≤ 30	NE	0,7		6,95	47,2		1,47
Colif. termo	NMP/100mL	NE	NE	<1,8X10		2,0X10	>1,6X10^4		>1,6X10^4
Condutividade	µS/cm	NE	NE	17,1		14,3	4050		3890
DBO	mg/L	≤ 5	NE	<3		<3	3		11
DQO	mg O2/L	NE	NE	<30		<30	74,6		166
N Total	mg/L	NE	NE	<1		<1	4,9		6,3
Nitrogênio Nitrato	mg N-NO3/L	≤ 10	≤ 0,4	0,07		<0,02	0,9		0,34
N-NH3	mg N-NH3/L	*	≤ 0,4	<0,4		<0,4	1		3,4
OD	mg/L	≥ 5,0	≥ 5,0	7,16		6,17	1,24		10,7
Ortofosfato solúvel	mg/L	NE	NE	<0,02		<0,02	0,15		0,04
P Total	mg/L	≤ 0,1	≤ 0,124	<0,02		<0,02	0,39		0,77
pH	s/ unid	6 a 9	6,5 a 8,5	7,9		8,27	8,14		6,51
Salinidade	‰	NE	NE	<0,1		<0,1	2,1		1,9
Sólidos em suspensão	mg/L	NE	NE	<50		<50	416		<50
Sólidos totais	mg/L	NE	NE	<50		<50	2240		1916
STD	mg/L	≤ 500	NE	<50		<50	1820		1812
Temperatura	°C	NE	NE	20,1		21,7	34,3		33,9
Temperatura do Ar	°C	NE	NE	19		22	34		33
Turbidez	NTU	≤ 100	NE	1,2		2,6	8,3		6,2
% Saturação de OD	%	NE	NE	80,1		6,7	12,5		150

Parâmetro	Unidade	Padrão Legal Doce	Padrão Legal Salobra	1ª	2ª	3ª	1ª	2ª	3ª
				CON-LRE-011	CON-LRE-011	CON-LRE-011	CON-LST-100	CON-LST-100	CON-LST-100
Alcalinidade total	mg CaCO3/L	NE	NE	66,2			59,6		
Cloreto	mg/L	≤ 250	NE	5,4			10,5		
Clorofila a	µg/L	≤ 30	NE	13,3			37,3		
Colif. termo	NMP/100mL	NE	NE	2,8X10^2			>1,6X10^4		
Condutividade	µS/cm	NE	NE	173,8			303		
DBO	mg/L	≤ 5	NE	11			<3		
DQO	mg O2/L	NE	NE	<30			<30		
N Total	mg/L	NE	NE	<1			2,8		
Nitrogênio Nitrato	mg N-NO3/L	≤ 10	≤ 0,4	<0,02			0,15		
N-NH3	mg N-NH3/L	*	≤ 0,4	<0,4			1		
OD	mg/L	≥ 5,0	≥ 5,0	10,4			4,06		
Ortofosfato solúvel	mg/L	NE	NE	<0,02			<0,02		
P Total	mg/L	≤ 0,1	≤ 0,124	<0,02			0,19		
pH	s/ unid	6 a 9	6,5 a 8,5	9,39			7,22		
Salinidade	‰	NE	NE	<0,1			0,1		
Sólidos em suspensão	mg/L	NE	NE	<50			496		
Sólidos totais	mg/L	NE	NE	136			786		
STD	mg/L	≤ 500	NE	116			284		
Temperatura	°C	NE	NE	33,1			24,8		
Temperatura do Ar	°C	NE	NE	34			24		
Turbidez	NTU	≤ 100	NE	16,8			394		
% Saturação de OD	%	NE	NE	149			52		

Parâmetro	Unidade	Padrão Legal Doce	Padrão Legal Salobra	1ª	2ª	3ª	1ª	2ª	3ª
				CON-MUL-800	CON-MUL-800	CON-MUL-800	CON-ORI-700	CON-ORI-700	CON-ORI-700
Alcalinidade total	mg CaCO3/L	NE	NE			34	8,3		12,4
Cloreto	mg/L	≤ 250	NE			75,8	9,5		4,8
Clorofila a	µg/L	≤ 30	NE			32,7	4,95		1,03
Colif. termo	NMP/100mL	NE	NE			1,8X10^2	1,6X10^2		1,0X10^3
Condutividade	µS/cm	NE	NE			486	70,1		94,1
DBO	mg/L	≤ 5	NE			8	8		5
DQO	mg O2/L	NE	NE			129	<30		<30
N Total	mg/L	NE	NE			2	<1		<1
Nitrogênio Nitrato	mg N-NO3/L	≤ 10	≤ 0,4			<0,02	<0,02		<0,02
N-NH3	mg N-NH3/L	*	≤ 0,4			<0,4	<0,4		0,4
OD	mg/L	≥ 5,0	≥ 5,0			4,3	5,48		6,95
Ortofosfato solúvel	mg/L	NE	NE			<0,02	<0,02		<0,02
P Total	mg/L	≤ 0,1	≤ 0,124			0,13	<0,02		0,03
pH	s/ unid	6 a 9	6,5 a 8,5			7,24	6,67		6,84
Salinidade	‰	NE	NE			0,2	<0,1		<0,1
Sólidos em suspensão	mg/L	NE	NE			<50	<50		<50
Sólidos totais	mg/L	NE	NE			346	112		76
STD	mg/L	≤ 500	NE			296	68		<50
Temperatura	°C	NE	NE			27	30,6		26,3
Temperatura do Ar	°C	NE	NE			30	36		30
Turbidez	NTU	≤ 100	NE			8,7	2,8		7,6
% Saturação de OD	%	NE	NE			53,4	73,4		86,2

Parâmetro	Unidade	Padrão Legal Doce	Padrão Legal Salobra	1ª	2ª	3ª	1ª	2ª	3ª
				CON-ORV-100	CON-ORV-100	CON-ORV-100	CON-PEX-400	CON-PEX-400	CON-PEX-400
Alcalinidade total	mg CaCO3/L	NE	NE	11,4		13,3			38,9
Cloreto	mg/L	≤ 250	NE	10,8		7,2			12,7
Clorofila a	µg/L	≤ 30	NE	1,79		<0,4			5,16
Colif. termo	NMP/100mL	NE	NE	2,7X10^2		9,2X10^3			>1,6X10^4
Condutividade	µS/cm	NE	NE	121,5		80,4			192,7
DBO	mg/L	≤ 5	NE	<3		4			18
DQO	mg O2/L	NE	NE	<30		104			45
N Total	mg/L	NE	NE	<1		2			1,5
Nitrogênio Nitrato	mg N-NO3/L	≤ 10	≤ 0,4	0,15		0,04			<0,02
N-NH3	mg N-NH3/L	*	≤ 0,4	<0,4		1,3			<0,4
OD	mg/L	≥ 5,0	≥ 5,0	6,1		7,54			6,47
Ortofosfato solúvel	mg/L	NE	NE	<0,02		<0,02			<0,02
P Total	mg/L	≤ 0,1	≤ 0,124	<0,02		0,05			3,96
pH	s/ unid	6 a 9	6,5 a 8,5	7,73		8,32			7,32
Salinidade	‰	NE	NE	<0,1		<0,1			<0,1
Sólidos em suspensão	mg/L	NE	NE	58		<50			<50
Sólidos totais	mg/L	NE	NE	180		70			180
STD	mg/L	≤ 500	NE	118		62			121
Temperatura	°C	NE	NE	25,7		27,3			28,1
Temperatura do Ar	°C	NE	NE	23		33			36
Turbidez	NTU	≤ 100	NE	61,9		19,5			19,3
% Saturação de OD	%	NE	NE	75,5		94,2			82,8

Parâmetro	Unidade	Padrão Legal Doce	Padrão Legal Salobra	1ª	2ª	3ª	1ª	2ª	3ª
				CON-PEX-900	CON-PEX-900	CON-PEX-900	CON-PIR-600	CON-PIR-600	CON-PIR-600
Alcalinidade total	mg CaCO3/L	NE	NE	305		68,5	<2		4,5
Cloreto	mg/L	≤ 250	NE	43,1		25,4	28,2		6,9
Clorofila a	µg/L	≤ 30	NE	17,8		3,37	1,79		2,39
Colif. termo	NMP/100mL	NE	NE	1,7X10^3		7,9X10^2	2,3X10^2		6,8X10
Condutividade	µS/cm	NE	NE	1999		382	65,2		65,2
DBO	mg/L	≤ 5	NE	<3		<3	<3		<3
DQO	mg O2/L	NE	NE	<30		<30	58,5		31,6
N Total	mg/L	NE	NE	<1		<1	1,5		1
Nitrogênio Nitrato	mg N-NO3/L	≤ 10	≤ 0,4	0,07		<0,02	<0,02		<0,02
N-NH3	mg N-NH3/L	*	≤ 0,4	<0,4		0,7	1,1		0,4
OD	mg/L	≥ 5,0	≥ 5,0	6,44		5,34	6,74		5,97
Ortofosfato solúvel	mg/L	NE	NE	<0,02		<0,02	<0,02		<0,02
P Total	mg/L	≤ 0,1	≤ 0,124	0,21		0,27	<0,02		<0,02
pH	s/ unid	6 a 9	6,5 a 8,5	8,05		7,34	5,73		6,13
Salinidade	‰	NE	NE	1		0,2	<0,1		<0,1
Sólidos em suspensão	mg/L	NE	NE	<50		<50	<50		<50
Sólidos totais	mg/L	NE	NE	1662		294	104		84
STD	mg/L	≤ 500	NE	1626		222	72		52
Temperatura	°C	NE	NE	28,1		27,8	28,6		28,2
Temperatura do Ar	°C	NE	NE	37		33	31		30
Turbidez	NTU	≤ 100	NE	4,5		20,1	2,3		13,7
% Saturação de OD	%	NE	NE	82,9		68,8	87		76,6

Parâmetro	Unidade	Padrão Legal Doce	Padrão Legal Salobra	1ª	2ª	3ª	1ª	2ª	3ª
				CON-POM-900	CON-POM-900	CON-POM-900	CON-SRA-300	CON-SRA-300	CON-SRA-300
Alcalinidade total	mg CaCO3/L	NE	NE	75,3		45,4	10,3		
Cloreto	mg/L	≤ 250	NE	61,3		13,5	7,5		
Clorofila a	µg/L	≤ 30	NE	2,07		5,29	3,21		
Colif. termo	NMP/100mL	NE	NE	>1,6X10^4		>1,6X10^4	1,6X10^4		
Condutividade	µS/cm	NE	NE	378		214,1	57,6		
DBO	mg/L	≤ 5	NE	<3		<3	<3		
DQO	mg O2/L	NE	NE	<30		<30	<30		
N Total	mg/L	NE	NE	1,7		<1	1,4		
Nitrogênio Nitrato	mg N-NO3/L	≤ 10	≤ 0,4	0,89		<0,02	0,22		
N-NH3	mg N-NH3/L	*	≤ 0,4	<0,4		<0,4	1,1		
OD	mg/L	≥ 5,0	≥ 5,0	6,56		7,02	5,93		
Ortofosfato solúvel	mg/L	NE	NE	<0,02		<0,02	<0,02		
P Total	mg/L	≤ 0,1	≤ 0,124	0,09		0,06	<0,02		
pH	s/ unid	6 a 9	6,5 a 8,5	7,33		6,77	8,44		
Salinidade	‰	NE	NE	0,2		<0,1	<0,1		
Sólidos em suspensão	mg/L	NE	NE	<50		<50	<50		
Sólidos totais	mg/L	NE	NE	240		126	144		
STD	mg/L	≤ 500	NE	230		132	66		
Temperatura	°C	NE	NE	28,6		27,1	29,6		
Temperatura do Ar	°C	NE	NE	31		29	31		
Turbidez	NTU	≤ 100	NE	9,3		7,5	107		
% Saturação de OD	%	NE	NE	81,7		85,3	82,5		

Parâmetro	Unidade	Padrão Legal Doce	Padrão Legal Salobra	1ª	2ª	3ª
				CON-TRU-001	CON-TRU-001	CON-TRU-001
Alcalinidade total	mg CaCO3/L	NE	NE	36,8		
Cloreto	mg/L	≤ 250	NE	17,4		
Clorofila a	µg/L	≤ 30	NE	10,8		
Colif. termo	NMP/100mL	NE	NE	2,3X10^2		
Condutividade	µS/cm	NE	NE	150,4		
DBO	mg/L	≤ 5	NE	12		
DQO	mg O2/L	NE	NE	<30		
N Total	mg/L	NE	NE	<1		
Nitrogênio Nitrato	mg N-NO3/L	≤ 10	≤ 0,4	<0,02		
N-NH3	mg N-NH3/L	*	≤ 0,4	<0,4		
OD	mg/L	≥ 5,0	≥ 5,0	6,25		
Ortofosfato solúvel	mg/L	NE	NE	<0,02		
P Total	mg/L	≤ 0,1	≤ 0,124	<0,02		
pH	s/ unid	6 a 9	6,5 a 8,5	7,73		
Salinidade	‰	NE	NE	<0,1		
Sólidos em suspensão	mg/L	NE	NE	<50		
Sólidos totais	mg/L	NE	NE	128		
STD	mg/L	≤ 500	NE	104		
Temperatura	°C	NE	NE	29,4		
Temperatura do Ar	°C	NE	NE	30		
Turbidez	NTU	≤ 100	NE	14,3		
% Saturação de OD	%	NE	NE	83		

RPGA do Rio Corrente e Riachos do Ramalho, Serra Dourada e Brejo Velho (CRB)

Parâmetro	Unidade	Padrão Legal Doce	Padrão Legal Salobra	1ª	2ª	3ª	1ª	2ª	3ª
				CRB-ARJ-800	CRB-ARJ-800	CRB-ARJ-800	CRB-CRT-200	CRB-CRT-200	CRB-CRT-200
Alcalinidade total	mg CaCO3/L	NE	NE			<2,0			<2,0
Cloreto	mg/L	≤ 250	NE			<0,5			<0,5
Clorofila a	µg/L	≤ 30	NE			47,4			20,7
Colif. termo	NMP/100mL	NE	NE			1,7X10^3			9,2X10^3
Condutividade	µS/cm	NE	NE			4,7			6,4
DBO	mg/L	≤ 5	NE			<3			<3
DQO	mg O2/L	NE	NE			<30,0			<30,0
N Total	mg/L	NE	NE			<1,0			<1,0
Nitrogênio Nitrato	mg N-NO3/L	≤ 10	≤ 0,4			<0,02			<0,02
N-NH3	mg N-NH3/L	*	≤ 0,4			<0,4			<0,4
OD	mg/L	≥ 5,0	≥ 5,0			6,4			5,21
Ortofosfato solúvel	mg/L	NE	NE			<0,02			<0,02
P Total	mg/L	≤ 0,1	≤ 0,124			<0,02			<0,02
pH	s/ unid	6 a 9	6,5 a 8,5			7,04			7,05
Salinidade	‰	NE	NE			<0,1			<0,1
Sólidos em suspensão	mg/L	NE	NE			<50			<50
Sólidos totais	mg/L	NE	NE			<50			<50
STD	mg/L	≤ 500	NE			<50			<50
Temperatura	°C	NE	NE			25,2			23,9
Temperatura do Ar	°C	NE	NE			22			20
Turbidez	NTU	≤ 100	NE			1,2			1,6
% Saturação de OD	%	NE	NE			70,7			62,5

Parâmetro	Unidade	Padrão Legal Doce	Padrão Legal Salobra	1ª	2ª	3ª	1ª	2ª	3ª
				CRB-CRT-400	CRB-CRT-400	CRB-CRT-400	CRB-CRT-500	CRB-CRT-500	CRB-CRT-500
Alcalinidade total	mg CaCO3/L	NE	NE			<2,0	12,9		14,2
Cloreto	mg/L	≤ 250	NE			<0,5	0,7		<0,5
Clorofila a	µg/L	≤ 30	NE			20,7	<0,40		1,31
Colif. termo	NMP/100mL	NE	NE			1,6X10^4	1,4X10^2		5,4X10^3
Condutividade	µS/cm	NE	NE			6,6	32,2		41,5
DBO	mg/L	≤ 5	NE			<3	<3		<3
DQO	mg O2/L	NE	NE			<30,0	<30,0		<30,0
N Total	mg/L	NE	NE			<1,0	<1,0		<1,0
Nitrogênio Nitrato	mg N-NO3/L	≤ 10	≤ 0,4			<0,02	<0,02		<0,02
N-NH3	mg N-NH3/L	*	≤ 0,4			<0,4	<0,4		<0,4
OD	mg/L	≥ 5,0	≥ 5,0			6,87	8,4		7,38
Ortofosfato solúvel	mg/L	NE	NE			<0,02	<0,02		<0,02
P Total	mg/L	≤ 0,1	≤ 0,124			<0,02	<0,02		0,02
pH	s/ unid	6 a 9	6,5 a 8,5			6,5	8,6		9,02
Salinidade	‰	NE	NE			<0,1	<0,1		<0,1
Sólidos em suspensão	mg/L	NE	NE			<50	<50		<50
Sólidos totais	mg/L	NE	NE			<50	70		108
STD	mg/L	≤ 500	NE			<50	54		70
Temperatura	°C	NE	NE			24,7	25,7		26,2
Temperatura do Ar	°C	NE	NE			21	24		22
Turbidez	NTU	≤ 100	NE			2,7	17,4		33,6
% Saturação de OD	%	NE	NE			80,7	94,4		84,6

Parâmetro	Unidade	Padrão Legal Doce	Padrão Legal Salobra	1ª	2ª	3ª	1ª	2ª	3ª
				CRB-CRT-550	CRB-CRT-550	CRB-CRT-550	CRB-CRT-700	CRB-CRT-700	CRB-CRT-700
Alcalinidade total	mg CaCO3/L	NE	NE	8,8		2,3	10,4		7,3
Cloreto	mg/L	≤ 250	NE	0,7		<0,5	0,7		<0,5
Clorofila a	µg/L	≤ 30	NE	0,71		1,36	1,41		1,03
Colif. termo	NMP/100mL	NE	NE	7,9X10^2		>1,6X10^4	1,1X10^3		1,6X10^4
Condutividade	µS/cm	NE	NE	24,4		29,8	32,4		34,8
DBO	mg/L	≤ 5	NE	<3		<3	<3		<3
DQO	mg O2/L	NE	NE	<30,0		<30,0	<30,0		<30,0
N Total	mg/L	NE	NE	<1,0		<1,0	<1,0		<1,0
Nitrogênio Nitrato	mg N-NO3/L	≤ 10	≤ 0,4	<0,02		<0,02	<0,02		<0,02
N-NH3	mg N-NH3/L	*	≤ 0,4	<0,4		<0,4	<0,4		<0,4
OD	mg/L	≥ 5,0	≥ 5,0	7,36		7,11	6,44		6,62
Ortofosfato solúvel	mg/L	NE	NE	<0,02		<0,02	<0,02		<0,02
P Total	mg/L	≤ 0,1	≤ 0,124	0,03		<0,02	0,04		0,03
pH	s/ unid	6 a 9	6,5 a 8,5	8,74		9,07	8,62		8,9
Salinidade	‰	NE	NE	<0,1		<0,1	<0,1		<0,1
Sólidos em suspensão	mg/L	NE	NE	<50		<50	84		<50
Sólidos totais	mg/L	NE	NE	72		112	168		146
STD	mg/L	≤ 500	NE	<50		62	78		52
Temperatura	°C	NE	NE	26,9		25,9	27,8		26,5
Temperatura do Ar	°C	NE	NE	23		21	27		22
Turbidez	NTU	≤ 100	NE	45		31,3	114		43,8
% Saturação de OD	%	NE	NE	87,5		82,6	78,2		76,2

Parâmetro	Unidade	Padrão Legal Doce	Padrão Legal Salobra	1ª	2ª	3ª	1ª	2ª	3ª
				CRB-CRT-800	CRB-CRT-800	CRB-CRT-800	CRB-FOM-400	CRB-FOM-400	CRB-FOM-400
Alcalinidade total	mg CaCO3/L	NE	NE	21,3		13,1			4,5
Cloreto	mg/L	≤ 250	NE	1,3		<0,5			<0,5
Clorofila a	µg/L	≤ 30	NE	16,7		11			1,41
Colif. termo	NMP/100mL	NE	NE	1,7X10^3		3,5X10^3			2,3X10^2
Condutividade	µS/cm	NE	NE	54,4		38,7			17,6
DBO	mg/L	≤ 5	NE	<3		<3			<3
DQO	mg O2/L	NE	NE	<30,0		<30,0			<30,0
N Total	mg/L	NE	NE	<1,0		<1,0			<1,0
Nitrogênio Nitrato	mg N-NO3/L	≤ 10	≤ 0,4	<0,02		<0,02			<0,02
N-NH3	mg N-NH3/L	*	≤ 0,4	<0,4		<0,4			<0,4
OD	mg/L	≥ 5,0	≥ 5,0	6,37		6,27			6,59
Ortofosfato solúvel	mg/L	NE	NE	<0,02		<0,02			<0,02
P Total	mg/L	≤ 0,1	≤ 0,124	0,06		0,06			<0,02
pH	s/ unid	6 a 9	6,5 a 8,5	8,57		9,03			6,8
Salinidade	‰	NE	NE	<0,1		<0,1			<0,1
Sólidos em suspensão	mg/L	NE	NE	100		92			<50
Sólidos totais	mg/L	NE	NE	180		156			60
STD	mg/L	≤ 500	NE	<50		64			<50
Temperatura	°C	NE	NE	29,7		27,3			26,6
Temperatura do Ar	°C	NE	NE	29		28			30
Turbidez	NTU	≤ 100	NE	153		66,2			6,3
% Saturação de OD	%	NE	NE	79,3		74,2			73,7

Parâmetro	Unidade	Padrão Legal Doce	Padrão Legal Salobra	1ª	2ª	3ª	1ª	2ª	3ª
				CRB-FOM-500	CRB-FOM-500	CRB-FOM-500	CRB-FOM-900	CRB-FOM-900	CRB-FOM-900
Alcalinidade total	mg CaCO3/L	NE	NE			3,9			6,1
Cloreto	mg/L	≤ 250	NE			<0,5			<0,5
Clorofila a	µg/L	≤ 30	NE			1,69			4,2
Colif. termo	NMP/100mL	NE	NE			3,3X10^2			4,9X10^2
Condutividade	µS/cm	NE	NE			14,6			21
DBO	mg/L	≤ 5	NE			<3			4
DQO	mg O2/L	NE	NE			<30,0			<30,0
N Total	mg/L	NE	NE			<1,0			<1,0
Nitrogênio Nitrato	mg N-NO3/L	≤ 10	≤ 0,4			<0,02			<0,02
N-NH3	mg N-NH3/L	*	≤ 0,4			<0,4			<0,4
OD	mg/L	≥ 5,0	≥ 5,0			6,79			6,02
Ortofosfato solúvel	mg/L	NE	NE			<0,02			<0,02
P Total	mg/L	≤ 0,1	≤ 0,124			<0,02			<0,02
pH	s/ unid	6 a 9	6,5 a 8,5			6,87			6,55
Salinidade	‰	NE	NE			<0,1			<0,1
Sólidos em suspensão	mg/L	NE	NE			<50			<50
Sólidos totais	mg/L	NE	NE			78			78
STD	mg/L	≤ 500	NE			<50			<50
Temperatura	°C	NE	NE			26,7			26,3
Temperatura do Ar	°C	NE	NE			30			28
Turbidez	NTU	≤ 100	NE			7,1			10,2
% Saturação de OD	%	NE	NE			76,6			68,4

Parâmetro	Unidade	Padrão Legal Doce	Padrão Legal Salobra	1ª	2ª	3ª	1ª	2ª	3ª
				CRB-GUA-400	CRB-GUA-400	CRB-GUA-400	CRB-PBA-100	CRB-PBA-100	CRB-PBA-100
Alcalinidade total	mg CaCO3/L	NE	NE			16,7	49,6		
Cloreto	mg/L	≤ 250	NE			<0,5	0,6		
Clorofila a	µg/L	≤ 30	NE			21,1	6,95		
Colif. termo	NMP/100mL	NE	NE			>1,6X10^4	1,1X10^2		
Condutividade	µS/cm	NE	NE			39,5	241,7		
DBO	mg/L	≤ 5	NE			<3	<3		
DQO	mg O2/L	NE	NE			<30,0	<30,0		
N Total	mg/L	NE	NE			<1,0	<1,0		
Nitrogênio Nitrato	mg N-NO3/L	≤ 10	≤ 0,4			<0,02	<0,02		
N-NH3	mg N-NH3/L	*	≤ 0,4			<0,4	<0,4		
OD	mg/L	≥ 5,0	≥ 5,0			6,57	7,48		
Ortofosfato solúvel	mg/L	NE	NE			<0,02	<0,02		
P Total	mg/L	≤ 0,1	≤ 0,124			<0,02	0,04		
pH	s/ unid	6 a 9	6,5 a 8,5			6,08	7,24		
Salinidade	‰	NE	NE			<0,1	0,1		
Sólidos em suspensão	mg/L	NE	NE			<50	<50		
Sólidos totais	mg/L	NE	NE			86	176		
STD	mg/L	≤ 500	NE			<50	152		
Temperatura	°C	NE	NE			26,3	30,4		
Temperatura do Ar	°C	NE	NE			26	30		
Turbidez	NTU	≤ 100	NE			6,9	7,3		
% Saturação de OD	%	NE	NE			81,4	104		

Parâmetro	Unidade	Padrão Legal Doce	Padrão Legal Salobra	1ª	2ª	3ª	1ª	2ª	3ª
				CRB-PRT-800	CRB-PRT-800	CRB-PRT-800	CRB-RSF-120	CRB-RSF-120	CRB-RSF-120
Alcalinidade total	mg CaCO3/L	NE	NE			<2,0	25,8		
Cloreto	mg/L	≤ 250	NE			<0,5	1,1		
Clorofila a	µg/L	≤ 30	NE			1,04	1,06		
Colif. termo	NMP/100mL	NE	NE			7,8X10	2,4X10^3		
Condutividade	µS/cm	NE	NE			4,9	69,4		
DBO	mg/L	≤ 5	NE			<3	<3		
DQO	mg O2/L	NE	NE			<30,0	<30,0		
N Total	mg/L	NE	NE			<1,0	1,7		
Nitrogênio Nitrato	mg N-NO3/L	≤ 10	≤ 0,4			<0,02	0,16		
N-NH3	mg N-NH3/L	*	≤ 0,4			<0,4	0,9		
OD	mg/L	≥ 5,0	≥ 5,0			6,22	6,32		
Ortofosfato solúvel	mg/L	NE	NE			<0,02	<0,02		
P Total	mg/L	≤ 0,1	≤ 0,124			<0,02	0,07		
pH	s/ unid	6 a 9	6,5 a 8,5			7,08	7,24		
Salinidade	‰	NE	NE			<0,1	<0,1		
Sólidos em suspensão	mg/L	NE	NE			<50	266		
Sólidos totais	mg/L	NE	NE			<50	364		
STD	mg/L	≤ 500	NE			<50	52		
Temperatura	°C	NE	NE			26,7	28,4		
Temperatura do Ar	°C	NE	NE			30	31		
Turbidez	NTU	≤ 100	NE			2,1	522		
% Saturação de OD	%	NE	NE			74,7	82,7		

Parâmetro	Unidade	Padrão Legal Doce	Padrão Legal Salobra	1ª	2ª	3ª	1ª	2ª	3ª
				CRB-RSF-220	CRB-RSF-220	CRB-RSF-220	CRB-RSF-250	CRB-RSF-250	CRB-RSF-250
Alcalinidade total	mg CaCO3/L	NE	NE	29,2		25,7	24		13,4
Cloreto	mg/L	≤ 250	NE	1,6		<0,5	1,5		<0,5
Clorofila a	µg/L	≤ 30	NE	2,55		3,54	3,26		6,75
Colif. termo	NMP/100mL	NE	NE	2,2X10^2		5,4X10^3	1,3X10^3		>1,6X10^4
Condutividade	µS/cm	NE	NE	74,6		73,8	63,2		46,2
DBO	mg/L	≤ 5	NE	<3		<3	<3		<3
DQO	mg O2/L	NE	NE	<30,0		<30,0	<30,0		55,8
N Total	mg/L	NE	NE	<1,0		<1,0	<1,0		<1,0
Nitrogênio Nitrato	mg N-NO3/L	≤ 10	≤ 0,4	0,13		<0,02	0,04		<0,02
N-NH3	mg N-NH3/L	*	≤ 0,4	0,4		<0,4	0,7		<0,4
OD	mg/L	≥ 5,0	≥ 5,0	5,97		6,54	5,4		6,66
Ortofosfato solúvel	mg/L	NE	NE	<0,02		<0,02	<0,02		<0,02
P Total	mg/L	≤ 0,1	≤ 0,124	0,06		0,03	0,12		0,04
pH	s/ unid	6 a 9	6,5 a 8,5	8,82		8,64	8,69		8,75
Salinidade	‰	NE	NE	<0,1		<0,1	<0,1		<0,1
Sólidos em suspensão	mg/L	NE	NE	54		<50	168		<50
Sólidos totais	mg/L	NE	NE	140		118	292		142
STD	mg/L	≤ 500	NE	88		84	108		62
Temperatura	°C	NE	NE	29,7		28,6	29,2		27,6
Temperatura do Ar	°C	NE	NE	31		29	29		28
Turbidez	NTU	≤ 100	NE	126		62,8	318		54,5
% Saturação de OD	%	NE	NE	71,2		80,3	67,4		80,2

Parâmetro	Unidade	Padrão Legal Doce	Padrão Legal Salobra	1ª	2ª	3ª	1ª	2ª	3ª
				CRB-RSF-270	CRB-RSF-270	CRB-RSF-270	CRB-SRD-100	CRB-SRD-100	CRB-SRD-100
Alcalinidade total	mg CaCO3/L	NE	NE	27,5		19,3			351
Cloreto	mg/L	≤ 250	NE	1,8		<0,5			15,7
Clorofila a	µg/L	≤ 30	NE	3,91		5,27			25
Colif. termo	NMP/100mL	NE	NE	2,3X10^2		3,3X10^2			9,2X10^3
Condutividade	µS/cm	NE	NE	72,6		63,9			862
DBO	mg/L	≤ 5	NE	<3		<3			<3
DQO	mg O2/L	NE	NE	<30,0		<30,0			<30,0
N Total	mg/L	NE	NE	<1,0		<1,0			<1,0
Nitrogênio Nitrato	mg N-NO3/L	≤ 10	≤ 0,4	0,13		<0,02			<0,02
N-NH3	mg N-NH3/L	*	≤ 0,4	0,7		<0,4			<0,4
OD	mg/L	≥ 5,0	≥ 5,0	5,46		6,79			5,63
Ortofosfato solúvel	mg/L	NE	NE	<0,02		<0,02			<0,02
P Total	mg/L	≤ 0,1	≤ 0,124	0,07		0,04			0,08
pH	s/ unid	6 a 9	6,5 a 8,5	8,73		8,77			5,89
Salinidade	‰	NE	NE	<0,1		<0,1			0,4
Sólidos em suspensão	mg/L	NE	NE	256		<50			<50
Sólidos totais	mg/L	NE	NE	380		144			546
STD	mg/L	≤ 500	NE	132		<50			477
Temperatura	°C	NE	NE	29,2		27,5			29
Temperatura do Ar	°C	NE	NE	30		25			28
Turbidez	NTU	≤ 100	NE	328		56,2			7,4
% Saturação de OD	%	NE	NE	64,9		80,8			63,5

RPGA do Rio Carinhanha (CRN)

Parâmetro	Unidade	Padrão Legal Doce	Padrão Legal Salobra	1ª CRN-CRN-600	2ª CRN-CRN-600	3ª CRN-CRN-600	1ª CRN-CRN-700	2ª CRN-CRN-700	3ª CRN-CRN-700
Alcalinidade total	mg CaCO3/L	NE	NE			29,9			11,8
Cloreto	mg/L	≤ 250	NE			<0,5			<0,5
Clorofila a	µg/L	≤ 30	NE			2,78			2,78
Colif. termo	NMP/100mL	NE	NE			3,3X10^2			1,3X10^3
Condutividade	µS/cm	NE	NE			35			33,3
DBO	mg/L	≤ 5	NE			<3			<3
DQO	mg O2/L	NE	NE			<30,0			<30,0
N Total	mg/L	NE	NE			<1,0			<1,0
Nitrogênio Nitrato	mg N-NO3/L	≤ 10	≤ 0,4			<0,02			<0,02
N-NH3	mg N-NH3/L	*	≤ 0,4			<0,4			<0,4
OD	mg/L	≥ 5,0	≥ 5,0			6,03			6,52
Ortofosfato solúvel	mg/L	NE	NE			<0,02			<0,02
P Total	mg/L	≤ 0,1	≤ 0,124			0,02			0,02
pH	s/ unid	6 a 9	6,5 a 8,5			6,96			7,87
Salinidade	‰	NE	NE			<0,1			<0,1
Sólidos em suspensão	mg/L	NE	NE			<50			<50
Sólidos totais	mg/L	NE	NE			62			88
STD	mg/L	≤ 500	NE			<50			<50
Temperatura	°C	NE	NE			26			25,5
Temperatura do Ar	°C	NE	NE			28			22
Turbidez	NTU	≤ 100	NE			10,7			17,4
% Saturação de OD	%	NE	NE			75,5			81,7

Parâmetro	Unidade	Padrão Legal Doce	Padrão Legal Salobra	1ª	2ª	3ª	1ª	2ª	3ª
				CRN-IGR-440	CRN-IGR-440	CRN-IGR-440	CRN-IGR-450	CRN-IGR-450	CRN-IGR-450
Alcalinidade total	mg CaCO3/L	NE	NE			7,2			6,6
Cloreto	mg/L	≤ 250	NE			<0,5			<0,5
Clorofila a	µg/L	≤ 30	NE			5,78			2,02
Colif. termo	NMP/100mL	NE	NE			7,9X10^2			3,3X10^2
Condutividade	µS/cm	NE	NE			20,8			18,9
DBO	mg/L	≤ 5	NE			<3			<3
DQO	mg O2/L	NE	NE			<30,0			<30,0
N Total	mg/L	NE	NE			<1,0			<1,0
Nitrogênio Nitrato	mg N-NO3/L	≤ 10	≤ 0,4			<0,02			<0,02
N-NH3	mg N-NH3/L	*	≤ 0,4			0,6			<0,4
OD	mg/L	≥ 5,0	≥ 5,0			6,02			6,27
Ortofosfato solúvel	mg/L	NE	NE			<0,02			<0,02
P Total	mg/L	≤ 0,1	≤ 0,124			0,03			0,02
pH	s/ unid	6 a 9	6,5 a 8,5			7,3			7,6
Salinidade	‰	NE	NE			<0,1			<0,1
Sólidos em suspensão	mg/L	NE	NE			<50			<50
Sólidos totais	mg/L	NE	NE			76			54
STD	mg/L	≤ 500	NE			<50			<50
Temperatura	°C	NE	NE			25,7			26
Temperatura do Ar	°C	NE	NE			28			21
Turbidez	NTU	≤ 100	NE			50,7			8,4
% Saturação de OD	%	NE	NE			69,1			75,2

RPGA dos Rios dos Frades, Buranhém e Santo Antônio (FBS)

Parâmetro	Unidade	Padrão Legal Doce	Padrão Legal Salobra	1ª	2ª	3ª	1ª	2ª	3ª
				FBS-BRA-900	FBS-BRA-900	FBS-BRA-900	FBS-BRH-250	FBS-BRH-250	FBS-BRH-250
Alcalinidade total	mg CaCO3/L	NE	NE	25,2		23	12,5		13,9
Cloreto	mg/L	≤ 250	NE	17,1		9,5	11,8		5,6
Clorofila a	µg/L	≤ 30	NE	2,56		3,32	0,93		1,69
Colif. termo	NMP/100mL	NE	NE	2,4X10^3		1,3X10^3	7,9X10^2		1,7X10^3
Condutividade	µS/cm	NE	NE	125		116,4	146,9		79,1
DBO	mg/L	≤ 5	NE	<3		6	<3		5
DQO	mg O2/L	NE	NE	<30,0		<30,0	31,6		<30,0
N Total	mg/L	NE	NE	<1,0		<1,0	<1,0		1
Nitrogênio Nitrato	mg N-NO3/L	≤ 10	≤ 0,4	0,29		<0,02	<0,02		<0,02
N-NH3	mg N-NH3/L	*	≤ 0,4	<0,4		<0,4	<0,4		0,5
OD	mg/L	≥ 5,0	≥ 5,0	5,17		5,27	6,03		5,36
Ortofosfato solúvel	mg/L	NE	NE	<0,02		<0,02	<0,02		<0,02
P Total	mg/L	≤ 0,1	≤ 0,124	<0,02		0,02	0,02		0,08
pH	s/ unid	6 a 9	6,5 a 8,5	6,46		6,75	6,52		6,91
Salinidade	‰	NE	NE	<0,1		<0,1	<0,1		<0,1
Sólidos em suspensão	mg/L	NE	NE	<50		<50	82		<50
Sólidos totais	mg/L	NE	NE	122		104	213		86
STD	mg/L	≤ 500	NE	104		80	119		<50
Temperatura	°C	NE	NE	26,1		24,4	30,1		28,7
Temperatura do Ar	°C	NE	NE	28		23	30		31
Turbidez	NTU	≤ 100	NE	20,2		40,4	63,5		14,8
% Saturação de OD	%	NE	NE	62,2		60,4	75,1		66,3

Parâmetro	Unidade	Padrão Legal Doce	Padrão Legal Salobra	1ª	2ª	3ª	1ª	2ª	3ª
				FBS-BRH-300	FBS-BRH-300	FBS-BRH-300	FBS-BRH-450	FBS-BRH-450	FBS-BRH-450
Alcalinidade total	mg CaCO3/L	NE	NE	15,7		15,7			13,3
Cloreto	mg/L	≤ 250	NE	13		5,5			7,1
Clorofila a	µg/L	≤ 30	NE	2,94		1,03			4,2
Colif. termo	NMP/100mL	NE	NE	1,3X10^2		2,3X10^2			1,6X10^4
Condutividade	µS/cm	NE	NE	87,2		85,4			86,6
DBO	mg/L	≤ 5	NE	7		5			6
DQO	mg O2/L	NE	NE	<30,0		<30,0			<30,0
N Total	mg/L	NE	NE	<1,0		<1,0			<1,0
Nitrogênio Nitrato	mg N-NO3/L	≤ 10	≤ 0,4	<0,02		<0,02			<0,02
N-NH3	mg N-NH3/L	*	≤ 0,4	<0,4		<0,4			<0,4
OD	mg/L	≥ 5,0	≥ 5,0	6,7		5,21			8,19
Ortofosfato solúvel	mg/L	NE	NE	<0,02		<0,02			<0,02
P Total	mg/L	≤ 0,1	≤ 0,124	0,03		0,03			0,1
pH	s/ unid	6 a 9	6,5 a 8,5	6,39		6,99			6,61
Salinidade	‰	NE	NE	<0,1		<0,1			<0,1
Sólidos em suspensão	mg/L	NE	NE	<50		<50			<50
Sólidos totais	mg/L	NE	NE	72		82			140
STD	mg/L	≤ 500	NE	60		<50			64
Temperatura	°C	NE	NE	28,7		29,8			23,9
Temperatura do Ar	°C	NE	NE	30		32			26
Turbidez	NTU	≤ 100	NE	11,4		21,6			24,6
% Saturação de OD	%	NE	NE	73,6		69,3			95,2

Parâmetro	Unidade	Padrão Legal Doce	Padrão Legal Salobra	1ª	2ª	3ª	1ª	2ª	3ª
				FBS-BRH-500	FBS-BRH-500	FBS-BRH-500	FBS-CIV-400	FBS-CIV-400	FBS-CIV-400
Alcalinidade total	mg CaCO3/L	NE	NE	13,6		16,4	6		8,6
Cloreto	mg/L	≤ 250	NE	13,7		6,9	36,5		4,7
Clorofila a	µg/L	≤ 30	NE	5,94		6,06	4,25		2,99
Colif. termo	NMP/100mL	NE	NE	2,4X10^3		4,9X10^2	2,2X10^3		4,1X10^2
Condutividade	µS/cm	NE	NE	94,7		88,5	64		63,9
DBO	mg/L	≤ 5	NE	4		<3	<3		5
DQO	mg O2/L	NE	NE	<30,0		<30,0	<30,0		<30,0
N Total	mg/L	NE	NE	<1,0		<1,0	<1,0		1
Nitrogênio Nitrato	mg N-NO3/L	≤ 10	≤ 0,4	<0,02		<0,02	<0,02		<0,02
N-NH3	mg N-NH3/L	*	≤ 0,4	<0,4		<0,4	<0,4		0,5
OD	mg/L	≥ 5,0	≥ 5,0	5,05		8,32	5,91		5,6
Ortofosfato solúvel	mg/L	NE	NE	<0,02		<0,02	<0,02		<0,02
P Total	mg/L	≤ 0,1	≤ 0,124	0,02		0,04	<0,02		<0,02
pH	s/ unid	6 a 9	6,5 a 8,5	6,55		6,09	6,55		6,33
Salinidade	‰	NE	NE	<0,1		<0,1	<0,1		<0,1
Sólidos em suspensão	mg/L	NE	NE	<50		<50	<50		<50
Sólidos totais	mg/L	NE	NE	<50		114	120		68
STD	mg/L	≤ 500	NE	<50		65	58		<50
Temperatura	°C	NE	NE	30,3		24,2	27		28,5
Temperatura do Ar	°C	NE	NE	34		29	27		31
Turbidez	NTU	≤ 100	NE	6,9		22,3	11,3		12,9
% Saturação de OD	%	NE	NE	66,8		97,3	65,9		59,9

Parâmetro	Unidade	Padrão Legal Doce	Padrão Legal Salobra	1ª	2ª	3ª	1ª	2ª	3ª
				FBS-FRD-300	FBS-FRD-300	FBS-FRD-300	FBS-FRD-800	FBS-FRD-800	FBS-FRD-800
Alcalinidade total	mg CaCO3/L	NE	NE	10,2		8,9	13,6		4,8
Cloreto	mg/L	≤ 250	NE	9,4		3,7	12		6,2
Clorofila a	µg/L	≤ 30	NE	2,94		1,69	19,3		8,28
Colif. termo	NMP/100mL	NE	NE	4,9X10^2		1,1X10^3	3,5X10^3		>1,6X10^4
Condutividade	µS/cm	NE	NE	65,1		58,3	82		73,5
DBO	mg/L	≤ 5	NE	<3		5	<3		<3
DQO	mg O2/L	NE	NE	<30,0		<30,0	<30,0		42,3
N Total	mg/L	NE	NE	<1,0		<1,0	<1,0		1
Nitrogênio Nitrato	mg N-NO3/L	≤ 10	≤ 0,4	<0,02		<0,02	<0,02		<0,02
N-NH3	mg N-NH3/L	*	≤ 0,4	<0,4		<0,4	0,6		0,7
OD	mg/L	≥ 5,0	≥ 5,0	6,63		5,45	4,26		7,66
Ortofosfato solúvel	mg/L	NE	NE	<0,02		<0,02	<0,02		<0,02
P Total	mg/L	≤ 0,1	≤ 0,124	0,02		0,05	0,06		0,07
pH	s/ unid	6 a 9	6,5 a 8,5	6,93		6,9	6,4		5,58
Salinidade	‰	NE	NE	<0,1		<0,1	<0,1		<0,1
Sólidos em suspensão	mg/L	NE	NE	<50		<50	244		<50
Sólidos totais	mg/L	NE	NE	86		60	376		120
STD	mg/L	≤ 500	NE	68		<50	90		57
Temperatura	°C	NE	NE	27,8		26	29,5		25,8
Temperatura do Ar	°C	NE	NE	28		28	33		28
Turbidez	NTU	≤ 100	NE	10,1		14,3	171		17
% Saturação de OD	%	NE	NE	71,2		70,6	51,4		89,7

Parâmetro	Unidade	Padrão Legal Doce	Padrão Legal Salobra	1ª	2ª	3ª	1ª	2ª	3ª
				FBS-JTB-200	FBS-JTB-200	FBS-JTB-200	FBS-JTB-400	FBS-JTB-400	FBS-JTB-400
Alcalinidade total	mg CaCO3/L	NE	NE	35,3		33,4	20,2		7,5
Cloreto	mg/L	≤ 250	NE	37,9		17,2	17,6		8,3
Clorofila a	µg/L	≤ 30	NE	5,45		14,2	2,02		1,36
Colif. termo	NMP/100mL	NE	NE	1,0X10^3		2,4X10^3	5,4X10^3		3,5X10^3
Condutividade	µS/cm	NE	NE	221,7		183,6	120,6		94,8
DBO	mg/L	≤ 5	NE	<3		5	6		<3
DQO	mg O2/L	NE	NE	<30,0		50,4	<30,0		31,6
N Total	mg/L	NE	NE	1,7		1	<1,0		1
Nitrogênio Nitrato	mg N-NO3/L	≤ 10	≤ 0,4	<0,02		<0,02	<0,02		<0,02
N-NH3	mg N-NH3/L	*	≤ 0,4	0,9		0,6	<0,4		0,8
OD	mg/L	≥ 5,0	≥ 5,0	4,37		8,02	5,38		6,79
Ortofosfato solúvel	mg/L	NE	NE	<0,02		<0,02	<0,02		<0,02
P Total	mg/L	≤ 0,1	≤ 0,124	0,04		0,06	<0,02		0,03
pH	s/ unid	6 a 9	6,5 a 8,5	6,1		6,1	7,28		6,22
Salinidade	‰	NE	NE	0,1		<0,1	<0,1		<0,1
Sólidos em suspensão	mg/L	NE	NE	<50		<50	<50		<50
Sólidos totais	mg/L	NE	NE	184		214	70		146
STD	mg/L	≤ 500	NE	162		116	70		52
Temperatura	°C	NE	NE	30,1		29,4	27,1		24
Temperatura do Ar	°C	NE	NE	35		31	28		23
Turbidez	NTU	≤ 100	NE	37,1		19,9	3,1		24,7
% Saturação de OD	%	NE	NE	58,5		94,5	64,3		81,5

Parâmetro	Unidade	Padrão Legal Doce	Padrão Legal Salobra	1ª	2ª	3ª	1ª	2ª	3ª
				FBS-PEX-050	FBS-PEX-050	FBS-PEX-050	FBS-STA-100	FBS-STA-100	FBS-STA-100
Alcalinidade total	mg CaCO3/L	NE	NE	25,7			8,3		11,3
Cloreto	mg/L	≤ 250	NE	18			10,7		7,9
Clorofila a	µg/L	≤ 30	NE	3,37			53,5		0,7
Colif. termo	NMP/100mL	NE	NE	7,9X10^2			5,4X10^3		5,4X10^3
Condutividade	µS/cm	NE	NE	124,4			77,1		119,4
DBO	mg/L	≤ 5	NE	<3			7		<3
DQO	mg O2/L	NE	NE	<30,0			<30,0		<30,0
N Total	mg/L	NE	NE	<1,0			<1,0		1
Nitrogênio Nitrato	mg N-NO3/L	≤ 10	≤ 0,4	<0,02			<0,02		<0,02
N-NH3	mg N-NH3/L	*	≤ 0,4	<0,4			0,6		0,7
OD	mg/L	≥ 5,0	≥ 5,0	6,24			7,07		7,27
Ortofosfato solúvel	mg/L	NE	NE	<0,02			<0,02		<0,02
P Total	mg/L	≤ 0,1	≤ 0,124	0,05			<0,02		0,02
pH	s/ unid	6 a 9	6,5 a 8,5	6,92			7,37		6,6
Salinidade	‰	NE	NE	<0,1			<0,1		<0,1
Sólidos em suspensão	mg/L	NE	NE	<50			<50		<50
Sólidos totais	mg/L	NE	NE	106			78		168
STD	mg/L	≤ 500	NE	88			68		158
Temperatura	°C	NE	NE	26,4			26,6		24
Temperatura do Ar	°C	NE	NE	25			35		24
Turbidez	NTU	≤ 100	NE	9,3			4,3		24,1
% Saturação de OD	%	NE	NE	67,4			86,3		94,5

RPGA do Rio Grande (GRD)

Parâmetro	Unidade	Padrão Legal Doce	Padrão Legal Salobra	1ª	2ª	3ª	1ª	2ª	3ª
				GRD-BAL-990	GRD-BAL-990	GRD-BAL-990	GRD-BMJ-980	GRD-BMJ-980	GRD-BMJ-980
Alcalinidade total	mg CaCO3/L	NE	NE	<2,0		<2,0			2,9
Cloreto	mg/L	≤ 250	NE	<0,5		<0,5			<0,5
Clorofila a	µg/L	≤ 30	NE	<0,40		1,69			10,2
Colif. termo	NMP/100mL	NE	NE	7,9X10^2		2,3X10^2			3,5X10^3
Condutividade	µS/cm	NE	NE	6,9		6			9
DBO	mg/L	≤ 5	NE	<3		<3			<3
DQO	mg O2/L	NE	NE	<30,0		<30,0			<30,0
N Total	mg/L	NE	NE	<1,0		<1,0			<1,0
Nitrogênio Nitrato	mg N-NO3/L	≤ 10	≤ 0,4	<0,02		<0,02			<0,02
N-NH3	mg N-NH3/L	*	≤ 0,4	0,4		<0,4			<0,4
OD	mg/L	≥ 5,0	≥ 5,0	7,71		5,04			7,14
Ortofosfato solúvel	mg/L	NE	NE	<0,02		<0,02			<0,02
P Total	mg/L	≤ 0,1	≤ 0,124	0,03		<0,02			<0,02
pH	s/ unid	6 a 9	6,5 a 8,5	5,32		5,1			6,7
Salinidade	‰	NE	NE	<0,1		<0,1			<0,1
Sólidos em suspensão	mg/L	NE	NE	<50		<50			<50
Sólidos totais	mg/L	NE	NE	<50		<50			62
STD	mg/L	≤ 500	NE	<50		<50			<50
Temperatura	°C	NE	NE	26,7		26,5			25,8
Temperatura do Ar	°C	NE	NE	29		32			29
Turbidez	NTU	≤ 100	NE	2,3		1,2			1,9
% Saturação de OD	%	NE	NE	96,4		62,5			87,2

Parâmetro	Unidade	Padrão Legal Doce	Padrão Legal Salobra	1ª	2ª	3ª	1ª	2ª	3ª
				GRD-BOR-700	GRD-BOR-700	GRD-BOR-700	GRD-BSO-700	GRD-BSO-700	GRD-BSO-700
Alcalinidade total	mg CaCO3/L	NE	NE	<2,0		<2,0			222
Cloreto	mg/L	≤ 250	NE	<0,5		0,5			13,1
Clorofila a	µg/L	≤ 30	NE	0,88		0,98			1,69
Colif. termo	NMP/100mL	NE	NE	9,3X10		5,4X10^3			1,4X10^3
Condutividade	µS/cm	NE	NE	6,1		5,2			525
DBO	mg/L	≤ 5	NE	<3		<3			<3
DQO	mg O2/L	NE	NE	<30,0		<30,0			<30,0
N Total	mg/L	NE	NE	<1,0		<1,0			<1,0
Nitrogênio Nitrato	mg N-NO3/L	≤ 10	≤ 0,4	<0,02		<0,02			<0,02
N-NH3	mg N-NH3/L	*	≤ 0,4	<0,4		<0,4			<0,4
OD	mg/L	≥ 5,0	≥ 5,0	7,93		5,73			7,56
Ortofosfato solúvel	mg/L	NE	NE	<0,02		<0,02			<0,02
P Total	mg/L	≤ 0,1	≤ 0,124	0,17		<0,02			<0,02
pH	s/ unid	6 a 9	6,5 a 8,5	6,3		5			7,87
Salinidade	‰	NE	NE	<0,1		<0,1			0,2
Sólidos em suspensão	mg/L	NE	NE	<50		<50			<50
Sólidos totais	mg/L	NE	NE	<50		<50			332
STD	mg/L	≤ 500	NE	<50		<50			298
Temperatura	°C	NE	NE	24		24,9			25,9
Temperatura do Ar	°C	NE	NE	24		27			30
Turbidez	NTU	≤ 100	NE	1,6		1,5			6,8
% Saturação de OD	%	NE	NE	99,1		69,2			97,2

Parâmetro	Unidade	Padrão Legal Doce	Padrão Legal Salobra	1ª	2ª	3ª	1ª	2ª	3ª
				GRD-CPD-500	GRD-CPD-500	GRD-CPD-500	GRD-FEM-300	GRD-FEM-300	GRD-FEM-300
Alcalinidade total	mg CaCO3/L	NE	NE	<2,0		<2,0			<2,0
Cloreto	mg/L	≤ 250	NE	<0,5		<0,5			<0,5
Clorofila a	µg/L	≤ 30	NE	1,21		0,71			6,02
Colif. termo	NMP/100mL	NE	NE	3,3X10^2		7,8X10			2,0X10
Condutividade	µS/cm	NE	NE	5,9		4,1			6
DBO	mg/L	≤ 5	NE	<3		<3			<3
DQO	mg O2/L	NE	NE	<30,0		<30,0			<30,0
N Total	mg/L	NE	NE	<1,0		<1,0			<1,0
Nitrogênio Nitrato	mg N-NO3/L	≤ 10	≤ 0,4	<0,02		<0,02			<0,02
N-NH3	mg N-NH3/L	*	≤ 0,4	<0,4		<0,4			<0,4
OD	mg/L	≥ 5,0	≥ 5,0	6,08		6			6,99
Ortofosfato solúvel	mg/L	NE	NE	<0,02		<0,02			<0,02
P Total	mg/L	≤ 0,1	≤ 0,124	0,03		0,02			<0,02
pH	s/ unid	6 a 9	6,5 a 8,5	7,2		5			6,96
Salinidade	‰	NE	NE	<0,1		<0,1			<0,1
Sólidos em suspensão	mg/L	NE	NE	<50		<50			<50
Sólidos totais	mg/L	NE	NE	<50		<50			62
STD	mg/L	≤ 500	NE	<50		<50			<50
Temperatura	°C	NE	NE	25,4		24,9			25,9
Temperatura do Ar	°C	NE	NE	23		25			26
Turbidez	NTU	≤ 100	NE	19,2		2,6			2,4
% Saturação de OD	%	NE	NE	76		72,6			84,9

Parâmetro	Unidade	Padrão Legal Doce	Padrão Legal Salobra	1ª	2ª	3ª	1ª	2ª	3ª
				GRD-FEM-400	GRD-FEM-400	GRD-FEM-400	GRD-GAL-900	GRD-GAL-900	GRD-GAL-900
Alcalinidade total	mg CaCO3/L	NE	NE			2,2			<2,0
Cloreto	mg/L	≤ 250	NE			<0,5			2,1
Clorofila a	µg/L	≤ 30	NE			2,02			1,69
Colif. termo	NMP/100mL	NE	NE			6,8X10			4,9X10^2
Condutividade	µS/cm	NE	NE			7,2			9
DBO	mg/L	≤ 5	NE			<3			<3
DQO	mg O2/L	NE	NE			<30,0			<30,0
N Total	mg/L	NE	NE			<1,0			<1,0
Nitrogênio Nitrato	mg N-NO3/L	≤ 10	≤ 0,4			<0,02			<0,02
N-NH3	mg N-NH3/L	*	≤ 0,4			<0,4			<0,4
OD	mg/L	≥ 5,0	≥ 5,0			6,46			6,13
Ortofosfato solúvel	mg/L	NE	NE			<0,02			<0,02
P Total	mg/L	≤ 0,1	≤ 0,124			<0,02			<0,02
pH	s/ unid	6 a 9	6,5 a 8,5			8,35			6,5
Salinidade	‰	NE	NE			<0,1			<0,1
Sólidos em suspensão	mg/L	NE	NE			<50			<50
Sólidos totais	mg/L	NE	NE			79			<50
STD	mg/L	≤ 500	NE			<50			<50
Temperatura	°C	NE	NE			25			25,4
Temperatura do Ar	°C	NE	NE			26			27
Turbidez	NTU	≤ 100	NE			2,7			2,2
% Saturação de OD	%	NE	NE			73,1			75,1

Parâmetro	Unidade	Padrão Legal Doce	Padrão Legal Salobra	1ª	2ª	3ª	1ª	2ª	3ª
				GRD-GAL-980	GRD-GAL-980	GRD-GAL-980	GRD-GRD-150	GRD-GRD-150	GRD-GRD-150
Alcalinidade total	mg CaCO3/L	NE	NE			<2,0			8,3
Cloreto	mg/L	≤ 250	NE			<0,5			<0,5
Clorofila a	µg/L	≤ 30	NE			1,09			2,07
Colif. termo	NMP/100mL	NE	NE			7,9X10^2			9,2X10^3
Condutividade	µS/cm	NE	NE			26,2			27,8
DBO	mg/L	≤ 5	NE			<3			<3
DQO	mg O2/L	NE	NE			<30,0			<30,0
N Total	mg/L	NE	NE			<1,0			<1,0
Nitrogênio Nitrato	mg N-NO3/L	≤ 10	≤ 0,4			<0,02			<0,02
N-NH3	mg N-NH3/L	*	≤ 0,4			<0,4			<0,4
OD	mg/L	≥ 5,0	≥ 5,0			6,34			5,96
Ortofosfato solúvel	mg/L	NE	NE			<0,02			<0,02
P Total	mg/L	≤ 0,1	≤ 0,124			<0,02			<0,02
pH	s/ unid	6 a 9	6,5 a 8,5			6,38			7,84
Salinidade	‰	NE	NE			<0,1			<0,1
Sólidos em suspensão	mg/L	NE	NE			<50			<50
Sólidos totais	mg/L	NE	NE			58			84
STD	mg/L	≤ 500	NE			<50			<50
Temperatura	°C	NE	NE			25,6			25,1
Temperatura do Ar	°C	NE	NE			26			26
Turbidez	NTU	≤ 100	NE			4			3,3
% Saturação de OD	%	NE	NE			77,1			71,1

Parâmetro	Unidade	Padrão Legal Doce	Padrão Legal Salobra	1ª	2ª	3ª	1ª	2ª	3ª
				GRD-GRD-250	GRD-GRD-250	GRD-GRD-250	GRD-GRD-300	GRD-GRD-300	GRD-GRD-300
Alcalinidade total	mg CaCO3/L	NE	NE			11,1			8,6
Cloreto	mg/L	≤ 250	NE			<0,5			1
Clorofila a	µg/L	≤ 30	NE			<0,40			2,96
Colif. termo	NMP/100mL	NE	NE			5,4X10^3			5,4X10^3
Condutividade	µS/cm	NE	NE			26,4			23,3
DBO	mg/L	≤ 5	NE			<3			<3
DQO	mg O2/L	NE	NE			<30,0			<30,0
N Total	mg/L	NE	NE			<1,0			<1,0
Nitrogênio Nitrato	mg N-NO3/L	≤ 10	≤ 0,4			<0,02			<0,02
N-NH3	mg N-NH3/L	*	≤ 0,4			<0,4			<0,4
OD	mg/L	≥ 5,0	≥ 5,0			7,14			7
Ortofosfato solúvel	mg/L	NE	NE			<0,02			<0,02
P Total	mg/L	≤ 0,1	≤ 0,124			<0,02			<0,02
pH	s/ unid	6 a 9	6,5 a 8,5			8,2			8,25
Salinidade	‰	NE	NE			<0,1			<0,1
Sólidos em suspensão	mg/L	NE	NE			<50			<50
Sólidos totais	mg/L	NE	NE			<50			54
STD	mg/L	≤ 500	NE			<50			<50
Temperatura	°C	NE	NE			28,4			28,5
Temperatura do Ar	°C	NE	NE			34			34
Turbidez	NTU	≤ 100	NE			8,2			10
% Saturação de OD	%	NE	NE			90,8			85

Parâmetro	Unidade	Padrão Legal Doce	Padrão Legal Salobra	1ª	2ª	3ª	1ª	2ª	3ª
				GRD-GRD-550	GRD-GRD-550	GRD-GRD-550	GRD-GRD-700	GRD-GRD-700	GRD-GRD-700
Alcalinidade total	mg CaCO3/L	NE	NE			5,8	<2,0		
Cloreto	mg/L	≤ 250	NE			1,5	0,8		
Clorofila a	µg/L	≤ 30	NE			5,33	6,04		
Colif. termo	NMP/100mL	NE	NE			4,9X10^2			
Condutividade	µS/cm	NE	NE			21,6	11		
DBO	mg/L	≤ 5	NE			<3	<3		
DQO	mg O2/L	NE	NE			<30,0	<30,0		
N Total	mg/L	NE	NE			<1,0	<1,0		
Nitrogênio Nitrato	mg N-NO3/L	≤ 10	≤ 0,4			<0,02	<0,02		
N-NH3	mg N-NH3/L	*	≤ 0,4			<0,4	<0,4		
OD	mg/L	≥ 5,0	≥ 5,0			6,14	6,82		
Ortofosfato solúvel	mg/L	NE	NE			<0,02	<0,02		
P Total	mg/L	≤ 0,1	≤ 0,124			0,04	0,02		
pH	s/ unid	6 a 9	6,5 a 8,5			8,12	8,3		
Salinidade	‰	NE	NE			<0,1	<0,1		
Sólidos em suspensão	mg/L	NE	NE			<50	<50		
Sólidos totais	mg/L	NE	NE			72	<50		
STD	mg/L	≤ 500	NE			<50	<50		
Temperatura	°C	NE	NE			29,8	29		
Temperatura do Ar	°C	NE	NE			29	29		
Turbidez	NTU	≤ 100	NE			26,2	7		
% Saturação de OD	%	NE	NE			80,5	91,5		

Parâmetro	Unidade	Padrão Legal Doce	Padrão Legal Salobra	1ª	2ª	3ª	1ª	2ª	3ª
				GRD-GRD-800	GRD-GRD-800	GRD-GRD-800	GRD-GRD-990	GRD-GRD-990	GRD-GRD-990
Alcalinidade total	mg CaCO3/L	NE	NE	6,8		4,6	5,6		5,3
Cloreto	mg/L	≤ 250	NE	<0,5		<0,5	0,6		<0,5
Clorofila a	µg/L	≤ 30	NE	4,62		24,8	3,48		24,7
Colif. termo	NMP/100mL	NE	NE			1,7X10^2			3,3X10^2
Condutividade	µS/cm	NE	NE	22		18,5	23,2		12,3
DBO	mg/L	≤ 5	NE	3		4	<3		<3
DQO	mg O2/L	NE	NE	<30,0		45	55,8		<30,0
N Total	mg/L	NE	NE	<1,0		<1,0	<1,0		<1,0
Nitrogênio Nitrato	mg N-NO3/L	≤ 10	≤ 0,4	<0,02		<0,02	<0,02		<0,02
N-NH3	mg N-NH3/L	*	≤ 0,4	<0,4		<0,4	0,4		<0,4
OD	mg/L	≥ 5,0	≥ 5,0	3,51		4,57	4,13		4,99
Ortofosfato solúvel	mg/L	NE	NE	<0,02		<0,02	<0,02		<0,02
P Total	mg/L	≤ 0,1	≤ 0,124	<0,02		<0,02	<0,02		<0,02
pH	s/ unid	6 a 9	6,5 a 8,5	8,33		8,19	8,6		8,72
Salinidade	‰	NE	NE	<0,1		<0,1	<0,1		<0,1
Sólidos em suspensão	mg/L	NE	NE	<50		<50	<50		<50
Sólidos totais	mg/L	NE	NE	52		<50	80		<50
STD	mg/L	≤ 500	NE	<50		<50	72		<50
Temperatura	°C	NE	NE	29,7		28,5	30,2		29,1
Temperatura do Ar	°C	NE	NE	26		26	27		25
Turbidez	NTU	≤ 100	NE	9,3		10,2	8,4		11,3
% Saturação de OD	%	NE	NE	45,7		42,6	53,4		56,9

Parâmetro	Unidade	Padrão Legal Doce	Padrão Legal Salobra	1ª	2ª	3ª	1ª	2ª	3ª
				GRD-LIM-900	GRD-LIM-900	GRD-LIM-900	GRD-MOQ-700	GRD-MOQ-700	GRD-MOQ-700
Alcalinidade total	mg CaCO3/L	NE	NE	22,2		<2,0			<2,0
Cloreto	mg/L	≤ 250	NE	<0,5		<0,5			1,5
Clorofila a	µg/L	≤ 30	NE	<0,40		1,31			2,29
Colif. termo	NMP/100mL	NE	NE	4,5X10		1,3X10^2			4,9X10^2
Condutividade	µS/cm	NE	NE	4,1		6,6			6
DBO	mg/L	≤ 5	NE	<3		<3			<3
DQO	mg O2/L	NE	NE	<30,0		<30,0			<30,0
N Total	mg/L	NE	NE	<1,0		<1,0			<1,0
Nitrogênio Nitrato	mg N-NO3/L	≤ 10	≤ 0,4	<0,02		<0,02			<0,02
N-NH3	mg N-NH3/L	*	≤ 0,4	<0,4		<0,4			<0,4
OD	mg/L	≥ 5,0	≥ 5,0	8,46		3,26			4,17
Ortofosfato solúvel	mg/L	NE	NE	<0,02		<0,02			<0,02
P Total	mg/L	≤ 0,1	≤ 0,124	0,02		<0,02			<0,02
pH	s/ unid	6 a 9	6,5 a 8,5	6,01		5,16			7,7
Salinidade	‰	NE	NE	<0,1		<0,1			<0,1
Sólidos em suspensão	mg/L	NE	NE	<50		<50			<50
Sólidos totais	mg/L	NE	NE	<50		<50			98
STD	mg/L	≤ 500	NE	<50		<50			<50
Temperatura	°C	NE	NE	27,8		23,5			23,3
Temperatura do Ar	°C	NE	NE	26		31			21
Turbidez	NTU	≤ 100	NE	3,2		1,2			4,4
% Saturação de OD	%	NE	NE	106		38,1			48,3

Parâmetro	Unidade	Padrão Legal Doce	Padrão Legal Salobra	1ª	2ª	3ª	1ª	2ª	3ª
				GRD-MOQ-900	GRD-MOQ-900	GRD-MOQ-900	GRD-PAG-600	GRD-PAG-600	GRD-PAG-600
Alcalinidade total	mg CaCO3/L	NE	NE			<2,0	<2,0		<2,0
Cloreto	mg/L	≤ 250	NE			<0,5	<0,5		0,7
Clorofila a	µg/L	≤ 30	NE			2,94	0,6		10,3
Colif. termo	NMP/100mL	NE	NE			2,4X10^3	1,3X10^2		1,3X10^3
Condutividade	µS/cm	NE	NE			5,9	7,6		18,4
DBO	mg/L	≤ 5	NE			<3	<3		<3
DQO	mg O2/L	NE	NE			<30,0	<30,0		<30,0
N Total	mg/L	NE	NE			<1,0	<1,0		<1,0
Nitrogênio Nitrato	mg N-NO3/L	≤ 10	≤ 0,4			<0,02	<0,02		<0,02
N-NH3	mg N-NH3/L	*	≤ 0,4			<0,4	<0,4		<0,4
OD	mg/L	≥ 5,0	≥ 5,0			5,7	7,86		4,9
Ortofosfato solúvel	mg/L	NE	NE			<0,02	<0,02		<0,02
P Total	mg/L	≤ 0,1	≤ 0,124			<0,02	<0,02		0,02
pH	s/ unid	6 a 9	6,5 a 8,5			8,11	5,82		5,35
Salinidade	‰	NE	NE			<0,1	<0,1		<0,1
Sólidos em suspensão	mg/L	NE	NE			<50	<50		<50
Sólidos totais	mg/L	NE	NE			54	<50		56
STD	mg/L	≤ 500	NE			<50	<50		<50
Temperatura	°C	NE	NE			23,8	26,6		23,1
Temperatura do Ar	°C	NE	NE			21	28		26
Turbidez	NTU	≤ 100	NE			5,9	1		10,4
% Saturação de OD	%	NE	NE			74	98,3		57

Parâmetro	Unidade	Padrão Legal Doce	Padrão Legal Salobra	1ª	2ª	3ª	1ª	2ª	3ª
				GRD-PRT-850	GRD-PRT-850	GRD-PRT-850	GRD-RBR-150	GRD-RBR-150	GRD-RBR-150
Alcalinidade total	mg CaCO3/L	NE	NE	2,7			<2,0		<2,0
Cloreto	mg/L	≤ 250	NE	0,6			<0,5		<0,5
Clorofila a	µg/L	≤ 30	NE	3,48			<0,40		1,31
Colif. termo	NMP/100mL	NE	NE				1,7X10^2		1,7X10^3
Condutividade	µS/cm	NE	NE	11,9			4,7		4,7
DBO	mg/L	≤ 5	NE	<3			<3		<3
DQO	mg O2/L	NE	NE	39,6			<30,0		<30,0
N Total	mg/L	NE	NE	<1,0			<1,0		<1,0
Nitrogênio Nitrato	mg N-NO3/L	≤ 10	≤ 0,4	<0,02			<0,02		<0,02
N-NH3	mg N-NH3/L	*	≤ 0,4	<0,4			<0,4		<0,4
OD	mg/L	≥ 5,0	≥ 5,0	5,48			8,37		3,85
Ortofosfato solúvel	mg/L	NE	NE	<0,02			<0,02		<0,02
P Total	mg/L	≤ 0,1	≤ 0,124	<0,02			<0,02		<0,02
pH	s/ unid	6 a 9	6,5 a 8,5	7,96			5,95		4,94
Salinidade	‰	NE	NE	<0,1			<0,1		<0,1
Sólidos em suspensão	mg/L	NE	NE	<50			<50		<50
Sólidos totais	mg/L	NE	NE	<50			<50		<50
STD	mg/L	≤ 500	NE	<50			<50		<50
Temperatura	°C	NE	NE	31			25,9		25,3
Temperatura do Ar	°C	NE	NE	29			29		35
Turbidez	NTU	≤ 100	NE	5,3			2,7		1
% Saturação de OD	%	NE	NE	74,2			105		46,7

Parâmetro	Unidade	Padrão Legal Doce	Padrão Legal Salobra	1ª	2ª	3ª	1ª	2ª	3ª
				GRD-RBR-200	GRD-RBR-200	GRD-RBR-200	GRD-RBR-300	GRD-RBR-300	GRD-RBR-300
Alcalinidade total	mg CaCO3/L	NE	NE	<2,0		<2,0			<2,0
Cloreto	mg/L	≤ 250	NE	<0,5		<0,5			<0,5
Clorofila a	µg/L	≤ 30	NE	<0,40		2,02			34,5
Colif. termo	NMP/100mL	NE	NE	7,9X10^2		4,9X10^2			1,7X10^3
Condutividade	µS/cm	NE	NE	4,8		4,5			7,8
DBO	mg/L	≤ 5	NE	<3		<3			<3
DQO	mg O2/L	NE	NE	<30,0		<30,0			<30,0
N Total	mg/L	NE	NE	<1,0		<1,0			<1,0
Nitrogênio Nitrato	mg N-NO3/L	≤ 10	≤ 0,4	<0,02		<0,02			<0,02
N-NH3	mg N-NH3/L	*	≤ 0,4	<0,4		<0,4			<0,4
OD	mg/L	≥ 5,0	≥ 5,0	7,82		6,7			7,14
Ortofosfato solúvel	mg/L	NE	NE	<0,02		<0,02			<0,02
P Total	mg/L	≤ 0,1	≤ 0,124	0,03		<0,02			<0,02
pH	s/ unid	6 a 9	6,5 a 8,5	5,55		5,32			6,53
Salinidade	‰	NE	NE	<0,1		<0,1			<0,1
Sólidos em suspensão	mg/L	NE	NE	<50		<50			<50
Sólidos totais	mg/L	NE	NE	<50		<50			68
STD	mg/L	≤ 500	NE	<50		<50			<50
Temperatura	°C	NE	NE	27,8		25,7			25,6
Temperatura do Ar	°C	NE	NE	31		32			30
Turbidez	NTU	≤ 100	NE	2,1		1,4			4,4
% Saturação de OD	%	NE	NE	97,7		82,1			87

Parâmetro	Unidade	Padrão Legal Doce	Padrão Legal Salobra	1ª	2ª	3ª	1ª	2ª	3ª
				GRD-RBR-330	GRD-RBR-330	GRD-RBR-330	GRD-RBR-400	GRD-RBR-400	GRD-RBR-400
Alcalinidade total	mg CaCO3/L	NE	NE			2,3			<2,0
Cloreto	mg/L	≤ 250	NE			0,6			<0,5
Clorofila a	µg/L	≤ 30	NE			23,5			1,69
Colif. termo	NMP/100mL	NE	NE			1,7X10^3			2,7X10^2
Condutividade	µS/cm	NE	NE			7,3			8,7
DBO	mg/L	≤ 5	NE			<3			<3
DQO	mg O2/L	NE	NE			31,6			<30,0
N Total	mg/L	NE	NE			<1,0			<1,0
Nitrogênio Nitrato	mg N-NO3/L	≤ 10	≤ 0,4			<0,02			<0,02
N-NH3	mg N-NH3/L	*	≤ 0,4			<0,4			<0,4
OD	mg/L	≥ 5,0	≥ 5,0			7,51			6
Ortofosfato solúvel	mg/L	NE	NE			<0,02			<0,02
P Total	mg/L	≤ 0,1	≤ 0,124			<0,02			<0,02
pH	s/ unid	6 a 9	6,5 a 8,5			6,84			6,86
Salinidade	‰	NE	NE			<0,1			<0,1
Sólidos em suspensão	mg/L	NE	NE			<50			<50
Sólidos totais	mg/L	NE	NE			<50			<50
STD	mg/L	≤ 500	NE			<50			<50
Temperatura	°C	NE	NE			25,5			25,4
Temperatura do Ar	°C	NE	NE			24			26
Turbidez	NTU	≤ 100	NE			2,2			13,2
% Saturação de OD	%	NE	NE			90,4			73,1

Parâmetro	Unidade	Padrão Legal Doce	Padrão Legal Salobra	1ª	2ª	3ª	1ª	2ª	3ª
				GRD-RJN-300	GRD-RJN-300	GRD-RJN-300	GRD-RJN-380	GRD-RJN-380	GRD-RJN-380
Alcalinidade total	mg CaCO3/L	NE	NE	19,2		<2,0	2		<2,0
Cloreto	mg/L	≤ 250	NE	<0,5		<0,5	<0,5		<0,5
Clorofila a	µg/L	≤ 30	NE	<0,40		2,3	0,55		1,74
Colif. termo	NMP/100mL	NE	NE	6,8X10		4,5X10	1,3X10^2		7,9X10^2
Condutividade	µS/cm	NE	NE	5,5		7,1	5,8		4,8
DBO	mg/L	≤ 5	NE	<3		<3	<3		<3
DQO	mg O2/L	NE	NE	<30,0		<30,0	<30,0		<30,0
N Total	mg/L	NE	NE	<1,0		<1,0	<1,0		<1,0
Nitrogênio Nitrato	mg N-NO3/L	≤ 10	≤ 0,4	<0,02		<0,02	<0,02		<0,02
N-NH3	mg N-NH3/L	*	≤ 0,4	<0,4		<0,4	<0,4		<0,4
OD	mg/L	≥ 5,0	≥ 5,0	7,82		3,8	7,39		6,56
Ortofosfato solúvel	mg/L	NE	NE	<0,02		<0,02	<0,02		<0,02
P Total	mg/L	≤ 0,1	≤ 0,124	0,03		<0,02	<0,02		<0,02
pH	s/ unid	6 a 9	6,5 a 8,5	6,2		4,93	5,68		5,05
Salinidade	‰	NE	NE	<0,1		<0,1	<0,1		<0,1
Sólidos em suspensão	mg/L	NE	NE	<50		<50	<50		<50
Sólidos totais	mg/L	NE	NE	<50		<50	<50		<50
STD	mg/L	≤ 500	NE	<50		<50	<50		<50
Temperatura	°C	NE	NE	25,9		25,5	27,6		25,7
Temperatura do Ar	°C	NE	NE	24		32	30		32
Turbidez	NTU	≤ 100	NE	3,6		1,5	1,1		3,7
% Saturação de OD	%	NE	NE	97,8		46,3	92,4		80,4

Parâmetro	Unidade	Padrão Legal Doce	Padrão Legal Salobra	1ª	2ª	3ª	1ª	2ª	3ª
				GRD-RJN-400	GRD-RJN-400	GRD-RJN-400	GRD-RJN-900	GRD-RJN-900	GRD-RJN-900
Alcalinidade total	mg CaCO3/L	NE	NE	3		<2,0			<2,0
Cloreto	mg/L	≤ 250	NE	<0,5		<0,5			<0,5
Clorofila a	µg/L	≤ 30	NE	0,41		1,04			6,13
Colif. termo	NMP/100mL	NE	NE	1,4X10^2		4,9X10^2			4,9X10^2
Condutividade	µS/cm	NE	NE	5,3		3,6			7
DBO	mg/L	≤ 5	NE	<3		<3			<3
DQO	mg O2/L	NE	NE	<30,0		<30,0			<30,0
N Total	mg/L	NE	NE	<1,0		<1,0			<1,0
Nitrogênio Nitrato	mg N-NO3/L	≤ 10	≤ 0,4	<0,02		<0,02			<0,02
N-NH3	mg N-NH3/L	*	≤ 0,4	<0,4		<0,4			<0,4
OD	mg/L	≥ 5,0	≥ 5,0	8,68		7,42			7,05
Ortofosfato solúvel	mg/L	NE	NE	<0,02		<0,02			<0,02
P Total	mg/L	≤ 0,1	≤ 0,124	0,02		<0,02			<0,02
pH	s/ unid	6 a 9	6,5 a 8,5	5,59		5,74			6,63
Salinidade	‰	NE	NE	<0,1		<0,1			<0,1
Sólidos em suspensão	mg/L	NE	NE	<50		<50			<50
Sólidos totais	mg/L	NE	NE	<50		<50			<50
STD	mg/L	≤ 500	NE	<50		<50			<50
Temperatura	°C	NE	NE	27,4		25,5			26,1
Temperatura do Ar	°C	NE	NE	30		31			26
Turbidez	NTU	≤ 100	NE	2,6		1,4			1,8
% Saturação de OD	%	NE	NE	109		90,7			84,2

Parâmetro	Unidade	Padrão Legal Doce	Padrão Legal Salobra	1ª	2ª	3ª	1ª	2ª	3ª
				GRD-RON-100	GRD-RON-100	GRD-RON-100	GRD-RON-550	GRD-RON-550	GRD-RON-550
Alcalinidade total	mg CaCO3/L	NE	NE	<2,0		<2,0			<2,0
Cloreto	mg/L	≤ 250	NE	<0,5		<0,5			<0,5
Clorofila a	µg/L	≤ 30	NE	0,65		1,03			1,64
Colif. termo	NMP/100mL	NE	NE	1,3X10^2		7,9X10^2			1,3X10^3
Condutividade	µS/cm	NE	NE	6,9		6			12,5
DBO	mg/L	≤ 5	NE	<3		<3			<3
DQO	mg O2/L	NE	NE	<30,0		<30,0			<30,0
N Total	mg/L	NE	NE	<1,0		<1,0			<1,0
Nitrogênio Nitrato	mg N-NO3/L	≤ 10	≤ 0,4	<0,02		<0,02			<0,02
N-NH3	mg N-NH3/L	*	≤ 0,4	<0,4		<0,4			<0,4
OD	mg/L	≥ 5,0	≥ 5,0	8,83		4			5,54
Ortofosfato solúvel	mg/L	NE	NE	<0,02		<0,02			<0,02
P Total	mg/L	≤ 0,1	≤ 0,124	0,03		<0,02			<0,02
pH	s/ unid	6 a 9	6,5 a 8,5	5,8		4,8			7,81
Salinidade	‰	NE	NE	<0,1		<0,1			<0,1
Sólidos em suspensão	mg/L	NE	NE	<50		<50			<50
Sólidos totais	mg/L	NE	NE	<50		<50			52
STD	mg/L	≤ 500	NE	<50		<50			<50
Temperatura	°C	NE	NE	25,7		24,3			27,4
Temperatura do Ar	°C	NE	NE	25		27			29
Turbidez	NTU	≤ 100	NE	2,3		2,2			6,2
% Saturação de OD	%	NE	NE	110		47,5			70

Parâmetro	Unidade	Padrão Legal Doce	Padrão Legal Salobra	1ª	2ª	3ª	1ª	2ª	3ª
				GRD-RON-600	GRD-RON-600	GRD-RON-600	GRD-RSD-200	GRD-RSD-200	GRD-RSD-200
Alcalinidade total	mg CaCO3/L	NE	NE			2,4			82,8
Cloreto	mg/L	≤ 250	NE			<0,5			2,2
Clorofila a	µg/L	≤ 30	NE			2,07			1,74
Colif. termo	NMP/100mL	NE	NE			2,4X10^3			4,9X10^2
Condutividade	µS/cm	NE	NE			14,5			188,5
DBO	mg/L	≤ 5	NE			<3			<3
DQO	mg O2/L	NE	NE			<30,0			<30,0
N Total	mg/L	NE	NE			<1,0			<1,0
Nitrogênio Nitrato	mg N-NO3/L	≤ 10	≤ 0,4			<0,02			<0,02
N-NH3	mg N-NH3/L	*	≤ 0,4			<0,4			<0,4
OD	mg/L	≥ 5,0	≥ 5,0			5,5			5,23
Ortofosfato solúvel	mg/L	NE	NE			<0,02			<0,02
P Total	mg/L	≤ 0,1	≤ 0,124			<0,02			<0,02
pH	s/ unid	6 a 9	6,5 a 8,5			8,85			7,12
Salinidade	‰	NE	NE			<0,1			<0,1
Sólidos em suspensão	mg/L	NE	NE			<50			<50
Sólidos totais	mg/L	NE	NE			76			188
STD	mg/L	≤ 500	NE			<50			119
Temperatura	°C	NE	NE			27,8			26,2
Temperatura do Ar	°C	NE	NE			29			27
Turbidez	NTU	≤ 100	NE			21,9			4,3
% Saturação de OD	%	NE	NE			70			64,3

Parâmetro	Unidade	Padrão Legal Doce	Padrão Legal Salobra	1ª	2ª	3ª	1ª	2ª	3ª
				GRD-RSD-650	GRD-RSD-650	GRD-RSD-650	GRD-RSF-370	GRD-RSF-370	GRD-RSF-370
Alcalinidade total	mg CaCO3/L	NE	NE			135	27,8		36,2
Cloreto	mg/L	≤ 250	NE			4,8	1,4		0,9
Clorofila a	µg/L	≤ 30	NE			1,64	4,19		24,5
Colif. termo	NMP/100mL	NE	NE			1,7X10^3			>1,6X10^4
Condutividade	µS/cm	NE	NE			308	76,1		80
DBO	mg/L	≤ 5	NE			<3	3		<3
DQO	mg O2/L	NE	NE			<30,0	<30,0		<30,0
N Total	mg/L	NE	NE			<1,0	1,2		<1,0
Nitrogênio Nitrato	mg N-NO3/L	≤ 10	≤ 0,4			<0,02	<0,02		<0,02
N-NH3	mg N-NH3/L	*	≤ 0,4			<0,4	0,8		<0,4
OD	mg/L	≥ 5,0	≥ 5,0			5,72	5,91		5,83
Ortofosfato solúvel	mg/L	NE	NE			<0,02	<0,02		<0,02
P Total	mg/L	≤ 0,1	≤ 0,124			<0,02	0,08		0,04
pH	s/ unid	6 a 9	6,5 a 8,5			7,33	6,87		7,8
Salinidade	‰	NE	NE			0,1	<0,1		<0,1
Sólidos em suspensão	mg/L	NE	NE			<50	<50		<50
Sólidos totais	mg/L	NE	NE			200	108		<50
STD	mg/L	≤ 500	NE			182	64		<50
Temperatura	°C	NE	NE			25	33		30,6
Temperatura do Ar	°C	NE	NE			30	31		29
Turbidez	NTU	≤ 100	NE			4,8	108		57,9
% Saturação de OD	%	NE	NE			69,2	82,8		67,1

Parâmetro	Unidade	Padrão Legal Doce	Padrão Legal Salobra	1ª	2ª	3ª
				GRD-RSF-420	GRD-RSF-420	GRD-RSF-420
Alcalinidade total	mg CaCO3/L	NE	NE	26,4		40,1
Cloreto	mg/L	≤ 250	NE	1,2		1
Clorofila a	µg/L	≤ 30	NE	10,4		25,6
Colif. termo	NMP/100mL	NE	NE			2,7X10^2
Condutividade	µS/cm	NE	NE	71,8		84
DBO	mg/L	≤ 5	NE	<3		<3
DQO	mg O2/L	NE	NE	<30,0		<30,0
N Total	mg/L	NE	NE	1,4		<1,0
Nitrogênio Nitrato	mg N-NO3/L	≤ 10	≤ 0,4	<0,02		<0,02
N-NH3	mg N-NH3/L	*	≤ 0,4	0,9		<0,4
OD	mg/L	≥ 5,0	≥ 5,0	5,38		4,66
Ortofosfato solúvel	mg/L	NE	NE	<0,02		<0,02
P Total	mg/L	≤ 0,1	≤ 0,124	0,22		<0,02
pH	s/ unid	6 a 9	6,5 a 8,5	7,37		7,8
Salinidade	‰	NE	NE	<0,1		<0,1
Sólidos em suspensão	mg/L	NE	NE	<50		<50
Sólidos totais	mg/L	NE	NE	114		<50
STD	mg/L	≤ 500	NE	96		<50
Temperatura	°C	NE	NE	31		29,2
Temperatura do Ar	°C	NE	NE	32		27
Turbidez	NTU	≤ 100	NE	109		37,8
% Saturação de OD	%	NE	NE	73,3		69,6

RPGA do Rio Itapicuru (ITP)

Parâmetro	Unidade	Padrão Legal Doce	Padrão Legal Salobra	1ª	2ª	3ª	1ª	2ª	3ª
				ITP-AIP-020	ITP-AIP-020	ITP-AIP-020	ITP-AIP-050	ITP-AIP-050	ITP-AIP-050
Alcalinidade total	mg CaCO3/L	NE	NE			<2	40,3		3,8
Cloreto	mg/L	≤ 250	NE			4,9	10,1		4,3
Clorofila a	µg/L	≤ 30	NE			22,4	2,45		25,9
Colif. termo	NMP/100mL	NE	NE			<18	2400		20
Condutividade	µS/cm	NE	NE			52,5	125		51,4
DBO	mg/L	≤ 5	NE			<3	<3		<3
DQO	mg O2/L	NE	NE			<30	<30		<30
N Total	mg/L	NE	NE			1	<1		1
Nitrogênio Nitrato	mg N-NO3/L	≤ 10	≤ 0,4			<0,02	<0,02		<0,02
N-NH3	mg N-NH3/L	*	≤ 0,4			0,5	<0,4		0,5
OD	mg/L	≥ 5,0	≥ 5,0			7,7	6,73		7,84
Ortofosfato solúvel	mg/L	NE	NE			<0,02	<0,02		<0,02
P Total	mg/L	≤ 0,1	≤ 0,124			<0,02	<0,02		<0,02
pH	s/ unid	6 a 9	6,5 a 8,5			6,39	7,06		6,79
Salinidade	‰	NE	NE			<0,1	<0,1		<0,1
Sólidos em suspensão	mg/L	NE	NE			<50	<50		<50
Sólidos totais	mg/L	NE	NE			<50	114		<50
STD	mg/L	≤ 500	NE			<50	98		<50
Temperatura	°C	NE	NE			25,1	25,8		27,1
Temperatura do Ar	°C	NE	NE			30	31		31
Turbidez	NTU	≤ 100	NE			3	22,3		4,6
% Saturação de OD	%	NE	NE			93,4	82,5		98,7

Parâmetro	Unidade	Padrão Legal Doce	Padrão Legal Salobra	1ª	2ª	3ª	1ª	2ª	3ª
				ITP-AIP-300	ITP-AIP-300	ITP-AIP-300	ITP-ARA-002	ITP-ARA-002	ITP-ARA-002
Alcalinidade total	mg CaCO3/L	NE	NE	69,6		43,2	89,5	113	125
Cloreto	mg/L	≤ 250	NE	221		84,5	1190	1250	1090
Clorofila a	µg/L	≤ 30	NE	1,37		22	67	25,3	67,8
Colif. termo	NMP/100mL	NE	NE	490		330	>16000	230	110
Condutividade	µS/cm	NE	NE	889		636	4410	4710	5120
DBO	mg/L	≤ 5	NE	<3		5	<3	7	<3
DQO	mg O2/L	NE	NE	<30		<30	74,6	67,9	74,6
N Total	mg/L	NE	NE	<1		<1	<1	<1	<1
Nitrogênio Nitrato	mg N-NO3/L	≤ 10	≤ 0,4	<0,02		<0,02	0,03	0,06	<0,02
N-NH3	mg N-NH3/L	*	≤ 0,4	<0,4		<0,4	<0,4	<0,4	0,5
OD	mg/L	≥ 5,0	≥ 5,0	3,58		7,18	8,37	8,23	7,57
Ortofosfato solúvel	mg/L	NE	NE	<0,02		<0,02	0,02	<0,02	<0,02
P Total	mg/L	≤ 0,1	≤ 0,124	0,08		0,02	0,1	<0,02	0,15
pH	s/ unid	6 a 9	6,5 a 8,5	7,04		7,35	8,47	7,7	8,31
Salinidade	‰	NE	NE	0,4		0,3	2,3	2,4	2,6
Sólidos em suspensão	mg/L	NE	NE	50		< 50	100	<50	<50
Sólidos totais	mg/L	NE	NE	559		352	2664	3016	3140
STD	mg/L	≤ 500	NE	506		357	2508	2796	2768
Temperatura	°C	NE	NE	25,8		26	26	25,6	28,9
Temperatura do Ar	°C	NE	NE	34		29	25	30	36
Turbidez	NTU	≤ 100	NE	19,7		12,8	73	20,4	15,6
% Saturação de OD	%	NE	NE	44,2		88,9	110	102	99,5

Parâmetro	Unidade	Padrão Legal Doce	Padrão Legal Salobra	1ª	2ª	3ª	1ª	2ª	3ª
				ITP-BCA-001	ITP-BCA-001	ITP-BCA-001	ITP-BPA-001	ITP-BPA-001	ITP-BPA-001
Alcalinidade total	mg CaCO3/L	NE	NE	2,8		<2	56,2		30,2
Cloreto	mg/L	≤ 250	NE	15,1		8,9	88,3		37,3
Clorofila a	µg/L	≤ 30	NE	13,4		2,34	30,6		15,4
Colif. termo	NMP/100mL	NE	NE	<18		7300	68		<18
Condutividade	µS/cm	NE	NE	167,9		96,5	547		245,5
DBO	mg/L	≤ 5	NE	<3		<3	9		<3
DQO	mg O2/L	NE	NE	<30		<30	42,3		<30
N Total	mg/L	NE	NE	<1		2	<1		<1
Nitrogênio Nitrato	mg N-NO3/L	≤ 10	≤ 0,4	0,19		<0,02	<0,02		<0,02
N-NH3	mg N-NH3/L	*	≤ 0,4	<0,4		1	<0,4		<0,4
OD	mg/L	≥ 5,0	≥ 5,0	6,24		5,87	8,15		6,31
Ortofosfato solúvel	mg/L	NE	NE	<0,02		<0,02	<0,02		<0,02
P Total	mg/L	≤ 0,1	≤ 0,124	<0,02		<0,02	<0,02		0,03
pH	s/ unid	6 a 9	6,5 a 8,5	6,03		7,44	7,95		6,8
Salinidade	‰	NE	NE	<0,1		<0,1	0,3		0,1
Sólidos em suspensão	mg/L	NE	NE	62		<50	50		<50
Sólidos totais	mg/L	NE	NE	170		110	268		154
STD	mg/L	≤ 500	NE	106		70	244		148
Temperatura	°C	NE	NE	27,2		26	28,4		27,2
Temperatura do Ar	°C	NE	NE	28		26	32		36
Turbidez	NTU	≤ 100	NE	39,5		17,1	3,9		2,4
% Saturação de OD	%	NE	NE	77,7		72,3	105		79,5

Parâmetro	Unidade	Padrão Legal Doce	Padrão Legal Salobra	1ª	2ª	3ª	1ª	2ª	3ª
				ITP-BPA-002	ITP-BPA-002	ITP-BPA-002	ITP-BPA-003	ITP-BPA-003	ITP-BPA-003
Alcalinidade total	mg CaCO3/L	NE	NE	2,4			55,7		
Cloreto	mg/L	≤ 250	NE	1,2			87,4		
Clorofila a	µg/L	≤ 30	NE	8,84			26,3		
Colif. termo	NMP/100mL	NE	NE	>16000			5400		
Condutividade	µS/cm	NE	NE	39,8			549		
DBO	mg/L	≤ 5	NE	3			<3		
DQO	mg O2/L	NE	NE	<30			53,1		
N Total	mg/L	NE	NE	<1			<1		
Nitrogênio Nitrato	mg N-NO3/L	≤ 10	≤ 0,4	0,46			<0,02		
N-NH3	mg N-NH3/L	*	≤ 0,4	<0,4			<0,4		
OD	mg/L	≥ 5,0	≥ 5,0	6,5			9,15		
Ortofosfato solúvel	mg/L	NE	NE	<0,02			<0,02		
P Total	mg/L	≤ 0,1	≤ 0,124	0,1			0,03		
pH	s/ unid	6 a 9	6,5 a 8,5	6,45			8,62		
Salinidade	‰	NE	NE	<0,1			0,3		
Sólidos em suspensão	mg/L	NE	NE	216			<50		
Sólidos totais	mg/L	NE	NE	300			274		
STD	mg/L	≤ 500	NE	94			274		
Temperatura	°C	NE	NE	24,9			28,4		
Temperatura do Ar	°C	NE	NE	27			30		
Turbidez	NTU	≤ 100	NE	283			8,9		
% Saturação de OD	%	NE	NE	78,6			118		

Parâmetro	Unidade	Padrão Legal Doce	Padrão Legal Salobra	1ª	2ª	3ª	1ª	2ª	3ª
				ITP-BPI-001	ITP-BPI-001	ITP-BPI-001	ITP-BPN-001	ITP-BPN-001	ITP-BPN-001
Alcalinidade total	mg CaCO3/L	NE	NE	8,8		69,7	13,7		167
Cloreto	mg/L	≤ 250	NE	10,4		13,5	43,6		51,3
Clorofila a	µg/L	≤ 30	NE	5,05		8,26	8,31		12,3
Colif. termo	NMP/100mL	NE	NE	140		700	330		1300
Condutividade	µS/cm	NE	NE	81,7		101,3	201,6		270,1
DBO	mg/L	≤ 5	NE	<3		<3	3		<3
DQO	mg O2/L	NE	NE	<30		96,2	<30		<30
N Total	mg/L	NE	NE	<1		<1	<1		<1
Nitrogênio Nitrato	mg N-NO3/L	≤ 10	≤ 0,4	<0,02		<0,02	<0,02		<0,02
N-NH3	mg N-NH3/L	*	≤ 0,4	<0,4		0,4	<0,4		0,5
OD	mg/L	≥ 5,0	≥ 5,0	7,58		7,64	7,67		6,32
Ortofosfato solúvel	mg/L	NE	NE	<0,02		<0,02	<0,02		<0,02
P Total	mg/L	≤ 0,1	≤ 0,124	<0,02		<0,02	0,08		<0,02
pH	s/ unid	6 a 9	6,5 a 8,5	7,36		7,09	7,55		6,9
Salinidade	‰	NE	NE	<0,1		<0,1	<0,1		0,1
Sólidos em suspensão	mg/L	NE	NE	<50		<50	214		<50
Sólidos totais	mg/L	NE	NE	98		120	350		176
STD	mg/L	≤ 500	NE	72		50	134		128
Temperatura	°C	NE	NE	29,8		25,9	32,7		26,6
Temperatura do Ar	°C	NE	NE	32		28	34		25
Turbidez	NTU	≤ 100	NE	11,3		5,7	42,1		7,1
% Saturação de OD	%	NE	NE	100		95,8	106		78,9

Parâmetro	Unidade	Padrão Legal Doce	Padrão Legal Salobra	1ª	2ª	3ª	1ª	2ª	3ª
				ITP-BPN-002	ITP-BPN-002	ITP-BPN-002	ITP-BPN-003	ITP-BPN-003	ITP-BPN-003
Alcalinidade total	mg CaCO3/L	NE	NE	12,4		163	10,5		113
Cloreto	mg/L	≤ 250	NE	39,2		37,7	57,3		21,5
Clorofila a	µg/L	≤ 30	NE	5,05		2,5	15,6		18,2
Colif. termo	NMP/100mL	NE	NE	<18		1300	270		16000
Condutividade	µS/cm	NE	NE	186		203,3	250,6		131,1
DBO	mg/L	≤ 5	NE	<3		<3	4		<3
DQO	mg O2/L	NE	NE	<30		<30	<30		<30
N Total	mg/L	NE	NE	<1		<1	<1		1
Nitrogênio Nitrato	mg N-NO3/L	≤ 10	≤ 0,4	<0,02		<0,02	<0,02		<0,02
N-NH3	mg N-NH3/L	*	≤ 0,4	<0,4		0,5	<0,4		0,7
OD	mg/L	≥ 5,0	≥ 5,0	6,96		6,09	7,94		5,93
Ortofosfato solúvel	mg/L	NE	NE	<0,02		<0,02	<0,02		<0,02
P Total	mg/L	≤ 0,1	≤ 0,124	0,03		<0,02	0,03		0,04
pH	s/ unid	6 a 9	6,5 a 8,5	7,04		7,62	7,37		7,26
Salinidade	‰	NE	NE	<0,1		<0,1	0,1		<0,1
Sólidos em suspensão	mg/L	NE	NE	<50		<50	<50		<50
Sólidos totais	mg/L	NE	NE	155		136	234		98
STD	mg/L	≤ 500	NE	120		134	153		88
Temperatura	°C	NE	NE	30,4		26	30,7		26,1
Temperatura do Ar	°C	NE	NE	33		28	34		24
Turbidez	NTU	≤ 100	NE	6,3		4,7	10,3		20,3
% Saturação de OD	%	NE	NE	92,8		75	107		73,3

Parâmetro	Unidade	Padrão Legal Doce	Padrão Legal Salobra	1ª	2ª	3ª	1ª	2ª	3ª
				ITP-CFM-600	ITP-CFM-600	ITP-CFM-600	ITP-CRC-050	ITP-CRC-050	ITP-CRC-050
Alcalinidade total	mg CaCO3/L	NE	NE	213		90	101		121
Cloreto	mg/L	≤ 250	NE	146		73,9	71,1		239
Clorofila a	µg/L	≤ 30	NE	2,5		24,2	16,5		7,71
Colif. termo	NMP/100mL	NE	NE	>16000		230	140		3500
Condutividade	µS/cm	NE	NE	1196		614	827		1362
DBO	mg/L	≤ 5	NE	6		<3	4		4
DQO	mg O2/L	NE	NE	90,8		55,8	<30		137
N Total	mg/L	NE	NE	3,1		2,5	<1		<1
Nitrogênio Nitrato	mg N-NO3/L	≤ 10	≤ 0,4	<0,02		<0,02	<0,02		<0,02
N-NH3	mg N-NH3/L	*	≤ 0,4	<0,4		<0,4	<0,4		<0,4
OD	mg/L	≥ 5,0	≥ 5,0	4,54		6,95	7,06		7,25
Ortofosfato solúvel	mg/L	NE	NE	<0,02		<0,02	<0,02		<0,02
P Total	mg/L	≤ 0,1	≤ 0,124	<0,02		0,05	0,04		<0,02
pH	s/ unid	6 a 9	6,5 a 8,5	7,56		7,63	8,26		7,97
Salinidade	‰	NE	NE	0,6		0,3	0,4		0,6
Sólidos em suspensão	mg/L	NE	NE	<50		<50	50		<50
Sólidos totais	mg/L	NE	NE	588		362	522		808
STD	mg/L	≤ 500	NE	576		345	468		704
Temperatura	°C	NE	NE	24		25,8	29,4		27,4
Temperatura do Ar	°C	NE	NE	26		30	28		30
Turbidez	NTU	≤ 100	NE	17,8		11,6	11,1		10,8
% Saturação de OD	%	NE	NE	54		85,6	92,7		92

Parâmetro	Unidade	Padrão Legal Doce	Padrão Legal Salobra	1ª	2ª	3ª	1ª	2ª	3ª
				ITP-ITA-050	ITP-ITA-050	ITP-ITA-050	ITP-ITA-100	ITP-ITA-100	ITP-ITA-100
Alcalinidade total	mg CaCO3/L	NE	NE	11,6		20,1	7,4		33,7
Cloreto	mg/L	≤ 250	NE	39,4		14,4	13,2		16
Clorofila a	µg/L	≤ 30	NE	1,48		24,3	1,41		1,09
Colif. termo	NMP/100mL	NE	NE	600		78	3500		16000
Condutividade	µS/cm	NE	NE	184,6		172,6	95,7		104,8
DBO	mg/L	≤ 5	NE	<3		<3	<3		<3
DQO	mg O2/L	NE	NE	<30		<30	36,9		47,7
N Total	mg/L	NE	NE	<1		1,2	<1		1
Nitrogênio Nitrato	mg N-NO3/L	≤ 10	≤ 0,4	0,02		<0,02	<0,02		<0,02
N-NH3	mg N-NH3/L	*	≤ 0,4	0,5		0,5	<0,4		0,6
OD	mg/L	≥ 5,0	≥ 5,0	6,81		7,67	7,57		7,77
Ortofosfato solúvel	mg/L	NE	NE	<0,02		<0,02	<0,02		<0,02
P Total	mg/L	≤ 0,1	≤ 0,124	0,04		0,04	<0,02		<0,02
pH	s/ unid	6 a 9	6,5 a 8,5	7,18		7,12	7,6		8,42
Salinidade	‰	NE	NE	<0,1		<0,1	<0,1		<0,1
Sólidos em suspensão	mg/L	NE	NE	<50		<50	<50		<50
Sólidos totais	mg/L	NE	NE	210		110	88		118
STD	mg/L	≤ 500	NE	178		110	62		60
Temperatura	°C	NE	NE	26,9		26,8	24,4		27,5
Temperatura do Ar	°C	NE	NE	33		29	29		30
Turbidez	NTU	≤ 100	NE	35,2		7	9,1		7,3
% Saturação de OD	%	NE	NE	85,3		95,9	94		93,2

Parâmetro	Unidade	Padrão Legal Doce	Padrão Legal Salobra	1ª	2ª	3ª	1ª	2ª	3ª
				ITP-ITA-200	ITP-ITA-200	ITP-ITA-200	ITP-ITA-400	ITP-ITA-400	ITP-ITA-400
Alcalinidade total	mg CaCO3/L	NE	NE	22,3		10,7			135
Cloreto	mg/L	≤ 250	NE	31,7		22,9			38,5
Clorofila a	µg/L	≤ 30	NE	<0,4		21,4			2,12
Colif. termo	NMP/100mL	NE	NE	3500		220			5400
Condutividade	µS/cm	NE	NE	160,8		193,4			222
DBO	mg/L	≤ 5	NE	<3		<3			<3
DQO	mg O2/L	NE	NE	<30		<30			<30
N Total	mg/L	NE	NE	<1		<1			2
Nitrogênio Nitrato	mg N-NO3/L	≤ 10	≤ 0,4	<0,02		<0,02			<0,02
N-NH3	mg N-NH3/L	*	≤ 0,4	0,8		0,4			0,6
OD	mg/L	≥ 5,0	≥ 5,0	5,75		6,03			6,7
Ortofosfato solúvel	mg/L	NE	NE	<0,02		<0,02			<0,02
P Total	mg/L	≤ 0,1	≤ 0,124	0,03		<0,02			0,02
pH	s/ unid	6 a 9	6,5 a 8,5	6,68		6,76			7,4
Salinidade	‰	NE	NE	<0,1		<0,1			0,1
Sólidos em suspensão	mg/L	NE	NE	50		<50			<50
Sólidos totais	mg/L	NE	NE	146		85			164
STD	mg/L	≤ 500	NE	116		121			150
Temperatura	°C	NE	NE	27,3		28,3			25,4
Temperatura do Ar	°C	NE	NE	31		32			26
Turbidez	NTU	≤ 100	NE	20,5		9,6			4,9
% Saturação de OD	%	NE	NE	72,6		77,5			81,7

Parâmetro	Unidade	Padrão Legal Doce	Padrão Legal Salobra	1ª	2ª	3ª	1ª	2ª	3ª
				ITP-ITM-050	ITP-ITM-050	ITP-ITM-050	ITP-ITM-450	ITP-ITM-450	ITP-ITM-450
Alcalinidade total	mg CaCO3/L	NE	NE	152		62,1			36
Cloreto	mg/L	≤ 250	NE	79,5		60,6			44
Clorofila a	µg/L	≤ 30	NE	42,3		8,1			21,4
Colif. termo	NMP/100mL	NE	NE	16000		>16000			110
Condutividade	µS/cm	NE	NE	814		441			401
DBO	mg/L	≤ 5	NE	7		8			<3
DQO	mg O2/L	NE	NE	58,5		39,6			45
N Total	mg/L	NE	NE	14,4		3,1			<1
Nitrogênio Nitrato	mg N-NO3/L	≤ 10	≤ 0,4	<0,02		0,05			0,13
N-NH3	mg N-NH3/L	*	≤ 0,4	11,6		1,3			0,4
OD	mg/L	≥ 5,0	≥ 5,0	3,12		3,45			6,75
Ortofosfato solúvel	mg/L	NE	NE	0,37		<0,02			<0,02
P Total	mg/L	≤ 0,1	≤ 0,124	1,08		0,55			0,11
pH	s/ unid	6 a 9	6,5 a 8,5	7,64		9,35			7,2
Salinidade	‰	NE	NE	0,4		0,2			0,2
Sólidos em suspensão	mg/L	NE	NE	50		62			<50
Sólidos totais	mg/L	NE	NE	386		334			152
STD	mg/L	≤ 500	NE	352		282			232
Temperatura	°C	NE	NE	25,6		26,1			28
Temperatura do Ar	°C	NE	NE	31		31			33
Turbidez	NTU	≤ 100	NE	36,6		17,8			8,7
% Saturação de OD	%	NE	NE	38,3		42,6			86,4

Parâmetro	Unidade	Padrão Legal Doce	Padrão Legal Salobra	1ª	2ª	3ª	1ª	2ª	3ª
				ITP-ITP-010	ITP-ITP-010	ITP-ITP-010	ITP-ITP-300	ITP-ITP-300	ITP-ITP-300
Alcalinidade total	mg CaCO3/L	NE	NE			47	23		17,6
Cloreto	mg/L	≤ 250	NE			19,9	26,1		57,7
Clorofila a	µg/L	≤ 30	NE			21,4	6,84		1,46
Colif. termo	NMP/100mL	NE	NE			330	3500		3500
Condutividade	µS/cm	NE	NE			219,6	169,3		351
DBO	mg/L	≤ 5	NE			<3	6		<3
DQO	mg O2/L	NE	NE			<30	<30		118
N Total	mg/L	NE	NE			<1	<1		<1
Nitrogênio Nitrato	mg N-NO3/L	≤ 10	≤ 0,4			<0,02	0,3		<0,02
N-NH3	mg N-NH3/L	*	≤ 0,4			<0,4	<0,4		<0,4
OD	mg/L	≥ 5,0	≥ 5,0			7,04	5,65		7,07
Ortofosfato solúvel	mg/L	NE	NE			<0,02	<0,02		<0,02
P Total	mg/L	≤ 0,1	≤ 0,124			<0,02	0,24		0,03
pH	s/ unid	6 a 9	6,5 a 8,5			7,24	7,41		7,15
Salinidade	‰	NE	NE			<0,1	<0,1		0,2
Sólidos em suspensão	mg/L	NE	NE			<50	240		<50
Sólidos totais	mg/L	NE	NE			146	444		204
STD	mg/L	≤ 500	NE			135	202		186
Temperatura	°C	NE	NE			23,7	27,8		26,8
Temperatura do Ar	°C	NE	NE			30	29		32
Turbidez	NTU	≤ 100	NE			3	458		14,9
% Saturação de OD	%	NE	NE			83,5	71,5		88,5

Parâmetro	Unidade	Padrão Legal Doce	Padrão Legal Salobra	1ª	2ª	3ª	1ª	2ª	3ª
				ITP-ITP-330	ITP-ITP-330	ITP-ITP-330	ITP-ITP-400	ITP-ITP-400	ITP-ITP-400
Alcalinidade total	mg CaCO3/L	NE	NE	24,5		23,4	41,6		21,1
Cloreto	mg/L	≤ 250	NE	40,8		52,4	92,4		58,9
Clorofila a	µg/L	≤ 30	NE	6,14		1,85	31,2		41,3
Colif. termo	NMP/100mL	NE	NE	>16000		>16000	2400		790
Condutividade	µS/cm	NE	NE	232,1		321	553		347
DBO	mg/L	≤ 5	NE	6		4	<3		<3
DQO	mg O2/L	NE	NE	<30		102	<30		<30
N Total	mg/L	NE	NE	1		<1	<1		<1
Nitrogênio Nitrato	mg N-NO3/L	≤ 10	≤ 0,4	0,29		<0,02	0,08		<0,02
N-NH3	mg N-NH3/L	*	≤ 0,4	<0,4		<0,4	<0,4		<0,4
OD	mg/L	≥ 5,0	≥ 5,0	6,52		7,11	7,14		7,65
Ortofosfato solúvel	mg/L	NE	NE	<0,02		<0,02	<0,02		<0,02
P Total	mg/L	≤ 0,1	≤ 0,124	0,39		0,04	0,21		0,05
pH	s/ unid	6 a 9	6,5 a 8,5	7,69		6,98	7,99		7,5
Salinidade	‰	NE	NE	0,1		0,1	0,3		0,2
Sólidos em suspensão	mg/L	NE	NE	110		<50	138		<50
Sólidos totais	mg/L	NE	NE	336		168	426		180
STD	mg/L	≤ 500	NE	212		152	294		158
Temperatura	°C	NE	NE	29		27,4	29,4		28,2
Temperatura do Ar	°C	NE	NE	30		37	31		33
Turbidez	NTU	≤ 100	NE	252		10,6	178		6,7
% Saturação de OD	%	NE	NE	84,7		90	93,6		98,1

Parâmetro	Unidade	Padrão Legal Doce	Padrão Legal Salobra	1ª	2ª	3ª	1ª	2ª	3ª
				ITP-ITP-430	ITP-ITP-430	ITP-ITP-430	ITP-ITP-480	ITP-ITP-480	ITP-ITP-480
Alcalinidade total	mg CaCO3/L	NE	NE	35,8		23,1		32,6	264
Cloreto	mg/L	≤ 250	NE	65,4		54,3		123	125
Clorofila a	µg/L	≤ 30	NE	15,9		4,02		4,39	14,2
Colif. termo	NMP/100mL	NE	NE	2400		110		170	1100
Condutividade	µS/cm	NE	NE	405		339		540	660
DBO	mg/L	≤ 5	NE	<3		<3		<3	<3
DQO	mg O2/L	NE	NE	<30		<30		<30	<30
N Total	mg/L	NE	NE	<1		<1		<1	<1
Nitrogênio Nitrato	mg N-NO3/L	≤ 10	≤ 0,4	0,17		<0,02		0,09	<0,02
N-NH3	mg N-NH3/L	*	≤ 0,4	<0,4		0,5		<0,4	<0,4
OD	mg/L	≥ 5,0	≥ 5,0	6,98		7,78		8,11	7,31
Ortofosfato solúvel	mg/L	NE	NE	<0,02		<0,02		<0,02	<0,02
P Total	mg/L	≤ 0,1	≤ 0,124	0,32		0,05		0,04	0,06
pH	s/ unid	6 a 9	6,5 a 8,5	7,92		7,4		7,79	8,64
Salinidade	‰	NE	NE	0,2		0,2		0,2	0,3
Sólidos em suspensão	mg/L	NE	NE	256		<50		<50	114
Sólidos totais	mg/L	NE	NE	482		202		388	568
STD	mg/L	≤ 500	NE	238		170		328	408
Temperatura	°C	NE	NE	29,8		28,2		26,7	28,5
Temperatura do Ar	°C	NE	NE	37		35		31	33
Turbidez	NTU	≤ 100	NE	331		8,9		21	67,7
% Saturação de OD	%	NE	NE	92,1		99,8		101	94,4

Parâmetro	Unidade	Padrão Legal Doce	Padrão Legal Salobra	1ª	2ª	3ª	1ª	2ª	3ª
				ITP-ITP-500	ITP-ITP-500	ITP-ITP-500	ITP-ITP-600	ITP-ITP-600	ITP-ITP-600
Alcalinidade total	mg CaCO3/L	NE	NE	50	41,1	261	72,8	54,7	31
Cloreto	mg/L	≤ 250	NE	63,2	136	153	234	173	121
Clorofila a	µg/L	≤ 30	NE	19,8	7,28	14,9	32,5	5,1	18,1
Colif. termo	NMP/100mL	NE	NE	>16000	330	1300	1300	110	2400
Condutividade	µS/cm	NE	NE	449	587	786	1262	750	632
DBO	mg/L	≤ 5	NE	5	<3	<3	<3	<3	<3
DQO	mg O2/L	NE	NE	<30	<30	<30	<30	<30	<30
N Total	mg/L	NE	NE	1,5	<1	<1	<1	<1	<1
Nitrogênio Nitrato	mg N-NO3/L	≤ 10	≤ 0,4	1,1	0,13	<0,02	0,66	0,28	<0,02
N-NH3	mg N-NH3/L	*	≤ 0,4	<0,4	<0,4	<0,4	<0,4	<0,4	<0,4
OD	mg/L	≥ 5,0	≥ 5,0	4,35	8,2	6,88	6,28	7,59	6,26
Ortofosfato solúvel	mg/L	NE	NE	<0,02	<0,02	<0,02	<0,02	<0,02	<0,02
P Total	mg/L	≤ 0,1	≤ 0,124	1,45	0,04	0,09	0,07	0,05	0,1
pH	s/ unid	6 a 9	6,5 a 8,5	7,71	7,8	8,4	7,32	7,29	7,38
Salinidade	‰	NE	NE	0,2	0,3	0,4	0,6	0,3	0,3
Sólidos em suspensão	mg/L	NE	NE	6050	<50	102	72	50	82
Sólidos totais	mg/L	NE	NE	6510	432	646	754	526	460
STD	mg/L	≤ 500	NE	480	371	498	674	504	352
Temperatura	°C	NE	NE	28	27,9	28,6	31	28	27,9
Temperatura do Ar	°C	NE	NE	26	31	30	30	32	37
Turbidez	NTU	≤ 100	NE	5840	22,4	131	76,1	35,4	83,3
% Saturação de OD	%	NE	NE	53	105	90,3	85,3	97,1	80

Parâmetro	Unidade	Padrão Legal Doce	Padrão Legal Salobra	1ª	2ª	3ª	1ª	2ª	3ª
				ITP-ITP-700	ITP-ITP-700	ITP-ITP-700	ITP-ITP-800	ITP-ITP-800	ITP-ITP-800
Alcalinidade total	mg CaCO3/L	NE	NE	82,3	67,2	53,8	77,5	82,9	52,4
Cloreto	mg/L	≤ 250	NE	290	214	144	186	271	108
Clorofila a	µg/L	≤ 30	NE	49,4	5,16	20,3	20,4	0,51	9,4
Colif. termo	NMP/100mL	NE	NE	490	280	1300	1300	490	78
Condutividade	µS/cm	NE	NE	1455	916	828	907	1107	669
DBO	mg/L	≤ 5	NE	<3	<3	<3	6	4	<3
DQO	mg O2/L	NE	NE	45	61,2	<30	<30	<30	<30
N Total	mg/L	NE	NE	<1	<1	<1	1,1	<1	<1
Nitrogênio Nitrato	mg N-NO3/L	≤ 10	≤ 0,4	0,04	0,28	<0,02	0,5	<0,02	<0,02
N-NH3	mg N-NH3/L	*	≤ 0,4	<0,4	<0,4	<0,4	0,6	0,4	<0,4
OD	mg/L	≥ 5,0	≥ 5,0	7,66	7,36	6,21	6,18	7,8	8,35
Ortofosfato solúvel	mg/L	NE	NE	<0,02	<0,02	<0,02	<0,02	<0,02	<0,02
P Total	mg/L	≤ 0,1	≤ 0,124	0,07	0,07	0,06	0,17	<0,02	0,05
pH	s/ unid	6 a 9	6,5 a 8,5	7,4	7,1	7,51	7,84	8,06	8,24
Salinidade	‰	NE	NE	0,7	0,4	0,4	0,4	0,5	0,3
Sólidos em suspensão	mg/L	NE	NE	<50	<50	96	80	<50	<50
Sólidos totais	mg/L	NE	NE	858	732	608	636	730	447
STD	mg/L	≤ 500	NE	732	688	480	552	646	420
Temperatura	°C	NE	NE	28	26,7	28,5	29,4	25,7	30,1
Temperatura do Ar	°C	NE	NE	30	32	36	31	30	35
Turbidez	NTU	≤ 100	NE	73,1	31	78,6	155	7,7	13,5
% Saturação de OD	%	NE	NE	103	92,1	80,4	81,1	95,8	111

Parâmetro	Unidade	Padrão Legal Doce	Padrão Legal Salobra	1ª	2ª	3ª	1ª	2ª	3ª
				ITP-ITP-840	ITP-ITP-840	ITP-ITP-840	ITP-ITP-900	ITP-ITP-900	ITP-ITP-900
Alcalinidade total	mg CaCO3/L	NE	NE		86	52,1	65,7	70,8	50,8
Cloreto	mg/L	≤ 250	NE		239	113	143	194	102
Clorofila a	µg/L	≤ 30	NE		0,66	10,9	4,72	0,47	10,5
Colif. termo	NMP/100mL	NE	NE		330	78	490	330	78
Condutividade	µS/cm	NE	NE		1094	660	685	873	656
DBO	mg/L	≤ 5	NE		4	<3	<3	<3	<3
DQO	mg O2/L	NE	NE		82,7	61,2	34,2	<30	<30
N Total	mg/L	NE	NE		<1	<1	1,2	<1	<1
Nitrogênio Nitrato	mg N-NO3/L	≤ 10	≤ 0,4		<0,02	<0,02	0,42	0,07	<0,02
N-NH3	mg N-NH3/L	*	≤ 0,4		<0,4	<0,4	0,5	0,4	<0,4
OD	mg/L	≥ 5,0	≥ 5,0		7,55	7,63	5,58	7,75	7,63
Ortofosfato solúvel	mg/L	NE	NE		<0,02	<0,02	<0,02	<0,02	<0,02
P Total	mg/L	≤ 0,1	≤ 0,124		0,04	0,07	0,2	0,03	0,03
pH	s/ unid	6 a 9	6,5 a 8,5		7,88	7,79	7,6	7,39	7,76
Salinidade	‰	NE	NE		0,5	0,3	0,3	0,4	0,3
Sólidos em suspensão	mg/L	NE	NE		<50	<50	204	<50	<50
Sólidos totais	mg/L	NE	NE		728	408	740	586	410
STD	mg/L	≤ 500	NE		676	408	582	526	382
Temperatura	°C	NE	NE		25,7	28,5	30,4	26,8	31,1
Temperatura do Ar	°C	NE	NE		31	32	32	34	37
Turbidez	NTU	≤ 100	NE		33,5	18,9	423	13,9	13,3
% Saturação de OD	%	NE	NE		92,8	98,7	74	97	103

Parâmetro	Unidade	Padrão Legal Doce	Padrão Legal Salobra	1ª	2ª	3ª	1ª	2ª	3ª
				ITP-ITR-900	ITP-ITR-900	ITP-ITR-900	ITP-JAQ-200	ITP-JAQ-200	ITP-JAQ-200
Alcalinidade total	mg CaCO3/L	NE	NE	11,6	8,3	9,3			<2
Cloreto	mg/L	≤ 250	NE	20,6	22	14			9,8
Clorofila a	µg/L	≤ 30	NE	0,76	<0,4	1,41			22,1
Colif. termo	NMP/100mL	NE	NE	2400	790	170			1100
Condutividade	µS/cm	NE	NE	95,3	110,1	112,2			59,5
DBO	mg/L	≤ 5	NE	<3	<3	<3			<3
DQO	mg O2/L	NE	NE	63,9	<30	<30			39,6
N Total	mg/L	NE	NE	1,1	<1	<1			1
Nitrogênio Nitrato	mg N-NO3/L	≤ 10	≤ 0,4	0,04	0,26	<0,02			<0,02
N-NH3	mg N-NH3/L	*	≤ 0,4	0,9	0,5	<0,4			0,6
OD	mg/L	≥ 5,0	≥ 5,0	7,35	7,2	7,2			7,26
Ortofosfato solúvel	mg/L	NE	NE	<0,02	<0,02	<0,02			<0,02
P Total	mg/L	≤ 0,1	≤ 0,124	<0,02	<0,02	<0,02			<0,02
pH	s/ unid	6 a 9	6,5 a 8,5	7,36	6,26	6,83			5,69
Salinidade	‰	NE	NE	<0,1	<0,1	<0,1			<0,1
Sólidos em suspensão	mg/L	NE	NE	<50	<50	<50			<50
Sólidos totais	mg/L	NE	NE	100	88	80			58
STD	mg/L	≤ 500	NE	74	72	64			<50
Temperatura	°C	NE	NE	26,9	24	26,7			23
Temperatura do Ar	°C	NE	NE	27	30	34			29
Turbidez	NTU	≤ 100	NE	13,8	16,6	14,8			4,4
% Saturação de OD	%	NE	NE	92	85,5	89,9			84,6

Parâmetro	Unidade	Padrão Legal Doce	Padrão Legal Salobra	1ª	2ª	3ª	1ª	2ª	3ª
				ITP-JCI-050	ITP-JCI-050	ITP-JCI-050	ITP-LAS-001	ITP-LAS-001	ITP-LAS-001
Alcalinidade total	mg CaCO3/L	NE	NE	135		153			47,1
Cloreto	mg/L	≤ 250	NE	128		126			59,4
Clorofila a	µg/L	≤ 30	NE	27		6,95			36
Colif. termo	NMP/100mL	NE	NE	<18		330			78
Condutividade	µS/cm	NE	NE	891		896			333
DBO	mg/L	≤ 5	NE	<3		<3			11
DQO	mg O2/L	NE	NE	<30		<30			55,8
N Total	mg/L	NE	NE	<1		2			3
Nitrogênio Nitrato	mg N-NO3/L	≤ 10	≤ 0,4	<0,02		<0,02			<0,02
N-NH3	mg N-NH3/L	*	≤ 0,4	<0,4		0,9			1,1
OD	mg/L	≥ 5,0	≥ 5,0	6,94		5,02			1,64
Ortofosfato solúvel	mg/L	NE	NE	<0,02		<0,02			<0,02
P Total	mg/L	≤ 0,1	≤ 0,124	0,08		0,07			0,06
pH	s/ unid	6 a 9	6,5 a 8,5	8,31		7,75			6,9
Salinidade	‰	NE	NE	0,4		0,4			0,1
Sólidos em suspensão	mg/L	NE	NE	<50		<50			<50
Sólidos totais	mg/L	NE	NE	418		488			300
STD	mg/L	≤ 500	NE	402		418			266
Temperatura	°C	NE	NE	29		26,6			26,4
Temperatura do Ar	°C	NE	NE	32		33			27
Turbidez	NTU	≤ 100	NE	5,6		7,8			8,4
% Saturação de OD	%	NE	NE	90,4		62,8			20,6

Parâmetro	Unidade	Padrão Legal Doce	Padrão Legal Salobra	1ª	2ª	3ª	1ª	2ª	3ª
				ITP-PEX-500	ITP-PEX-500	ITP-PEX-500	ITP-PIR-900	ITP-PIR-900	ITP-PIR-900
Alcalinidade total	mg CaCO3/L	NE	NE	46,6			3,5	13	12,3
Cloreto	mg/L	≤ 250	NE	409			20,4	21,4	14,5
Clorofila a	µg/L	≤ 30	NE	22,7			1,09	<0,4	2,29
Colif. termo	NMP/100mL	NE	NE	9200			3000	900	170
Condutividade	µS/cm	NE	NE	1546			111,5	112,7	120,2
DBO	mg/L	≤ 5	NE	11			<3	<3	<3
DQO	mg O2/L	NE	NE	31,6			<30	<30	<30
N Total	mg/L	NE	NE	<1			<1	<1	<1
Nitrogênio Nitrato	mg N-NO3/L	≤ 10	≤ 0,4	0,1			<0,02	0,15	<0,02
N-NH3	mg N-NH3/L	*	≤ 0,4	<0,4			<0,4	0,8	<0,4
OD	mg/L	≥ 5,0	≥ 5,0	6,17			7,12	7,27	6,55
Ortofosfato solúvel	mg/L	NE	NE	<0,02			<0,02	<0,02	<0,02
P Total	mg/L	≤ 0,1	≤ 0,124	0,29			0,03	<0,02	<0,02
pH	s/ unid	6 a 9	6,5 a 8,5	7,87			6,76	6,31	6,65
Salinidade	‰	NE	NE	0,8			<0,1	<0,1	<0,1
Sólidos em suspensão	mg/L	NE	NE	148			<50	<50	<50
Sólidos totais	mg/L	NE	NE	1190			150	106	106
STD	mg/L	≤ 500	NE	1022			112	102	82
Temperatura	°C	NE	NE	30,1			26,4	24	26,7
Temperatura do Ar	°C	NE	NE	32			29	32	34
Turbidez	NTU	≤ 100	NE	135			40,3	21,8	17
% Saturação de OD	%	NE	NE	82,2			88,4	86,4	81,7

Parâmetro	Unidade	Padrão Legal Doce	Padrão Legal Salobra	1ª	2ª	3ª	1ª	2ª	3ª
				ITP-QJG-050	ITP-QJG-050	ITP-QJG-050	ITP-RFM-900	ITP-RFM-900	ITP-RFM-900
Alcalinidade total	mg CaCO3/L	NE	NE			1340	2,3		
Cloreto	mg/L	≤ 250	NE			1490	12,2		
Clorofila a	µg/L	≤ 30	NE			41,1	0,76		
Colif. termo	NMP/100mL	NE	NE			2400	2200		
Condutividade	µS/cm	NE	NE			7730	66,1		
DBO	mg/L	≤ 5	NE			<3	<3		
DQO	mg O2/L	NE	NE			153	31,6		
N Total	mg/L	NE	NE			<1	1,4		
Nitrogênio Nitrato	mg N-NO3/L	≤ 10	≤ 0,4			<0,02	<0,02		
N-NH3	mg N-NH3/L	*	≤ 0,4			<0,4	1,4		
OD	mg/L	≥ 5,0	≥ 5,0			6,84	5,95		
Ortofosfato solúvel	mg/L	NE	NE			<0,02	<0,02		
P Total	mg/L	≤ 0,1	≤ 0,124			0,04	0,05		
pH	s/ unid	6 a 9	6,5 a 8,5			8,48	6,4		
Salinidade	‰	NE	NE			4	<0,1		
Sólidos em suspensão	mg/L	NE	NE			<50	<50		
Sólidos totais	mg/L	NE	NE			4973	115		
STD	mg/L	≤ 500	NE			4487	65		
Temperatura	°C	NE	NE			29	26		
Temperatura do Ar	°C	NE	NE			34	34		
Turbidez	NTU	≤ 100	NE			14,4	44		
% Saturação de OD	%	NE	NE			90,8	73,2		

Parâmetro	Unidade	Padrão Legal Doce	Padrão Legal Salobra	1ª	2ª	3ª	1ª	2ª	3ª
				ITP-ROU-050	ITP-ROU-050	ITP-ROU-050	ITP-RPD-200	ITP-RPD-200	ITP-RPD-200
Alcalinidade total	mg CaCO3/L	NE	NE	7,2		4,2	13		17,6
Cloreto	mg/L	≤ 250	NE	9,9		3,4	33,4		15,5
Clorofila a	µg/L	≤ 30	NE	1,74		1,03	8,72		23,5
Colif. termo	NMP/100mL	NE	NE	>16000		330	330		110
Condutividade	µS/cm	NE	NE	51,5		33,9	156,3		152,9
DBO	mg/L	≤ 5	NE	<3		<3	3		<3
DQO	mg O2/L	NE	NE	<30		<30	<30		<30
N Total	mg/L	NE	NE	<1		1	<1		<1
Nitrogênio Nitrato	mg N-NO3/L	≤ 10	≤ 0,4	0,17		<0,02	<0,02		<0,02
N-NH3	mg N-NH3/L	*	≤ 0,4	<0,4		1	0,6		<0,4
OD	mg/L	≥ 5,0	≥ 5,0	8,01		7,64	2,64		2,81
Ortofosfato solúvel	mg/L	NE	NE	<0,02		<0,02	<0,02		<0,02
P Total	mg/L	≤ 0,1	≤ 0,124	<0,02		<0,02	0,05		<0,02
pH	s/ unid	6 a 9	6,5 a 8,5	6,89		9,17	6,57		6,43
Salinidade	‰	NE	NE	<0,1		<0,1	<0,1		<0,1
Sólidos em suspensão	mg/L	NE	NE	<50		<50	<50		<50
Sólidos totais	mg/L	NE	NE	<50		56	150		64
STD	mg/L	≤ 500	NE	<50		<50	134		100
Temperatura	°C	NE	NE	24,9		24,3	22,6		25,1
Temperatura do Ar	°C	NE	NE	29		30	33		32
Turbidez	NTU	≤ 100	NE	13,9		6,6	16,4		8,8
% Saturação de OD	%	NE	NE	96,9		91,2	32,4		34

Parâmetro	Unidade	Padrão Legal Doce	Padrão Legal Salobra	1ª	2ª	3ª	1ª	2ª	3ª
				ITP-RQE-980	ITP-RQE-980	ITP-RQE-980	ITP-SMB-300	ITP-SMB-300	ITP-SMB-300
Alcalinidade total	mg CaCO3/L	NE	NE	129	131	134	13,6		29,2
Cloreto	mg/L	≤ 250	NE	61	68,9	59,6	25,8		19,6
Clorofila a	µg/L	≤ 30	NE	1,03	<0,4	9,78	17		0,71
Colif. termo	NMP/100mL	NE	NE	490	3500	2200	1100		9200
Condutividade	µS/cm	NE	NE	574	541	520	167,9		130,2
DBO	mg/L	≤ 5	NE	<3	<3	<3	<3		<3
DQO	mg O2/L	NE	NE	<30	<30	<30	50,4		90,8
N Total	mg/L	NE	NE	<1	<1	<1	<1		<1
Nitrogênio Nitrato	mg N-NO3/L	≤ 10	≤ 0,4	<0,02	0,15	<0,02	<0,02		<0,02
N-NH3	mg N-NH3/L	*	≤ 0,4	<0,4	<0,4	0,5	<0,4		0,5
OD	mg/L	≥ 5,0	≥ 5,0	6,28	7,16	6,01	5,05		7,68
Ortofosfato solúvel	mg/L	NE	NE	<0,02	<0,02	<0,02	<0,02		<0,02
P Total	mg/L	≤ 0,1	≤ 0,124	<0,02	<0,02	<0,02	<0,02		<0,02
pH	s/ unid	6 a 9	6,5 a 8,5	7,29	8,4	7,79	6,69		6,83
Salinidade	‰	NE	NE	0,3	0,2	0,2	<0,1		<0,1
Sólidos em suspensão	mg/L	NE	NE	<50	<50	62	<50		<50
Sólidos totais	mg/L	NE	NE	300	306	370	156		152
STD	mg/L	≤ 500	NE	299	302	296	146		86
Temperatura	°C	NE	NE	32	29,8	30,9	26,2		23
Temperatura do Ar	°C	NE	NE	28	32	34	29		28
Turbidez	NTU	≤ 100	NE	2,6	1,7	15	12,4		8,1
% Saturação de OD	%	NE	NE	86,6	94,5	80,9	62,6		89,5

Parâmetro	Unidade	Padrão Legal Doce	Padrão Legal Salobra	1ª	2ª	3ª
				ITP-TAM-500	ITP-TAM-500	ITP-TAM-500
Alcalinidade total	mg CaCO3/L	NE	NE			253
Cloreto	mg/L	≤ 250	NE			371
Clorofila a	µg/L	≤ 30	NE			25,4
Colif. termo	NMP/100mL	NE	NE			220
Condutividade	µS/cm	NE	NE			2500
DBO	mg/L	≤ 5	NE			<3
DQO	mg O2/L	NE	NE			102
N Total	mg/L	NE	NE			1
Nitrogênio Nitrato	mg N-NO3/L	≤ 10	≤ 0,4			<0,02
N-NH3	mg N-NH3/L	*	≤ 0,4			0,5
OD	mg/L	≥ 5,0	≥ 5,0			3,09
Ortofosfato solúvel	mg/L	NE	NE			<0,02
P Total	mg/L	≤ 0,1	≤ 0,124			0,08
pH	s/ unid	6 a 9	6,5 a 8,5			7,42
Salinidade	‰	NE	NE			1,2
Sólidos em suspensão	mg/L	NE	NE			<50
Sólidos totais	mg/L	NE	NE			1528
STD	mg/L	≤ 500	NE			1350
Temperatura	°C	NE	NE			29,3
Temperatura do Ar	°C	NE	NE			32
Turbidez	NTU	≤ 100	NE			9,2
% Saturação de OD	%	NE	NE			41

RPGA do Rio Jequitinhonha (JQH)

Parâmetro	Unidade	Padrão Legal Doce	Padrão Legal Salobra	1ª	2ª	3ª	1ª	2ª	3ª
				JQH-JQH-200	JQH-JQH-200	JQH-JQH-200	JQH-JQH-500	JQH-JQH-500	JQH-JQH-500
Alcalinidade total	mg CaCO3/L	NE	NE	7,3		12	10		13
Cloreto	mg/L	≤ 250	NE	5,1		8,2	7,9		11,2
Clorofila a	µg/L	≤ 30	NE	3,54		14,4	1,74		4,25
Colif. termo	NMP/100mL	NE	NE	3,3X10^2		5,4X10^3	2,0X10		1,3X10^2
Condutividade	µS/cm	NE	NE	46,9		112,5	74,6		130,4
DBO	mg/L	≤ 5	NE	<3		<3	5		<3
DQO	mg O2/L	NE	NE	<30,0		<30,0	<30,0		<30,0
N Total	mg/L	NE	NE	1,4		<1,0	1,8		<1,0
Nitrogênio Nitrato	mg N-NO3/L	≤ 10	≤ 0,4	<0,02		<0,02	0,13		<0,02
N-NH3	mg N-NH3/L	*	≤ 0,4	1,3		<0,4	1,5		0,4
OD	mg/L	≥ 5,0	≥ 5,0	5,94		5,07	6,91		5,63
Ortofosfato solúvel	mg/L	NE	NE	<0,02		<0,02	<0,02		<0,02
P Total	mg/L	≤ 0,1	≤ 0,124	0,14		0,1	0,1		0,03
pH	s/ unid	6 a 9	6,5 a 8,5	7,62		7,4	7,37		7,2
Salinidade	‰	NE	NE	<0,1		<0,1	<0,1		<0,1
Sólidos em suspensão	mg/L	NE	NE	<50		<50	<50		<50
Sólidos totais	mg/L	NE	NE	164		100	162		124
STD	mg/L	≤ 500	NE	150		80	136		114
Temperatura	°C	NE	NE	30,9		29	28,4		27
Temperatura do Ar	°C	NE	NE	30		28	28		28
Turbidez	NTU	≤ 100	NE	156		40,2	134		45,6
% Saturação de OD	%	NE	NE	74,5		63,2	85		70,4

Parâmetro	Unidade	Padrão Legal Doce	Padrão Legal Salobra	1ª	2ª	3ª	1ª	2ª	3ª
				JQH-JQH-525	JQH-JQH-525	JQH-JQH-525	JQH-JQH-600	JQH-JQH-600	JQH-JQH-600
Alcalinidade total	mg CaCO3/L	NE	NE	13		28,1	33,1		
Cloreto	mg/L	≤ 250	NE	12,3		12,5	13,1		
Clorofila a	µg/L	≤ 30	NE	3,05		2,01	2,72		
Colif. termo	NMP/100mL	NE	NE	1,3X10^3		7,0X10^2	6,4X10^2		
Condutividade	µS/cm	NE	NE	121,7		142,9	144,8		
DBO	mg/L	≤ 5	NE	4		<3	6		
DQO	mg O2/L	NE	NE	<30,0		<30,0	<30,0		
N Total	mg/L	NE	NE	1,8		<1,0	<1,0		
Nitrogênio Nitrato	mg N-NO3/L	≤ 10	≤ 0,4	0,12		<0,02	<0,02		
N-NH3	mg N-NH3/L	*	≤ 0,4	1,1		0,5	0,6		
OD	mg/L	≥ 5,0	≥ 5,0	7,2		7,14	4,33		
Ortofosfato solúvel	mg/L	NE	NE	<0,02		<0,02	<0,02		
P Total	mg/L	≤ 0,1	≤ 0,124	0,06		0,05	0,04		
pH	s/ unid	6 a 9	6,5 a 8,5	7,11		7,43	7,14		
Salinidade	‰	NE	NE	<0,1		<0,1	<0,1		
Sólidos em suspensão	mg/L	NE	NE	<50		<50	<50		
Sólidos totais	mg/L	NE	NE	206		140	174		
STD	mg/L	≤ 500	NE	154		122	132		
Temperatura	°C	NE	NE	29,6		25	27,8		
Temperatura do Ar	°C	NE	NE	27		24	24		
Turbidez	NTU	≤ 100	NE	109		48,4	58,1		
% Saturação de OD	%	NE	NE	92		89,2	51,9		

Parâmetro	Unidade	Padrão Legal Doce	Padrão Legal Salobra	1ª	2ª	3ª	1ª	2ª	3ª
				JQH-JQH-700	JQH-JQH-700	JQH-JQH-700	JQH-LIM-600	JQH-LIM-600	JQH-LIM-600
Alcalinidade total	mg CaCO3/L	NE	NE	13,2			106		34,5
Cloreto	mg/L	≤ 250	NE	10,8			50,1		30,5
Clorofila a	µg/L	≤ 30	NE	10,8			3,64		1,69
Colif. termo	NMP/100mL	NE	NE	9,2X10^3			>1,6X10^4		>1,6X10^4
Condutividade	µS/cm	NE	NE	112,8			551		321
DBO	mg/L	≤ 5	NE	7			24		<3
DQO	mg O2/L	NE	NE	<30,0			<30,0		118
N Total	mg/L	NE	NE	1,2			12,7		1,4
Nitrogênio Nitrato	mg N-NO3/L	≤ 10	≤ 0,4	<0,02			<0,02		<0,02
N-NH3	mg N-NH3/L	*	≤ 0,4	1,2			9,5		0,7
OD	mg/L	≥ 5,0	≥ 5,0	7,96			4,45		6,02
Ortofosfato solúvel	mg/L	NE	NE	<0,02			<0,02		<0,02
P Total	mg/L	≤ 0,1	≤ 0,124	0,15			0,58		0,05
pH	s/ unid	6 a 9	6,5 a 8,5	7,45			6,71		7,3
Salinidade	‰	NE	NE	<0,1			0,3		0,1
Sólidos em suspensão	mg/L	NE	NE	272			82		<50
Sólidos totais	mg/L	NE	NE	396			414		244
STD	mg/L	≤ 500	NE	120			326		224
Temperatura	°C	NE	NE	25,9			29,9		25
Temperatura do Ar	°C	NE	NE	22			28		28
Turbidez	NTU	≤ 100	NE	215			91,3		28,2
% Saturação de OD	%	NE	NE	88			50,3		75,3

RPGA do Leste (LES)

Parâmetro	Unidade	Padrão Legal Doce	Padrão Legal Salobra	1ª	2ª	3ª	1ª	2ª	3ª
				LES-ALM-150	LES-ALM-150	LES-ALM-150	LES-ALM-200	LES-ALM-200	LES-ALM-200
Alcalinidade total	mg CaCO3/L	NE	NE	33,4		24,9	30,3		28,1
Cloreto	mg/L	≤ 250	NE	18,4		8,7	17,2		8
Clorofila a	µg/L	≤ 30	NE	1,79		5,77	12,8		7,02
Colif. termo	NMP/100mL	NE	NE	2,4X10^3		1,7X10^3	3,3X10^2		>1,6X10^4
Condutividade	µS/cm	NE	NE	146,1		124	147,7		128,3
DBO	mg/L	≤ 5	NE	<3		<3	<3		<3
DQO	mg O2/L	NE	NE	74,6		<30,0	58,5		<30,0
N Total	mg/L	NE	NE	<1,0		<1,0	1,4		<1,0
Nitrogênio Nitrato	mg N-NO3/L	≤ 10	≤ 0,4	0,27		<0,02	<0,02		<0,02
N-NH3	mg N-NH3/L	*	≤ 0,4	0,6		<0,4	0,6		<0,4
OD	mg/L	≥ 5,0	≥ 5,0	4,52		6,56	2,15		4,54
Ortofosfato solúvel	mg/L	NE	NE	<0,02		<0,02	<0,02		<0,02
P Total	mg/L	≤ 0,1	≤ 0,124	0,19		0,11	0,24		0,13
pH	s/ unid	6 a 9	6,5 a 8,5	7,8		6,59	7,24		6,72
Salinidade	‰	NE	NE	<0,1		<0,1	<0,1		<0,1
Sólidos em suspensão	mg/L	NE	NE	<50		<50	<50		<50
Sólidos totais	mg/L	NE	NE	242		108	124		110
STD	mg/L	≤ 500	NE	136		52	98		108
Temperatura	°C	NE	NE	27,3		26,5	31,3		27,9
Temperatura do Ar	°C	NE	NE	35		32	33		33
Turbidez	NTU	≤ 100	NE	15,3		12,2	8,1		7,8
% Saturação de OD	%	NE	NE	57		81,4	29		57,9

Parâmetro	Unidade	Padrão Legal Doce	Padrão Legal Salobra	1ª	2ª	3ª	1ª	2ª	3ª
				LES-ALM-300	LES-ALM-300	LES-ALM-300	LES-BCO-001	LES-BCO-001	LES-BCO-001
Alcalinidade total	mg CaCO3/L	NE	NE	24		27,2	84,8		50,4
Cloreto	mg/L	≤ 250	NE	21,7		7,3	44		19,2
Clorofila a	µg/L	≤ 30	NE	3,31		5,22	10,9		8,41
Colif. termo	NMP/100mL	NE	NE	>1,6X10^4		>1,6X10^4	7,8X10		>1,6X10^4
Condutividade	µS/cm	NE	NE	163,6		119,5	334		254,3
DBO	mg/L	≤ 5	NE	<3		<3	3		<3
DQO	mg O2/L	NE	NE	<30,0		39,6	61,2		42,3
N Total	mg/L	NE	NE	1,2		1	<1,0		1,3
Nitrogênio Nitrato	mg N-NO3/L	≤ 10	≤ 0,4	<0,02		<0,02	<0,02		<0,02
N-NH3	mg N-NH3/L	*	≤ 0,4	0,7		0,4	0,4		0,6
OD	mg/L	≥ 5,0	≥ 5,0	7,64		7,31	3,83		4,09
Ortofosfato solúvel	mg/L	NE	NE	<0,02		<0,02	<0,02		<0,02
P Total	mg/L	≤ 0,1	≤ 0,124	0,77		0,2	0,07		0,26
pH	s/ unid	6 a 9	6,5 a 8,5	7,53		7,76	7,3		6,57
Salinidade	‰	NE	NE	<0,1		<0,1	0,2		0,1
Sólidos em suspensão	mg/L	NE	NE	<50		<50	<50		<50
Sólidos totais	mg/L	NE	NE	142		134	238		224
STD	mg/L	≤ 500	NE	138		110	228		222
Temperatura	°C	NE	NE	30,7		30,2	29,6		27,5
Temperatura do Ar	°C	NE	NE	32		32	32		35
Turbidez	NTU	≤ 100	NE	5,1		18,9	9,9		28,2
% Saturação de OD	%	NE	NE	102		97,1	50,3		51,6

Parâmetro	Unidade	Padrão Legal Doce	Padrão Legal Salobra	1ª	2ª	3ª	1ª	2ª	3ª
				LES-COL-200	LES-COL-200	LES-COL-200	LES-COL-300	LES-COL-300	LES-COL-300
Alcalinidade total	mg CaCO3/L	NE	NE	89,6		25,3			89,6
Cloreto	mg/L	≤ 250	NE	35,1		9,6			40,9
Clorofila a	µg/L	≤ 30	NE	24,5		2,07			19,1
Colif. termo	NMP/100mL	NE	NE	2,4X10^3		>1,6X10^4			2,3X10^2
Condutividade	µS/cm	NE	NE	336		140,2			435
DBO	mg/L	≤ 5	NE	13		5			<3
DQO	mg O2/L	NE	NE	31,6		<30,0			<30,0
N Total	mg/L	NE	NE	12,9		2,5			2,7
Nitrogênio Nitrato	mg N-NO3/L	≤ 10	≤ 0,4	<0,02		0,08			<0,02
N-NH3	mg N-NH3/L	*	≤ 0,4	<0,4		<0,4			0,4
OD	mg/L	≥ 5,0	≥ 5,0	0,16		6,01			7,83
Ortofosfato solúvel	mg/L	NE	NE	<0,02		<0,02			<0,02
P Total	mg/L	≤ 0,1	≤ 0,124	1,52		0,34			0,37
pH	s/ unid	6 a 9	6,5 a 8,5	7,31		6,81			8,22
Salinidade	‰	NE	NE	0,2		<0,1			0,2
Sólidos em suspensão	mg/L	NE	NE	<50		<50			<50
Sólidos totais	mg/L	NE	NE	204		100			300
STD	mg/L	≤ 500	NE	158		74			278
Temperatura	°C	NE	NE	27		25,6			24
Temperatura do Ar	°C	NE	NE	35		31			32
Turbidez	NTU	≤ 100	NE	26,8		13,2			17,8
% Saturação de OD	%	NE	NE	2,5		73,3			99,7

Parâmetro	Unidade	Padrão Legal Doce	Padrão Legal Salobra	1ª	2ª	3ª	1ª	2ª	3ª
				LES-COL-990	LES-COL-990	LES-COL-990	LES-IGP-001	LES-IGP-001	LES-IGP-001
Alcalinidade total	mg CaCO3/L	NE	NE			49,1	8,5		8,3
Cloreto	mg/L	≤ 250	NE			17,2	11,9		7,1
Clorofila a	µg/L	≤ 30	NE			3,97	9,45		5
Colif. termo	NMP/100mL	NE	NE			>1,6X10^4	4,5X10		<1,8X10
Condutividade	µS/cm	NE	NE			236,4	77,1		72,5
DBO	mg/L	≤ 5	NE			5	9		<3
DQO	mg O2/L	NE	NE			34,2	<30,0		<30,0
N Total	mg/L	NE	NE			3,2	<1,0		<1,0
Nitrogênio Nitrato	mg N-NO3/L	≤ 10	≤ 0,4			<0,02	<0,02		<0,02
N-NH3	mg N-NH3/L	*	≤ 0,4			0,7	0,4		0,5
OD	mg/L	≥ 5,0	≥ 5,0			8,34	7,22		6,87
Ortofosfato solúvel	mg/L	NE	NE			<0,02	<0,02		<0,02
P Total	mg/L	≤ 0,1	≤ 0,124			0,38	<0,02		<0,02
pH	s/ unid	6 a 9	6,5 a 8,5			7,44	6,95		7,11
Salinidade	‰	NE	NE			0,1	<0,1		<0,1
Sólidos em suspensão	mg/L	NE	NE			<50	<50		<50
Sólidos totais	mg/L	NE	NE			236	108		96
STD	mg/L	≤ 500	NE			224	64		76
Temperatura	°C	NE	NE			27,7	32		28,7
Temperatura do Ar	°C	NE	NE			35	34		31
Turbidez	NTU	≤ 100	NE			40,1	16,1		9,4
% Saturação de OD	%	NE	NE			106	98,8		88,9

Parâmetro	Unidade	Padrão Legal Doce	Padrão Legal Salobra	1ª	2ª	3ª	1ª	2ª	3ª
				LES-LEN-500	LES-LEN-500	LES-LEN-500	LES-MRM-600	LES-MRM-600	LES-MRM-600
Alcalinidade total	mg CaCO3/L	NE	NE	8,3		8	3,3		7,1
Cloreto	mg/L	≤ 250	NE	32,9		4,7	8,9		5,7
Clorofila a	µg/L	≤ 30	NE	16,8		15,9	3,21		1,74
Colif. termo	NMP/100mL	NE	NE	7,9X10^2		1,3X10^3	4,5X10		4,5X10
Condutividade	µS/cm	NE	NE	160,8		66,8	47,5		49,4
DBO	mg/L	≤ 5	NE	<3		<3	6		<3
DQO	mg O2/L	NE	NE	34,2		<30,0	<30,0		<30,0
N Total	mg/L	NE	NE	<1,0		<1,0	<1,0		<1,0
Nitrogênio Nitrato	mg N-NO3/L	≤ 10	≤ 0,4	<0,02		<0,02	<0,02		<0,02
N-NH3	mg N-NH3/L	*	≤ 0,4	<0,4		<0,4	0,4		<0,4
OD	mg/L	≥ 5,0	≥ 5,0	7,45		7,55	7,61		7,88
Ortofosfato solúvel	mg/L	NE	NE	<0,02		<0,02	<0,02		<0,02
P Total	mg/L	≤ 0,1	≤ 0,124	0,04		0,04	<0,02		<0,02
pH	s/ unid	6 a 9	6,5 a 8,5	7,09		7,08	7,33		6,95
Salinidade	‰	NE	NE	<0,1		<0,1	<0,1		<0,1
Sólidos em suspensão	mg/L	NE	NE	<50		<50	<50		<50
Sólidos totais	mg/L	NE	NE	86		52	86		72
STD	mg/L	≤ 500	NE	74		<50	70		<50
Temperatura	°C	NE	NE	31,9		29,2	29,5		26,7
Temperatura do Ar	°C	NE	NE	31		31	32		32
Turbidez	NTU	≤ 100	NE	7		7,2	4,7		4,9
% Saturação de OD	%	NE	NE	102		98,4	99,7		98,2

Parâmetro	Unidade	Padrão Legal Doce	Padrão Legal Salobra	1ª	2ª	3ª	1ª	2ª	3ª
				LES-RCH-500	LES-RCH-500	LES-RCH-500	LES-RCH-600	LES-RCH-600	LES-RCH-600
Alcalinidade total	mg CaCO3/L	NE	NE	86,5		63,1			74,3
Cloreto	mg/L	≤ 250	NE	52,3		36			29,3
Clorofila a	µg/L	≤ 30	NE	13,1		45,5			9,02
Colif. termo	NMP/100mL	NE	NE	1,6X10^4		4,9X10^2			>1,6X10^4
Condutividade	µS/cm	NE	NE	373		359			346
DBO	mg/L	≤ 5	NE	<3		<3			<3
DQO	mg O2/L	NE	NE	<30,0		<30,0			<30,0
N Total	mg/L	NE	NE	1		<1,0			2,1
Nitrogênio Nitrato	mg N-NO3/L	≤ 10	≤ 0,4	<0,02		<0,02			0,14
N-NH3	mg N-NH3/L	*	≤ 0,4	0,6		<0,4			0,4
OD	mg/L	≥ 5,0	≥ 5,0	5,25		9,18			7,93
Ortofosfato solúvel	mg/L	NE	NE	<0,02		<0,02			<0,02
P Total	mg/L	≤ 0,1	≤ 0,124	0,24		0,2			0,28
pH	s/ unid	6 a 9	6,5 a 8,5	7,79		8,59			8,21
Salinidade	‰	NE	NE	0,2		0,2			0,2
Sólidos em suspensão	mg/L	NE	NE	<50		<50			<50
Sólidos totais	mg/L	NE	NE	260		246			244
STD	mg/L	≤ 500	NE	284		216			230
Temperatura	°C	NE	NE	31,2		29,7			30,5
Temperatura do Ar	°C	NE	NE	34		34			38
Turbidez	NTU	≤ 100	NE	3,5		27,1			25
% Saturação de OD	%	NE	NE	70,9		121			106

Parâmetro	Unidade	Padrão Legal Doce	Padrão Legal Salobra	1ª	2ª	3ª	1ª	2ª	3ª
				LES-RCH-700	LES-RCH-700	LES-RCH-700	LES-RCH-800	LES-RCH-800	LES-RCH-800
Alcalinidade total	mg CaCO3/L	NE	NE	128		66,5	71,9		65,5
Cloreto	mg/L	≤ 250	NE	97,5		27	75		26,7
Clorofila a	µg/L	≤ 30	NE	12		11,2	18,8		6,47
Colif. termo	NMP/100mL	NE	NE	>1,6X10^4		1,6X10^4	4,6X10^2		1,1X10^3
Condutividade	µS/cm	NE	NE	685		350	488		324
DBO	mg/L	≤ 5	NE	31		<3	<3		<3
DQO	mg O2/L	NE	NE	85,4		<30,0	<30,0		<30,0
N Total	mg/L	NE	NE	12,2		2,7	2,3		2,8
Nitrogênio Nitrato	mg N-NO3/L	≤ 10	≤ 0,4	<0,02		0,1	0,83		0,65
N-NH3	mg N-NH3/L	*	≤ 0,4	0,6		0,7	0,4		0,6
OD	mg/L	≥ 5,0	≥ 5,0	2,22		4,27	3,39		7,13
Ortofosfato solúvel	mg/L	NE	NE	<0,02		<0,02	<0,02		<0,02
P Total	mg/L	≤ 0,1	≤ 0,124	0,35		0,42	0,56		0,47
pH	s/ unid	6 a 9	6,5 a 8,5	7,53		7,4	6,93		7,28
Salinidade	‰	NE	NE	0,3		0,2	0,2		0,1
Sólidos em suspensão	mg/L	NE	NE	<50		<50	<50		<50
Sólidos totais	mg/L	NE	NE	442		276	278		270
STD	mg/L	≤ 500	NE	410		240	260		258
Temperatura	°C	NE	NE	29,6		29,9	30,5		29,8
Temperatura do Ar	°C	NE	NE	31		32	31		32
Turbidez	NTU	≤ 100	NE	20,8		27,5	7,2		26,8
% Saturação de OD	%	NE	NE	29,1		56,5	45,7		94,1

Parâmetro	Unidade	Padrão Legal Doce	Padrão Legal Salobra	1ª	2ª	3ª	1ª	2ª	3ª
				LES-RVE-200	LES-RVE-200	LES-RVE-200	LES-SLD-100	LES-SLD-100	LES-SLD-100
Alcalinidade total	mg CaCO3/L	NE	NE	<2,0		<2,0			57,3
Cloreto	mg/L	≤ 250	NE	8,9		5,2			8,6
Clorofila a	µg/L	≤ 30	NE	<0,40		3,93			4,51
Colif. termo	NMP/100mL	NE	NE	5,4X10^3		1,6X10^4			1,1X10^3
Condutividade	µS/cm	NE	NE	45,8		44,6			163,4
DBO	mg/L	≤ 5	NE	<3		<3			<3
DQO	mg O2/L	NE	NE	<30,0		<30,0			<30,0
N Total	mg/L	NE	NE	<1,0		<1,0			<1,0
Nitrogênio Nitrato	mg N-NO3/L	≤ 10	≤ 0,4	<0,02		<0,02			<0,02
N-NH3	mg N-NH3/L	*	≤ 0,4	<0,4		<0,4			<0,4
OD	mg/L	≥ 5,0	≥ 5,0	7,13		7,61			5,45
Ortofosfato solúvel	mg/L	NE	NE	<0,02		<0,02			<0,02
P Total	mg/L	≤ 0,1	≤ 0,124	<0,02		<0,02			0,07
pH	s/ unid	6 a 9	6,5 a 8,5	7,32		5,6			6,93
Salinidade	‰	NE	NE	<0,1		<0,1			<0,1
Sólidos em suspensão	mg/L	NE	NE	<50		<50			<50
Sólidos totais	mg/L	NE	NE	<50		<50			140
STD	mg/L	≤ 500	NE	<50		<50			138
Temperatura	°C	NE	NE	27,6		26			25,6
Temperatura do Ar	°C	NE	NE	32		31			32
Turbidez	NTU	≤ 100	NE	7,5		6			18,1
% Saturação de OD	%	NE	NE	90,2		93,7			66,9

Parâmetro	Unidade	Padrão Legal Doce	Padrão Legal Salobra	1ª	2ª	3ª	1ª	2ª	3ª
				LES-SLD-200	LES-SLD-200	LES-SLD-200	LES-SLD-400	LES-SLD-400	LES-SLD-400
Alcalinidade total	mg CaCO3/L	NE	NE	163		161	53,1		70,9
Cloreto	mg/L	≤ 250	NE	187		138	36,3		41,6
Clorofila a	µg/L	≤ 30	NE	11,6		23,9	10,5		72,5
Colif. termo	NMP/100mL	NE	NE	4,9X10^2		6,8x10^2	4,6X10^2		4,9X10^2
Condutividade	µS/cm	NE	NE	1104		1225	246,8		422
DBO	mg/L	≤ 5	NE	<3		3	<3		<3
DQO	mg O2/L	NE	NE	66,5		<30,0	<30,0		<30,0
N Total	mg/L	NE	NE	1,4		<1,0	1		<1,0
Nitrogênio Nitrato	mg N-NO3/L	≤ 10	≤ 0,4	<0,02		<0,02	0,06		<0,02
N-NH3	mg N-NH3/L	*	≤ 0,4	0,7		<0,4	0,5		<0,4
OD	mg/L	≥ 5,0	≥ 5,0	5,13		8,08	3,98		10,1
Ortofosfato solúvel	mg/L	NE	NE	<0,02		<0,02	<0,02		<0,02
P Total	mg/L	≤ 0,1	≤ 0,124	0,71		0,1	0,57		0,1
pH	s/ unid	6 a 9	6,5 a 8,5	8,35		8,16	7,69		9,31
Salinidade	‰	NE	NE	0,5		0,6	0,1		0,2
Sólidos em suspensão	mg/L	NE	NE	<50		<50	<50		<50
Sólidos totais	mg/L	NE	NE	696		802	184		256
STD	mg/L	≤ 500	NE	648		730	180		194
Temperatura	°C	NE	NE	34,8		29,1	31,2		28,8
Temperatura do Ar	°C	NE	NE	37		34	32		33
Turbidez	NTU	≤ 100	NE	6,2		10,7	5,4		10,3
% Saturação de OD	%	NE	NE	73,9		106	53,7		131

Parâmetro	Unidade	Padrão Legal Doce	Padrão Legal Salobra	1ª	2ª	3ª	1ª	2ª	3ª
				LES-SLM-500	LES-SLM-500	LES-SLM-500	LES-SPE-200	LES-SPE-200	LES-SPE-200
Alcalinidade total	mg CaCO3/L	NE	NE	21		22,2			12,2
Cloreto	mg/L	≤ 250	NE	9,6		7,9			4,7
Clorofila a	µg/L	≤ 30	NE	0,7		3,87			1,03
Colif. termo	NMP/100mL	NE	NE	4,9X10^2		4,9X10^2			1,7X10^2
Condutividade	µS/cm	NE	NE	85,8		93,4			62,1
DBO	mg/L	≤ 5	NE	<3		<3			5
DQO	mg O2/L	NE	NE	<30,0		<30,0			<30,0
N Total	mg/L	NE	NE	<1,0		<1,0			<1,0
Nitrogênio Nitrato	mg N-NO3/L	≤ 10	≤ 0,4	<0,02		<0,02			<0,02
N-NH3	mg N-NH3/L	*	≤ 0,4	<0,4		<0,4			<0,4
OD	mg/L	≥ 5,0	≥ 5,0	6,64		7,98			6
Ortofosfato solúvel	mg/L	NE	NE	<0,02		<0,02			<0,02
P Total	mg/L	≤ 0,1	≤ 0,124	0,03		0,03			0,04
pH	s/ unid	6 a 9	6,5 a 8,5	7,83		8,35			6,81
Salinidade	‰	NE	NE	<0,1		<0,1			<0,1
Sólidos em suspensão	mg/L	NE	NE	<50		<50			<50
Sólidos totais	mg/L	NE	NE	56		104			56
STD	mg/L	≤ 500	NE	<50		98			<50
Temperatura	°C	NE	NE	27		24,9			27
Temperatura do Ar	°C	NE	NE	33		32			31
Turbidez	NTU	≤ 100	NE	6,2		11,8			8,2
% Saturação de OD	%	NE	NE	83,4		96,2			75,3

Parâmetro	Unidade	Padrão Legal Doce	Padrão Legal Salobra	1ª	2ª	3ª	1ª	2ª	3ª
				LES-TIJ-800	LES-TIJ-800	LES-TIJ-800	LES-UNA-100	LES-UNA-100	LES-UNA-100
Alcalinidade total	mg CaCO3/L	NE	NE	2,4		<2,0	18		13
Cloreto	mg/L	≤ 250	NE	7		4	11,5		5,8
Clorofila a	µg/L	≤ 30	NE	1,84		1,69	5,38		<0,40
Colif. termo	NMP/100mL	NE	NE	2,3X10^2		6,8X10	1,3X10^3		1,6X10^4
Condutividade	µS/cm	NE	NE	45,1		42,5	88,2		76,3
DBO	mg/L	≤ 5	NE	<3		<3	<3		<3
DQO	mg O2/L	NE	NE	<30,0		<30,0	<30,0		<30,0
N Total	mg/L	NE	NE	<1,0		<1,0	<1,0		<1,0
Nitrogênio Nitrato	mg N-NO3/L	≤ 10	≤ 0,4	<0,02		<0,02	0,06		<0,02
N-NH3	mg N-NH3/L	*	≤ 0,4	<0,4		<0,4	0,8		<0,4
OD	mg/L	≥ 5,0	≥ 5,0	5,6		7,27	2,71		7,3
Ortofosfato solúvel	mg/L	NE	NE	<0,02		<0,02	<0,02		<0,02
P Total	mg/L	≤ 0,1	≤ 0,124	<0,02		<0,02	0,08		0,07
pH	s/ unid	6 a 9	6,5 a 8,5	6,2		6,74	6,3		7
Salinidade	‰	NE	NE	<0,1		<0,1	<0,1		<0,1
Sólidos em suspensão	mg/L	NE	NE	<50		<50	<50		<50
Sólidos totais	mg/L	NE	NE	<50		<50	84		50
STD	mg/L	≤ 500	NE	<50		<50	68		<50
Temperatura	°C	NE	NE	28,1		28,1	28		24,8
Temperatura do Ar	°C	NE	NE	30		32	33		29
Turbidez	NTU	≤ 100	NE	2,2		3,8	3,5		6,1
% Saturação de OD	%	NE	NE	71,7		92,8	34,7		88

Parâmetro	Unidade	Padrão Legal Doce	Padrão Legal Salobra	1ª	2ª	3ª	1ª	2ª	3ª
				LES-UNA-350	LES-UNA-350	LES-UNA-350	LES-UNA-400	LES-UNA-400	LES-UNA-400
Alcalinidade total	mg CaCO3/L	NE	NE	6,9		8,3	9,1		7,8
Cloreto	mg/L	≤ 250	NE	7,1		5	7,6		4,5
Clorofila a	µg/L	≤ 30	NE	1,11		5,13	2,31		2,35
Colif. termo	NMP/100mL	NE	NE	3,3X10^2		4,5X10	>1,6X10^4		9,2X10^3
Condutividade	µS/cm	NE	NE	52,9		57,7	61,1		59,2
DBO	mg/L	≤ 5	NE	<3		<3	<3		<3
DQO	mg O2/L	NE	NE	<30,0		<30,0	<30,0		<30,0
N Total	mg/L	NE	NE	<1,0		<1,0	<1,0		<1,0
Nitrogênio Nitrato	mg N-NO3/L	≤ 10	≤ 0,4	<0,02		<0,02	0,04		<0,02
N-NH3	mg N-NH3/L	*	≤ 0,4	<0,4		<0,4	<0,4		<0,4
OD	mg/L	≥ 5,0	≥ 5,0	7,48		7,68	4,92		7,55
Ortofosfato solúvel	mg/L	NE	NE	<0,02		<0,02	<0,02		<0,02
P Total	mg/L	≤ 0,1	≤ 0,124	<0,02		<0,02	0,02		0,09
pH	s/ unid	6 a 9	6,5 a 8,5	7,13		7,24	6,82		6,68
Salinidade	‰	NE	NE	<0,1		<0,1	<0,1		<0,1
Sólidos em suspensão	mg/L	NE	NE	50		<50	<50		<50
Sólidos totais	mg/L	NE	NE	124		58	74		68
STD	mg/L	≤ 500	NE	74		<50	<50		50
Temperatura	°C	NE	NE	30,7		26,4	30,8		27,2
Temperatura do Ar	°C	NE	NE	34		32	33		32
Turbidez	NTU	≤ 100	NE	46,5		5,9	2,1		7,6
% Saturação de OD	%	NE	NE	99,6		95,5	65,9		95,2

RPGA do Rio Mucuri (MCR)

Parâmetro	Unidade	Padrão Legal Doce	Padrão Legal Salobra	1ª	2ª	3ª	1ª	2ª	3ª
				MCR-MCR-200	MCR-MCR-200	MCR-MCR-200	MCR-MCR-400	MCR-MCR-400	MCR-MCR-400
Alcalinidade total	mg CaCO3/L	NE	NE	26,3		23,3	41,9		28,9
Cloreto	mg/L	≤ 250	NE	56,5		32,7	73,5		33,3
Clorofila a	µg/L	≤ 30	NE	7,93		10,6	3,91		8,36
Colif. termo	NMP/100mL	NE	NE	2,0X10		7,9X10^2	<1,8X10		1,7X10^3
Condutividade	µS/cm	NE	NE	286,9		246,8	447		289,2
DBO	mg/L	≤ 5	NE	12		<3	11		<3
DQO	mg O2/L	NE	NE	<30,0		<30,0	<30,0		<30,0
N Total	mg/L	NE	NE	<1,0		<1,0	<1,0		<1,0
Nitrogênio Nitrato	mg N-NO3/L	≤ 10	≤ 0,4	<0,02		<0,02	<0,02		<0,02
N-NH3	mg N-NH3/L	*	≤ 0,4	<0,4		<0,4	<0,4		<0,4
OD	mg/L	≥ 5,0	≥ 5,0	5,04		6,1	3,75		5,94
Ortofosfato solúvel	mg/L	NE	NE	<0,02		<0,02	<0,02		<0,02
P Total	mg/L	≤ 0,1	≤ 0,124	0,04		0,05	0,17		0,47
pH	s/ unid	6 a 9	6,5 a 8,5	6,88		7,28	6,09		7,4
Salinidade	‰	NE	NE	0,1		0,1	0,2		0,1
Sólidos em suspensão	mg/L	NE	NE	<50		<50	<50		<50
Sólidos totais	mg/L	NE	NE	178		166	284		152
STD	mg/L	≤ 500	NE	138		150	224		148
Temperatura	°C	NE	NE	28,1		24,9	29,5		24,9
Temperatura do Ar	°C	NE	NE	28		22	29		26
Turbidez	NTU	≤ 100	NE	5,2		7,9	8,6		9,9
% Saturação de OD	%	NE	NE	69,4		73,9	50,3		74,1

Parâmetro	Unidade	Padrão Legal Doce	Padrão Legal Salobra	1ª	2ª	3ª
				MCR-LSC-001	MCR-LSC-001	MCR-LSC-001
Alcalinidade total	mg CaCO3/L	NE	NE	28,3		
Cloreto	mg/L	≤ 250	NE	40,7		
Clorofila a	µg/L	≤ 30	NE	4,67		
Colif. termo	NMP/100mL	NE	NE	1,1X10^2		
Condutividade	µS/cm	NE	NE	241,8		
DBO	mg/L	≤ 5	NE	12		
DQO	mg O2/L	NE	NE	<30,0		
N Total	mg/L	NE	NE	<1,0		
Nitrogênio Nitrato	mg N-NO3/L	≤ 10	≤ 0,4	<0,02		
N-NH3	mg N-NH3/L	*	≤ 0,4	0,4		
OD	mg/L	≥ 5,0	≥ 5,0	5,06		
Ortofosfato solúvel	mg/L	NE	NE	<0,02		
P Total	mg/L	≤ 0,1	≤ 0,124	0,03		
pH	s/ unid	6 a 9	6,5 a 8,5	6,68		
Salinidade	‰	NE	NE	0,1		
Sólidos em suspensão	mg/L	NE	NE	<50		
Sólidos totais	mg/L	NE	NE	146		
STD	mg/L	≤ 500	NE	146		
Temperatura	°C	NE	NE	29,5		
Temperatura do Ar	°C	NE	NE	29		
Turbidez	NTU	≤ 100	NE	4,6		
% Saturação de OD	%	NE	NE	69,2		

RPGA dos Rios Macururé e Curaçá (MRR)

Parâmetro	Unidade	Padrão Legal Doce	Padrão Legal Salobra	1ª	2ª	3ª	1ª	2ª	3ª
				MRR-CRC-500	MRR-CRC-500	MRR-CRC-500	MRR-CRC-800	MRR-CRC-800	MRR-CRC-800
Alcalinidade total	mg CaCO3/L	NE	NE	79,3		102	48,5		75,4
Cloreto	mg/L	≤ 250	NE	25,2		24,5	2		3,4
Clorofila a	µg/L	≤ 30	NE	6,95		8,69	2,71		91,3
Colif. termo	NMP/100mL	NE	NE	2,4X10^3		7,8X10	>1,6X10^4		7,9X10^2
Condutividade	µS/cm	NE	NE	271,1		368	104,5		189,2
DBO	mg/L	≤ 5	NE	3		<3	<3		<3
DQO	mg O2/L	NE	NE	<30,0		<30,0	<30,0		<30,0
N Total	mg/L	NE	NE	1,1		1,5	1,8		<1,0
Nitrogênio Nitrato	mg N-NO3/L	≤ 10	≤ 0,4	<0,02		0,19	0,31		<0,02
N-NH3	mg N-NH3/L	*	≤ 0,4	0,7		0,7	1,3		<0,4
OD	mg/L	≥ 5,0	≥ 5,0	7,29		8,6	3,9		7,29
Ortofosfato solúvel	mg/L	NE	NE	<0,02		<0,02	<0,02		<0,02
P Total	mg/L	≤ 0,1	≤ 0,124	0,1		0,08	0,19		0,07
pH	s/ unid	6 a 9	6,5 a 8,5	7,47		7,53	6,69		7,43
Salinidade	‰	NE	NE	0,1		0,2	<0,1		<0,1
Sólidos em suspensão	mg/L	NE	NE	<50		<50	1400		<50
Sólidos totais	mg/L	NE	NE	324		314	1644		196
STD	mg/L	≤ 500	NE	230		308	240		128
Temperatura	°C	NE	NE	35,6		33,4	28,5		29,9
Temperatura do Ar	°C	NE	NE	35		34	30		33
Turbidez	NTU	≤ 100	NE	126		80,3	1970		4,5
% Saturação de OD	%	NE	NE	109		122	51,3		97

Parâmetro	Unidade	Padrão Legal Doce	Padrão Legal Salobra	1ª	2ª	3ª	1ª	2ª	3ª
				MRR-RSF-700	MRR-RSF-700	MRR-RSF-700	MRR-RSF-730	MRR-RSF-730	MRR-RSF-730
Alcalinidade total	mg CaCO3/L	NE	NE	30,3		32,1	30,4		33
Cloreto	mg/L	≤ 250	NE	3,7		1,2	3,2		1
Clorofila a	µg/L	≤ 30	NE	0,7		2,5	<0,40		2,17
Colif. termo	NMP/100mL	NE	NE	7,8X10		9,2X10^3	9,2X10^3		1,3X10^3
Condutividade	µS/cm	NE	NE	80,1		82,9	79,7		82,2
DBO	mg/L	≤ 5	NE	<3		<3	<3		<3
DQO	mg O2/L	NE	NE	<30,0		<30,0	<30,0		190
N Total	mg/L	NE	NE	<1,0		<1,0	<1,0		<1,0
Nitrogênio Nitrato	mg N-NO3/L	≤ 10	≤ 0,4	<0,02		<0,02	<0,02		<0,02
N-NH3	mg N-NH3/L	*	≤ 0,4	<0,4		<0,4	<0,4		<0,4
OD	mg/L	≥ 5,0	≥ 5,0	6,2		6,22	6,49		5,78
Ortofosfato solúvel	mg/L	NE	NE	<0,02		<0,02	<0,02		<0,02
P Total	mg/L	≤ 0,1	≤ 0,124	<0,02		<0,02	<0,02		<0,02
pH	s/ unid	6 a 9	6,5 a 8,5	7,05		7,78	6,88		7,88
Salinidade	‰	NE	NE	<0,1		<0,1	<0,1		<0,1
Sólidos em suspensão	mg/L	NE	NE	<50		<50	<50		<50
Sólidos totais	mg/L	NE	NE	84		90	92		110
STD	mg/L	≤ 500	NE	76		<50	56		74
Temperatura	°C	NE	NE	28,3		27,6	28,4		27,8
Temperatura do Ar	°C	NE	NE	28		29	29		29
Turbidez	NTU	≤ 100	NE	2,1		5,1	6,6		4,1
% Saturação de OD	%	NE	NE	80,1		78,8	85,3		75,5

Parâmetro	Unidade	Padrão Legal Doce	Padrão Legal Salobra	1ª	2ª	3ª	1ª	2ª	3ª
				MRR-RSF-750	MRR-RSF-750	MRR-RSF-750	MRR-RSF-780	MRR-RSF-780	MRR-RSF-780
Alcalinidade total	mg CaCO3/L	NE	NE	37,5		35	32,1		38,5
Cloreto	mg/L	≤ 250	NE	21,3		2,5	6,4		1,5
Clorofila a	µg/L	≤ 30	NE	0,98		3,97	1,36		2,88
Colif. termo	NMP/100mL	NE	NE	>1,6X10^4		2,4X10^3	1,7X10^3		4,6X10^2
Condutividade	µS/cm	NE	NE	159,4		94,6	94,1		86,3
DBO	mg/L	≤ 5	NE	<3		<3	4		<3
DQO	mg O2/L	NE	NE	<30,0		<30,0	<30,0		<30,0
N Total	mg/L	NE	NE	<1,0		<1,0	<1,0		<1,0
Nitrogênio Nitrato	mg N-NO3/L	≤ 10	≤ 0,4	<0,02		<0,02	<0,02		<0,02
N-NH3	mg N-NH3/L	*	≤ 0,4	<0,4		<0,4	<0,4		<0,4
OD	mg/L	≥ 5,0	≥ 5,0	5,68		5,9	5,77		5,79
Ortofosfato solúvel	mg/L	NE	NE	<0,02		<0,02	<0,02		<0,02
P Total	mg/L	≤ 0,1	≤ 0,124	<0,02		<0,02	<0,02		<0,02
pH	s/ unid	6 a 9	6,5 a 8,5	6,66		7,86	6,45		7,87
Salinidade	‰	NE	NE	<0,1		<0,1	<0,1		<0,1
Sólidos em suspensão	mg/L	NE	NE	<50		<50	<50		<50
Sólidos totais	mg/L	NE	NE	130		110	92		73
STD	mg/L	≤ 500	NE	118		<50	68		69
Temperatura	°C	NE	NE	28,6		28,8	29,8		29
Temperatura do Ar	°C	NE	NE	30		30	33		33
Turbidez	NTU	≤ 100	NE	4,8		7,9	6,2		3,9
% Saturação de OD	%	NE	NE	74,6		76,6	77,5		77,9

Parâmetro	Unidade	Padrão Legal Doce	Padrão Legal Salobra	1ª MRR-RSF-850	2ª MRR-RSF-850	3ª MRR-RSF-850	1ª MRR-RSF-870	2ª MRR-RSF-870	3ª MRR-RSF-870
Alcalinidade total	mg CaCO3/L	NE	NE	31,6		32,8	21,3		32,3
Cloreto	mg/L	≤ 250	NE	6,6		1,2	4,4		1,5
Clorofila a	µg/L	≤ 30	NE	0,98		4,71	0,51		3,59
Colif. termo	NMP/100mL	NE	NE	9,2X10^3		1,6X10^4	3,5X10^3		2,0X10
Condutividade	µS/cm	NE	NE	97,4		89,4	87		87,3
DBO	mg/L	≤ 5	NE	<3		<3	<3		<3
DQO	mg O2/L	NE	NE	<30,0		<30,0	<30,0		<30,0
N Total	mg/L	NE	NE	<1,0		<1,0	<1,0		<1,0
Nitrogênio Nitrato	mg N-NO3/L	≤ 10	≤ 0,4	<0,02		<0,02	<0,02		<0,02
N-NH3	mg N-NH3/L	*	≤ 0,4	<0,4		<0,4	<0,4		<0,4
OD	mg/L	≥ 5,0	≥ 5,0	3,25		6,33	5,89		7,19
Ortofosfato solúvel	mg/L	NE	NE	<0,02		<0,02	<0,02		<0,02
P Total	mg/L	≤ 0,1	≤ 0,124	<0,02		<0,02	<0,02		0,02
pH	s/ unid	6 a 9	6,5 a 8,5	7,14		7,79	8,02		6,86
Salinidade	‰	NE	NE	<0,1		<0,1	<0,1		<0,1
Sólidos em suspensão	mg/L	NE	NE	<50		<50	<50		<50
Sólidos totais	mg/L	NE	NE	92		104	96		<50
STD	mg/L	≤ 500	NE	92		64	84		<50
Temperatura	°C	NE	NE	30,7		29,3	30,6		27,4
Temperatura do Ar	°C	NE	NE	33		34	34		33
Turbidez	NTU	≤ 100	NE	4,9		7,8	3,6		3,4
% Saturação de OD	%	NE	NE	44,5		82,9	78,8		90,5

Parâmetro	Unidade	Padrão Legal Doce	Padrão Legal Salobra	1ª	2ª	3ª	1ª	2ª	3ª
				MRR-RSF-900	MRR-RSF-900	MRR-RSF-900	MRR-RSF-920	MRR-RSF-920	MRR-RSF-920
Alcalinidade total	mg CaCO3/L	NE	NE	30,3		33,4	30,1		34,5
Cloreto	mg/L	≤ 250	NE	4,3		1,8	5,1		2,3
Clorofila a	µg/L	≤ 30	NE	<0,40		3,2	0,69		4,35
Colif. termo	NMP/100mL	NE	NE	2,4X10^3		1,1X10^2	<1,8X10		1,4X10^3
Condutividade	µS/cm	NE	NE	87,3		90,5	90		96,3
DBO	mg/L	≤ 5	NE	<3		<3	<3		<3
DQO	mg O2/L	NE	NE	53,1		<30,0	<30,0		<30,0
N Total	mg/L	NE	NE	<1,0		<1,0	<1,0		<1,0
Nitrogênio Nitrato	mg N-NO3/L	≤ 10	≤ 0,4	<0,02		<0,02	<0,02		<0,02
N-NH3	mg N-NH3/L	*	≤ 0,4	<0,4		<0,4	<0,4		<0,4
OD	mg/L	≥ 5,0	≥ 5,0	5,84		6,29	10,7		6,81
Ortofosfato solúvel	mg/L	NE	NE	<0,02		<0,02	<0,02		<0,02
P Total	mg/L	≤ 0,1	≤ 0,124	<0,02		0,02	<0,02		0,07
pH	s/ unid	6 a 9	6,5 a 8,5	7,74		7,07	9,57		7,32
Salinidade	‰	NE	NE	<0,1		<0,1	<0,1		<0,1
Sólidos em suspensão	mg/L	NE	NE	<50		<50	<50		<50
Sólidos totais	mg/L	NE	NE	98		64	80		82
STD	mg/L	≤ 500	NE	98		<50	80		66
Temperatura	°C	NE	NE	31,5		27,5	33,6		30,4
Temperatura do Ar	°C	NE	NE	36		30	36		32
Turbidez	NTU	≤ 100	NE	8,4		4,5	5,7		2
% Saturação de OD	%	NE	NE	79,3		79,7	150		90,4

Parâmetro	Unidade	Padrão Legal Doce	Padrão Legal Salobra	1ª MRR-RSF-950	2ª MRR-RSF-950	3ª MRR-RSF-950	1ª MRR-RSF-980	2ª MRR-RSF-980	3ª MRR-RSF-980
Alcalinidade total	mg CaCO3/L	NE	NE	28,8		34,7	32,4		36,4
Cloreto	mg/L	≤ 250	NE	3,2		0,9	10,7		1,6
Clorofila a	µg/L	≤ 30	NE	0,46		1,69	1,47		1,79
Colif. termo	NMP/100mL	NE	NE	<1,8X10		3,3X10	1,6X10^4		5,4X10^3
Condutividade	µS/cm	NE	NE	88,4		88	89,9		91,3
DBO	mg/L	≤ 5	NE	<3		<3	<3		<3
DQO	mg O2/L	NE	NE	<30,0		<30,0	<30,0		<30,0
N Total	mg/L	NE	NE	<1,0		<1,0	<1,0		<1,0
Nitrogênio Nitrato	mg N-NO3/L	≤ 10	≤ 0,4	<0,02		<0,02	<0,02		<0,02
N-NH3	mg N-NH3/L	*	≤ 0,4	<0,4		<0,4	<0,4		<0,4
OD	mg/L	≥ 5,0	≥ 5,0	6,67		8,41	7,21		7,22
Ortofosfato solúvel	mg/L	NE	NE	<0,02		<0,02	<0,02		<0,02
P Total	mg/L	≤ 0,1	≤ 0,124	<0,02		<0,02	0,05		<0,02
pH	s/ unid	6 a 9	6,5 a 8,5	8,26		8,27	8,32		7,2
Salinidade	‰	NE	NE	<0,1		<0,1	<0,1		<0,1
Sólidos em suspensão	mg/L	NE	NE	<50		<50	<50		<50
Sólidos totais	mg/L	NE	NE	96		76	80		70
STD	mg/L	≤ 500	NE	78		64	<50		60
Temperatura	°C	NE	NE	29,7		28,2	29,9		27,5
Temperatura do Ar	°C	NE	NE	32		32	34		29
Turbidez	NTU	≤ 100	NE	1,6		1	2,7		1,3
% Saturação de OD	%	NE	NE	87,7		108	95,2		91,5

Parâmetro	Unidade	Padrão Legal Doce	Padrão Legal Salobra	1ª	2ª	3ª
				MRR-RSF-990	MRR-RSF-990	MRR-RSF-990
Alcalinidade total	mg CaCO3/L	NE	NE	32,6		35,5
Cloreto	mg/L	≤ 250	NE	3,4		1,3
Clorofila a	µg/L	≤ 30	NE	1,06		1,79
Colif. termo	NMP/100mL	NE	NE	3,3X10^2		4,0X10
Condutividade	µS/cm	NE	NE	91,3		89,7
DBO	mg/L	≤ 5	NE	<3		<3
DQO	mg O2/L	NE	NE	<30,0		<30,0
N Total	mg/L	NE	NE	<1,0		<1,0
Nitrogênio Nitrato	mg N-NO3/L	≤ 10	≤ 0,4	<0,02		<0,02
N-NH3	mg N-NH3/L	*	≤ 0,4	<0,4		<0,4
OD	mg/L	≥ 5,0	≥ 5,0	6,03		7,12
Ortofosfato solúvel	mg/L	NE	NE	<0,02		<0,02
P Total	mg/L	≤ 0,1	≤ 0,124	0,02		<0,02
pH	s/ unid	6 a 9	6,5 a 8,5	8		7,48
Salinidade	‰	NE	NE	<0,1		<0,1
Sólidos em suspensão	mg/L	NE	NE	<50		<50
Sólidos totais	mg/L	NE	NE	62		102
STD	mg/L	≤ 500	NE	62		56
Temperatura	°C	NE	NE	31		28,2
Temperatura do Ar	°C	NE	NE	36		33
Turbidez	NTU	≤ 100	NE	1,6		1,5
% Saturação de OD	%	NE	NE	81,1		91,4

Parâmetro	Unidade	Padrão Legal Doce	Padrão Legal Salobra	1ª	2ª	3ª	1ª	2ª	3ª
				PIJ-ALB-050	PIJ-ALB-050	PIJ-ALB-050	PIJ-ALB-200	PIJ-ALB-200	PIJ-ALB-200
Alcalinidade total	mg CaCO3/L	NE	NE	22,3		13,1	20,2		28,4
Cloreto	mg/L	≤ 250	NE	11,2		30,5	38,4		98,7
Clorofila a	µg/L	≤ 30	NE	1,69		2,72	2,77		1,36
Colif. termo	NMP/100mL	NE	NE	7,9X10^2		2,4X10^3	>1,6X10^4		4,6X10^2
Condutividade	µS/cm	NE	NE	107,1		217,1	189,7		625
DBO	mg/L	≤ 5	NE	13		<3	11		<3
DQO	mg O2/L	NE	NE	<30		42,3	<30		39,6
N Total	mg/L	NE	NE	1,8		1	<1		<1
Nitrogênio Nitrato	mg N-NO3/L	≤ 10	≤ 0,4	<0,02		<0,02	<0,02		<0,02
N-NH3	mg N-NH3/L	*	≤ 0,4	1,5		0,6	<0,4		<0,4
OD	mg/L	≥ 5,0	≥ 5,0	5,8		6,04	4,39		5,82
Ortofosfato solúvel	mg/L	NE	NE	<0,02		<0,02	<0,02		<0,02
P Total	mg/L	≤ 0,1	≤ 0,124	0,02		0,09	<0,02		0,08
pH	s/ unid	6 a 9	6,5 a 8,5	7,23		6,97	7,32		6,26
Salinidade	‰	NE	NE	<0,1		<0,1	<0,1		0,3
Sólidos em suspensão	mg/L	NE	NE	<50		<50	50		<50
Sólidos totais	mg/L	NE	NE	104		188	100		360
STD	mg/L	≤ 500	NE	<50		144	98		336
Temperatura	°C	NE	NE	27,1		24,1	29,3		25,4
Temperatura do Ar	°C	NE	NE	23		22	26		26
Turbidez	NTU	≤ 100	NE	11,3		49,7	2,7		23
% Saturação de OD	%	NE	NE	73,7		71,3	57,4		70,4

Parâmetro	Unidade	Padrão Legal Doce	Padrão Legal Salobra	1ª	2ª	3ª	1ª	2ª	3ª
				PIJ-ALB-230	PIJ-ALB-230	PIJ-ALB-230	PIJ-ALB-500	PIJ-ALB-500	PIJ-ALB-500
Alcalinidade total	mg CaCO3/L	NE	NE	16		27,5	26,2		26,8
Cloreto	mg/L	≤ 250	NE	39,9		96,7	57,4		82,2
Clorofila a	µg/L	≤ 30	NE	2,4		2,44	10,9		2,45
Colif. termo	NMP/100mL	NE	NE	>1,6X10^4		>1,6X10^4	2,3X10^2		9,2X10^3
Condutividade	µS/cm	NE	NE	195,8		637	217,4		549
DBO	mg/L	≤ 5	NE	12		<3	10		<3
DQO	mg O2/L	NE	NE	<30		39,6	<30		39,6
N Total	mg/L	NE	NE	<1		<1	<1		<1
Nitrogênio Nitrato	mg N-NO3/L	≤ 10	≤ 0,4	<0,02		<0,02	0,07		<0,02
N-NH3	mg N-NH3/L	*	≤ 0,4	<0,4		<0,4	<0,4		<0,4
OD	mg/L	≥ 5,0	≥ 5,0	2,84		5,47	6,02		6,74
Ortofosfato solúvel	mg/L	NE	NE	<0,02		<0,02	<0,02		<0,02
P Total	mg/L	≤ 0,1	≤ 0,124	<0,02		0,11	0,07		0,07
pH	s/ unid	6 a 9	6,5 a 8,5	6,49		6,25	6,32		6,33
Salinidade	‰	NE	NE	<0,1		0,3	0,1		0,2
Sólidos em suspensão	mg/L	NE	NE	<50		<50	<50		<50
Sólidos totais	mg/L	NE	NE	144		418	164		350
STD	mg/L	≤ 500	NE	140		318	144		306
Temperatura	°C	NE	NE	29,5		26,3	31,6		27,6
Temperatura do Ar	°C	NE	NE	26		26	33		30
Turbidez	NTU	≤ 100	NE	3,4		35,6	3,5		18,4
% Saturação de OD	%	NE	NE	37,5		67,8	85,2		84,8

Parâmetro	Unidade	Padrão Legal Doce	Padrão Legal Salobra	1ª	2ª	3ª	1ª	2ª	3ª
				PIJ-ALB-700	PIJ-ALB-700	PIJ-ALB-700	PIJ-ALB-900	PIJ-ALB-900	PIJ-ALB-900
Alcalinidade total	mg CaCO3/L	NE	NE	27,8		24,5	42,9		24,7
Cloreto	mg/L	≤ 250	NE	54		69,6	1550		45,3
Clorofila a	µg/L	≤ 30	NE	15,5		5,05	10,9		2,07
Colif. termo	NMP/100mL	NE	NE	7,9X10^2		1,3X10^2	9,2X10^3		3,3X10^2
Condutividade	µS/cm	NE	NE	269,1		462	5780		343
DBO	mg/L	≤ 5	NE	8		<3	12		<3
DQO	mg O2/L	NE	NE	<30		<30	102		36,9
N Total	mg/L	NE	NE	<1		<1	1,6		<1
Nitrogênio Nitrato	mg N-NO3/L	≤ 10	≤ 0,4	<0,02		<0,02	<0,02		<0,02
N-NH3	mg N-NH3/L	*	≤ 0,4	<0,4		<0,4	0,6		<0,4
OD	mg/L	≥ 5,0	≥ 5,0	6,4		4,99	3,55		3,65
Ortofosfato solúvel	mg/L	NE	NE	<0,02		<0,02	<0,02		<0,02
P Total	mg/L	≤ 0,1	≤ 0,124	0,03		0,06	0,04		0,08
pH	s/ unid	6 a 9	6,5 a 8,5	6,05		6,32	6,2		6,48
Salinidade	‰	NE	NE	0,1		0,2	3,2		0,2
Sólidos em suspensão	mg/L	NE	NE	<50		<50	<50		<50
Sólidos totais	mg/L	NE	NE	182		266	3376		172
STD	mg/L	≤ 500	NE	140		262	2964		166
Temperatura	°C	NE	NE	31		29,3	32		28,9
Temperatura do Ar	°C	NE	NE	34		30	34		31
Turbidez	NTU	≤ 100	NE	8,8		7,4	22		16,1
% Saturação de OD	%	NE	NE	81,3		63,3	50		46,7

Parâmetro	Unidade	Padrão Legal Doce	Padrão Legal Salobra	1ª	2ª	3ª	1ª	2ª	3ª
				PIJ-JUC-900	PIJ-JUC-900	PIJ-JUC-900	PIJ-JUN-100	PIJ-JUN-100	PIJ-JUN-100
Alcalinidade total	mg CaCO3/L	NE	NE	50,5		16,6	15		22,2
Cloreto	mg/L	≤ 250	NE	5390		209	9,7		9,1
Clorofila a	µg/L	≤ 30	NE	4,62		3,91	2,77		0,71
Colif. termo	NMP/100mL	NE	NE	4,6X10^2		1,1X10^3	5,4X10^3		3,0X10^3
Condutividade	µS/cm	NE	NE	16550		1337	91,7		105,3
DBO	mg/L	≤ 5	NE	11		<3	11		3
DQO	mg O2/L	NE	NE	287		39,6	30		30
N Total	mg/L	NE	NE	1,9		<1	1		1
Nitrogênio Nitrato	mg N-NO3/L	≤ 10	≤ 0,4	<0,02		<0,02	0,02		0,02
N-NH3	mg N-NH3/L	*	≤ 0,4	1		<0,4	0,4		0,4
OD	mg/L	≥ 5,0	≥ 5,0	3,48		3,73	6,15		7,86
Ortofosfato solúvel	mg/L	NE	NE	<0,02		<0,02	0,02		0,02
P Total	mg/L	≤ 0,1	≤ 0,124	0,02		0,06	0,03		0,08
pH	s/ unid	6 a 9	6,5 a 8,5	7		6,33	6,3		7,14
Salinidade	‰	NE	NE	9,8		0,6	0,1		0,1
Sólidos em suspensão	mg/L	NE	NE	<50		<50	50		50
Sólidos totais	mg/L	NE	NE	10490		702	96		136
STD	mg/L	≤ 500	NE	9730		700	60		122
Temperatura	°C	NE	NE	29,4		28,3	29,5		24,3
Temperatura do Ar	°C	NE	NE	34		29	34		22
Turbidez	NTU	≤ 100	NE	5,4		17,4	10,6		32,8
% Saturação de OD	%	NE	NE	48,6		50	79,5		87

Parâmetro	Unidade	Padrão Legal Doce	Padrão Legal Salobra	1ª	2ª	3ª	1ª	2ª	3ª
				PIJ-JUN-120	PIJ-JUN-120	PIJ-JUN-120	PIJ-JUN-250	PIJ-JUN-250	PIJ-JUN-250
Alcalinidade total	mg CaCO3/L	NE	NE			22,7	15,2		14
Cloreto	mg/L	≤ 250	NE			9,8	13,8		6,3
Clorofila a	µg/L	≤ 30	NE			0,66	3,48		1,03
Colif. termo	NMP/100mL	NE	NE			9,2X10^3	7,9X10^2		>1,6X10^4
Condutividade	µS/cm	NE	NE			117,1	78,8		78,7
DBO	mg/L	≤ 5	NE			<3	13		<3
DQO	mg O2/L	NE	NE			<30	<30		<30
N Total	mg/L	NE	NE			<1	<1		<1
Nitrogênio Nitrato	mg N-NO3/L	≤ 10	≤ 0,4			<0,02	<0,02		<0,02
N-NH3	mg N-NH3/L	*	≤ 0,4			0,4	<0,4		0,4
OD	mg/L	≥ 5,0	≥ 5,0			7,03	5,6		6,56
Ortofosfato solúvel	mg/L	NE	NE			<0,02	<0,02		<0,02
P Total	mg/L	≤ 0,1	≤ 0,124			0,08	<0,02		0,06
pH	s/ unid	6 a 9	6,5 a 8,5			7,05	6,71		7,36
Salinidade	‰	NE	NE			<0,1	<0,1		<0,1
Sólidos em suspensão	mg/L	NE	NE			<50	<50		<50
Sólidos totais	mg/L	NE	NE			180	76		138
STD	mg/L	≤ 500	NE			178	62		104
Temperatura	°C	NE	NE			24,3	30,1		25,5
Temperatura do Ar	°C	NE	NE			22	32		26
Turbidez	NTU	≤ 100	NE			39,6	8,2		38,8
% Saturação de OD	%	NE	NE			83,4	75,7		79,8

Parâmetro	Unidade	Padrão Legal Doce	Padrão Legal Salobra	1ª	2ª	3ª	1ª	2ª	3ª
				PIJ-JUN-400	PIJ-JUN-400	PIJ-JUN-400	PIJ-JUS-400	PIJ-JUS-400	PIJ-JUS-400
Alcalinidade total	mg CaCO3/L	NE	NE	18		23,5	16,2		8,8
Cloreto	mg/L	≤ 250	NE	21,3		8,3	10,2		6,8
Clorofila a	µg/L	≤ 30	NE	6,04		2,01	3,86		1,03
Colif. termo	NMP/100mL	NE	NE	7,8X10		3,5X10^3	1,1X10^2		>1,6X10^4
Condutividade	µS/cm	NE	NE	133,8		84,1	77,9		66,6
DBO	mg/L	≤ 5	NE	16		<3	10		<3
DQO	mg O2/L	NE	NE	<30		<30	<30		<30
N Total	mg/L	NE	NE	<1		1	<1		<1
Nitrogênio Nitrato	mg N-NO3/L	≤ 10	≤ 0,4	<0,02		<0,02	<0,02		<0,02
N-NH3	mg N-NH3/L	*	≤ 0,4	<0,4		0,5	<0,4		<0,4
OD	mg/L	≥ 5,0	≥ 5,0	5,03		4,25	4,44		6,79
Ortofosfato solúvel	mg/L	NE	NE	<0,02		<0,02	<0,02		<0,02
P Total	mg/L	≤ 0,1	≤ 0,124	<0,02		0,07	<0,02		0,26
pH	s/ unid	6 a 9	6,5 a 8,5	6,86		7,45	6,27		7,27
Salinidade	‰	NE	NE	<0,1		<0,1	<0,1		<0,1
Sólidos em suspensão	mg/L	NE	NE	<50		<50	<50		<50
Sólidos totais	mg/L	NE	NE	114		86	68		126
STD	mg/L	≤ 500	NE	76		<50	62		72
Temperatura	°C	NE	NE	32,2		26,9	29,1		25,8
Temperatura do Ar	°C	NE	NE	34		30	28		26
Turbidez	NTU	≤ 100	NE	9,6		39,3	6,1		31,4
% Saturação de OD	%	NE	NE	70		84,9	57,6		53,9

Parâmetro	Unidade	Padrão Legal Doce	Padrão Legal Salobra	1ª	2ª	3ª	1ª	2ª	3ª
				PIJ-PRN-600	PIJ-PRN-600	PIJ-PRN-600	PIJ-PRP-400	PIJ-PRP-400	PIJ-PRP-400
Alcalinidade total	mg CaCO3/L	NE	NE			24,5	38,9		30,9
Cloreto	mg/L	≤ 250	NE			51,2	139		110
Clorofila a	µg/L	≤ 30	NE			2,99	1,36		1,96
Colif. termo	NMP/100mL	NE	NE			7,0X10^2	1,3X10^2		>1,6X10^4
Condutividade	µS/cm	NE	NE			346	634		657
DBO	mg/L	≤ 5	NE			<3	6		<3
DQO	mg O2/L	NE	NE			39,6	61,2		71,9
N Total	mg/L	NE	NE			<1	1,6		1,1
Nitrogênio Nitrato	mg N-NO3/L	≤ 10	≤ 0,4			<0,02	<0,02		<0,02
N-NH3	mg N-NH3/L	*	≤ 0,4			<0,4	1,1		0,6
OD	mg/L	≥ 5,0	≥ 5,0			5,82	4,31		4,82
Ortofosfato solúvel	mg/L	NE	NE			<0,02	<0,02		<0,02
P Total	mg/L	≤ 0,1	≤ 0,124			0,09	0,04		0,11
pH	s/ unid	6 a 9	6,5 a 8,5			7,43	6,41		7,2
Salinidade	‰	NE	NE			0,2	0,3		0,3
Sólidos em suspensão	mg/L	NE	NE			<50	<50		<50
Sólidos totais	mg/L	NE	NE			298	448		404
STD	mg/L	≤ 500	NE			256	386		376
Temperatura	°C	NE	NE			24,4	25,5		24,3
Temperatura do Ar	°C	NE	NE			23	25		24
Turbidez	NTU	≤ 100	NE			17,2	12,7		16,9
% Saturação de OD	%	NE	NE			59,4	54,5		57,4

RPGA dos Rios Paramirim e Santo Onofre (PMI)

Parâmetro	Unidade	Padrão Legal Doce	Padrão Legal Salobra	1ª	2ª	3ª	1ª	2ª	3ª
				PMI-MCU-100	PMI-MCU-100	PMI-MCU-100	PMI-MRF-800	PMI-MRF-800	PMI-MRF-800
Alcalinidade total	mg CaCO3/L	NE	NE			104	19,5		16,7
Cloreto	mg/L	≤ 250	NE			8,2	3,3		3
Clorofila a	µg/L	≤ 30	NE			38,7	4,3		7,98
Colif. termo	NMP/100mL	NE	NE			1,6X10^4	3,5X10^3		3,3x10^2
Condutividade	µS/cm	NE	NE			250,6	89,3		63,8
DBO	mg/L	≤ 5	NE			<3	<3		<3
DQO	mg O2/L	NE	NE			<30,0	<30,0		<30,0
N Total	mg/L	NE	NE			<1,0	<1,0		<1,0
Nitrogênio Nitrato	mg N-NO3/L	≤ 10	≤ 0,4			<0,02	<0,02		<0,02
N-NH3	mg N-NH3/L	*	≤ 0,4			<0,4	<0,4		<0,4
OD	mg/L	≥ 5,0	≥ 5,0			7,21	6,29		7,48
Ortofosfato solúvel	mg/L	NE	NE			<0,02	<0,02		<0,02
P Total	mg/L	≤ 0,1	≤ 0,124			0,06	0,02		0,05
pH	s/ unid	6 a 9	6,5 a 8,5			6,6	6,33		7,34
Salinidade	‰	NE	NE			0,1	<0,1		<0,1
Sólidos em suspensão	mg/L	NE	NE			<50	<50		<50
Sólidos totais	mg/L	NE	NE			240	92		98
STD	mg/L	≤ 500	NE			202	62		76
Temperatura	°C	NE	NE			34,6	23,5		25,8
Temperatura do Ar	°C	NE	NE			31	24		30
Turbidez	NTU	≤ 100	NE			67	31		14,6
% Saturação de OD	%	NE	NE			102	74,6		91,6

Parâmetro	Unidade	Padrão Legal Doce	Padrão Legal Salobra	1ª	2ª	3ª	1ª	2ª	3ª
				PMI-PMI-100	PMI-PMI-100	PMI-PMI-100	PMI-PMI-200	PMI-PMI-200	PMI-PMI-200
Alcalinidade total	mg CaCO3/L	NE	NE	3,7		30,3	102		85,4
Cloreto	mg/L	≤ 250	NE	1,4		3,4	12,8		14,8
Clorofila a	µg/L	≤ 30	NE	2,83		5,64	63		9,17
Colif. termo	NMP/100mL	NE	NE	2,4X10^3		7,9X10^2	2,3X10^3		2,2X10^2
Condutividade	µS/cm	NE	NE	37,9		91	287,6		249
DBO	mg/L	≤ 5	NE	<3		<3	4		<3
DQO	mg O2/L	NE	NE	36,9		<30,0	<30,0		<30,0
N Total	mg/L	NE	NE	<1,0		<1,0	1,3		<1,0
Nitrogênio Nitrato	mg N-NO3/L	≤ 10	≤ 0,4	<0,02		<0,02	<0,02		<0,02
N-NH3	mg N-NH3/L	*	≤ 0,4	<0,4		<0,4	0,6		0,5
OD	mg/L	≥ 5,0	≥ 5,0	7,23		5,68	2,79		3,42
Ortofosfato solúvel	mg/L	NE	NE	<0,02		<0,02	<0,02		<0,02
P Total	mg/L	≤ 0,1	≤ 0,124	0,03		0,02	0,11		0,27
pH	s/ unid	6 a 9	6,5 a 8,5	6,27		7,28	6,36		6,34
Salinidade	‰	NE	NE	<0,1		<0,1	0,1		0,1
Sólidos em suspensão	mg/L	NE	NE	128		<50	<50		<50
Sólidos totais	mg/L	NE	NE	196		82	210		194
STD	mg/L	≤ 500	NE	54		56	180		178
Temperatura	°C	NE	NE	22,6		24,8	27,1		27,5
Temperatura do Ar	°C	NE	NE	24		30	25		33
Turbidez	NTU	≤ 100	NE	131		9,4	21,4		17,4
% Saturação de OD	%	NE	NE	84,1		67,1	84,1		42,6

Parâmetro	Unidade	Padrão Legal Doce	Padrão Legal Salobra	1ª	2ª	3ª	1ª	2ª	3ª
				PMI-PMI-700	PMI-PMI-700	PMI-PMI-700	PMI-RSF-350	PMI-RSF-350	PMI-RSF-350
Alcalinidade total	mg CaCO3/L	NE	NE			25,7			29,9
Cloreto	mg/L	≤ 250	NE			6,1			3,6
Clorofila a	µg/L	≤ 30	NE			6,64			3,6
Colif. termo	NMP/100mL	NE	NE			3,5X10^3			>1,6X10^4
Condutividade	µS/cm	NE	NE			87,4			85,2
DBO	mg/L	≤ 5	NE			<3			<3
DQO	mg O2/L	NE	NE			<30,0			<30,0
N Total	mg/L	NE	NE			<1,0			<1,0
Nitrogênio Nitrato	mg N-NO3/L	≤ 10	≤ 0,4			<0,02			<0,02
N-NH3	mg N-NH3/L	*	≤ 0,4			<0,4			<0,4
OD	mg/L	≥ 5,0	≥ 5,0			6,73			6,03
Ortofosfato solúvel	mg/L	NE	NE			<0,02			<0,02
P Total	mg/L	≤ 0,1	≤ 0,124			0,03			0,04
pH	s/ unid	6 a 9	6,5 a 8,5			7,57			7,68
Salinidade	‰	NE	NE			<0,1			<0,1
Sólidos em suspensão	mg/L	NE	NE			<50			<50
Sólidos totais	mg/L	NE	NE			123			108
STD	mg/L	≤ 500	NE			65			64
Temperatura	°C	NE	NE			33,3			30,4
Temperatura do Ar	°C	NE	NE			30			32
Turbidez	NTU	≤ 100	NE			23,4			4,8
% Saturação de OD	%	NE	NE			94,5			77,5

Parâmetro	Unidade	Padrão Legal Doce	Padrão Legal Salobra	1ª	2ª	3ª	1ª	2ª	3ª
				PMI-RSF-450	PMI-RSF-450	PMI-RSF-450	PMI-RSF-470	PMI-RSF-470	PMI-RSF-470
Alcalinidade total	mg CaCO3/L	NE	NE	14,2		17,1	29,3		27,3
Cloreto	mg/L	≤ 250	NE	1,1		<0,5	1,4		1,1
Clorofila a	µg/L	≤ 30	NE	2,77		25,6	3,15		26,6
Colif. termo	NMP/100mL	NE	NE			2,9X10^3	1,3X10^3		1,7X10^2
Condutividade	µS/cm	NE	NE	42,7		51,5	80,5		77,5
DBO	mg/L	≤ 5	NE	3		3	7		<3
DQO	mg O2/L	NE	NE	<30,0		<30,0	<30,0		<30,0
N Total	mg/L	NE	NE	<1,0		<1,0	1		<1,0
Nitrogênio Nitrato	mg N-NO3/L	≤ 10	≤ 0,4	<0,02		<0,02	0,07		<0,02
N-NH3	mg N-NH3/L	*	≤ 0,4	0,5		<0,4	1		<0,4
OD	mg/L	≥ 5,0	≥ 5,0	4,72		5,51	5,41		5,91
Ortofosfato solúvel	mg/L	NE	NE	<0,02		<0,02	<0,02		<0,02
P Total	mg/L	≤ 0,1	≤ 0,124	0,05		<0,02	0,05		0,03
pH	s/ unid	6 a 9	6,5 a 8,5	8,35		8,2	8,6		8,2
Salinidade	‰	NE	NE	<0,1		<0,1	<0,1		<0,1
Sólidos em suspensão	mg/L	NE	NE	<50		<50	54		76
Sólidos totais	mg/L	NE	NE	84		<50	176		112
STD	mg/L	≤ 500	NE	84		<50	116		59
Temperatura	°C	NE	NE	30		29,3	30,2		30,9
Temperatura do Ar	°C	NE	NE	25		26	31		33
Turbidez	NTU	≤ 100	NE	57,6		44,5	109		76,6
% Saturação de OD	%	NE	NE	61,7		61,6	71,1		74,4

RPGA do Rio Pardo (PRD)

Parâmetro	Unidade	Padrão Legal Doce	Padrão Legal Salobra	1ª	2ª	3ª	1ª	2ª	3ª
				PRD-AGP-100	PRD-AGP-100	PRD-AGP-100	PRD-BCA-001	PRD-BCA-001	PRD-BCA-001
Alcalinidade total	mg CaCO3/L	NE	NE			23,6	28,8		
Cloreto	mg/L	≤ 250	NE			6,3	23		
Clorofila a	µg/L	≤ 30	NE			3,16	2,88		
Colif. termo	NMP/100mL	NE	NE			7,9X10^2	1,3X10^2		
Condutividade	µS/cm	NE	NE			92,7	140,4		
DBO	mg/L	≤ 5	NE			<3	<3		
DQO	mg O2/L	NE	NE			<30,0	<30,0		
N Total	mg/L	NE	NE			<1,0	<1,0		
Nitrogênio Nitrato	mg N-NO3/L	≤ 10	≤ 0,4			<0,02	0,1		
N-NH3	mg N-NH3/L	*	≤ 0,4			<0,4	<0,4		
OD	mg/L	≥ 5,0	≥ 5,0			7,91	6,72		
Ortofosfato solúvel	mg/L	NE	NE			<0,02	<0,02		
P Total	mg/L	≤ 0,1	≤ 0,124			0,03	0,02		
pH	s/ unid	6 a 9	6,5 a 8,5			7,39	7,75		
Salinidade	‰	NE	NE			<0,1	<0,1		
Sólidos em suspensão	mg/L	NE	NE			<50	<50		
Sólidos totais	mg/L	NE	NE			112	100		
STD	mg/L	≤ 500	NE			68	96		
Temperatura	°C	NE	NE			27,5	29,4		
Temperatura do Ar	°C	NE	NE			34	30		
Turbidez	NTU	≤ 100	NE			10,5	10,9		
% Saturação de OD	%	NE	NE			100	82,6		

Parâmetro	Unidade	Padrão Legal Doce	Padrão Legal Salobra	1ª	2ª	3ª	1ª	2ª	3ª
				PRD-CGR-300	PRD-CGR-300	PRD-CGR-300	PRD-CGR-400	PRD-CGR-400	PRD-CGR-400
Alcalinidade total	mg CaCO3/L	NE	NE	135		19	30,8		38,5
Cloreto	mg/L	≤ 250	NE	7,1		7,7	27,1		32,5
Clorofila a	µg/L	≤ 30	NE	0,5		6,71	1,62		3,43
Colif. termo	NMP/100mL	NE	NE	3,0X10^3		>1,6X10^4	>1,6X10^4		1,6X10^4
Condutividade	µS/cm	NE	NE	79,1		96,6	186,7		298,5
DBO	mg/L	≤ 5	NE	<3		<3	<3		<3
DQO	mg O2/L	NE	NE	<30,0		<30,0	<30,0		<30,0
N Total	mg/L	NE	NE	1,5		<1,0	2,3		<1,0
Nitrogênio Nitrato	mg N-NO3/L	≤ 10	≤ 0,4	1,27		<0,02	0,03		<0,02
N-NH3	mg N-NH3/L	*	≤ 0,4	<0,4		<0,4	1,6		<0,4
OD	mg/L	≥ 5,0	≥ 5,0	6,98		5,85	4,44		6,14
Ortofosfato solúvel	mg/L	NE	NE	<0,02		<0,02	<0,02		<0,02
P Total	mg/L	≤ 0,1	≤ 0,124	0,06		0,04	<0,02		0,1
pH	s/ unid	6 a 9	6,5 a 8,5	7,45		7	7,22		6,71
Salinidade	‰	NE	NE	<0,1		<0,1	<0,1		0,1
Sólidos em suspensão	mg/L	NE	NE	<50		<50	<50		<50
Sólidos totais	mg/L	NE	NE	72		117	168		248
STD	mg/L	≤ 500	NE	58		70	122		177
Temperatura	°C	NE	NE	26,9		25,3	30,6		28,8
Temperatura do Ar	°C	NE	NE	31		29	31		28
Turbidez	NTU	≤ 100	NE	7,5		18,5	27,7		36,2
% Saturação de OD	%	NE	NE	83,8		71,3	54,4		75

Parâmetro	Unidade	Padrão Legal Doce	Padrão Legal Salobra	1ª	2ª	3ª	1ª	2ª	3ª
				PRD-CGR-470	PRD-CGR-470	PRD-CGR-470	PRD-CGR-600	PRD-CGR-600	PRD-CGR-600
Alcalinidade total	mg CaCO3/L	NE	NE			39,4	67,9		39
Cloreto	mg/L	≤ 250	NE			36,5	42,3		33,6
Clorofila a	µg/L	≤ 30	NE			3,32	4,61		<0,40
Colif. termo	NMP/100mL	NE	NE			>1,6X10^4	>1,6X10^4		>1,6X10^4
Condutividade	µS/cm	NE	NE			291,5	321		305
DBO	mg/L	≤ 5	NE			<3	8		<3
DQO	mg O2/L	NE	NE			<30,0	<30,0		<30,0
N Total	mg/L	NE	NE			<1,0	8		2
Nitrogênio Nitrato	mg N-NO3/L	≤ 10	≤ 0,4			<0,02	<0,02		<0,02
N-NH3	mg N-NH3/L	*	≤ 0,4			<0,4	7,2		<0,4
OD	mg/L	≥ 5,0	≥ 5,0			4,55	3,32		5,08
Ortofosfato solúvel	mg/L	NE	NE			<0,02	<0,02		<0,02
P Total	mg/L	≤ 0,1	≤ 0,124			0,07	0,5		0,3
pH	s/ unid	6 a 9	6,5 a 8,5			6,58	6,86		6,61
Salinidade	‰	NE	NE			0,1	0,2		0,1
Sólidos em suspensão	mg/L	NE	NE			173	50		<50
Sólidos totais	mg/L	NE	NE			214	204		214
STD	mg/L	≤ 500	NE			<50	162		181
Temperatura	°C	NE	NE			28,5	30,3		28
Temperatura do Ar	°C	NE	NE			30	32		27
Turbidez	NTU	≤ 100	NE			21,7	23,6		15,8
% Saturação de OD	%	NE	NE			59,2	43,7		63,6

Parâmetro	Unidade	Padrão Legal Doce	Padrão Legal Salobra	1ª	2ª	3ª	1ª	2ª	3ª
				PRD-CLB-100	PRD-CLB-100	PRD-CLB-100	PRD-JUN-500	PRD-JUN-500	PRD-JUN-500
Alcalinidade total	mg CaCO3/L	NE	NE	53,6		52,1	129		66,3
Cloreto	mg/L	≤ 250	NE	146		111	55,4		41
Clorofila a	µg/L	≤ 30	NE	3,16		5,9	0,51		9,64
Colif. termo	NMP/100mL	NE	NE	1,7X10^3		3,3X10^2	>1,6X10^4		>1,6X10^4
Condutividade	µS/cm	NE	NE	681		762	576		464
DBO	mg/L	≤ 5	NE	<3		<3	208		39
DQO	mg O2/L	NE	NE	<30,0		<30,0	260		139
N Total	mg/L	NE	NE	1,5		<1,0	18		2,6
Nitrogênio Nitrato	mg N-NO3/L	≤ 10	≤ 0,4	0,44		<0,02	<0,02		<0,02
N-NH3	mg N-NH3/L	*	≤ 0,4	0,4		<0,4	18,2		0,5
OD	mg/L	≥ 5,0	≥ 5,0	4,91		1,27	1,91		0,51
Ortofosfato solúvel	mg/L	NE	NE	<0,02		<0,02	0,36		<0,02
P Total	mg/L	≤ 0,1	≤ 0,124	0,31		0,11	0,98		0,67
pH	s/ unid	6 a 9	6,5 a 8,5	7,03		6,63	6,73		6,77
Salinidade	‰	NE	NE	0,3		0,4	0,3		0,2
Sólidos em suspensão	mg/L	NE	NE	<50		<50	446		<50
Sólidos totais	mg/L	NE	NE	440		408	800		342
STD	mg/L	≤ 500	NE	404		424	360		265
Temperatura	°C	NE	NE	26,6		22,1	29,2		27,2
Temperatura do Ar	°C	NE	NE	30		23	32		30
Turbidez	NTU	≤ 100	NE	23,2		8,6	520		18
% Saturação de OD	%	NE	NE	56,8		15	25		6,4

Parâmetro	Unidade	Padrão Legal Doce	Padrão Legal Salobra	1ª	2ª	3ª	1ª	2ª	3ª
				PRD-MAC-900	PRD-MAC-900	PRD-MAC-900	PRD-MAJ-500	PRD-MAJ-500	PRD-MAJ-500
Alcalinidade total	mg CaCO3/L	NE	NE	82,1		60	26,4		36,6
Cloreto	mg/L	≤ 250	NE	29,2		41,3	7,2		17,3
Clorofila a	µg/L	≤ 30	NE	2,76		5,49	0,55		5,82
Colif. termo	NMP/100mL	NE	NE	>1,6X10^4		>1,6X10^4	>1,6X10^4		5,4X10^3
Condutividade	µS/cm	NE	NE	311		374	98,9		197,5
DBO	mg/L	≤ 5	NE	14		<3	<3		<3
DQO	mg O2/L	NE	NE	31,6		45	<30,0		<30,0
N Total	mg/L	NE	NE	7,5		<1,0	<1,0		<1,0
Nitrogênio Nitrato	mg N-NO3/L	≤ 10	≤ 0,4	<0,02		<0,02	0,07		<0,02
N-NH3	mg N-NH3/L	*	≤ 0,4	6,6		<0,4	<0,4		<0,4
OD	mg/L	≥ 5,0	≥ 5,0	4,01		4,02	6,92		6,67
Ortofosfato solúvel	mg/L	NE	NE	<0,02		<0,02	<0,02		<0,02
P Total	mg/L	≤ 0,1	≤ 0,124	0,67		0,1	0,03		0,04
pH	s/ unid	6 a 9	6,5 a 8,5	7,01		6,48	7,46		6,66
Salinidade	‰	NE	NE	0,1		0,2	<0,1		<0,1
Sólidos em suspensão	mg/L	NE	NE	50		<50	<50		<50
Sólidos totais	mg/L	NE	NE	262		232	86		160
STD	mg/L	≤ 500	NE	209		217	80		123
Temperatura	°C	NE	NE	31,1		29,3	27,4		27
Temperatura do Ar	°C	NE	NE	30		30	31		30
Turbidez	NTU	≤ 100	NE	62,1		7,2	28,4		17,5
% Saturação de OD	%	NE	NE	46,1		49	75,3		76,1

Parâmetro	Unidade	Padrão Legal Doce	Padrão Legal Salobra	1ª	2ª	3ª	1ª	2ª	3ª
				PRD-PAL-700	PRD-PAL-700	PRD-PAL-700	PRD-PAN-600	PRD-PAN-600	PRD-PAN-600
Alcalinidade total	mg CaCO3/L	NE	NE	77,9		51,1	26,4		10,9
Cloreto	mg/L	≤ 250	NE	63,9		41,5	7,2		4,1
Clorofila a	µg/L	≤ 30	NE	1,19		5,17	2,45		4,58
Colif. termo	NMP/100mL	NE	NE	>1,6X10^4		>1,6X10^4	>1,6X10^4		1,6X10^4
Condutividade	µS/cm	NE	NE	443		370	98,9		54,6
DBO	mg/L	≤ 5	NE	10		<3	<3		<3
DQO	mg O2/L	NE	NE	<30,0		<30,0	<30,0		<30,0
N Total	mg/L	NE	NE	6		1,5	1,7		<1,0
Nitrogênio Nitrato	mg N-NO3/L	≤ 10	≤ 0,4	<0,02		<0,02	0,07		<0,02
N-NH3	mg N-NH3/L	*	≤ 0,4	5,3		<0,4	<0,4		<0,4
OD	mg/L	≥ 5,0	≥ 5,0	4,85		3,14	6,02		7,88
Ortofosfato solúvel	mg/L	NE	NE	<0,02		<0,02	<0,02		<0,02
P Total	mg/L	≤ 0,1	≤ 0,124	0,49		0,15	0,03		0,18
pH	s/ unid	6 a 9	6,5 a 8,5	6,79		7,31	7,76		7,22
Salinidade	‰	NE	NE	0,2		0,2	<0,1		<0,1
Sólidos em suspensão	mg/L	NE	NE	202		<50	<50		<50
Sólidos totais	mg/L	NE	NE	472		246	86		96
STD	mg/L	≤ 500	NE	276		215	80		<50
Temperatura	°C	NE	NE	29,1		26,1	29,2		25,5
Temperatura do Ar	°C	NE	NE	29		26	38		34
Turbidez	NTU	≤ 100	NE	122		12,7	28,4		9,4
% Saturação de OD	%	NE	NE	67		34,9	79,5		96,3

Parâmetro	Unidade	Padrão Legal Doce	Padrão Legal Salobra	1ª	2ª	3ª	1ª	2ª	3ª
				PRD-PRD-200	PRD-PRD-200	PRD-PRD-200	PRD-PRD-290	PRD-PRD-290	PRD-PRD-290
Alcalinidade total	mg CaCO3/L	NE	NE	87,8		24,1			38,1
Cloreto	mg/L	≤ 250	NE	34,3		6,7			29,8
Clorofila a	µg/L	≤ 30	NE	<0,40		13,6			6,92
Colif. termo	NMP/100mL	NE	NE	7,9X10^2		>1,6X10^4			7,9X10^2
Condutividade	µS/cm	NE	NE	335		113,2			288,6
DBO	mg/L	≤ 5	NE	<3		<3			<3
DQO	mg O2/L	NE	NE	<30,0		34,2			<30,0
N Total	mg/L	NE	NE	1,4		<1,0			<1,0
Nitrogênio Nitrato	mg N-NO3/L	≤ 10	≤ 0,4	0,55		<0,02			<0,02
N-NH3	mg N-NH3/L	*	≤ 0,4	0,5		<0,4			<0,4
OD	mg/L	≥ 5,0	≥ 5,0	4,64		7			5,14
Ortofosfato solúvel	mg/L	NE	NE	<0,02		<0,02			<0,02
P Total	mg/L	≤ 0,1	≤ 0,124	0,04		0,02			0,03
pH	s/ unid	6 a 9	6,5 a 8,5	6,65		7,68			6,78
Salinidade	‰	NE	NE	0,2		<0,1			0,1
Sólidos em suspensão	mg/L	NE	NE	<50		<50			<50
Sólidos totais	mg/L	NE	NE	184		116			214
STD	mg/L	≤ 500	NE	174		78			172
Temperatura	°C	NE	NE	25,5		24,4			27,7
Temperatura do Ar	°C	NE	NE	24		21			28
Turbidez	NTU	≤ 100	NE	17,6		7,7			21,4
% Saturação de OD	%	NE	NE	53		78,6			61,7

Parâmetro	Unidade	Padrão Legal Doce	Padrão Legal Salobra	1ª	2ª	3ª	1ª	2ª	3ª
				PRD-PRD-300	PRD-PRD-300	PRD-PRD-300	PRD-PRD-350	PRD-PRD-350	PRD-PRD-350
Alcalinidade total	mg CaCO3/L	NE	NE	22,1		30,5	37,3		
Cloreto	mg/L	≤ 250	NE	18,9		26,5	50,7		
Clorofila a	µg/L	≤ 30	NE	<0,40		5,89	0,51		
Colif. termo	NMP/100mL	NE	NE	1,6X10^4		1,1X10^4	1,3X10^3		
Condutividade	µS/cm	NE	NE	137,1		247,8	293,8		
DBO	mg/L	≤ 5	NE	<3		<3	<3		
DQO	mg O2/L	NE	NE	<30,0		42,3	<30,0		
N Total	mg/L	NE	NE	<1,0		1	<1,0		
Nitrogênio Nitrato	mg N-NO3/L	≤ 10	≤ 0,4	0,11		<0,02	0,07		
N-NH3	mg N-NH3/L	*	≤ 0,4	<0,4		<0,4	<0,4		
OD	mg/L	≥ 5,0	≥ 5,0	5,28		5,87	7,25		
Ortofosfato solúvel	mg/L	NE	NE	<0,02		<0,02	<0,02		
P Total	mg/L	≤ 0,1	≤ 0,124	0,04		0,03	0,05		
pH	s/ unid	6 a 9	6,5 a 8,5	7,38		7,29	7,04		
Salinidade	‰	NE	NE	<0,1		0,1	0,1		
Sólidos em suspensão	mg/L	NE	NE	<50		<50	<50		
Sólidos totais	mg/L	NE	NE	146		196	194		
STD	mg/L	≤ 500	NE	144		150	178		
Temperatura	°C	NE	NE	26,5		26,7	31,1		
Temperatura do Ar	°C	NE	NE	30		24	32		
Turbidez	NTU	≤ 100	NE	17,7		13,8	10,7		
% Saturação de OD	%	NE	NE	65,4		68,1	94,2		

Parâmetro	Unidade	Padrão Legal Doce	Padrão Legal Salobra	1ª	2ª	3ª	1ª	2ª	3ª
				PRD-PRD-400	PRD-PRD-400	PRD-PRD-400	PRD-PRD-430	PRD-PRD-430	PRD-PRD-430
Alcalinidade total	mg CaCO3/L	NE	NE	39,4		50,3	45,7		54,5
Cloreto	mg/L	≤ 250	NE	60,5		61,5	55		43,4
Clorofila a	µg/L	≤ 30	NE	<0,40		6,21	1,08		4,95
Colif. termo	NMP/100mL	NE	NE	>1,6X10^4		1,6X10^4	4,0X10		1,1X10^3
Condutividade	µS/cm	NE	NE	332		508	308		561
DBO	mg/L	≤ 5	NE	<3		<3	<3		<3
DQO	mg O2/L	NE	NE	<30,0		<30,0	<30,0		<30,0
N Total	mg/L	NE	NE	<1,0		1	<1,0		<1,0
Nitrogênio Nitrato	mg N-NO3/L	≤ 10	≤ 0,4	<0,02		<0,02	<0,02		<0,02
N-NH3	mg N-NH3/L	*	≤ 0,4	<0,4		<0,4	<0,4		<0,4
OD	mg/L	≥ 5,0	≥ 5,0	6,95		5,4	8,28		7,84
Ortofosfato solúvel	mg/L	NE	NE	<0,02		<0,02	<0,02		<0,02
P Total	mg/L	≤ 0,1	≤ 0,124	0,05		0,14	0,04		0,04
pH	s/ unid	6 a 9	6,5 a 8,5	7,23		6,85	8,03		7,98
Salinidade	‰	NE	NE	0,2		0,2	0,1		0,3
Sólidos em suspensão	mg/L	NE	NE	<50		<50	<50		<50
Sólidos totais	mg/L	NE	NE	216		332	158		412
STD	mg/L	≤ 500	NE	214		289	156		317
Temperatura	°C	NE	NE	29,2		28,8	30,2		28,2
Temperatura do Ar	°C	NE	NE	29		31	37		36
Turbidez	NTU	≤ 100	NE	2,9		13,7	1,7		29,1
% Saturação de OD	%	NE	NE	80,9		65	0		101

Parâmetro	Unidade	Padrão Legal Doce	Padrão Legal Salobra	1ª	2ª	3ª	1ª	2ª	3ª
				PRD-PRD-480	PRD-PRD-480	PRD-PRD-480	PRD-PRD-500	PRD-PRD-500	PRD-PRD-500
Alcalinidade total	mg CaCO3/L	NE	NE			52,9	44,6		47,7
Cloreto	mg/L	≤ 250	NE			51,9	70,7		55,3
Clorofila a	µg/L	≤ 30	NE			4,95	3,2		3,75
Colif. termo	NMP/100mL	NE	NE			2,3X10^2	3,3X10^2		3,3X10^2
Condutividade	µS/cm	NE	NE			542	369		466
DBO	mg/L	≤ 5	NE			<3	<3		4
DQO	mg O2/L	NE	NE			<30,0	<30,0		31,6
N Total	mg/L	NE	NE			1	<1,0		<1,0
Nitrogênio Nitrato	mg N-NO3/L	≤ 10	≤ 0,4			<0,02	<0,02		<0,02
N-NH3	mg N-NH3/L	*	≤ 0,4			0,6	<0,4		<0,4
OD	mg/L	≥ 5,0	≥ 5,0			7,39	7,18		7,41
Ortofosfato solúvel	mg/L	NE	NE			<0,02	<0,02		<0,02
P Total	mg/L	≤ 0,1	≤ 0,124			0,05	0,04		0,04
pH	s/ unid	6 a 9	6,5 a 8,5			7,74	7,13		7,69
Salinidade	‰	NE	NE			0,2	0,2		0,2
Sólidos em suspensão	mg/L	NE	NE			<50	<50		<50
Sólidos totais	mg/L	NE	NE			418	282		326
STD	mg/L	≤ 500	NE			307	200		266
Temperatura	°C	NE	NE			28,1	30		29,6
Temperatura do Ar	°C	NE	NE			36	36		34
Turbidez	NTU	≤ 100	NE			32,1	1,4		35,3
% Saturação de OD	%	NE	NE			94,4	95,8		97,9

Parâmetro	Unidade	Padrão Legal Doce	Padrão Legal Salobra	1ª	2ª	3ª	1ª	2ª	3ª
				PRD-PRD-600	PRD-PRD-600	PRD-PRD-600	PRD-PRD-800	PRD-PRD-800	PRD-PRD-800
Alcalinidade total	mg CaCO3/L	NE	NE	39,2		46,2	39,3		44,6
Cloreto	mg/L	≤ 250	NE	65,7		54,1	130		49,6
Clorofila a	µg/L	≤ 30	NE	3,21		0,71	1,03		6,02
Colif. termo	NMP/100mL	NE	NE	2,3X10^2		2,4X10^3	3,3X10^2		1,3X10^2
Condutividade	µS/cm	NE	NE	356		432	561		395
DBO	mg/L	≤ 5	NE	<3		5	<3		<3
DQO	mg O2/L	NE	NE	<30,0		31,6	<30,0		42,3
N Total	mg/L	NE	NE	<1,0		<1,0	<1,0		1
Nitrogênio Nitrato	mg N-NO3/L	≤ 10	≤ 0,4	<0,02		<0,02	<0,02		<0,02
N-NH3	mg N-NH3/L	*	≤ 0,4	<0,4		<0,4	<0,4		0,6
OD	mg/L	≥ 5,0	≥ 5,0	8,77		7,37	2,23		0,29
Ortofosfato solúvel	mg/L	NE	NE	<0,02		<0,02	<0,02		<0,02
P Total	mg/L	≤ 0,1	≤ 0,124	<0,02		0,07	0,03		0,25
pH	s/ unid	6 a 9	6,5 a 8,5	7,7		7,63	6,81		6,68
Salinidade	‰	NE	NE	0,2		0,2	0,3		0,2
Sólidos em suspensão	mg/L	NE	NE	<50		<50	<50		<50
Sólidos totais	mg/L	NE	NE	264		344	368		306
STD	mg/L	≤ 500	NE	166		248	354		272
Temperatura	°C	NE	NE	30,9		28,2	29,8		28,7
Temperatura do Ar	°C	NE	NE	38		35	31		30
Turbidez	NTU	≤ 100	NE	4,7		32,1	1,9		25,3
% Saturação de OD	%	NE	NE	118		94,6	30,9		3,1

Parâmetro	Unidade	Padrão Legal Doce	Padrão Legal Salobra	1ª	2ª	3ª
				PRD-VRG-100	PRD-VRG-100	PRD-VRG-100
Alcalinidade total	mg CaCO3/L	NE	NE	20,2		36,5
Cloreto	mg/L	≤ 250	NE	98,2		41,4
Clorofila a	µg/L	≤ 30	NE	1,24		1,74
Colif. termo	NMP/100mL	NE	NE	>1,6X10^4		1,7X10^2
Condutividade	µS/cm	NE	NE	639		415
DBO	mg/L	≤ 5	NE	5		8
DQO	mg O2/L	NE	NE	<30,0		<30,0
N Total	mg/L	NE	NE	20,6		5
Nitrogênio Nitrato	mg N-NO3/L	≤ 10	≤ 0,4	9,48		3,58
N-NH3	mg N-NH3/L	*	≤ 0,4	1,7		<0,4
OD	mg/L	≥ 5,0	≥ 5,0	5,78		5,28
Ortofosfato solúvel	mg/L	NE	NE	0,79		<0,02
P Total	mg/L	≤ 0,1	≤ 0,124	1,83		0,6
pH	s/ unid	6 a 9	6,5 a 8,5	6,95		6,81
Salinidade	‰	NE	NE	0,3		0,2
Sólidos em suspensão	mg/L	NE	NE	<50		<50
Sólidos totais	mg/L	NE	NE	378		266
STD	mg/L	≤ 500	NE	356		239
Temperatura	°C	NE	NE	27,5		26,1
Temperatura do Ar	°C	NE	NE	28		24
Turbidez	NTU	≤ 100	NE	19,9		10,4
% Saturação de OD	%	NE	NE	64,2		63,1

RPGA do Rio Paraguaçu (PRG)

Parâmetro	Unidade	Padrão Legal Doce	Padrão Legal Salobra	1ª	2ª	3ª	1ª	2ª	3ª
				PRG-APE-001	PRG-APE-001	PRG-APE-001	PRG-APE-002	PRG-APE-002	PRG-APE-002
Alcalinidade total	mg CaCO3/L	NE	NE	<2			16,1		
Cloreto	mg/L	≤ 250	NE	4,4			35,3		
Clorofila a	µg/L	≤ 30	NE	3,32			2,12		
Colif. termo	NMP/100mL	NE	NE	2,0X10			<1,8X10		
Condutividade	µS/cm	NE	NE	32,2			120,6		
DBO	mg/L	≤ 5	NE	<3			3		
DQO	mg O2/L	NE	NE	<30			42,3		
N Total	mg/L	NE	NE	<1			<1		
Nitrogênio Nitrato	mg N-NO3/L	≤ 10	≤ 0,4	<0,02			<0,02		
N-NH3	mg N-NH3/L	*	≤ 0,4	0,5			0,5		
OD	mg/L	≥ 5,0	≥ 5,0	3,25			7,39		
Ortofosfato solúvel	mg/L	NE	NE	<0,02			<0,02		
P Total	mg/L	≤ 0,1	≤ 0,124	0,02			0,02		
pH	s/ unid	6 a 9	6,5 a 8,5	7,24			6,93		
Salinidade	‰	NE	NE	<0,1			<0,1		
Sólidos em suspensão	mg/L	NE	NE	<50			<50		
Sólidos totais	mg/L	NE	NE	78			114		
STD	mg/L	≤ 500	NE	68			88		
Temperatura	°C	NE	NE	26,5			32,2		
Temperatura do Ar	°C	NE	NE	32			32		
Turbidez	NTU	≤ 100	NE	6,8			12,3		
% Saturação de OD	%	NE	NE	39,2			101		

Parâmetro	Unidade	Padrão Legal Doce	Padrão Legal Salobra	1ª	2ª	3ª	1ª	2ª	3ª
				PRG-APE-003	PRG-APE-003	PRG-APE-003	PRG-ARG-700	PRG-ARG-700	PRG-ARG-700
Alcalinidade total	mg CaCO3/L	NE	NE	3,7			218		222
Cloreto	mg/L	≤ 250	NE	7			53,2		29,8
Clorofila a	µg/L	≤ 30	NE	11,9			59,6		0,94
Colif. termo	NMP/100mL	NE	NE	2,0X10			2,4X10^3		>1,6X10^4
Condutividade	µS/cm	NE	NE	48,3			669		649
DBO	mg/L	≤ 5	NE	<3			6		<3
DQO	mg O2/L	NE	NE	<30			<30		<30
N Total	mg/L	NE	NE	1			1,8		<1
Nitrogênio Nitrato	mg N-NO3/L	≤ 10	≤ 0,4	0,55			1,5		0,6
N-NH3	mg N-NH3/L	*	≤ 0,4	0,5			<0,4		<0,4
OD	mg/L	≥ 5,0	≥ 5,0	5,38			9,8		11
Ortofosfato solúvel	mg/L	NE	NE	<0,02			<0,02		<0,02
P Total	mg/L	≤ 0,1	≤ 0,124	0,04			0,09		0,09
pH	s/ unid	6 a 9	6,5 a 8,5	7,36			7,17		6,1
Salinidade	‰	NE	NE	<0,1			0,3		0,3
Sólidos em suspensão	mg/L	NE	NE	<50			<50		76
Sólidos totais	mg/L	NE	NE	112			436		374
STD	mg/L	≤ 500	NE	60			376		296
Temperatura	°C	NE	NE	26,2			27,9		28,9
Temperatura do Ar	°C	NE	NE	30			27		29
Turbidez	NTU	≤ 100	NE	17,7			2,7		7,9
% Saturação de OD	%	NE	NE	69,7			117		142

Parâmetro	Unidade	Padrão Legal Doce	Padrão Legal Salobra	1ª	2ª	3ª	1ª	2ª	3ª
				PRG-BCV-001	PRG-BCV-001	PRG-BCV-001	PRG-BCV-002	PRG-BCV-002	PRG-BCV-002
Alcalinidade total	mg CaCO3/L	NE	NE		40,9	34,7		36,6	24,1
Cloreto	mg/L	≤ 250	NE		41,2	11,3		50,8	9,8
Clorofila a	µg/L	≤ 30	NE		21,9	23,8		9,12	2,93
Colif. termo	NMP/100mL	NE	NE		2,2X10^2	<1,8X10		1,7X10^2	3,3X10^2
Condutividade	µS/cm	NE	NE		278,3	251,8		237,1	171,1
DBO	mg/L	≤ 5	NE		<3	<3		<3	<3
DQO	mg O2/L	NE	NE		66,5	<30		<30	<30
N Total	mg/L	NE	NE		<1	<1		<1	1,3
Nitrogênio Nitrato	mg N-NO3/L	≤ 10	≤ 0,4		0,12	<0,02		<0,02	<0,02
N-NH3	mg N-NH3/L	*	≤ 0,4		0,5	<0,4		0,5	0,6
OD	mg/L	≥ 5,0	≥ 5,0		8,11	8,77		7,37	6,52
Ortofosfato solúvel	mg/L	NE	NE		<0,02	<0,02		<0,02	<0,02
P Total	mg/L	≤ 0,1	≤ 0,124		0,08	0,06		0,09	0,05
pH	s/ unid	6 a 9	6,5 a 8,5		7,43	8,92		7,01	7,26
Salinidade	‰	NE	NE		0,1	0,1		0,1	<0,1
Sólidos em suspensão	mg/L	NE	NE		<50	<50		<50	<50
Sólidos totais	mg/L	NE	NE		148	165		186	94
STD	mg/L	≤ 500	NE		142	152		146	<50
Temperatura	°C	NE	NE		27,7	30,7		28	29,4
Temperatura do Ar	°C	NE	NE		28	35		29	35
Turbidez	NTU	≤ 100	NE		6,7	9,9		10,6	4,5
% Saturação de OD	%	NE	NE		103	118		94,4	85,5

Parâmetro	Unidade	Padrão Legal Doce	Padrão Legal Salobra	1ª	2ª	3ª	1ª	2ª	3ª
				PRG-BCV-003	PRG-BCV-003	PRG-BCV-003	PRG-BCV-004	PRG-BCV-004	PRG-BCV-004
Alcalinidade total	mg CaCO3/L	NE	NE		35,6	8,9		38,3	32
Cloreto	mg/L	≤ 250	NE		39,7	4		46,5	15
Clorofila a	µg/L	≤ 30	NE		8,69	0,43		11,3	5,48
Colif. termo	NMP/100mL	NE	NE		5,4X10^3	6,8X10		4,9X10^2	2,2X10^2
Condutividade	µS/cm	NE	NE		242,2	88,7		268,5	232,2
DBO	mg/L	≤ 5	NE		<3	<3		<3	<3
DQO	mg O2/L	NE	NE		<30	50,4		<30	<30
N Total	mg/L	NE	NE		<1	1,2		<1	<1
Nitrogênio Nitrato	mg N-NO3/L	≤ 10	≤ 0,4		0,11	<0,02		0,13	<0,02
N-NH3	mg N-NH3/L	*	≤ 0,4		0,4	0,5		<0,4	<0,4
OD	mg/L	≥ 5,0	≥ 5,0		7,21	6,25		8,32	8,65
Ortofosfato solúvel	mg/L	NE	NE		<0,02	<0,02		<0,02	<0,02
P Total	mg/L	≤ 0,1	≤ 0,124		0,08	0,04		0,11	0,08
pH	s/ unid	6 a 9	6,5 a 8,5		7,13	6,77		7,39	8,69
Salinidade	‰	NE	NE		0,1	<0,1		0,1	0,1
Sólidos em suspensão	mg/L	NE	NE		<50	<50		<50	<50
Sólidos totais	mg/L	NE	NE		188	58		196	132
STD	mg/L	≤ 500	NE		162	<50		178	142
Temperatura	°C	NE	NE		27,5	29,5		27,5	29,5
Temperatura do Ar	°C	NE	NE		29	36		28	36
Turbidez	NTU	≤ 100	NE		13,9	6,2		9,4	2,5
% Saturação de OD	%	NE	NE		91,2	82		105	113

Parâmetro	Unidade	Padrão Legal Doce	Padrão Legal Salobra	1ª	2ª	3ª	1ª	2ª	3ª
				PRG-BFR-001	PRG-BFR-001	PRG-BFR-001	PRG-BFR-002	PRG-BFR-002	PRG-BFR-002
Alcalinidade total	mg CaCO3/L	NE	NE	25,1		334	24		33,7
Cloreto	mg/L	≤ 250	NE	133		79,5	72,3		11
Clorofila a	µg/L	≤ 30	NE	3,69		2,55	25,5		1,04
Colif. termo	NMP/100mL	NE	NE	2,4X10^3		1,3X10^3	2,2X10^2		7,0X10^2
Condutividade	µS/cm	NE	NE	567		432	350		92,4
DBO	mg/L	≤ 5	NE	<3		<3	<3		<3
DQO	mg O2/L	NE	NE	80		90,8	88,1		126
N Total	mg/L	NE	NE	1,8		2	1,8		2
Nitrogênio Nitrato	mg N-NO3/L	≤ 10	≤ 0,4	<0,02		<0,02	<0,02		<0,02
N-NH3	mg N-NH3/L	*	≤ 0,4	1,2		1,1	1,6		1,4
OD	mg/L	≥ 5,0	≥ 5,0	3,1		4,87	4,07		4,82
Ortofosfato solúvel	mg/L	NE	NE	<0,02		<0,02	<0,02		<0,02
P Total	mg/L	≤ 0,1	≤ 0,124	0,03		0,02	0,07		0,03
pH	s/ unid	6 a 9	6,5 a 8,5	6,96		6,01	6,67		6,02
Salinidade	‰	NE	NE	0,3		0,2	0,2		<0,1
Sólidos em suspensão	mg/L	NE	NE	<50		<50	<50		<50
Sólidos totais	mg/L	NE	NE	454		338	284		154
STD	mg/L	≤ 500	NE	442		274	278		84
Temperatura	°C	NE	NE	29,9		25,8	32		25,3
Temperatura do Ar	°C	NE	NE	30		25	33		25
Turbidez	NTU	≤ 100	NE	6,8		3,3	9,7		19,9
% Saturação de OD	%	NE	NE	40,7		59,4	51,8		57,7

Parâmetro	Unidade	Padrão Legal Doce	Padrão Legal Salobra	1ª	2ª	3ª	1ª	2ª	3ª
				PRG-BFR-003	PRG-BFR-003	PRG-BFR-003	PRG-BON-900	PRG-BON-900	PRG-BON-900
Alcalinidade total	mg CaCO3/L	NE	NE	28,6		166	<2		3,7
Cloreto	mg/L	≤ 250	NE	74,7		99,7	10,8		11,4
Clorofila a	µg/L	≤ 30	NE	31,2		26,8	1,74		<0,4
Colif. termo	NMP/100mL	NE	NE	6,8X10		1,4X10^3	3,3X10^2		>1,6X10^4
Condutividade	µS/cm	NE	NE	349		519	68,6		77,9
DBO	mg/L	≤ 5	NE	<3		5	<3		<3
DQO	mg O2/L	NE	NE	102		115	<30		93,5
N Total	mg/L	NE	NE	2,1		2	<1		<1
Nitrogênio Nitrato	mg N-NO3/L	≤ 10	≤ 0,4	<0,02		<0,02	<0,02		<0,02
N-NH3	mg N-NH3/L	*	≤ 0,4	1,7		1,2	<0,4		<0,4
OD	mg/L	≥ 5,0	≥ 5,0	4,56		4,56	6,58		6,66
Ortofosfato solúvel	mg/L	NE	NE	<0,02		<0,02	<0,02		<0,02
P Total	mg/L	≤ 0,1	≤ 0,124	0,06		0,08	<0,02		0,02
pH	s/ unid	6 a 9	6,5 a 8,5	6,48		5,64	8,62		7,75
Salinidade	‰	NE	NE	0,2		0,2	<0,1		<0,1
Sólidos em suspensão	mg/L	NE	NE	<50		<50	<50		<50
Sólidos totais	mg/L	NE	NE	258		388	126		118
STD	mg/L	≤ 500	NE	258		314	64		62
Temperatura	°C	NE	NE	32		27,1	26		23,7
Temperatura do Ar	°C	NE	NE	34		26	31		24
Turbidez	NTU	≤ 100	NE	8,6		17,8	49,8		45
% Saturação de OD	%	NE	NE	52,8		55,7	78,7		73,1

Parâmetro	Unidade	Padrão Legal Doce	Padrão Legal Salobra	1ª	2ª	3ª	1ª	2ª	3ª
				PRG-BSJ-001	PRG-BSJ-001	PRG-BSJ-001	PRG-BSJ-003	PRG-BSJ-003	PRG-BSJ-003
Alcalinidade total	mg CaCO3/L	NE	NE	72,8		640	51,1		782
Cloreto	mg/L	≤ 250	NE	1100		791	741		472
Clorofila a	µg/L	≤ 30	NE	46,2		43,2	241		24,3
Colif. termo	NMP/100mL	NE	NE	2,0X10		4,5X10	7,0X10^2		1,3X10^4
Condutividade	µS/cm	NE	NE	3900		4030	4540		2198
DBO	mg/L	≤ 5	NE	<3		5	7		<3
DQO	mg O2/L	NE	NE	134		115	169		65,2
N Total	mg/L	NE	NE	<1		<1	3,5		1
Nitrogênio Nitrato	mg N-NO3/L	≤ 10	≤ 0,4	0,07		<0,02	0,09		<0,02
N-NH3	mg N-NH3/L	*	≤ 0,4	<0,4		0,5	1,5		0,6
OD	mg/L	≥ 5,0	≥ 5,0	5,27		6,28	5,54		5,67
Ortofosfato solúvel	mg/L	NE	NE	<0,02		<0,02	<0,02		<0,02
P Total	mg/L	≤ 0,1	≤ 0,124	0,05		0,05	0,18		0,08
pH	s/ unid	6 a 9	6,5 a 8,5	6,58		5,67	6,89		5,37
Salinidade	‰	NE	NE	2		2	2,4		1,1
Sólidos em suspensão	mg/L	NE	NE	<50		<50	<50		<50
Sólidos totais	mg/L	NE	NE	2248		2413	2748		1490
STD	mg/L	≤ 500	NE	2236		2027	2664		1240
Temperatura	°C	NE	NE	28,2		28,4	30,7		27,1
Temperatura do Ar	°C	NE	NE	29		26	30		27
Turbidez	NTU	≤ 100	NE	12,3		16,4	52,4		22,9
% Saturação de OD	%	NE	NE	61,7		81	73,2		71,1

Parâmetro	Unidade	Padrão Legal Doce	Padrão Legal Salobra	1ª	2ª	3ª	1ª	2ª	3ª
				PRG-CMT-400	PRG-CMT-400	PRG-CMT-400	PRG-COC-180	PRG-COC-180	PRG-COC-180
Alcalinidade total	mg CaCO3/L	NE	NE	33,6	259	217			16,6
Cloreto	mg/L	≤ 250	NE	41,9	551	920			3,1
Clorofila a	µg/L	≤ 30	NE	35,8	15,6	40,1			<0,4
Colif. termo	NMP/100mL	NE	NE	3,5X10^3	7,0X10^2	7,8X10			4,9X10^2
Condutividade	µS/cm	NE	NE	238,7	2350	5705			69,8
DBO	mg/L	≤ 5	NE	<3	3	5			<3
DQO	mg O2/L	NE	NE	<30	53,1	<30			31,6
N Total	mg/L	NE	NE	<1	<1	<1			<1
Nitrogênio Nitrato	mg N-NO3/L	≤ 10	≤ 0,4	<0,02	0,05	<0,02			<0,02
N-NH3	mg N-NH3/L	*	≤ 0,4	<0,4	<0,4	<0,4			0,4
OD	mg/L	≥ 5,0	≥ 5,0	2,85	6,56	6,58			3,42
Ortofosfato solúvel	mg/L	NE	NE	<0,02	<0,02	<0,02			<0,02
P Total	mg/L	≤ 0,1	≤ 0,124	0,42	0,13	0,17			0,02
pH	s/ unid	6 a 9	6,5 a 8,5	6,43	8,18	7,31			6,75
Salinidade	‰	NE	NE	0,1	1,1	2,9			<0,1
Sólidos em suspensão	mg/L	NE	NE	<50	<50	<50			<50
Sólidos totais	mg/L	NE	NE	230	1347	2736			118
STD	mg/L	≤ 500	NE	212	1274	2568			106
Temperatura	°C	NE	NE	27,4	26,8	28,3			27,1
Temperatura do Ar	°C	NE	NE	29	28	27			28
Turbidez	NTU	≤ 100	NE	47,9	7,3	9,7			6,7
% Saturação de OD	%	NE	NE	35,6	82,5	82,8			43

Parâmetro	Unidade	Padrão Legal Doce	Padrão Legal Salobra	1ª	2ª	3ª	1ª	2ª	3ª
				PRG-COC-200	PRG-COC-200	PRG-COC-200	PRG-COC-400	PRG-COC-400	PRG-COC-400
Alcalinidade total	mg CaCO3/L	NE	NE	164		23,3	49,6		29,2
Cloreto	mg/L	≤ 250	NE	21,9		3,5	37,5		7
Clorofila a	µg/L	≤ 30	NE	4,62		<0,4	11,5		0,69
Colif. termo	NMP/100mL	NE	NE	1,0X10^3		5,4X10^3	3,5X10^3		3,5X10^3
Condutividade	µS/cm	NE	NE	544		83,3	276,8		109,9
DBO	mg/L	≤ 5	NE	<3		<3	8		<3
DQO	mg O2/L	NE	NE	49,1		<30	<30		42,3
N Total	mg/L	NE	NE	<1		3	<1		2
Nitrogênio Nitrato	mg N-NO3/L	≤ 10	≤ 0,4	<0,02		<0,02	0,2		<0,02
N-NH3	mg N-NH3/L	*	≤ 0,4	0,4		0,5	0,5		0,6
OD	mg/L	≥ 5,0	≥ 5,0	4,92		5,88	4,53		3,07
Ortofosfato solúvel	mg/L	NE	NE	<0,02		<0,02	<0,02		<0,02
P Total	mg/L	≤ 0,1	≤ 0,124	0,07		0,02	0,2		0,05
pH	s/ unid	6 a 9	6,5 a 8,5	8,17		6,86	7,61		6,55
Salinidade	‰	NE	NE	0,3		<0,1	0,1		<0,1
Sólidos em suspensão	mg/L	NE	NE	<50		<50	<50		<50
Sólidos totais	mg/L	NE	NE	446		126	578		148
STD	mg/L	≤ 500	NE	412		84	536		116
Temperatura	°C	NE	NE	24,5		27,6	27,5		28,3
Temperatura do Ar	°C	NE	NE	21		29	27		26
Turbidez	NTU	≤ 100	NE	19,9		7	4,4		16
% Saturação de OD	%	NE	NE	50,9		75,3	53,3		39,4

Parâmetro	Unidade	Padrão Legal Doce	Padrão Legal Salobra	1ª	2ª	3ª	1ª	2ª	3ª
				PRG-CVI-500	PRG-CVI-500	PRG-CVI-500	PRG-FRD-700	PRG-FRD-700	PRG-FRD-700
Alcalinidade total	mg CaCO3/L	NE	NE	66,5			38,3		<2
Cloreto	mg/L	≤ 250	NE	317			26		8,9
Clorofila a	µg/L	≤ 30	NE	50,4			48,4		1,03
Colif. termo	NMP/100mL	NE	NE	5,4X10^3			1,7X10^2		7,9X10^2
Condutividade	µS/cm	NE	NE	1279			196,7		118,2
DBO	mg/L	≤ 5	NE	<3			<3		4
DQO	mg O2/L	NE	NE	31,6			120		174
N Total	mg/L	NE	NE	<1			1,8		3
Nitrogênio Nitrato	mg N-NO3/L	≤ 10	≤ 0,4	<0,02			<0,02		<0,02
N-NH3	mg N-NH3/L	*	≤ 0,4	<0,4			1,6		1,8
OD	mg/L	≥ 5,0	≥ 5,0	4,9			2,22		6,78
Ortofosfato solúvel	mg/L	NE	NE	<0,02			<0,02		<0,02
P Total	mg/L	≤ 0,1	≤ 0,124	0,1			0,08		<0,02
pH	s/ unid	6 a 9	6,5 a 8,5	6,33			6,83		6,55
Salinidade	‰	NE	NE	0,7			<0,1		<0,1
Sólidos em suspensão	mg/L	NE	NE	<50			<50		<50
Sólidos totais	mg/L	NE	NE	786			224		215
STD	mg/L	≤ 500	NE	766			204		126
Temperatura	°C	NE	NE	30,6			25,8		22,3
Temperatura do Ar	°C	NE	NE	29			32		20
Turbidez	NTU	≤ 100	NE	16,5			14,9		18
% Saturação de OD	%	NE	NE	65			21,9		77,7

Parâmetro	Unidade	Padrão Legal Doce	Padrão Legal Salobra	1ª	2ª	3ª	1ª	2ª	3ª
				PRG-JCP-100	PRG-JCP-100	PRG-JCP-100	PRG-JCP-150	PRG-JCP-150	PRG-JCP-150
Alcalinidade total	mg CaCO3/L	NE	NE	<2		21,4	130		4
Cloreto	mg/L	≤ 250	NE	38,9		13,6	27,6		25,6
Clorofila a	µg/L	≤ 30	NE	21,2		0,98	<0,4		21,8
Colif. termo	NMP/100mL	NE	NE	2,3X10^2		3,3X10^2	1,5X10^2		4,5X10
Condutividade	µS/cm	NE	NE	205,2		82,5	187,4		210,5
DBO	mg/L	≤ 5	NE	<3		9	<3		<3
DQO	mg O2/L	NE	NE	160		142	118		120
N Total	mg/L	NE	NE	4,1		3	1,5		2,1
Nitrogênio Nitrato	mg N-NO3/L	≤ 10	≤ 0,4	0,1		<0,02	<0,02		<0,02
N-NH3	mg N-NH3/L	*	≤ 0,4	3,8		1,6	1,8		1,4
OD	mg/L	≥ 5,0	≥ 5,0	4,43		4,23	5,29		5,3
Ortofosfato solúvel	mg/L	NE	NE	<0,02		<0,02	<0,02		<0,02
P Total	mg/L	≤ 0,1	≤ 0,124	0,12		0,03	0,42		0,06
pH	s/ unid	6 a 9	6,5 a 8,5	6,72		6,73	6,69		5,98
Salinidade	‰	NE	NE	<0,1		<0,1	<0,1		<0,1
Sólidos em suspensão	mg/L	NE	NE	<50		<50	<50		<50
Sólidos totais	mg/L	NE	NE	258		160	189		250
STD	mg/L	≤ 500	NE	218		104	184		130
Temperatura	°C	NE	NE	28,5		23	26,7		24,7
Temperatura do Ar	°C	NE	NE	30		19	35		31
Turbidez	NTU	≤ 100	NE	5,3		15,3	6,5		7,7
% Saturação de OD	%	NE	NE	57,7		48,9	66,1		63,8

Parâmetro	Unidade	Padrão Legal Doce	Padrão Legal Salobra	1ª	2ª	3ª	1ª	2ª	3ª
				PRG-JCP-300	PRG-JCP-300	PRG-JCP-300	PRG-JCP-400	PRG-JCP-400	PRG-JCP-400
Alcalinidade total	mg CaCO3/L	NE	NE	33	292	86,8	32,5		56,1
Cloreto	mg/L	≤ 250	NE	89,8	549	319	53,3		183
Clorofila a	µg/L	≤ 30	NE	4,68	8,04	26,7	24,5		50,8
Colif. termo	NMP/100mL	NE	NE	3,5X10^3	4,5X10	3,5X10^3	3,5X10^3		>1,6X10^4
Condutividade	µS/cm	NE	NE	518	5140	1535	321		960
DBO	mg/L	≤ 5	NE	5	9	<3	4		<3
DQO	mg O2/L	NE	NE	<30	96,2	36,9	<30		129
N Total	mg/L	NE	NE	<1	<1	2	1,6		7
Nitrogênio Nitrato	mg N-NO3/L	≤ 10	≤ 0,4	0,92	0,15	<0,02	0,28		<0,02
N-NH3	mg N-NH3/L	*	≤ 0,4	<0,4	<0,4	0,7	<0,4		4,5
OD	mg/L	≥ 5,0	≥ 5,0	6,58	6,38	5,86	7,3		5,73
Ortofosfato solúvel	mg/L	NE	NE	<0,02	<0,02	<0,02	<0,02		<0,02
P Total	mg/L	≤ 0,1	≤ 0,124	0,3	0,1	0,58	0,72		0,36
pH	s/ unid	6 a 9	6,5 a 8,5	7,01	7,56	6,04	7,8		5,73
Salinidade	‰	NE	NE	0,2	2,6	0,7	0,2		0,4
Sólidos em suspensão	mg/L	NE	NE	440	<50	<50	780		<50
Sólidos totais	mg/L	NE	NE	743	3008	924	986		590
STD	mg/L	≤ 500	NE	306	2574	872	206		560
Temperatura	°C	NE	NE	27,7	25,5	29,7	27,9		29,4
Temperatura do Ar	°C	NE	NE	29	28	29	29		28
Turbidez	NTU	≤ 100	NE	616	2,4	5	1010		5,7
% Saturação de OD	%	NE	NE	79,9	95,4	64,4	89,2		67,7

Parâmetro	Unidade	Padrão Legal Doce	Padrão Legal Salobra	1ª	2ª	3ª	1ª	2ª	3ª
				PRG-JCP-580	PRG-JCP-580	PRG-JCP-580	PRG-JCP-600	PRG-JCP-600	PRG-JCP-600
Alcalinidade total	mg CaCO3/L	NE	NE	47,7	236	117		58,2	65,4
Cloreto	mg/L	≤ 250	NE	104	862	677		87,8	104
Clorofila a	µg/L	≤ 30	NE	9,4	30,8	78		60,9	67
Colif. termo	NMP/100mL	NE	NE	1,7X10^3	1,6X10^4	4,9X10^2		1,3X10^3	4,6X10^2
Condutividade	µS/cm	NE	NE	483	3570	4020		447	637
DBO	mg/L	≤ 5	NE	<3	4	7		6	6
DQO	mg O2/L	NE	NE	<30	85,4	36,9		45	<30
N Total	mg/L	NE	NE	1,9	1,4	2		<1	<1
Nitrogênio Nitrato	mg N-NO3/L	≤ 10	≤ 0,4	0,75	0,05	<0,02		0,12	<0,02
N-NH3	mg N-NH3/L	*	≤ 0,4	0,4	1,3	<0,4		<1	<0,4
OD	mg/L	≥ 5,0	≥ 5,0	6,15	7,57	10,8		8,47	14,8
Ortofosfato solúvel	mg/L	NE	NE	<0,02	<0,02	<0,02		<0,02	<0,02
P Total	mg/L	≤ 0,1	≤ 0,124	0,1	0,36	0,32		0,22	0,35
pH	s/ unid	6 a 9	6,5 a 8,5	7,02	8,21	8,97		8,3	9,22
Salinidade	‰	NE	NE	0,2	1,8	2		0,2	0,3
Sólidos em suspensão	mg/L	NE	NE	60	<50	88		<50	<50
Sólidos totais	mg/L	NE	NE	398	2054	2200		306	412
STD	mg/L	≤ 500	NE	324	1882	2060		259	368
Temperatura	°C	NE	NE	32,6	26,8	31,7		26,3	31,7
Temperatura do Ar	°C	NE	NE	31	27	39		27	38
Turbidez	NTU	≤ 100	NE	155	21	21,3		11,9	22
% Saturação de OD	%	NE	NE	85	95,4	149		105	202

Parâmetro	Unidade	Padrão Legal Doce	Padrão Legal Salobra	1ª	2ª	3ª	1ª	2ª	3ª
				PRG-MAI-200	PRG-MAI-200	PRG-MAI-200	PRG-MCZ-500	PRG-MCZ-500	PRG-MCZ-500
Alcalinidade total	mg CaCO3/L	NE	NE	117	126	136	<2		<2
Cloreto	mg/L	≤ 250	NE	180	165	147	1,9		1,3
Clorofila a	µg/L	≤ 30	NE	2,88	0,76	1,69	0,98		<0,4
Colif. termo	NMP/100mL	NE	NE	2,3X10^2	7,9X10^2	4,9X10^2	6,8X10		1,1X10^2
Condutividade	µS/cm	NE	NE	1036	956	980	25,5		21,3
DBO	mg/L	≤ 5	NE	<3	3	<3	<3		<3
DQO	mg O2/L	NE	NE	50,4	58,5	<30	<30		96,2
N Total	mg/L	NE	NE	2	2,5	<1	<1		<1
Nitrogênio Nitrato	mg N-NO3/L	≤ 10	≤ 0,4	0,19	1,59	0,39	<0,02		<0,02
N-NH3	mg N-NH3/L	*	≤ 0,4	1,2	<1	<0,4	<0,4		<0,4
OD	mg/L	≥ 5,0	≥ 5,0	4,46	5,52	4,03	7,31		7,77
Ortofosfato solúvel	mg/L	NE	NE	0,32	0,46	<0,02	<0,02		<0,02
P Total	mg/L	≤ 0,1	≤ 0,124	1,33	0,6	0,71	<0,02		<0,02
pH	s/ unid	6 a 9	6,5 a 8,5	7,24	7,82	7,44	7,83		7,2
Salinidade	‰	NE	NE	0,5	0,4	0,5	<0,1		<0,1
Sólidos em suspensão	mg/L	NE	NE	<50	<50	<50	<50		<50
Sólidos totais	mg/L	NE	NE	694	596	604	58		56
STD	mg/L	≤ 500	NE	674	576	590	<50		<50
Temperatura	°C	NE	NE	28,7	23,6	26,7	24,3		21,6
Temperatura do Ar	°C	NE	NE	28	25	35	25		25
Turbidez	NTU	≤ 100	NE	25,9	12,1	5,5	4,8		2,1
% Saturação de OD	%	NE	NE	57,8	65,9	50,4	83,3		88,6

Parâmetro	Unidade	Padrão Legal Doce	Padrão Legal Salobra	1ª	2ª	3ª	1ª	2ª	3ª
				PRG-PEX-300	PRG-PEX-300	PRG-PEX-300	PRG-PEX-400	PRG-PEX-400	PRG-PEX-400
Alcalinidade total	mg CaCO3/L	NE	NE	41,1		136	86,3		117
Cloreto	mg/L	≤ 250	NE	99		883	534		558
Clorofila a	µg/L	≤ 30	NE	14,9		60,9	64,6		19
Colif. termo	NMP/100mL	NE	NE	9,2X10^3		1,3X10^2	2,4X10^3		2,3X10^2
Condutividade	µS/cm	NE	NE	572		4930	2517		2730
DBO	mg/L	≤ 5	NE	<3		<3	<3		<3
DQO	mg O2/L	NE	NE	<30		131	50,4		71,9
N Total	mg/L	NE	NE	<1		2	2,2		<1
Nitrogênio Nitrato	mg N-NO3/L	≤ 10	≤ 0,4	0,5		<0,02	<0,02		<0,02
N-NH3	mg N-NH3/L	*	≤ 0,4	<0,4		0,8	0,8		<0,4
OD	mg/L	≥ 5,0	≥ 5,0	6,47		10,6	2,19		5,93
Ortofosfato solúvel	mg/L	NE	NE	<0,02		<0,02	<0,02		<0,02
P Total	mg/L	≤ 0,1	≤ 0,124	0,47		0,09	0,65		0,12
pH	s/ unid	6 a 9	6,5 a 8,5	7,77		5,58	6,32		6,2
Salinidade	‰	NE	NE	0,3		2,5	1,3		1,3
Sólidos em suspensão	mg/L	NE	NE	922		<50	3024		<50
Sólidos totais	mg/L	NE	NE	1220		2900	4496		1798
STD	mg/L	≤ 500	NE	320		2540	1440		1606
Temperatura	°C	NE	NE	29,2		28,9	29,7		25,8
Temperatura do Ar	°C	NE	NE	29		29	26		24
Turbidez	NTU	≤ 100	NE	945		12,3	3080		3,5
% Saturação de OD	%	NE	NE	78,6		139	28,8		74,6

Parâmetro	Unidade	Padrão Legal Doce	Padrão Legal Salobra	1ª	2ª	3ª	1ª	2ª	3ª
				PRG-PRG-300	PRG-PRG-300	PRG-PRG-300	PRG-PRG-330	PRG-PRG-330	PRG-PRG-330
Alcalinidade total	mg CaCO3/L	NE	NE	<2		<2	<2		<2
Cloreto	mg/L	≤ 250	NE	3,6		1,5	1		1,5
Clorofila a	µg/L	≤ 30	NE	1,36		5,08	1,03		5,09
Colif. termo	NMP/100mL	NE	NE	<1,8X10		<1,8X10	2,3X10^2		<1,8X10
Condutividade	µS/cm	NE	NE	54,5		49,6	35,6		36,5
DBO	mg/L	≤ 5	NE	<3		<3	<3		<3
DQO	mg O2/L	NE	NE	55,8		53,1	77,3		34,2
N Total	mg/L	NE	NE	<1		2	<1		2
Nitrogênio Nitrato	mg N-NO3/L	≤ 10	≤ 0,4	<0,02		<0,02	<0,02		<0,02
N-NH3	mg N-NH3/L	*	≤ 0,4	<0,4		1,2	<0,4		1,5
OD	mg/L	≥ 5,0	≥ 5,0	6,34		6,28	7,74		7,42
Ortofosfato solúvel	mg/L	NE	NE	<0,02		<0,02	<0,02		<0,02
P Total	mg/L	≤ 0,1	≤ 0,124	<0,02		<0,02	<0,02		<0,02
pH	s/ unid	6 a 9	6,5 a 8,5	6,06		4,2	6		4,0
Salinidade	‰	NE	NE	<0,1		<0,1	<0,1		<0,1
Sólidos em suspensão	mg/L	NE	NE	<50		<50	<50		<50
Sólidos totais	mg/L	NE	NE	52		86	<50		62
STD	mg/L	≤ 500	NE	<50		<50	<50		<50
Temperatura	°C	NE	NE	24,8		24,8	25,4		26
Temperatura do Ar	°C	NE	NE	28		26	29		27
Turbidez	NTU	≤ 100	NE	1,7		1,6	6,7		4,1
% Saturação de OD	%	NE	NE	78,9		76,7	95,8		91,3

Parâmetro	Unidade	Padrão Legal Doce	Padrão Legal Salobra	1ª	2ª	3ª	1ª	2ª	3ª
				PRG-PRG-360	PRG-PRG-360	PRG-PRG-360	PRG-PRG-375	PRG-PRG-375	PRG-PRG-375
Alcalinidade total	mg CaCO3/L	NE	NE	16,3		2	21,9	11,1	14,9
Cloreto	mg/L	≤ 250	NE	4,4		3,6	4,3	4,2	3,1
Clorofila a	µg/L	≤ 30	NE	1,79		6,78	1,41	<0,4	6,61
Colif. termo	NMP/100mL	NE	NE	5,4X10^3		1,3X10^3	1,3X10^2	7,8X10	4,9X10^2
Condutividade	µS/cm	NE	NE	68,3		24,9	79,8	46,7	53,7
DBO	mg/L	≤ 5	NE	<3		<3	<3	<3	<3
DQO	mg O2/L	NE	NE	<30		34,2	<30	<30	<30
N Total	mg/L	NE	NE	<1		<1	<1	<1	2
Nitrogênio Nitrato	mg N-NO3/L	≤ 10	≤ 0,4	0,29		<0,02	0,02	0,09	<0,02
N-NH3	mg N-NH3/L	*	≤ 0,4	<0,4		<0,4	<0,4	<1	0,7
OD	mg/L	≥ 5,0	≥ 5,0	5,9		5,18	6,39	7,75	3,64
Ortofosfato solúvel	mg/L	NE	NE	<0,02		<0,02	<0,02	<0,02	<0,02
P Total	mg/L	≤ 0,1	≤ 0,124	<0,02		0,12	<0,02	<0,02	0,07
pH	s/ unid	6 a 9	6,5 a 8,5	7,75		6	7,85	5,68	6,1
Salinidade	‰	NE	NE	<0,1		<0,1	<0,1	<0,1	<0,1
Sólidos em suspensão	mg/L	NE	NE	<50		<50	<50	<50	<50
Sólidos totais	mg/L	NE	NE	<50		56	56	60	92
STD	mg/L	≤ 500	NE	<50		<50	54	60	88
Temperatura	°C	NE	NE	30,6		26	30,8	26,6	28,6
Temperatura do Ar	°C	NE	NE	31		27	30	29	26
Turbidez	NTU	≤ 100	NE	9,8		6,8	5,5	3,4	5
% Saturação de OD	%	NE	NE	79,4		65	84,1	96,5	47,2

Parâmetro	Unidade	Padrão Legal Doce	Padrão Legal Salobra	1ª	2ª	3ª	1ª	2ª	3ª
				PRG-PRG-385	PRG-PRG-385	PRG-PRG-385	PRG-PRG-400	PRG-PRG-400	PRG-PRG-400
Alcalinidade total	mg CaCO3/L	NE	NE	27,1	12,4	21,6	20,9	13,6	5,7
Cloreto	mg/L	≤ 250	NE	4,7	5	7,1	17,8	5,3	2,3
Clorofila a	µg/L	≤ 30	NE	14,3	3,64	6,88	2,12	0,76	2,45
Colif. termo	NMP/100mL	NE	NE	5,4X10^3	1,3X10^3	5,4X10^3	7,9X10^2	1,6X10^4	7,0X10^2
Condutividade	µS/cm	NE	NE	99,6	53,7	85,9	114,5	57,4	36,3
DBO	mg/L	≤ 5	NE	5	<3	<3	<3	<3	<3
DQO	mg O2/L	NE	NE	<30	31,6	<30	<30	47,7	31,6
N Total	mg/L	NE	NE	<1	<1	2	<1	<1	<1
Nitrogênio Nitrato	mg N-NO3/L	≤ 10	≤ 0,4	<0,02	0,08	<0,02	<0,02	0,11	<0,02
N-NH3	mg N-NH3/L	*	≤ 0,4	<0,4	<1	0,6	<0,4	<1	0,5
OD	mg/L	≥ 5,0	≥ 5,0	5,67	7,57	3,53	5,71	7,54	4,82
Ortofosfato solúvel	mg/L	NE	NE	<0,02	<0,02	<0,02	<0,02	<0,02	<0,02
P Total	mg/L	≤ 0,1	≤ 0,124	<0,02	<0,02	0,03	0,05	<0,02	0,03
pH	s/ unid	6 a 9	6,5 a 8,5	7,56	5,76	6,3	7,69	5,9	8,89
Salinidade	‰	NE	NE	<0,1	<0,1	<0,1	<0,1	<0,1	<0,1
Sólidos em suspensão	mg/L	NE	NE	<50	<50	<50	<50	<50	<50
Sólidos totais	mg/L	NE	NE	74	134	86	198	98	120
STD	mg/L	≤ 500	NE	<50	52	76	172	54	56
Temperatura	°C	NE	NE	30,7	27,9	26,7	29,5	26,9	27,9
Temperatura do Ar	°C	NE	NE	29	30	26	31	29	27
Turbidez	NTU	≤ 100	NE	10,6	37,9	6,6	8	15,1	6,1
% Saturação de OD	%	NE	NE	75,2	96,4	46,6	76,3	94,4	60,7

Parâmetro	Unidade	Padrão Legal Doce	Padrão Legal Salobra	1ª	2ª	3ª	1ª	2ª	3ª
				PRG-PRG-520	PRG-PRG-520	PRG-PRG-520	PRG-PRG-600	PRG-PRG-600	PRG-PRG-600
Alcalinidade total	mg CaCO3/L	NE	NE		12,6	9,2	32,9	17,9	26,1
Cloreto	mg/L	≤ 250	NE		27,9	3,5	8,6	12,7	6,7
Clorofila a	µg/L	≤ 30	NE		2,55	0,65	1,79	1,79	6,12
Colif. termo	NMP/100mL	NE	NE		1,1X10^3	2,0X10	>1,6X10^4	>1,6X10^4	>1,6X10^4
Condutividade	µS/cm	NE	NE		117,5	51,4	126,2	97	91,4
DBO	mg/L	≤ 5	NE		<3	<3	<3	<3	<3
DQO	mg O2/L	NE	NE		71,9	<30	<30	<30	<30
N Total	mg/L	NE	NE		<1	<1	<1	<1	<1
Nitrogênio Nitrato	mg N-NO3/L	≤ 10	≤ 0,4		0,29	<0,02	0,02	0,14	<0,02
N-NH3	mg N-NH3/L	*	≤ 0,4		<1	0,6	<0,4	<1	0,5
OD	mg/L	≥ 5,0	≥ 5,0		8,24	5,65	5,48	7,36	5,95
Ortofosfato solúvel	mg/L	NE	NE		<0,02	<0,02	<0,02	<0,02	<0,02
P Total	mg/L	≤ 0,1	≤ 0,124		<0,02	0,03	<0,02	0,03	0,03
pH	s/ unid	6 a 9	6,5 a 8,5		3,93	8,24	6,4	4,79	7,09
Salinidade	‰	NE	NE		<0,1	<0,1	<0,1	<0,1	<0,1
Sólidos em suspensão	mg/L	NE	NE		<50	<50	<50	<50	<50
Sólidos totais	mg/L	NE	NE		104	122	90	110	146
STD	mg/L	≤ 500	NE		86	104	64	80	122
Temperatura	°C	NE	NE		27,8	29	29	26,4	27,9
Temperatura do Ar	°C	NE	NE		31,4	27	26	30,5	24
Turbidez	NTU	≤ 100	NE		7,1	8	7,8	21,5	7
% Saturação de OD	%	NE	NE		105	68,6	72,3	91,5	74,9

Parâmetro	Unidade	Padrão Legal Doce	Padrão Legal Salobra	1ª	2ª	3ª	1ª	2ª	3ª
				PRG-PRG-800	PRG-PRG-800	PRG-PRG-800	PRG-PRN-300	PRG-PRN-300	PRG-PRN-300
Alcalinidade total	mg CaCO3/L	NE	NE		39,5	33,7	244	214	233
Cloreto	mg/L	≤ 250	NE		46,5	29,4	140	121	103
Clorofila a	µg/L	≤ 30	NE		27,2	39,2	23,7	5,81	21,1
Colif. termo	NMP/100mL	NE	NE		>1,6X10^4	>1,6X10^4	>1,6X10^4	>1,6X10^4	>1,6X10^4
Condutividade	µS/cm	NE	NE		284,7	291,4	1041	945	1066
DBO	mg/L	≤ 5	NE		<3	<3	13	9	19
DQO	mg O2/L	NE	NE		<30	<30	77,3	53,1	62,5
N Total	mg/L	NE	NE		<1	<1	27,2	24,8	27,2
Nitrogênio Nitrato	mg N-NO3/L	≤ 10	≤ 0,4		0,3	<0,02	0,06	1,12	0,17
N-NH3	mg N-NH3/L	*	≤ 0,4		0,6	<0,4	0,5	22,3	3
OD	mg/L	≥ 5,0	≥ 5,0		7	5,69	3,16	5,62	5
Ortofosfato solúvel	mg/L	NE	NE		<0,02	<0,02	1,27	1,7	<0,02
P Total	mg/L	≤ 0,1	≤ 0,124		0,31	0,59	3,52	2,37	3,03
pH	s/ unid	6 a 9	6,5 a 8,5		7,09	7,44	7,52	8,57	7,95
Salinidade	‰	NE	NE		0,1	0,1	0,5	0,4	0,5
Sólidos em suspensão	mg/L	NE	NE		148	105	<50	<50	<50
Sólidos totais	mg/L	NE	NE		294	352	518	464	472
STD	mg/L	≤ 500	NE		150	173	498	460	452
Temperatura	°C	NE	NE		27,4	29,4	33,6	27	30,9
Temperatura do Ar	°C	NE	NE		29	34	31	27	36
Turbidez	NTU	≤ 100	NE		81,7	108	8,3	14,1	10,3
% Saturação de OD	%	NE	NE		88,1	74,5	44,5	71,4	67,5

Parâmetro	Unidade	Padrão Legal Doce	Padrão Legal Salobra	1ª	2ª	3ª	1ª	2ª	3ª
				PRG-PRT-600	PRG-PRT-600	PRG-PRT-600	PRG-PTG-400	PRG-PTG-400	PRG-PTG-400
Alcalinidade total	mg CaCO3/L	NE	NE	<2		<2	42,5	347	198
Cloreto	mg/L	≤ 250	NE	2,3		2	195	3020	2010
Clorofila a	µg/L	≤ 30	NE	1,08		<0,4	33,1	48	64,5
Colif. termo	NMP/100mL	NE	NE	3,3X10^2		>1,6X10^4	3,5X10^3	2,7X10^2	<1,8X10
Condutividade	µS/cm	NE	NE	26,6		26,6	1037	11435	11640
DBO	mg/L	≤ 5	NE	4		<3	4	6	<3
DQO	mg O2/L	NE	NE	<30		<30	<30	31,6	260
N Total	mg/L	NE	NE	<1		<1	<1	<1	<1
Nitrogênio Nitrato	mg N-NO3/L	≤ 10	≤ 0,4	<0,02		<0,02	0,28	0,1	<0,02
N-NH3	mg N-NH3/L	*	≤ 0,4	<0,4		0,4	<0,4	<0,4	0,5
OD	mg/L	≥ 5,0	≥ 5,0	6,56		6,8	6,71	11,5	9,64
Ortofosfato solúvel	mg/L	NE	NE	<0,02		<0,02	<0,02	<0,02	<0,02
P Total	mg/L	≤ 0,1	≤ 0,124	<0,02		<0,02	0,26	0,59	0,55
pH	s/ unid	6 a 9	6,5 a 8,5	7,38		7,04	7,39	8,8	5,87
Salinidade	‰	NE	NE	<0,1		<0,1	0,5	6,1	6,2
Sólidos em suspensão	mg/L	NE	NE	<50		<50	88	<50	<50
Sólidos totais	mg/L	NE	NE	54		88	616	7560	7180
STD	mg/L	≤ 500	NE	<50		54	526	6744	6184
Temperatura	°C	NE	NE	25,2		26,2	30,7	27,7	29,4
Temperatura do Ar	°C	NE	NE	27		28	32	29	29
Turbidez	NTU	≤ 100	NE	14,2		12	104	9,1	8,4
% Saturação de OD	%	NE	NE	79,2		81,1	85,5	150	121

Parâmetro	Unidade	Padrão Legal Doce	Padrão Legal Salobra	1ª	2ª	3ª	1ª	2ª	3ª
				PRG-SJO-300	PRG-SJO-300	PRG-SJO-300	PRG-STA-100	PRG-STA-100	PRG-STA-100
Alcalinidade total	mg CaCO3/L	NE	NE	<2		<2	14,4		37
Cloreto	mg/L	≤ 250	NE	1,5		0,9	5		7,8
Clorofila a	µg/L	≤ 30	NE	1,74		<0,4	3,86		<0,4
Colif. termo	NMP/100mL	NE	NE	6,8X10		3,5X10^3	>1,6X10^4		>1,6X10^4
Condutividade	µS/cm	NE	NE	24,1		22	60,4		124,4
DBO	mg/L	≤ 5	NE	3		<3	4		<3
DQO	mg O2/L	NE	NE	<30		39,6	<30		104
N Total	mg/L	NE	NE	<1		<1	<1		<1
Nitrogênio Nitrato	mg N-NO3/L	≤ 10	≤ 0,4	<0,02		<0,02	0,07		<0,02
N-NH3	mg N-NH3/L	*	≤ 0,4	<0,4		0,4	<0,4		0,4
OD	mg/L	≥ 5,0	≥ 5,0	7,24		7,19	7,18		7,23
Ortofosfato solúvel	mg/L	NE	NE	<0,02		<0,02	<0,02		<0,02
P Total	mg/L	≤ 0,1	≤ 0,124	0,03		<0,02	0,02		0,02
pH	s/ unid	6 a 9	6,5 a 8,5	8,02		6,95	8,15		7,06
Salinidade	‰	NE	NE	<0,1		<0,1	<0,1		<0,1
Sólidos em suspensão	mg/L	NE	NE	<50		<50	108		<50
Sólidos totais	mg/L	NE	NE	68		96	244		72
STD	mg/L	≤ 500	NE	<50		78	140		70
Temperatura	°C	NE	NE	25,7		26,6	25,9		24,8
Temperatura do Ar	°C	NE	NE	24		26	25		26
Turbidez	NTU	≤ 100	NE	13,3		4,2	135		28,5
% Saturação de OD	%	NE	NE	80,4		79,5	83,3		79,4

Parâmetro	Unidade	Padrão Legal Doce	Padrão Legal Salobra	1ª	2ª	3ª	1ª	2ª	3ª
				PRG-STA-300	PRG-STA-300	PRG-STA-300	PRG-STA-340	PRG-STA-340	PRG-STA-340
Alcalinidade total	mg CaCO3/L	NE	NE	39,6		25,7	4,5		17
Cloreto	mg/L	≤ 250	NE	20,3		4,4	2,6		3,9
Clorofila a	µg/L	≤ 30	NE	1,41		5,47	1,03		6,18
Colif. termo	NMP/100mL	NE	NE	6,4X10^2		6,8X10	3,3X10^2		7,9X10^2
Condutividade	µS/cm	NE	NE	133,6		83,7	38,3		62,1
DBO	mg/L	≤ 5	NE	<3		<3	<3		<3
DQO	mg O2/L	NE	NE	42,3		71,9	42,3		<30
N Total	mg/L	NE	NE	<1		1	<1		<1
Nitrogênio Nitrato	mg N-NO3/L	≤ 10	≤ 0,4	<0,02		<0,02	<0,02		<0,02
N-NH3	mg N-NH3/L	*	≤ 0,4	<0,4		1	<0,4		<0,4
OD	mg/L	≥ 5,0	≥ 5,0	1,62		1,16	4,85		3,58
Ortofosfato solúvel	mg/L	NE	NE	<0,02		<0,02	<0,02		<0,02
P Total	mg/L	≤ 0,1	≤ 0,124	0,22		0,23	<0,02		<0,02
pH	s/ unid	6 a 9	6,5 a 8,5	5,15		4,47	5,77		4,8
Salinidade	‰	NE	NE	<0,1		<0,1	<0,1		<0,1
Sólidos em suspensão	mg/L	NE	NE	<50		<50	<50		<50
Sólidos totais	mg/L	NE	NE	132		103	54		106
STD	mg/L	≤ 500	NE	128		<50	<50		<50
Temperatura	°C	NE	NE	29,2		27	27,6		27
Temperatura do Ar	°C	NE	NE	31		27	32		27
Turbidez	NTU	≤ 100	NE	8		5,5	8		4,3
% Saturação de OD	%	NE	NE	21,2		14,1	62,5		41,2

Parâmetro	Unidade	Padrão Legal Doce	Padrão Legal Salobra	1ª	2ª	3ª	1ª	2ª	3ª
				PRG-UNA-350	PRG-UNA-350	PRG-UNA-350	PRG-UNA-900	PRG-UNA-900	PRG-UNA-900
Alcalinidade total	mg CaCO3/L	NE	NE	<2		<2			<2
Cloreto	mg/L	≤ 250	NE	1,2		1			1,2
Clorofila a	µg/L	≤ 30	NE	1,79		7,71			4,76
Colif. termo	NMP/100mL	NE	NE	4,6X10^2		1,0X10^2			1,1X10^2
Condutividade	µS/cm	NE	NE	23,8		26,5			24,3
DBO	mg/L	≤ 5	NE	<3		<3			<3
DQO	mg O2/L	NE	NE	<30		45			47,7
N Total	mg/L	NE	NE	<1		1			1
Nitrogênio Nitrato	mg N-NO3/L	≤ 10	≤ 0,4	<0,02		<0,02			<0,02
N-NH3	mg N-NH3/L	*	≤ 0,4	<0,4		1			0,7
OD	mg/L	≥ 5,0	≥ 5,0	5,8		5,87			4,3
Ortofosfato solúvel	mg/L	NE	NE	<0,02		<0,02			<0,02
P Total	mg/L	≤ 0,1	≤ 0,124	<0,02		<0,02			<0,02
pH	s/ unid	6 a 9	6,5 a 8,5	7,29		5			4,62
Salinidade	‰	NE	NE	<0,1		<0,1			<0,1
Sólidos em suspensão	mg/L	NE	NE	<50		<50			<50
Sólidos totais	mg/L	NE	NE	72		82			80
STD	mg/L	≤ 500	NE	<50		78			<50
Temperatura	°C	NE	NE	26,6		24,9			26,5
Temperatura do Ar	°C	NE	NE	32		29			30
Turbidez	NTU	≤ 100	NE	19,2		6,1			6,1
% Saturação de OD	%	NE	NE	73,6		71,9			54

Parâmetro	Unidade	Padrão Legal Doce	Padrão Legal Salobra	1ª	2ª	3ª	1ª	2ª	3ª
				PRG-UTG-200	PRG-UTG-200	PRG-UTG-200	PRG-UTG-250	PRG-UTG-250	PRG-UTG-250
Alcalinidade total	mg CaCO3/L	NE	NE	220		185			152
Cloreto	mg/L	≤ 250	NE	47,2		46,4			46,5
Clorofila a	µg/L	≤ 30	NE	1,79		<0,4			<0,4
Colif. termo	NMP/100mL	NE	NE	3,5X10^3		5,4X10^3			3,3X10^2
Condutividade	µS/cm	NE	NE	589		587			537
DBO	mg/L	≤ 5	NE	<3		<3			<3
DQO	mg O2/L	NE	NE	<30		96,2			142
N Total	mg/L	NE	NE	<1		<1			<1
Nitrogênio Nitrato	mg N-NO3/L	≤ 10	≤ 0,4	<0,02		<0,02			<0,02
N-NH3	mg N-NH3/L	*	≤ 0,4	<0,4		<0,4			<0,4
OD	mg/L	≥ 5,0	≥ 5,0	5,85		6,42			4,55
Ortofosfato solúvel	mg/L	NE	NE	<0,02		<0,02			<0,02
P Total	mg/L	≤ 0,1	≤ 0,124	<0,02		0,02			0,02
pH	s/ unid	6 a 9	6,5 a 8,5	8,13		6,75			6,25
Salinidade	‰	NE	NE	0,3		0,3			0,2
Sólidos em suspensão	mg/L	NE	NE	<50		<50			<50
Sólidos totais	mg/L	NE	NE	412		334			300
STD	mg/L	≤ 500	NE	396		300			298
Temperatura	°C	NE	NE	26,8		24,1			24
Temperatura do Ar	°C	NE	NE	28		28			24,9
Turbidez	NTU	≤ 100	NE	10,1		14,3			16,6
% Saturação de OD	%	NE	NE	69,4		73,6			53,8

Parâmetro	Unidade	Padrão Legal Doce	Padrão Legal Salobra	1ª	2ª	3ª	1ª	2ª	3ª
				PRG-UTG-300	PRG-UTG-300	PRG-UTG-300	PRG-UTG-500	PRG-UTG-500	PRG-UTG-500
Alcalinidade total	mg CaCO3/L	NE	NE			132	82,3		75,4
Cloreto	mg/L	≤ 250	NE			47,5	37,1		32,1
Clorofila a	µg/L	≤ 30	NE			<0,4	1,36		<0,4
Colif. termo	NMP/100mL	NE	NE			7,9X10^2	9,2X10^3		>1,6X10^4
Condutividade	µS/cm	NE	NE			512	301		339
DBO	mg/L	≤ 5	NE			<3	6		<3
DQO	mg O2/L	NE	NE			102	<30		115
N Total	mg/L	NE	NE			<1	<1		<1
Nitrogênio Nitrato	mg N-NO3/L	≤ 10	≤ 0,4			<0,02	0,06		<0,02
N-NH3	mg N-NH3/L	*	≤ 0,4			<0,4	<0,4		<0,4
OD	mg/L	≥ 5,0	≥ 5,0			5,08	6,41		6,91
Ortofosfato solúvel	mg/L	NE	NE			<0,02	<0,02		<0,02
P Total	mg/L	≤ 0,1	≤ 0,124			0,02	0,04		<0,02
pH	s/ unid	6 a 9	6,5 a 8,5			6,44	7,97		7,47
Salinidade	‰	NE	NE			0,2	0,1		0,2
Sólidos em suspensão	mg/L	NE	NE			<50	<50		<50
Sólidos totais	mg/L	NE	NE			272	202		178
STD	mg/L	≤ 500	NE			268	190		160
Temperatura	°C	NE	NE			24,2	27,1		25
Temperatura do Ar	°C	NE	NE			24	25		27
Turbidez	NTU	≤ 100	NE			12	11,2		7,9
% Saturação de OD	%	NE	NE			57,6	77,5		84,8

RPGA do Recôncavo Norte e Inhambupe (RCN)

Parâmetro	Unidade	Padrão Legal Doce	Padrão Legal Salobra	1ª	2ª	3ª	1ª	2ª	3ª
				RCN-ABT-100	RCN-ABT-100	RCN-ABT-100	RCN-BIP-001	RCN-BIP-001	RCN-BIP-001
Alcalinidade total	mg CaCO3/L	NE	NE		30,4	32	54,1	39,4	42
Cloreto	mg/L	≤ 250	NE		53,7	27,9	34,7	25,9	22,4
Clorofila a	µg/L	≤ 30	NE		21,7	15,4	15,3	18,2	6,14
Colif. termo	NMP/100mL	NE	NE		1,7X10^3	>1,6X10^4	3,3X10^2	6,8X10	1,3X10^2
Condutividade	µS/cm	NE	NE		212	151,1	291,3	188,7	192,3
DBO	mg/L	≤ 5	NE		<3	5	4	<3	<3
DQO	mg O2/L	NE	NE		31,6	<30	<30	<30	<30
N Total	mg/L	NE	NE		<1	11,6	1	<1	<1
Nitrogênio Nitrato	mg N-NO3/L	≤ 10	≤ 0,4		<0,02	<0,02	<0,02	0,28	<0,02
N-NH3	mg N-NH3/L	*	≤ 0,4		0,5	10,9	<0,4	<0,4	<0,4
OD	mg/L	≥ 5,0	≥ 5,0		5,28	7,3	8,12	6,16	7,44
Ortofosfato solúvel	mg/L	NE	NE		<0,02	<0,02	0,02	<0,02	<0,02
P Total	mg/L	≤ 0,1	≤ 0,124		0,07	0,07	0,03	0,04	<0,02
pH	s/ unid	6 a 9	6,5 a 8,5		8,12	7,93	7,42	6,81	7,53
Salinidade	‰	NE	NE		<0,1	0,1	0,1	<0,1	<0,1
Sólidos em suspensão	mg/L	NE	NE		<50	<50	<50	<50	<50
Sólidos totais	mg/L	NE	NE		124	124	144	96	106
STD	mg/L	≤ 500	NE		113	99	144	74	97
Temperatura	°C	NE	NE		27,6	31	31,6	26,8	28
Temperatura do Ar	°C	NE	NE		28,6	33	30	24	29
Turbidez	NTU	≤ 100	NE		2,8	4,9	8,3	8,4	4,9
% Saturação de OD	%	NE	NE		53,9	96,7	111	76,2	95,1

Parâmetro	Unidade	Padrão Legal Doce	Padrão Legal Salobra	1ª	2ª	3ª	1ª	2ª	3ª
				RCN-BIP-002	RCN-BIP-002	RCN-BIP-002	RCN-BJN-001	RCN-BJN-001	RCN-BJN-001
Alcalinidade total	mg CaCO3/L	NE	NE	61,9	42,5	47,6	24	23,1	31,9
Cloreto	mg/L	≤ 250	NE	47,7	42,6	33,9	26	17,6	19,4
Clorofila a	µg/L	≤ 30	NE	5,1	5,43	11,6	32,4	12,4	8,31
Colif. termo	NMP/100mL	NE	NE	3,3X10^2	4,6X10^2	7,8X10	2,2X10^3	4,5X10	7,8X10
Condutividade	µS/cm	NE	NE	373	259,7	264,6	196,8	127,1	150,5
DBO	mg/L	≤ 5	NE	<3	<3	<3	3	<3	<3
DQO	mg O2/L	NE	NE	<30	<30	<30	<30	<30	<30
N Total	mg/L	NE	NE	<1	1	<1	<1	<1	<1
Nitrogênio Nitrato	mg N-NO3/L	≤ 10	≤ 0,4	<0,02	0,92	0,22	<0,02	0,17	<0,02
N-NH3	mg N-NH3/L	*	≤ 0,4	<0,4	<0,4	<0,4	<0,4	<0,4	<0,4
OD	mg/L	≥ 5,0	≥ 5,0	7,64	5,84	5,93	7,84	3,67	1,26
Ortofosfato solúvel	mg/L	NE	NE	<0,02	<0,02	<0,02	<0,02	<0,02	<0,02
P Total	mg/L	≤ 0,1	≤ 0,124	<0,02	<0,02	<0,02	0,06	0,04	0,03
pH	s/ unid	6 a 9	6,5 a 8,5	7,02	6,53	7,1	6,27	6,49	6,6
Salinidade	‰	NE	NE	0,2	0,1	0,1	<0,1	<0,1	<0,1
Sólidos em suspensão	mg/L	NE	NE	<50	<50	<50	<50	<50	<50
Sólidos totais	mg/L	NE	NE	196	128	148	116	72	86
STD	mg/L	≤ 500	NE	196	96	146	114	72	72
Temperatura	°C	NE	NE	30,3	26,7	27,4	30,3	28,2	27,8
Temperatura do Ar	°C	NE	NE	28	25	26	30	26	28
Turbidez	NTU	≤ 100	NE	2,6	3,4	2,8	5,6	5,8	2,4
% Saturação de OD	%	NE	NE	102	72,2	74,9	104	47,1	16,1

Parâmetro	Unidade	Padrão Legal Doce	Padrão Legal Salobra	1ª	2ª	3ª	1ª	2ª	3ª
				RCN-BJO-001	RCN-BJO-001	RCN-BJO-001	RCN-BJO-004	RCN-BJO-004	RCN-BJO-004
Alcalinidade total	mg CaCO3/L	NE	NE	12,1	13,8	169	11,3	17,6	157
Cloreto	mg/L	≤ 250	NE	23,3	17,1	13,2	19,7	15,8	12,5
Clorofila a	µg/L	≤ 30	NE	7,98	2,93	3,26	5,05	3,26	1,79
Colif. termo	NMP/100mL	NE	NE	3,5X10^3	3,3X10^2	2,3X10^2	4,5X10	4,5X10	3,4X10^2
Condutividade	µS/cm	NE	NE	149,3	116,6	114	136,6	109,3	108,7
DBO	mg/L	≤ 5	NE	<3	4	<3	3	<3	<3
DQO	mg O2/L	NE	NE	<30	<30	<30	<30	<30	<30
N Total	mg/L	NE	NE	<1	<1	1	<1	<1	<1
Nitrogênio Nitrato	mg N-NO3/L	≤ 10	≤ 0,4	<0,02	0,34	<0,02	<0,02	0,28	<0,02
N-NH3	mg N-NH3/L	*	≤ 0,4	<0,4	<0,4	<0,4	<0,4	<0,4	<0,4
OD	mg/L	≥ 5,0	≥ 5,0	7,12	6,42	7,46	7,19	6,38	7,44
Ortofosfato solúvel	mg/L	NE	NE	<0,02	<0,02	0,02	<0,02	<0,02	<0,02
P Total	mg/L	≤ 0,1	≤ 0,124	<0,02	0,02	<0,02	<0,02	0,03	<0,02
pH	s/ unid	6 a 9	6,5 a 8,5	6,13	7,01	7,23	6,12	6,86	7,3
Salinidade	‰	NE	NE	<0,1	0,1	<0,1	<0,1	<0,1	<0,1
Sólidos em suspensão	mg/L	NE	NE	<50	<50	<50	<50	<50	<50
Sólidos totais	mg/L	NE	NE	120	86	84	116	108	92
STD	mg/L	≤ 500	NE	118	72	58	100	83	56
Temperatura	°C	NE	NE	30,4	28,1	28,3	29,7	28	28,8
Temperatura do Ar	°C	NE	NE	32	29	33	30	28,5	32
Turbidez	NTU	≤ 100	NE	5,2	10,2	3,4	2,5	10,3	2,9
% Saturação de OD	%	NE	NE	94,9	83,7	95,4	94,6	82,6	96,3

Parâmetro	Unidade	Padrão Legal Doce	Padrão Legal Salobra	1ª	2ª	3ª	1ª	2ª	3ª
				RCN-BSH-001	RCN-BSH-001	RCN-BSH-001	RCN-BSH-003	RCN-BSH-003	RCN-BSH-003
Alcalinidade total	mg CaCO3/L	NE	NE		21,2	23,2		16,9	22,1
Cloreto	mg/L	≤ 250	NE		28,3	15,5		23,7	15
Clorofila a	µg/L	≤ 30	NE		0,5	1,84		0,79	5
Colif. termo	NMP/100mL	NE	NE		<1,8X10	<1,8X10		2,2X10^3	1,3X10^3
Condutividade	µS/cm	NE	NE		124	141		118,9	145,1
DBO	mg/L	≤ 5	NE		<3	<3		8	<3
DQO	mg O2/L	NE	NE		<30	45		<30	58,5
N Total	mg/L	NE	NE		<1	<1		<1	<1
Nitrogênio Nitrato	mg N-NO3/L	≤ 10	≤ 0,4		<0,02	<0,02		<0,02	<0,02
N-NH3	mg N-NH3/L	*	≤ 0,4		<0,4	<0,4		0,4	<0,4
OD	mg/L	≥ 5,0	≥ 5,0		7,51	7,99		5,29	4,44
Ortofosfato solúvel	mg/L	NE	NE		<0,02	<0,02		<0,02	<0,02
P Total	mg/L	≤ 0,1	≤ 0,124		<0,02	<0,02		0,03	0,02
pH	s/ unid	6 a 9	6,5 a 8,5		6,7	7,48		6,98	7,17
Salinidade	‰	NE	NE		<0,1	<0,1		<0,1	<0,1
Sólidos em suspensão	mg/L	NE	NE		<50	<50		<50	<50
Sólidos totais	mg/L	NE	NE		80	96		97	100
STD	mg/L	≤ 500	NE		74	93		90	95
Temperatura	°C	NE	NE		28,9	30,7		31,4	31
Temperatura do Ar	°C	NE	NE		27	33		32	31
Turbidez	NTU	≤ 100	NE		4,8	3		6	9,6
% Saturação de OD	%	NE	NE		97,6	106		92,7	58,5

Parâmetro	Unidade	Padrão Legal Doce	Padrão Legal Salobra	1ª	2ª	3ª	1ª	2ª	3ª
				RCN-BSH-050	RCN-BSH-050	RCN-BSH-050	RCN-CAM-135	RCN-CAM-135	RCN-CAM-135
Alcalinidade total	mg CaCO3/L	NE	NE		4,9	22,2	139	140	1020
Cloreto	mg/L	≤ 250	NE		12,5	13,5	33,4	41,6	19,1
Clorofila a	µg/L	≤ 30	NE		<0,4	14,3	12	12,8	3,64
Colif. termo	NMP/100mL	NE	NE		7,8X10	2,4X10^3	>1,6X10^4	>1,6X10^4	>1,6X10^4
Condutividade	µS/cm	NE	NE		64,3	134,9	452	496	336
DBO	mg/L	≤ 5	NE		4	<3	53	44	16
DQO	mg O2/L	NE	NE		<30	47,7	104	101	53,1
N Total	mg/L	NE	NE		<1	<1	24,8	26	8
Nitrogênio Nitrato	mg N-NO3/L	≤ 10	≤ 0,4		<0,02	<0,02	<0,02	0,05	<0,02
N-NH3	mg N-NH3/L	*	≤ 0,4		0,4	<0,4	18,8	18,9	3,5
OD	mg/L	≥ 5,0	≥ 5,0		3,86	2,38	0,31	1,69	2,92
Ortofosfato solúvel	mg/L	NE	NE		<0,02	<0,02	<0,02	<0,02	<0,02
P Total	mg/L	≤ 0,1	≤ 0,124		0,02	0,07	2,25	2,41	0,71
pH	s/ unid	6 a 9	6,5 a 8,5		7,01	7,51	6,34	7,24	7,25
Salinidade	‰	NE	NE		<0,1	<0,1	0,2	0,2	0,2
Sólidos em suspensão	mg/L	NE	NE		<50	<50	76	<50	<50
Sólidos totais	mg/L	NE	NE		<50	90	329	284	190
STD	mg/L	≤ 500	NE		<50	90	245	258	160
Temperatura	°C	NE	NE		31,1	30	31,9	28,5	26,7
Temperatura do Ar	°C	NE	NE		32	30	33	29	31
Turbidez	NTU	≤ 100	NE		3,9	6,1	125	53,5	46,3
% Saturação de OD	%	NE	NE		52,9	31,1	4,1	23,8	36,2

Parâmetro	Unidade	Padrão Legal Doce	Padrão Legal Salobra	1ª	2ª	3ª	1ª	2ª	3ª
				RCN-CAT-200	RCN-CAT-200	RCN-CAT-200	RCN-CAT-600	RCN-CAT-600	RCN-CAT-600
Alcalinidade total	mg CaCO3/L	NE	NE	163	125	167	144	64,4	358
Cloreto	mg/L	≤ 250	NE	47,3	50	40,6	49,4	44,3	38
Clorofila a	µg/L	≤ 30	NE	9,84	2,5	3,81	1,36	1,09	1,74
Colif. termo	NMP/100mL	NE	NE	>1,6X10^4	>1,6X10^4	>1,6X10^4	>1,6X10^4	>1,6X10^4	>1,6X10^4
Condutividade	µS/cm	NE	NE	682	479	517	582	344	387
DBO	mg/L	≤ 5	NE	14	7	3	7	4	3
DQO	mg O2/L	NE	NE	53,1	<30	<30	55,8	<30	<30
N Total	mg/L	NE	NE	14,4	8,5	3,7	5,9	5	3,1
Nitrogênio Nitrato	mg N-NO3/L	≤ 10	≤ 0,4	<0,02	0,74	0,74	0,56	0,36	0,09
N-NH3	mg N-NH3/L	*	≤ 0,4	14,2	7,3	<0,4	5,4	1,7	0,7
OD	mg/L	≥ 5,0	≥ 5,0	0,68	4,77	1,94	4,05	7,02	5,65
Ortofosfato solúvel	mg/L	NE	NE	0,82	1,13	0,5	0,38	0,18	<0,02
P Total	mg/L	≤ 0,1	≤ 0,124	2,1	1,35	0,73	1,42	0,52	0,81
pH	s/ unid	6 a 9	6,5 a 8,5	6,03	6,69	4,72	6,47	6,97	5,04
Salinidade	‰	NE	NE	0,3	0,2	0,2	0,3	0,2	0,2
Sólidos em suspensão	mg/L	NE	NE	<50	<50	<50	<50	<50	<50
Sólidos totais	mg/L	NE	NE	346	282	290	345	192	262
STD	mg/L	≤ 500	NE	322	262	251	306	166	260
Temperatura	°C	NE	NE	28,5	24,6	25,6	27,7	24,1	24,9
Temperatura do Ar	°C	NE	NE	33	26	29	30	27	28
Turbidez	NTU	≤ 100	NE	35,4	4,4	12,5	9,9	12,2	8,2
% Saturação de OD	%	NE	NE	8,7	57,3	23,5	51,3	83,5	68,3

Parâmetro	Unidade	Padrão Legal Doce	Padrão Legal Salobra	1ª	2ª	3ª	1ª	2ª	3ª
				RCN-CAT-800	RCN-CAT-800	RCN-CAT-800	RCN-CBP-100	RCN-CBP-100	RCN-CBP-100
Alcalinidade total	mg CaCO3/L	NE	NE	110	80	19,1		114	170
Cloreto	mg/L	≤ 250	NE	54,6	57,2	46,7		57	58,2
Clorofila a	µg/L	≤ 30	NE	0,71	1,42	1,69		3,26	3,66
Colif. termo	NMP/100mL	NE	NE	5,4X10^3	1,6X10^4	5,4X10^3		>1,6X10^4	>1,6X10^4
Condutividade	µS/cm	NE	NE	566	381	397		512	719
DBO	mg/L	≤ 5	NE	6	<3	4		18	53
DQO	mg O2/L	NE	NE	54,5	<30	<30		93,5	169
N Total	mg/L	NE	NE	3,8	1,7	3,9		3,4	5,1
Nitrogênio Nitrato	mg N-NO3/L	≤ 10	≤ 0,4	1,11	0,11	0,9		0,19	<0,02
N-NH3	mg N-NH3/L	*	≤ 0,4	1,8	1,5	0,8		<0,4	3,8
OD	mg/L	≥ 5,0	≥ 5,0	4,04	4,76	4,84		2,14	2,06
Ortofosfato solúvel	mg/L	NE	NE	0,29	<0,02	<0,02		0,15	0,04
P Total	mg/L	≤ 0,1	≤ 0,124	1,31	0,4	0,67		1,51	2,97
pH	s/ unid	6 a 9	6,5 a 8,5	6,48	7	4,98		7,64	7,55
Salinidade	‰	NE	NE	0,3	0,2	0,2		0,2	0,3
Sólidos em suspensão	mg/L	NE	NE	<50	<50	<50		<50	<50
Sólidos totais	mg/L	NE	NE	342	252	276		260	410
STD	mg/L	≤ 500	NE	326	230	234		248	401
Temperatura	°C	NE	NE	27,7	24,2	25,1		30,6	29
Temperatura do Ar	°C	NE	NE	33	26	29		31	32
Turbidez	NTU	≤ 100	NE	13,5	22,9	16,5		27,5	45,9
% Saturação de OD	%	NE	NE	52	58,4	58,6		28,7	26,8

Parâmetro	Unidade	Padrão Legal Doce	Padrão Legal Salobra	1ª	2ª	3ª	1ª	2ª	3ª
				RCN-CMJ-500	RCN-CMJ-500	RCN-CMJ-500	RCN-CMJ-850	RCN-CMJ-850	RCN-CMJ-850
Alcalinidade total	mg CaCO3/L	NE	NE		156	137		137	173
Cloreto	mg/L	≤ 250	NE		77	51,7		64,5	53,1
Clorofila a	µg/L	≤ 30	NE		2,72	1,77		1,46	<0,4
Colif. termo	NMP/100mL	NE	NE		>1,6X10^4	>1,6X10^4		>1,6X10^4	>1,6X10^4
Condutividade	µS/cm	NE	NE		745	623		662	695
DBO	mg/L	≤ 5	NE		81	64		45	63
DQO	mg O2/L	NE	NE		309	217		85,4	161
N Total	mg/L	NE	NE		37,3	23,2		19,7	19,9
Nitrogênio Nitrato	mg N-NO3/L	≤ 10	≤ 0,4		<0,02	<0,02		<0,02	<0,02
N-NH3	mg N-NH3/L	*	≤ 0,4		33,7	17,3		17,3	17,7
OD	mg/L	≥ 5,0	≥ 5,0		2,32	1,71		2,18	2,16
Ortofosfato solúvel	mg/L	NE	NE		1,69	0,29		0,82	0,27
P Total	mg/L	≤ 0,1	≤ 0,124		3,23	1,52		2,14	1,08
pH	s/ unid	6 a 9	6,5 a 8,5		7,54	7,16		7,46	7,11
Salinidade	‰	NE	NE		0,3	0,3		0,3	0,3
Sólidos em suspensão	mg/L	NE	NE		<50	<50		<50	<50
Sólidos totais	mg/L	NE	NE		358	394		342	458
STD	mg/L	≤ 500	NE		316	350		322	388
Temperatura	°C	NE	NE		28	28,1		28,9	28,6
Temperatura do Ar	°C	NE	NE		28	27		29	27
Turbidez	NTU	≤ 100	NE		52,3	40,2		29,5	30,9
% Saturação de OD	%	NE	NE		29,4	21,6		28,1	27,7

Parâmetro	Unidade	Padrão Legal Doce	Padrão Legal Salobra	1ª	2ª	3ª	1ª	2ª	3ª
				RCN-COB-950	RCN-COB-950	RCN-COB-950	RCN-CPV-900	RCN-CPV-900	RCN-CPV-900
Alcalinidade total	mg CaCO3/L	NE	NE		87,8	51,5	11,7	12,3	172
Cloreto	mg/L	≤ 250	NE		40,2	59,9	21,6	17,7	16,7
Clorofila a	µg/L	≤ 30	NE		12	20,8	7,6	3,26	8,83
Colif. termo	NMP/100mL	NE	NE		>1,6X10^4	>1,6X10^4	4,9X10^2	2,2X10^2	1,1X10^3
Condutividade	µS/cm	NE	NE		504	788	126,9	102,8	124,4
DBO	mg/L	≤ 5	NE		15	10	7	6	<3
DQO	mg O2/L	NE	NE		<30	50,4	<30	<30	<30
N Total	mg/L	NE	NE		<1	<1	<1	<1	<1
Nitrogênio Nitrato	mg N-NO3/L	≤ 10	≤ 0,4		0,16	<0,02	<0,02	<0,02	<0,02
N-NH3	mg N-NH3/L	*	≤ 0,4		<0,4	<0,4	0,5	<1	<0,4
OD	mg/L	≥ 5,0	≥ 5,0		3,31	1,92	3,26	4,25	4,36
Ortofosfato solúvel	mg/L	NE	NE		<0,02	<0,02	<0,02	<0,02	<0,02
P Total	mg/L	≤ 0,1	≤ 0,124		0,69	0,72	0,03	<0,02	0,02
pH	s/ unid	6 a 9	6,5 a 8,5		7,79	7,14	5,94	6,07	8,01
Salinidade	‰	NE	NE		0,2	0,4	<0,1	<0,1	<0,1
Sólidos em suspensão	mg/L	NE	NE		<50	<50	<50	<50	<50
Sólidos totais	mg/L	NE	NE		272	390	66	60	124
STD	mg/L	≤ 500	NE		259	438	64	60	94
Temperatura	°C	NE	NE		30,6	28,5	29,4	25,4	29,1
Temperatura do Ar	°C	NE	NE		31	29	33	31	31
Turbidez	NTU	≤ 100	NE		13,9	13,4	14,9	4,1	8,2
% Saturação de OD	%	NE	NE		44,6	29,4	42,8	51,8	56,8

Parâmetro	Unidade	Padrão Legal Doce	Padrão Legal Salobra	1ª	2ª	3ª	1ª	2ª	3ª
				RCN-CVP-800	RCN-CVP-800	RCN-CVP-800	RCN-IBT-500	RCN-IBT-500	RCN-IBT-500
Alcalinidade total	mg CaCO3/L	NE	NE	32	20,2	225		25,6	219
Cloreto	mg/L	≤ 250	NE	18,3	11,9	11,3		19,4	16,8
Clorofila a	µg/L	≤ 30	NE	3,54	2,12	9,75		3,26	3,21
Colif. termo	NMP/100mL	NE	NE	7,9X10^2	1,7X10^2	2,2X10^2		1,7X10^3	1,3X10^3
Condutividade	µS/cm	NE	NE	252,4	101,1	109,3		131,8	154
DBO	mg/L	≤ 5	NE	6	5	<3		18	<3
DQO	mg O2/L	NE	NE	<30	<30	<30		<30	<30
N Total	mg/L	NE	NE	1	<1	<1		<1	<1
Nitrogênio Nitrato	mg N-NO3/L	≤ 10	≤ 0,4	<0,02	<0,02	<0,02		0,4	<0,02
N-NH3	mg N-NH3/L	*	≤ 0,4	0,9	<1	<0,4		<0,4	<0,4
OD	mg/L	≥ 5,0	≥ 5,0	4,26	4,8	3,18		4,65	3
Ortofosfato solúvel	mg/L	NE	NE	<0,02	0,25	<0,02		<0,02	<0,02
P Total	mg/L	≤ 0,1	≤ 0,124	0,43	0,5	0,55		0,05	0,08
pH	s/ unid	6 a 9	6,5 a 8,5	6,28	6,35	7,7		6,47	6,58
Salinidade	‰	NE	NE	0,1	<0,1	<0,1		0,1	<0,1
Sólidos em suspensão	mg/L	NE	NE	<50	<50	<50		<50	<50
Sólidos totais	mg/L	NE	NE	168	56	118		104	102
STD	mg/L	≤ 500	NE	166	<50	72		93	98
Temperatura	°C	NE	NE	28,5	26,3	29		26,5	25
Temperatura do Ar	°C	NE	NE	39	34	32		27	33
Turbidez	NTU	≤ 100	NE	5,4	4,1	7,8		13,3	12,8
% Saturação de OD	%	NE	NE	54,7	60,4	41,5		56,8	36,5

Parâmetro	Unidade	Padrão Legal Doce	Padrão Legal Salobra	1ª	2ª	3ª	1ª	2ª	3ª
				RCN-IHB-400	RCN-IHB-400	RCN-IHB-400	RCN-IHB-600	RCN-IHB-600	RCN-IHB-600
Alcalinidade total	mg CaCO3/L	NE	NE	27,3	40,4	470	41,5	85,9	27,8
Cloreto	mg/L	≤ 250	NE	50,6	178	63,5	86,1	93,3	186
Clorofila a	µg/L	≤ 30	NE	3,91	4,39	2,17	2,55	0,8	5,05
Colif. termo	NMP/100mL	NE	NE	>1,6X10^4	>1,6X10^4	9,2X10^3	1,3X10^3	4,5X10	4,9X10^2
Condutividade	µS/cm	NE	NE	305	716	376	421	1111	1111
DBO	mg/L	≤ 5	NE	<3	<3	<3	<3	<3	<3
DQO	mg O2/L	NE	NE	58,5	<30	<30	<30	36,9	<30
N Total	mg/L	NE	NE	2,1	<1	3	1,9	<1	<1
Nitrogênio Nitrato	mg N-NO3/L	≤ 10	≤ 0,4	<0,02	0,28	0,02	<0,02	0,09	<0,02
N-NH3	mg N-NH3/L	*	≤ 0,4	1,9	<1	0,9	0,7	0,8	<0,4
OD	mg/L	≥ 5,0	≥ 5,0	1,69	6,78	2,95	5,52	9,19	7,14
Ortofosfato solúvel	mg/L	NE	NE	<0,02	<0,02	<0,02	<0,02	<0,02	<0,02
P Total	mg/L	≤ 0,1	≤ 0,124	0,26	0,08	0,15	0,16	0,05	0,15
pH	s/ unid	6 a 9	6,5 a 8,5	5,87	6,46	4,13	7,29	7,5	7,43
Salinidade	‰	NE	NE	0,1	0,3	0,2	0,2	0,5	0,5
Sólidos em suspensão	mg/L	NE	NE	<50	<50	<50	<50	<50	<50
Sólidos totais	mg/L	NE	NE	196	454	242	250	686	720
STD	mg/L	≤ 500	NE	180	408	206	248	664	670
Temperatura	°C	NE	NE	30	26,2	25,2	28,2	27,4	26,6
Temperatura do Ar	°C	NE	NE	32	28	27	34	32	31
Turbidez	NTU	≤ 100	NE	52,9	4,1	16,2	8,3	33,2	22,6
% Saturação de OD	%	NE	NE	22,5	83,9	36	70,8	117	89,3

Parâmetro	Unidade	Padrão Legal Doce	Padrão Legal Salobra	1ª	2ª	3ª	1ª	2ª	3ª
				RCN-IHB-790	RCN-IHB-790	RCN-IHB-790	RCN-IHB-800	RCN-IHB-800	RCN-IHB-800
Alcalinidade total	mg CaCO3/L	NE	NE		43,8	51,1	20,9	37,8	39
Cloreto	mg/L	≤ 250	NE		128	74,4	69,2	113	61,6
Clorofila a	µg/L	≤ 30	NE		<0,4	2,77	1,09	<0,4	2,12
Colif. termo	NMP/100mL	NE	NE		2,2X10^2	4,5X10	2,3X10^2	1,7X10^2	3,3X10^2
Condutividade	µS/cm	NE	NE		532	607	326	473	473
DBO	mg/L	≤ 5	NE		<3	<3	<3	<3	<3
DQO	mg O2/L	NE	NE		<30	63,9	<30	<30	<30
N Total	mg/L	NE	NE		<1	<1	<1	<1	<1
Nitrogênio Nitrato	mg N-NO3/L	≤ 10	≤ 0,4		0,14	<0,02	<0,02	0,14	<0,02
N-NH3	mg N-NH3/L	*	≤ 0,4		0,6	<0,4	<0,4	<0,4	<0,4
OD	mg/L	≥ 5,0	≥ 5,0		7,72	7,38	6,78	7,73	7,1
Ortofosfato solúvel	mg/L	NE	NE		<0,02	<0,02	<0,02	<0,02	<0,02
P Total	mg/L	≤ 0,1	≤ 0,124		<0,02	0,03	<0,02	<0,02	0,03
pH	s/ unid	6 a 9	6,5 a 8,5		6,5	7,48	6,87	6,12	7,26
Salinidade	‰	NE	NE		0,2	0,3	0,2	0,2	0,2
Sólidos em suspensão	mg/L	NE	NE		<50	<50	<50	<50	<50
Sólidos totais	mg/L	NE	NE		353	364	243	315	230
STD	mg/L	≤ 500	NE		320	208	208	292	228
Temperatura	°C	NE	NE		26,4	27,7	29,6	25,7	26,2
Temperatura do Ar	°C	NE	NE		30	35	34	29	30
Turbidez	NTU	≤ 100	NE		10,2	10,9	11,8	9,9	11
% Saturação de OD	%	NE	NE		95,9	94	89,3	94,9	88

Parâmetro	Unidade	Padrão Legal Doce	Padrão Legal Salobra	1ª	2ª	3ª	1ª	2ª	3ª
				RCN-IMB-900	RCN-IMB-900	RCN-IMB-900	RCN-IMB-950	RCN-IMB-950	RCN-IMB-950
Alcalinidade total	mg CaCO3/L	NE	NE	6,2	2,3	3,1	2,2	<2	3,5
Cloreto	mg/L	≤ 250	NE	11,3	14	7,8	172	17,8	11,3
Clorofila a	µg/L	≤ 30	NE	0,71	<0,4	0,6	2,17	<0,4	1,09
Colif. termo	NMP/100mL	NE	NE	1,7X10^2	2,5X10^2	2,4X10^3	9,2X10^3	7,0X10^2	7,0X10^2
Condutividade	µS/cm	NE	NE	57,2	67,2	66,3	703	83,5	96,7
DBO	mg/L	≤ 5	NE	<3	<3	<3	<3	<3	<3
DQO	mg O2/L	NE	NE	<30	<30	<30	<30	<30	<30
N Total	mg/L	NE	NE	<1	<1	<1	<1	<1	<1
Nitrogênio Nitrato	mg N-NO3/L	≤ 10	≤ 0,4	<0,02	0,06	<0,02	<0,02	<0,02	<0,02
N-NH3	mg N-NH3/L	*	≤ 0,4	<0,4	<0,4	<0,4	<0,4	<0,4	<0,4
OD	mg/L	≥ 5,0	≥ 5,0	7,46	5,85	8	6,5	5,87	6,4
Ortofosfato solúvel	mg/L	NE	NE	<0,02	<0,02	<0,02	<0,02	<0,02	<0,02
P Total	mg/L	≤ 0,1	≤ 0,124	<0,02	<0,02	<0,02	<0,02	<0,02	<0,02
pH	s/ unid	6 a 9	6,5 a 8,5	6,19	4,67	6,59	5,87	5,3	6,17
Salinidade	‰	NE	NE	<0,1	<0,1	<0,1	0,3	<0,1	<0,1
Sólidos em suspensão	mg/L	NE	NE	<50	<50	<50	<50	<50	<50
Sólidos totais	mg/L	NE	NE	74	64	<50	386	94	84
STD	mg/L	≤ 500	NE	<50	62	<50	386	88	64
Temperatura	°C	NE	NE	28,6	25,3	27,3	31,9	26,1	30,7
Temperatura do Ar	°C	NE	NE	32	27	32	36	24	31
Turbidez	NTU	≤ 100	NE	4,5	6	3,6	4,2	5,3	2,6
% Saturação de OD	%	NE	NE	96,5	96,6	101	89,1	71,9	85,7

Parâmetro	Unidade	Padrão Legal Doce	Padrão Legal Salobra	1ª	2ª	3ª	1ª	2ª	3ª
				RCN-IPT-150	RCN-IPT-150	RCN-IPT-150	RCN-IPT-500	RCN-IPT-500	RCN-IPT-500
Alcalinidade total	mg CaCO3/L	NE	NE		86,1		53	36,5	37,6
Cloreto	mg/L	≤ 250	NE		18		34,1	26,2	21,5
Clorofila a	µg/L	≤ 30	NE		4,35		14,6	31	12
Colif. termo	NMP/100mL	NE	NE		2,8X10^3		3,3X10^2	1,3X10^3	1,3X10^3
Condutividade	µS/cm	NE	NE		309		295	179,8	190,3
DBO	mg/L	≤ 5	NE		9		4	<3	<3
DQO	mg O2/L	NE	NE		34,2		<30	<30	<30
N Total	mg/L	NE	NE		5		<1	1	<1
Nitrogênio Nitrato	mg N-NO3/L	≤ 10	≤ 0,4		0,1		<0,02	0,09	<0,02
N-NH3	mg N-NH3/L	*	≤ 0,4		2,2		<0,4	<0,4	<0,4
OD	mg/L	≥ 5,0	≥ 5,0		5,6		6,19	6,67	7,39
Ortofosfato solúvel	mg/L	NE	NE		0,02		<0,02	<0,02	<0,02
P Total	mg/L	≤ 0,1	≤ 0,124		0,24		0,03	0,04	0,03
pH	s/ unid	6 a 9	6,5 a 8,5		7,03		6,56	7,11	7,5
Salinidade	‰	NE	NE		0,1		0,1	<0,1	<0,1
Sólidos em suspensão	mg/L	NE	NE		50		<50	<50	50
Sólidos totais	mg/L	NE	NE		150		166	140	118
STD	mg/L	≤ 500	NE		130		148	90	98
Temperatura	°C	NE	NE		25,2		31,8	26,1	27,3
Temperatura do Ar	°C	NE	NE		31		30	24	28
Turbidez	NTU	≤ 100	NE		10,2		5,6	7,7	6,3
% Saturação de OD	%	NE	NE		68		84,6	81,5	93,4

Parâmetro	Unidade	Padrão Legal Doce	Padrão Legal Salobra	1ª	2ª	3ª	1ª	2ª	3ª
				RCN-IPT-600	RCN-IPT-600	RCN-IPT-600	RCN-JCP-025	RCN-JCP-025	RCN-JCP-025
Alcalinidade total	mg CaCO3/L	NE	NE	131	81,6	67,6		47,7	
Cloreto	mg/L	≤ 250	NE	70,8	51	32,6		26,2	
Clorofila a	µg/L	≤ 30	NE	56,8	9,73	15,7		16,6	
Colif. termo	NMP/100mL	NE	NE	>1,6X10^4	>1,6X10^4	>1,6X10^4		3,3X10^2	
Condutividade	µS/cm	NE	NE	692	390	311		200,6	
DBO	mg/L	≤ 5	NE	22	5	6		<3	
DQO	mg O2/L	NE	NE	110	50,4	36,9		<30	
N Total	mg/L	NE	NE	18,6	9,2	5		<1	
Nitrogênio Nitrato	mg N-NO3/L	≤ 10	≤ 0,4	<0,02	0,19	<0,02		<0,02	
N-NH3	mg N-NH3/L	*	≤ 0,4	18,5	7	<0,4		0,7	
OD	mg/L	≥ 5,0	≥ 5,0	0,1	1,9	1,17		4,91	
Ortofosfato solúvel	mg/L	NE	NE	0,31	<0,02	<0,02		<0,02	
P Total	mg/L	≤ 0,1	≤ 0,124	1,94	0,58	0,33		0,03	
pH	s/ unid	6 a 9	6,5 a 8,5	6,25	6,25	6,92		8,29	
Salinidade	‰	NE	NE	0,3	0,2	0,1		<0,1	
Sólidos em suspensão	mg/L	NE	NE	62	<50	<50		<50	
Sólidos totais	mg/L	NE	NE	366	218	172		166	
STD	mg/L	≤ 500	NE	304	196	152		148	
Temperatura	°C	NE	NE	28,7	25,4	25,9		23,5	
Temperatura do Ar	°C	NE	NE	29	25	26		26	
Turbidez	NTU	≤ 100	NE	97,9	37,5	12,8		15,4	
% Saturação de OD	%	NE	NE	1	23,2	14,4		57,9	

Parâmetro	Unidade	Padrão Legal Doce	Padrão Legal Salobra	1ª	2ª	3ª	1ª	2ª	3ª
				RCN-JCP-060	RCN-JCP-060	RCN-JCP-060	RCN-JCP-090	RCN-JCP-090	RCN-JCP-090
Alcalinidade total	mg CaCO3/L	NE	NE	70,8	53,7	64,2		54,6	62,1
Cloreto	mg/L	≤ 250	NE	77,1	23,5	21,5		48,8	21,5
Clorofila a	µg/L	≤ 30	NE	12	4,95	2,88		<0,4	9,83
Colif. termo	NMP/100mL	NE	NE	3,5X10^3	>1,6X10^4	7,0X10^2		1,7X10^2	8,0X10^2
Condutividade	µS/cm	NE	NE	288,3	215,7	240,7		304	283,8
DBO	mg/L	≤ 5	NE	<3	<3	<3		5	<3
DQO	mg O2/L	NE	NE	50,4	<30	<30		<30	34,2
N Total	mg/L	NE	NE	<1	<1	<1		<1	1,3
Nitrogênio Nitrato	mg N-NO3/L	≤ 10	≤ 0,4	<0,02	0,13	<0,02		0,22	<0,02
N-NH3	mg N-NH3/L	*	≤ 0,4	<0,4	<1	0,4		0,5	0,4
OD	mg/L	≥ 5,0	≥ 5,0	0,94	4,1	4,32		5,54	3,41
Ortofosfato solúvel	mg/L	NE	NE	<0,02	<0,02	<0,02		<0,02	<0,02
P Total	mg/L	≤ 0,1	≤ 0,124	0,34	0,08	0,04		0,05	0,89
pH	s/ unid	6 a 9	6,5 a 8,5	6,31	6,86	8,33		6,4	7,54
Salinidade	‰	NE	NE	0,1	<0,1	0,1		0,1	0,1
Sólidos em suspensão	mg/L	NE	NE	<50	<50	<50		<50	<50
Sólidos totais	mg/L	NE	NE	262	188	186		180	212
STD	mg/L	≤ 500	NE	222	144	170		176	169
Temperatura	°C	NE	NE	25,2	24,5	26,6		26,9	29,5
Temperatura do Ar	°C	NE	NE	28,5	26	32		29	31
Turbidez	NTU	≤ 100	NE	88,7	35,8	39,4		17,3	29,4
% Saturação de OD	%	NE	NE	11,5	49,1	53,8		69,6	49,5

Parâmetro	Unidade	Padrão Legal Doce	Padrão Legal Salobra	1ª	2ª	3ª	1ª	2ª	3ª
				RCN-JCP-130	RCN-JCP-130	RCN-JCP-130	RCN-JCP-200	RCN-JCP-200	RCN-JCP-200
Alcalinidade total	mg CaCO3/L	NE	NE		48,1	87	22	33,4	337
Cloreto	mg/L	≤ 250	NE		51	41,2	22,5	36,9	27,2
Clorofila a	µg/L	≤ 30	NE		<0,4	2,84	1,74	<0,4	1,03
Colif. termo	NMP/100mL	NE	NE		3,5X10^3	4,9X10^2	1,7X10^2	1,1X10^3	4,9X10^2
Condutividade	µS/cm	NE	NE		301	459	156,8	226,6	222,5
DBO	mg/L	≤ 5	NE		<3	<3	3	10	<3
DQO	mg O2/L	NE	NE		34,2	<30	<30	31,6	36,9
N Total	mg/L	NE	NE		1,8	3,1	<1	<1	2,2
Nitrogênio Nitrato	mg N-NO3/L	≤ 10	≤ 0,4		0,9	<0,02	0,44	0,47	0,68
N-NH3	mg N-NH3/L	*	≤ 0,4		0,9	<0,4	<0,4	<0,4	<0,4
OD	mg/L	≥ 5,0	≥ 5,0		5,04	3,14	5,96	6,2	6,49
Ortofosfato solúvel	mg/L	NE	NE		<0,02	<0,02	<0,02	<0,02	<0,02
P Total	mg/L	≤ 0,1	≤ 0,124		0,04	0,45	0,08	0,08	<0,02
pH	s/ unid	6 a 9	6,5 a 8,5		6,32	6,75	6,13	6,83	6,88
Salinidade	‰	NE	NE		0,1	0,2	<0,1	0,1	0,1
Sólidos em suspensão	mg/L	NE	NE		<50	<50	50	<50	<50
Sólidos totais	mg/L	NE	NE		156	246	232	170	166
STD	mg/L	≤ 500	NE		154	263	150	168	142
Temperatura	°C	NE	NE		26,2	26	27,1	23,8	25,2
Temperatura do Ar	°C	NE	NE		29	28	28	26,5	31
Turbidez	NTU	≤ 100	NE		13	9,3	73,6	31,8	24,9
% Saturação de OD	%	NE	NE		62,7	34,5	75,1	74,2	78,9

Parâmetro	Unidade	Padrão Legal Doce	Padrão Legal Salobra	1ª	2ª	3ª	1ª	2ª	3ª
				RCN-JCP-250	RCN-JCP-250	RCN-JCP-250	RCN-JCP-500	RCN-JCP-500	RCN-JCP-500
Alcalinidade total	mg CaCO3/L	NE	NE	21,3	34,3	369	5,2	20,2	146
Cloreto	mg/L	≤ 250	NE	22,3	37,1	29,2	15,7	18,4	15,1
Clorofila a	µg/L	≤ 30	NE	2,39	1,79	1,09	6,84	2,55	10,4
Colif. termo	NMP/100mL	NE	NE	>1,6X10^4	3,0X10^3	9,2X10^3	3,3X10^2	6,8X10	1,3X10^2
Condutividade	µS/cm	NE	NE	160,3	228,6	226,8	94,1	119,7	124,4
DBO	mg/L	≤ 5	NE	<3	5	<3	5	5	<3
DQO	mg O2/L	NE	NE	<30	<30	71,9	<30	<30	<30
N Total	mg/L	NE	NE	<1	1	2,2	<1	1	<1
Nitrogênio Nitrato	mg N-NO3/L	≤ 10	≤ 0,4	0,31	0,59	0,71	<0,02	0,15	<0,02
N-NH3	mg N-NH3/L	*	≤ 0,4	<0,4	<0,4	<0,4	<0,4	<1	<0,4
OD	mg/L	≥ 5,0	≥ 5,0	5,1	6,41	6,35	5,74	7,36	4,85
Ortofosfato solúvel	mg/L	NE	NE	<0,02	<0,02	<0,02	<0,02	<0,02	<0,02
P Total	mg/L	≤ 0,1	≤ 0,124	0,41	0,08	0,25	<0,02	0,09	<0,02
pH	s/ unid	6 a 9	6,5 a 8,5	5,74	6,99	6,93	5,96	6,84	7,42
Salinidade	‰	NE	NE	<0,1	0,1	0,1	<0,1	<0,1	<0,1
Sólidos em suspensão	mg/L	NE	NE	<50	<50	<50	<50	<50	<50
Sólidos totais	mg/L	NE	NE	210	174	160	84	88	128
STD	mg/L	≤ 500	NE	210	174	150	60	64	124
Temperatura	°C	NE	NE	25,9	26,8	25,2	29,1	25,8	28,4
Temperatura do Ar	°C	NE	NE	27	26,6	32	39	35	30
Turbidez	NTU	≤ 100	NE	47,5	31,1	28,9	9,7	5,9	10,6
% Saturação de OD	%	NE	NE	76	69,1	77,2	74,7	90,6	62,4

Parâmetro	Unidade	Padrão Legal Doce	Padrão Legal Salobra	1ª	2ª	3ª	1ª	2ª	3ª
				RCN-JGB-100	RCN-JGB-100	RCN-JGB-100	RCN-JGB-600	RCN-JGB-600	RCN-JGB-600
Alcalinidade total	mg CaCO3/L	NE	NE		156	191		130	113
Cloreto	mg/L	≤ 250	NE		80,4	56,4		59,1	42,8
Clorofila a	µg/L	≤ 30	NE		1,03	2,71		27	29,2
Colif. termo	NMP/100mL	NE	NE		>1,6X10^4	>1,6X10^4		1,6X10^4	>1,6X10^4
Condutividade	µS/cm	NE	NE		726	736		518	587
DBO	mg/L	≤ 5	NE		39	59		9	6
DQO	mg O2/L	NE	NE		392	177		153	85,4
N Total	mg/L	NE	NE		4,8	26,4		2,6	1,9
Nitrogênio Nitrato	mg N-NO3/L	≤ 10	≤ 0,4		<0,02	<0,02		0,23	<0,02
N-NH3	mg N-NH3/L	*	≤ 0,4		2,1	24,6		<0,4	<0,4
OD	mg/L	≥ 5,0	≥ 5,0		1,4	1,7		2,38	2,09
Ortofosfato solúvel	mg/L	NE	NE		0,09	0,31		<0,02	<0,02
P Total	mg/L	≤ 0,1	≤ 0,124		1,82	1,53		0,64	0,87
pH	s/ unid	6 a 9	6,5 a 8,5		7,5	6,76		7,72	7,64
Salinidade	‰	NE	NE		0,3	0,3		0,2	0,3
Sólidos em suspensão	mg/L	NE	NE		<50	<50		<50	<50
Sólidos totais	mg/L	NE	NE		374	398		232	284
STD	mg/L	≤ 500	NE		342	410		216	331
Temperatura	°C	NE	NE		31,4	30,1		30,9	28,1
Temperatura do Ar	°C	NE	NE		32	32		31	32
Turbidez	NTU	≤ 100	NE		44,6	46,1		36	11,7
% Saturação de OD	%	NE	NE		19,1	22,2		32,1	26,9

Parâmetro	Unidade	Padrão Legal Doce	Padrão Legal Salobra	1ª	2ª	3ª	1ª	2ª	3ª
				RCN-JOA-050	RCN-JOA-050	RCN-JOA-050	RCN-JOA-200	RCN-JOA-200	RCN-JOA-200
Alcalinidade total	mg CaCO3/L	NE	NE		66,8	177	40,4	32,5	18,7
Cloreto	mg/L	≤ 250	NE		26,1	19,6	24,2	21,5	17,2
Clorofila a	µg/L	≤ 30	NE		0,52	2,78	6,14	1,03	5,51
Colif. termo	NMP/100mL	NE	NE		2,3X10^2	<1,8X10	2,4X10^3	2,2X10^2	1,7X10^2
Condutividade	µS/cm	NE	NE		230,2	532	187,1	158,3	162
DBO	mg/L	≤ 5	NE		<3	<3	<3	<3	<3
DQO	mg O2/L	NE	NE		<30	42,3	<30	<30	<30
N Total	mg/L	NE	NE		<1	<1	1,1	<1	<1
Nitrogênio Nitrato	mg N-NO3/L	≤ 10	≤ 0,4		0,38	<0,02	<0,02	0,14	<0,02
N-NH3	mg N-NH3/L	*	≤ 0,4		0,6	<0,4	0,5	0,4	<0,4
OD	mg/L	≥ 5,0	≥ 5,0		5,47	2,55	1,98	5,15	5,08
Ortofosfato solúvel	mg/L	NE	NE		<0,02	<0,02	<0,02	<0,02	<0,02
P Total	mg/L	≤ 0,1	≤ 0,124		<0,02	0,06	0,1	0,04	0,04
pH	s/ unid	6 a 9	6,5 a 8,5		6,41	6,34	6,35	8,07	6,66
Salinidade	‰	NE	NE		0,1	0,2	<0,1	<0,1	<0,1
Sólidos em suspensão	mg/L	NE	NE		<50	<50	<50	<50	<50
Sólidos totais	mg/L	NE	NE		120	316	134	114	152
STD	mg/L	≤ 500	NE		100	302	120	108	126
Temperatura	°C	NE	NE		25,3	25,4	26,4	25,2	24,9
Temperatura do Ar	°C	NE	NE		28	27	30	30	29
Turbidez	NTU	≤ 100	NE		10,1	3,6	14	20,8	11,6
% Saturação de OD	%	NE	NE		67,8	31,8	24,8	62,6	61,5

Parâmetro	Unidade	Padrão Legal Doce	Padrão Legal Salobra	1ª	2ª	3ª	1ª	2ª	3ª
				RCN-JOA-220	RCN-JOA-220	RCN-JOA-220	RCN-JOA-400	RCN-JOA-400	RCN-JOA-400
Alcalinidade total	mg CaCO3/L	NE	NE	32,4	25,4	13,3	15,4	14,6	172
Cloreto	mg/L	≤ 250	NE	21,7	19,1	15,8	19,9	15,4	13,5
Clorofila a	µg/L	≤ 30	NE	0,71	12,2	3,22	3,91	1,79	2,12
Colif. termo	NMP/100mL	NE	NE	6,8X10	1,3X10^3	1,7X10^3	1,4X10^3	2,3X10^2	3,3X10^2
Condutividade	µS/cm	NE	NE	154	132,8	136	136,2	107,3	122,8
DBO	mg/L	≤ 5	NE	<3	<3	<3	3	12	<3
DQO	mg O2/L	NE	NE	<30	<30	<30	<30	<30	<30
N Total	mg/L	NE	NE	<1	<1	<1	<1	<1	1
Nitrogênio Nitrato	mg N-NO3/L	≤ 10	≤ 0,4	<0,02	0,12	<0,02	0,05	0,34	<0,02
N-NH3	mg N-NH3/L	*	≤ 0,4	0,5	0,4	<0,4	<0,4	<0,4	<0,4
OD	mg/L	≥ 5,0	≥ 5,0	2	5,44	5,28	6,3	6,71	5,94
Ortofosfato solúvel	mg/L	NE	NE	<0,02	<0,02	<0,02	<0,02	<0,02	0,02
P Total	mg/L	≤ 0,1	≤ 0,124	0,07	0,03	0,07	0,02	0,03	<0,02
pH	s/ unid	6 a 9	6,5 a 8,5	6,15	8,45	6,55	6,08	6,7	6,87
Salinidade	‰	NE	NE	0,1	<0,1	<0,1	<0,1	<0,1	<0,1
Sólidos em suspensão	mg/L	NE	NE	<50	<50	<50	<50	<50	<50
Sólidos totais	mg/L	NE	NE	156	82	98	94	86	78
STD	mg/L	≤ 500	NE	130	70	96	82	84	66
Temperatura	°C	NE	NE	26	24,2	24,2	30	27,5	26
Temperatura do Ar	°C	NE	NE	31	27	29	32	29	32
Turbidez	NTU	≤ 100	NE	12,8	24,1	26,2	6,9	15,1	9,5
% Saturação de OD	%	NE	NE	24,8	64,9	63,2	83,5	83	73,3

Parâmetro	Unidade	Padrão Legal Doce	Padrão Legal Salobra	1ª	2ª	3ª	1ª	2ª	3ª
				RCN-JOA-600	RCN-JOA-600	RCN-JOA-600	RCN-JOA-900	RCN-JOA-900	RCN-JOA-900
Alcalinidade total	mg CaCO3/L	NE	NE	41,5	22,4	49,9	134	43,5	93,1
Cloreto	mg/L	≤ 250	NE	98,1	17,7	80,3	1210	59,1	1950
Clorofila a	µg/L	≤ 30	NE	34,8	16,8	74,2	36,4	15,3	12,1
Colif. termo	NMP/100mL	NE	NE	3,5X10^3	1,3X10^3	1,3X10^3	>1,6X10^4	>1,6X10^4	>1,6X10^4
Condutividade	µS/cm	NE	NE	576	122,2	463	5130	330	8260
DBO	mg/L	≤ 5	NE	<3	4	5	30	<3	10
DQO	mg O2/L	NE	NE	45	<30	<30	112	<30	153
N Total	mg/L	NE	NE	2,3	6,8	3	17,6	3,2	3
Nitrogênio Nitrato	mg N-NO3/L	≤ 10	≤ 0,4	0,07	0,2	0,04	<0,02	0,22	<0,02
N-NH3	mg N-NH3/L	*	≤ 0,4	1,8	<0,4	<0,4	17,4	1,9	0,8
OD	mg/L	≥ 5,0	≥ 5,0	4,46	6,01	4,67	0,1	3,72	1,06
Ortofosfato solúvel	mg/L	NE	NE	<0,02	<0,02	<0,02	0,49	<0,02	<0,02
P Total	mg/L	≤ 0,1	≤ 0,124	0,28	<0,1	0,43	1,74	0,21	0,64
pH	s/ unid	6 a 9	6,5 a 8,5	6,13	6,53	6,94	6,23	6,53	6,92
Salinidade	‰	NE	NE	0,3	0,1	0,2	2,7	0,1	4,3
Sólidos em suspensão	mg/L	NE	NE	<50	<50	<50	<50	<50	<50
Sólidos totais	mg/L	NE	NE	278	76	268	2588	182	4427
STD	mg/L	≤ 500	NE	262	56	218	2556	157	4180
Temperatura	°C	NE	NE	30	27,3	27	29,7	26,5	26,2
Temperatura do Ar	°C	NE	NE	30	27	28	30	27	27
Turbidez	NTU	≤ 100	NE	4,8	7,7	23,4	33,5	18	22,2
% Saturação de OD	%	NE	NE	59,2	75,1	58,8	1,1	45,8	13,4

Parâmetro	Unidade	Padrão Legal Doce	Padrão Legal Salobra	1ª	2ª	3ª	1ª	2ª	3ª
				RCN-JRG-800	RCN-JRG-800	RCN-JRG-800	RCN-LAM-500	RCN-LAM-500	RCN-LAM-500
Alcalinidade total	mg CaCO3/L	NE	NE		37,4	53,5	15,1	6,1	6
Cloreto	mg/L	≤ 250	NE		86,3	58,8	13,9	13	13,1
Clorofila a	µg/L	≤ 30	NE		1,51	51,8	<0,4	1,03	8,57
Colif. termo	NMP/100mL	NE	NE		7,9X10^2	1,1X10^3	1,3X10^2	7,9X10^2	2,0X10
Condutividade	µS/cm	NE	NE		589	436	126,7	84,1	141,6
DBO	mg/L	≤ 5	NE		23	3	<3	<3	<3
DQO	mg O2/L	NE	NE		39,6	74,6	<30	<30	<30
N Total	mg/L	NE	NE		9	1,6	<1	<1	<1
Nitrogênio Nitrato	mg N-NO3/L	≤ 10	≤ 0,4		<0,02	<0,02	<0,02	<0,02	<0,02
N-NH3	mg N-NH3/L	*	≤ 0,4		7,7	0,7	0,5	<0,4	<0,4
OD	mg/L	≥ 5,0	≥ 5,0		2,57	3,88	5,55	4,54	5,49
Ortofosfato solúvel	mg/L	NE	NE		<0,02	<0,02	<0,02	<0,02	<0,02
P Total	mg/L	≤ 0,1	≤ 0,124		<0,02	1,01	0,02	<0,02	<0,02
pH	s/ unid	6 a 9	6,5 a 8,5		6,29	6,96	6,14	8,44	6,35
Salinidade	‰	NE	NE		0,3	0,2	<0,1	<0,1	<0,1
Sólidos em suspensão	mg/L	NE	NE		<50	<50	56	<50	<50
Sólidos totais	mg/L	NE	NE		342	310	154	62	92
STD	mg/L	≤ 500	NE		296	250	106	<50	88
Temperatura	°C	NE	NE		25,3	26,9	28,7	25,2	26,5
Temperatura do Ar	°C	NE	NE		27	26	32	29	28
Turbidez	NTU	≤ 100	NE		45,2	14,8	72,2	11,9	24,1
% Saturação de OD	%	NE	NE		31,3	41,8	71,9	55,2	68,2

Parâmetro	Unidade	Padrão Legal Doce	Padrão Legal Salobra	1ª	2ª	3ª	1ª	2ª	3ª
				RCN-LCO-001	RCN-LCO-001	RCN-LCO-001	RCN-LDR-001	RCN-LDR-001	RCN-LDF-001
Alcalinidade total	mg CaCO3/L	NE	NE		42,7	30,3		136	70,4
Cloreto	mg/L	≤ 250	NE		49,8	31		60	25,2
Clorofila a	µg/L	≤ 30	NE		14,1	11,7		505	145
Colif. termo	NMP/100mL	NE	NE		5,4X10^3	1,6X10^4		>1,6X10^4	2,4X10^3
Condutividade	µS/cm	NE	NE		209,1	240,2		485	282,3
DBO	mg/L	≤ 5	NE		5	<3		22	22
DQO	mg O2/L	NE	NE		<30	55,8		<30	<30
N Total	mg/L	NE	NE		<1	1,4		10,1	5
Nitrogênio Nitrato	mg N-NO3/L	≤ 10	≤ 0,4		0,06	<0,02		0,11	<0,02
N-NH3	mg N-NH3/L	*	≤ 0,4		<0,4	0,8		8,9	4,1
OD	mg/L	≥ 5,0	≥ 5,0		7,5	5,81		6,18	5,34
Ortofosfato solúvel	mg/L	NE	NE		<0,02	<0,02		<0,02	<0,02
P Total	mg/L	≤ 0,1	≤ 0,124		0,03	0,02		0,58	0,34
pH	s/ unid	6 a 9	6,5 a 8,5		7,91	7,04		6,96	8,1
Salinidade	‰	NE	NE		<0,1	0,1		0,2	0,1
Sólidos em suspensão	mg/L	NE	NE		<50	<50		112	152
Sólidos totais	mg/L	NE	NE		88	160		358	314
STD	mg/L	≤ 500	NE		88	146		238	168
Temperatura	°C	NE	NE		29,3	30,4		29,5	29,3
Temperatura do Ar	°C	NE	NE		29	32		27	31
Turbidez	NTU	≤ 100	NE		14,3	4		104	160
% Saturação de OD	%	NE	NE		97,7	83,3		77,8	70,1

Parâmetro	Unidade	Padrão Legal Doce	Padrão Legal Salobra	1ª	2ª	3ª	1ª	2ª	3ª
				RCN-LDF-001	RCN-LDF-001	RCN-LDF-001	RCN-LFL-001	RCN-LFL-001	RCN-LFL-001
Alcalinidade total	mg CaCO3/L	NE	NE		68,5	114		27,2	20,3
Cloreto	mg/L	≤ 250	NE		21,7	220		32,9	23,8
Clorofila a	µg/L	≤ 30	NE		70	196		4,02	3,54
Colif. termo	NMP/100mL	NE	NE		7,9X10^2	1,6X10^4		2,0X10	9,2X10^3
Condutividade	µS/cm	NE	NE		268,2	490		186,1	202,9
DBO	mg/L	≤ 5	NE		4	19		<3	4
DQO	mg O2/L	NE	NE		<30	<30		<30	<30
N Total	mg/L	NE	NE		<1	1,8		<1	<1
Nitrogênio Nitrato	mg N-NO3/L	≤ 10	≤ 0,4		<0,02	<0,02		<0,02	<0,02
N-NH3	mg N-NH3/L	*	≤ 0,4		0,6	0,4		0,6	<0,4
OD	mg/L	≥ 5,0	≥ 5,0		5,68	10,5		5,63	5,8
Ortofosfato solúvel	mg/L	NE	NE		<0,02	<0,02		<0,02	<0,02
P Total	mg/L	≤ 0,1	≤ 0,124		0,11	0,32		0,02	0,02
pH	s/ unid	6 a 9	6,5 a 8,5		6,71	8		7,86	7,95
Salinidade	‰	NE	NE		0,1	0,2		<0,1	<0,1
Sólidos em suspensão	mg/L	NE	NE		<50	50		<50	<50
Sólidos totais	mg/L	NE	NE		164	334		116	146
STD	mg/L	≤ 500	NE		152	279		114	126
Temperatura	°C	NE	NE		29,1	29,7		26,8	29,4
Temperatura do Ar	°C	NE	NE		27	31		28	32
Turbidez	NTU	≤ 100	NE		28,7	39,1		3,5	3,3
% Saturação de OD	%	NE	NE		69,8	134		70,7	80,6

Parâmetro	Unidade	Padrão Legal Doce	Padrão Legal Salobra	1ª	2ª	3ª	1ª	2ª	3ª
				RCN-LPI-001	RCN-LPI-001	RCN-LPI-001	RCN-LPX-001	RCN-LPX-001	RCN-LPX-001
Alcalinidade total	mg CaCO3/L	NE	NE		86,5	83,2		61,8	61,5
Cloreto	mg/L	≤ 250	NE		48,2	28,7		39,8	21,6
Clorofila a	µg/L	≤ 30	NE		3,64	21,8		18,7	44,5
Colif. termo	NMP/100mL	NE	NE		9,4X10	2,3X10^2		2,3X10^2	1,7X10^3
Condutividade	µS/cm	NE	NE		379	387		304	319
DBO	mg/L	≤ 5	NE		<3	5		7	6
DQO	mg O2/L	NE	NE		<30	<30		<30	31,6
N Total	mg/L	NE	NE		<1	2,3		<1	<1
Nitrogênio Nitrato	mg N-NO3/L	≤ 10	≤ 0,4		0,19	<0,02		0,09	<0,02
N-NH3	mg N-NH3/L	*	≤ 0,4		<0,4	<0,4		<0,4	<0,4
OD	mg/L	≥ 5,0	≥ 5,0		3,29	6,51		9,2	6,74
Ortofosfato solúvel	mg/L	NE	NE		<0,02	<0,02		<0,02	<0,02
P Total	mg/L	≤ 0,1	≤ 0,124		0,04	0,11		0,07	0,06
pH	s/ unid	6 a 9	6,5 a 8,5		6,79	7,53		7,99	6,81
Salinidade	‰	NE	NE		0,2	0,2		0,1	0,1
Sólidos em suspensão	mg/L	NE	NE		<50	<50		<50	<50
Sólidos totais	mg/L	NE	NE		184	200		164	190
STD	mg/L	≤ 500	NE		172	224		146	188
Temperatura	°C	NE	NE		29	29,9		31,4	31,5
Temperatura do Ar	°C	NE	NE		28	33		31	33
Turbidez	NTU	≤ 100	NE		5,6	13,2		12,2	14,6
% Saturação de OD	%	NE	NE		43	84,9		125	89,9

Parâmetro	Unidade	Padrão Legal Doce	Padrão Legal Salobra	1ª	2ª	3ª	1ª	2ª	3ª
				RCN-LPX-002	RCN-LPX-002	RCN-LPX-002	RCN-LTO-001	RCN-LTO-001	RCN-LTO-001
Alcalinidade total	mg CaCO3/L	NE	NE		22,7	24,9		79,9	76,6
Cloreto	mg/L	≤ 250	NE		32,9	23,9		35,6	28,6
Clorofila a	µg/L	≤ 30	NE		6,84	3,79		36,5	56,4
Colif. termo	NMP/100mL	NE	NE		1,7X10^2	>1,6X10^4		>1,6X10^4	9,2X10^3
Condutividade	µS/cm	NE	NE		220,9	246,8		363	374
DBO	mg/L	≤ 5	NE		<3	<3		5	5
DQO	mg O2/L	NE	NE		<30	<30		<30	45
N Total	mg/L	NE	NE		2,1	<1		<1	2
Nitrogênio Nitrato	mg N-NO3/L	≤ 10	≤ 0,4		1,15	0,38		0,29	<0,02
N-NH3	mg N-NH3/L	*	≤ 0,4		0,4	<0,4		<0,4	<0,4
OD	mg/L	≥ 5,0	≥ 5,0		7,19	5,34		5,25	5,07
Ortofosfato solúvel	mg/L	NE	NE		0,02	<0,02		<0,02	<0,02
P Total	mg/L	≤ 0,1	≤ 0,124		<0,02	<0,02		0,11	0,1
pH	s/ unid	6 a 9	6,5 a 8,5		8,04	6,98		6,68	7,32
Salinidade	‰	NE	NE		0,1	0,1		0,2	0,2
Sólidos em suspensão	mg/L	NE	NE		<50	<50		<50	<50
Sólidos totais	mg/L	NE	NE		116	184		202	230
STD	mg/L	≤ 500	NE		94	150		193	217
Temperatura	°C	NE	NE		31	31,6		29,3	26,7
Temperatura do Ar	°C	NE	NE		31	33		27	26
Turbidez	NTU	≤ 100	NE		23,4	27		16	12,2
% Saturação de OD	%	NE	NE		94,7	75,9		71,4	49

Parâmetro	Unidade	Padrão Legal Doce	Padrão Legal Salobra	1ª	2ª	3ª	1ª	2ª	3ª
				RCN-LUC-100	RCN-LUC-100	RCN-LUC-100	RCN-LUC-400	RCN-LUC-400	RCN-LUC-400
Alcalinidade total	mg CaCO3/L	NE	NE		114	106		119	146
Cloreto	mg/L	≤ 250	NE		50,9	44		701	11000
Clorofila a	µg/L	≤ 30	NE		5,1	1,76		3,64	11,2
Colif. termo	NMP/100mL	NE	NE		>1,6X10^4	>1,6X10^4		>1,6X10^4	>1,6X10^4
Condutividade	µS/cm	NE	NE		503	517		8150	60300
DBO	mg/L	≤ 5	NE		6	11		11	23
DQO	mg O2/L	NE	NE		<30	80		145	217
N Total	mg/L	NE	NE		2,8	3,5		2,6	3,6
Nitrogênio Nitrato	mg N-NO3/L	≤ 10	≤ 0,4		1,26	<0,02		0,45	<0,02
N-NH3	mg N-NH3/L	*	≤ 0,4		<0,4	<0,4		0,4	1,3
OD	mg/L	≥ 5,0	≥ 5,0		3,43	2,49		2,25	2,06
Ortofosfato solúvel	mg/L	NE	NE		0,05	<0,02		<0,02	<0,02
P Total	mg/L	≤ 0,1	≤ 0,124		0,68	0,98		0,34	0,27
pH	s/ unid	6 a 9	6,5 a 8,5		7,44	7,18		7,22	6,37
Salinidade	‰	NE	NE		0,2	0,2		4,2	37,8
Sólidos em suspensão	mg/L	NE	NE		<50	<50		<50	<50
Sólidos totais	mg/L	NE	NE		250	276		4320	36400
STD	mg/L	≤ 500	NE		250	294		4113	32152
Temperatura	°C	NE	NE		28,8	26,8		30	27
Temperatura do Ar	°C	NE	NE		30	27		30	27
Turbidez	NTU	≤ 100	NE		7,1	9,1		7,6	14,5
% Saturação de OD	%	NE	NE		39,4	29,9		29,5	27

Parâmetro	Unidade	Padrão Legal Doce	Padrão Legal Salobra	1ª	2ª	3ª	1ª	2ª	3ª
				RCN-MAN-100	RCN-MAN-100	RCN-MAN-100	RCN-MAS-500	RCN-MAS-500	RCN-MAS-500
Alcalinidade total	mg CaCO3/L	NE	NE		148	179	3,5	<2	5,2
Cloreto	mg/L	≤ 250	NE		61,9	45,3	22	18,3	13,4
Clorofila a	µg/L	≤ 30	NE		31,6	6,63	1,03	<0,4	4,29
Colif. termo	NMP/100mL	NE	NE		>1,6X10^4	>1,6X10^4	7,0X10^2	7,8X10	4,6X10^2
Condutividade	µS/cm	NE	NE		586	699	99,3	84,5	100,1
DBO	mg/L	≤ 5	NE		9	34	<3	<3	<3
DQO	mg O2/L	NE	NE		<30	131	<30	<30	<30
N Total	mg/L	NE	NE		15,2	23	<1	<1	<1
Nitrogênio Nitrato	mg N-NO3/L	≤ 10	≤ 0,4		<0,02	<0,02	<0,02	<0,02	<0,02
N-NH3	mg N-NH3/L	*	≤ 0,4		12,8	20,2	<0,4	<0,4	<0,4
OD	mg/L	≥ 5,0	≥ 5,0		2,59	1,55	1,3	7,98	3,22
Ortofosfato solúvel	mg/L	NE	NE		0,33	<0,02	<0,02	<0,02	<0,02
P Total	mg/L	≤ 0,1	≤ 0,124		0,33	1,58	<0,02	<0,02	<0,02
pH	s/ unid	6 a 9	6,5 a 8,5		7,37	6,84	5,62	5,15	5,87
Salinidade	‰	NE	NE		0,3	0,3	<0,1	<0,1	<0,1
Sólidos em suspensão	mg/L	NE	NE		<50	53,6	<50	<50	<50
Sólidos totais	mg/L	NE	NE		280	356	104	88	52
STD	mg/L	≤ 500	NE		274	288,8	92	82	<50
Temperatura	°C	NE	NE		29,8	30,4	27,8	25	26,1
Temperatura do Ar	°C	NE	NE		31	32	31	26	29
Turbidez	NTU	≤ 100	NE		20,7	51,6	6,2	5,3	2,8
% Saturação de OD	%	NE	NE		34,4	20,6	16,6	95,7	40,1

Parâmetro	Unidade	Padrão Legal Doce	Padrão Legal Salobra	1ª	2ª	3ª	1ª	2ª	3ª
				RCN-MRQ-100	RCN-MRQ-100	RCN-MRQ-100	RCN-PAR-700	RCN-PAR-700	RCN-PAR-700
Alcalinidade total	mg CaCO3/L	NE	NE	89,6	63,5	675		27,3	161
Cloreto	mg/L	≤ 250	NE	59,6	54,4	32,2		57,5	47,2
Clorofila a	µg/L	≤ 30	NE	9,3	4,68	5,43		<0,4	2,71
Colif. termo	NMP/100mL	NE	NE	>1,6X10^4	1,6X10^4	1,6X10^4		>1,6X10^4	>1,6X10^4
Condutividade	µS/cm	NE	NE	470	287,5	306		308	644
DBO	mg/L	≤ 5	NE	10	<3	<3		<3	10
DQO	mg O2/L	NE	NE	<30	<30	<30		<30	69,2
N Total	mg/L	NE	NE	10,5	4,9	2		6,3	11,1
Nitrogênio Nitrato	mg N-NO3/L	≤ 10	≤ 0,4	<0,02	0,36	<0,02		2,75	0,13
N-NH3	mg N-NH3/L	*	≤ 0,4	8,5	3,5	<0,4		<0,4	8,7
OD	mg/L	≥ 5,0	≥ 5,0	0,77	2,6	2,06		4,37	4,07
Ortofosfato solúvel	mg/L	NE	NE	<0,02	<0,02	<0,02		<0,02	0,14
P Total	mg/L	≤ 0,1	≤ 0,124	0,45	0,28	0,36		0,06	1,19
pH	s/ unid	6 a 9	6,5 a 8,5	6,15	6,55	6,8		7,76	6,63
Salinidade	‰	NE	NE	0,2	0,1	0,1		0,1	0,3
Sólidos em suspensão	mg/L	NE	NE	<50	<50	<50		<50	<50
Sólidos totais	mg/L	NE	NE	292	164	162		182	322
STD	mg/L	≤ 500	NE	252	136	150		156	361
Temperatura	°C	NE	NE	30,7	24,2	24,9		30	30,4
Temperatura do Ar	°C	NE	NE	32	24	31		31	33
Turbidez	NTU	≤ 100	NE	28	16,9	21,3		27	11,7
% Saturação de OD	%	NE	NE	9,5	30,9	25,3		58,3	55,4

Parâmetro	Unidade	Padrão Legal Doce	Padrão Legal Salobra	1ª	2ª	3ª	1ª	2ª	3ª
				RCN-PAR-950	RCN-PAR-950	RCN-PAR-950	RCN-PIT-200	RCN-PIT-200	RCN-PIT-200
Alcalinidade total	mg CaCO3/L	NE	NE		153	159		136	179
Cloreto	mg/L	≤ 250	NE		77,7	49,9		77,2	50,6
Clorofila a	µg/L	≤ 30	NE		1,41	5,56		3,26	1,77
Colif. termo	NMP/100mL	NE	NE		>1,6X10^4	>1,6X10^4		>1,6X10^4	>1,6X10^4
Condutividade	µS/cm	NE	NE		685	685		632	694
DBO	mg/L	≤ 5	NE		13	17		34	65
DQO	mg O2/L	NE	NE		66,5	147		122	182
N Total	mg/L	NE	NE		21,7	15,2		20,3	19,4
Nitrogênio Nitrato	mg N-NO3/L	≤ 10	≤ 0,4		0,15	<0,02		<0,02	<0,02
N-NH3	mg N-NH3/L	*	≤ 0,4		18,2	11,4		18,4	17,2
OD	mg/L	≥ 5,0	≥ 5,0		2,32	3,39		2,46	2,56
Ortofosfato solúvel	mg/L	NE	NE		0,37	0,06		0,19	0,24
P Total	mg/L	≤ 0,1	≤ 0,124		1,78	2,33		1,59	1,75
pH	s/ unid	6 a 9	6,5 a 8,5		7,36	6,76		7,59	7,09
Salinidade	‰	NE	NE		0,3	0,3		0,3	0,3
Sólidos em suspensão	mg/L	NE	NE		<50	<50		584	56,4
Sólidos totais	mg/L	NE	NE		314	352		972	384
STD	mg/L	≤ 500	NE		310	383		408	388
Temperatura	°C	NE	NE		31,9	31,8		29	28,9
Temperatura do Ar	°C	NE	NE		32	34		30	30
Turbidez	NTU	≤ 100	NE		26,1	14,7		813	54,6
% Saturação de OD	%	NE	NE		32	44,5		32,5	33,3

Parâmetro	Unidade	Padrão Legal Doce	Padrão Legal Salobra	1ª	2ª	3ª	1ª	2ª	3ª
				RCN-POJ-100	RCN-POJ-100	RCN-POJ-100	RCN-POJ-200	RCN-POJ-200	RCN-POJ-200
Alcalinidade total	mg CaCO3/L	NE	NE	53,1			62,5	150	164
Cloreto	mg/L	≤ 250	NE	142			120	315	496
Clorofila a	µg/L	≤ 30	NE	6,85			4,24	1,84	3,64
Colif. termo	NMP/100mL	NE	NE	2,3X10^2			4,9X10^2	3,5X10^3	1,4X10^2
Condutividade	µS/cm	NE	NE	626			602	1434	2592
DBO	mg/L	≤ 5	NE	<3			<3	7	<3
DQO	mg O2/L	NE	NE	<30			<30	42,3	66,5
N Total	mg/L	NE	NE	<1			2,7	4,7	16,1
Nitrogênio Nitrato	mg N-NO3/L	≤ 10	≤ 0,4	<0,02			0,61	4,02	5,09
N-NH3	mg N-NH3/L	*	≤ 0,4	0,7			<0,4	<1	3,9
OD	mg/L	≥ 5,0	≥ 5,0	3,17			5,4	7,44	6
Ortofosfato solúvel	mg/L	NE	NE	0,09			0,14	0,28	0,57
P Total	mg/L	≤ 0,1	≤ 0,124	0,68			0,9	0,57	0,76
pH	s/ unid	6 a 9	6,5 a 8,5	6,51			6,8	6,25	8,91
Salinidade	‰	NE	NE	0,3			0,3	0,7	1,3
Sólidos em suspensão	mg/L	NE	NE	<50			<50	<50	<50
Sólidos totais	mg/L	NE	NE	438			420	957	1454
STD	mg/L	≤ 500	NE	424			419	889	1402
Temperatura	°C	NE	NE	29,4			27,4	24,1	25
Temperatura do Ar	°C	NE	NE	30			29,1	26	29
Turbidez	NTU	≤ 100	NE	23,6			49,4	14,7	2,3
% Saturação de OD	%	NE	NE	41,6			68	90,2	73,1

Parâmetro	Unidade	Padrão Legal Doce	Padrão Legal Salobra	1ª	2ª	3ª	1ª	2ª	3ª
				RCN-POJ-300	RCN-POJ-300	RCN-POJ-300	RCN-POJ-400	RCN-POJ-400	RCN-POJ-400
Alcalinidade total	mg CaCO3/L	NE	NE	81,3	128	138	70,8	77,4	725
Cloreto	mg/L	≤ 250	NE	169	177	238	65,6	128	200
Clorofila a	µg/L	≤ 30	NE	1,74	1,14	1,09	7,17	2,17	9,5
Colif. termo	NMP/100mL	NE	NE	1,6X10^4	>1,6X10^4	>1,6X10^4	>1,6X10^4	>1,6X10^4	>1,6X10^4
Condutividade	µS/cm	NE	NE	847	944	1395	610	635	1062
DBO	mg/L	≤ 5	NE	<3	<3	<3	18	<3	<3
DQO	mg O2/L	NE	NE	31,6	<30	47,7	45	34,2	39,6
N Total	mg/L	NE	NE	1,7	2,4	9,2	1,9	1,6	3,8
Nitrogênio Nitrato	mg N-NO3/L	≤ 10	≤ 0,4	0,63	1,35	2,16	0,31	0,76	0,78
N-NH3	mg N-NH3/L	*	≤ 0,4	<0,4	<1	3,4	1,2	<1	0,5
OD	mg/L	≥ 5,0	≥ 5,0	4,47	6	4,82	5,74	6,92	7,08
Ortofosfato solúvel	mg/L	NE	NE	0,1	<0,02	<0,02	<0,02	<0,02	<0,02
P Total	mg/L	≤ 0,1	≤ 0,124	0,77	0,26	0,5	0,55	0,09	0,16
pH	s/ unid	6 a 9	6,5 a 8,5	6,83	6,2	8,77	6,53	6,81	5,04
Salinidade	‰	NE	NE	0,4	0,4	0,7	0,3	0,3	0,5
Sólidos em suspensão	mg/L	NE	NE	<50	<50	<50	<50	<50	<50
Sólidos totais	mg/L	NE	NE	572	596	784	390	386	676
STD	mg/L	≤ 500	NE	570	572	734	330	370	580
Temperatura	°C	NE	NE	26,7	25,4	25,3	29,3	24,6	25,6
Temperatura do Ar	°C	NE	NE	29,6	26	29	33	26	31
Turbidez	NTU	≤ 100	NE	6,8	12,8	5,6	34,8	24,9	15,5
% Saturação de OD	%	NE	NE	55,9	71,7	58,7	75	82,5	86,9

Parâmetro	Unidade	Padrão Legal Doce	Padrão Legal Salobra	1ª	2ª	3ª	1ª	2ª	3ª
				RCN-POJ-600	RCN-POJ-600	RCN-POJ-600	RCN-POJ-750	RCN-POJ-750	RCN-POJ-750
Alcalinidade total	mg CaCO3/L	NE	NE	57,6	50,1	50	33,3	35,4	357
Cloreto	mg/L	≤ 250	NE	74,8	86,9	70,7	55,5	55,7	55,4
Clorofila a	µg/L	≤ 30	NE	2,12	2,12	6,63	3,54	2,17	15,6
Colif. termo	NMP/100mL	NE	NE	5,4X10^3	5,4X10^3	9,2X10^3	7,9X10^2	2,2X10^3	1,1X10^3
Condutividade	µS/cm	NE	NE	407	441	581	318	291,9	422
DBO	mg/L	≤ 5	NE	<3	<3	<3	4	4	<3
DQO	mg O2/L	NE	NE	<30	<30	<30	<30	<30	<30
N Total	mg/L	NE	NE	1,5	1,2	<1	1,5	<1	<1
Nitrogênio Nitrato	mg N-NO3/L	≤ 10	≤ 0,4	0,92	0,62	0,27	0,62	0,46	<0,02
N-NH3	mg N-NH3/L	*	≤ 0,4	<0,4	0,6	<0,4	<0,4	<1	<0,4
OD	mg/L	≥ 5,0	≥ 5,0	6,8	7,22	7,08	7,31	7,57	7,12
Ortofosfato solúvel	mg/L	NE	NE	<0,02	<0,02	<0,02	<0,02	<0,02	<0,02
P Total	mg/L	≤ 0,1	≤ 0,124	0,52	0,13	0,21	0,41	0,03	0,57
pH	s/ unid	6 a 9	6,5 a 8,5	6,99	6,58	7,44	7,15	7,15	8,46
Salinidade	‰	NE	NE	0,2	0,2	0,3	0,2	0,1	0,2
Sólidos em suspensão	mg/L	NE	NE	<50	<50	<50	<50	<50	<50
Sólidos totais	mg/L	NE	NE	274	286	332	198	206	304
STD	mg/L	≤ 500	NE	255	254	316	164	166	264
Temperatura	°C	NE	NE	28,2	25,1	27,1	27,6	25	26,5
Temperatura do Ar	°C	NE	NE	29	29	32	38	38	30
Turbidez	NTU	≤ 100	NE	14,9	31	37,3	25,6	20,8	20,2
% Saturação de OD	%	NE	NE	88,3	87,6	89,1	92,9	91,7	88,7

Parâmetro	Unidade	Padrão Legal Doce	Padrão Legal Salobra	1ª	2ª	3ª	1ª	2ª	3ª
				RCN-POJ-800	RCN-POJ-800	RCN-POJ-800	RCN-PTN-100	RCN-PTN-100	RCN-PTN-100
Alcalinidade total	mg CaCO3/L	NE	NE	34,5	16	339	109	59,6	55,7
Cloreto	mg/L	≤ 250	NE	267	40,1	66,5	39,4	15,5	10,2
Clorofila a	µg/L	≤ 30	NE	3,58	0,76	12,4	3,53	0,71	0,43
Colif. termo	NMP/100mL	NE	NE	4,9X10^2	4,9X10^2	9,5X10^2	5,4X10^3	1,6X10^4	2,4X10^3
Condutividade	µS/cm	NE	NE	1206	204,6	406	586	216,6	212,9
DBO	mg/L	≤ 5	NE	6	11	<3	512	65	76
DQO	mg O2/L	NE	NE	<30	<30	<30	707	102	166
N Total	mg/L	NE	NE	<1	<1	<1	9	2,5	7,3
Nitrogênio Nitrato	mg N-NO3/L	≤ 10	≤ 0,4	0,13	0,28	0,15	0,05	0,71	0,34
N-NH3	mg N-NH3/L	*	≤ 0,4	<0,4	<1	<0,4	<0,4	1,7	4,1
OD	mg/L	≥ 5,0	≥ 5,0	7,61	8,18	8,26	5,32	5,19	6,81
Ortofosfato solúvel	mg/L	NE	NE	<0,02	<0,02	<0,02	<0,02	<0,02	<0,02
P Total	mg/L	≤ 0,1	≤ 0,124	0,18	0,03	0,11	0,41	0,06	0,03
pH	s/ unid	6 a 9	6,5 a 8,5	6,91	6,91	8,92	6,71	7,35	9,14
Salinidade	‰	NE	NE	0,6	<0,1	0,2	0,3	<0,1	<0,1
Sólidos em suspensão	mg/L	NE	NE	<50	<50	<50	356	<50	<50
Sólidos totais	mg/L	NE	NE	654	148	276	1100	228	228
STD	mg/L	≤ 500	NE	572	128	266	752	188	183
Temperatura	°C	NE	NE	28,6	24,5	28,2	28,1	25,7	25,4
Temperatura do Ar	°C	NE	NE	34	28	32	29,5	28	32
Turbidez	NTU	≤ 100	NE	9,3	14,6	17,6	193	75,7	36,6
% Saturação de OD	%	NE	NE	98,6	98	106	68,2	66,8	83,1

Parâmetro	Unidade	Padrão Legal Doce	Padrão Legal Salobra	1ª	2ª	3ª	1ª	2ª	3ª
				RCN-QIG-850	RCN-QIG-850	RCN-QIG-850	RCN-RPD-150	RCN-RPD-150	RCN-RPD-150
Alcalinidade total	mg CaCO3/L	NE	NE	7,1	5,9	7,8		133	160
Cloreto	mg/L	≤ 250	NE	30,2	25,1	17,5		55,3	56
Clorofila a	µg/L	≤ 30	NE	0,71	1,31	1,96		2,93	4,51
Colif. termo	NMP/100mL	NE	NE	3,3X10^2	5,4X10^3	2,2X10^3		>1,6X10^4	>1,6X10^4
Condutividade	µS/cm	NE	NE	138,5	116,8	129,1		540	586
DBO	mg/L	≤ 5	NE	<3	<3	<3		21	15
DQO	mg O2/L	NE	NE	<30	<30	31,6		82,7	63,9
N Total	mg/L	NE	NE	<1	<1	<1		17,4	25,2
Nitrogênio Nitrato	mg N-NO3/L	≤ 10	≤ 0,4	<0,02	0,12	<0,02		0,37	0,17
N-NH3	mg N-NH3/L	*	≤ 0,4	<0,4	0,6	<0,4		13	18,9
OD	mg/L	≥ 5,0	≥ 5,0	7,43	7,65	7,59		1,45	3,01
Ortofosfato solúvel	mg/L	NE	NE	<0,02	<0,02	<0,02		1,11	1,23
P Total	mg/L	≤ 0,1	≤ 0,124	<0,02	<0,02	<0,02		1,94	2,19
pH	s/ unid	6 a 9	6,5 a 8,5	6,51	6,61	6,77		5,58	7,1
Salinidade	‰	NE	NE	<0,1	<0,1	<0,1		0,2	0,3
Sólidos em suspensão	mg/L	NE	NE	<50	<50	<50		<50	<50
Sólidos totais	mg/L	NE	NE	162	72	86		264	278
STD	mg/L	≤ 500	NE	104	66	84		264	252
Temperatura	°C	NE	NE	26,7	23,8	24,7		24,6	25
Temperatura do Ar	°C	NE	NE	28	31	35		31	29
Turbidez	NTU	≤ 100	NE	14,7	25	31,1		15,2	6,2
% Saturação de OD	%	NE	NE	92,7	90,5	91,3		17,3	36,5

Parâmetro	Unidade	Padrão Legal Doce	Padrão Legal Salobra	1ª	2ª	3ª	1ª	2ª	3ª
				RCN-SAP-300	RCN-SAP-300	RCN-SAP-300	RCN-SAP-900	RCN-SAP-900	RCN-SAP-900
Alcalinidade total	mg CaCO3/L	NE	NE	16,9	15,6	12,7	8,4	8,7	7,5
Cloreto	mg/L	≤ 250	NE	47,4	37,3	25,2	33,1	20,8	12,6
Clorofila a	µg/L	≤ 30	NE	<0,4	1,74	5,12	0,71	<0,4	0,51
Colif. termo	NMP/100mL	NE	NE	7,9X10^2	6,4X10^2	1,3X10^3	7,8X10	7,9X10^2	4,5X10
Condutividade	µS/cm	NE	NE	227,3	181,4	196,6	161,6	107,3	112,3
DBO	mg/L	≤ 5	NE	<3	<3	<3	<3	<3	<3
DQO	mg O2/L	NE	NE	<30	<30	<30	<30	<30	<30
N Total	mg/L	NE	NE	<1	<1	<1	<1	<1	<1
Nitrogênio Nitrato	mg N-NO3/L	≤ 10	≤ 0,4	<0,02	0,09	<0,02	<0,02	0,09	<0,02
N-NH3	mg N-NH3/L	*	≤ 0,4	0,8	0,5	<0,4	0,5	0,4	<0,4
OD	mg/L	≥ 5,0	≥ 5,0	6,77	7,58	7,63	5,49	8,17	7,13
Ortofosfato solúvel	mg/L	NE	NE	<0,02	<0,02	<0,02	<0,02	<0,02	<0,02
P Total	mg/L	≤ 0,1	≤ 0,124	0,03	<0,02	<0,02	<0,02	<0,02	0,02
pH	s/ unid	6 a 9	6,5 a 8,5	6,6	6,2	6,98	6,08	5,2	9
Salinidade	‰	NE	NE	0,1	<0,1	<0,1	<0,1	<0,1	<0,1
Sólidos em suspensão	mg/L	NE	NE	<50	<50	<50	<50	<50	<50
Sólidos totais	mg/L	NE	NE	182	90	190	162	104	78
STD	mg/L	≤ 500	NE	182	82	123	157	102	78
Temperatura	°C	NE	NE	27,9	24,4	26,9	29,9	24,8	27
Temperatura do Ar	°C	NE	NE	29	29	34	37	26	33
Turbidez	NTU	≤ 100	NE	28,2	29,2	36,7	11,2	20,4	16,8
% Saturação de OD	%	NE	NE	86,5	90,8	95,7	72,7	98,3	89,5

Parâmetro	Unidade	Padrão Legal Doce	Padrão Legal Salobra	1ª	2ª	3ª	1ª	2ª	3ª
				RCN-SAP-925	RCN-SAP-925	RCN-SAP-925	RCN-SAU-800	RCN-SAU-800	RCN-SAU-800
Alcalinidade total	mg CaCO3/L	NE	NE	<2	9,1	7,7		<2	19,1
Cloreto	mg/L	≤ 250	NE	33,9	21,1	12,9		24	19,3
Clorofila a	µg/L	≤ 30	NE	1,09	<0,4	0,76		1,08	2,24
Colif. termo	NMP/100mL	NE	NE	2,8X10^2	1,1X10^3	4,5X10		2,3X10^2	6,8X10
Condutividade	µS/cm	NE	NE	164,2	108,6	113		101,9	105,9
DBO	mg/L	≤ 5	NE	<3	<3	<3		<3	<3
DQO	mg O2/L	NE	NE	<30	<30	<30		50,4	<30
N Total	mg/L	NE	NE	<1	<1	<1		1	2
Nitrogênio Nitrato	mg N-NO3/L	≤ 10	≤ 0,4	<0,02	0,09	<0,02		0,07	<0,02
N-NH3	mg N-NH3/L	*	≤ 0,4	0,4	0,5	<0,4		0,9	0,8
OD	mg/L	≥ 5,0	≥ 5,0	5,43	7,9	7,18		5,97	5,89
Ortofosfato solúvel	mg/L	NE	NE	<0,02	<0,02	<0,02		<0,02	<0,02
P Total	mg/L	≤ 0,1	≤ 0,124	0,03	<0,02	<0,02		<0,02	<0,02
pH	s/ unid	6 a 9	6,5 a 8,5	6,14	5,15	6,79		7,3	3,17
Salinidade	‰	NE	NE	<0,1	<0,1	<0,1		<0,1	<0,1
Sólidos em suspensão	mg/L	NE	NE	<50	<50	<50		<50	<50
Sólidos totais	mg/L	NE	NE	148	88	108		98	104
STD	mg/L	≤ 500	NE	146	82	98		64	90
Temperatura	°C	NE	NE	29,9	24	27,2		24,1	24,9
Temperatura do Ar	°C	NE	NE	38	24	30		27	33
Turbidez	NTU	≤ 100	NE	10,7	23,4	14,2		13,1	11,4
% Saturação de OD	%	NE	NE	71,7	95,9	90,3		71,1	71,2

Parâmetro	Unidade	Padrão Legal Doce	Padrão Legal Salobra	1ª	2ª	3ª	1ª	2ª	3ª
				RCN-SEI-300	RCN-SEI-300	RCN-SEI-300	RCN-SPA-100	RCN-SPA-100	RCN-SPA-100
Alcalinidade total	mg CaCO3/L	NE	NE		48,7	45,2		110	109
Cloreto	mg/L	≤ 250	NE		55,4	87,4		65,8	52,2
Clorofila a	µg/L	≤ 30	NE		1,79	2,03		3,16	3,31
Colif. termo	NMP/100mL	NE	NE		1,6X10^4	3,5X10^3		1,3X10^3	1,3X10^3
Condutividade	µS/cm	NE	NE		491	516		500	508
DBO	mg/L	≤ 5	NE		<3	<3		16	13
DQO	mg O2/L	NE	NE		<30	34,2		<30	<30
N Total	mg/L	NE	NE		9	15,5		7,5	4,5
Nitrogênio Nitrato	mg N-NO3/L	≤ 10	≤ 0,4		7,23	6,72		2,31	0,37
N-NH3	mg N-NH3/L	*	≤ 0,4		<0,4	<0,4		2,2	<0,4
OD	mg/L	≥ 5,0	≥ 5,0		5,96	6,6		5,63	3,19
Ortofosfato solúvel	mg/L	NE	NE		<0,02	<0,02		0,49	0,44
P Total	mg/L	≤ 0,1	≤ 0,124		0,04	0,03		0,67	1,11
pH	s/ unid	6 a 9	6,5 a 8,5		7,66	7,32		6,27	6,49
Salinidade	‰	NE	NE		0,2	0,2		0,2	0,2
Sólidos em suspensão	mg/L	NE	NE		<50	<50		<50	<50
Sólidos totais	mg/L	NE	NE		290	300		258	376
STD	mg/L	≤ 500	NE		254	293		258	338
Temperatura	°C	NE	NE		29,5	25,6		25,1	26,9
Temperatura do Ar	°C	NE	NE		29	27		28	27
Turbidez	NTU	≤ 100	NE		2	2,2		4,7	7
% Saturação de OD	%	NE	NE		77,7	83,3		69,5	40,2

Parâmetro	Unidade	Padrão Legal Doce	Padrão Legal Salobra	1ª	2ª	3ª	1ª	2ª	3ª
				RCN-SUB-140	RCN-SUB-140	RCN-SUB-140	RCN-SUB-160	RCN-SUB-160	RCN-SUB-160
Alcalinidade total	mg CaCO3/L	NE	NE	104	150	183	128	105	153
Cloreto	mg/L	≤ 250	NE	106	112	130	75,2	72,3	73,5
Clorofila a	µg/L	≤ 30	NE	131	64,3	115	2,12	1,46	0,76
Colif. termo	NMP/100mL	NE	NE	1,4X10^3	>1,6X10^4	1,3X10^2	7,9X10^2	2,7X10^2	1,7X10^2
Condutividade	µS/cm	NE	NE	656	762	997	538	478	667
DBO	mg/L	≤ 5	NE	6	<3	3	<3	6	<3
DQO	mg O2/L	NE	NE	45	<30	39,6	39,6	36,9	31,6
N Total	mg/L	NE	NE	9,1	13,3	10	<1	1,2	<1
Nitrogênio Nitrato	mg N-NO3/L	≤ 10	≤ 0,4	0,08	0,22	0,02	<0,02	0,27	<0,02
N-NH3	mg N-NH3/L	*	≤ 0,4	<0,4	12,3	7,4	<0,4	<1	0,5
OD	mg/L	≥ 5,0	≥ 5,0	7,74	4,98	7,55	7,33	7,3	7,75
Ortofosfato solúvel	mg/L	NE	NE	0,84	2,47	2,19	1,18	0,42	<0,02
P Total	mg/L	≤ 0,1	≤ 0,124	2,48	4,74	3,59	4,03	0,88	0,6
pH	s/ unid	6 a 9	6,5 a 8,5	7,03	6,58	8,81	7,5	7,46	9,15
Salinidade	‰	NE	NE	0,3	0,4	0,5	0,3	0,2	0,3
Sólidos em suspensão	mg/L	NE	NE	<50	<50	<50	<50	<50	<50
Sólidos totais	mg/L	NE	NE	408	406	534	392	306	414
STD	mg/L	≤ 500	NE	390	360	486	358	302	384
Temperatura	°C	NE	NE	28,6	25,6	27,3	26,5	24,9	24,2
Temperatura do Ar	°C	NE	NE	28,9	27	38	29	27	34
Turbidez	NTU	≤ 100	NE	31,7	4,7	54,2	15,3	10	8,2
% Saturação de OD	%	NE	NE	100	62	95,7	91,4	88,6	92,6

Parâmetro	Unidade	Padrão Legal Doce	Padrão Legal Salobra	1ª	2ª	3ª	1ª	2ª	3ª
				RCN-SUB-300	RCN-SUB-300	RCN-SUB-300	RCN-SUB-550	RCN-SUB-550	RCN-SUB-550
Alcalinidade total	mg CaCO3/L	NE	NE	63,4	56,5	50,6	64,3	55,6	50,7
Cloreto	mg/L	≤ 250	NE	34,4	27,9	24,2	31,3	23,6	18,8
Clorofila a	µg/L	≤ 30	NE	1,41	1,09	1,84	3,97	1,42	1,46
Colif. termo	NMP/100mL	NE	NE	7,9X10^2	5,8X10^3	4,9X10^2	9,2X10^3	5,4X10^3	9,2X10^3
Condutividade	µS/cm	NE	NE	258,6	230,6	225,2	262,7	214,2	217,7
DBO	mg/L	≤ 5	NE	<3	<3	<3	<3	6	<3
DQO	mg O2/L	NE	NE	<30	<30	<30	<30	<30	<30
N Total	mg/L	NE	NE	<1	<1	<1	<1	<1	<1
Nitrogênio Nitrato	mg N-NO3/L	≤ 10	≤ 0,4	0,08	0,29	<0,02	0,05	0,34	<0,02
N-NH3	mg N-NH3/L	*	≤ 0,4	<0,4	<1	<0,4	<0,4	<1	<0,4
OD	mg/L	≥ 5,0	≥ 5,0	7,91	6,31	8,13	7,48	6,01	8,01
Ortofosfato solúvel	mg/L	NE	NE	0,32	<0,02	<0,02	0,28	<0,02	<0,02
P Total	mg/L	≤ 0,1	≤ 0,124	1,3	0,2	0,1	0,94	0,15	0,04
pH	s/ unid	6 a 9	6,5 a 8,5	7,58	7,65	9,27	7,43	7,58	9,02
Salinidade	‰	NE	NE	0,1	0,1	0,1	0,1	<0,1	<0,1
Sólidos em suspensão	mg/L	NE	NE	<50	<50	<50	<50	<50	<50
Sólidos totais	mg/L	NE	NE	212	192	174	244	208	154
STD	mg/L	≤ 500	NE	204	168	146	198	171	150
Temperatura	°C	NE	NE	27,1	25	24,8	26,7	25,4	25,2
Temperatura do Ar	°C	NE	NE	30,5	26	34	30,6	26	33
Turbidez	NTU	≤ 100	NE	14,4	65,7	27,7	20,6	77,6	20
% Saturação de OD	%	NE	NE	99,4	78,9	98,2	95,2	72,7	97,4

Parâmetro	Unidade	Padrão Legal Doce	Padrão Legal Salobra	1ª	2ª	3ª	1ª	2ª	3ª
				RCN-SUM-200	RCN-SUM-200	RCN-SUM-200	RCN-SUM-600	RCN-SUM-600	RCN-SUM-600
Alcalinidade total	mg CaCO3/L	NE	NE		23	238	17,4	15,2	17,8
Cloreto	mg/L	≤ 250	NE		90,1	65,9	45,9	75	57,6
Clorofila a	µg/L	≤ 30	NE		1,46	2,72	2,55	0,43	2,12
Colif. termo	NMP/100mL	NE	NE		>1,6X10^4	2,3X10^3	>1,6X10^4	2,3X10^2	2,2X10^2
Condutividade	µS/cm	NE	NE		387	348	213,6	308	323
DBO	mg/L	≤ 5	NE		<3	<3	<3	3	<3
DQO	mg O2/L	NE	NE		<30	<30	34,2	42,3	<30
N Total	mg/L	NE	NE		<1	<1	<1	<1	<1
Nitrogênio Nitrato	mg N-NO3/L	≤ 10	≤ 0,4		0,06	<0,02	<0,02	0,11	<0,02
N-NH3	mg N-NH3/L	*	≤ 0,4		<1	0,5	0,5	0,7	<0,4
OD	mg/L	≥ 5,0	≥ 5,0		4,97	1,6	4,9	6,13	5,07
Ortofosfato solúvel	mg/L	NE	NE		<0,02	<0,02	<0,02	<0,02	<0,02
P Total	mg/L	≤ 0,1	≤ 0,124		<0,02	<0,02	<0,02	<0,02	0,02
pH	s/ unid	6 a 9	6,5 a 8,5		6,63	4,02	6,92	6,21	6,65
Salinidade	‰	NE	NE		0,2	0,2	0,1	0,1	0,1
Sólidos em suspensão	mg/L	NE	NE		<50	<50	<50	<50	<50
Sólidos totais	mg/L	NE	NE		230	216	158	236	246
STD	mg/L	≤ 500	NE		228	210	144	206	236
Temperatura	°C	NE	NE		25,6	24,7	29,6	27,5	27,6
Temperatura do Ar	°C	NE	NE		27	29	33	32	35
Turbidez	NTU	≤ 100	NE		6	8	16,6	34,5	19,8
% Saturação de OD	%	NE	NE		61,8	19,4	64,4	79,2	64,4

Parâmetro	Unidade	Padrão Legal Doce	Padrão Legal Salobra	1ª	2ª	3ª	1ª	2ª	3ª
				RCN-SUM-800	RCN-SUM-800	RCN-SUM-800	RCN-SUM-900	RCN-SUM-900	RCN-SUM-900
Alcalinidade total	mg CaCO3/L	NE	NE	22	20,5	24,4	9,1	10,9	13,1
Cloreto	mg/L	≤ 250	NE	40	39	31,5	25,9	24	19,5
Clorofila a	µg/L	≤ 30	NE	0,71	<0,4	1,36	5,1	<0,4	0,71
Colif. termo	NMP/100mL	NE	NE	1,3X10^3	3,3X10^2	2,3X10^2	4,5X10	6,0X10^2	6,8X10
Condutividade	µS/cm	NE	NE	204,6	186,1	251,3	135,9	120,4	161,3
DBO	mg/L	≤ 5	NE	<3	<3	<3	<3	<3	<3
DQO	mg O2/L	NE	NE	<30	<30	<30	<30	<30	<30
N Total	mg/L	NE	NE	1,5	<1	<1	1,8	<1	<1
Nitrogênio Nitrato	mg N-NO3/L	≤ 10	≤ 0,4	<0,02	0,09	<0,02	<0,02	0,09	<0,02
N-NH3	mg N-NH3/L	*	≤ 0,4	0,8	0,8	0,4	0,5	0,5	<0,4
OD	mg/L	≥ 5,0	≥ 5,0	6,96	6,96	7,15	7,12	8,33	8,05
Ortofosfato solúvel	mg/L	NE	NE	<0,02	<0,02	<0,02	<0,02	<0,02	<0,02
P Total	mg/L	≤ 0,1	≤ 0,124	0,03	<0,02	<0,02	<0,02	0,02	<0,02
pH	s/ unid	6 a 9	6,5 a 8,5	6,78	6,07	7,14	6,76	6,5	7,3
Salinidade	‰	NE	NE	<0,1	<0,1	0,1	<0,1	<0,1	<0,1
Sólidos em suspensão	mg/L	NE	NE	<50	<50	<50	<50	<50	<50
Sólidos totais	mg/L	NE	NE	187	164	180	136	130	122
STD	mg/L	≤ 500	NE	184	146	132	110	114	90
Temperatura	°C	NE	NE	28	25	25,7	28,5	25,3	26,8
Temperatura do Ar	°C	NE	NE	34	28	30	36	38	30
Turbidez	NTU	≤ 100	NE	19,7	16,1	14,8	9,2	15,8	9
% Saturação de OD	%	NE	NE	89,1	84,3	87,7	91,7	101	101

Parâmetro	Unidade	Padrão Legal Doce	Padrão Legal Salobra	1ª	2ª	3ª	1ª	2ª	3ª
				RCN-TRI-600	RCN-TRI-600	RCN-TRI-600	RCN-TRP-300	RCN-TRP-300	RCN-TRP-300
Alcalinidade total	mg CaCO3/L	NE	NE		105	183		64,1	
Cloreto	mg/L	≤ 250	NE		91,5	59,2		8	
Clorofila a	µg/L	≤ 30	NE		0,7	6,51		7,33	
Colif. termo	NMP/100mL	NE	NE		>1,6X10^4	>1,6X10^4		>1,6X10^4	
Condutividade	µS/cm	NE	NE		511	702		176,7	
DBO	mg/L	≤ 5	NE		10	63		4	
DQO	mg O2/L	NE	NE		<30	174		<30	
N Total	mg/L	NE	NE		14,7	22,3		<1	
Nitrogênio Nitrato	mg N-NO3/L	≤ 10	≤ 0,4		1,38	<0,02		0,29	
N-NH3	mg N-NH3/L	*	≤ 0,4		11,9	17,8		0,6	
OD	mg/L	≥ 5,0	≥ 5,0		2,7	1,72		6,64	
Ortofosfato solúvel	mg/L	NE	NE		0,12	0,53		<0,02	
P Total	mg/L	≤ 0,1	≤ 0,124		1,09	1,67		0,24	
pH	s/ unid	6 a 9	6,5 a 8,5		7,76	7,18		7,34	
Salinidade	‰	NE	NE		0,2	0,3		<0,1	
Sólidos em suspensão	mg/L	NE	NE		<50	<50		664	
Sólidos totais	mg/L	NE	NE		240	452		960	
STD	mg/L	≤ 500	NE		228	392		296	
Temperatura	°C	NE	NE		27,9	28,8		27,4	
Temperatura do Ar	°C	NE	NE		28	29		30	
Turbidez	NTU	≤ 100	NE		10,6	41,8		918	
% Saturação de OD	%	NE	NE		34,5	21,8		87,9	

Parâmetro	Unidade	Padrão Legal Doce	Padrão Legal Salobra	1ª	2ª	3ª
				RCN-TRP-400	RCN-TRP-400	RCN-TRP-400
Alcalinidade total	mg CaCO3/L	NE	NE	79,1	117	81,4
Cloreto	mg/L	≤ 250	NE	362	15,1	307
Clorofila a	µg/L	≤ 30	NE	42,7	1,84	4,35
Colif. termo	NMP/100mL	NE	NE	2,8X10^2	5,4X10^3	3,5X10^3
Condutividade	µS/cm	NE	NE	1588	310	1692
DBO	mg/L	≤ 5	NE	<3	<3	<3
DQO	mg O2/L	NE	NE	<30	<30	<30
N Total	mg/L	NE	NE	<1	<1	<1
Nitrogênio Nitrato	mg N-NO3/L	≤ 10	≤ 0,4	0,08	0,24	0,08
N-NH3	mg N-NH3/L	*	≤ 0,4	<0,4	<1	0,4
OD	mg/L	≥ 5,0	≥ 5,0	6,2	6,02	5,05
Ortofosfato solúvel	mg/L	NE	NE	<0,02	<0,02	<0,02
P Total	mg/L	≤ 0,1	≤ 0,124	0,18	0,08	0,07
pH	s/ unid	6 a 9	6,5 a 8,5	6,96	7,41	9,38
Salinidade	‰	NE	NE	0,8	0,1	0,8
Sólidos em suspensão	mg/L	NE	NE	74	148	<50
Sólidos totais	mg/L	NE	NE	952	404	912
STD	mg/L	≤ 500	NE	890	234	852
Temperatura	°C	NE	NE	29,2	26,1	26,9
Temperatura do Ar	°C	NE	NE	28,5	27	33
Turbidez	NTU	≤ 100	NE	84,6	310	28
% Saturação de OD	%	NE	NE	81,5	77,5	63,5

RPGA do Recôncavo Sul (RCS)

Parâmetro	Unidade	Padrão Legal Doce	Padrão Legal Salobra	1ª	2ª	3ª	1ª	2ª	3ª
				RCS-ACR-700	RCS-ACR-700	RCS-ACR-700	RCS-ALM-300	RCS-ALM-300	RCS-ALM-300
Alcalinidade total	mg CaCO3/L	NE	NE	2,2	5,9	2,7	11,1	16,4	15,6
Cloreto	mg/L	≤ 250	NE	6,7	7,6	4,9	10,8	8,4	4,7
Clorofila a	µg/L	≤ 30	NE	3,15	0,71	4,2	11,4	<0,4	1,36
Colif. termo	NMP/100mL	NE	NE	5,4X10^3	2,3X10^2	1,7X10^3	>1,6X10^4	>1,6X10^4	9,2X10^3
Condutividade	µS/cm	NE	NE	46,7	45,4	46,4	99,9	76	76,8
DBO	mg/L	≤ 5	NE	<3	<3	<3	7	<3	5
DQO	mg O2/L	NE	NE	<30	<30	<30	<30	<30	<30
N Total	mg/L	NE	NE	<1	<1	<1	<1	1	<1
Nitrogênio Nitrato	mg N-NO3/L	≤ 10	≤ 0,4	<0,02	0,09	<0,02	0,13	0,16	<0,02
N-NH3	mg N-NH3/L	*	≤ 0,4	<0,4	<0,4	<0,4	<0,4	0,8	<0,4
OD	mg/L	≥ 5,0	≥ 5,0	7,17	7,93	7,69	4,47	7,23	7,34
Ortofosfato solúvel	mg/L	NE	NE	<0,02	<0,02	<0,02	<0,02	<0,02	<0,02
P Total	mg/L	≤ 0,1	≤ 0,124	<0,02	<0,02	<0,02	0,2	0,02	0,08
pH	s/ unid	6 a 9	6,5 a 8,5	6,69	6,77	6,42	7,01	6,82	6,98
Salinidade	‰	NE	NE	<0,1	<0,1	<0,1	<0,1	<0,1	<0,1
Sólidos em suspensão	mg/L	NE	NE	<50	<50	<50	96	<50	<50
Sólidos totais	mg/L	NE	NE	60	54	58	178	112	78
STD	mg/L	≤ 500	NE	54	<50	<50	80	82	<50
Temperatura	°C	NE	NE	31,9	24,2	29,7	28,8	25,6	25,7
Temperatura do Ar	°C	NE	NE	34	27	30	35	30	33
Turbidez	NTU	≤ 100	NE	5,3	4,5	4,6	70	24	9,3
% Saturação de OD	%	NE	NE	97,9	94,6	101	58	88,4	90,1

Parâmetro	Unidade	Padrão Legal Doce	Padrão Legal Salobra	1ª	2ª	3ª	1ª	2ª	3ª
				RCS-ALM-950	RCS-ALM-950	RCS-ALM-950	RCS-BAI-300	RCS-BAI-300	RCS-BAI-300
Alcalinidade total	mg CaCO3/L	NE	NE	4	12,4	10,8	3,5	6	6,2
Cloreto	mg/L	≤ 250	NE	9,3	10,3	7,7	6,6	7,8	5
Clorofila a	µg/L	≤ 30	NE	4,84	1,09	5,81	4,29	<0,4	2,34
Colif. termo	NMP/100mL	NE	NE	1,7X10^2	1,4X10^2	1,1X10^3	9,2X10^3	7,0X10^2	1,1X10^3
Condutividade	µS/cm	NE	NE	70,8	66,9	81	43,9	43,1	48,4
DBO	mg/L	≤ 5	NE	<3	<3	<3	23	<3	<3
DQO	mg O2/L	NE	NE	<30	34,2	<30	<30	45	<30
N Total	mg/L	NE	NE	<1	<1	<1	<1	<1	<1
Nitrogênio Nitrato	mg N-NO3/L	≤ 10	≤ 0,4	<0,02	0,18	<0,02	<0,02	<0,02	<0,02
N-NH3	mg N-NH3/L	*	≤ 0,4	<0,4	<0,4	<0,4	0,4	<0,4	<0,4
OD	mg/L	≥ 5,0	≥ 5,0	7,59	8,24	7,96	7,24	8,19	7,78
Ortofosfato solúvel	mg/L	NE	NE	<0,02	<0,02	<0,02	<0,02	<0,02	<0,02
P Total	mg/L	≤ 0,1	≤ 0,124	<0,02	0,02	0,05	<0,02	<0,02	<0,02
pH	s/ unid	6 a 9	6,5 a 8,5	7,7	6,42	7,29	6,53	5,83	6,59
Salinidade	‰	NE	NE	<0,1	<0,1	<0,1	<0,1	<0,1	<0,1
Sólidos em suspensão	mg/L	NE	NE	<50	<50	<50	<50	<50	<50
Sólidos totais	mg/L	NE	NE	54	58	100	92	<50	66
STD	mg/L	≤ 500	NE	52	<50	72	<50	<50	<50
Temperatura	°C	NE	NE	30,5	24,7	26	29,8	25,8	26,5
Temperatura do Ar	°C	NE	NE	29	27	26	33	31	30
Turbidez	NTU	≤ 100	NE	2,7	6,4	19,8	44,6	7,6	6,6
% Saturação de OD	%	NE	NE	101	99,2	98,1	95,5	99	96,8

Parâmetro	Unidade	Padrão Legal Doce	Padrão Legal Salobra	1ª	2ª	3ª	1ª	2ª	3ª
				RCS-CMG-700	RCS-CMG-700	RCS-CMG-700	RCS-CTT-700	RCS-CTT-700	RCS-CTT-700
Alcalinidade total	mg CaCO3/L	NE	NE	4	6,3	5,5	<2	2,2	<2
Cloreto	mg/L	≤ 250	NE	6,8	7,9	4,8	13,6	13,4	8,1
Clorofila a	µg/L	≤ 30	NE	8,91	1,69	5,34	2,4	<0,4	2,29
Colif. termo	NMP/100mL	NE	NE	1,6X10^4	1,3X10^3	3,3X10^2	3,3X10^2	2,3X10^2	2,0X10
Condutividade	µS/cm	NE	NE	49,8	48,7	48,7	75,5	78,1	71,4
DBO	mg/L	≤ 5	NE	4	<3	<3	<3	<3	<3
DQO	mg O2/L	NE	NE	<30	<30	31,6	<30	<30	34,2
N Total	mg/L	NE	NE	<1	<1	<1	<1	1	<1
Nitrogênio Nitrato	mg N-NO3/L	≤ 10	≤ 0,4	<0,02	0,07	<0,02	<0,02	<0,02	<0,02
N-NH3	mg N-NH3/L	*	≤ 0,4	<0,4	0,4	<0,4	<0,4	1	<0,4
OD	mg/L	≥ 5,0	≥ 5,0	6,36	8,24	7,63	5,27	6,25	5,2
Ortofosfato solúvel	mg/L	NE	NE	<0,02	<0,02	<0,02	0,02	<0,02	<0,02
P Total	mg/L	≤ 0,1	≤ 0,124	<0,02	<0,02	<0,02	<0,02	<0,02	<0,02
pH	s/ unid	6 a 9	6,5 a 8,5	6,58	6,08	6,75	5,61	6,1	5,66
Salinidade	‰	NE	NE	<0,1	<0,1	<0,1	0,1	<0,1	<0,1
Sólidos em suspensão	mg/L	NE	NE	<50	<50	<50	70	<50	<50
Sólidos totais	mg/L	NE	NE	88	72	<50	122	92	78
STD	mg/L	≤ 500	NE	58	68	<50	52	68	<50
Temperatura	°C	NE	NE	27,9	23,2	24,9	26,7	24,9	25,9
Temperatura do Ar	°C	NE	NE	29	26	26	32	28	31
Turbidez	NTU	≤ 100	NE	8,3	8,8	12,3	35,3	3,2	3,3
% Saturação de OD	%	NE	NE	81,1	96,4	92,2	65,6	75,5	64,1

Parâmetro	Unidade	Padrão Legal Doce	Padrão Legal Salobra	1ª	2ª	3ª	1ª	2ª	3ª
				RCS-DON-100	RCS-DON-100	RCS-DON-100	RCS-DON-800	RCS-DON-800	RCS-DON-800
Alcalinidade total	mg CaCO3/L	NE	NE	62,8	38,9	47,8	9,6	20,5	27,8
Cloreto	mg/L	≤ 250	NE	25,3	23,2	12,3	9,1	13,1	9,2
Clorofila a	µg/L	≤ 30	NE	2,88	<0,4	5,94	3,81	<0,4	2,24
Colif. termo	NMP/100mL	NE	NE	1,6X10^4	1,1X10^2	2,0X10	3,3X10^2	1,3X10^2	2,3X10^2
Condutividade	µS/cm	NE	NE	243,1	178,7	203,3	72	93,2	127,7
DBO	mg/L	≤ 5	NE	<3	7	<3	<3	<3	<3
DQO	mg O2/L	NE	NE	<30	53,1	<30	<30	<30	<30
N Total	mg/L	NE	NE	1	<1	<1	<1	<1	<1
Nitrogênio Nitrato	mg N-NO3/L	≤ 10	≤ 0,4	0,03	<0,02	<0,02	<0,02	<0,02	<0,02
N-NH3	mg N-NH3/L	*	≤ 0,4	0,7	0,7	0,5	<0,4	0,4	<0,4
OD	mg/L	≥ 5,0	≥ 5,0	5,11	8,15	7,54	7,32	8,33	7,75
Ortofosfato solúvel	mg/L	NE	NE	<0,02	<0,02	<0,02	<0,02	<0,02	<0,02
P Total	mg/L	≤ 0,1	≤ 0,124	<0,02	<0,02	0,02	<0,02	<0,02	<0,02
pH	s/ unid	6 a 9	6,5 a 8,5	7,15	6,96	7,49	7,07	5,95	7,37
Salinidade	‰	NE	NE	0,1	<0,1	<0,1	<0,1	<0,1	<0,1
Sólidos em suspensão	mg/L	NE	NE	<50	<50	<50	<50	<50	<50
Sólidos totais	mg/L	NE	NE	166	150	118	77	88	126
STD	mg/L	≤ 500	NE	166	130	118	62	84	86
Temperatura	°C	NE	NE	25,4	26,9	27,7	30,9	25,8	27,3
Temperatura do Ar	°C	NE	NE	25	34	30	33	29	30
Turbidez	NTU	≤ 100	NE	6,7	5,1	16,3	7,6	9,8	11,1
% Saturação de OD	%	NE	NE	62,4	104	95,9	98,4	102	97,9

Parâmetro	Unidade	Padrão Legal Doce	Padrão Legal Salobra	1ª	2ª	3ª	1ª	2ª	3ª
				RCS-ETV-800	RCS-ETV-800	RCS-ETV-800	RCS-IGP-950	RCS-IGP-950	RCS-IGP-950
Alcalinidade total	mg CaCO3/L	NE	NE	2	9,4	5,5	7,5	6	6,4
Cloreto	mg/L	≤ 250	NE	18,2	13,8	8,1	7,5	7,7	4,6
Clorofila a	µg/L	≤ 30	NE	4,51	<0,4	3,27	3,43	1,03	2,29
Colif. termo	NMP/100mL	NE	NE	3,5X10^3	2,4X10^3	2,2X10^2	>1,6X10^4	9,2X10^3	>1,6X10^4
Condutividade	µS/cm	NE	NE	93,1	81,6	79,4	63,7	50,3	53,4
DBO	mg/L	≤ 5	NE	<3	<3	<3	24	12	<3
DQO	mg O2/L	NE	NE	<30	<30	<30	<30	<30	<30
N Total	mg/L	NE	NE	<1	<1	<1	<1	<1	<1
Nitrogênio Nitrato	mg N-NO3/L	≤ 10	≤ 0,4	<0,02	<0,02	<0,02	<0,02	0,12	<0,02
N-NH3	mg N-NH3/L	*	≤ 0,4	<0,4	0,9	<0,4	0,4	<0,4	<0,4
OD	mg/L	≥ 5,0	≥ 5,0	4,4	3,13	2,25	6,93	8,48	7,73
Ortofosfato solúvel	mg/L	NE	NE	<0,02	<0,02	<0,02	<0,02	<0,02	<0,02
P Total	mg/L	≤ 0,1	≤ 0,124	<0,02	<0,02	<0,02	0,03	<0,02	0,04
pH	s/ unid	6 a 9	6,5 a 8,5	5,65	6,27	5,73	6,78	6,8	6,81
Salinidade	‰	NE	NE	0,1	<0,1	<0,1	<0,1	<0,1	<0,1
Sólidos em suspensão	mg/L	NE	NE	<50	<50	<50	<50	<50	<50
Sólidos totais	mg/L	NE	NE	94	104	86	124	<50	56
STD	mg/L	≤ 500	NE	88	66	<50	90	<50	<50
Temperatura	°C	NE	NE	28,3	25	25,4	29,4	23,8	25,6
Temperatura do Ar	°C	NE	NE	30	26	30	33	29	28
Turbidez	NTU	≤ 100	NE	14,8	16,8	21,2	17,3	12,1	6,8
% Saturação de OD	%	NE	NE	56,7	38,1	27,7	90,7	100	94,2

Parâmetro	Unidade	Padrão Legal Doce	Padrão Legal Salobra	1ª	2ª	3ª	1ª	2ª	3ª
				RCS-JGP-200	RCS-JGP-200	RCS-JGP-200	RCS-JGP-300	RCS-JGP-300	RCS-JGP-300
Alcalinidade total	mg CaCO3/L	NE	NE	83,9	66,5	59,7	61,6	51,6	46,3
Cloreto	mg/L	≤ 250	NE	117	34,7	25,1	37,8	30,6	24,4
Clorofila a	µg/L	≤ 30	NE	5,71	<0,4	3,04	17,3	<0,4	4,51
Colif. termo	NMP/100mL	NE	NE	1,6X10^4	>1,6X10^4	>1,6X10^4	5,4X10^3	2,2X10^3	1,7X10^3
Condutividade	µS/cm	NE	NE	411	297,5	327	303	234,9	259,2
DBO	mg/L	≤ 5	NE	4	4	<3	<3	3	<3
DQO	mg O2/L	NE	NE	<30	39,6	69,2	31,6	31,6	<30
N Total	mg/L	NE	NE	3,6	2	1,1	<1	1,6	<1
Nitrogênio Nitrato	mg N-NO3/L	≤ 10	≤ 0,4	2,8	0,86	0,08	0,1	0,77	0,08
N-NH3	mg N-NH3/L	*	≤ 0,4	0,4	1,1	0,5	0,5	0,8	<0,4
OD	mg/L	≥ 5,0	≥ 5,0	6,28	7,84	7,3	7	8,41	7,78
Ortofosfato solúvel	mg/L	NE	NE	0,03	<0,02	<0,02	<0,02	<0,02	<0,02
P Total	mg/L	≤ 0,1	≤ 0,124	0,4	0,16	0,41	0,13	0,12	0,14
pH	s/ unid	6 a 9	6,5 a 8,5	7,44	6,27	7,41	7,32	6,37	7,5
Salinidade	‰	NE	NE	0,2	0,1	0,1	0,1	0,1	0,1
Sólidos em suspensão	mg/L	NE	NE	<50	<50	<50	<50	<50	<50
Sólidos totais	mg/L	NE	NE	258	206	238	196	168	188
STD	mg/L	≤ 500	NE	254	186	192	184	154	156
Temperatura	°C	NE	NE	28,9	26,6	27,3	29	27	26,9
Temperatura do Ar	°C	NE	NE	34	29	29	34	30	30
Turbidez	NTU	≤ 100	NE	2,2	12,7	16,6	2,8	11,8	16,5
% Saturação de OD	%	NE	NE	81,6	97,7	97,5	90,8	106	97,5

Parâmetro	Unidade	Padrão Legal Doce	Padrão Legal Salobra	1ª	2ª	3ª	1ª	2ª	3ª
				RCS-JGP-320	RCS-JGP-320	RCS-JGP-320	RCS-JQM-400	RCS-JQM-400	RCS-JQM-400
Alcalinidade total	mg CaCO3/L	NE	NE	84,4	45,5	33,8	69,5	39,9	37,9
Cloreto	mg/L	≤ 250	NE	3170	26,1	17,3	93,2	106	71,3
Clorofila a	µg/L	≤ 30	NE	154	<0,4	3,65	14,9	<0,4	2,5
Colif. termo	NMP/100mL	NE	NE	>1,6X10^4	2,4X10^3	1,6X10^4	2,3X10^2	7,0X10^2	7,0X10^2
Condutividade	µS/cm	NE	NE	10910	202,1	236,4	420	526	535
DBO	mg/L	≤ 5	NE	13	<3	<3	<3	10	<3
DQO	mg O2/L	NE	NE	909	53,1	31,6	<30	<30	<30
N Total	mg/L	NE	NE	1,5	1,4	<1	<1	<1	<1
Nitrogênio Nitrato	mg N-NO3/L	≤ 10	≤ 0,4	0,25	0,58	0,03	<0,02	<0,02	<0,02
N-NH3	mg N-NH3/L	*	≤ 0,4	1,1	0,8	<0,4	<0,4	0,5	<0,4
OD	mg/L	≥ 5,0	≥ 5,0	14,2	8,63	7,29	2,64	6,91	5,56
Ortofosfato solúvel	mg/L	NE	NE	<0,02	<0,02	<0,02	<0,02	<0,02	<0,02
P Total	mg/L	≤ 0,1	≤ 0,124	0,24	0,12	0,21	0,06	<0,02	0,02
pH	s/ unid	6 a 9	6,5 a 8,5	7,79	6,68	7,59	6,92	7,07	7,02
Salinidade	‰	NE	NE	6,2	<0,1	0,1	0,2	0,2	0,2
Sólidos em suspensão	mg/L	NE	NE	<50	<50	<50	<50	<50	<50
Sólidos totais	mg/L	NE	NE	6500	120	196	268	327	310
STD	mg/L	≤ 500	NE	6440	102	144	264	300	302
Temperatura	°C	NE	NE	32,5	28	28,6	29,8	26,8	27
Temperatura do Ar	°C	NE	NE	31	30	29	31	25	29
Turbidez	NTU	≤ 100	NE	14,3	11,2	15,5	12,4	4,8	10,1
% Saturação de OD	%	NE	NE	202	109	94,2	34,7	86,5	69,3

Parâmetro	Unidade	Padrão Legal Doce	Padrão Legal Salobra	1ª	2ª	3ª	1ª	2ª	3ª
				RCS-JQR-200	RCS-JQR-200	RCS-JQR-200	RCS-JQR-400	RCS-JQR-400	RCS-JQR-400
Alcalinidade total	mg CaCO3/L	NE	NE			124	22,7	14,7	13,9
Cloreto	mg/L	≤ 250	NE			508	27,9	30,1	18,6
Clorofila a	µg/L	≤ 30	NE			9,17	2,88	<0,4	1,74
Colif. termo	NMP/100mL	NE	NE			1,1X10^3	>1,6X10^4	9,2X10^3	1,3X10^3
Condutividade	µS/cm	NE	NE			3520	157,7	153,8	206,9
DBO	mg/L	≤ 5	NE			<3	<3	10	<3
DQO	mg O2/L	NE	NE			63,9	<30	<30	<30
N Total	mg/L	NE	NE			<1	<1	<1	<1
Nitrogênio Nitrato	mg N-NO3/L	≤ 10	≤ 0,4			<0,02	<0,02	0,1	<0,02
N-NH3	mg N-NH3/L	*	≤ 0,4			<0,4	<0,4	<0,4	<0,4
OD	mg/L	≥ 5,0	≥ 5,0			7,82	5,43	8,02	2,69
Ortofosfato solúvel	mg/L	NE	NE			<0,02	<0,02	<0,02	<0,02
P Total	mg/L	≤ 0,1	≤ 0,124			<0,02	0,06	<0,02	0,04
pH	s/ unid	6 a 9	6,5 a 8,5			7,94	6,83	6,88	6,63
Salinidade	‰	NE	NE			1,7	<0,1	<0,1	<0,1
Sólidos em suspensão	mg/L	NE	NE			<50	<50	<50	<50
Sólidos totais	mg/L	NE	NE			1924	120	108	138
STD	mg/L	≤ 500	NE			1832	112	100	134
Temperatura	°C	NE	NE			27,5	28,3	25	26,3
Temperatura do Ar	°C	NE	NE			29	29	28	29
Turbidez	NTU	≤ 100	NE			7,5	6,4	10,1	12,5
% Saturação de OD	%	NE	NE			99,8	69,7	97,1	33,3

Parâmetro	Unidade	Padrão Legal Doce	Padrão Legal Salobra	1ª	2ª	3ª	1ª	2ª	3ª
				RCS-JQR-500	RCS-JQR-500	RCS-JQR-500	RCS-JQR-600	RCS-JQR-600	RCS-JQR-600
Alcalinidade total	mg CaCO3/L	NE	NE	26,3	25,3	23,5	23,5	26,3	25,6
Cloreto	mg/L	≤ 250	NE	34,1	38,7	33,3	32,6	39,6	39,6
Clorofila a	µg/L	≤ 30	NE	1,79	<0,4	2,12	4,72	<0,4	1,84
Colif. termo	NMP/100mL	NE	NE	9,2X10^3	1,7X10^3	1,3X10^3	3,3X10^2	9,5X10^2	2,4X10^3
Condutividade	µS/cm	NE	NE	195,5	209,1	375	188,1	211,3	399
DBO	mg/L	≤ 5	NE	<3	7	<3	<3	4	<3
DQO	mg O2/L	NE	NE	<30	<30	31,6	<30	<30	<30
N Total	mg/L	NE	NE	<1	<1	<1	<1	<1	<1
Nitrogênio Nitrato	mg N-NO3/L	≤ 10	≤ 0,4	<0,02	0,14	<0,02	<0,02	0,14	<0,02
N-NH3	mg N-NH3/L	*	≤ 0,4	<0,4	0,5	0,5	<0,4	0,7	0,5
OD	mg/L	≥ 5,0	≥ 5,0	2,37	7,23	6,76	5,21	6,62	6,15
Ortofosfato solúvel	mg/L	NE	NE	<0,02	<0,02	<0,02	<0,02	<0,02	<0,02
P Total	mg/L	≤ 0,1	≤ 0,124	0,04	<0,02	0,04	0,04	<0,02	0,05
pH	s/ unid	6 a 9	6,5 a 8,5	6,68	6,64	6,98	6,82	6,69	6,83
Salinidade	‰	NE	NE	<0,1	<0,1	0,2	<0,1	<0,1	0,2
Sólidos em suspensão	mg/L	NE	NE	<50	<50	<50	<50	<50	<50
Sólidos totais	mg/L	NE	NE	146	154	226	158	154	296
STD	mg/L	≤ 500	NE	134	154	220	90	138	246
Temperatura	°C	NE	NE	28,2	26,3	26,1	27,9	26,5	26,1
Temperatura do Ar	°C	NE	NE	28	32	28	25	28	28
Turbidez	NTU	≤ 100	NE	2,3	7,1	39,8	11,2	7,2	41,8
% Saturação de OD	%	NE	NE	30,4	89,7	83,6	66,5	82,4	76

Parâmetro	Unidade	Padrão Legal Doce	Padrão Legal Salobra	1ª	2ª	3ª	1ª	2ª	3ª
				RCS-JQR-800	RCS-JQR-800	RCS-JQR-800	RCS-MAR-900	RCS-MAR-900	RCS-MAR-900
Alcalinidade total	mg CaCO3/L	NE	NE	10,1	22,2	25,6	5,2	6,2	5
Cloreto	mg/L	≤ 250	NE	15,6	32,2	52,2	7,5	8,3	4,8
Clorofila a	µg/L	≤ 30	NE	3,43	<0,4	2,67	4,46	1,74	5,17
Colif. termo	NMP/100mL	NE	NE	7,9X10^2	2,0X10	7,8X10	7,9X10^2	6,8X10	1,3X10^2
Condutividade	µS/cm	NE	NE	103	169,3	364	52	48,7	49,7
DBO	mg/L	≤ 5	NE	<3	<3	<3	14	19	<3
DQO	mg O2/L	NE	NE	<30	34,2	<30	<30	<30	<30
N Total	mg/L	NE	NE	<1	<1	<1	<1	<1	<1
Nitrogênio Nitrato	mg N-NO3/L	≤ 10	≤ 0,4	<0,02	0,06	<0,02	<0,02	0,09	<0,02
N-NH3	mg N-NH3/L	*	≤ 0,4	<0,4	0,5	<0,4	<0,4	<0,4	<0,4
OD	mg/L	≥ 5,0	≥ 5,0	7,67	8,12	7,75	7,64	8,59	8,15
Ortofosfato solúvel	mg/L	NE	NE	<0,02	<0,02	<0,02	<0,02	<0,02	<0,02
P Total	mg/L	≤ 0,1	≤ 0,124	<0,02	0,03	0,02	<0,02	<0,02	<0,02
pH	s/ unid	6 a 9	6,5 a 8,5	7,11	5,56	7,17	6,97	6,43	7,14
Salinidade	‰	NE	NE	<0,1	<0,1	0,2	<0,1	<0,1	<0,1
Sólidos em suspensão	mg/L	NE	NE	<50	<50	212	<50	<50	<50
Sólidos totais	mg/L	NE	NE	112	100	234	70	<50	<50
STD	mg/L	≤ 500	NE	108	94	<50	66	<50	<50
Temperatura	°C	NE	NE	30,9	26,8	28,4	27,4	23,8	25,1
Temperatura do Ar	°C	NE	NE	32	29	31	31	27	26
Turbidez	NTU	≤ 100	NE	5,8	6,4	7,9	3,1	3,9	4,9
% Saturação de OD	%	NE	NE	103	101	99,8	96,6	102	98,8

Parâmetro	Unidade	Padrão Legal Doce	Padrão Legal Salobra	1ª	2ª	3ª	1ª	2ª	3ª
				RCS-PRT-100	RCS-PRT-100	RCS-PRT-100	RCS-PRT-400	RCS-PRT-400	RCS-PRT-400
Alcalinidade total	mg CaCO3/L	NE	NE	71,6	23,1	11,8	7,2	12,9	8
Cloreto	mg/L	≤ 250	NE	95,2	43,1	18,3	6,6	9,2	9,9
Clorofila a	µg/L	≤ 30	NE	27,1	0,47	1,84	3,38	<0,4	1,03
Colif. termo	NMP/100mL	NE	NE	7,9X10^2	1,7X10^3	4,9X10^2	>1,6X10^4	>1,6X10^4	1,6X10^4
Condutividade	µS/cm	NE	NE	445	210,9	116	53,6	74,8	68,2
DBO	mg/L	≤ 5	NE	<3	4	<3	<3	<3	5
DQO	mg O2/L	NE	NE	<30	<30	<30	<30	<30	<30
N Total	mg/L	NE	NE	<1	<1	<1	<1	1	<1
Nitrogênio Nitrato	mg N-NO3/L	≤ 10	≤ 0,4	<0,02	<0,02	<0,02	0,04	0,08	<0,02
N-NH3	mg N-NH3/L	*	≤ 0,4	0,8	0,5	0,4	<0,4	0,8	<0,4
OD	mg/L	≥ 5,0	≥ 5,0	0,71	4,91	4,88	4,98	5,82	6,35
Ortofosfato solúvel	mg/L	NE	NE	<0,02	<0,02	<0,02	<0,02	<0,02	<0,02
P Total	mg/L	≤ 0,1	≤ 0,124	0,36	<0,02	<0,02	0,03	0,03	0,03
pH	s/ unid	6 a 9	6,5 a 8,5	7,05	6,37	6,35	6,59	6,56	6,49
Salinidade	‰	NE	NE	0,2	<0,1	<0,1	<0,1	<0,1	<0,1
Sólidos em suspensão	mg/L	NE	NE	<50	<50	<50	<50	98	<50
Sólidos totais	mg/L	NE	NE	332	142	82	72	138	76
STD	mg/L	≤ 500	NE	310	136	76	65	<50	<50
Temperatura	°C	NE	NE	23,4	27,4	24,8	27,9	24,1	25,1
Temperatura do Ar	°C	NE	NE	37	32	33	33	30	31
Turbidez	NTU	≤ 100	NE	267	12,2	39,4	7,5	73,5	8,6
% Saturação de OD	%	NE	NE	8,2	62	58,8	64,3	69,2	76,9

Parâmetro	Unidade	Padrão Legal Doce	Padrão Legal Salobra	1ª	2ª	3ª	1ª	2ª	3ª
				RCS-SRP-600	RCS-SRP-600	RCS-SRP-600	RCS-UNA-300	RCS-UNA-300	RCS-UNA-300
Alcalinidade total	mg CaCO3/L	NE	NE	6,1	8,1	8,4	5,1	8,9	8,1
Cloreto	mg/L	≤ 250	NE	8,2	8,3	4,8	8,5	8,4	4,8
Clorofila a	µg/L	≤ 30	NE	1,36	<0,4	3,22	2,73	<0,4	3,98
Colif. termo	NMP/100mL	NE	NE	4,9X10^2	>1,6X10^4	3,5X10^3	9,2X10^3	>1,6X10^4	1,6X10^4
Condutividade	µS/cm	NE	NE	49,7	55,1	51,8	60,1	56,6	58,3
DBO	mg/L	≤ 5	NE	<3	<3	<3	<3	<3	<3
DQO	mg O2/L	NE	NE	<30	<30	<30	<30	<30	47,7
N Total	mg/L	NE	NE	<1	1	<1	<1	<1	<1
Nitrogênio Nitrato	mg N-NO3/L	≤ 10	≤ 0,4	<0,02	<0,02	<0,02	<0,02	0,03	<0,02
N-NH3	mg N-NH3/L	*	≤ 0,4	<0,4	0,6	<0,4	0,5	0,6	<0,4
OD	mg/L	≥ 5,0	≥ 5,0	5,78	7,74	7,4	7,33	8,24	7,9
Ortofosfato solúvel	mg/L	NE	NE	<0,02	<0,02	<0,02	<0,02	<0,02	<0,02
P Total	mg/L	≤ 0,1	≤ 0,124	<0,02	<0,02	<0,02	<0,02	<0,02	0,03
pH	s/ unid	6 a 9	6,5 a 8,5	7,74	5,13	6,54	6,87	5,68	6,3
Salinidade	‰	NE	NE	<0,1	<0,1	<0,1	<0,1	<0,1	<0,1
Sólidos em suspensão	mg/L	NE	NE	<50	<50	<50	<50	<50	<50
Sólidos totais	mg/L	NE	NE	62	<50	62	<50	<50	80
STD	mg/L	≤ 500	NE	54	<50	<50	<50	<50	<50
Temperatura	°C	NE	NE	26,3	23,6	24,1	31,5	24,8	27
Temperatura do Ar	°C	NE	NE	40	28	25	36	28	33
Turbidez	NTU	≤ 100	NE	7,8	12,5	14,6	7,1	7,1	8,3
% Saturação de OD	%	NE	NE	71,6	90,3	87,7	99,6	99,1	99

Parâmetro	Unidade	Padrão Legal Doce	Padrão Legal Salobra	1ª	2ª	3ª
				RDC-RDC-800	RDC-RDC-800	RDC-RDC-800
Alcalinidade total	mg CaCO3/L	NE	NE	<2,0		<2,0
Cloreto	mg/L	≤ 250	NE	18,6		13,2
Clorofila a	µg/L	≤ 30	NE	3,86		2,67
Colif. termo	NMP/100mL	NE	NE	4,5X10		2,5X10^2
Condutividade	µS/cm	NE	NE	85,6		82,5
DBO	mg/L	≤ 5	NE	9		<3
DQO	mg O2/L	NE	NE	<30,0		34,2
N Total	mg/L	NE	NE	1,1		1,3
Nitrogênio Nitrato	mg N-NO3/L	≤ 10	≤ 0,4	<0,02		<0,02
N-NH3	mg N-NH3/L	*	≤ 0,4	0,8		0,7
OD	mg/L	≥ 5,0	≥ 5,0	4,06		5,58
Ortofosfato solúvel	mg/L	NE	NE	<0,02		<0,02
P Total	mg/L	≤ 0,1	≤ 0,124	<0,02		<0,02
pH	s/ unid	6 a 9	6,5 a 8,5	5,79		7,21
Salinidade	‰	NE	NE	<0,1		<0,1
Sólidos em suspensão	mg/L	NE	NE	<50		<50
Sólidos totais	mg/L	NE	NE	112		70
STD	mg/L	≤ 500	NE	62		64
Temperatura	°C	NE	NE	27,1		25,1
Temperatura do Ar	°C	NE	NE	29		26
Turbidez	NTU	≤ 100	NE	5,2		8,6
% Saturação de OD	%	NE	NE	52,3		68,3

RPGA do Rio Real (REA)

Parâmetro	Unidade	Padrão Legal Doce	Padrão Legal Salobra	1ª	2ª	3ª	1ª	2ª	3ª
				REA-FBC-300	REA-FBC-300	REA-FBC-300	REA-MAR-800	REA-MAR-800	REA-MAR-800
Alcalinidade total	mg CaCO3/L	NE	NE	6,8	26,9	13,3	5,6	5,7	4,4
Cloreto	mg/L	≤ 250	NE	87	95,9	66,2	22,4	24,1	16
Clorofila a	µg/L	≤ 30	NE	20,3	0,87	6,85	<0,4	<0,4	1,64
Colif. termo	NMP/100mL	NE	NE	2400	5400	490	2400	1300	330
Condutividade	µS/cm	NE	NE	351	390	348	98,9	113,2	117,8
DBO	mg/L	≤ 5	NE	<3	3	<3	<3	<3	<3
DQO	mg O2/L	NE	NE	<30	39,6	104	<30	<30	<30
N Total	mg/L	NE	NE	1,4	<1	<1	<1	<1	<1
Nitrogênio Nitrato	mg N-NO3/L	≤ 10	≤ 0,4	<0,02	0,1	<0,02	0,05	0,2	<0,02
N-NH3	mg N-NH3/L	*	≤ 0,4	1,2	0,7	<0,4	<0,4	0,6	<0,4
OD	mg/L	≥ 5,0	≥ 5,0	4,79	3,74	5,68	6,43	7,56	7,07
Ortofosfato solúvel	mg/L	NE	NE	<0,02	<0,02	<0,02	<0,02	<0,02	<0,02
P Total	mg/L	≤ 0,1	≤ 0,124	0,05	0,05	<0,02	0,02	<0,02	<0,02
pH	s/ unid	6 a 9	6,5 a 8,5	6,72	5,46	6,14	6,3	5,94	6,46
Salinidade	‰	NE	NE	0,2	0,2	0,2	<0,1	<0,1	<0,1
Sólidos em suspensão	mg/L	NE	NE	54	<50	<50	<50	<50	<50
Sólidos totais	mg/L	NE	NE	316	312	206	111	102	344
STD	mg/L	≤ 500	NE	236	262	198	90	92	334
Temperatura	°C	NE	NE	32,7	27,1	28,2	26,7	23,5	27,3
Temperatura do Ar	°C	NE	NE	30	29	30	29	26	37
Turbidez	NTU	≤ 100	NE	56,7	59,9	14,6	8,3	15,5	7,7
% Saturação de OD	%	NE	NE	66,3	47	73	80,2	89	89,4

Parâmetro	Unidade	Padrão Legal Doce	Padrão Legal Salobra	1ª	2ª	3ª	1ª	2ª	3ª
				REA-REA-300	REA-REA-300	REA-REA-300	REA-REA-500	REA-REA-500	REA-REA-500
Alcalinidade total	mg CaCO3/L	NE	NE		166	222	98,7	89,2	83,1
Cloreto	mg/L	≤ 250	NE		554	405	184	114	75,9
Clorofila a	µg/L	≤ 30	NE		5,62	185	31,9	<0,4	4,35
Colif. termo	NMP/100mL	NE	NE		>16000	>16000	1700	230	45
Condutividade	µS/cm	NE	NE		2378	2351	911	601	604
DBO	mg/L	≤ 5	NE		6	26	<3	<3	<3
DQO	mg O2/L	NE	NE		55,8	82,7	39,6	<30	<30
N Total	mg/L	NE	NE		6,8	5,2	1,3	1	<1
Nitrogênio Nitrato	mg N-NO3/L	≤ 10	≤ 0,4		0,17	0,11	<0,02	0,24	<0,02
N-NH3	mg N-NH3/L	*	≤ 0,4		6,6	0,7	0,5	0,8	<0,4
OD	mg/L	≥ 5,0	≥ 5,0		4,35	5,32	7,23	8,1	6,98
Ortofosfato solúvel	mg/L	NE	NE		<0,02	<0,02	<0,02	<0,02	<0,02
P Total	mg/L	≤ 0,1	≤ 0,124		0,81	2,39	0,09	<0,02	<0,02
pH	s/ unid	6 a 9	6,5 a 8,5		7,51	7,86	8	7,95	7,98
Salinidade	‰	NE	NE		1,1	1,1	0,5	0,3	0,3
Sólidos em suspensão	mg/L	NE	NE		<50	<50	<50	<50	<50
Sólidos totais	mg/L	NE	NE		1388	1288	548	363	150
STD	mg/L	≤ 500	NE		1298	1240	500	358	142
Temperatura	°C	NE	NE		27,2	28,7	26,7	25,4	28,9
Temperatura do Ar	°C	NE	NE		31	34	30	30	37
Turbidez	NTU	≤ 100	NE		23,2	27,1	21,1	17,8	13,6
% Saturação de OD	%	NE	NE		55,5	69,1	95,3	98,7	90,6

RPGA do Rio Salitre (SAL)

Parâmetro	Unidade	Padrão Legal Doce	Padrão Legal Salobra	1ª	2ª	3ª	1ª	2ª	3ª
				SAL-SAL-200	SAL-SAL-200	SAL-SAL-200	SAL-SAL-450	SAL-SAL-450	SAL-SAL-450
Alcalinidade total	mg CaCO3/L	NE	NE	240		263	32,4		
Cloreto	mg/L	≤ 250	NE	1300		631	177		
Clorofila a	µg/L	≤ 30	NE	62,2		29,8	<0,40		
Colif. termo	NMP/100mL	NE	NE	1,1X10^3		2,6X10^3	9,2X10^3		
Condutividade	µS/cm	NE	NE	5165		4545	1231		
DBO	mg/L	≤ 5	NE	8		<3	<3		
DQO	mg O2/L	NE	NE	80		90,8	34,2		
N Total	mg/L	NE	NE	3,8		2,9	1,8		
Nitrogênio Nitrato	mg N-NO3/L	≤ 10	≤ 0,4	0,14		<0,02	1,47		
N-NH3	mg N-NH3/L	*	≤ 0,4	0,5		1,4	<0,4		
OD	mg/L	≥ 5,0	≥ 5,0	11,4		3,92	5,73		
Ortofosfato solúvel	mg/L	NE	NE	<0,02		<0,02	<0,02		
P Total	mg/L	≤ 0,1	≤ 0,124	0,06		0,05	<0,02		
pH	s/ unid	6 a 9	6,5 a 8,5	7		6,3	6,45		
Salinidade	‰	NE	NE	2,8		2,3	0,6		
Sólidos em suspensão	mg/L	NE	NE	<50		<50	<50		
Sólidos totais	mg/L	NE	NE	3888		3162	860		
STD	mg/L	≤ 500	NE	3668		2440	727		
Temperatura	°C	NE	NE	30,6		27,2	26,5		
Temperatura do Ar	°C	NE	NE	29		30	29		
Turbidez	NTU	≤ 100	NE	14		20,1	4,3		
% Saturação de OD	%	NE	NE	152		50,7	58,2		

Parâmetro	Unidade	Padrão Legal Doce	Padrão Legal Salobra	1ª	2ª	3ª
				SAL-SAL-600	SAL-SAL-600	SAL-SAL-600
Alcalinidade total	mg CaCO3/L	NE	NE	121		197
Cloreto	mg/L	≤ 250	NE	272		255
Clorofila a	µg/L	≤ 30	NE	1,79		3,91
Colif. termo	NMP/100mL	NE	NE	1,7X10^3		9,2X10^3
Condutividade	µS/cm	NE	NE	1280		1643
DBO	mg/L	≤ 5	NE	3		<3
DQO	mg O2/L	NE	NE	34,2		<30,0
N Total	mg/L	NE	NE	<1,0		<1,0
Nitrogênio Nitrato	mg N-NO3/L	≤ 10	≤ 0,4	<0,02		<0,02
N-NH3	mg N-NH3/L	*	≤ 0,4	<0,4		<0,4
OD	mg/L	≥ 5,0	≥ 5,0	1,76		0,82
Ortofosfato solúvel	mg/L	NE	NE	<0,02		<0,02
P Total	mg/L	≤ 0,1	≤ 0,124	0,04		0,13
pH	s/ unid	6 a 9	6,5 a 8,5	6,35		6,6
Salinidade	‰	NE	NE	0,6		0,8
Sólidos em suspensão	mg/L	NE	NE	<50		<50
Sólidos totais	mg/L	NE	NE	848		1084
STD	mg/L	≤ 500	NE	724		992
Temperatura	°C	NE	NE	27		26,7
Temperatura do Ar	°C	NE	NE	28		27
Turbidez	NTU	≤ 100	NE	7,2		6,7
% Saturação de OD	%	NE	NE	22,4		6,3

RPGA do Lago Sobradinho (SOB)

Parâmetro	Unidade	Padrão Legal Doce	Padrão Legal Salobra	1ª	2ª	3ª	1ª	2ª	3ª
				SOB-BVC-001	SOB-BVC-001	SOB-BVC-001	SOB-LCA-001	SOB-LCA-001	SOB-LCA-001
Alcalinidade total	mg CaCO3/L	NE	NE	25,3		36,1	123		
Cloreto	mg/L	≤ 250	NE	8,5		6,7	69,7		
Clorofila a	µg/L	≤ 30	NE	5,34		54,9	4,2		
Colif. termo	NMP/100mL	NE	NE	3,5X10^3		9,2X10	1,3X10^3		
Condutividade	µS/cm	NE	NE	64,5		109,6	503		
DBO	mg/L	≤ 5	NE	<3		3	<3		
DQO	mg O2/L	NE	NE	<30,0		58,5	<30,0		
N Total	mg/L	NE	NE	<1,0		1,6	<1,0		
Nitrogênio Nitrato	mg N-NO3/L	≤ 10	≤ 0,4	<0,02		<0,02	<0,02		
N-NH3	mg N-NH3/L	*	≤ 0,4	0,6		0,7	0,5		
OD	mg/L	≥ 5,0	≥ 5,0	2,5		4,97	2,99		
Ortofosfato solúvel	mg/L	NE	NE	<0,02		<0,02	<0,02		
P Total	mg/L	≤ 0,1	≤ 0,124	0,03		0,05	0,02		
pH	s/ unid	6 a 9	6,5 a 8,5	7,36		7,26	6,7		
Salinidade	‰	NE	NE	<0,1		<0,1	0,2		
Sólidos em suspensão	mg/L	NE	NE	<50		68	<50		
Sólidos totais	mg/L	NE	NE	130		205	350		
STD	mg/L	≤ 500	NE	66		77	314		
Temperatura	°C	NE	NE	28,4		25,8	29,8		
Temperatura do Ar	°C	NE	NE	29		22	28		
Turbidez	NTU	≤ 100	NE	57,8		67,7	9,3		
% Saturação de OD	%	NE	NE	31,6		60,3	39,8		

Parâmetro	Unidade	Padrão Legal Doce	Padrão Legal Salobra	1ª	2ª	3ª	1ª	2ª	3ª
				SOB-QUI-600	SOB-QUI-600	SOB-QUI-600	SOB-RGD-300	SOB-RGD-300	SOB-RGD-300
Alcalinidade total	mg CaCO3/L	NE	NE				41,4		
Cloreto	mg/L	≤ 250	NE				119		
Clorofila a	µg/L	≤ 30	NE				2,78		
Colif. termo	NMP/100mL	NE	NE				1,6X10^4		
Condutividade	µS/cm	NE	NE				543		
DBO	mg/L	≤ 5	NE				<3		
DQO	mg O2/L	NE	NE				<30,0		
N Total	mg/L	NE	NE				2,1		
Nitrogênio Nitrato	mg N-NO3/L	≤ 10	≤ 0,4				0,36		
N-NH3	mg N-NH3/L	*	≤ 0,4				1,7		
OD	mg/L	≥ 5,0	≥ 5,0				6,21		
Ortofosfato solúvel	mg/L	NE	NE				<0,02		
P Total	mg/L	≤ 0,1	≤ 0,124				0,05		
pH	s/ unid	6 a 9	6,5 a 8,5				6,53		
Salinidade	‰	NE	NE				0,3		
Sólidos em suspensão	mg/L	NE	NE				140		
Sólidos totais	mg/L	NE	NE				648		
STD	mg/L	≤ 500	NE				500		
Temperatura	°C	NE	NE				35		
Temperatura do Ar	°C	NE	NE				34		
Turbidez	NTU	≤ 100	NE				317		
% Saturação de OD	%	NE	NE				89,2		

Parâmetro	Unidade	Padrão Legal Doce	Padrão Legal Salobra	1ª	2ª	3ª	1ª	2ª	3ª
				SOB-RSF-630	SOB-RSF-630	SOB-RSF-630	SOB-RSF-640	SOB-RSF-640	SOB-RSF-640
Alcalinidade total	mg CaCO3/L	NE	NE	28,1		38,7	41,9		36,6
Cloreto	mg/L	≤ 250	NE	27,2		2,5	8,4		5,4
Clorofila a	µg/L	≤ 30	NE	1,48		18,2	3,49		67,8
Colif. termo	NMP/100mL	NE	NE	>1,6X10^4		>1,6X10^4	1,6X10^4		1,3X10^2
Condutividade	µS/cm	NE	NE	74,2		110,5	119,9		129,1
DBO	mg/L	≤ 5	NE	<3		<3	<3		<3
DQO	mg O2/L	NE	NE	<30,0		<30,0	<30,0		<30,0
N Total	mg/L	NE	NE	<1,0		1,8	<1,0		<1,0
Nitrogênio Nitrato	mg N-NO3/L	≤ 10	≤ 0,4	0,12		<0,02	<0,02		<0,02
N-NH3	mg N-NH3/L	*	≤ 0,4	0,5		<0,4	<0,4		<0,4
OD	mg/L	≥ 5,0	≥ 5,0	4,24		4,41	6,65		7,85
Ortofosfato solúvel	mg/L	NE	NE	<0,02		<0,02	<0,02		<0,02
P Total	mg/L	≤ 0,1	≤ 0,124	0,06		0,04	<0,02		0,05
pH	s/ unid	6 a 9	6,5 a 8,5	6,6		6,96	6,63		7,79
Salinidade	‰	NE	NE	<0,1		<0,1	<0,1		<0,1
Sólidos em suspensão	mg/L	NE	NE	<50		<50	<50		<50
Sólidos totais	mg/L	NE	NE	130		62	104		96
STD	mg/L	≤ 500	NE	72		<50	82		<50
Temperatura	°C	NE	NE	27,9		28,4	31,7		30,2
Temperatura do Ar	°C	NE	NE	24		28	32		31
Turbidez	NTU	≤ 100	NE	74		12,2	7,1		23,9
% Saturação de OD	%	NE	NE	53		56,8	91,9		56,6

Parâmetro	Unidade	Padrão Legal Doce	Padrão Legal Salobra	1ª	2ª	3ª	1ª	2ª	3ª
				SOB-RSF-650	SOB-RSF-650	SOB-RSF-650	SOB-SOB-500	SOB-SOB-500	SOB-SOB-500
Alcalinidade total	mg CaCO3/L	NE	NE	29,2		33,1	25,9		32,8
Cloreto	mg/L	≤ 250	NE	13,3		11,4	3,1		1,4
Clorofila a	µg/L	≤ 30	NE	<0,40		2,88	0,71		2,12
Colif. termo	NMP/100mL	NE	NE	<1,8X10		3,5X10^3	3,5X10^3		1,5X10^3
Condutividade	µS/cm	NE	NE	76,4		84,1	76,9		80,6
DBO	mg/L	≤ 5	NE	<3		<3	<3		<3
DQO	mg O2/L	NE	NE	<30,0		<30,0	42,3		<30,0
N Total	mg/L	NE	NE	<1,0		<1,0	<1,0		<1,0
Nitrogênio Nitrato	mg N-NO3/L	≤ 10	≤ 0,4	<0,02		<0,02	<0,02		<0,02
N-NH3	mg N-NH3/L	*	≤ 0,4	<0,4		<0,4	<0,4		<0,4
OD	mg/L	≥ 5,0	≥ 5,0	5,88		4,61	6,51		6,22
Ortofosfato solúvel	mg/L	NE	NE	<0,02		<0,02	<0,02		<0,02
P Total	mg/L	≤ 0,1	≤ 0,124	<0,02		0,02	<0,02		<0,02
pH	s/ unid	6 a 9	6,5 a 8,5	6,4		7,35	6,56		7,5
Salinidade	‰	NE	NE	<0,1		<0,1	<0,1		<0,1
Sólidos em suspensão	mg/L	NE	NE	<50		<50	<50		<50
Sólidos totais	mg/L	NE	NE	62		82	122		<50
STD	mg/L	≤ 500	NE	<50		58	<50		<50
Temperatura	°C	NE	NE	26,9		26	26,8		26,9
Temperatura do Ar	°C	NE	NE	25		26	25		27
Turbidez	NTU	≤ 100	NE	1,6		3,7	2,1		3
% Saturação de OD	%	NE	NE	74,3		104	81,6		98,8

Parâmetro	Unidade	Padrão Legal Doce	Padrão Legal Salobra	1ª	2ª	3ª
				SOB-TQR-001	SOB-TQR-001	SOB-TQR-001
Alcalinidade total	mg CaCO3/L	NE	NE	28,2		128
Cloreto	mg/L	≤ 250	NE	28,5		61,9
Clorofila a	µg/L	≤ 30	NE	2,99		37,4
Colif. termo	NMP/100mL	NE	NE	2,4X10^3		1,0X10^3
Condutividade	µS/cm	NE	NE	166,4		699
DBO	mg/L	≤ 5	NE	<3		<3
DQO	mg O2/L	NE	NE	<30,0		77,3
N Total	mg/L	NE	NE	1,6		3,2
Nitrogênio Nitrato	mg N-NO3/L	≤ 10	≤ 0,4	<0,02		<0,02
N-NH3	mg N-NH3/L	*	≤ 0,4	1,4		1,8
OD	mg/L	≥ 5,0	≥ 5,0	4,39		6,56
Ortofosfato solúvel	mg/L	NE	NE	<0,02		<0,02
P Total	mg/L	≤ 0,1	≤ 0,124	<0,02		0,06
pH	s/ unid	6 a 9	6,5 a 8,5	6,6		6,7
Salinidade	‰	NE	NE	<0,1		0,3
Sólidos em suspensão	mg/L	NE	NE	<50		162
Sólidos totais	mg/L	NE	NE	254		652
STD	mg/L	≤ 500	NE	180		391
Temperatura	°C	NE	NE	32,9		29,2
Temperatura do Ar	°C	NE	NE	32		29
Turbidez	NTU	≤ 100	NE	72,5		170
% Saturação de OD	%	NE	NE	58		85,6

RPGA do Riacho do Tará (TAR)

Parâmetro	Unidade	Padrão Legal Doce	Padrão Legal Salobra	1ª	2ª	3ª
				TAR-BMI-001	TAR-BMI-001	TAR-BMI-001
Alcalinidade total	mg CaCO3/L	NE	NE			190
Cloreto	mg/L	≤ 250	NE			1290
Clorofila a	µg/L	≤ 30	NE			104
Colif. termo	NMP/100mL	NE	NE			1,1X10^2
Condutividade	µS/cm	NE	NE			7920
DBO	mg/L	≤ 5	NE			8
DQO	mg O2/L	NE	NE			166
N Total	mg/L	NE	NE			1,4
Nitrogênio Nitrato	mg N-NO3/L	≤ 10	≤ 0,4			<0,02
N-NH3	mg N-NH3/L	*	≤ 0,4			0,8
OD	mg/L	≥ 5,0	≥ 5,0			14,7
Ortofosfato solúvel	mg/L	NE	NE			<0,02
P Total	mg/L	≤ 0,1	≤ 0,124			0,14
pH	s/ unid	6 a 9	6,5 a 8,5			8,5
Salinidade	‰	NE	NE			4,1
Sólidos em suspensão	mg/L	NE	NE			<50
Sólidos totais	mg/L	NE	NE			4212
STD	mg/L	≤ 500	NE			3904
Temperatura	°C	NE	NE			30,3
Temperatura do Ar	°C	NE	NE			36
Turbidez	NTU	≤ 100	NE			39,3
% Saturação de OD	%	NE	NE			199

RPGA do Rio Verde Grande (VGD)

Parâmetro	Unidade	Padrão Legal Doce	Padrão Legal Salobra	1ª	2ª	3ª	1ª	2ª	3ª
				VGD-VGD-800	VGD-VGD-800	VGD-VGD-800	VGD-VPQ-200	VGD-VPQ-200	VGD-VPQ-200
Alcalinidade total	mg CaCO3/L	NE	NE	111			14,5		
Cloreto	mg/L	≤ 250	NE	5,6			7,3		
Clorofila a	µg/L	≤ 30	NE	4,18			2,5		
Colif. termo	NMP/100mL	NE	NE	3,5X10^3			>1,6X10^4		
Condutividade	µS/cm	NE	NE	250,3			76,4		
DBO	mg/L	≤ 5	NE	4			4		
DQO	mg O2/L	NE	NE	<30,0			<30,0		
N Total	mg/L	NE	NE	1,5			3,1		
Nitrogênio Nitrato	mg N-NO3/L	≤ 10	≤ 0,4	0,03			0,21		
N-NH3	mg N-NH3/L	*	≤ 0,4	0,8			2,6		
OD	mg/L	≥ 5,0	≥ 5,0	3,03			6,72		
Ortofosfato solúvel	mg/L	NE	NE	<0,02			<0,02		
P Total	mg/L	≤ 0,1	≤ 0,124	0,14			0,13		
pH	s/ unid	6 a 9	6,5 a 8,5	7,09			7,61		
Salinidade	‰	NE	NE	0,1			<0,1		
Sólidos em suspensão	mg/L	NE	NE	<50			1108		
Sólidos totais	mg/L	NE	NE	252			1384		
STD	mg/L	≤ 500	NE	250			216		
Temperatura	°C	NE	NE	28,6			24,2		
Temperatura do Ar	°C	NE	NE	29			23		
Turbidez	NTU	≤ 100	NE	116			1930		
% Saturação de OD	%	NE	NE	40,1			81,2		

RPGA do Rios Verde e Jacaré (VJR)

Parâmetro	Unidade	Padrão Legal Doce	Padrão Legal Salobra	1ª	2ª	3ª	1ª	2ª	3ª
				VJR-BCR-400	VJR-BCR-400	VJR-BCR-400	VJR-JRE-800	VJR-JRE-800	VJR-JRE-800
Alcalinidade total	mg CaCO3/L	NE	NE	174		259	235		
Cloreto	mg/L	≤ 250	NE	137		131	131		
Clorofila a	µg/L	≤ 30	NE	127		50,6	3,16		
Colif. termo	NMP/100mL	NE	NE	2400		>16000	9200		
Condutividade	µS/cm	NE	NE	839		1291	1055		
DBO	mg/L	≤ 5	NE	10		4	5		
DQO	mg O2/L	NE	NE	58,5		<30	<30		
N Total	mg/L	NE	NE	2,7		1,1	<1		
Nitrogênio Nitrato	mg N-NO3/L	≤ 10	≤ 0,4	<0,02		<0,02	<0,02		
N-NH3	mg N-NH3/L	*	≤ 0,4	1,5		<0,4	<0,4		
OD	mg/L	≥ 5,0	≥ 5,0	9,44		10,3	8,93		
Ortofosfato solúvel	mg/L	NE	NE	<0,02		<0,02	<0,02		
P Total	mg/L	≤ 0,1	≤ 0,124	0,2		0,08	<0,02		
pH	s/ unid	6 a 9	6,5 a 8,5	8,01		6,94	7,52		
Salinidade	‰	NE	NE	0,4		0,6	0,5		
Sólidos em suspensão	mg/L	NE	NE	<50		<50	<50		
Sólidos totais	mg/L	NE	NE	498		768	664		
STD	mg/L	≤ 500	NE	461		706	611		
Temperatura	°C	NE	NE	29,4		31,3	30,2		
Temperatura do Ar	°C	NE	NE	31		30	31		
Turbidez	NTU	≤ 100	NE	46,4		39,8	14,4		
% Saturação de OD	%	NE	NE	124		132	118		

Parâmetro	Unidade	Padrão Legal Doce	Padrão Legal Salobra	1ª	2ª	3ª	1ª	2ª	3ª
				VJR-MIR-003	VJR-MIR-003	VJR-MIR-003	VJR-VRD-500	VJR-VRD-500	VJR-VRD-500
Alcalinidade total	mg CaCO3/L	NE	NE	131			170		175
Cloreto	mg/L	≤ 250	NE	7,5			14,2		14,1
Clorofila a	µg/L	≤ 30	NE	4,62			2,4		21,5
Colif. termo	NMP/100mL	NE	NE	20			330		490
Condutividade	µS/cm	NE	NE	281,6			383		456
DBO	mg/L	≤ 5	NE	15			6		<3
DQO	mg O2/L	NE	NE	<30			<30		<30
N Total	mg/L	NE	NE	<1			<1		<1
Nitrogênio Nitrato	mg N-NO3/L	≤ 10	≤ 0,4	<0,02			<0,02		<0,02
N-NH3	mg N-NH3/L	*	≤ 0,4	<0,4			<0,4		<0,4
OD	mg/L	≥ 5,0	≥ 5,0	10,9			5,69		5,44
Ortofosfato solúvel	mg/L	NE	NE	<0,02			<0,02		<0,02
P Total	mg/L	≤ 0,1	≤ 0,124	0,02			<0,02		<0,02
pH	s/ unid	6 a 9	6,5 a 8,5	8,3			8,03		7,73
Salinidade	‰	NE	NE	0,1			0,2		0,2
Sólidos em suspensão	mg/L	NE	NE	<50			<50		<50
Sólidos totais	mg/L	NE	NE	166			230		206
STD	mg/L	≤ 500	NE	166			220		261
Temperatura	°C	NE	NE	30			28,3		27,3
Temperatura do Ar	°C	NE	NE	32			32		34
Turbidez	NTU	≤ 100	NE	1,8			1,6		4,9
% Saturação de OD	%	NE	NE	150			74,1		59,9

Parâmetro	Unidade	Padrão Legal Doce	Padrão Legal Salobra	1ª	2ª	3ª	1ª	2ª	3ª
				VJR-VRD-600	VJR-VRD-600	VJR-VRD-600	VJR-VRD-650	VJR-VRD-650	VJR-VRD-650
Alcalinidade total	mg CaCO3/L	NE	NE	222		205	290		260
Cloreto	mg/L	≤ 250	NE	99,2		331	119		155
Clorofila a	µg/L	≤ 30	NE	9,05		23	49		23,7
Colif. termo	NMP/100mL	NE	NE	330		330	790		140
Condutividade	µS/cm	NE	NE	795		2288	1098		1452
DBO	mg/L	≤ 5	NE	15		<3	18		<3
DQO	mg O2/L	NE	NE	<30		34,2	85,4		47,7
N Total	mg/L	NE	NE	<1		2,2	2,1		<1
Nitrogênio Nitrato	mg N-NO3/L	≤ 10	≤ 0,4	<0,02		<0,02	<0,02		<0,02
N-NH3	mg N-NH3/L	*	≤ 0,4	0,5		1,5	0,6		<0,4
OD	mg/L	≥ 5,0	≥ 5,0	1,84		3,17	2,58		1,45
Ortofosfato solúvel	mg/L	NE	NE	<0,02		<0,02	<0,02		<0,02
P Total	mg/L	≤ 0,1	≤ 0,124	0,05		0,04	0,17		0,04
pH	s/ unid	6 a 9	6,5 a 8,5	7,73		7,19	7,53		7,15
Salinidade	‰	NE	NE	0,4		1,1	0,6		0,7
Sólidos em suspensão	mg/L	NE	NE	<50		<50	<50		<50
Sólidos totais	mg/L	NE	NE	484		1634	814		1004
STD	mg/L	≤ 500	NE	446		1237	588		792
Temperatura	°C	NE	NE	29,7		28,3	27		26,7
Temperatura do Ar	°C	NE	NE	32		34	26		33
Turbidez	NTU	≤ 100	NE	2,6		4	17,5		43,1
% Saturação de OD	%	NE	NE	24,4		35,2	31,6		18

Parâmetro	Unidade	Padrão Legal Doce	Padrão Legal Salobra	1ª	2ª	3ª	1ª	2ª	3ª
				VJR-VRD-750	VJR-VRD-750	VJR-VRD-750	VJR-VRD-900	VJR-VRD-900	VJR-VRD-900
Alcalinidade total	mg CaCO3/L	NE	NE			120			103
Cloreto	mg/L	≤ 250	NE			59,7			2
Clorofila a	µg/L	≤ 30	NE			27,2			25,8
Colif. termo	NMP/100mL	NE	NE			330			78
Condutividade	µS/cm	NE	NE			1090			292,4
DBO	mg/L	≤ 5	NE			<3			<3
DQO	mg O2/L	NE	NE			50,4			<30
N Total	mg/L	NE	NE			<1			<1
Nitrogênio Nitrato	mg N-NO3/L	≤ 10	≤ 0,4			<0,02			<0,02
N-NH3	mg N-NH3/L	*	≤ 0,4			<0,4			<0,4
OD	mg/L	≥ 5,0	≥ 5,0			4,97			5,42
Ortofosfato solúvel	mg/L	NE	NE			<0,02			<0,02
P Total	mg/L	≤ 0,1	≤ 0,124			<0,02			<0,02
pH	s/ unid	6 a 9	6,5 a 8,5			7,03			7,35
Salinidade	‰	NE	NE			0,5			0,1
Sólidos em suspensão	mg/L	NE	NE			<50			<50
Sólidos totais	mg/L	NE	NE			700			198
STD	mg/L	≤ 500	NE			599			174
Temperatura	°C	NE	NE			27,5			28
Temperatura do Ar	°C	NE	NE			25			29
Turbidez	NTU	≤ 100	NE			22,5			32,4
% Saturação de OD	%	NE	NE			56,4			57,5

Parâmetro	Unidade	Padrão Legal Doce	Padrão Legal Salobra	1ª	2ª	3ª
				VJR-VRD-950	VJR-VRD-950	VJR-VRD-950
Alcalinidade total	mg CaCO3/L	NE	NE			134
Cloreto	mg/L	≤ 250	NE			2,4
Clorofila a	µg/L	≤ 30	NE			25
Colif. termo	NMP/100mL	NE	NE			<18
Condutividade	µS/cm	NE	NE			298,8
DBO	mg/L	≤ 5	NE			<3
DQO	mg O2/L	NE	NE			212
N Total	mg/L	NE	NE			2
Nitrogênio Nitrato	mg N-NO3/L	≤ 10	≤ 0,4			<0,02
N-NH3	mg N-NH3/L	*	≤ 0,4			<0,4
OD	mg/L	≥ 5,0	≥ 5,0			4,73
Ortofosfato solúvel	mg/L	NE	NE			<0,02
P Total	mg/L	≤ 0,1	≤ 0,124			<0,02
pH	s/ unid	6 a 9	6,5 a 8,5			7,44
Salinidade	‰	NE	NE			0,1
Sólidos em suspensão	mg/L	NE	NE			<50
Sólidos totais	mg/L	NE	NE			160
STD	mg/L	≤ 500	NE			177
Temperatura	°C	NE	NE			56,7
Temperatura do Ar	°C	NE	NE			30
Turbidez	NTU	≤ 100	NE			17,3
% Saturação de OD	%	NE	NE			51,7

RPGA do Rio Vaza-Barris (VZB)

Parâmetro	Unidade	Padrão Legal Doce	Padrão Legal Salobra	1ª	2ª	3ª	1ª	2ª	3ª
				VZB-AAD-001	VZB-AAD-001	VZB-AAD-001	VZB-ADS-500	VZB-ADS-500	VZB-ADS-500
Alcalinidade total	mg CaCO3/L	NE	NE			170			175
Cloreto	mg/L	≤ 250	NE			235			315
Clorofila a	µg/L	≤ 30	NE			16,3			14,8
Colif. termo	NMP/100mL	NE	NE			2,2X10^3			6,2X10
Condutividade	µS/cm	NE	NE			1630			1973
DBO	mg/L	≤ 5	NE			<3			<3
DQO	mg O2/L	NE	NE			<30			<30
N Total	mg/L	NE	NE			<1			<1
Nitrogênio Nitrato	mg N-NO3/L	≤ 10	≤ 0,4			<0,02			<0,02
N-NH3	mg N-NH3/L	*	≤ 0,4			<0,4			<0,4
OD	mg/L	≥ 5,0	≥ 5,0			6,21			6,44
Ortofosfato solúvel	mg/L	NE	NE			<0,02			<0,02
P Total	mg/L	≤ 0,1	≤ 0,124			0,03			0,04
pH	s/ unid	6 a 9	6,5 a 8,5			8,4			8,25
Salinidade	‰	NE	NE			0,8			0,9
Sólidos em suspensão	mg/L	NE	NE			<50			<50
Sólidos totais	mg/L	NE	NE			920			1154
STD	mg/L	≤ 500	NE			887			1070
Temperatura	°C	NE	NE			27,2			30
Temperatura do Ar	°C	NE	NE			35			33
Turbidez	NTU	≤ 100	NE			13,2			18,7
% Saturação de OD	%	NE	NE			78,6			85,7

Parâmetro	Unidade	Padrão Legal Doce	Padrão Legal Salobra	1ª	2ª	3ª	1ª	2ª	3ª
				VZB-BGP-001	VZB-BGP-001	VZB-BGP-001	VZB-CRB-900	VZB-CRB-900	VZB-CRB-900
Alcalinidade total	mg CaCO3/L	NE	NE			127			131
Cloreto	mg/L	≤ 250	NE			327			388
Clorofila a	µg/L	≤ 30	NE			31,1			19,7
Colif. termo	NMP/100mL	NE	NE			<1,8X10			4,5X10
Condutividade	µS/cm	NE	NE			2070			2154
DBO	mg/L	≤ 5	NE			<3			<3
DQO	mg O2/L	NE	NE			50,4			71,9
N Total	mg/L	NE	NE			<1			<1
Nitrogênio Nitrato	mg N-NO3/L	≤ 10	≤ 0,4			<0,02			<0,02
N-NH3	mg N-NH3/L	*	≤ 0,4			<0,4			<0,4
OD	mg/L	≥ 5,0	≥ 5,0			8,82			7,2
Ortofosfato solúvel	mg/L	NE	NE			<0,02			<0,02
P Total	mg/L	≤ 0,1	≤ 0,124			0,03			0,04
pH	s/ unid	6 a 9	6,5 a 8,5			8,6			8,23
Salinidade	‰	NE	NE			1			1
Sólidos em suspensão	mg/L	NE	NE			<50			<50
Sólidos totais	mg/L	NE	NE			1221			1364
STD	mg/L	≤ 500	NE			1121			1166
Temperatura	°C	NE	NE			32			35
Temperatura do Ar	°C	NE	NE			32			35
Turbidez	NTU	≤ 100	NE			7,5			8,8
% Saturação de OD	%	NE	NE			0,75			95

Parâmetro	Unidade	Padrão Legal Doce	Padrão Legal Salobra	1ª	2ª	3ª	1ª	2ª	3ª
				VZB-VZB-150	VZB-VZB-150	VZB-VZB-150	VZB-VZB-210	VZB-VZB-210	VZB-VZB-210
Alcalinidade total	mg CaCO3/L	NE	NE			76,7			213
Cloreto	mg/L	≤ 250	NE			49,2			136
Clorofila a	µg/L	≤ 30	NE			3,34			1,36
Colif. termo	NMP/100mL	NE	NE			4,6X10^2			4,9X10^2
Condutividade	µS/cm	NE	NE			434			1079
DBO	mg/L	≤ 5	NE			<3			<3
DQO	mg O2/L	NE	NE			<30			53,1
N Total	mg/L	NE	NE			<1			<1
Nitrogênio Nitrato	mg N-NO3/L	≤ 10	≤ 0,4			<0,02			<0,02
N-NH3	mg N-NH3/L	*	≤ 0,4			<0,4			<0,4
OD	mg/L	≥ 5,0	≥ 5,0			4,76			4,64
Ortofosfato solúvel	mg/L	NE	NE			<0,02			<0,02
P Total	mg/L	≤ 0,1	≤ 0,124			<0,02			0,25
pH	s/ unid	6 a 9	6,5 a 8,5			7,4			7,46
Salinidade	‰	NE	NE			0,2			0,5
Sólidos em suspensão	mg/L	NE	NE			<50			<50
Sólidos totais	mg/L	NE	NE			248			596
STD	mg/L	≤ 500	NE			249			593
Temperatura	°C	NE	NE			26,2			26
Temperatura do Ar	°C	NE	NE			32			30
Turbidez	NTU	≤ 100	NE			1,8			2,3
% Saturação de OD	%	NE	NE			58,1			57,2

Parâmetro	Unidade	Padrão Legal Doce	Padrão Legal Salobra	1ª	2ª	3ª	1ª	2ª	3ª
				VZB-VZB-400	VZB-VZB-400	VZB-VZB-400	VZB-VZB-410	VZB-VZB-410	VZB-VZB-410
Alcalinidade total	mg CaCO3/L	NE	NE			63,5			139
Cloreto	mg/L	≤ 250	NE			62,5			250
Clorofila a	µg/L	≤ 30	NE			9,25			11,7
Colif. termo	NMP/100mL	NE	NE			1,3X10^3			>1,6X10^4
Condutividade	µS/cm	NE	NE			507			1766
DBO	mg/L	≤ 5	NE			<3			6
DQO	mg O2/L	NE	NE			47,7			<30
N Total	mg/L	NE	NE			<1			<1
Nitrogênio Nitrato	mg N-NO3/L	≤ 10	≤ 0,4			<0,02			<0,02
N-NH3	mg N-NH3/L	*	≤ 0,4			<0,4			<0,4
OD	mg/L	≥ 5,0	≥ 5,0			2,88			0,25
Ortofosfato solúvel	mg/L	NE	NE			<0,02			<0,02
P Total	mg/L	≤ 0,1	≤ 0,124			0,08			0,95
pH	s/ unid	6 a 9	6,5 a 8,5			7,08			7,38
Salinidade	‰	NE	NE			0,2			0,8
Sólidos em suspensão	mg/L	NE	NE			<50			<50
Sólidos totais	mg/L	NE	NE			322			948
STD	mg/L	≤ 500	NE			288			959
Temperatura	°C	NE	NE			27,3			26,8
Temperatura do Ar	°C	NE	NE			30			32
Turbidez	NTU	≤ 100	NE			21,4			19,9
% Saturação de OD	%	NE	NE			36,4			3

Parâmetro	Unidade	Padrão Legal Doce	Padrão Legal Salobra	1ª	2ª	3ª	1ª	2ª	3ª
				VZB-VZB-700	VZB-VZB-700	VZB-VZB-700	VZB-VZB-900	VZB-VZB-900	VZB-VZB-900
Alcalinidade total	mg CaCO3/L	NE	NE			131			113
Cloreto	mg/L	≤ 250	NE			1170			811
Clorofila a	µg/L	≤ 30	NE			2,83			2,45
Colif. termo	NMP/100mL	NE	NE			4,5X10			2,0X10
Condutividade	µS/cm	NE	NE			7030			5290
DBO	mg/L	≤ 5	NE			<3			<3
DQO	mg O2/L	NE	NE			126			98,9
N Total	mg/L	NE	NE			1			<1
Nitrogênio Nitrato	mg N-NO3/L	≤ 10	≤ 0,4			<0,02			<0,02
N-NH3	mg N-NH3/L	*	≤ 0,4			0,5			<0,4
OD	mg/L	≥ 5,0	≥ 5,0			10,2			10,8
Ortofosfato solúvel	mg/L	NE	NE			<0,02			<0,02
P Total	mg/L	≤ 0,1	≤ 0,124			0,04			0,03
pH	s/ unid	6 a 9	6,5 a 8,5			8,05			8,34
Salinidade	‰	NE	NE			3,7			2,7
Sólidos em suspensão	mg/L	NE	NE			<50			<50
Sólidos totais	mg/L	NE	NE			3840			2992
STD	mg/L	≤ 500	NE			3764			2837
Temperatura	°C	NE	NE			30,1			29,6
Temperatura do Ar	°C	NE	NE			36			36
Turbidez	NTU	≤ 100	NE			1,3			9,9
% Saturação de OD	%	NE	NE			138			143